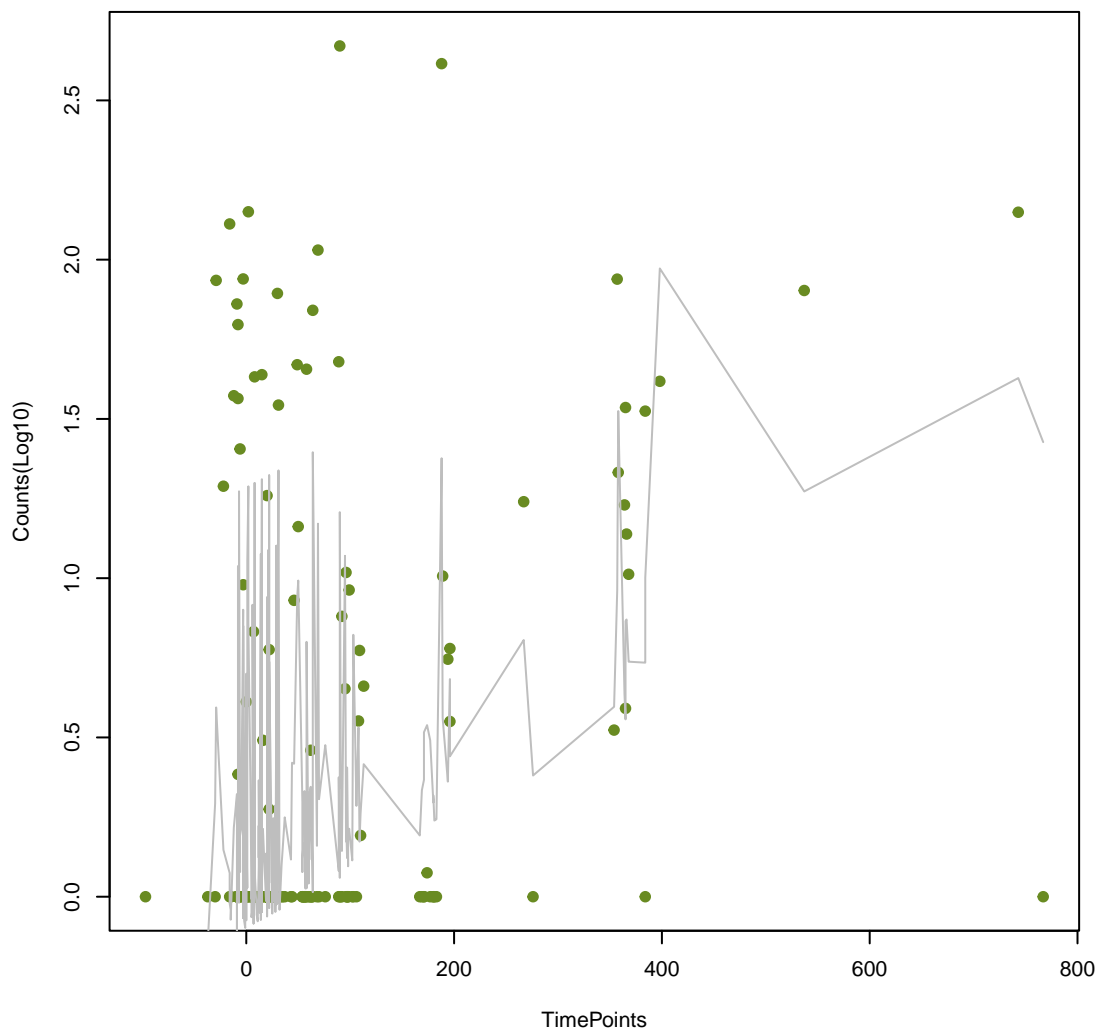
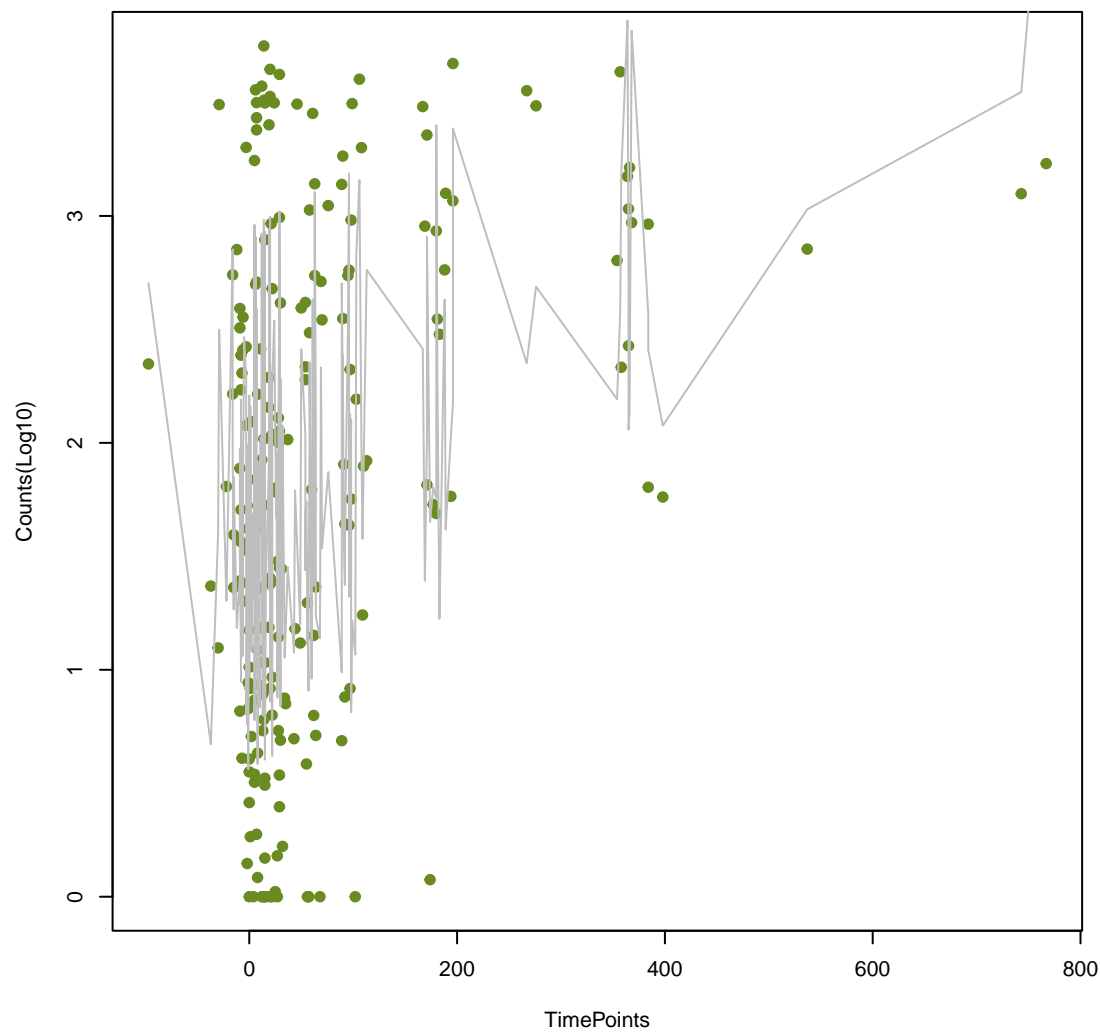


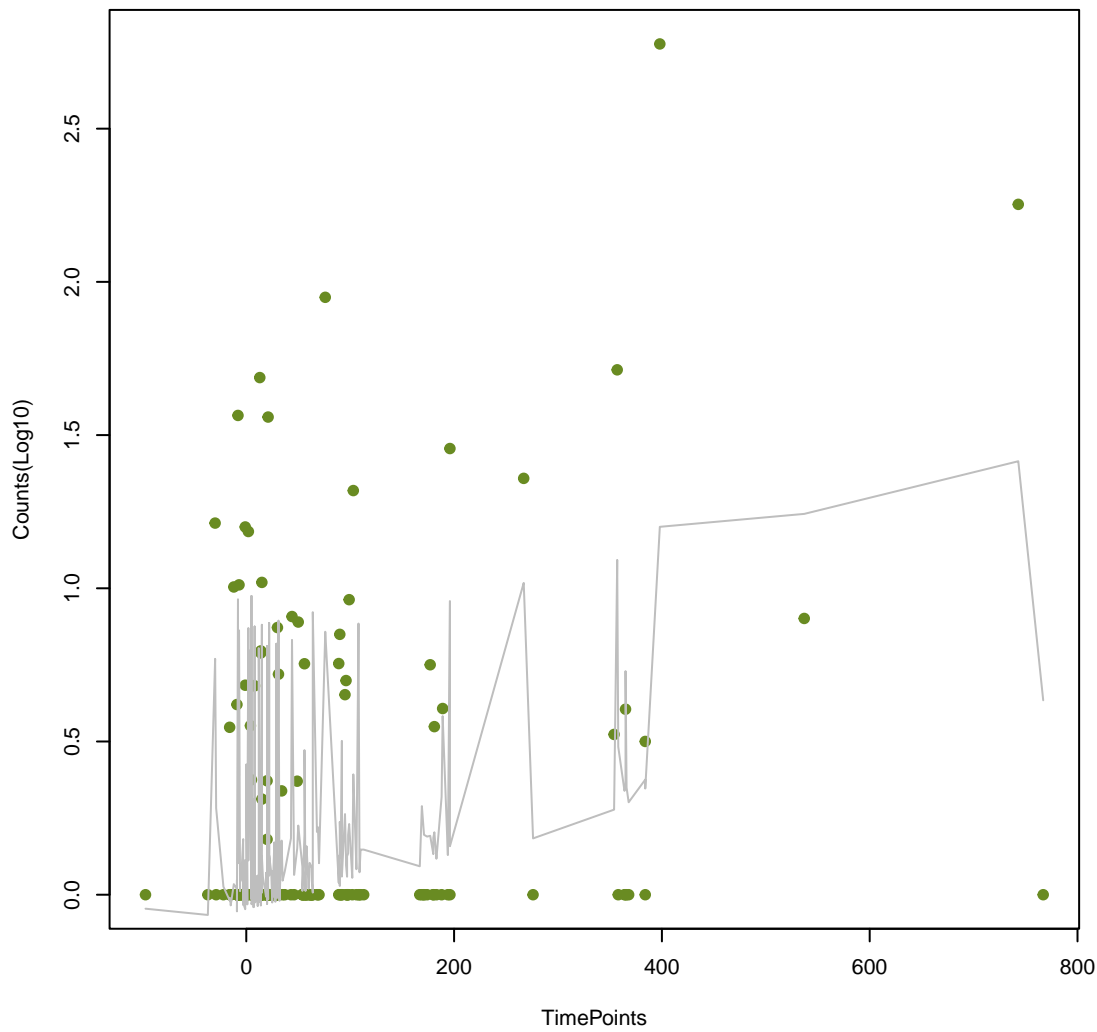
APH(2'')-IVa
ANOVA $P=4.89\text{e-}08$, adj. ANOVA- $P=1.33\text{e-}05$



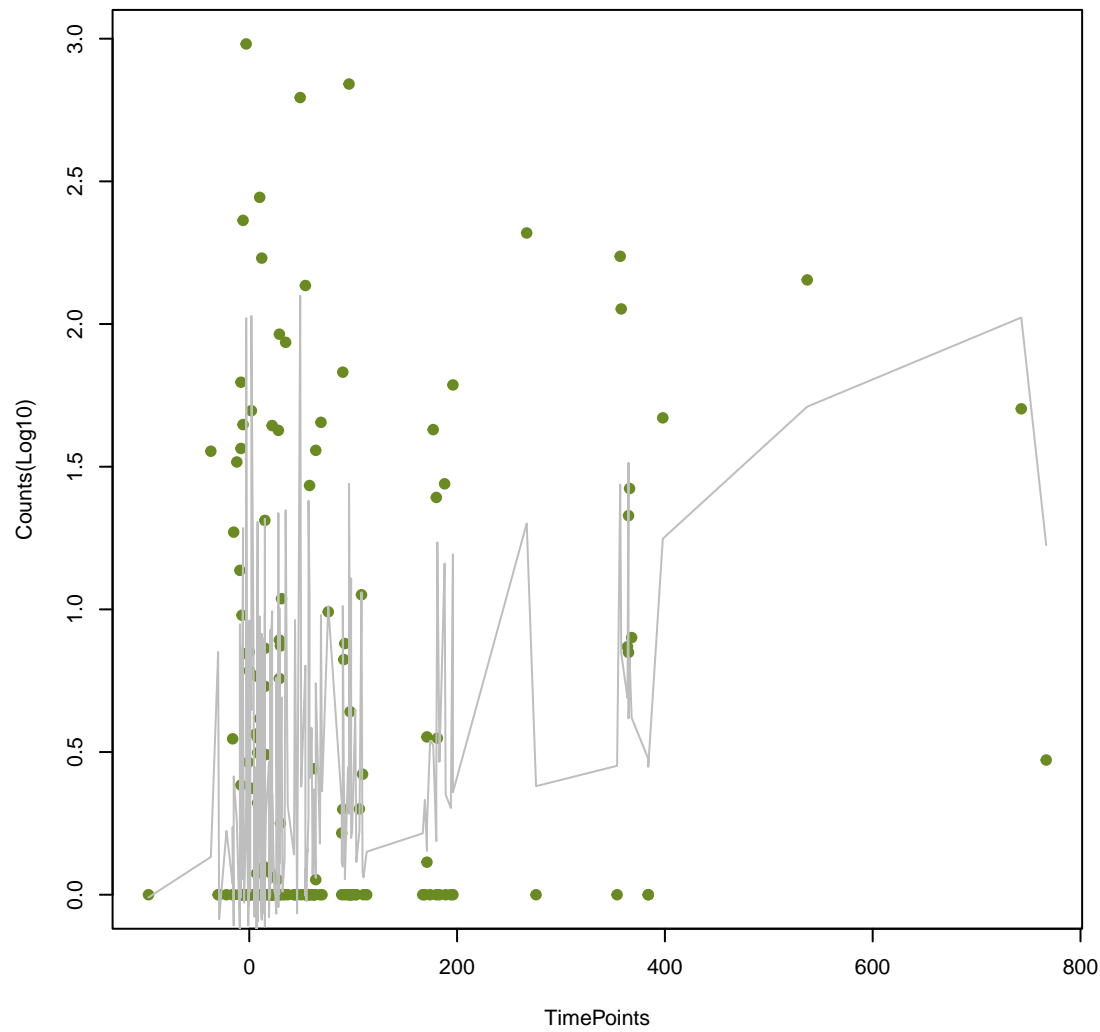
APH(3')-IIIa
ANOVA $P=8.92\text{e-}08$, adj. ANOVA- $P=1.33\text{e-}05$



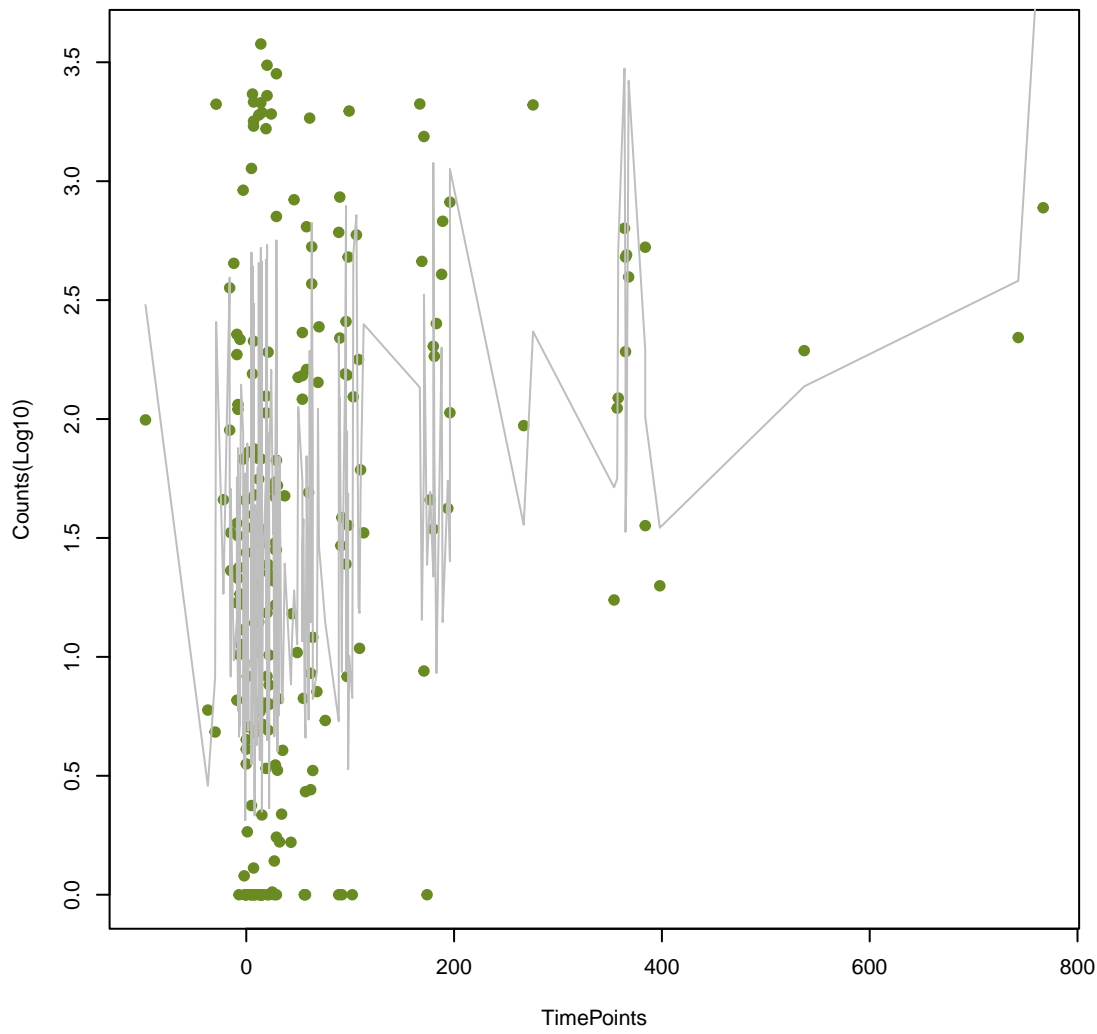
Spyo_Erma_MLSb
ANOVA $P=1.09\text{e-}06$, adj. ANOVA- $P=0.000108$



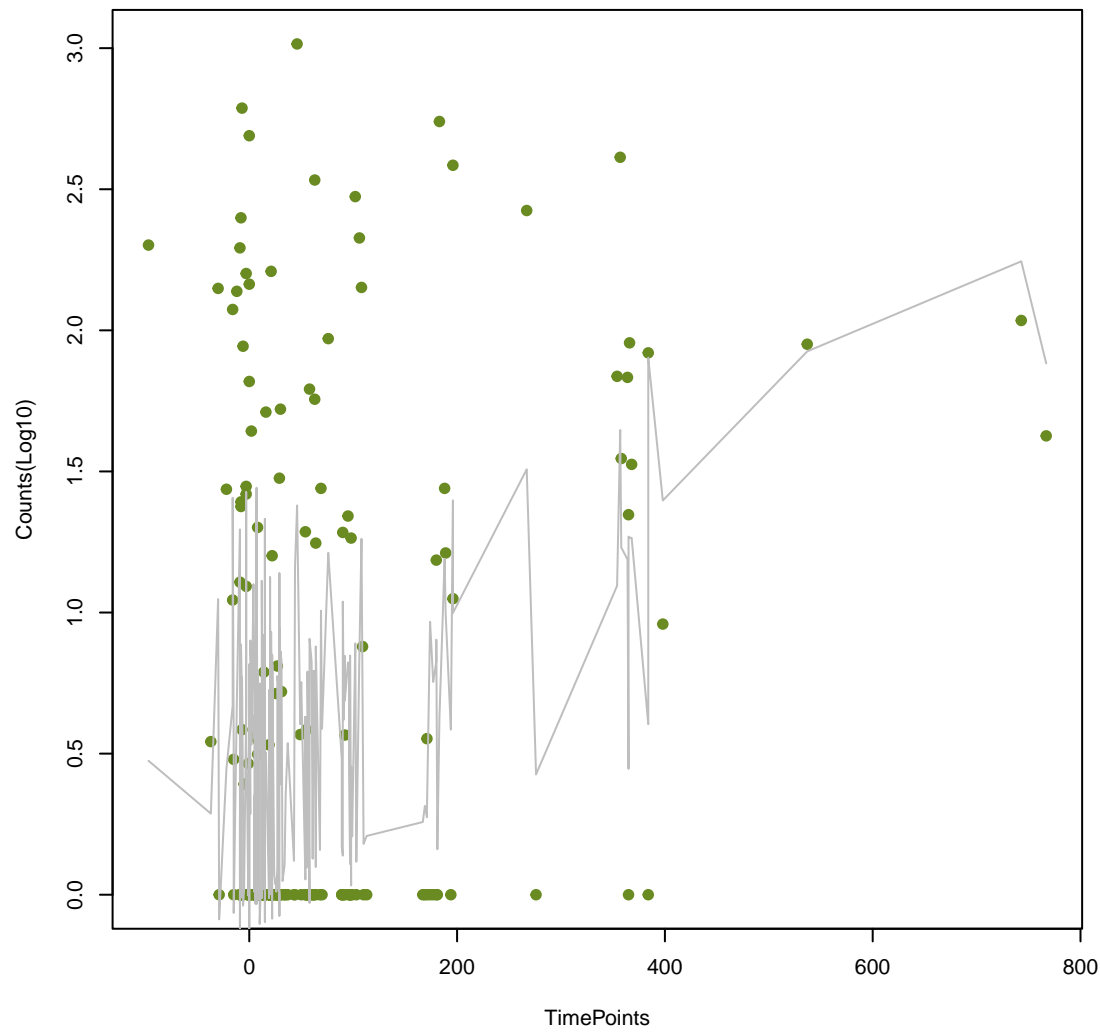
Erm(52)
ANOVA $P=2.61\text{e-}06$, adj. ANOVA- $P=0.000195$



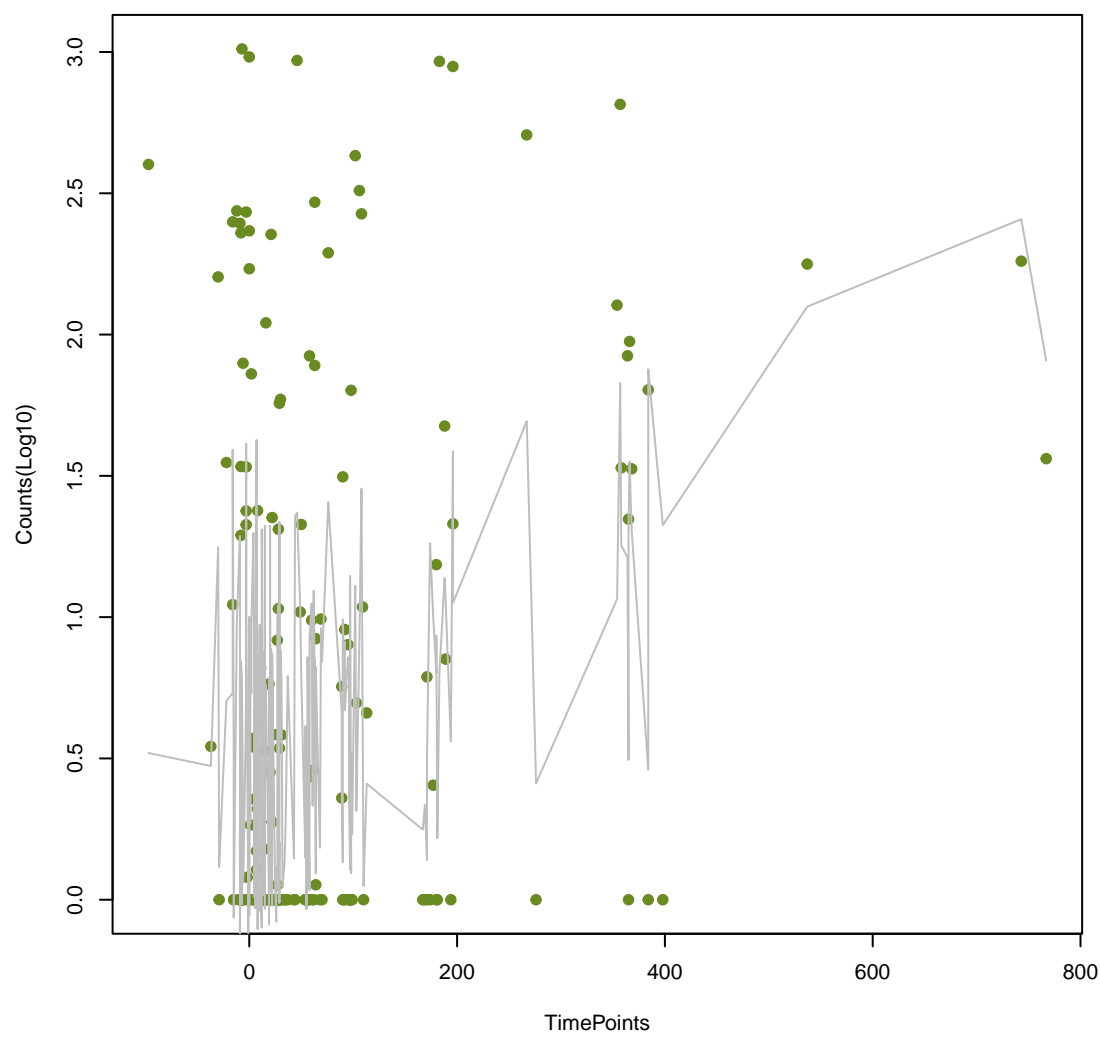
SAT-4
ANOVA $P=4.19\text{e-}06$, adj. ANOVA- $P=0.000219$



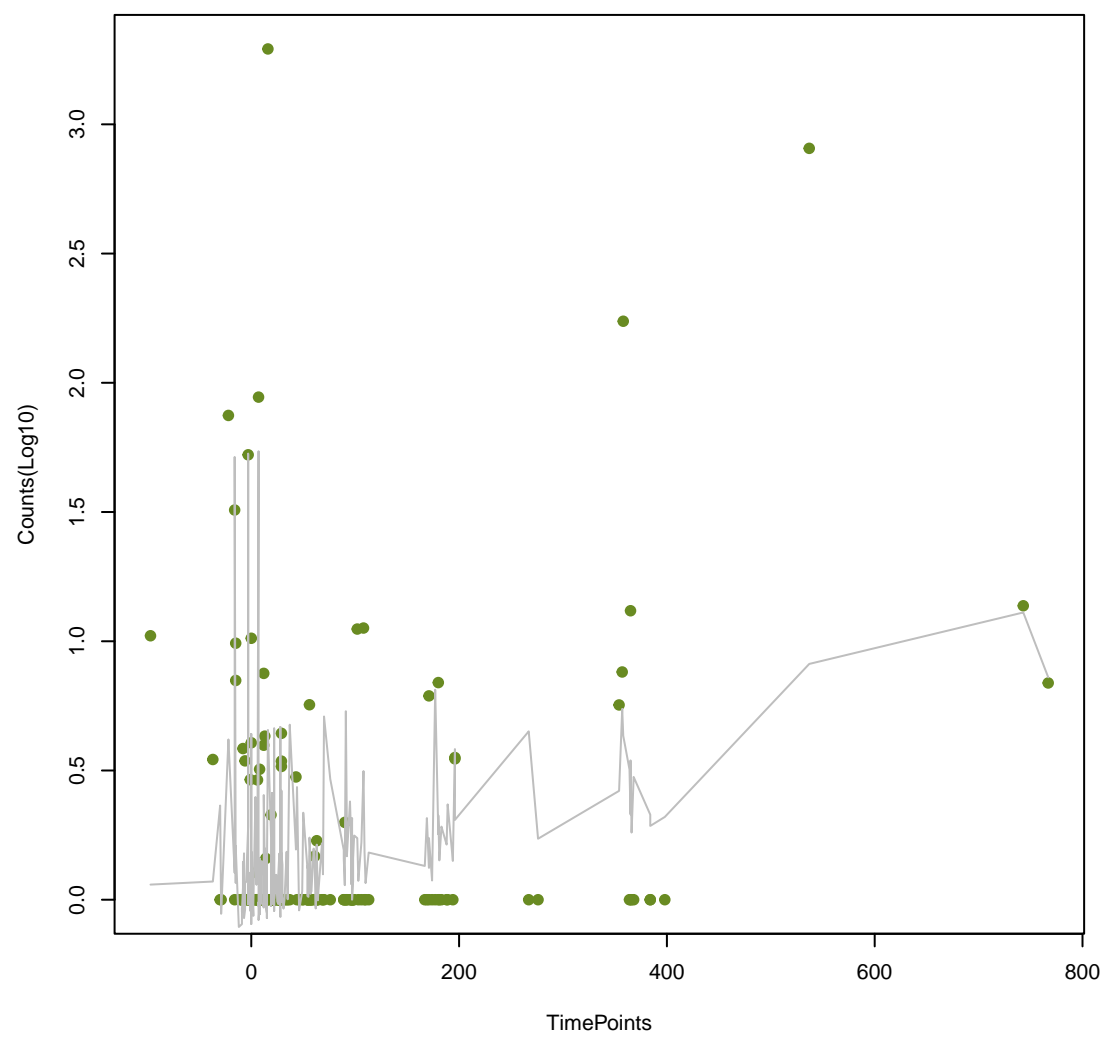
AAC(6')-Im
ANOVA $P=4.39\text{e-}06$, adj. ANOVA- $P=0.000219$



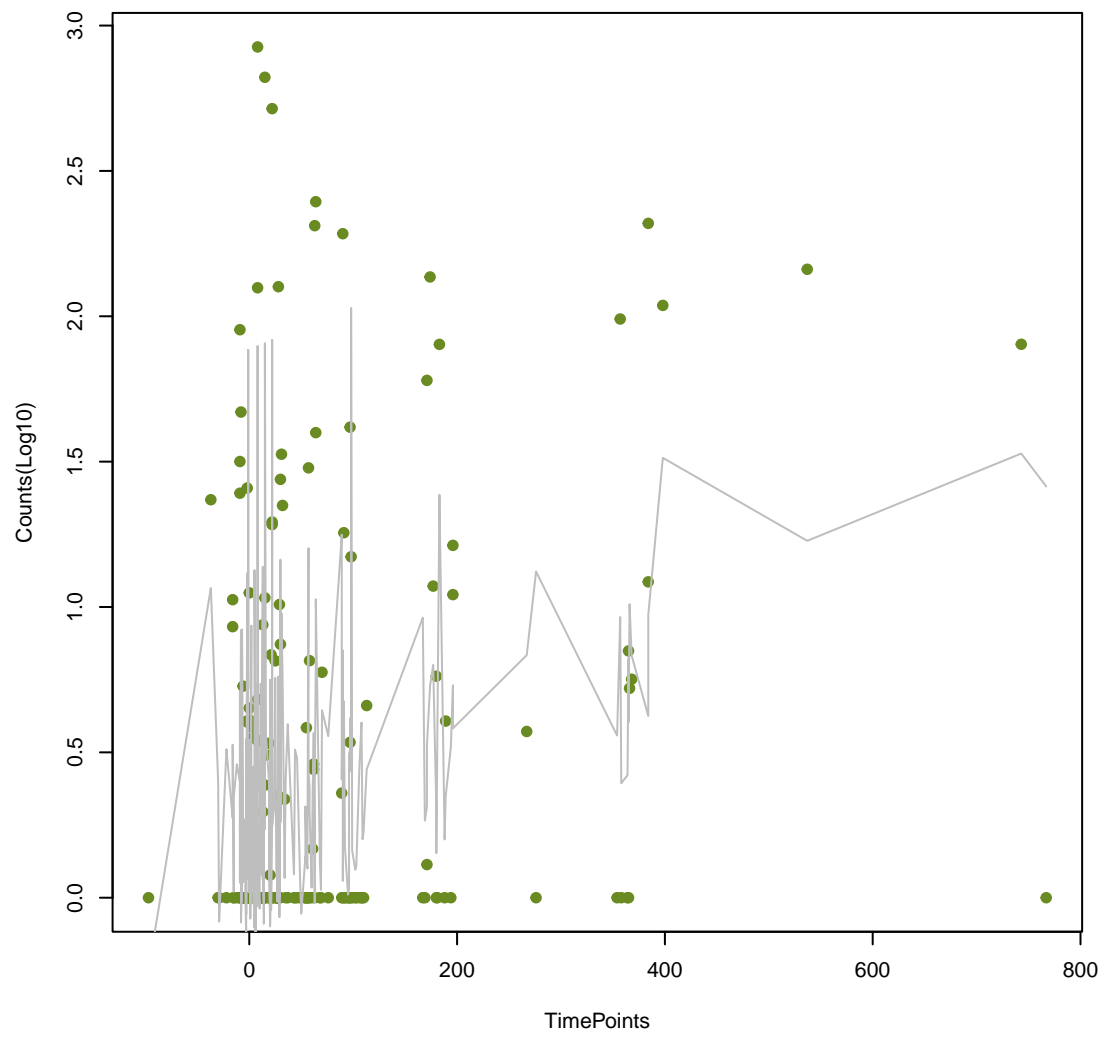
APH(2'')-IIa
ANOVA $P=1.36e-05$, adj. ANOVA- $P=0.000582$



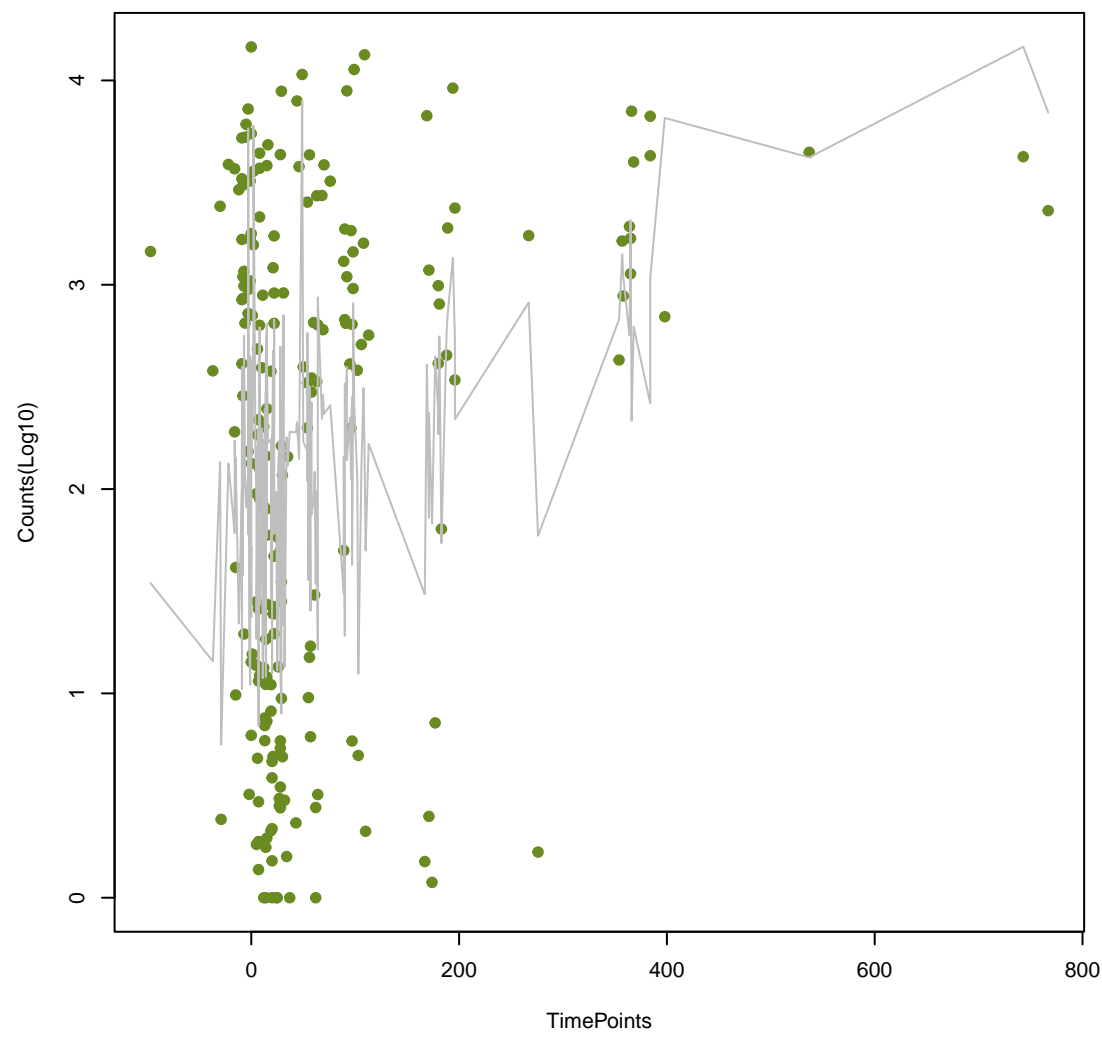
APH(2'')-If
ANOVA $P=5.05e-05$, adj. ANOVA- $P=0.00189$



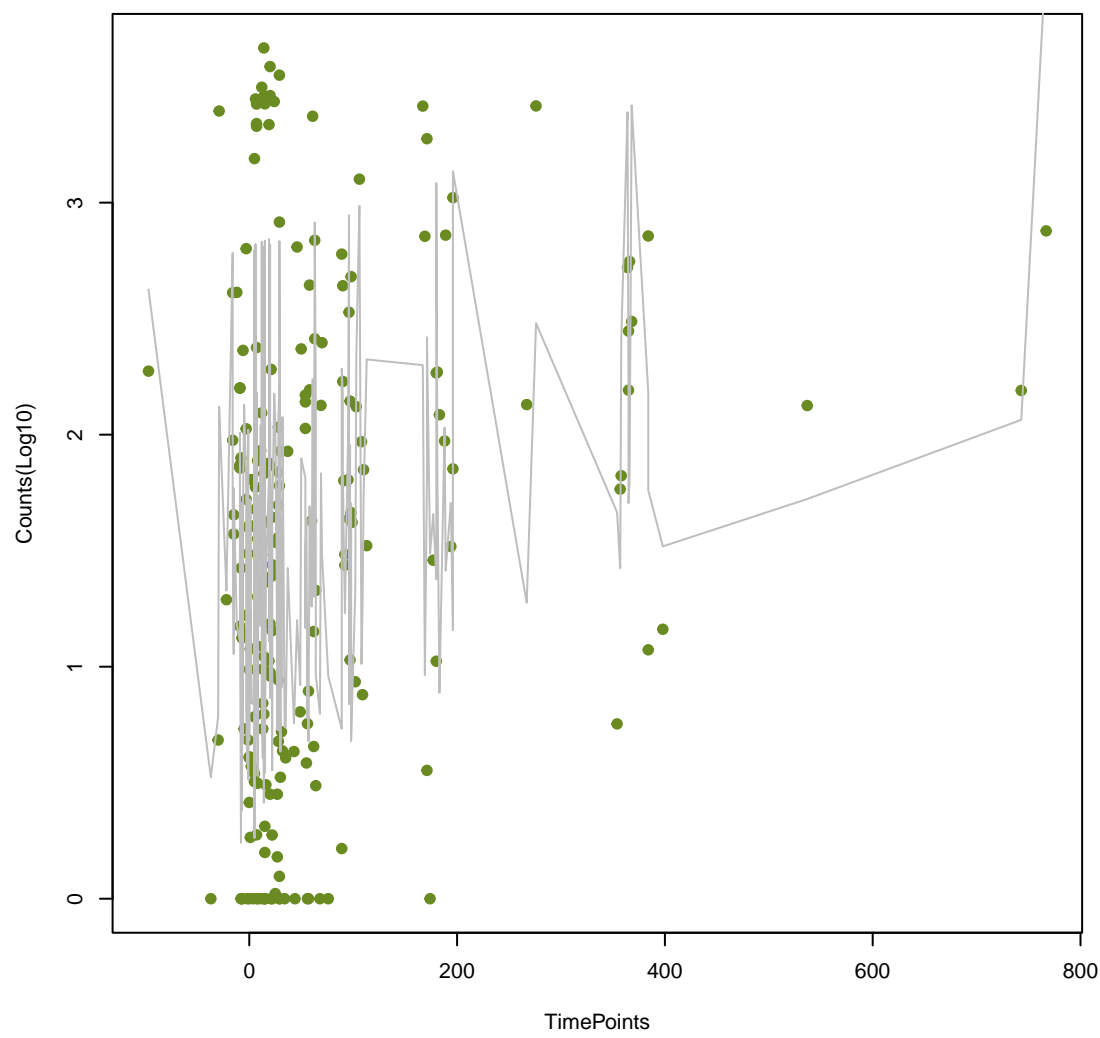
Ecol_ampC_BLA
ANOVA $P=7.37e-05$, adj. ANOVA- $P=0.00245$



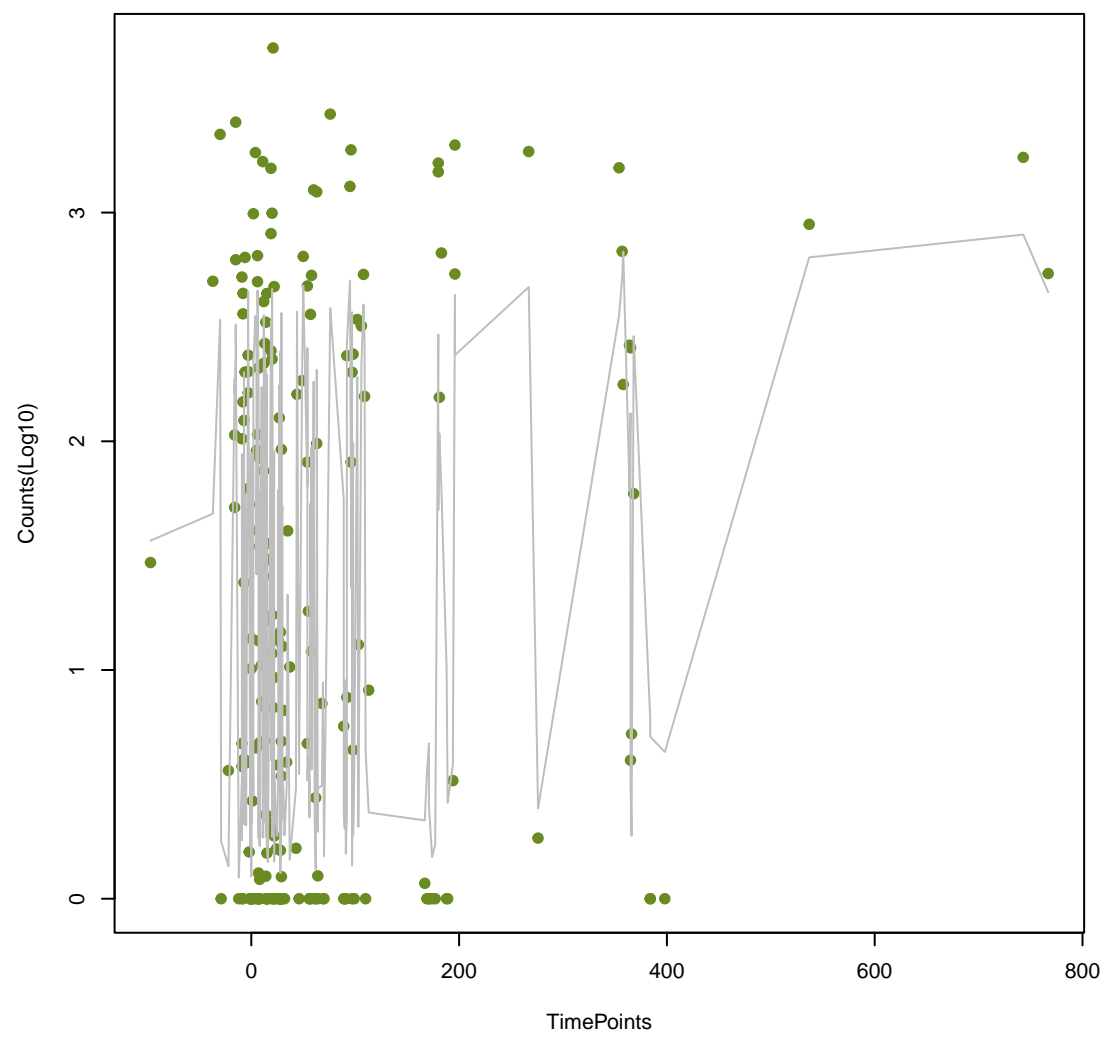
tet(40)
ANOVA $P=9.42e-05$, adj. ANOVA- $P=0.00282$

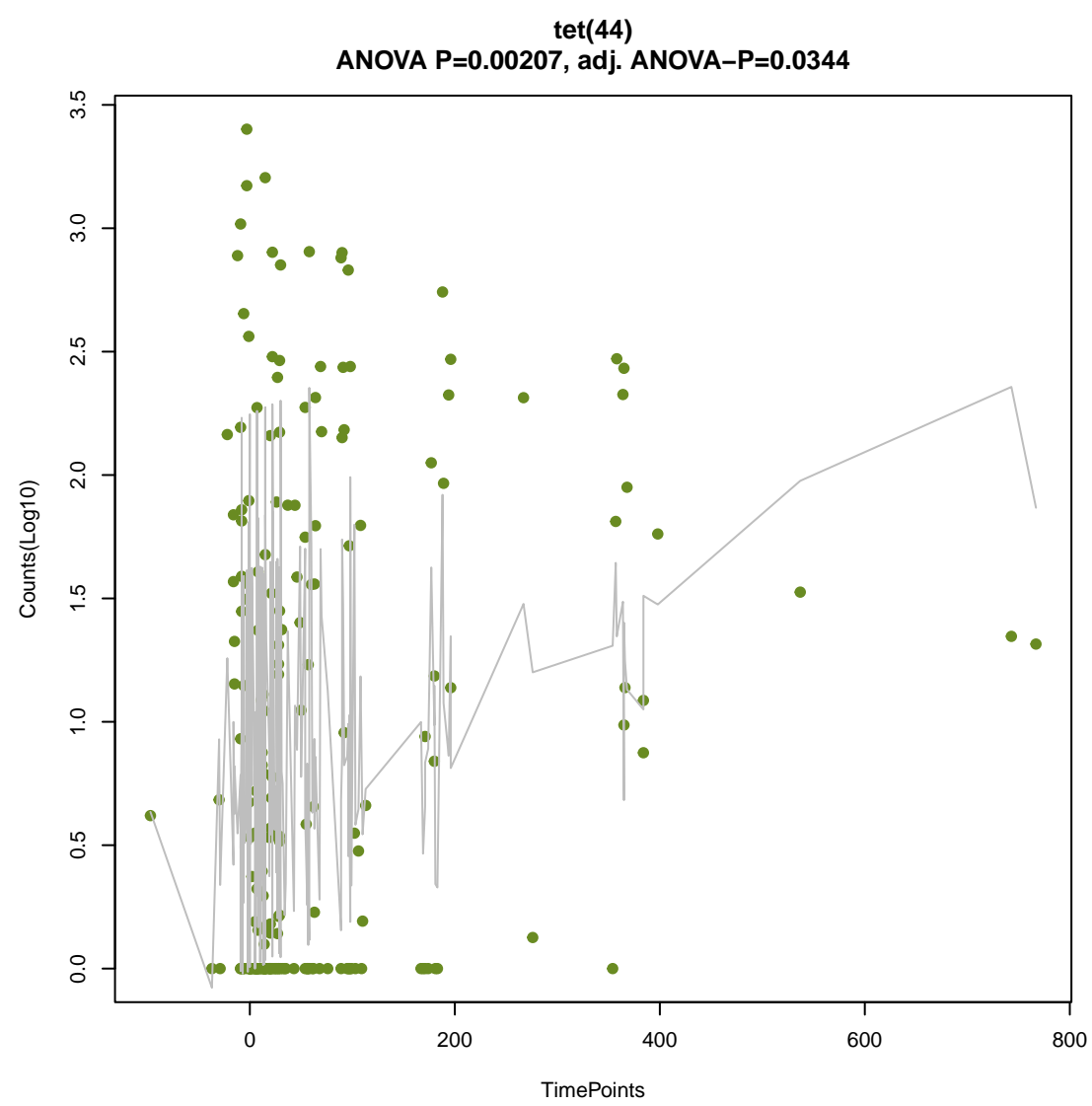
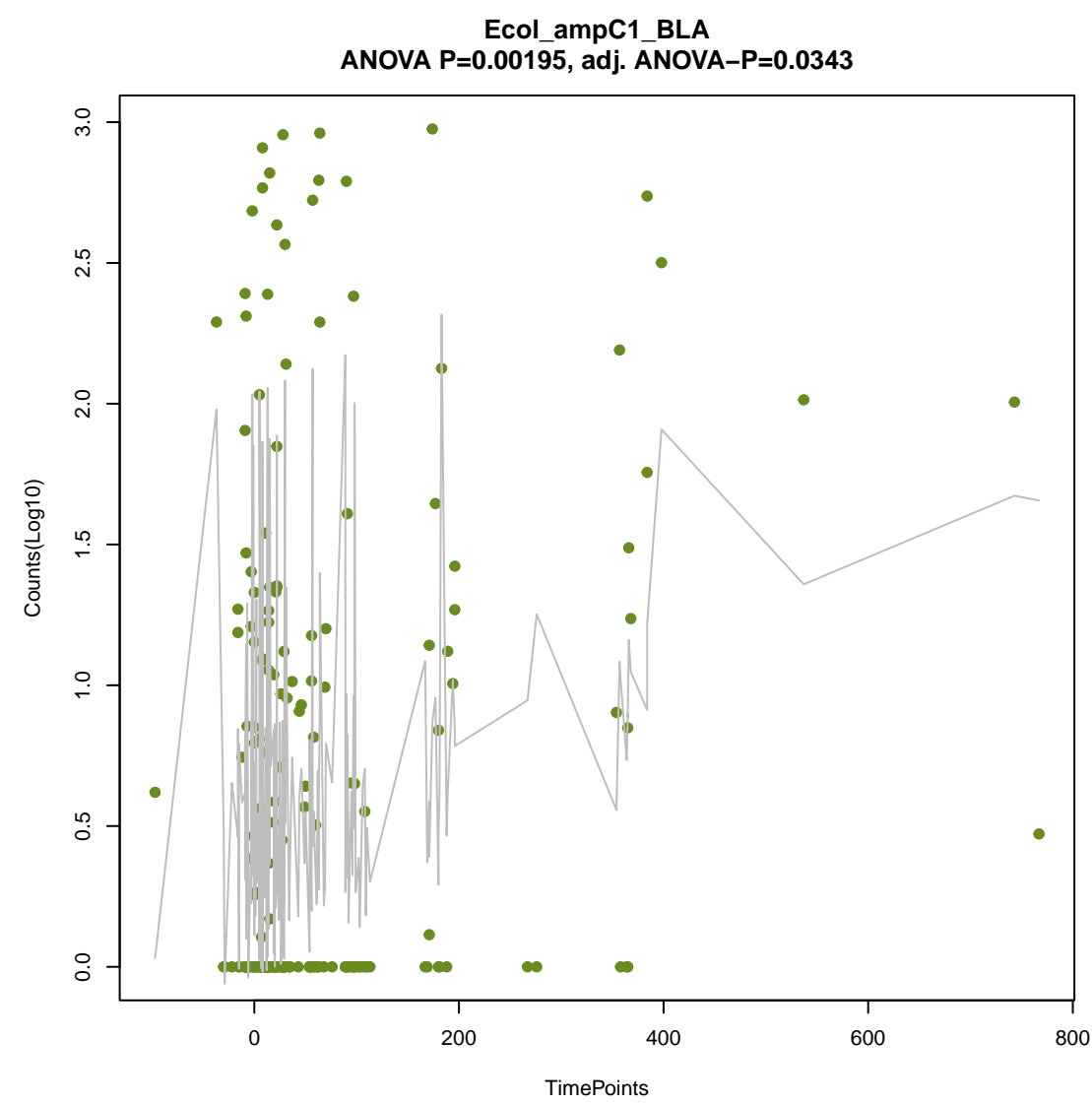
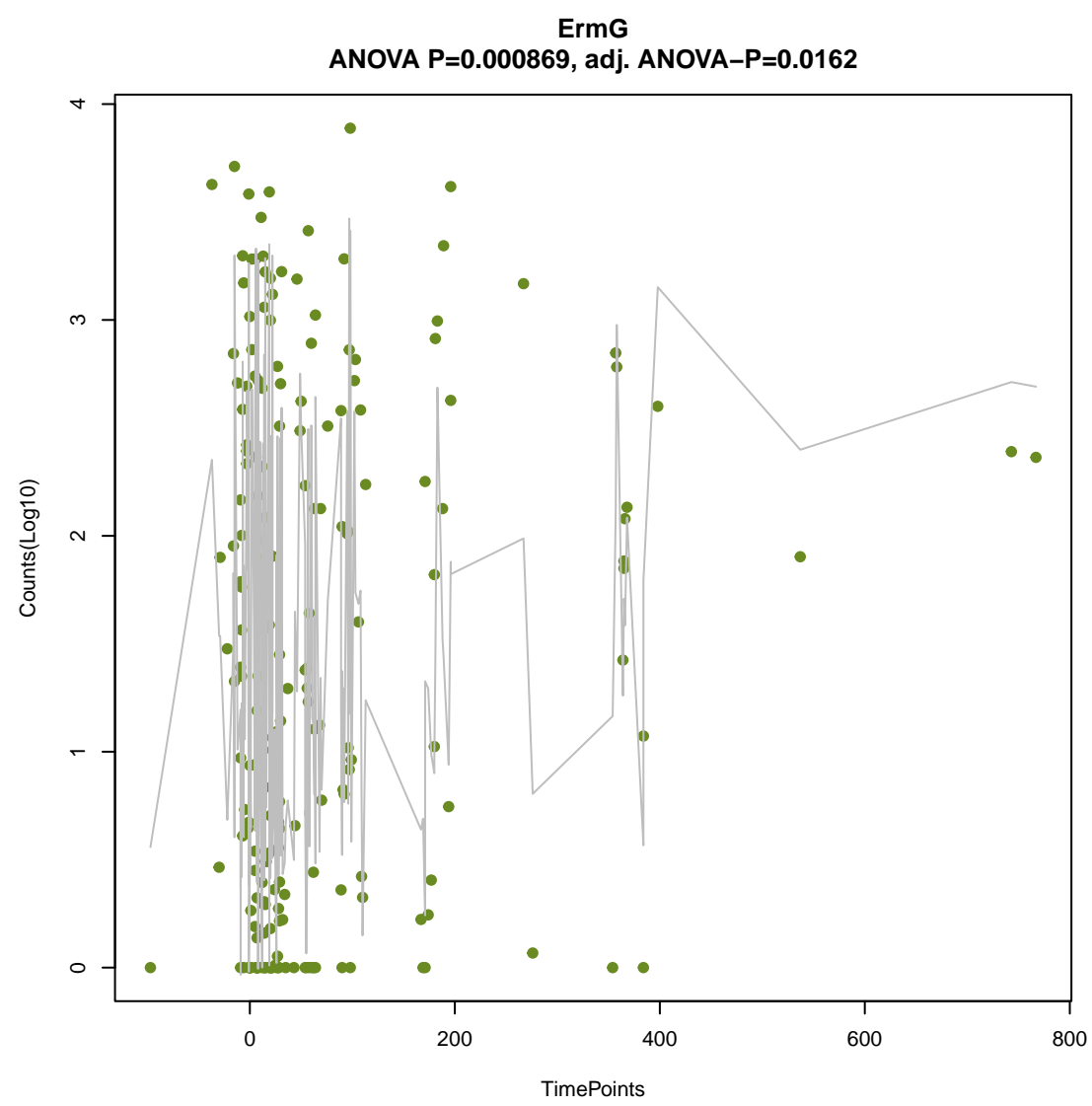
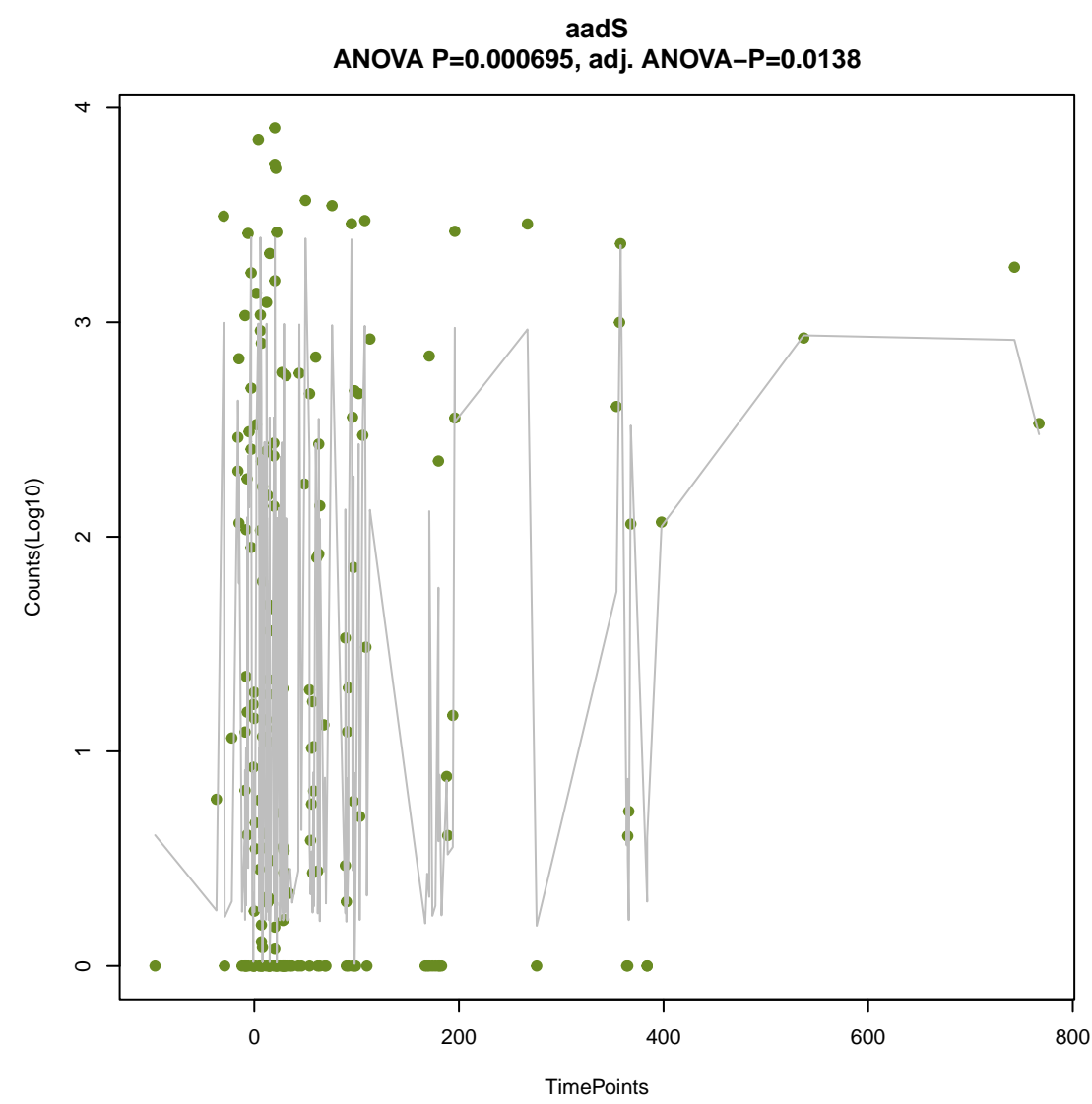
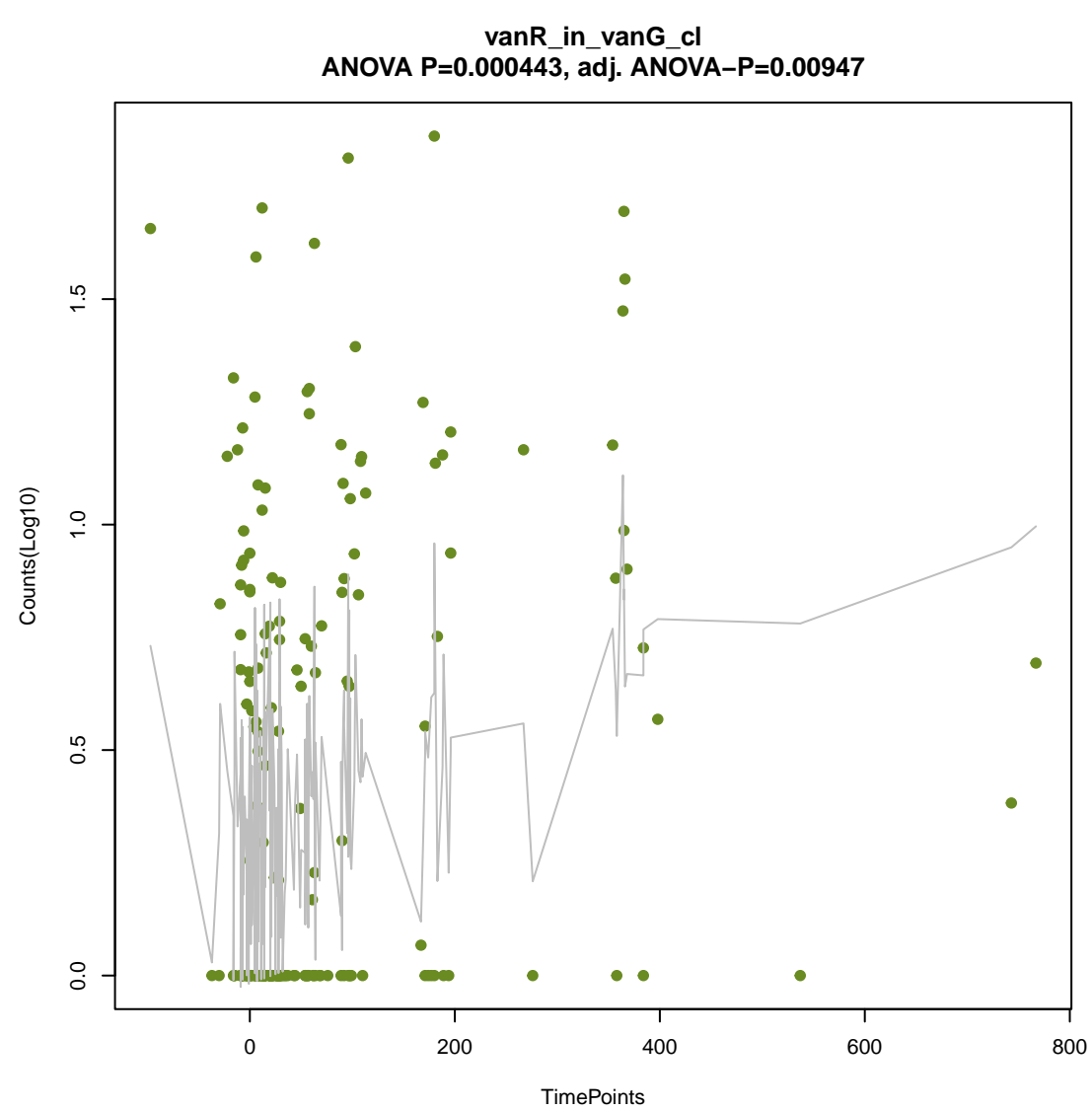
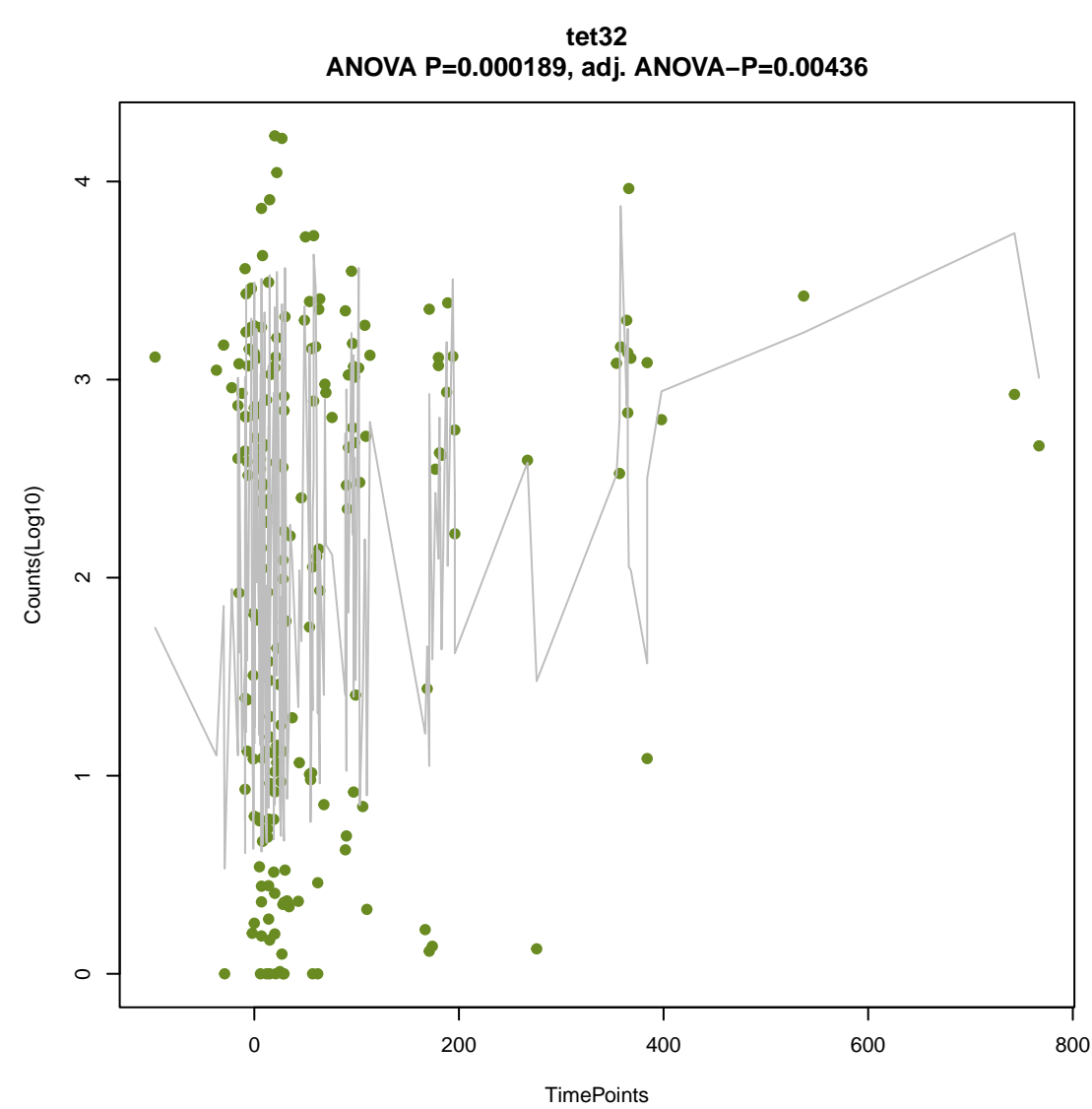


aad(6)
ANOVA $P=0.000141$, adj. ANOVA- $P=0.00383$



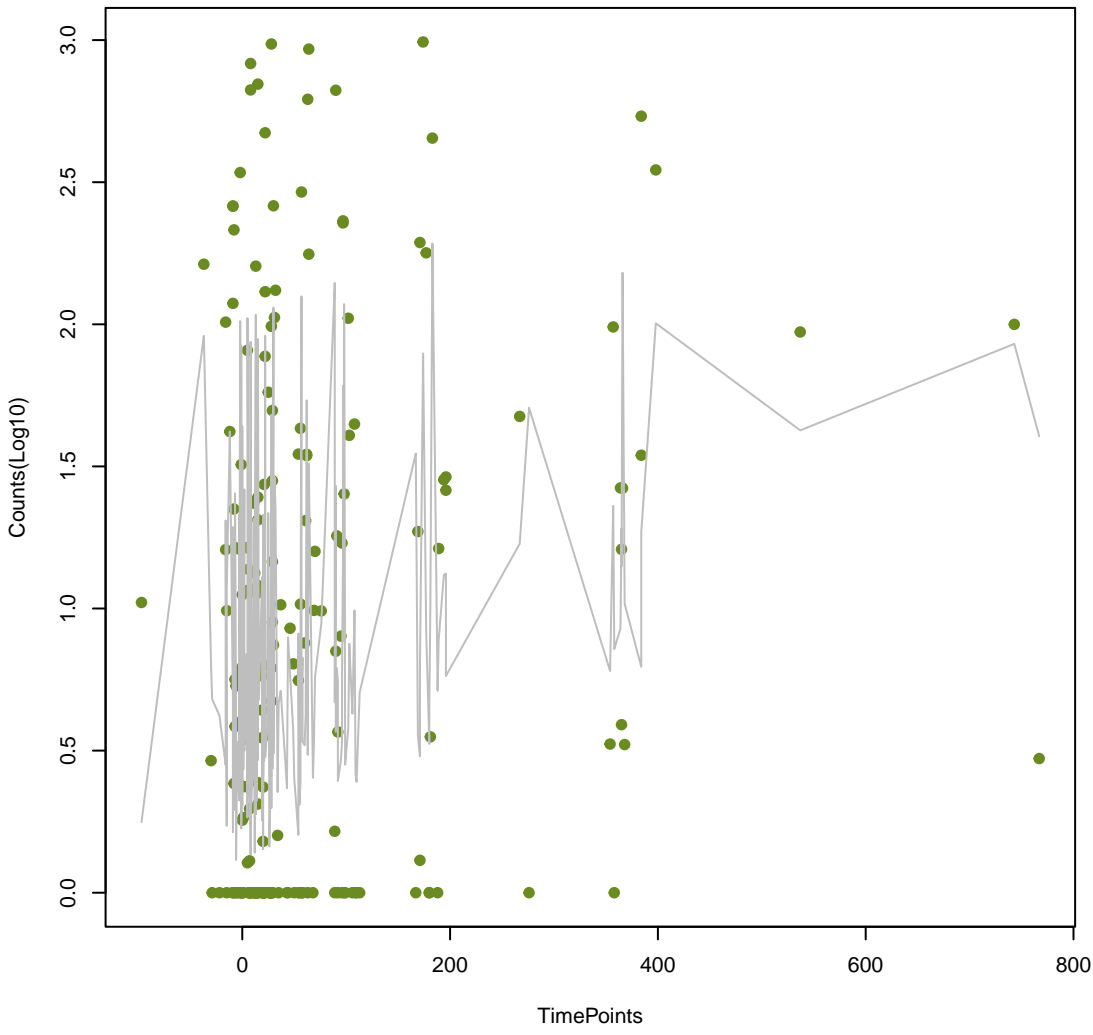
CblA-1
ANOVA $P=0.000188$, adj. ANOVA- $P=0.00436$





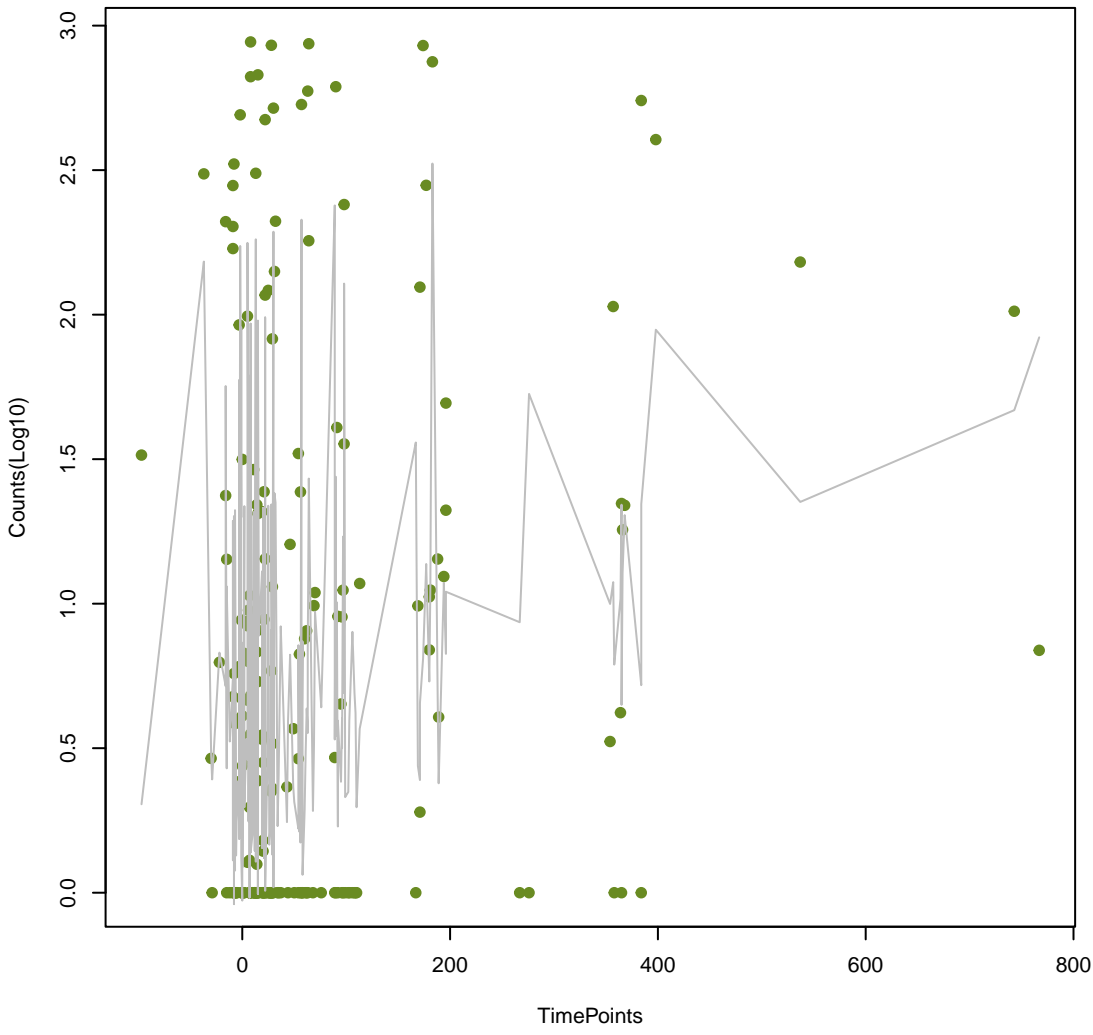
baeS

ANOVA P=0.00305, adj. ANOVA-P=0.0481



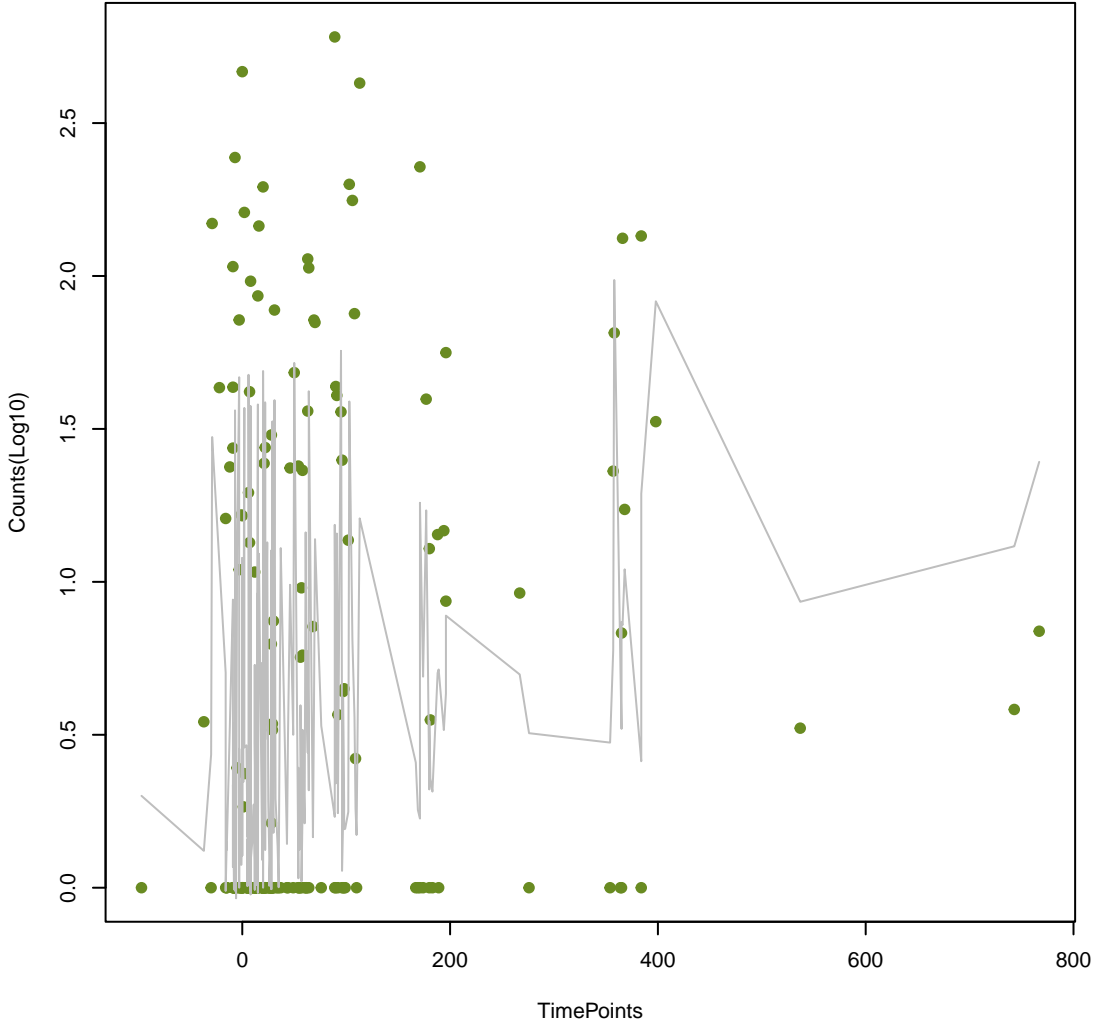
mdtE

ANOVA P=0.00324, adj. ANOVA-P=0.0485



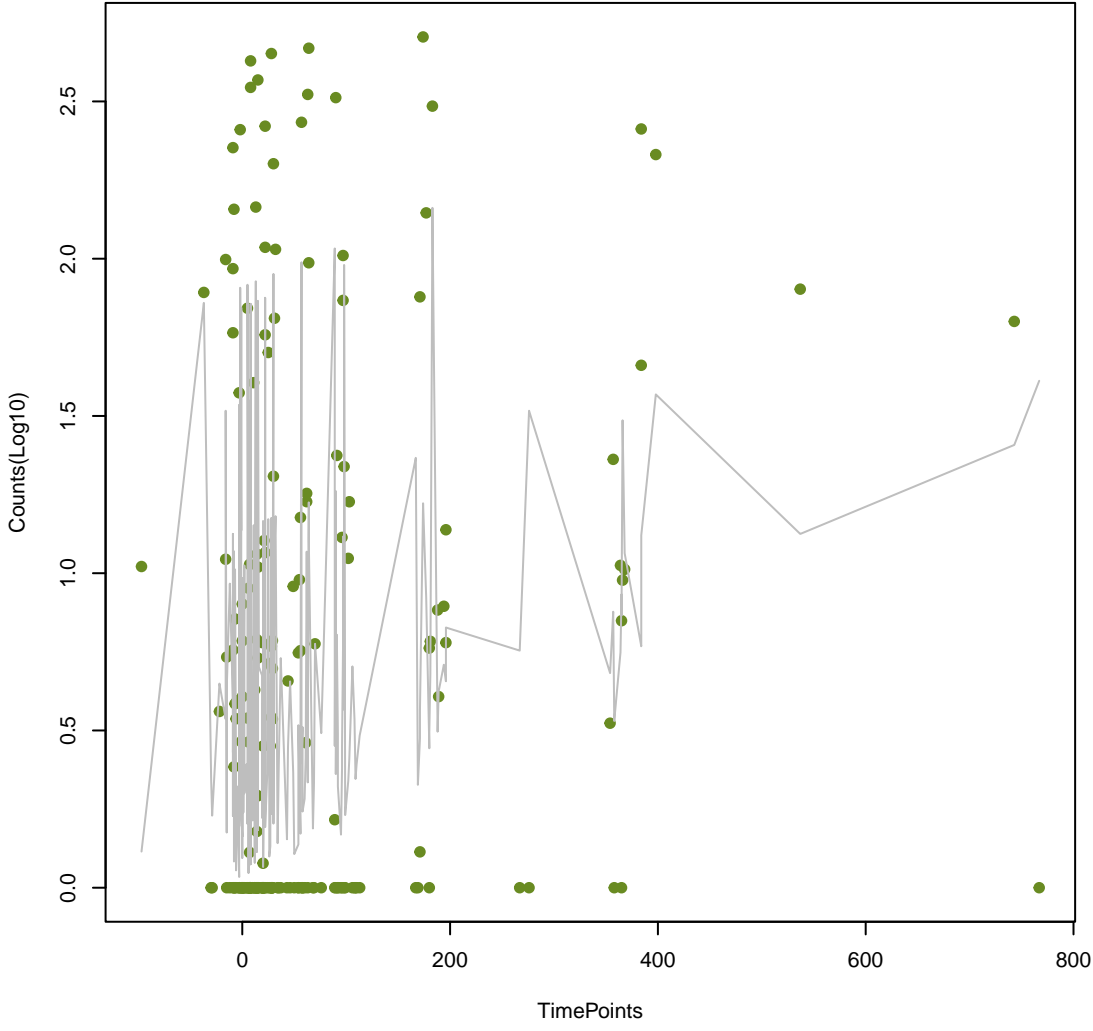
vanY_in_vanD_cl

ANOVA P=0.00381, adj. ANOVA-P=0.0542



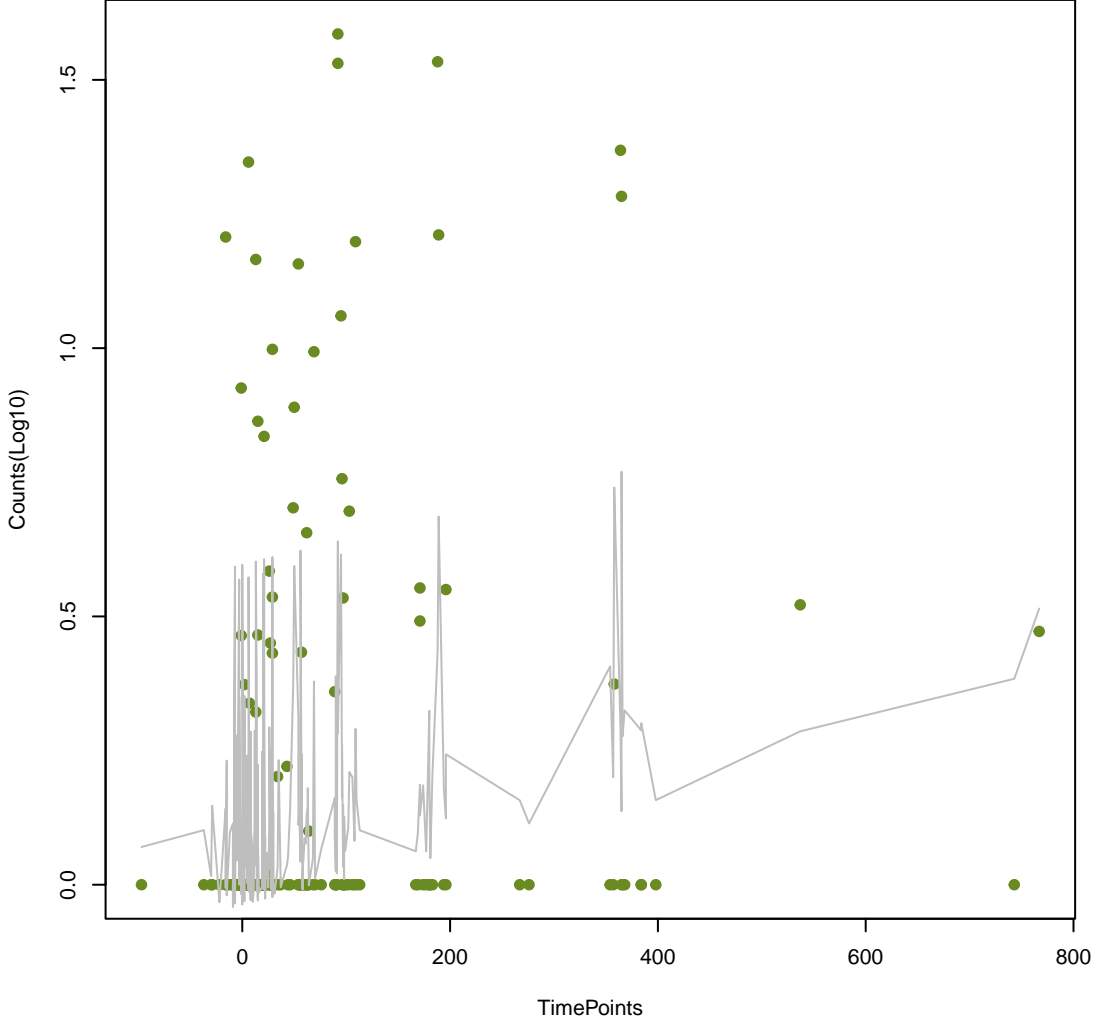
baeR

ANOVA P=0.00476, adj. ANOVA-P=0.0647



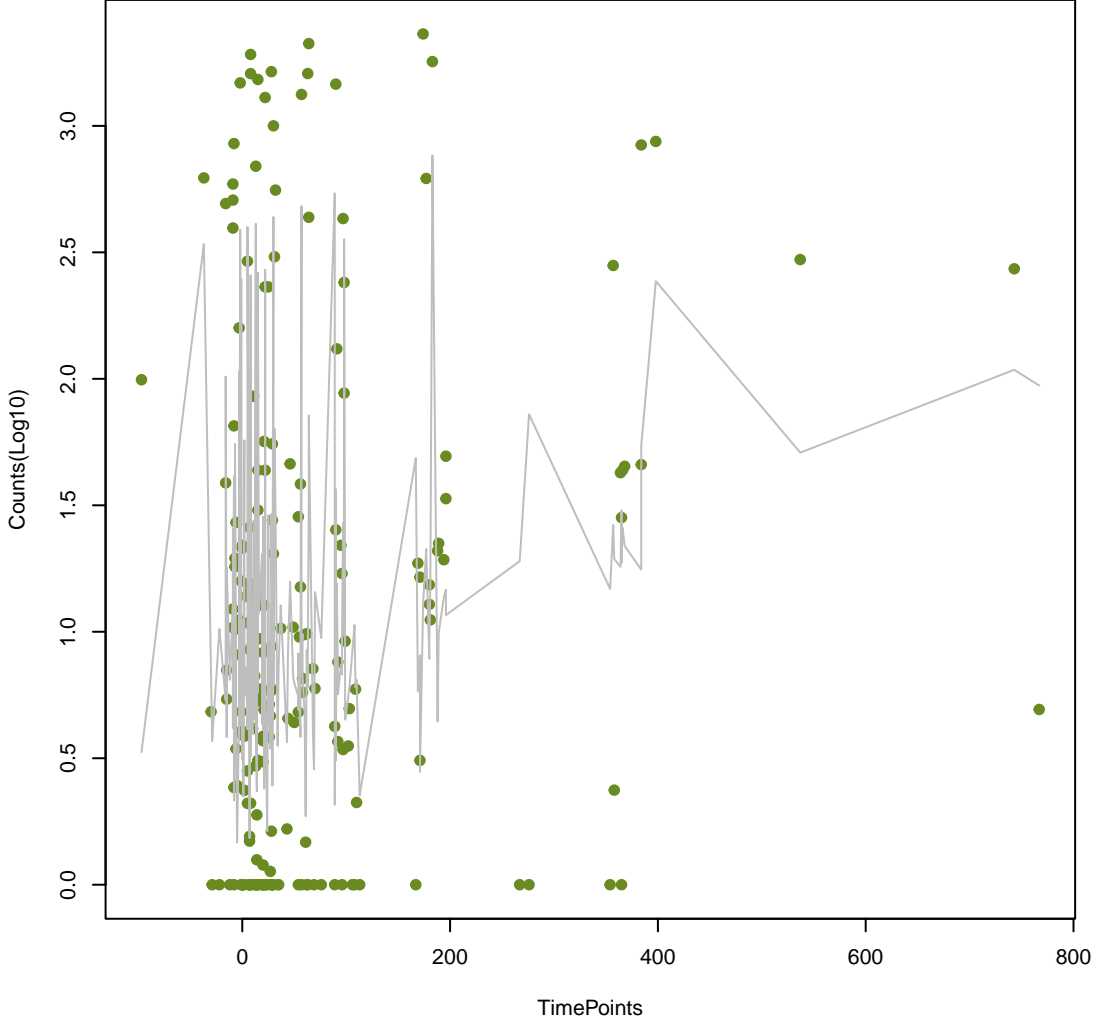
tmrB

ANOVA P=0.0056, adj. ANOVA-P=0.0682

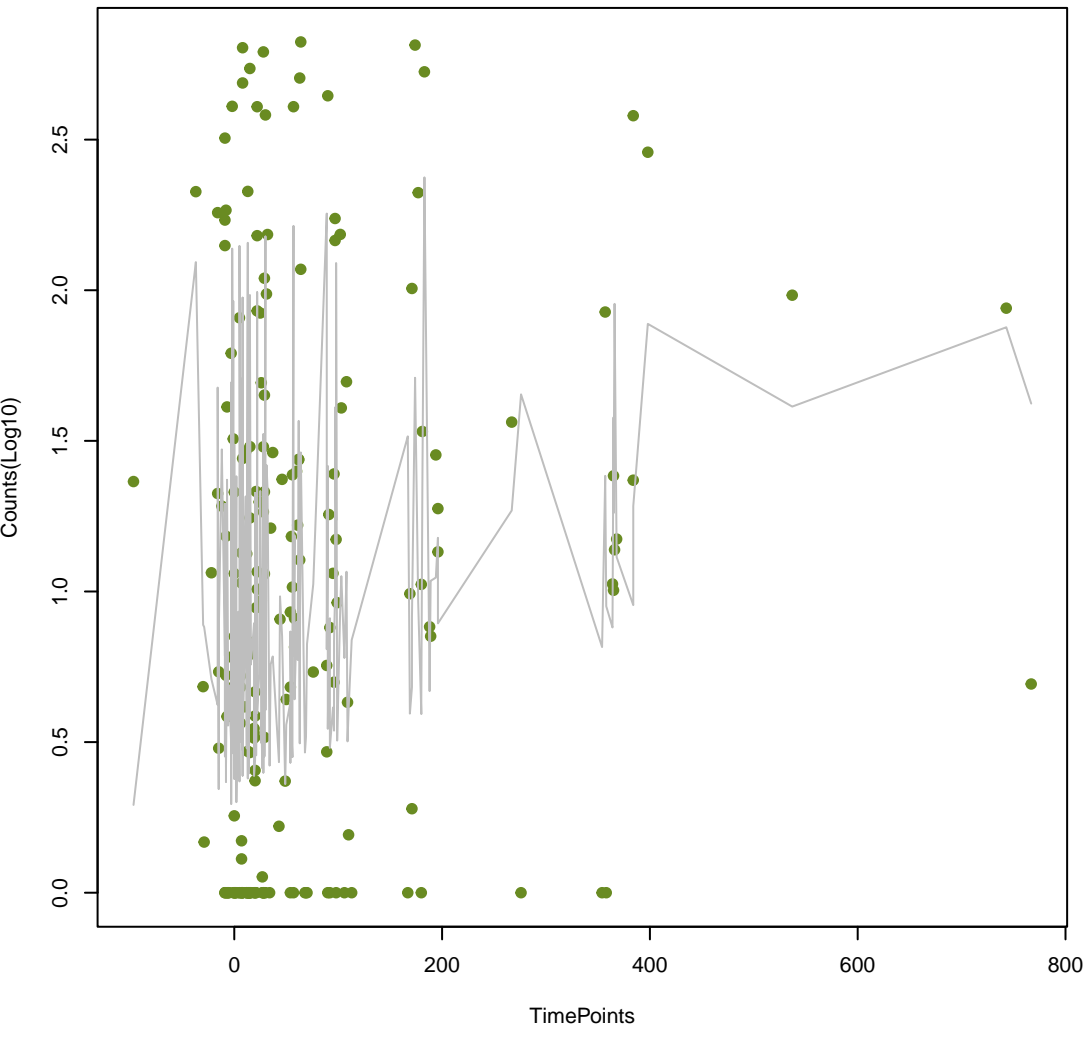


evgS

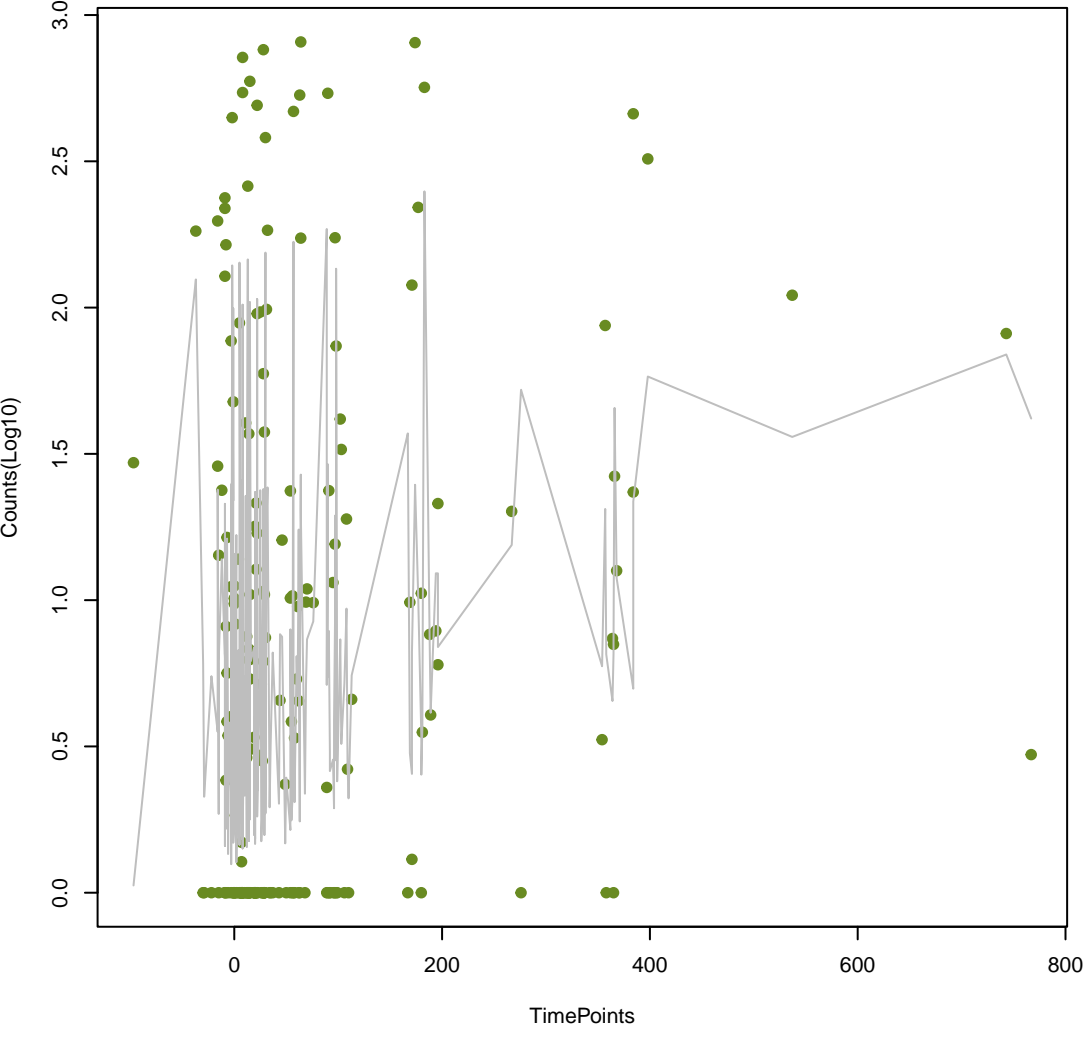
ANOVA P=0.00619, adj. ANOVA-P=0.0682



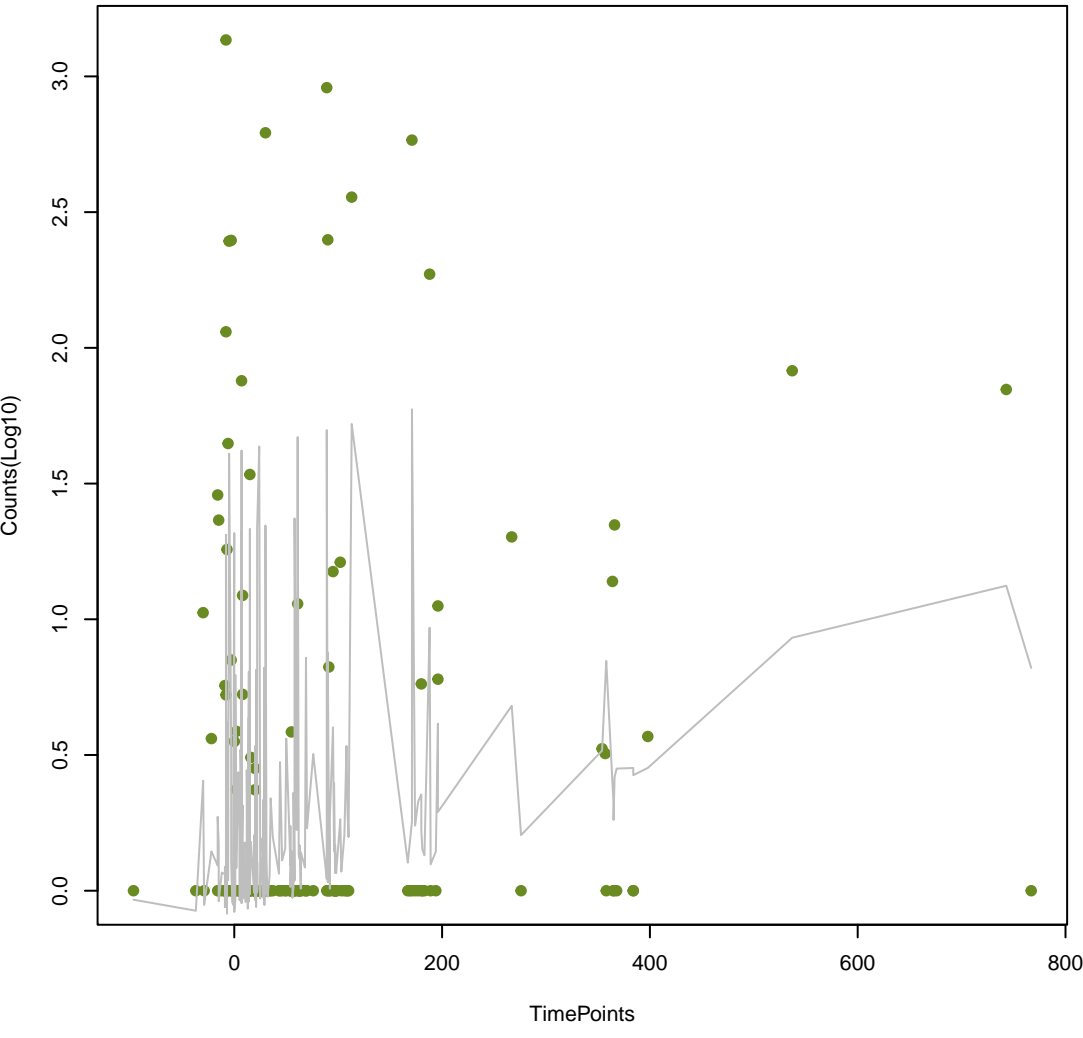
bacA
ANOVA P=0.00623, adj. ANOVA-P=0.0682



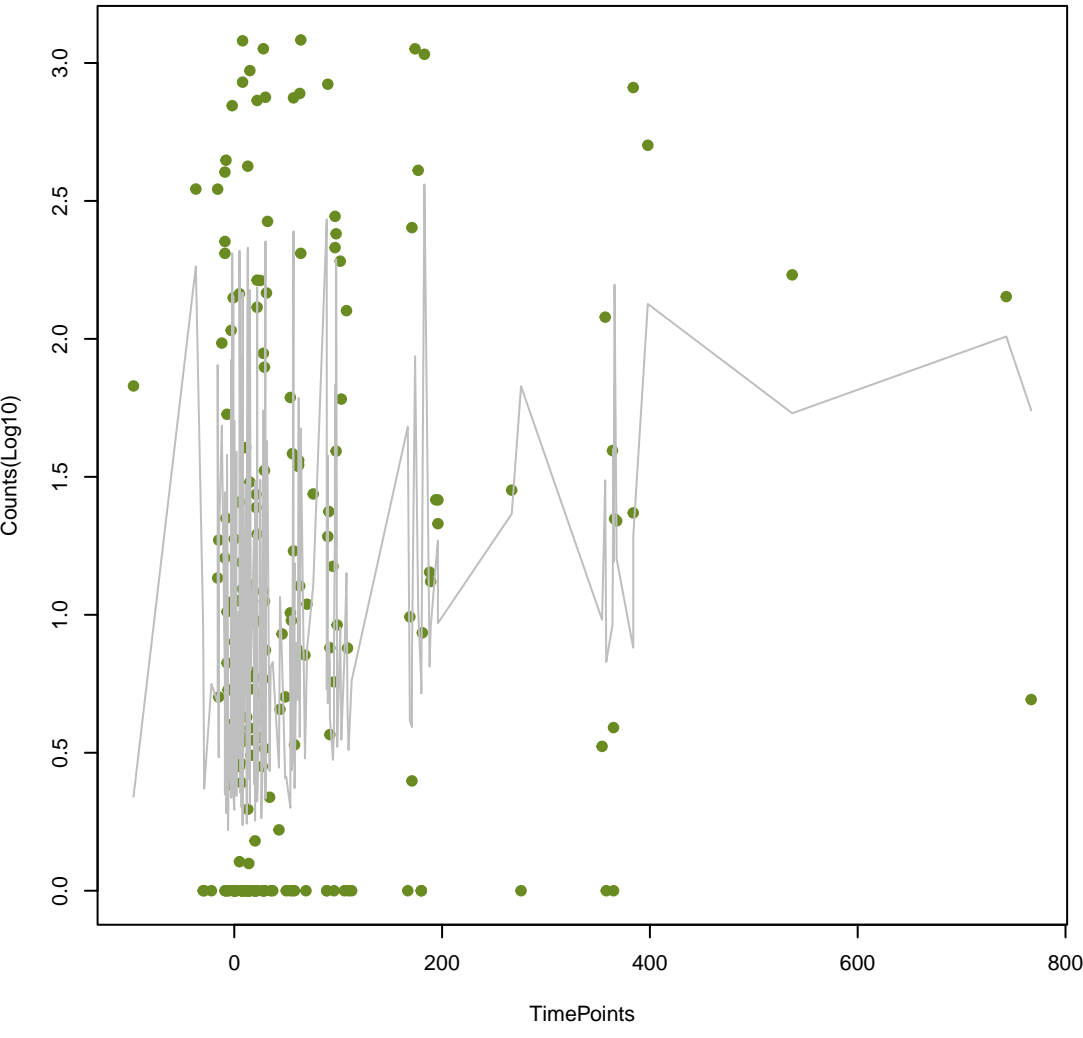
Ecol_ampH_BLA
ANOVA P=0.00637, adj. ANOVA-P=0.0682



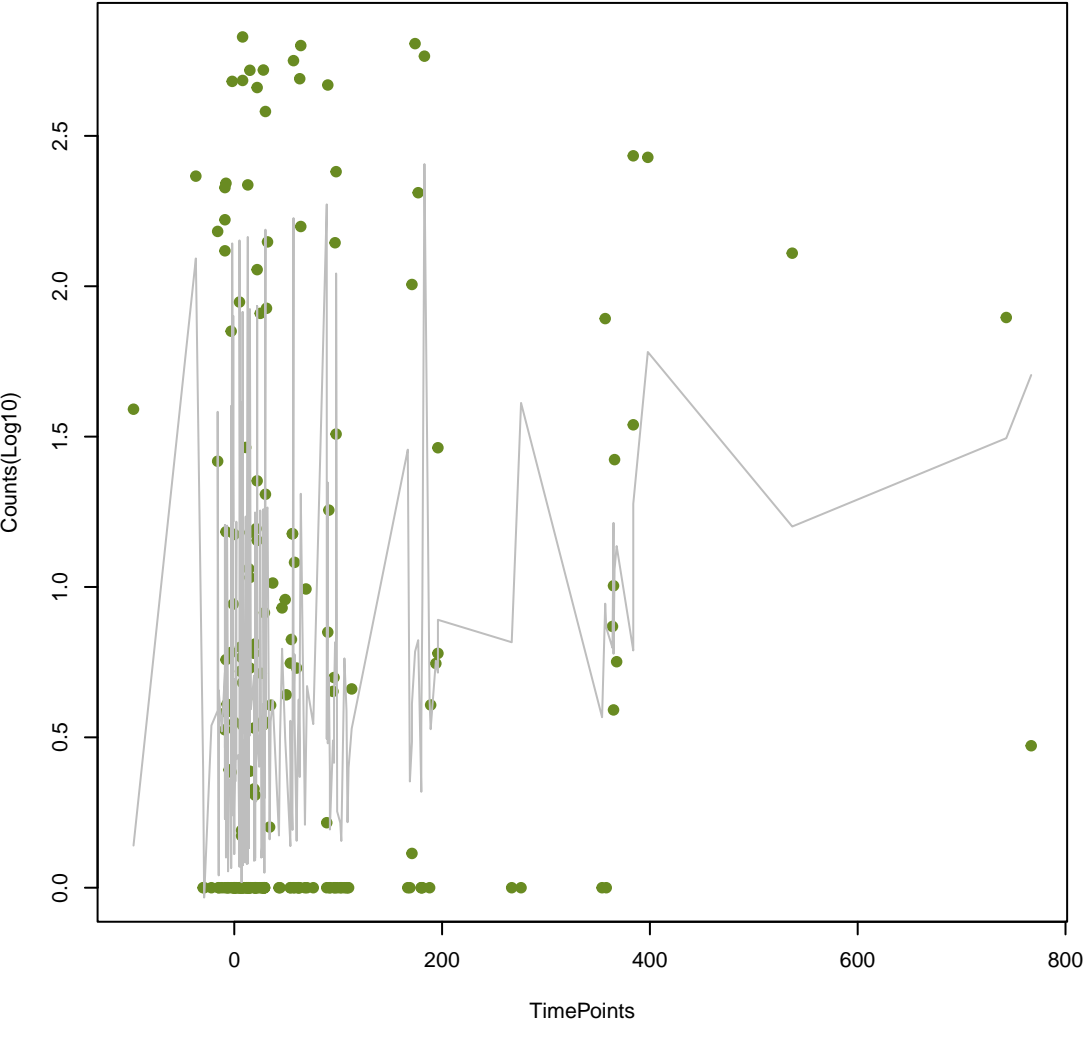
APH(2'')-lg
ANOVA P=0.0064, adj. ANOVA-P=0.0682



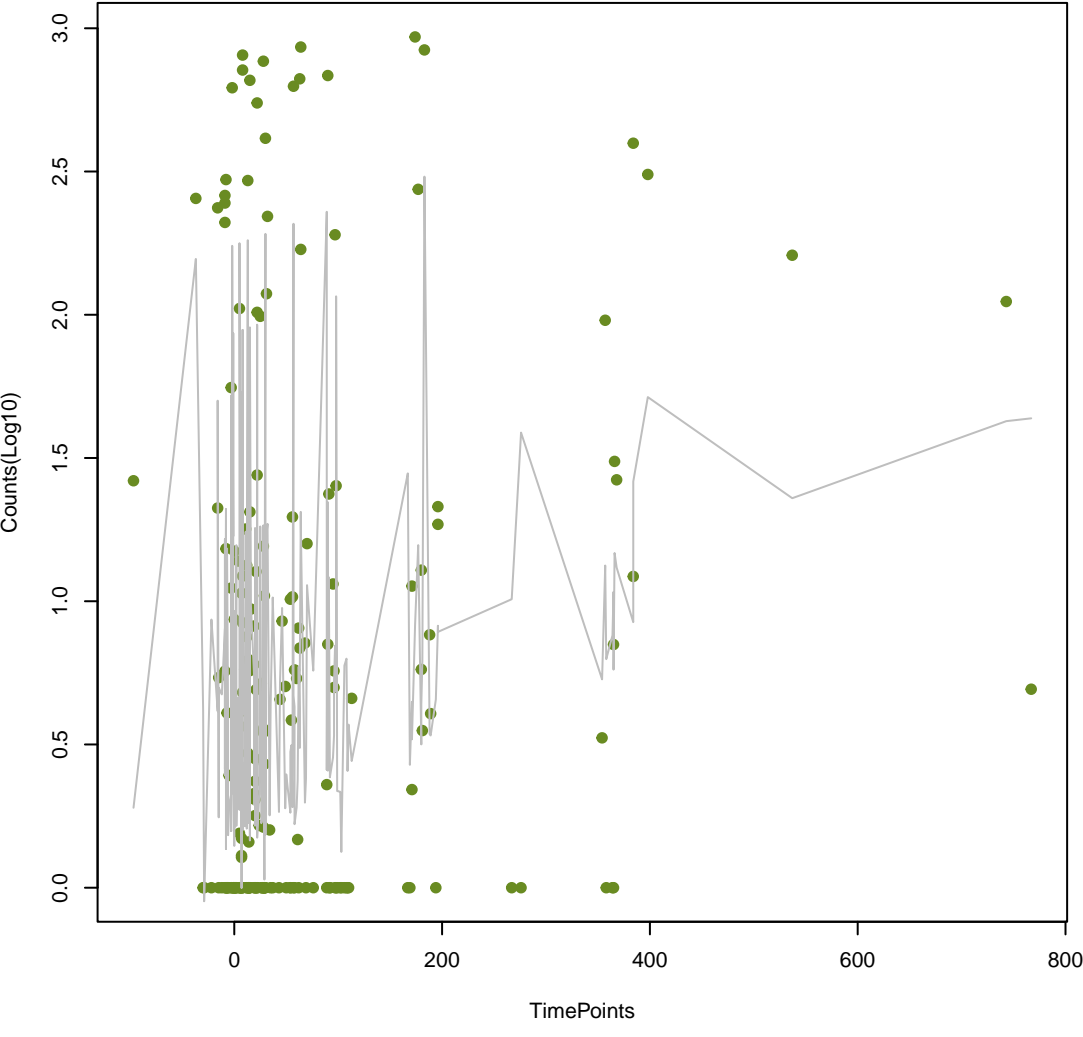
cpxA
ANOVA P=0.00648, adj. ANOVA-P=0.0682



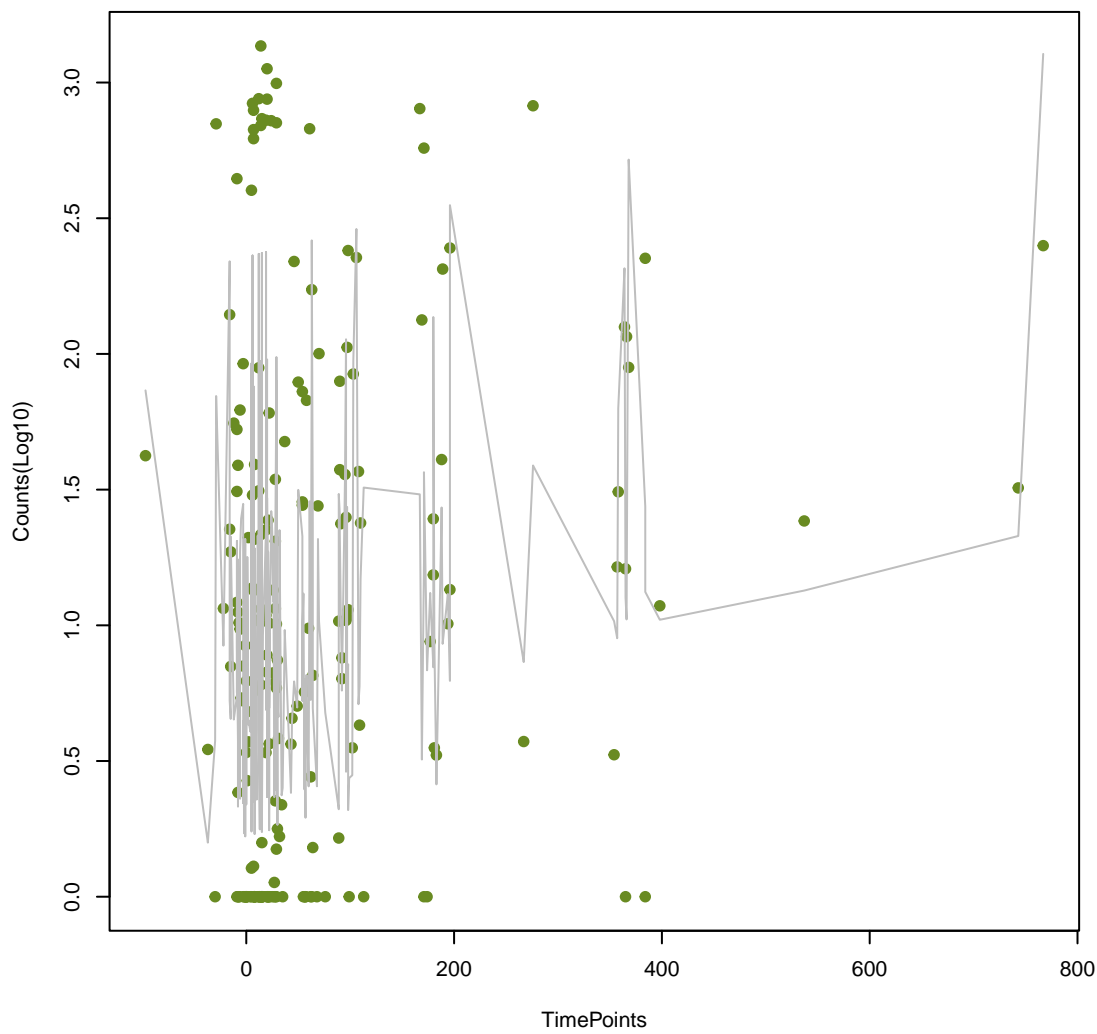
gadX
ANOVA P=0.00662, adj. ANOVA-P=0.0682



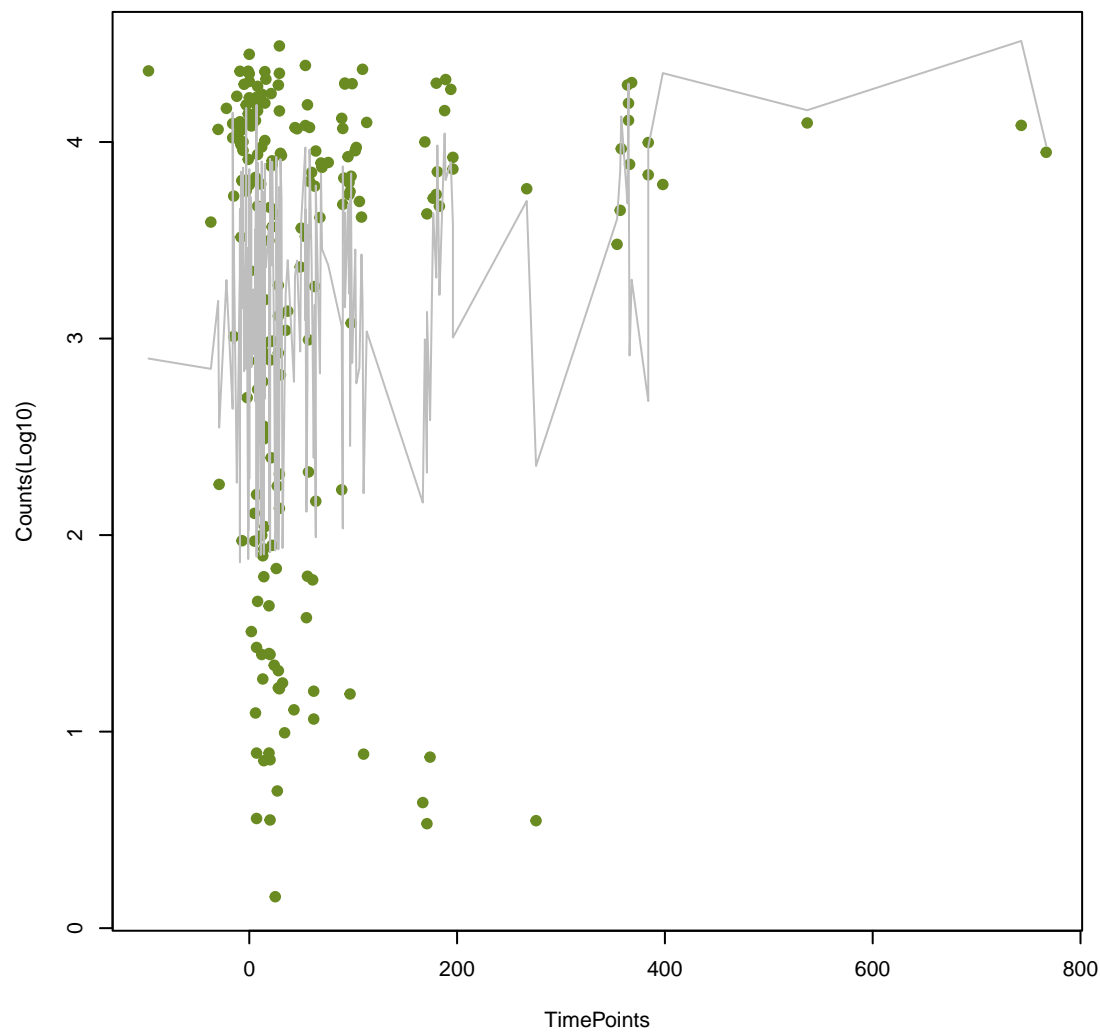
emrY
ANOVA P=0.00715, adj. ANOVA-P=0.0691



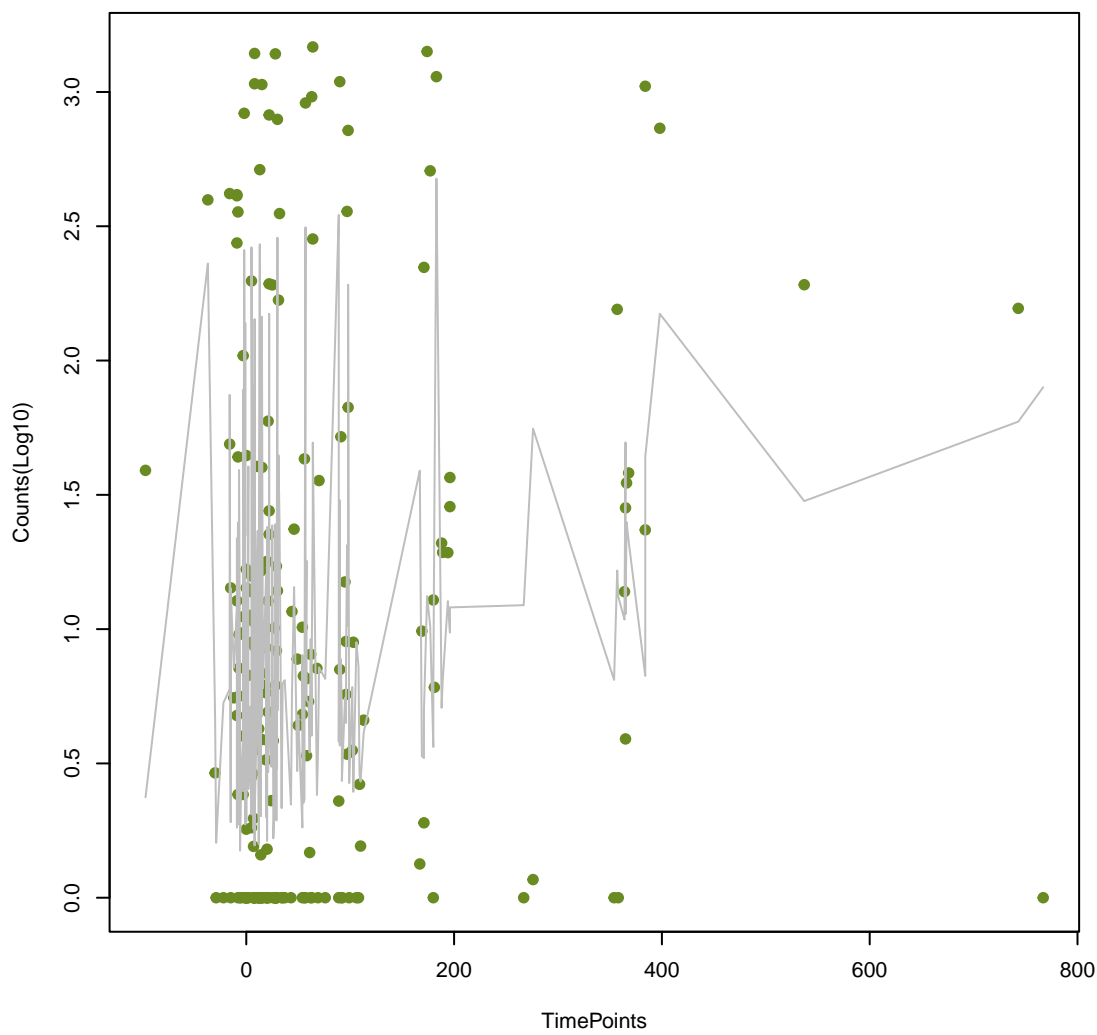
ANT(6)-la
ANOVA P=0.00716, adj. ANOVA-P=0.0691



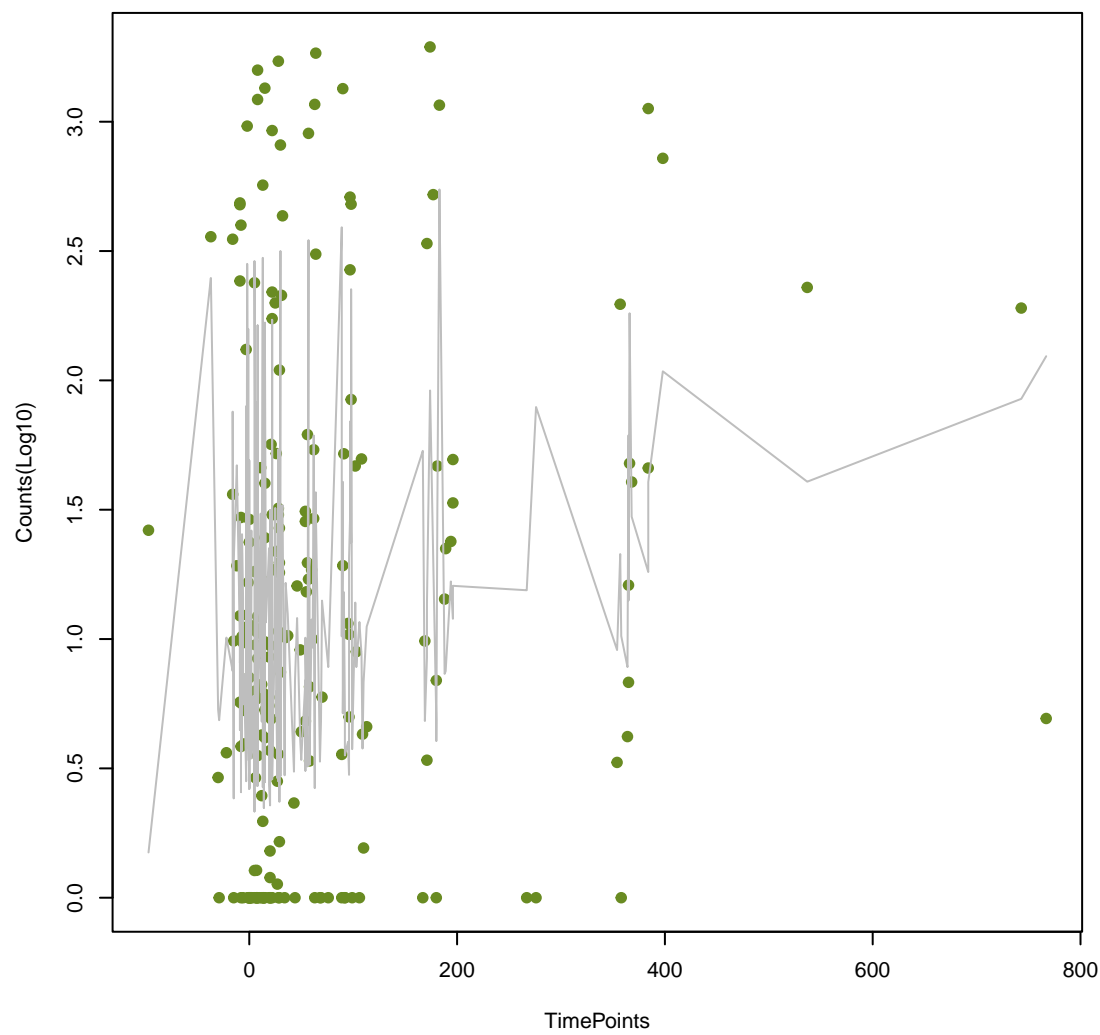
tetO
ANOVA P=0.00863, adj. ANOVA-P=0.0733



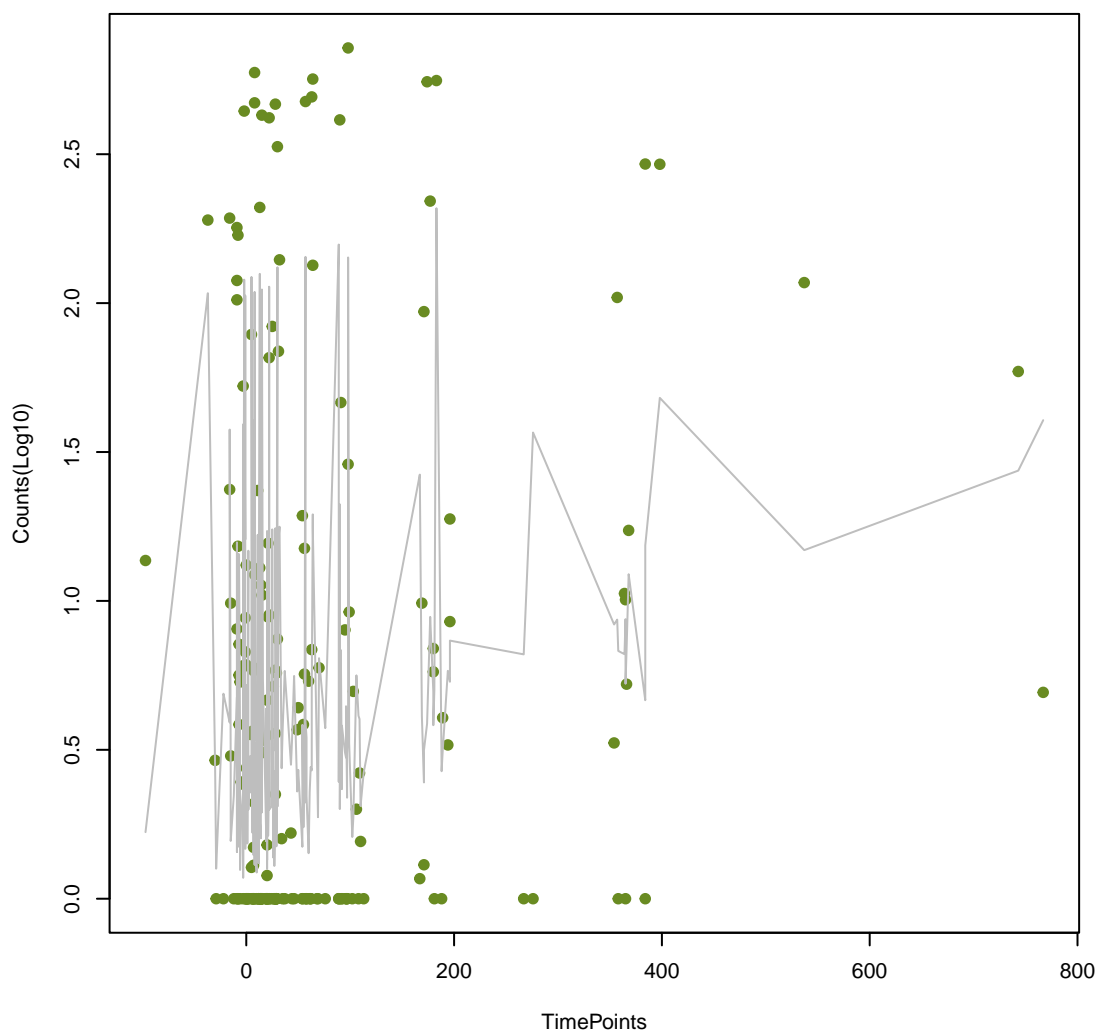
mdtO
ANOVA P=0.00883, adj. ANOVA-P=0.0733



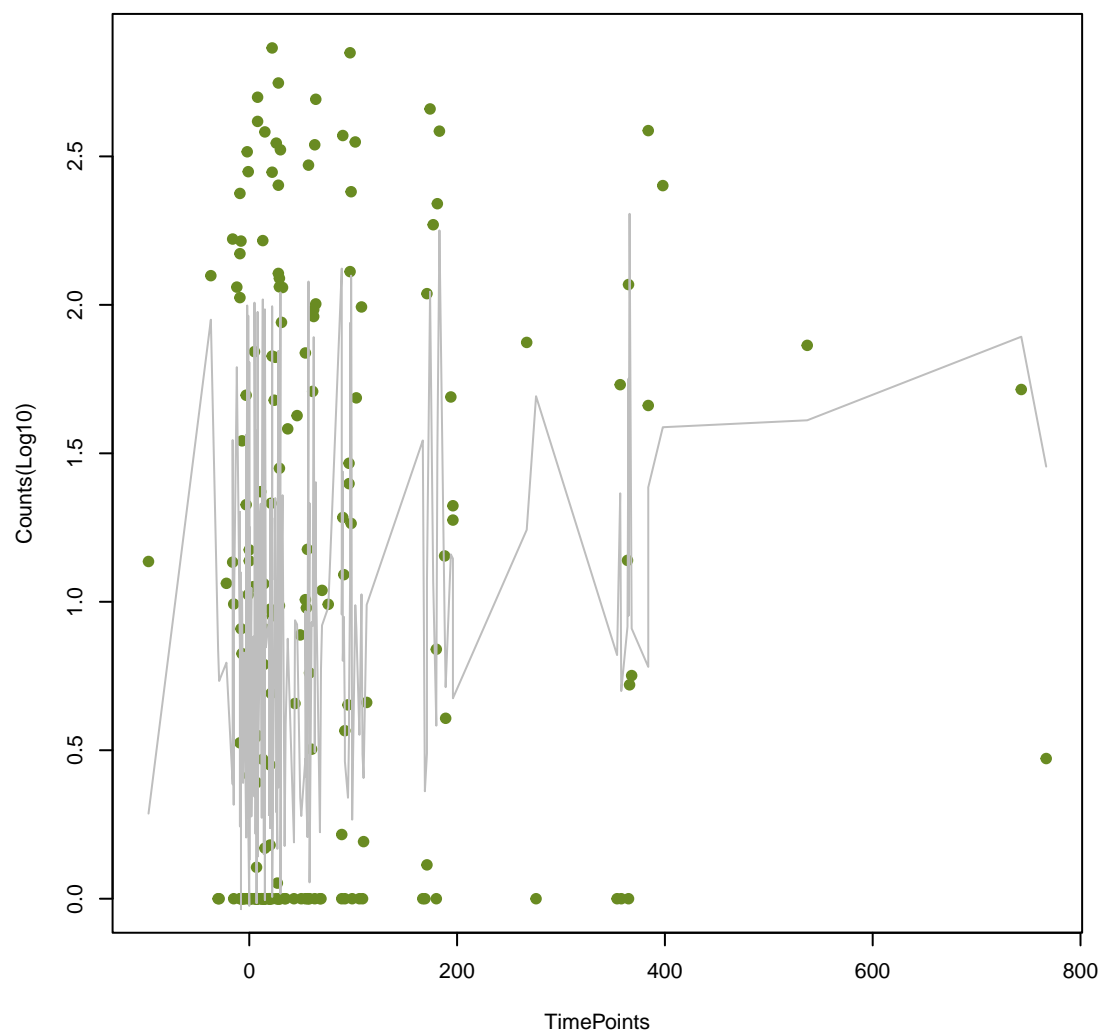
mdtB
ANOVA P=0.00906, adj. ANOVA-P=0.0733



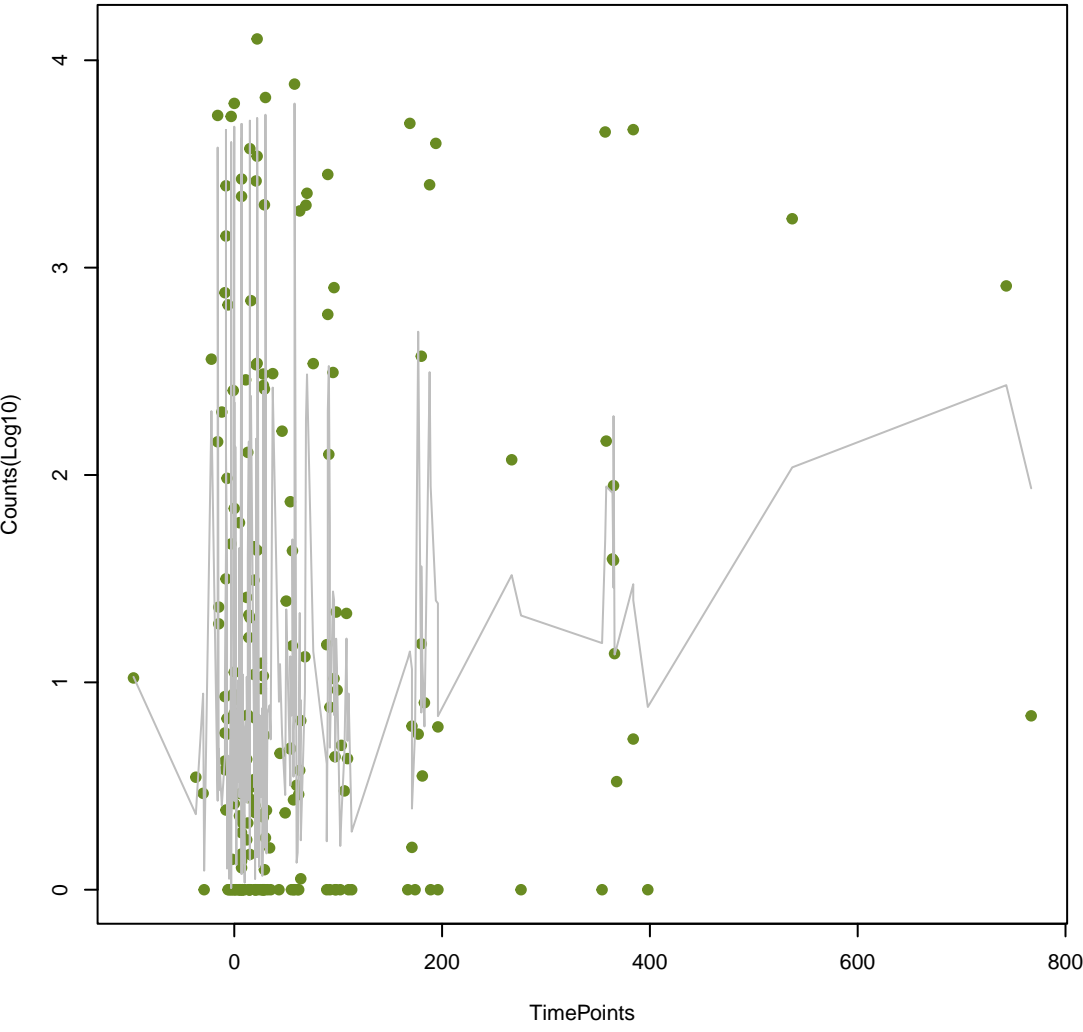
gadW
ANOVA P=0.00935, adj. ANOVA-P=0.0733



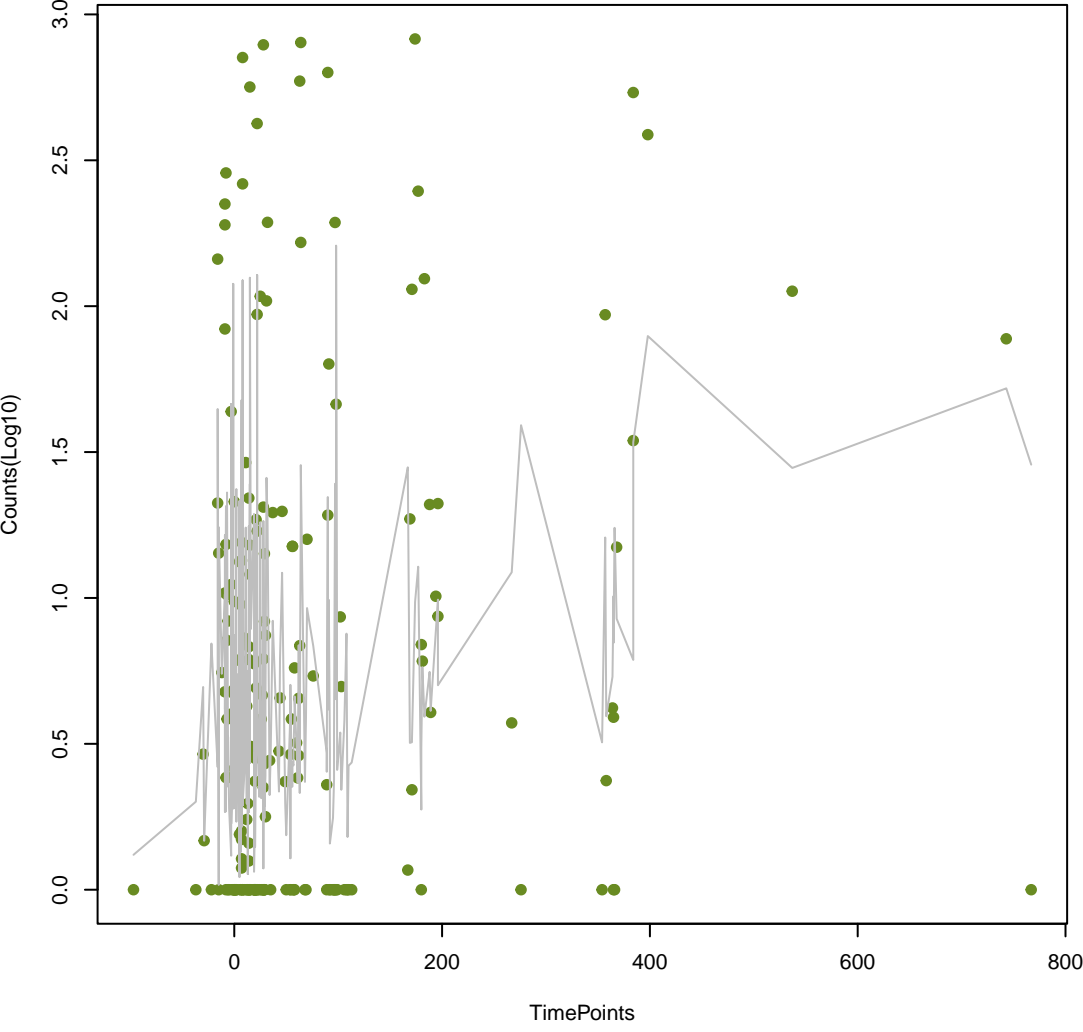
CRP
ANOVA P=0.00936, adj. ANOVA-P=0.0733



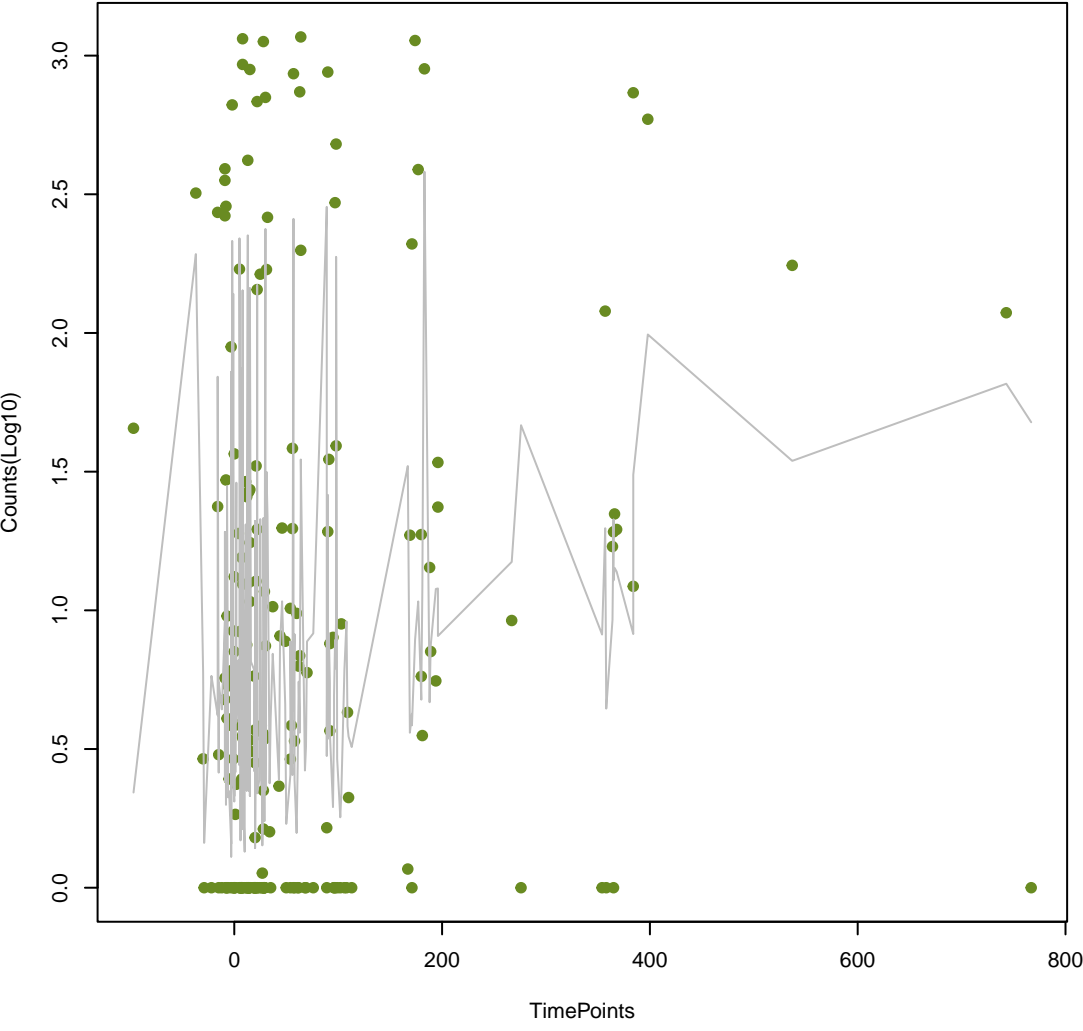
Bbif_ileS_MUP
ANOVA P=0.00964, adj. ANOVA-P=0.0733



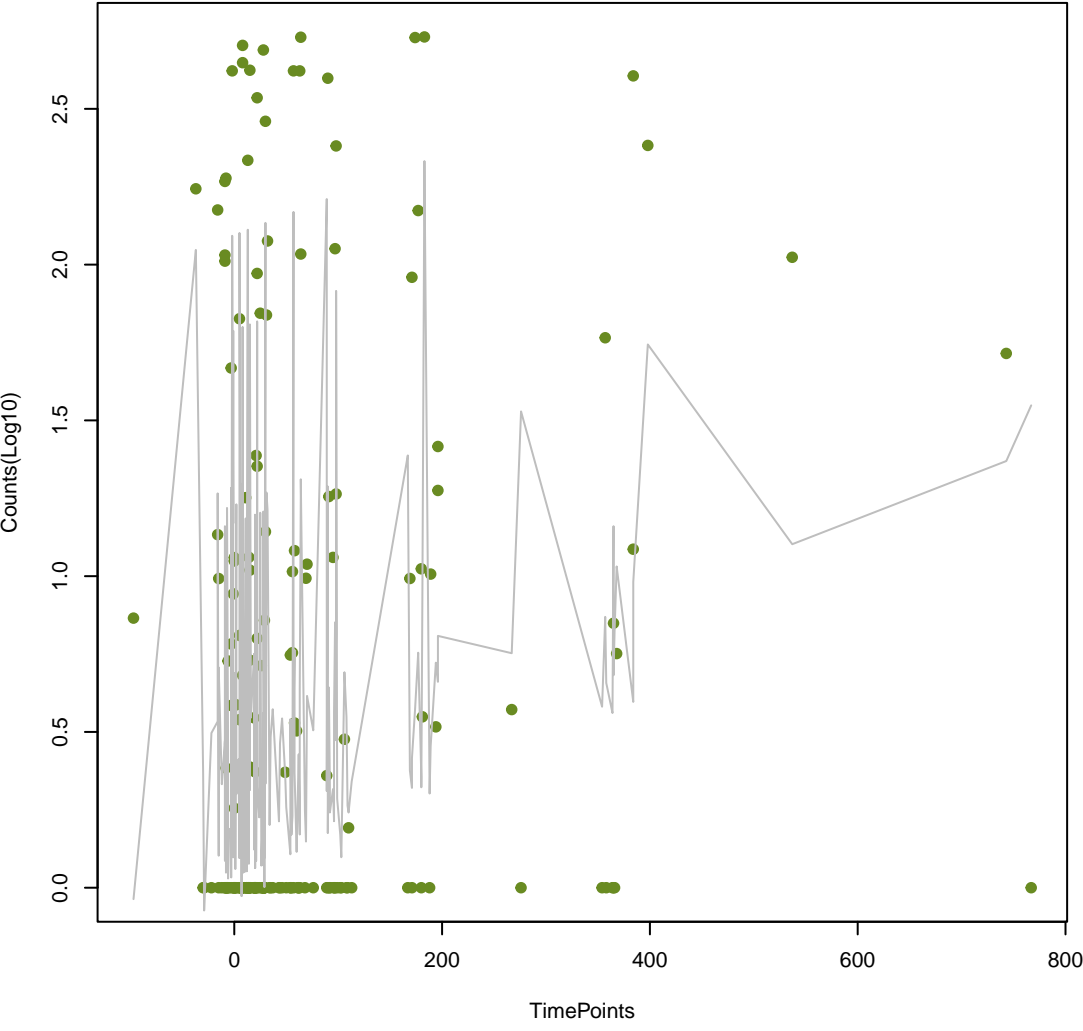
mdtM
ANOVA P=0.00979, adj. ANOVA-P=0.0733



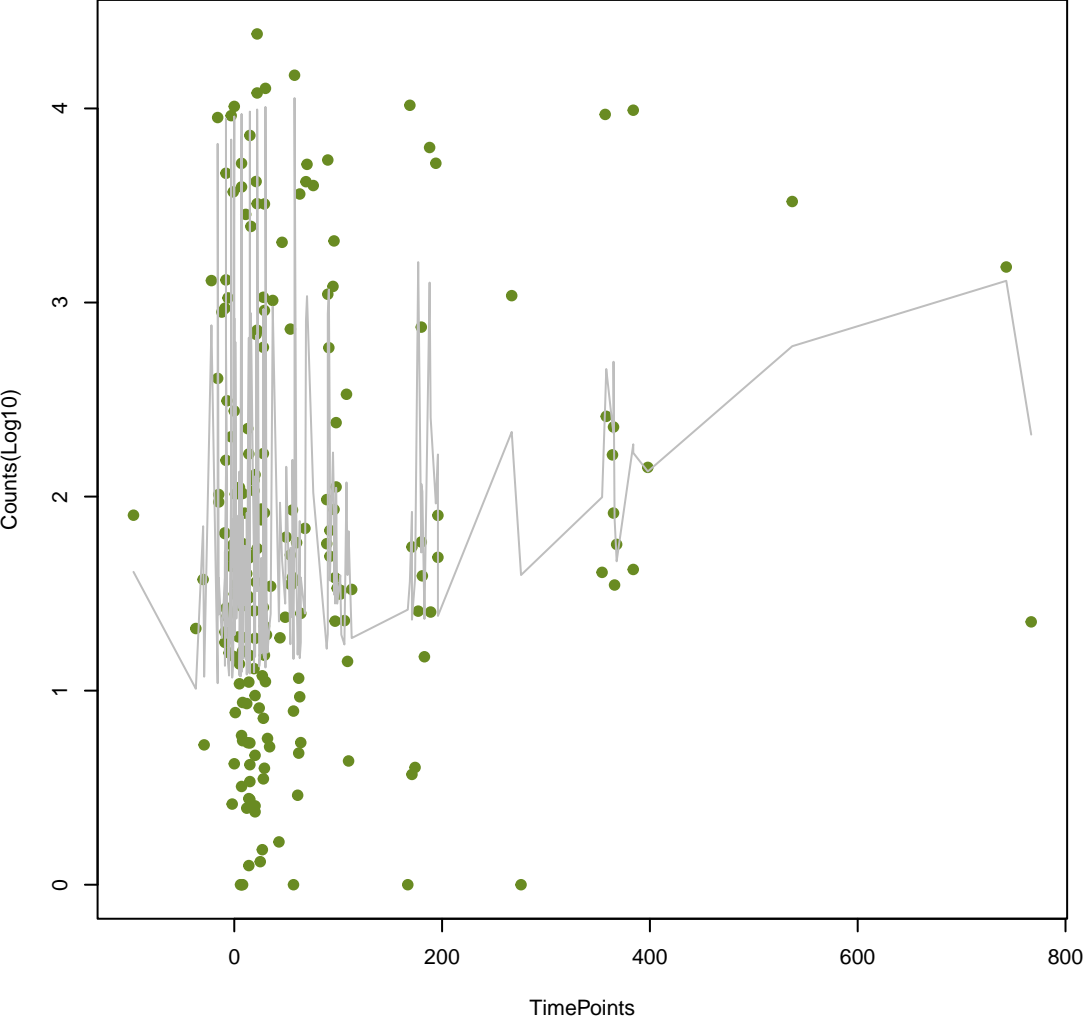
mdtP
ANOVA P=0.00997, adj. ANOVA-P=0.0733



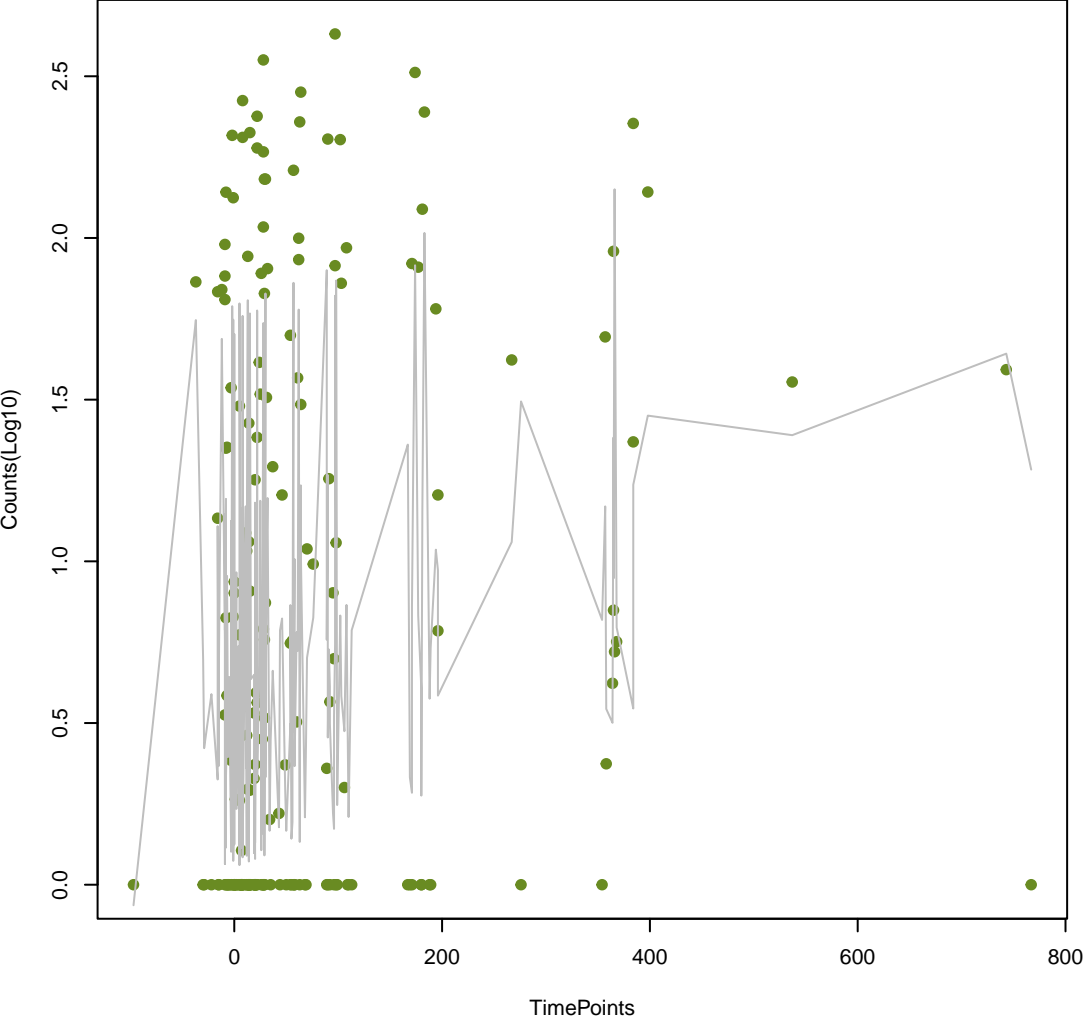
AcrS
ANOVA P=0.01, adj. ANOVA-P=0.0733

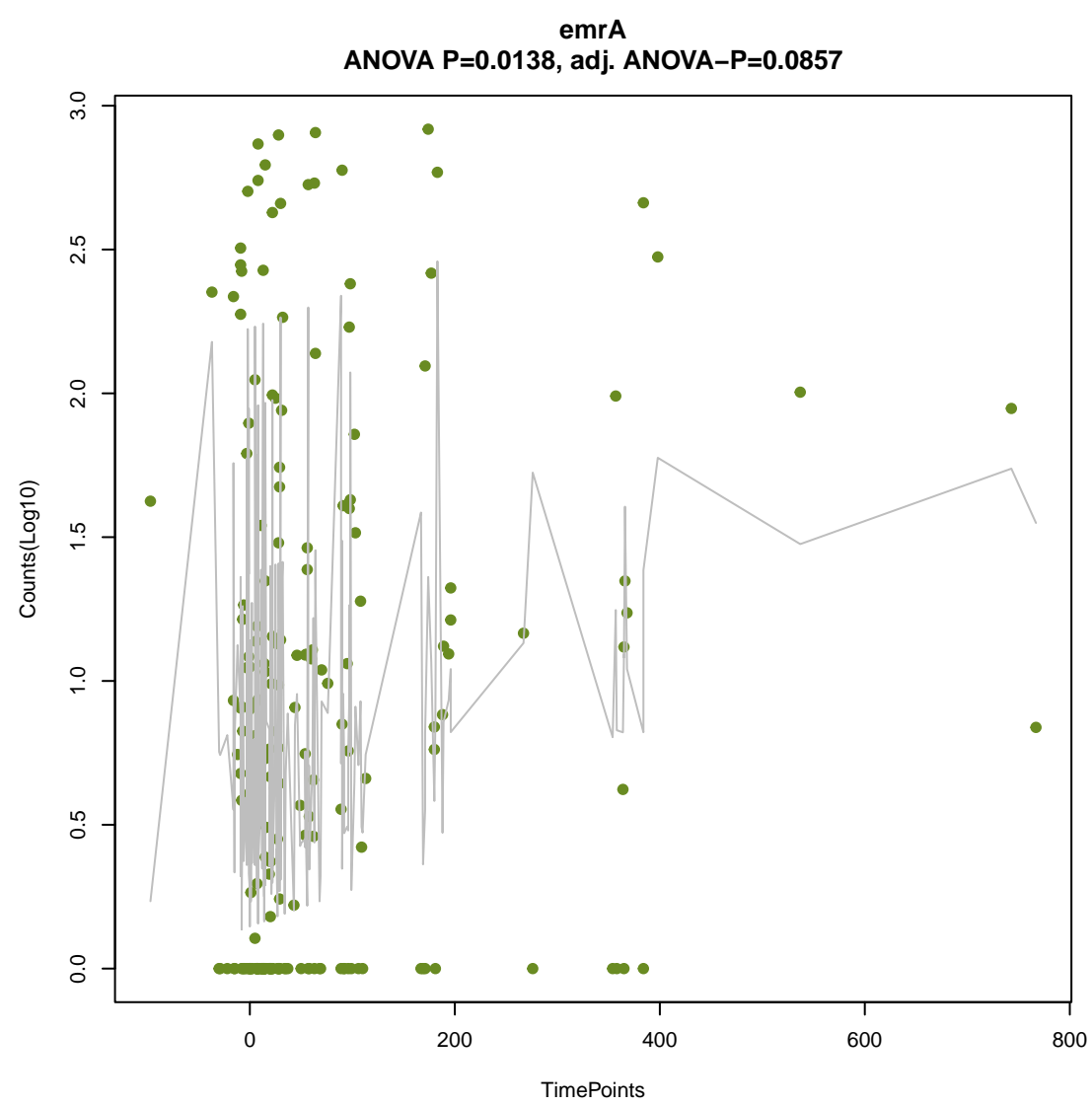
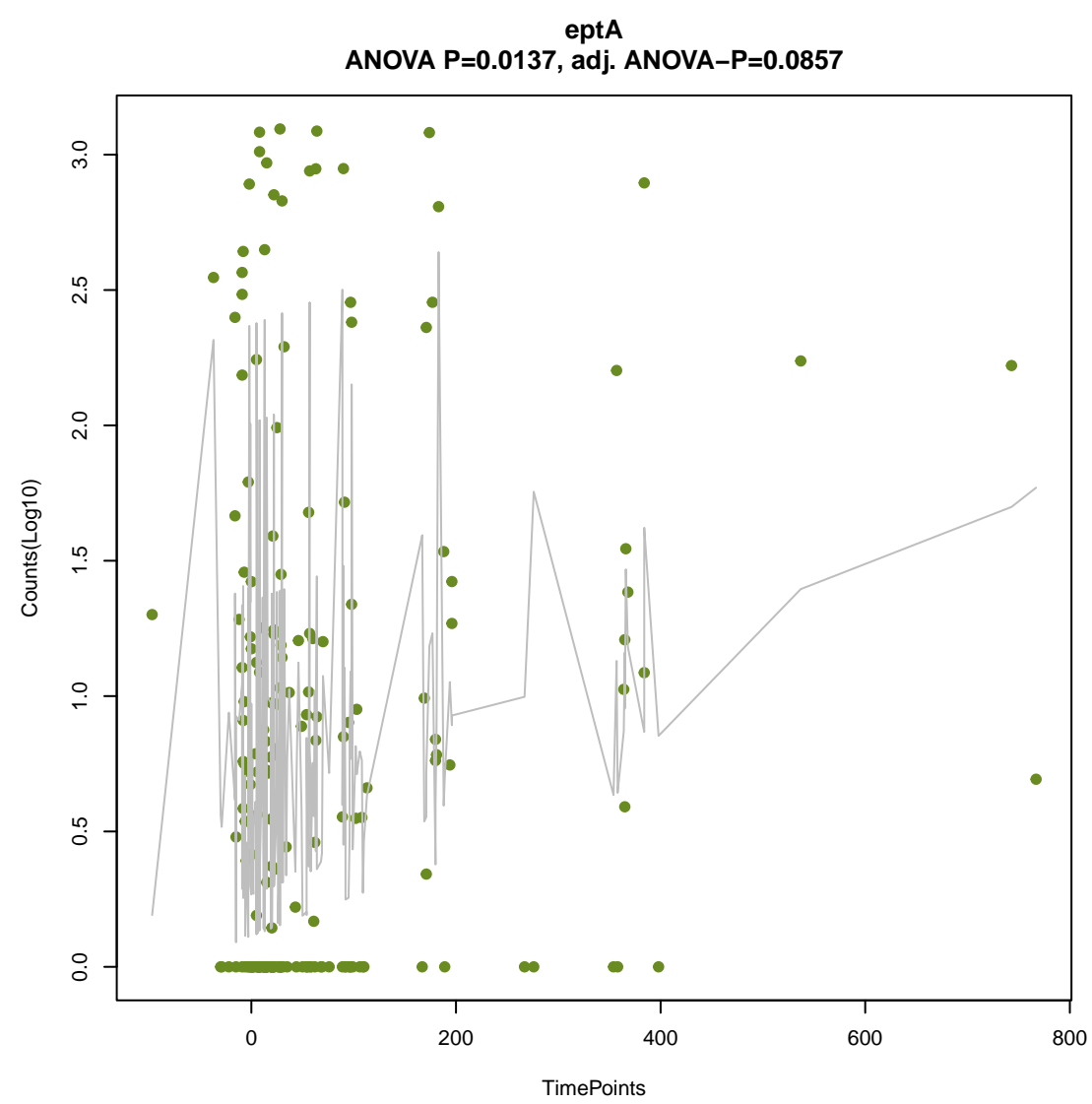
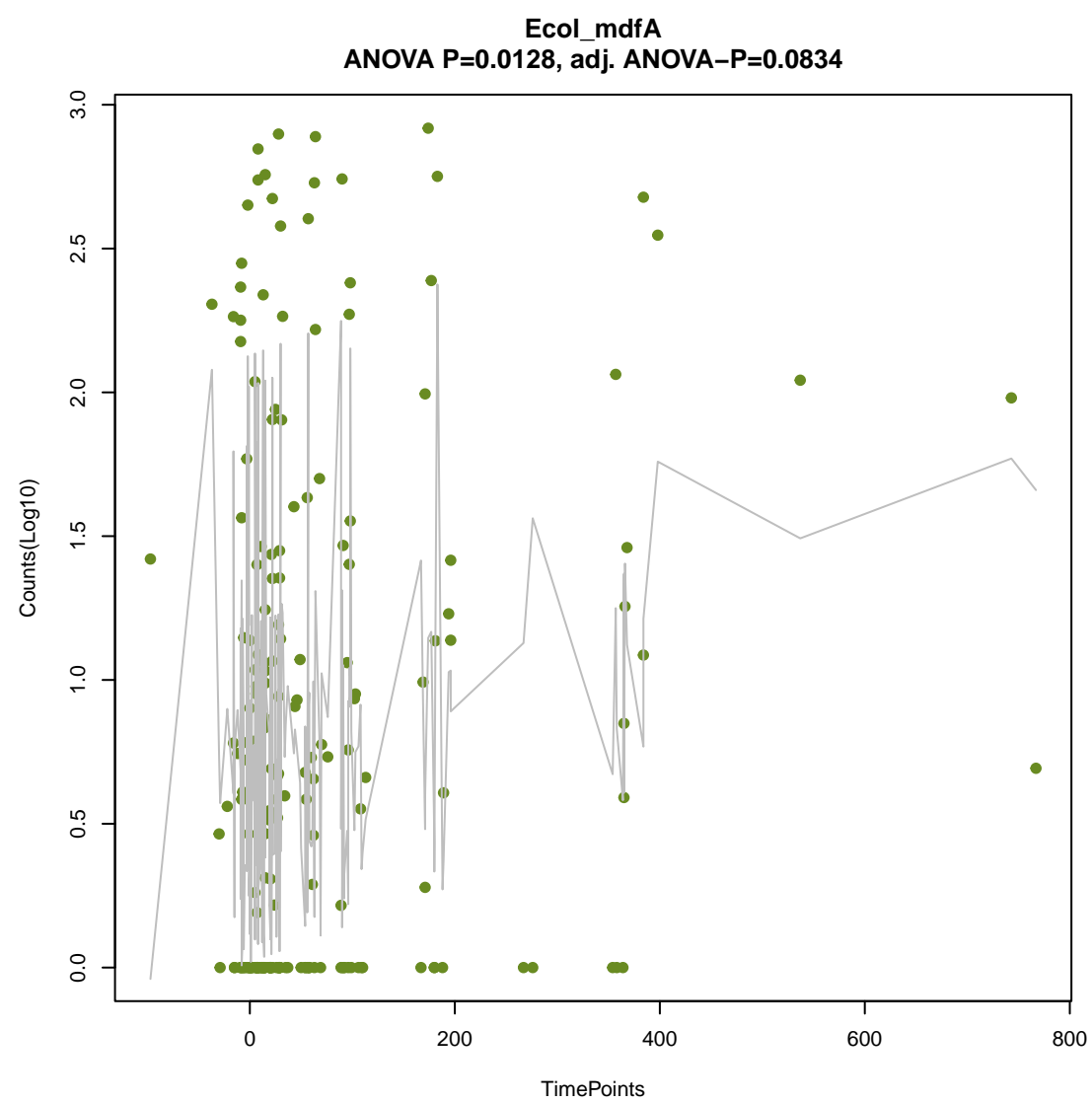
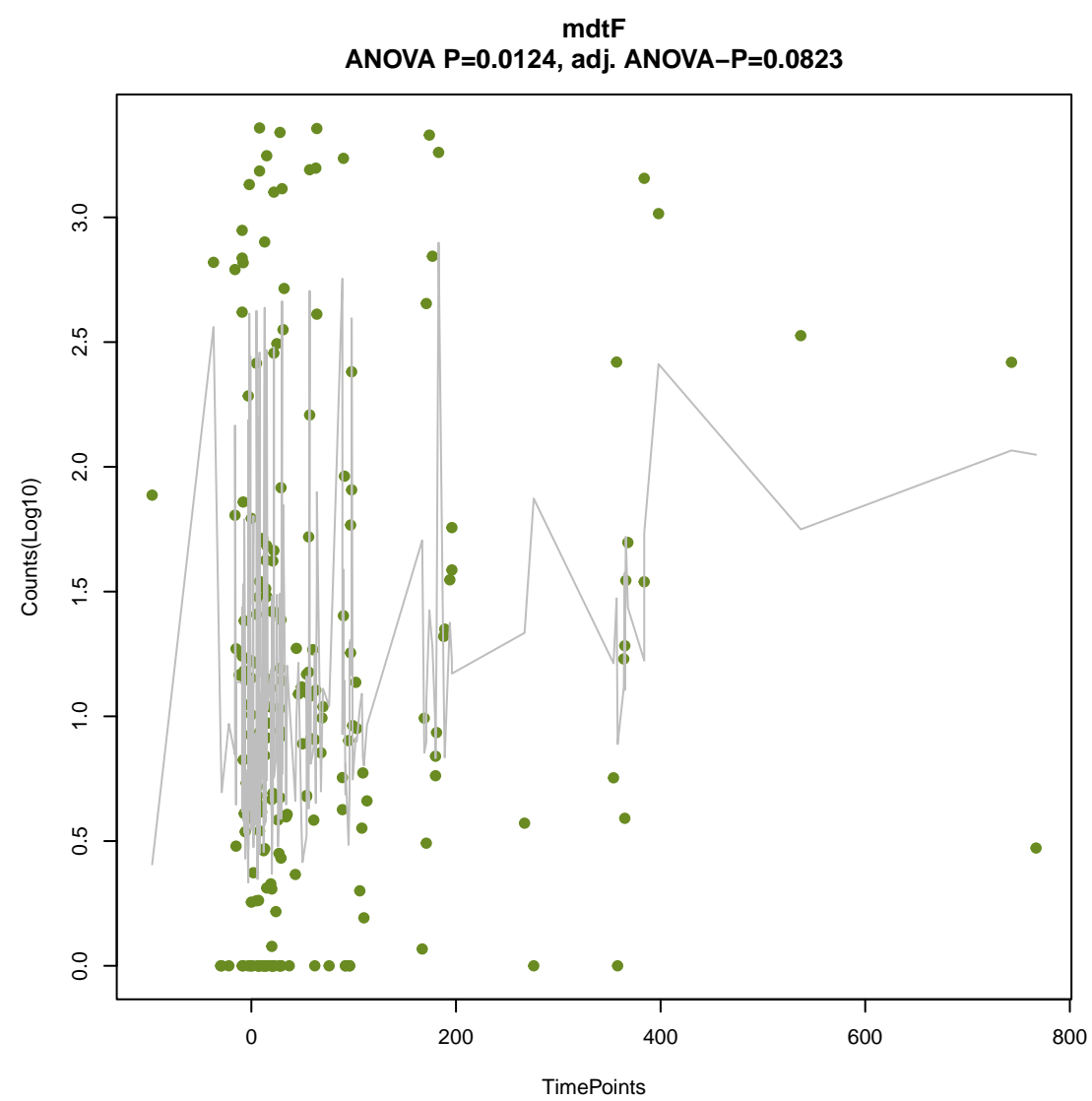
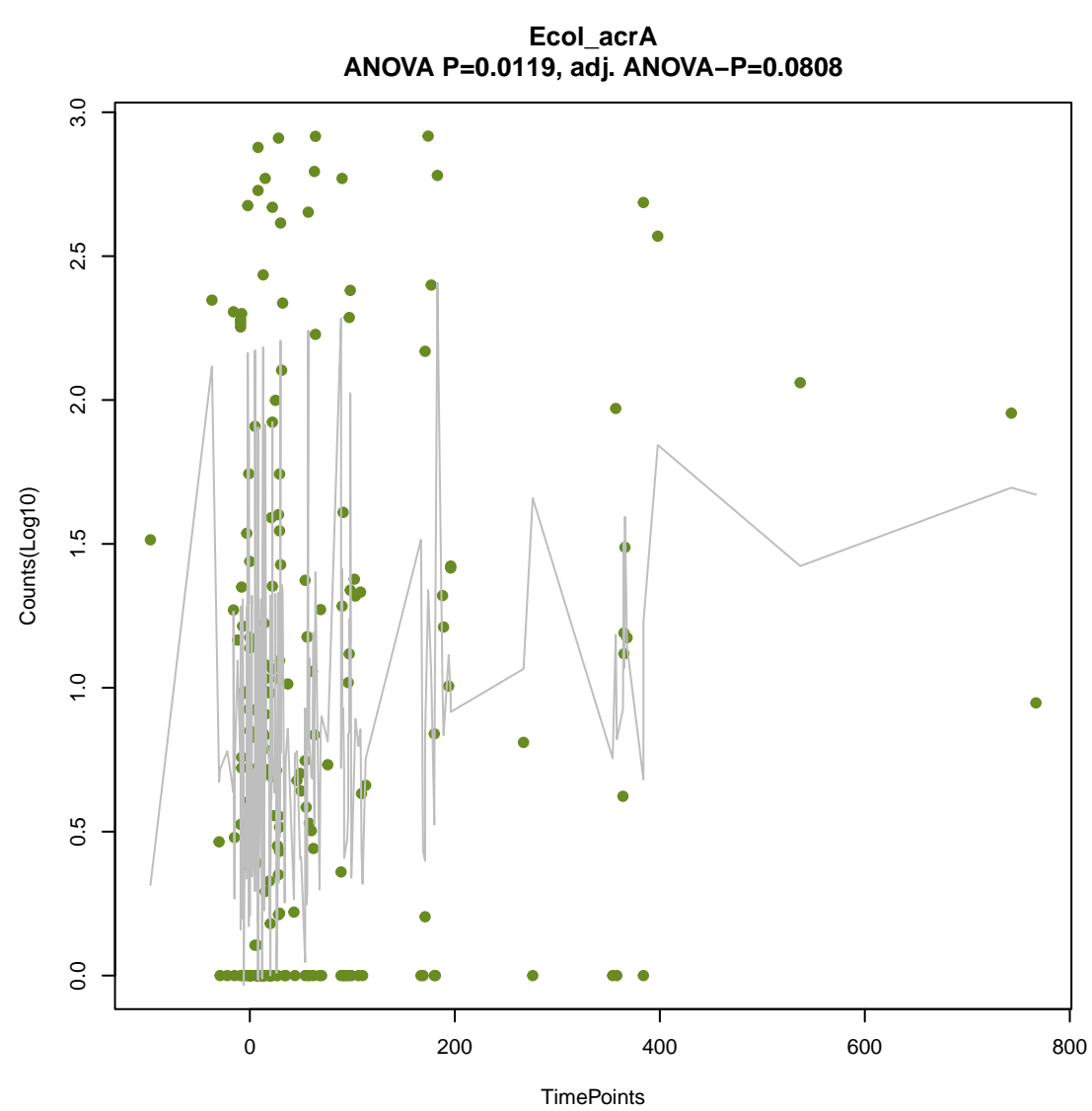
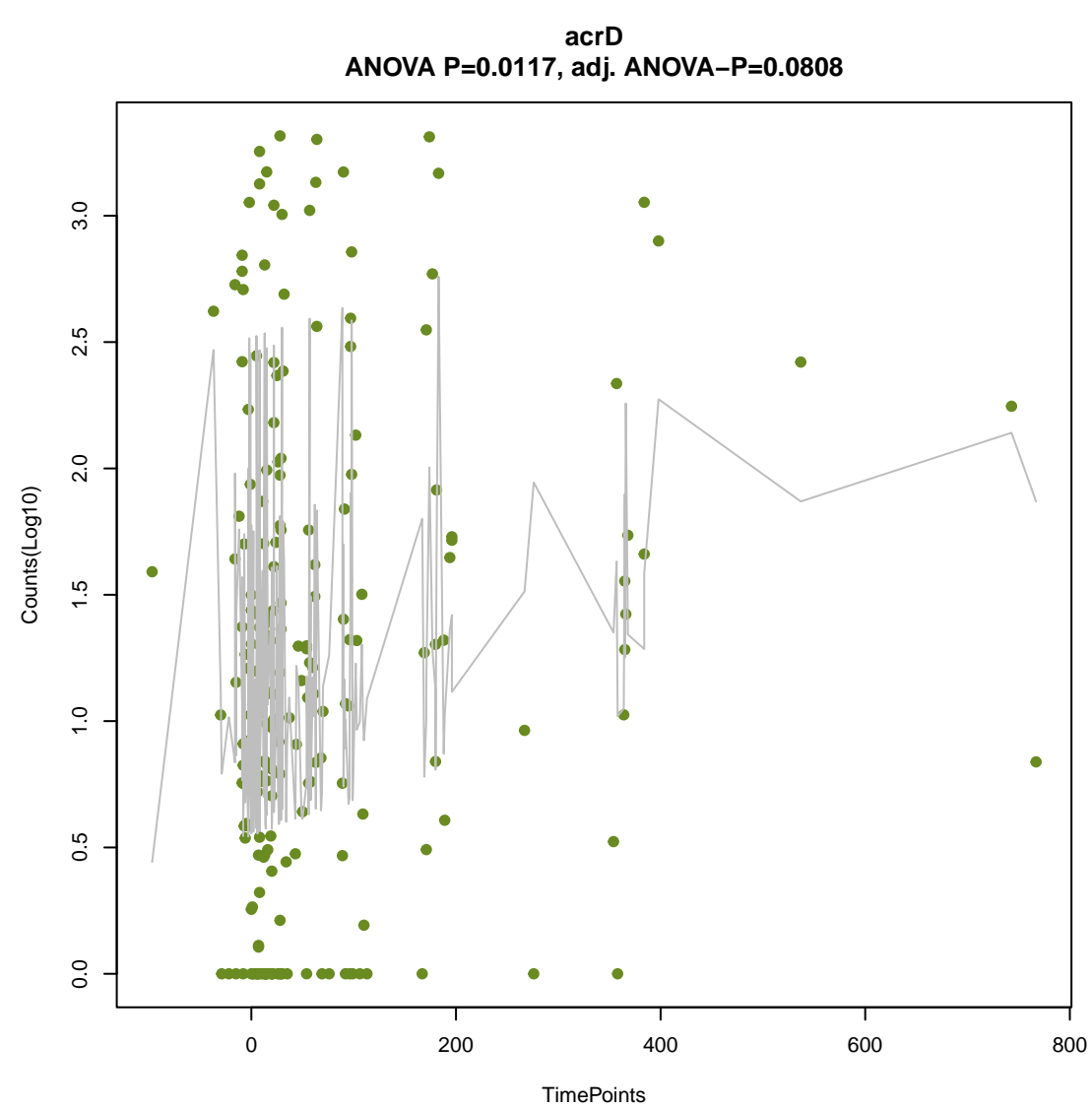


Bado_rpoB_RIF
ANOVA P=0.0102, adj. ANOVA-P=0.0733

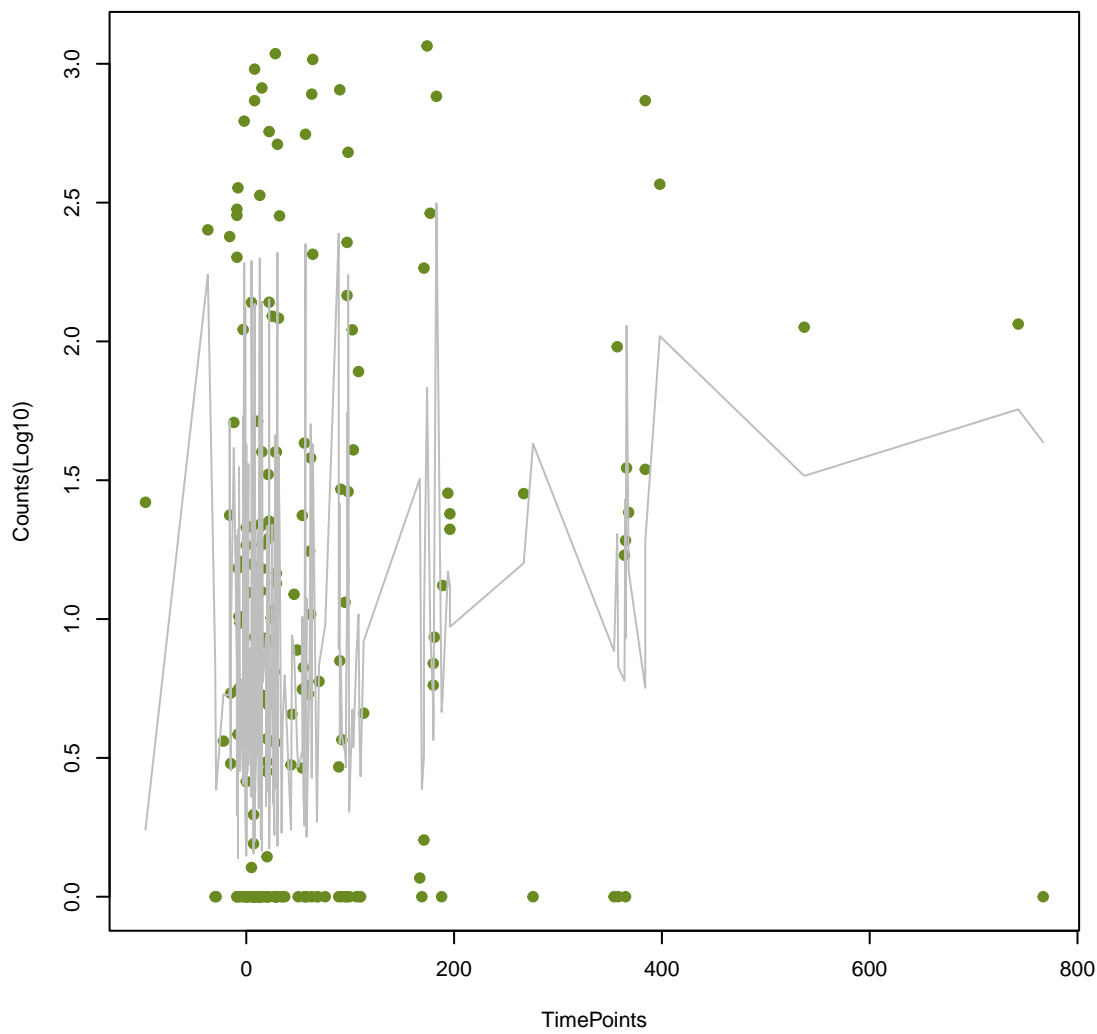


H-NS
ANOVA P=0.0103, adj. ANOVA-P=0.0733

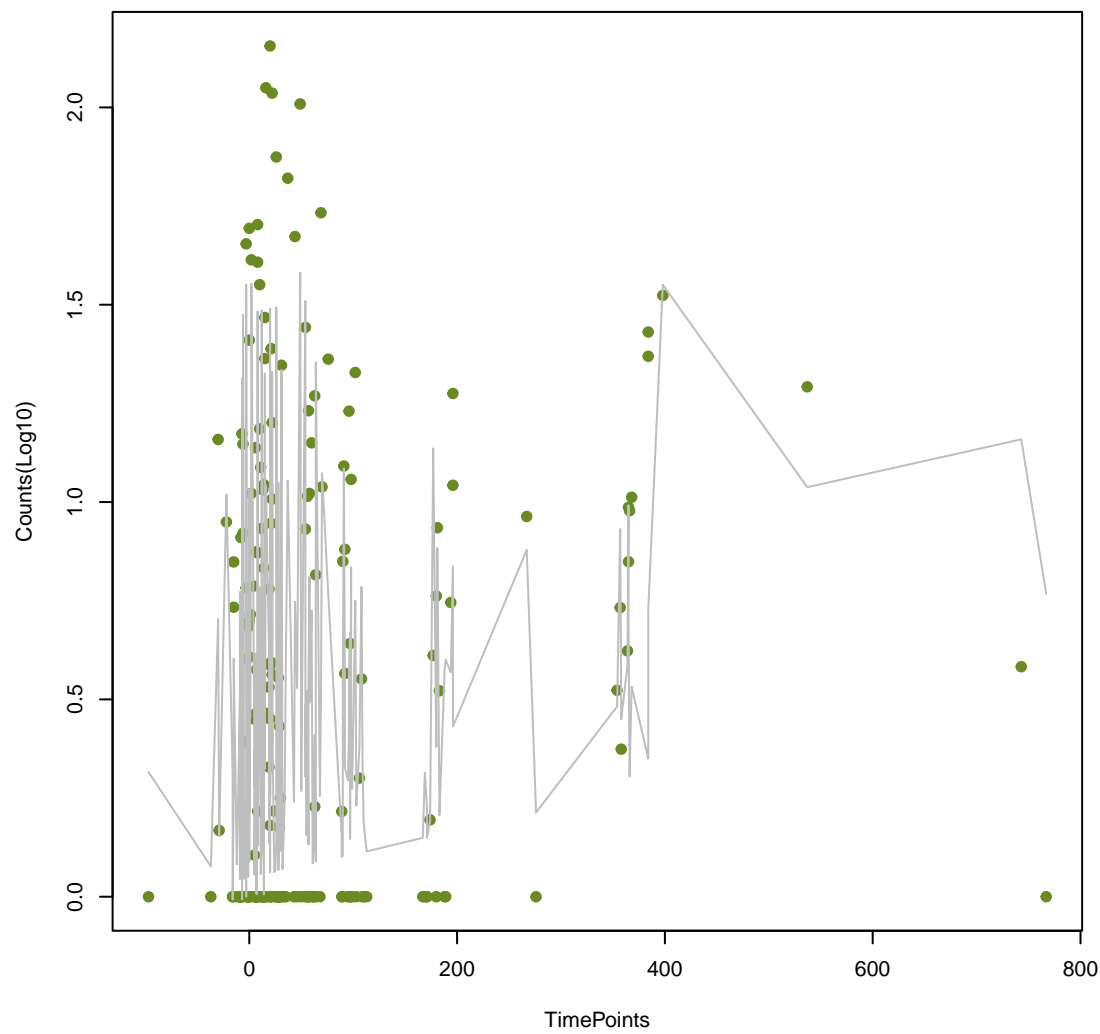




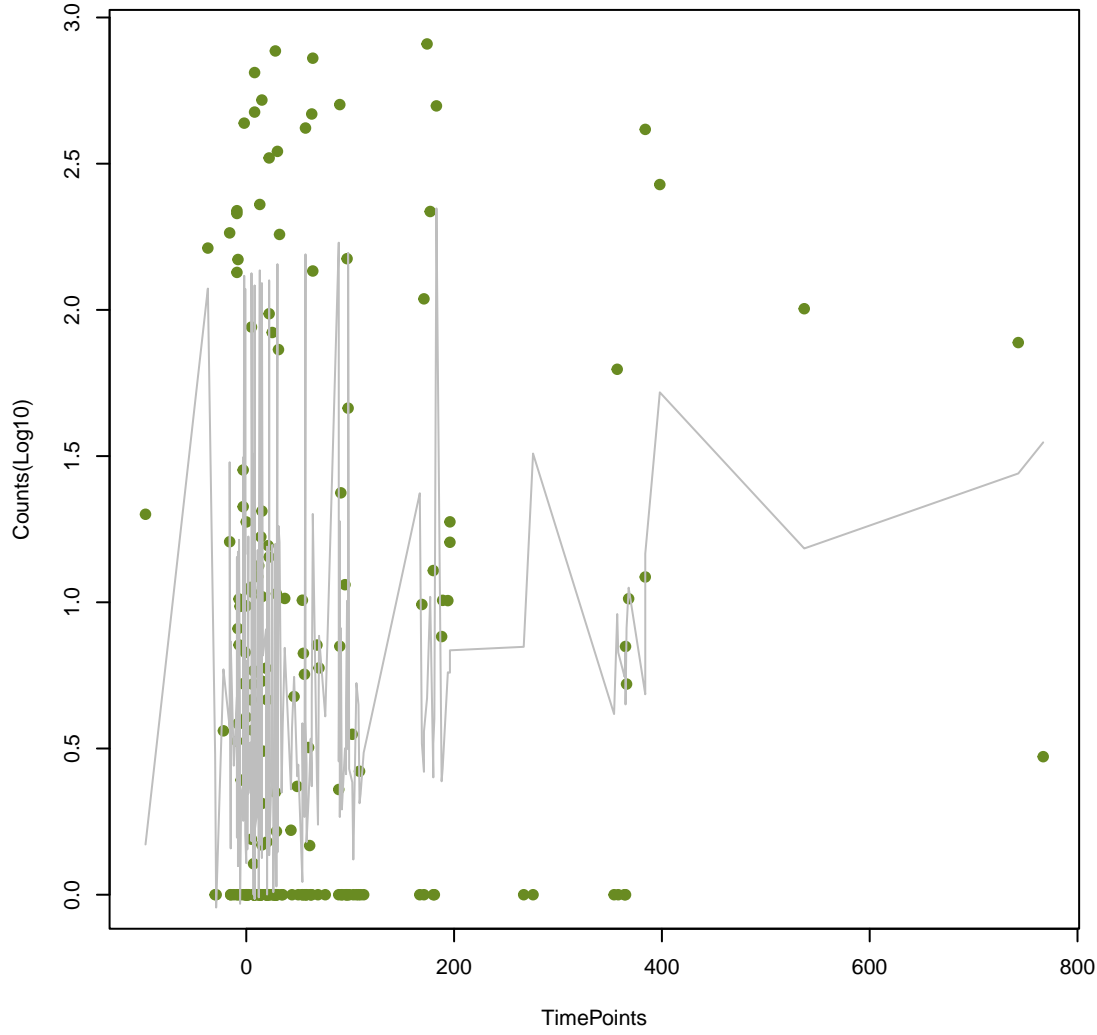
msbA
ANOVA P=0.0162, adj. ANOVA-P=0.098



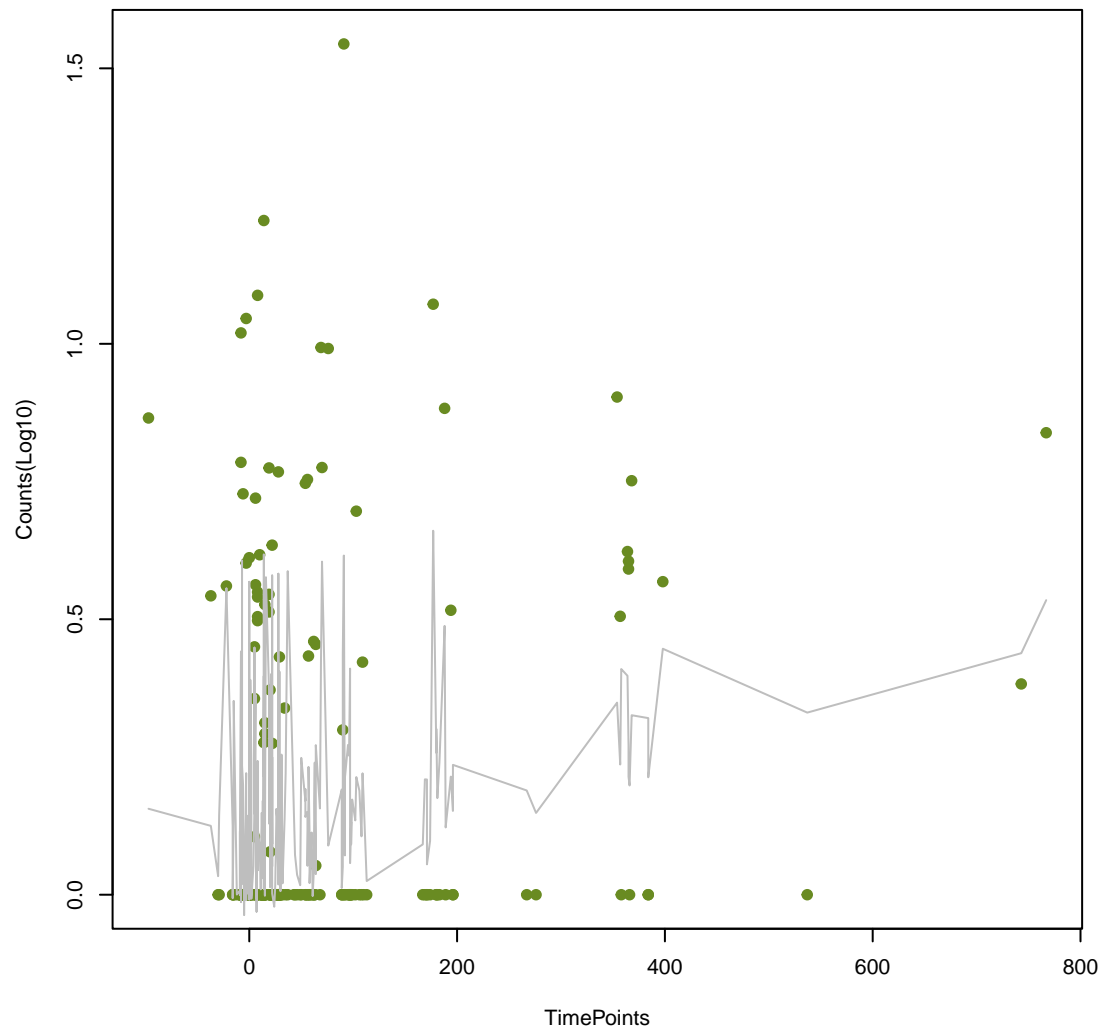
ErmX
ANOVA P=0.0165, adj. ANOVA-P=0.098



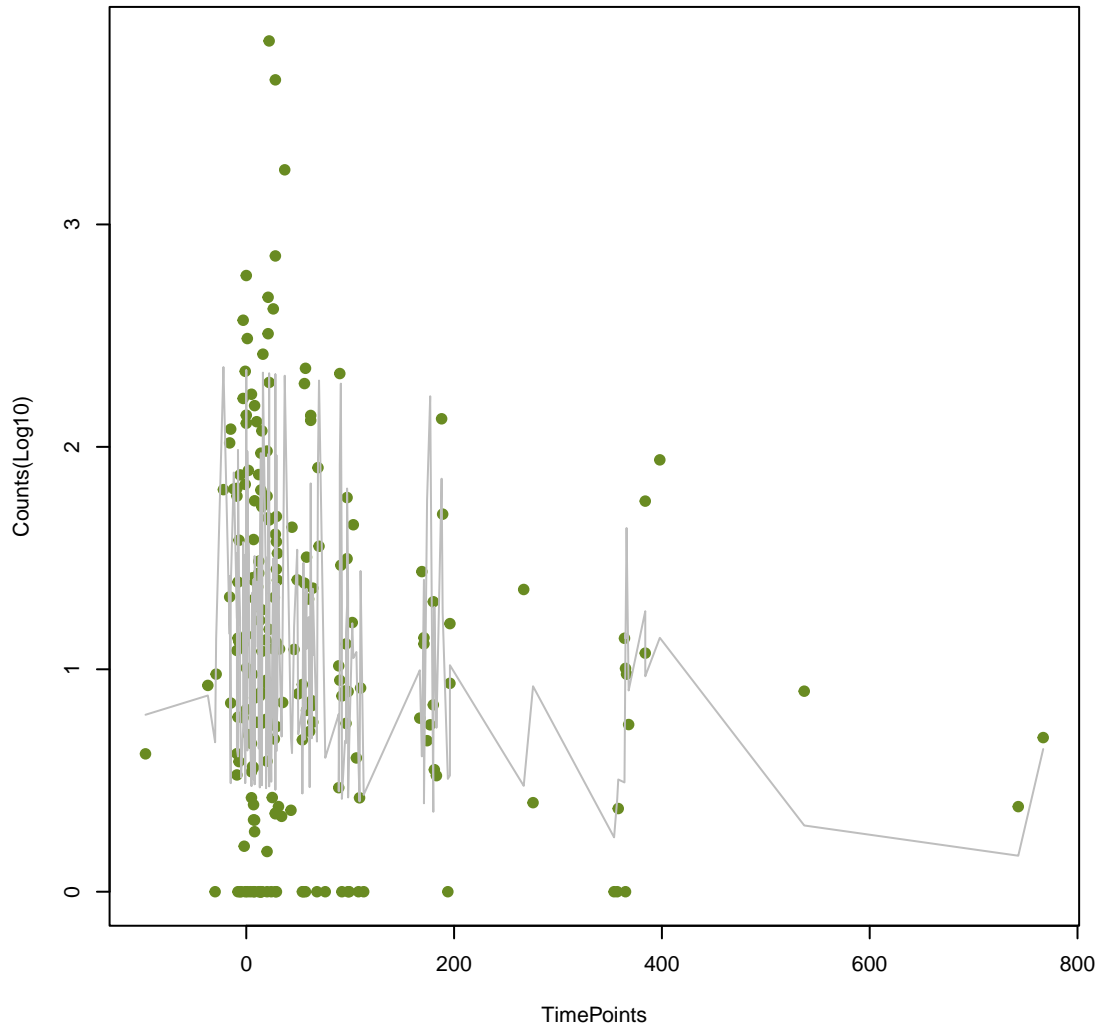
mdtG
ANOVA P=0.0167, adj. ANOVA-P=0.098



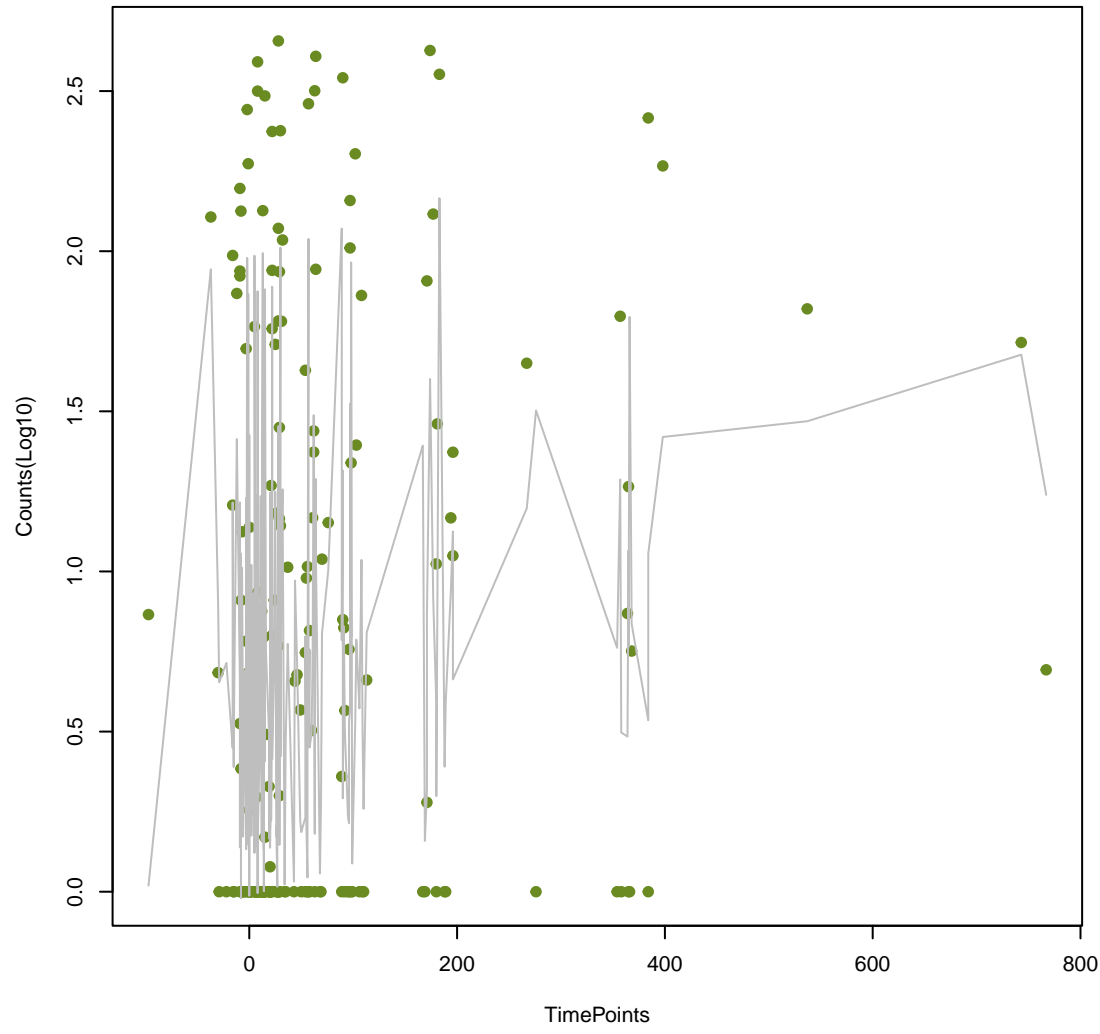
KPC-9
ANOVA P=0.0173, adj. ANOVA-P=0.0995



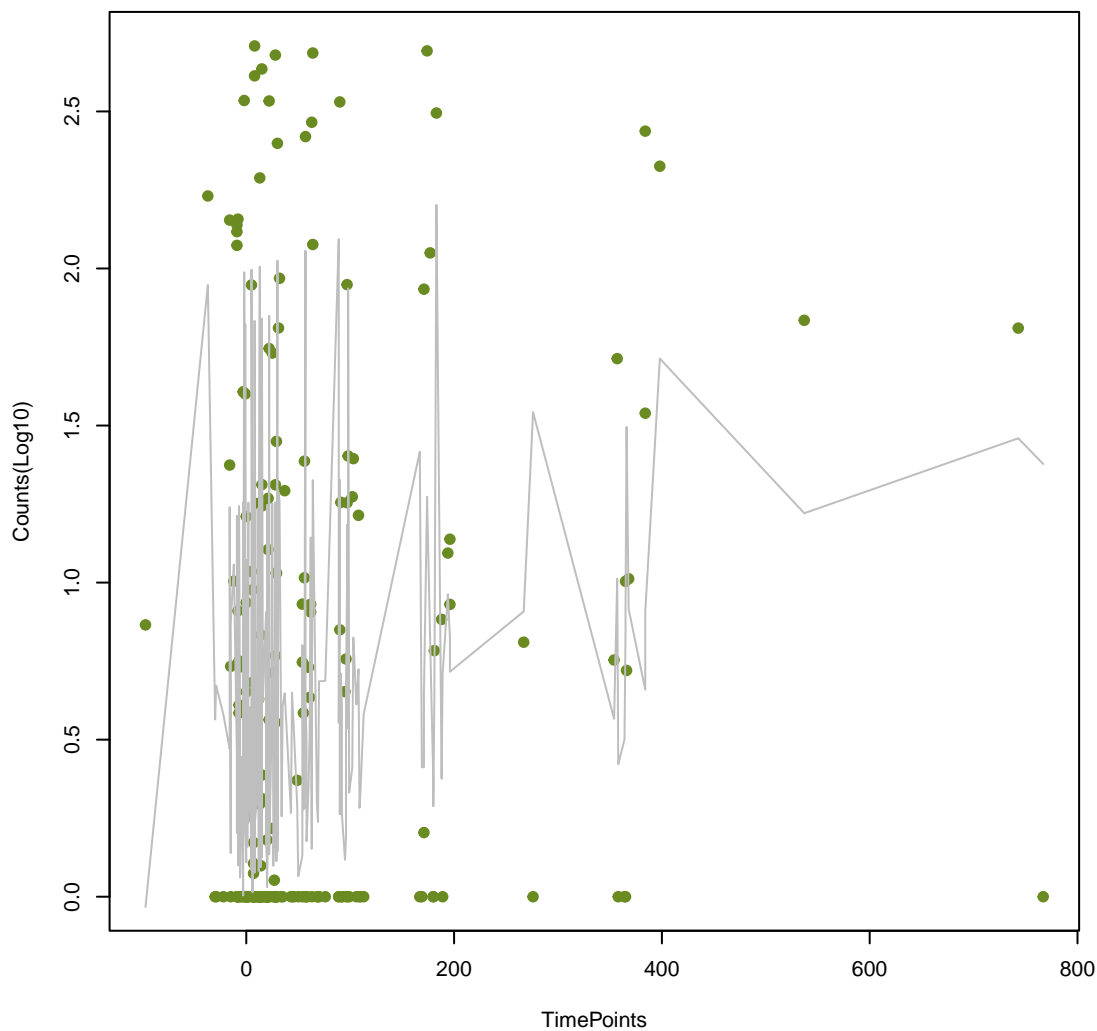
ImrD
ANOVA P=0.0182, adj. ANOVA-P=0.102



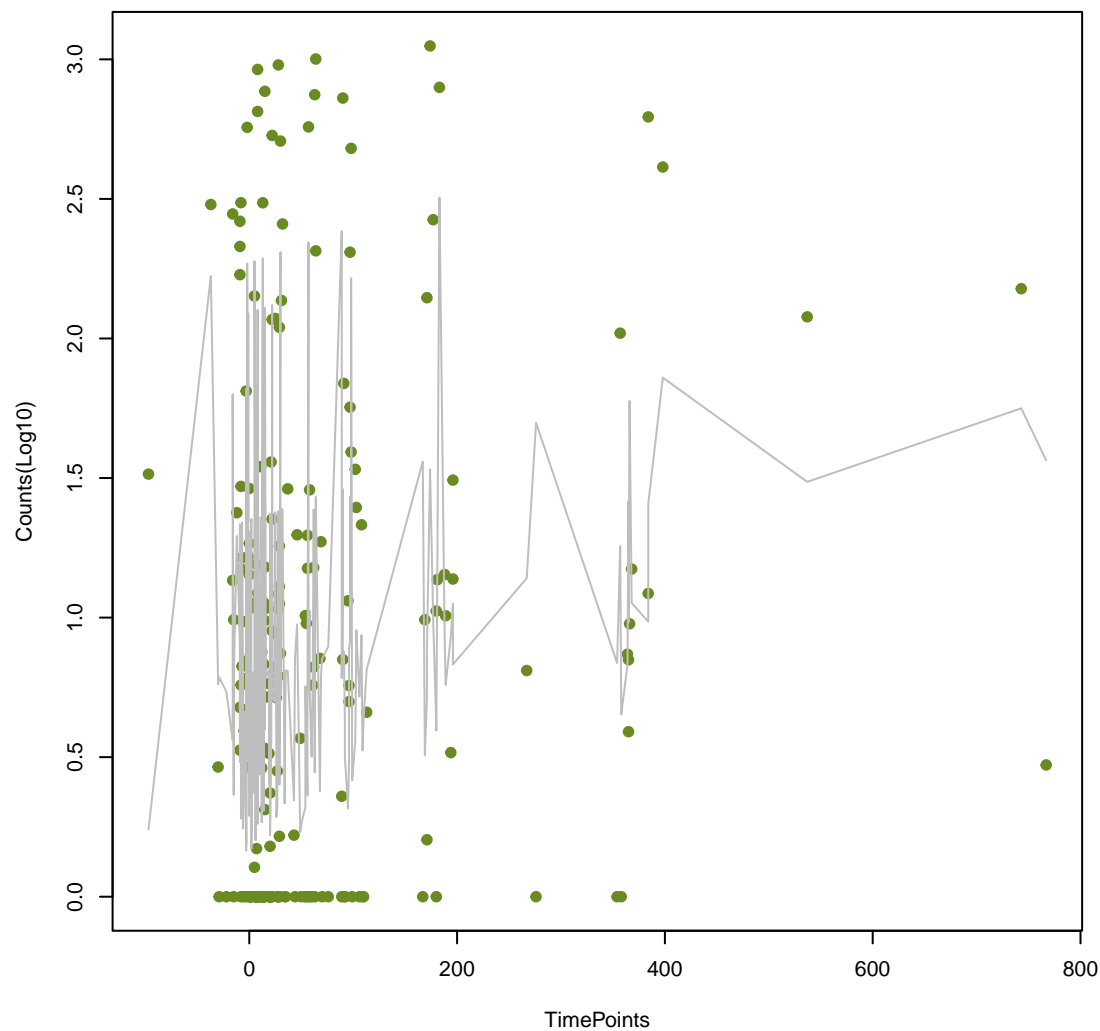
emrR
ANOVA P=0.0189, adj. ANOVA-P=0.104



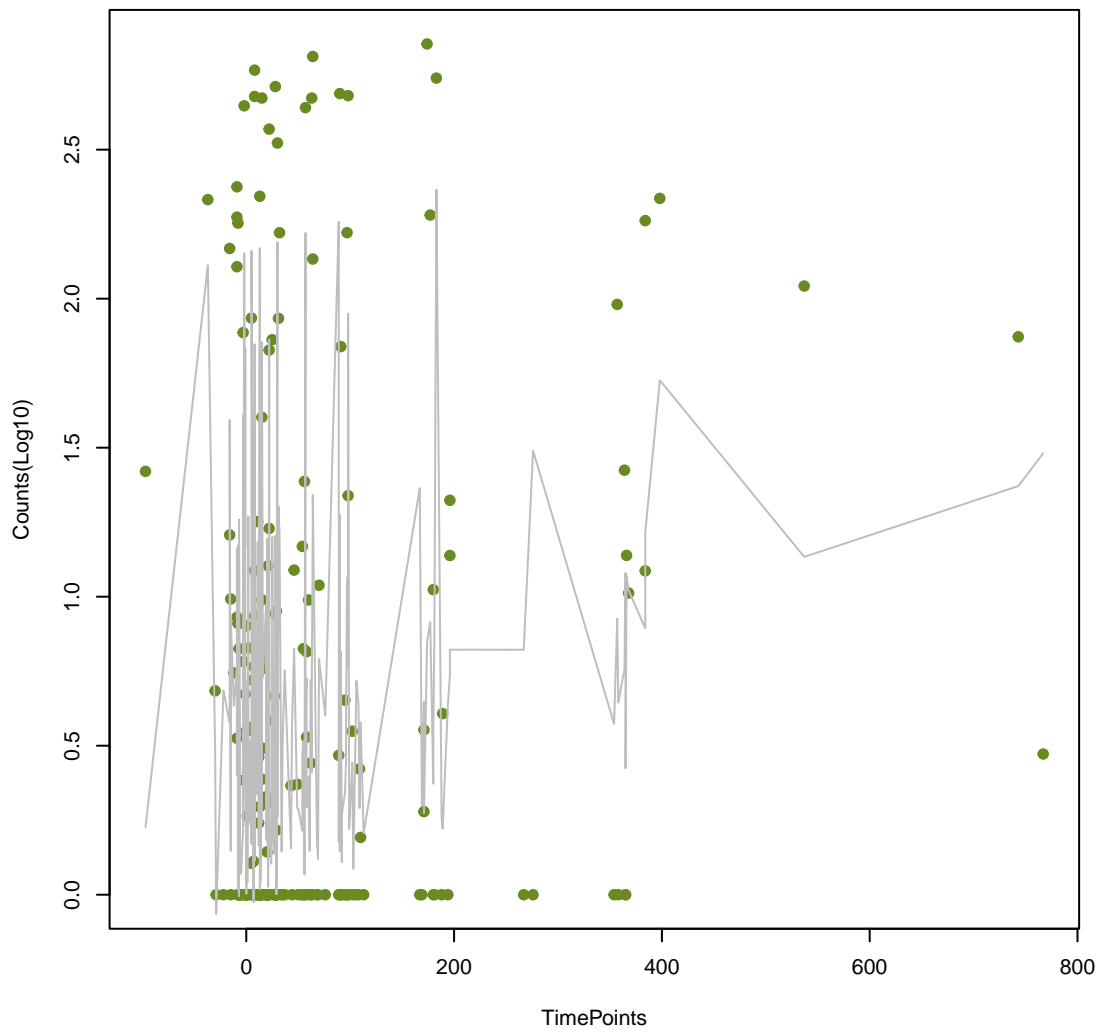
kdpE
ANOVA P=0.019, adj. ANOVA-P=0.104



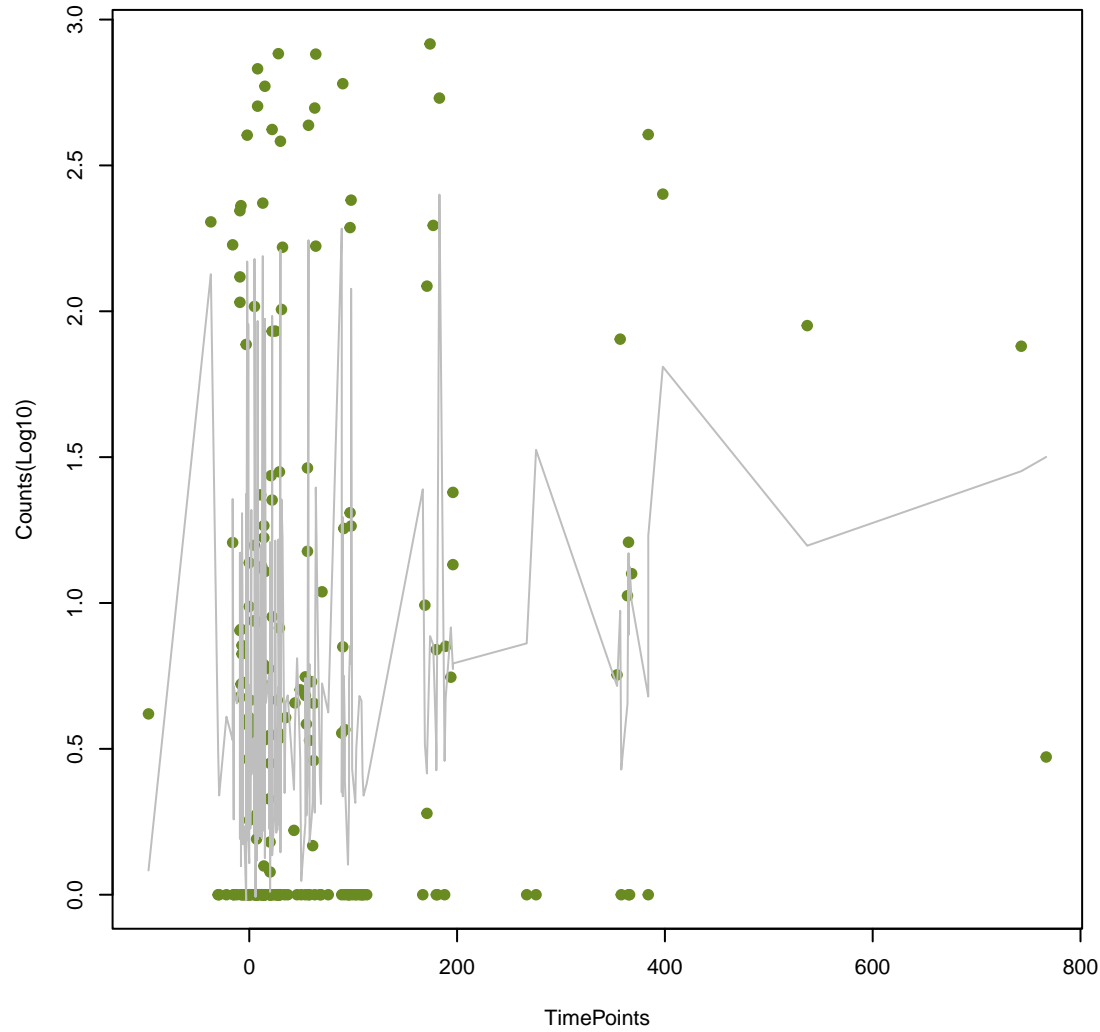
YojI
ANOVA P=0.0195, adj. ANOVA-P=0.104



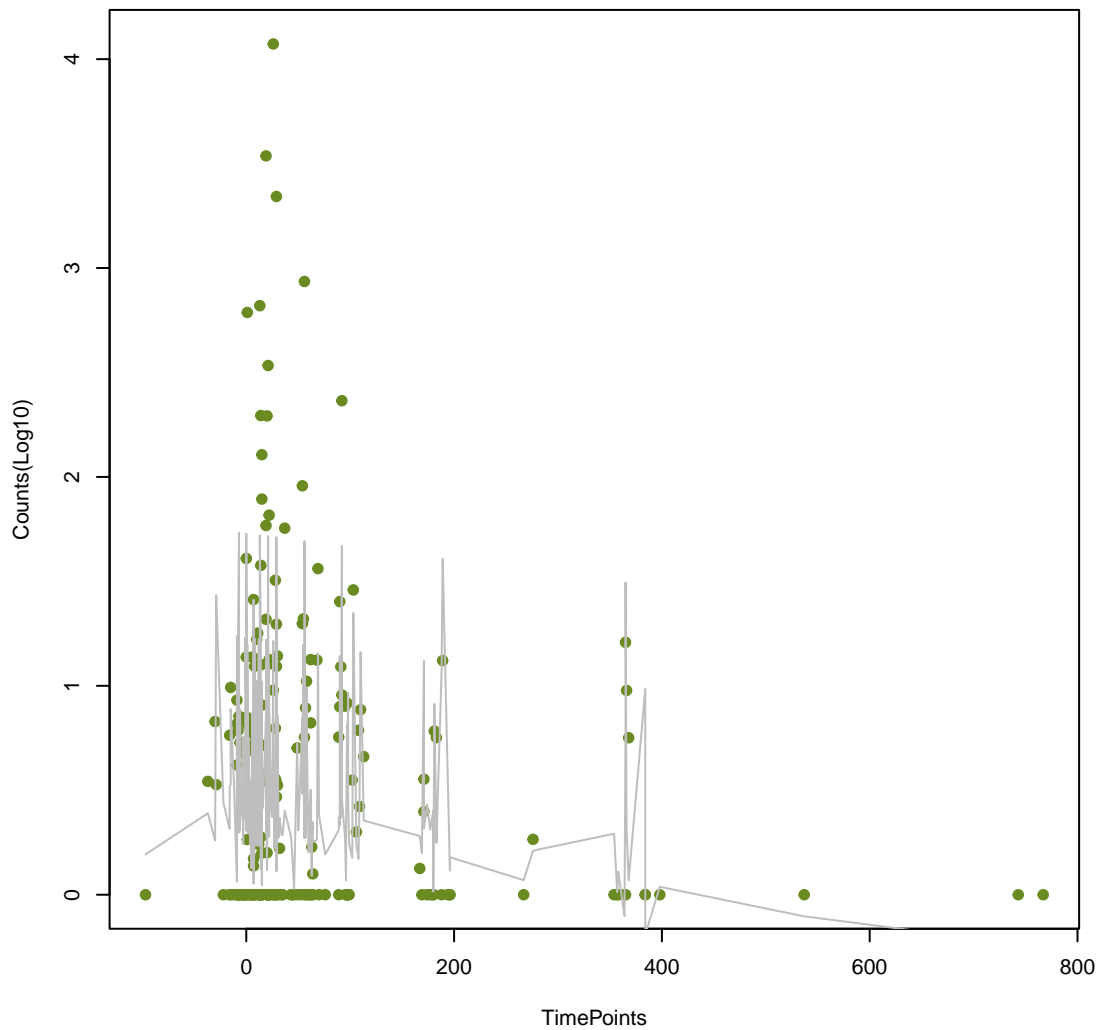
emrK
ANOVA P=0.0203, adj. ANOVA-P=0.106



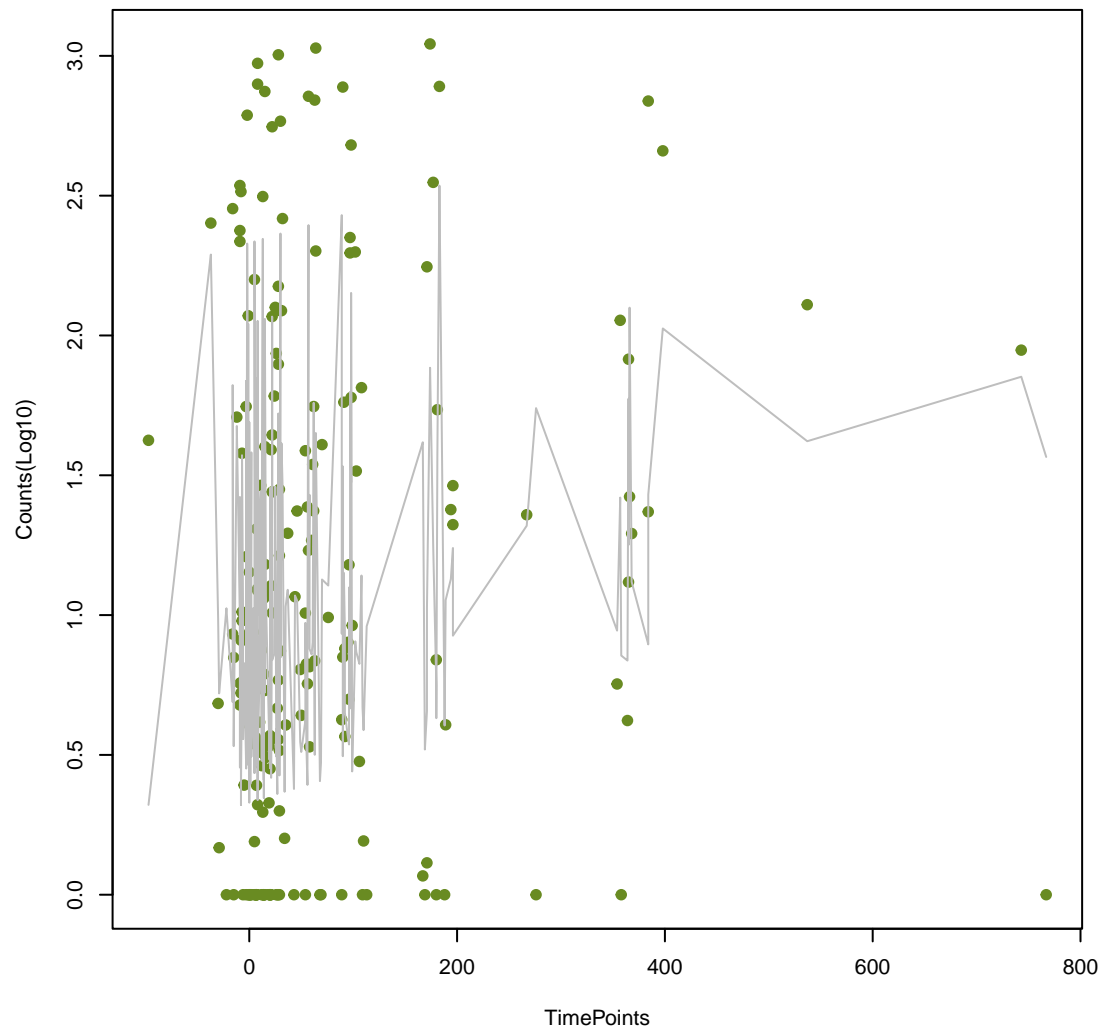
mdtA
ANOVA P=0.0208, adj. ANOVA-P=0.107



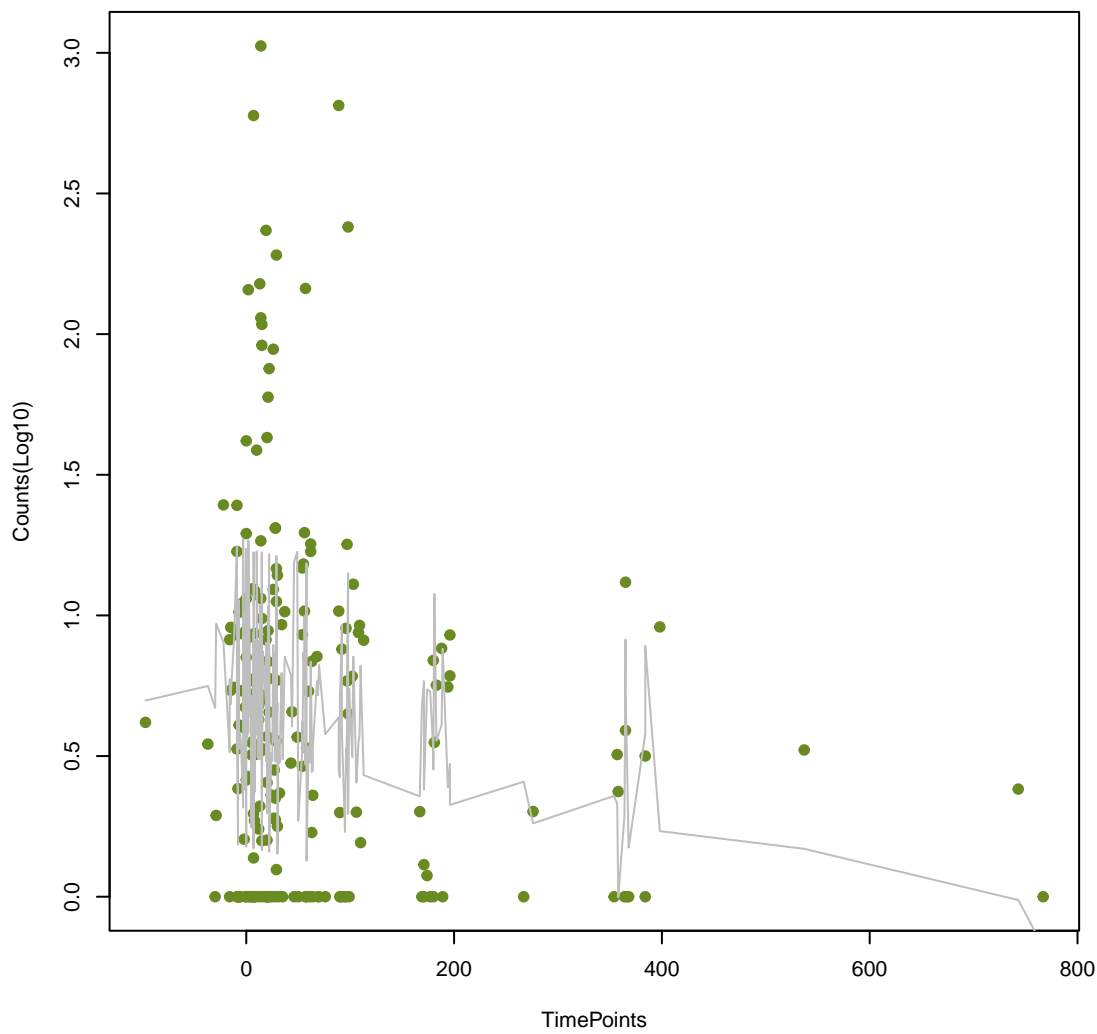
tetA(60)
ANOVA P=0.0218, adj. ANOVA-P=0.111



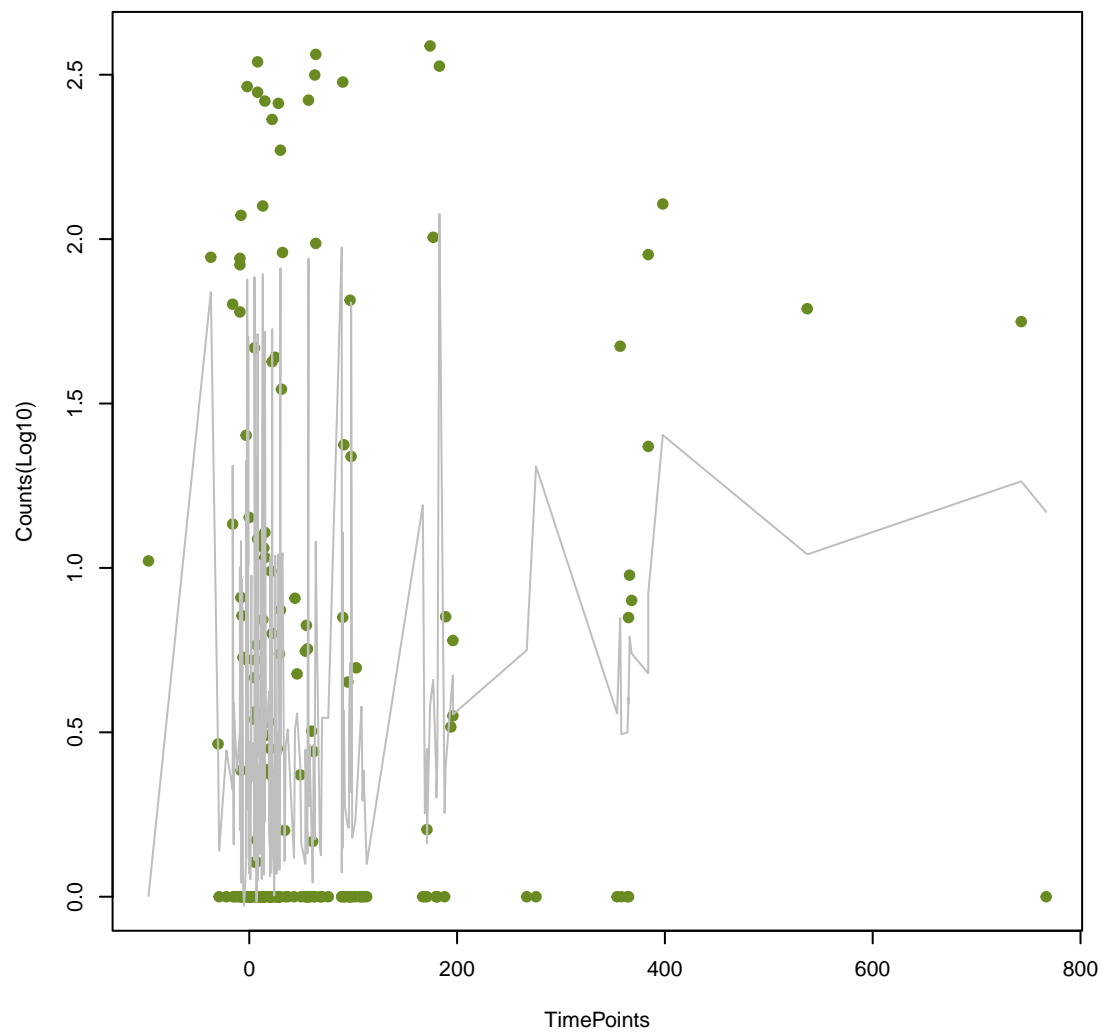
emrB
ANOVA P=0.0225, adj. ANOVA-P=0.112



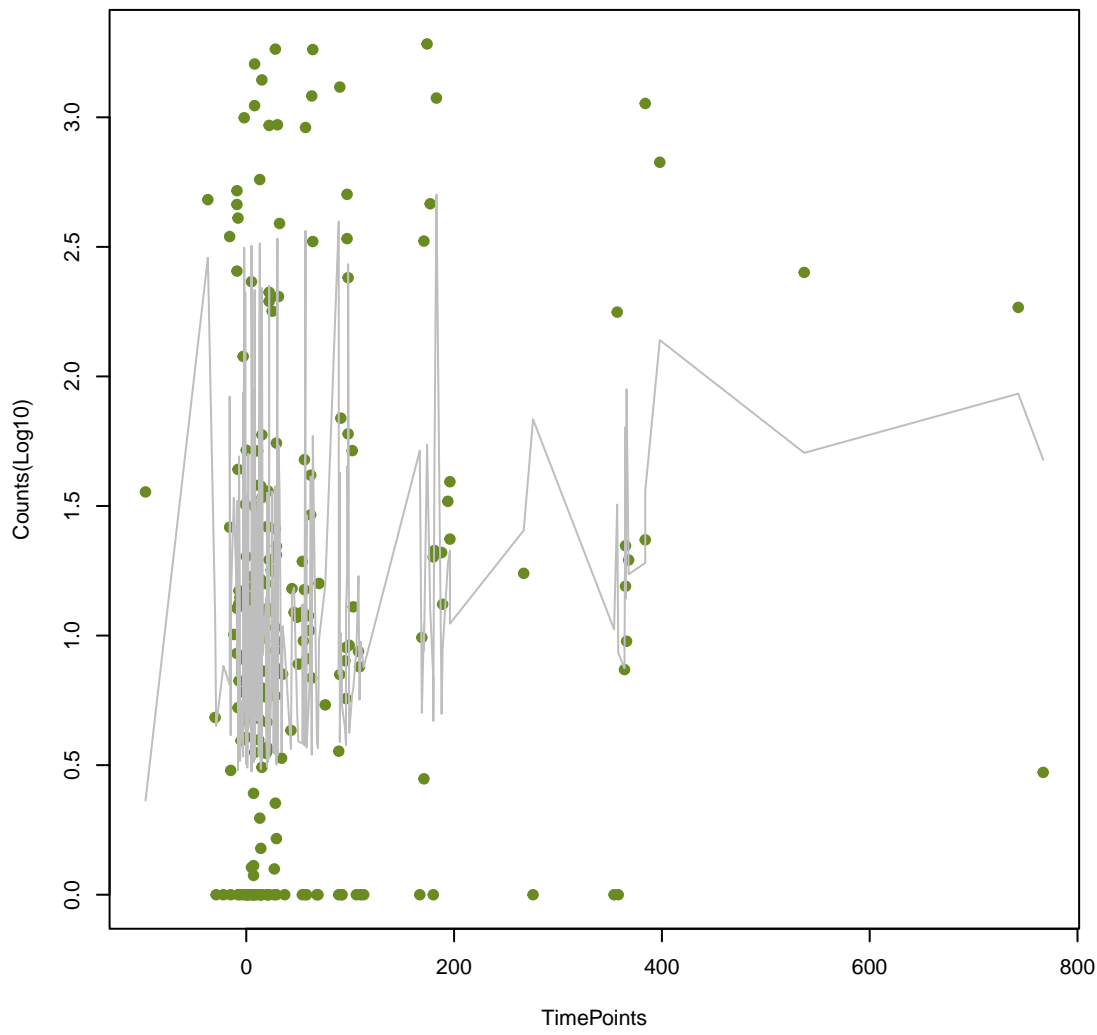
dfrB5
ANOVA P=0.0228, adj. ANOVA-P=0.112



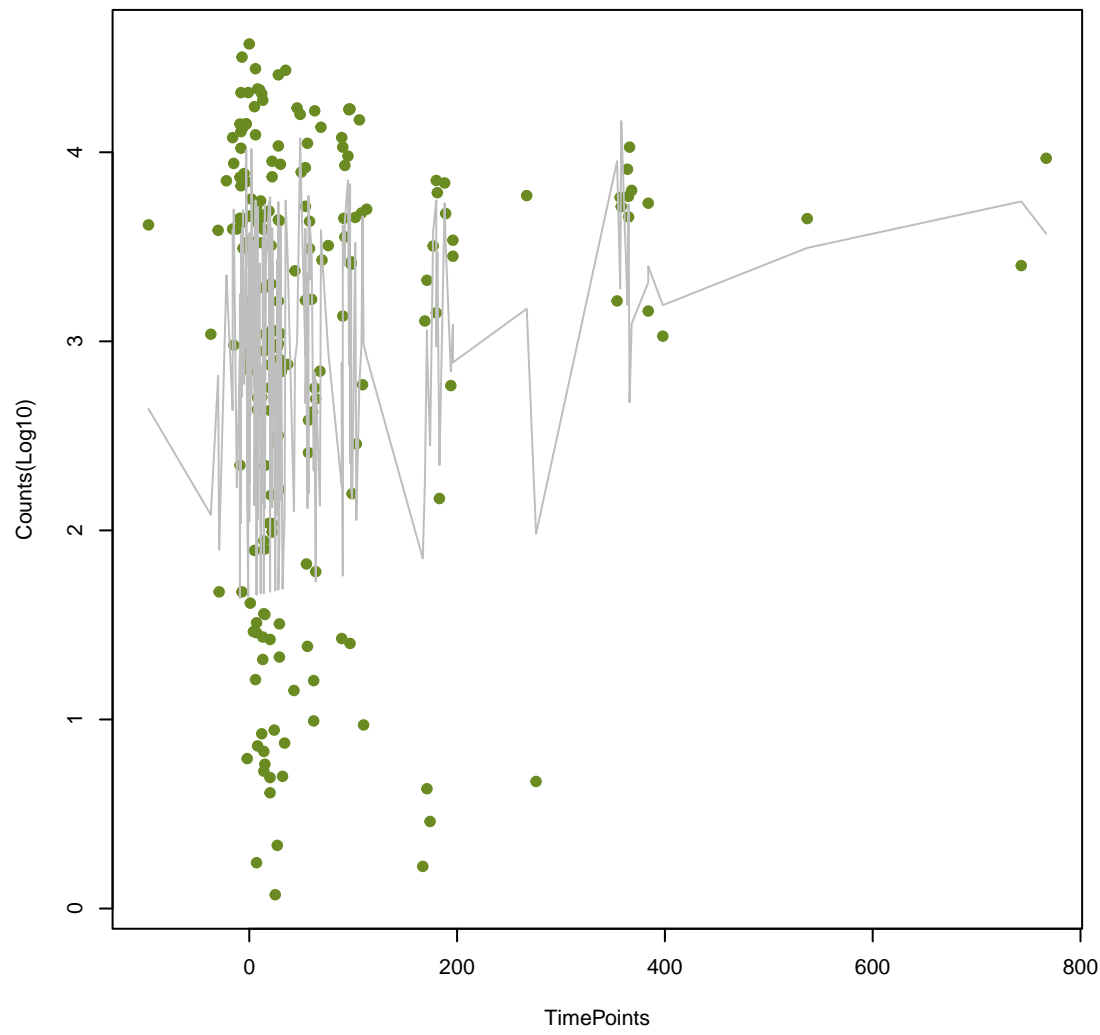
evgA
ANOVA P=0.0262, adj. ANOVA-P=0.124



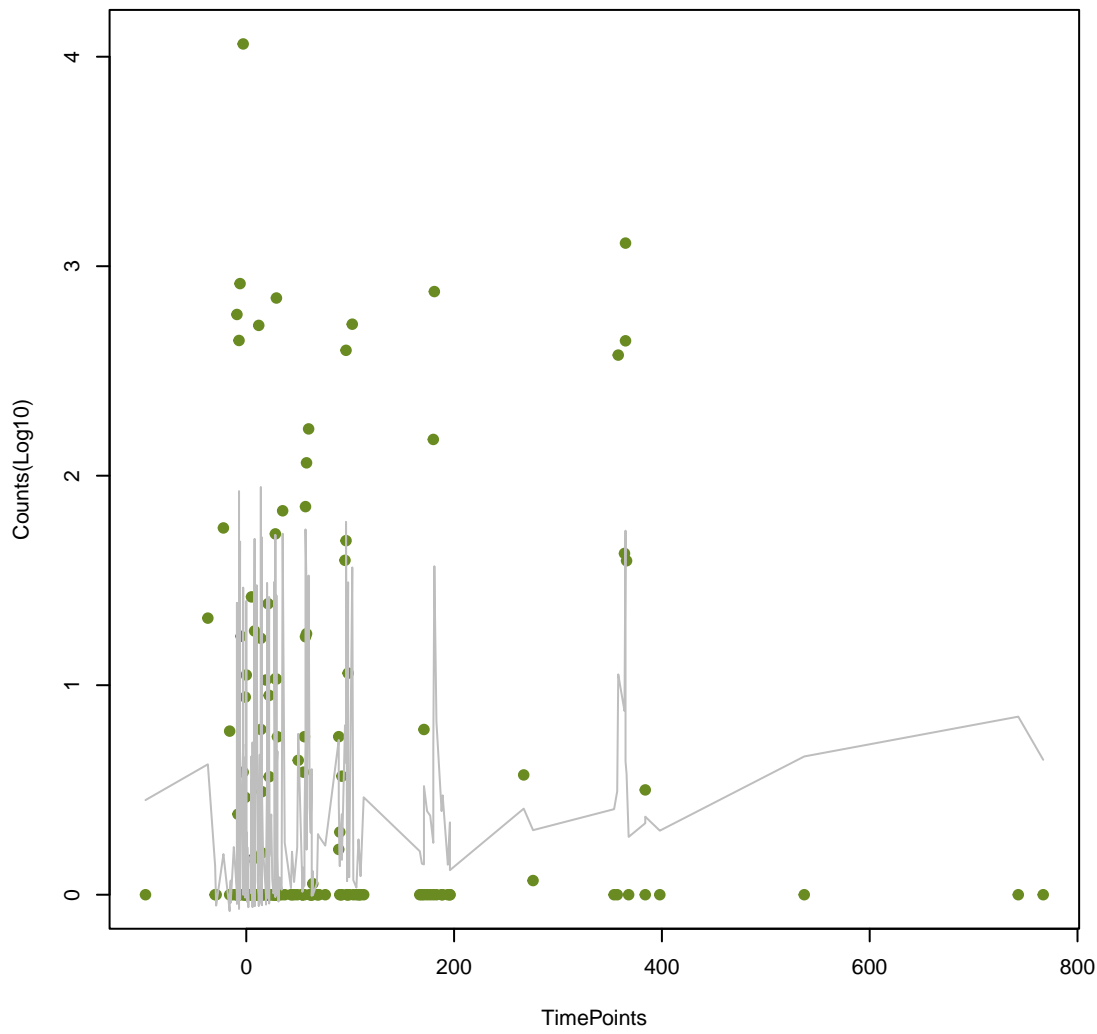
mdtC
ANOVA P=0.0262, adj. ANOVA-P=0.124



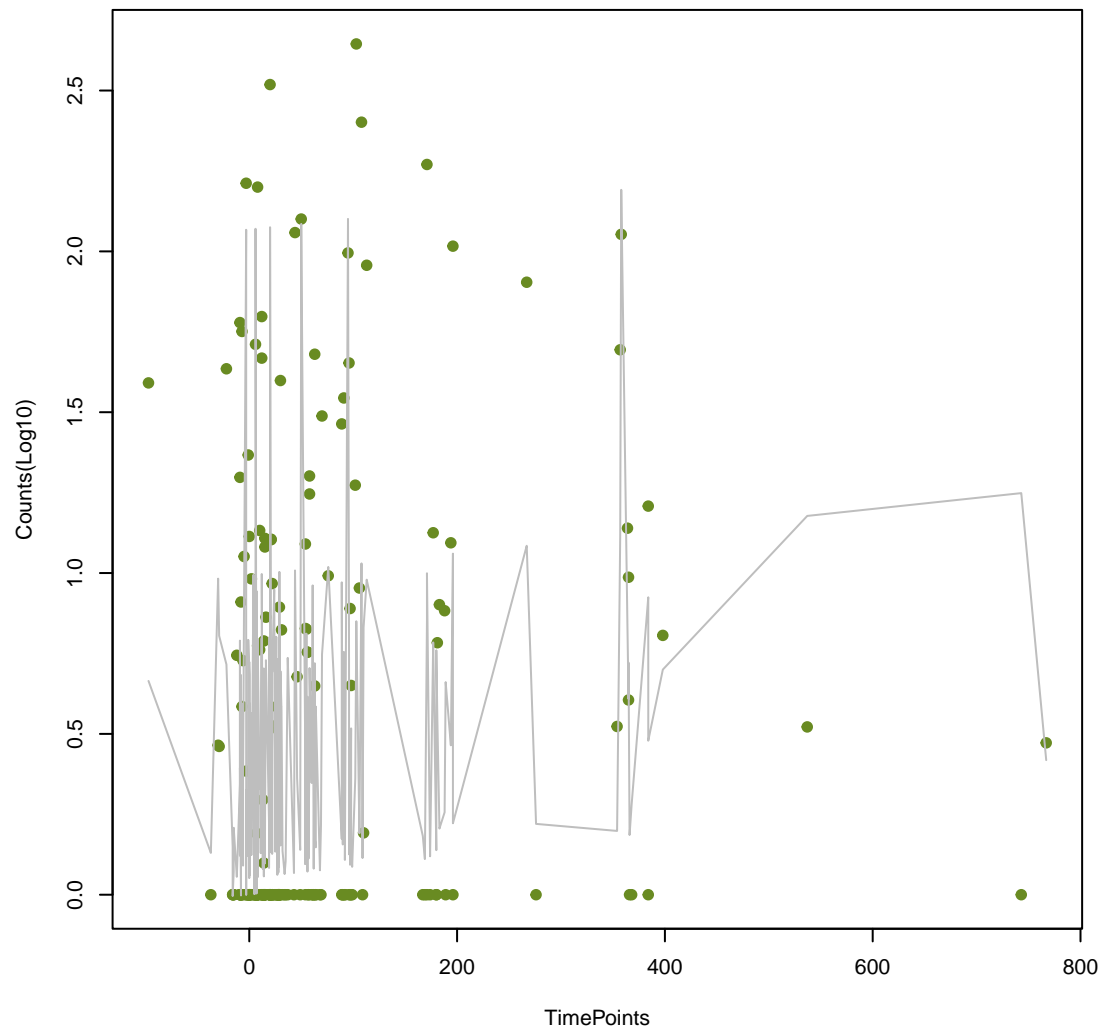
tetW
ANOVA P=0.0265, adj. ANOVA-P=0.124



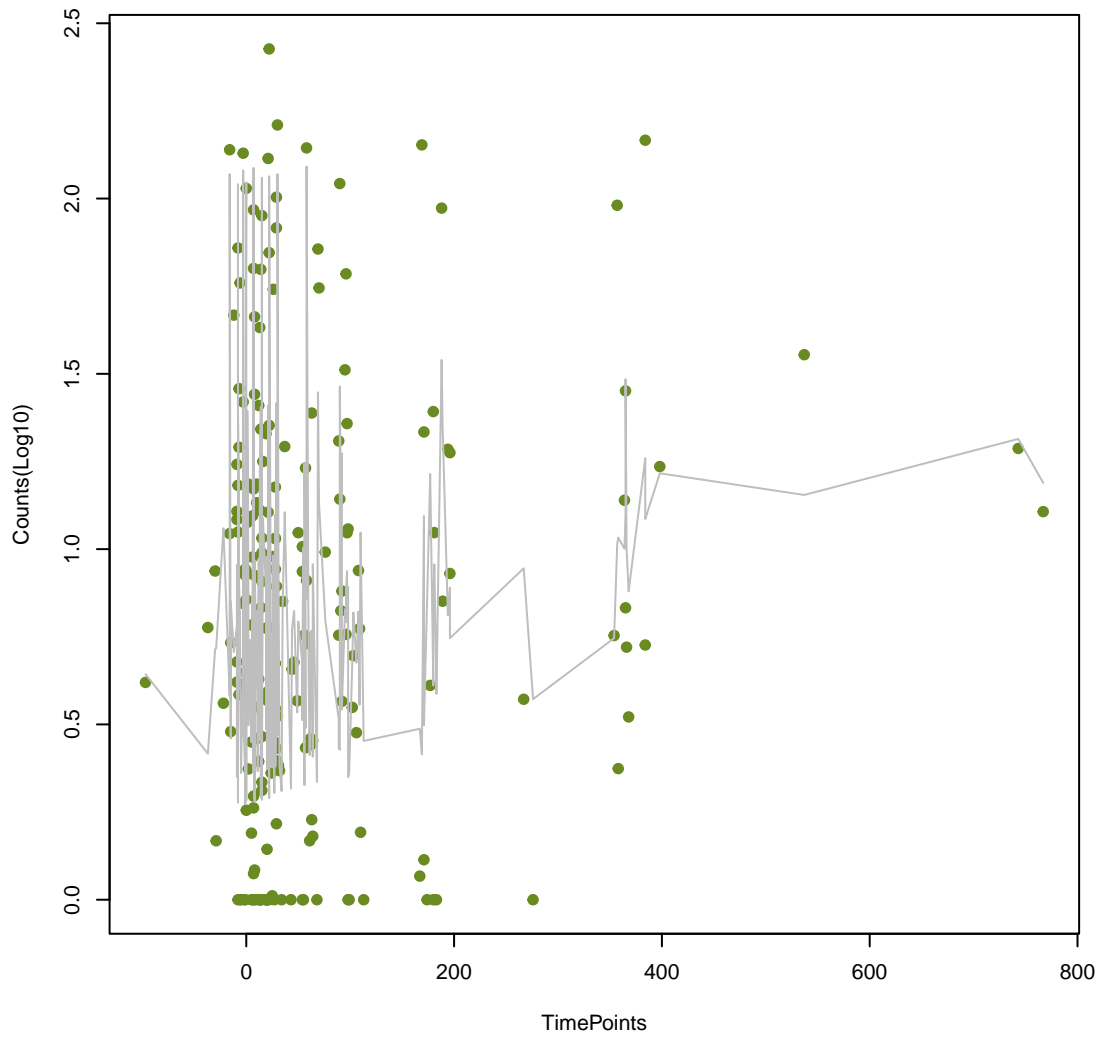
Ccol_ACT_CHL
ANOVA P=0.0275, adj. ANOVA-P=0.127



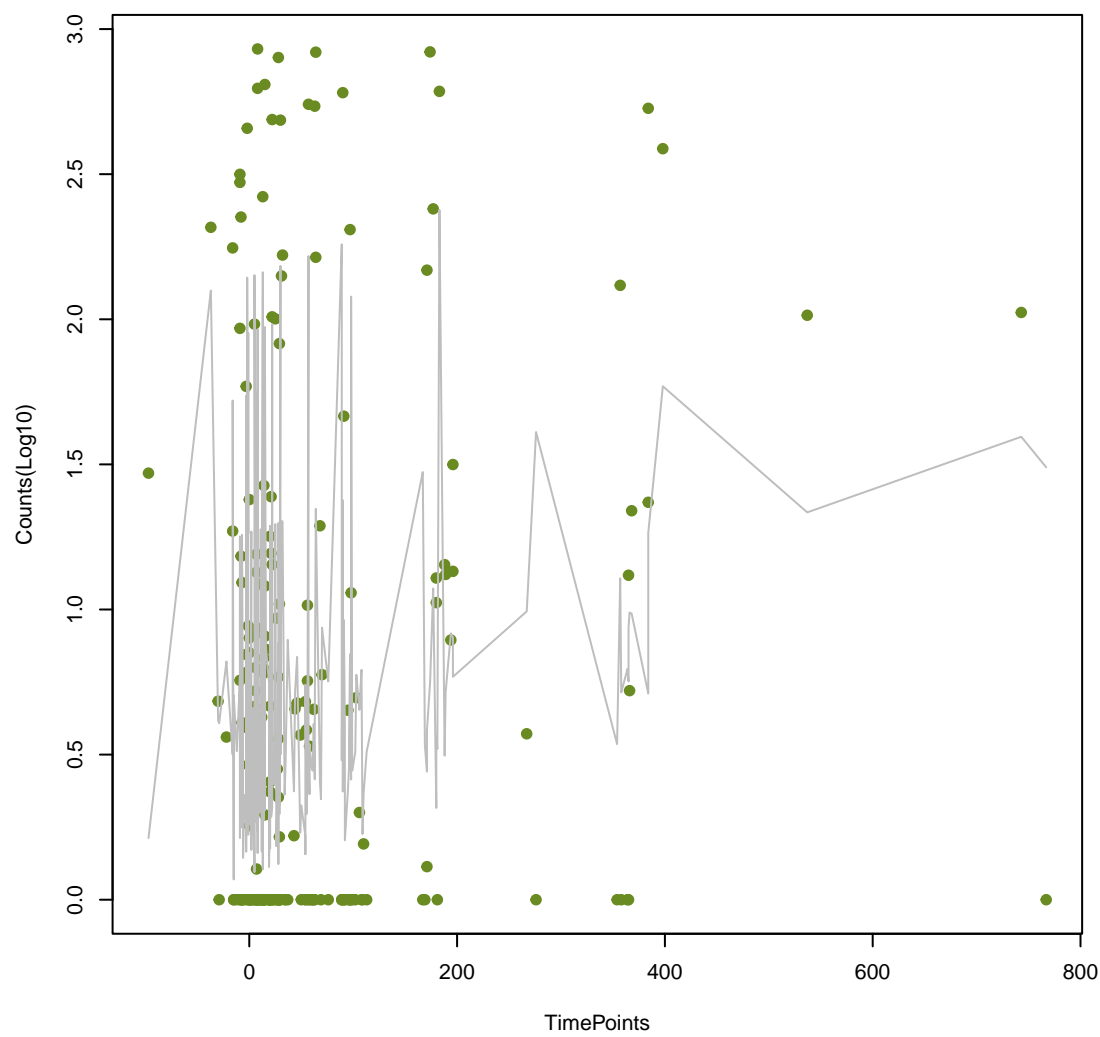
vanH_in_vanD_cl
ANOVA P=0.0282, adj. ANOVA-P=0.128



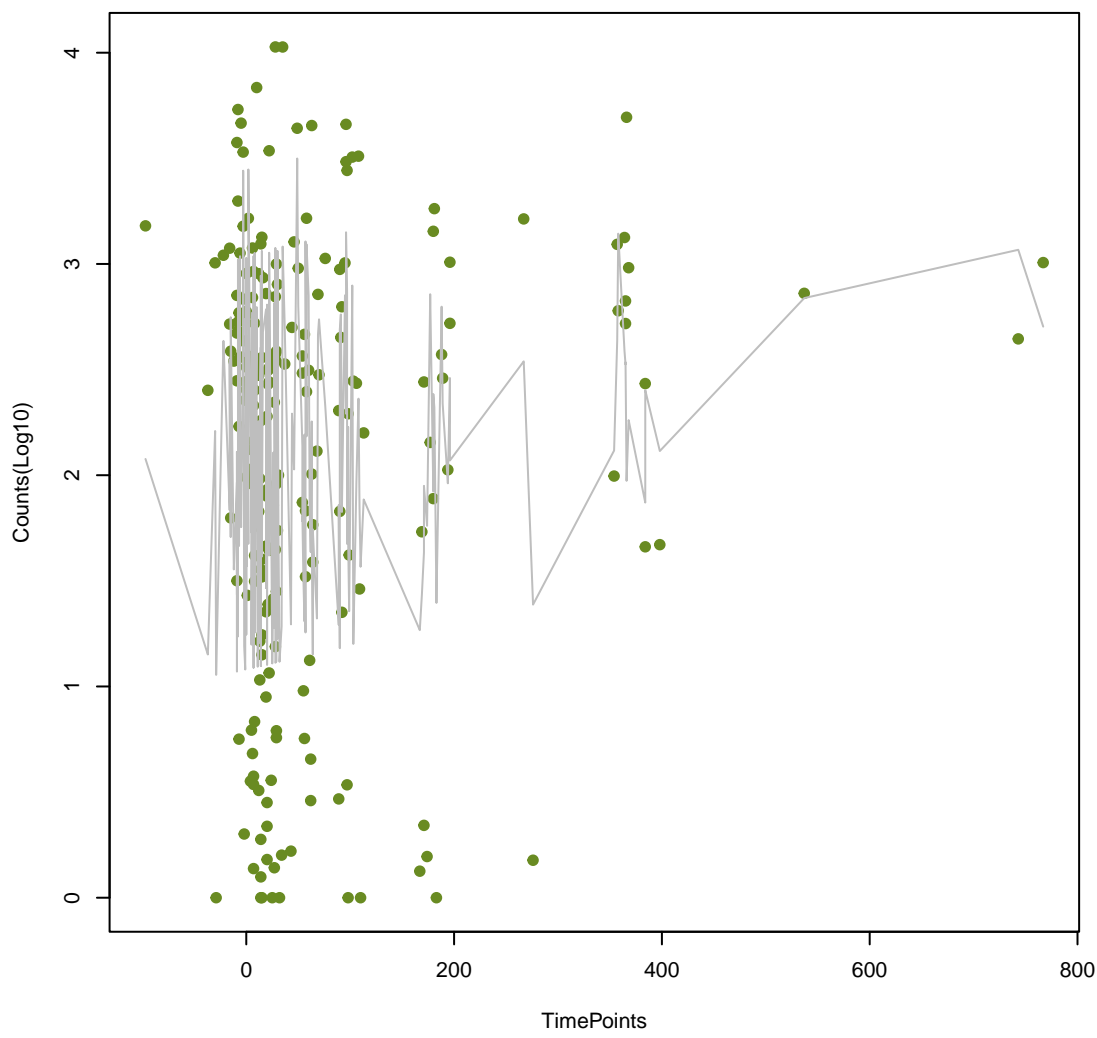
rpoB2
ANOVA P=0.0307, adj. ANOVA-P=0.137



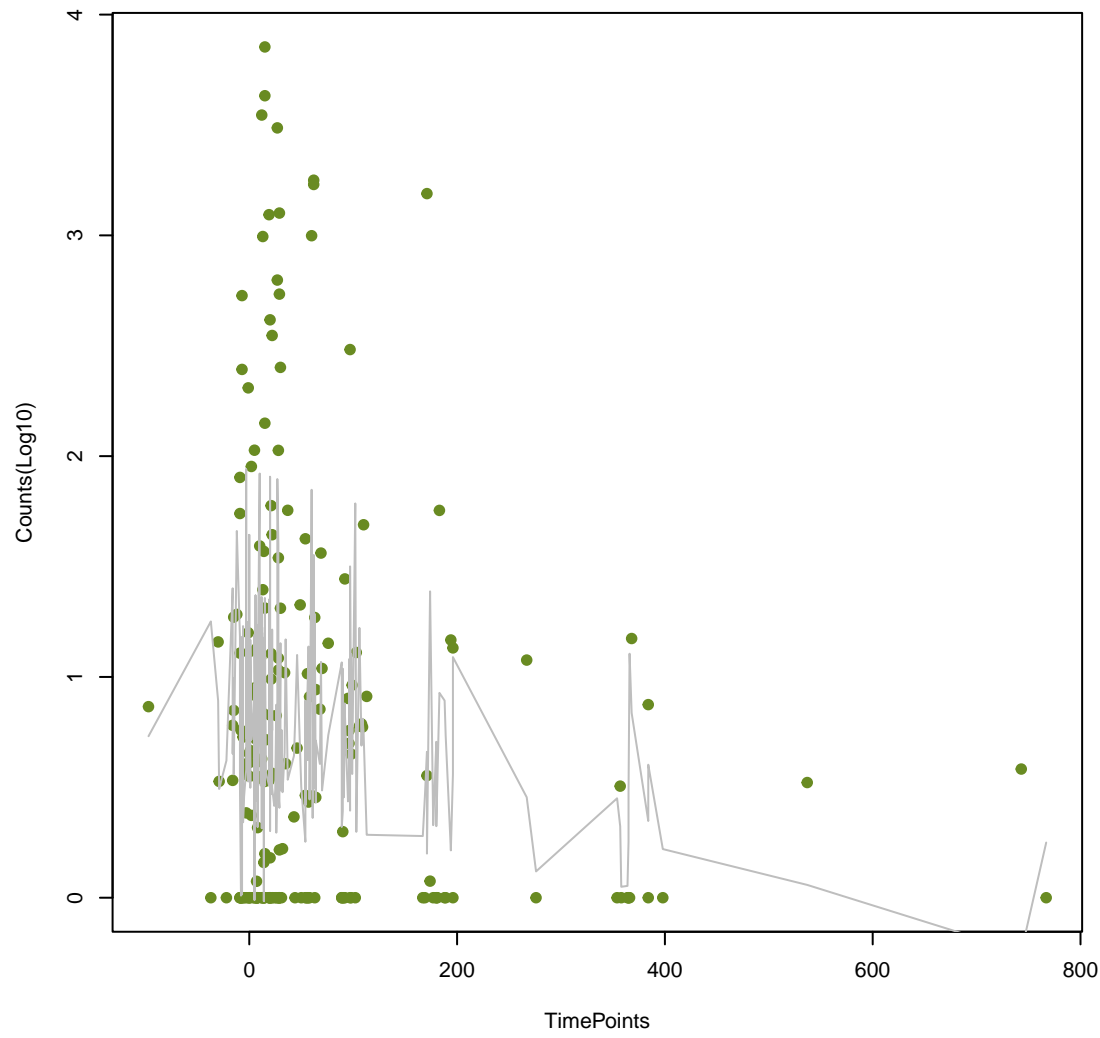
mdtN
ANOVA P=0.0337, adj. ANOVA-P=0.148



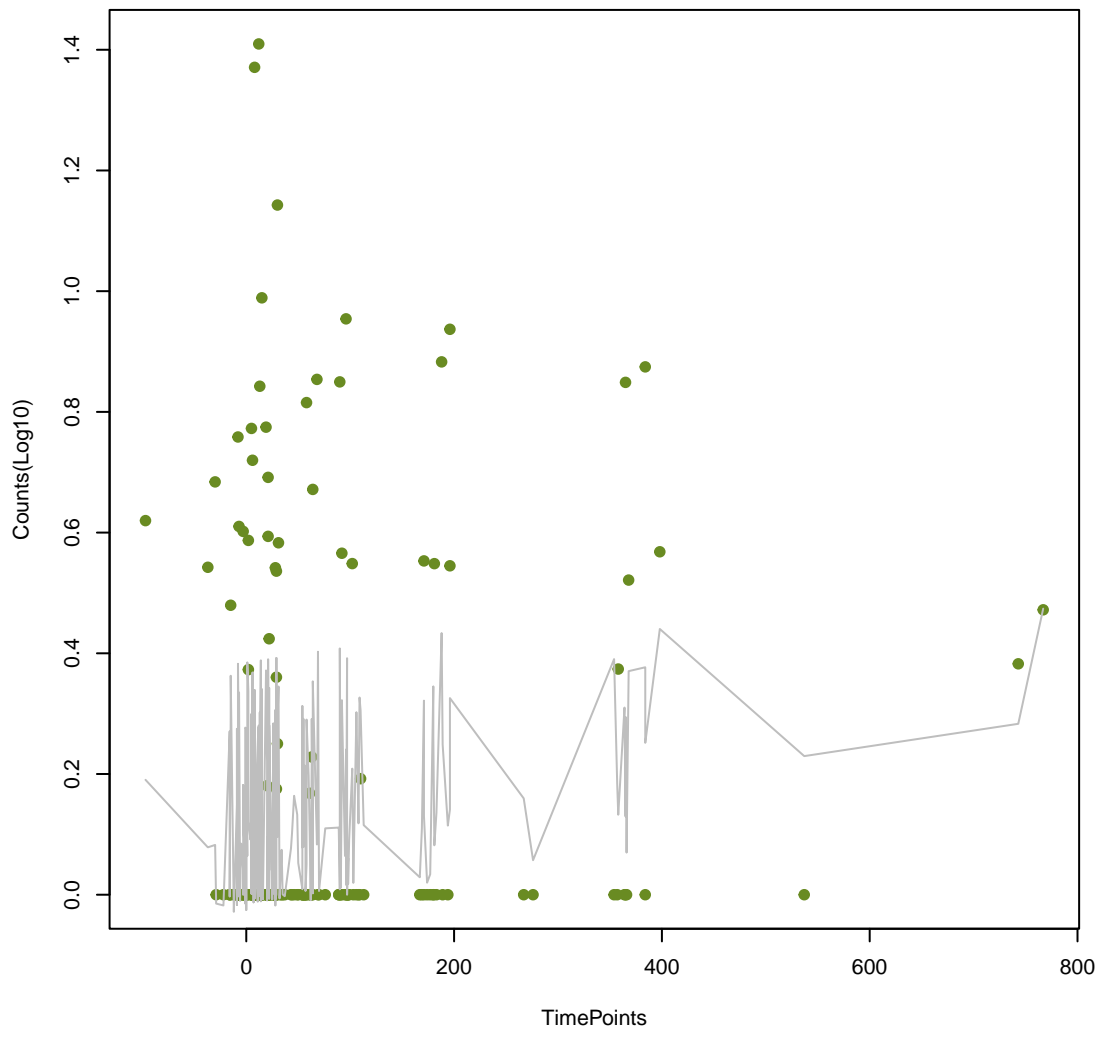
tet(W/N/W)
ANOVA P=0.0353, adj. ANOVA-P=0.153



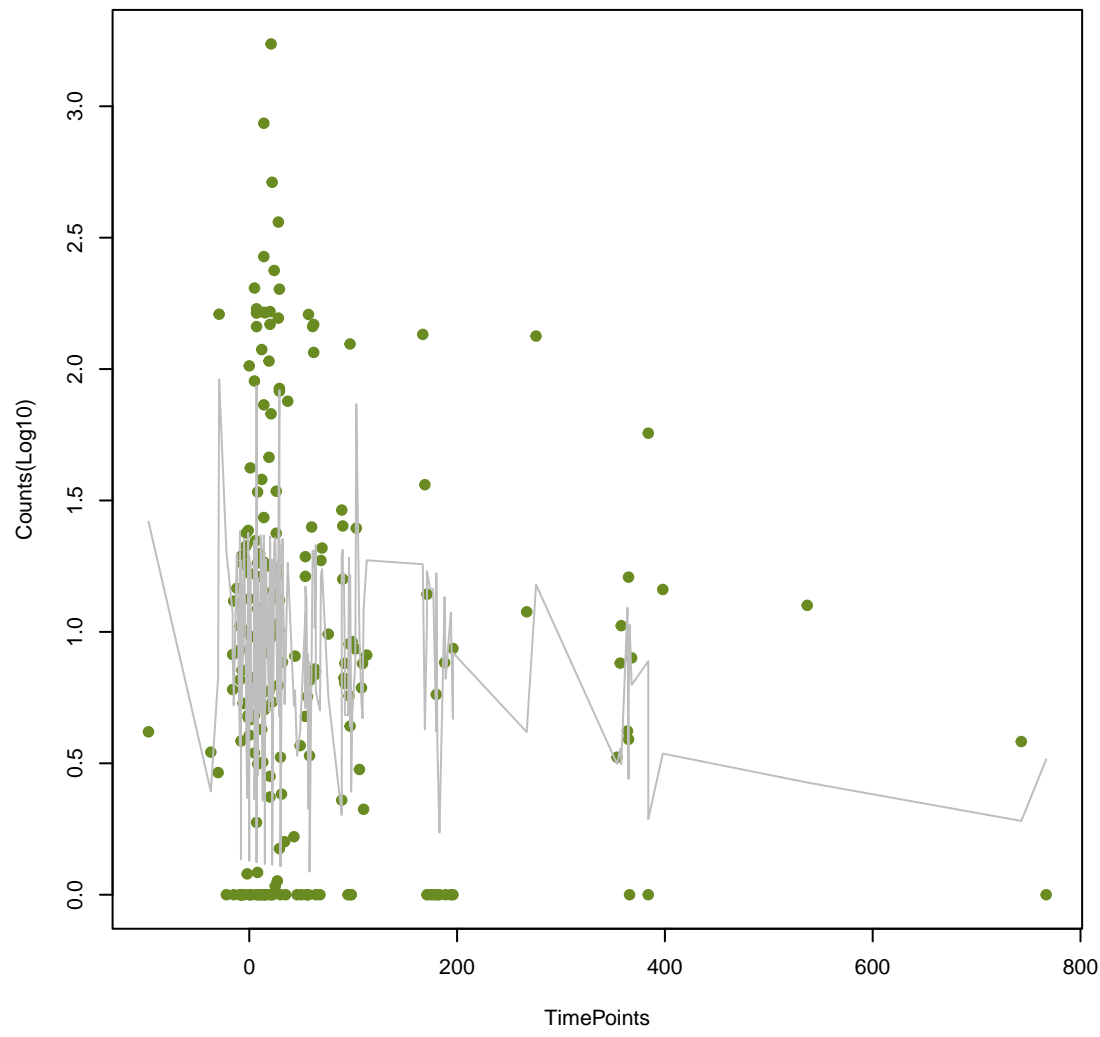
efrB
ANOVA P=0.037, adj. ANOVA-P=0.158



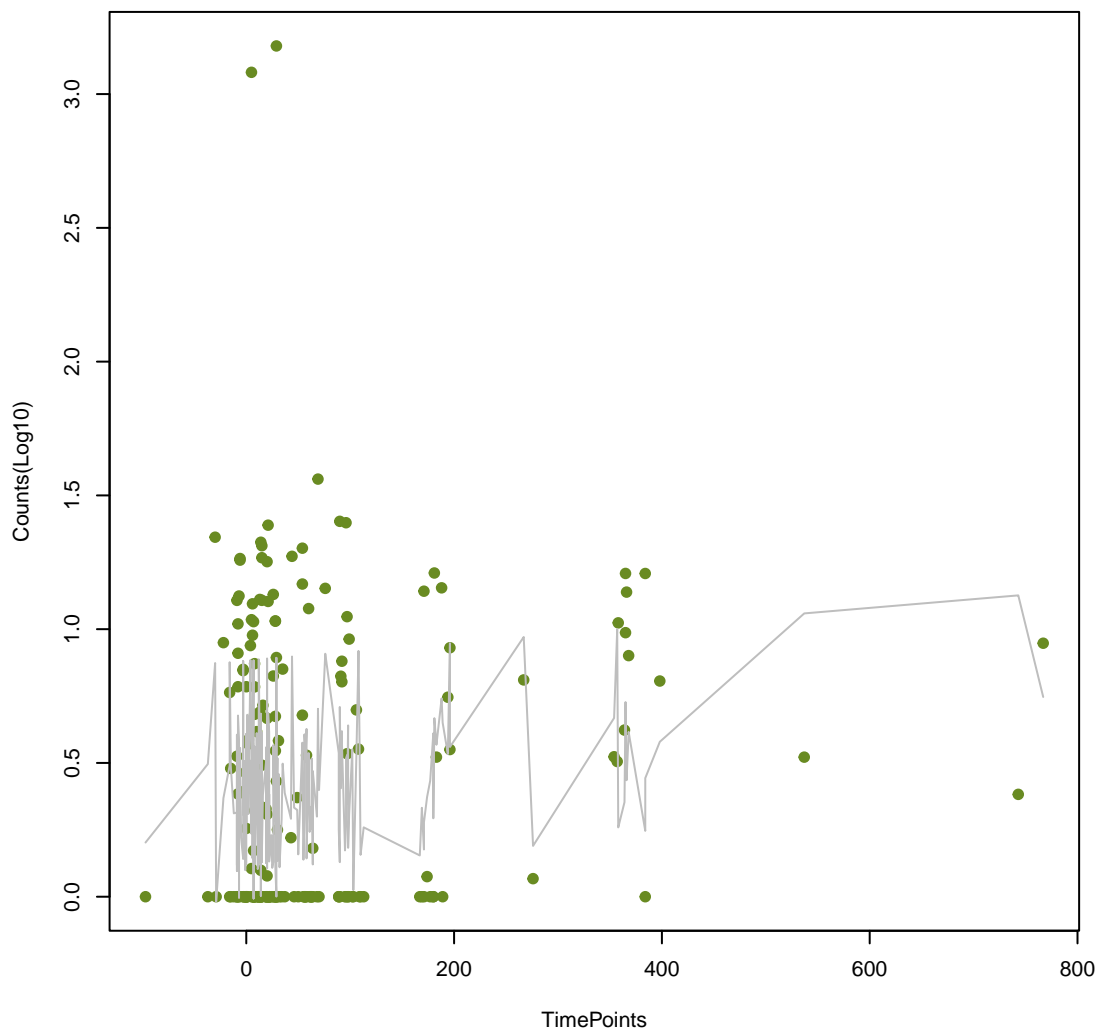
mecD
ANOVA P=0.0391, adj. ANOVA-P=0.163



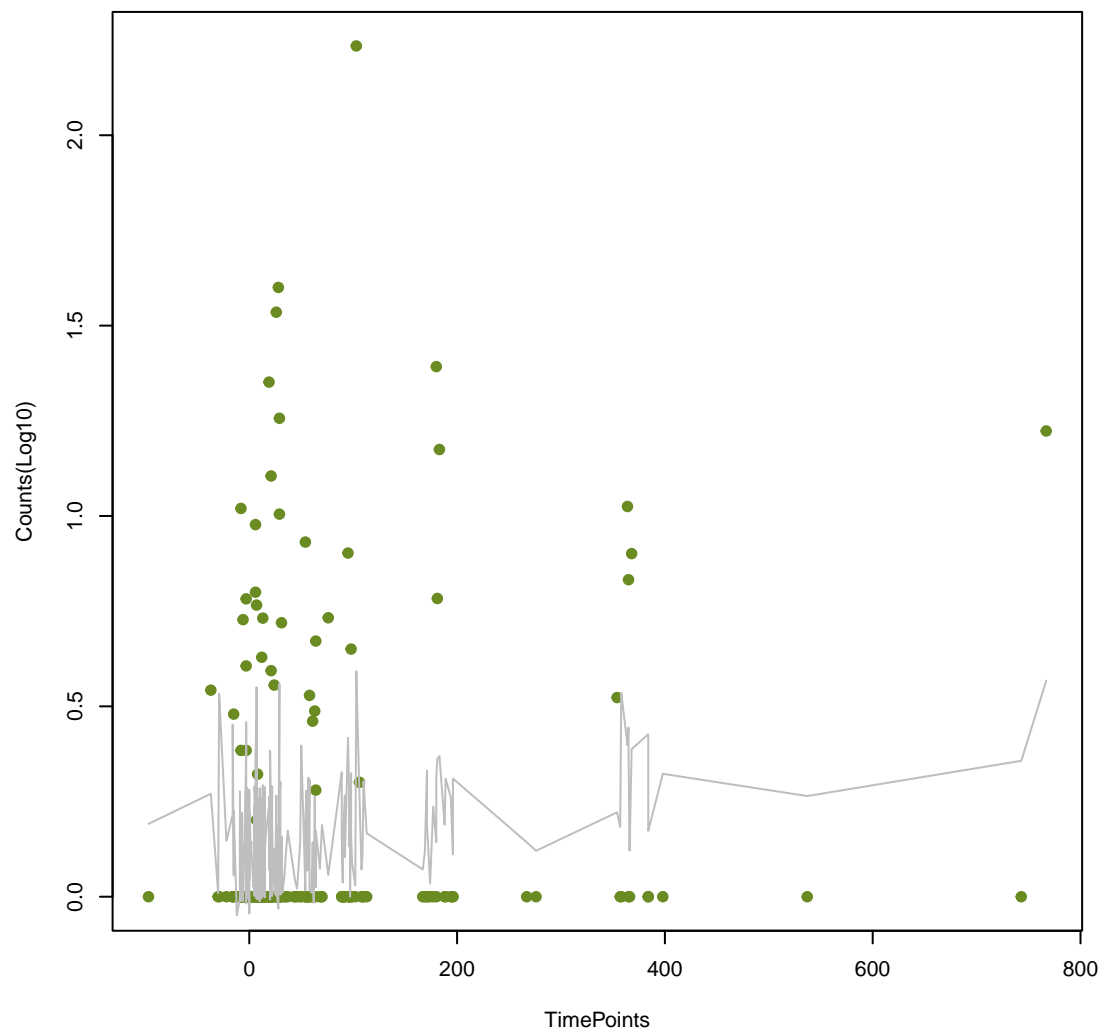
poxtA
ANOVA P=0.0393, adj. ANOVA-P=0.163



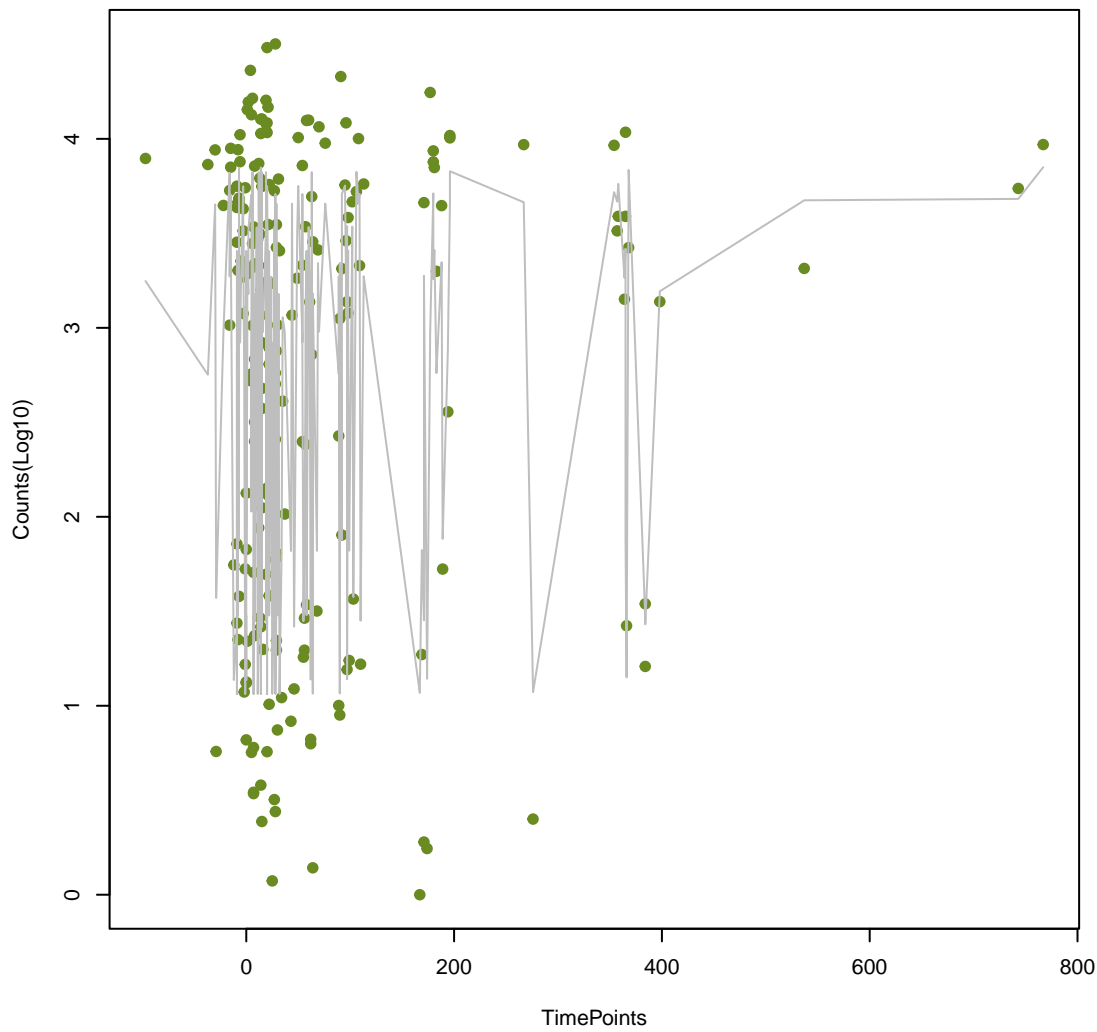
MexI
ANOVA P=0.0402, adj. ANOVA-P=0.165



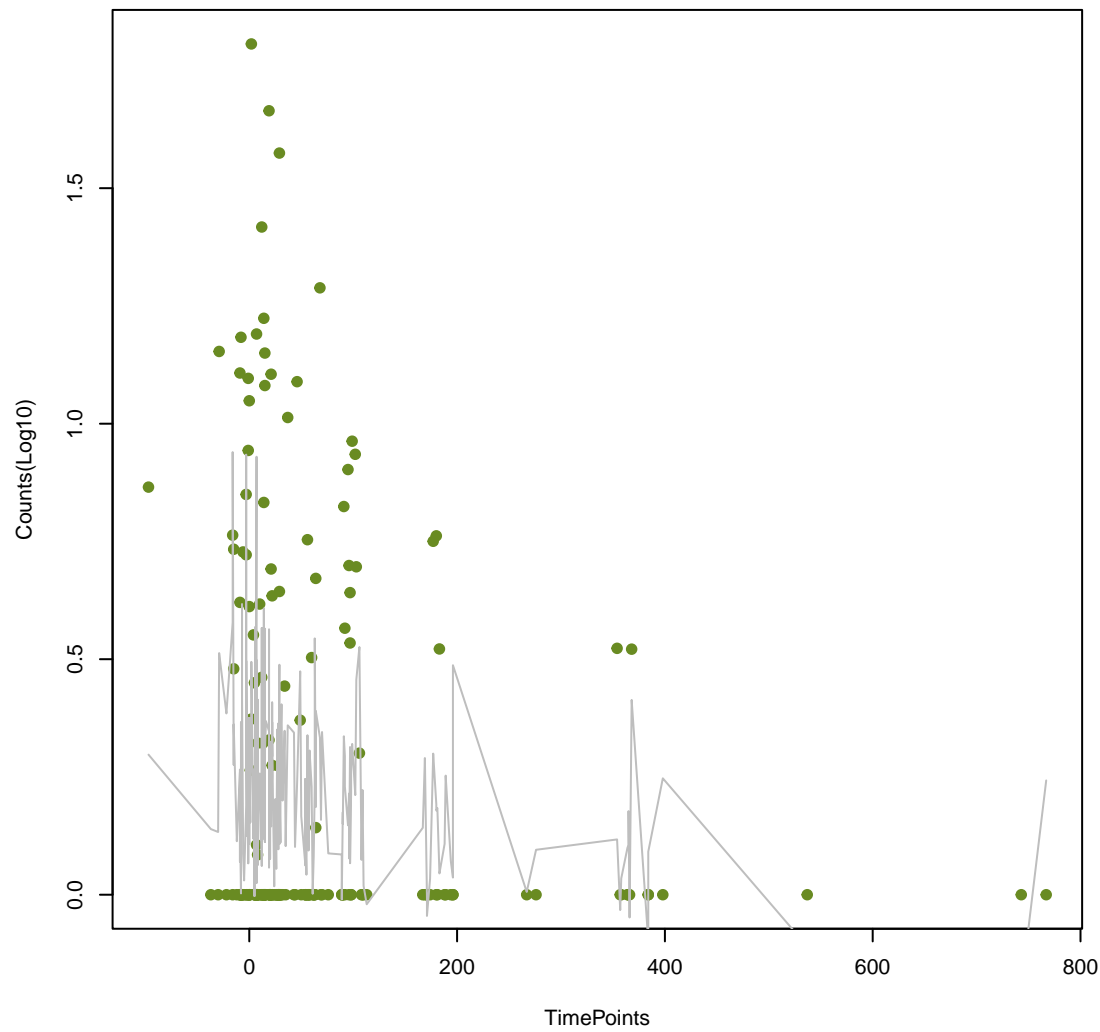
QnrB54
ANOVA P=0.0434, adj. ANOVA-P=0.175



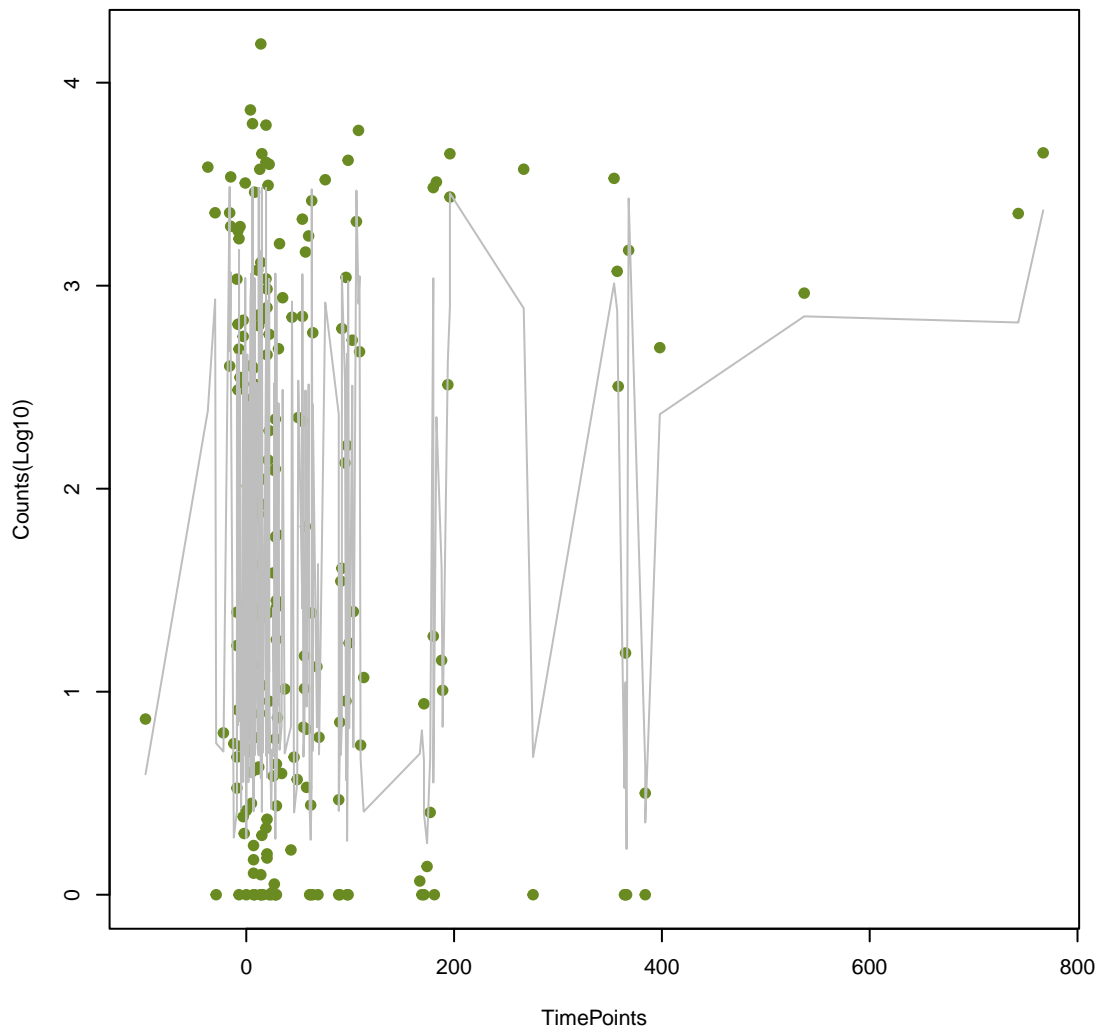
tetQ
ANOVA P=0.046, adj. ANOVA-P=0.183



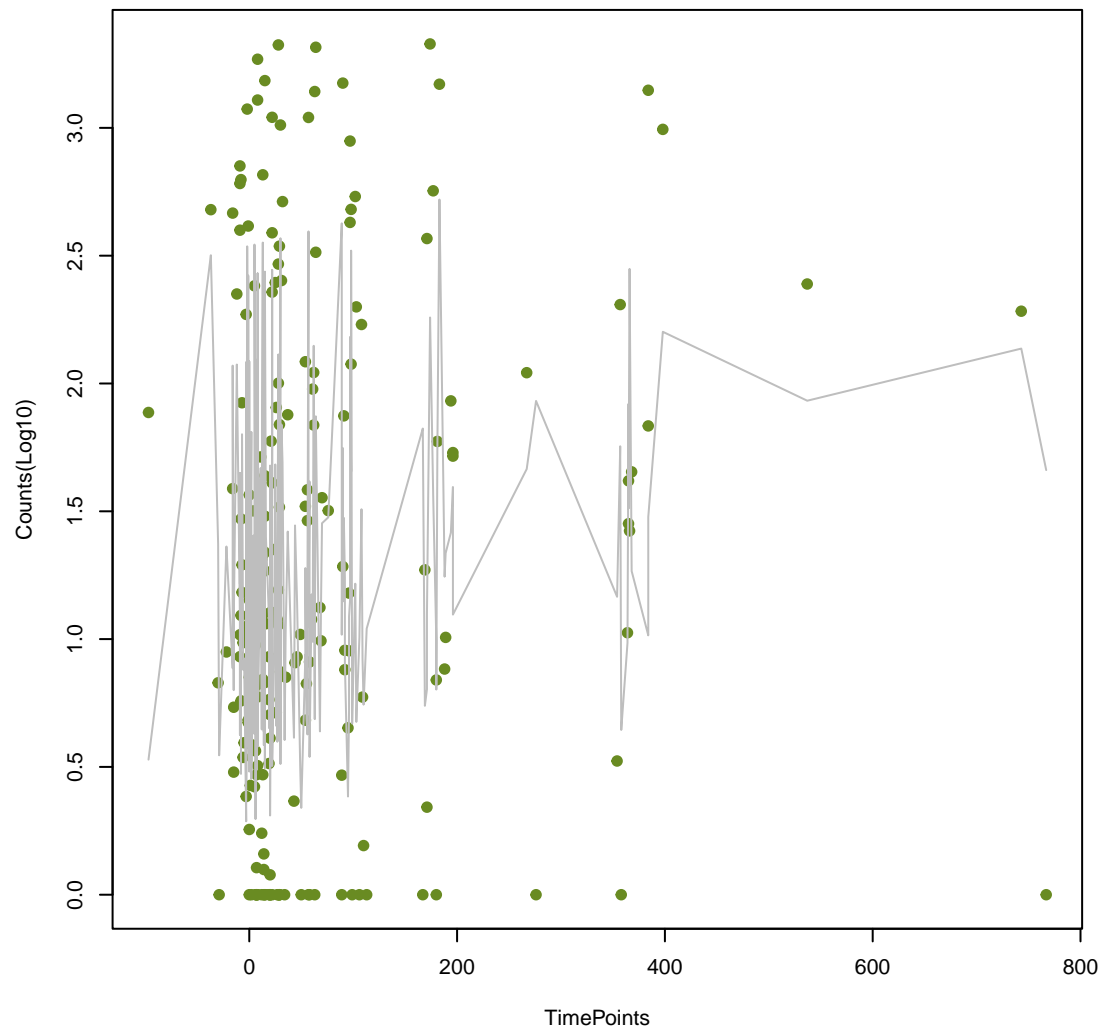
CDD-2
ANOVA P=0.0476, adj. ANOVA-P=0.187



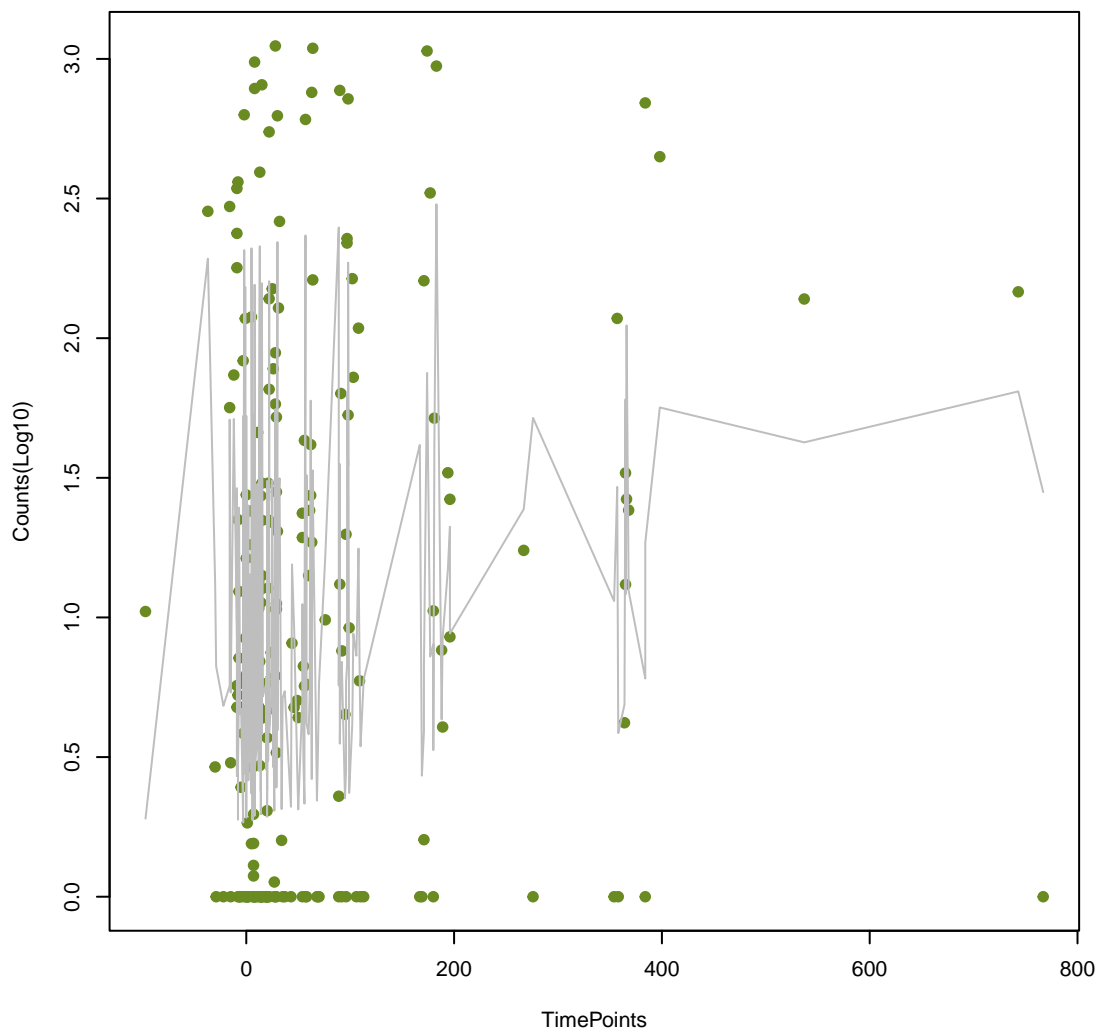
Mef(En2)
ANOVA P=0.0491, adj. ANOVA-P=0.189



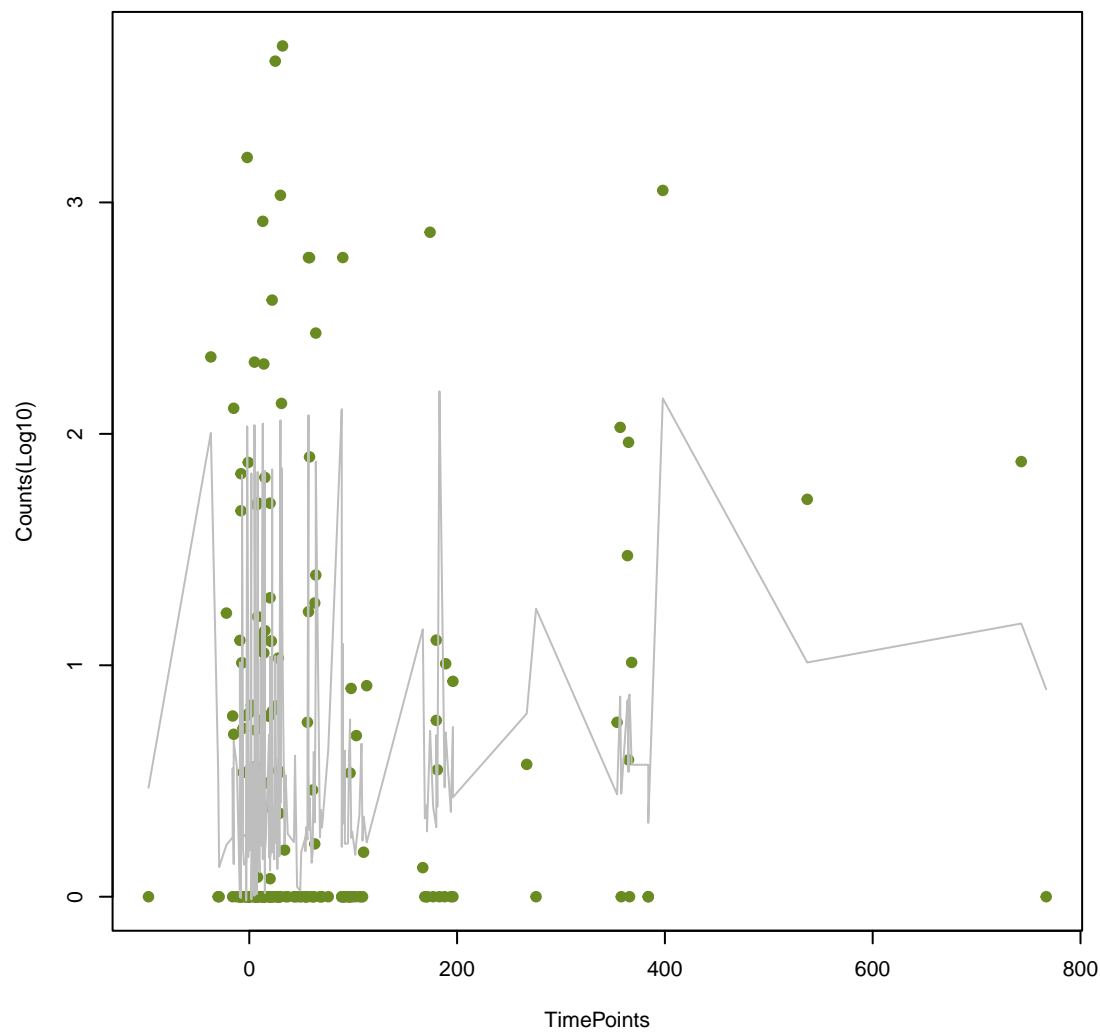
acrB
ANOVA P=0.0492, adj. ANOVA-P=0.189



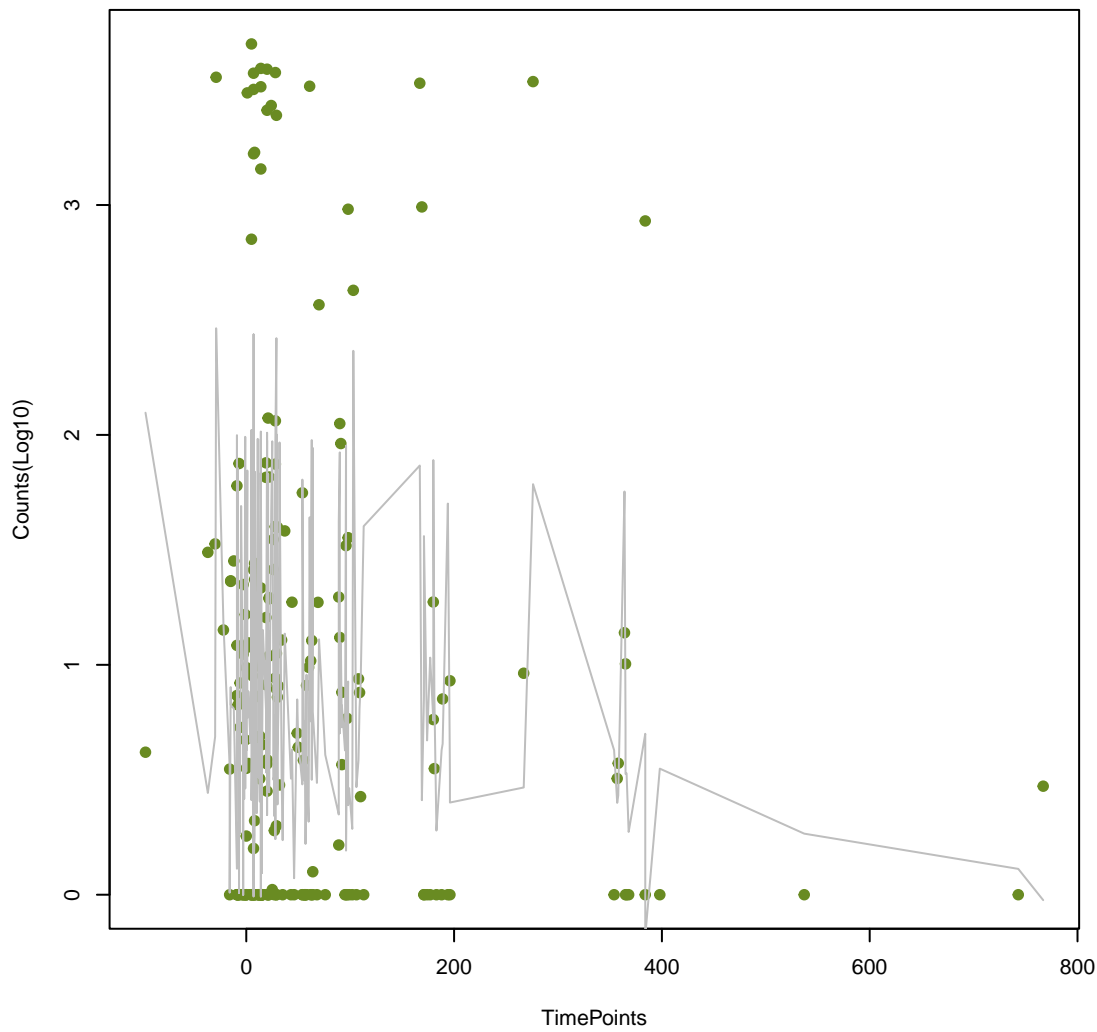
ToIC
ANOVA P=0.0499, adj. ANOVA-P=0.189



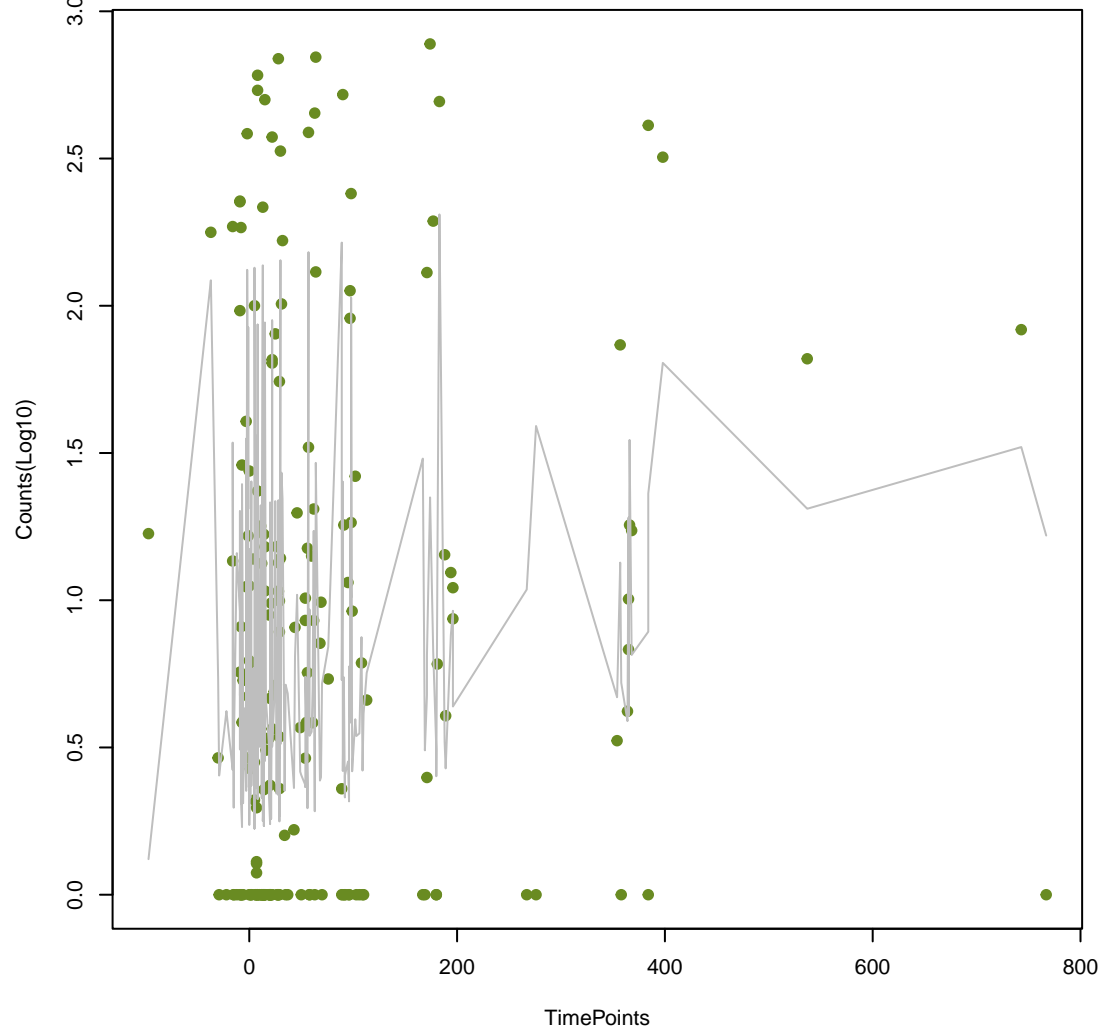
APH(3")-lb
ANOVA P=0.0514, adj. ANOVA-P=0.191



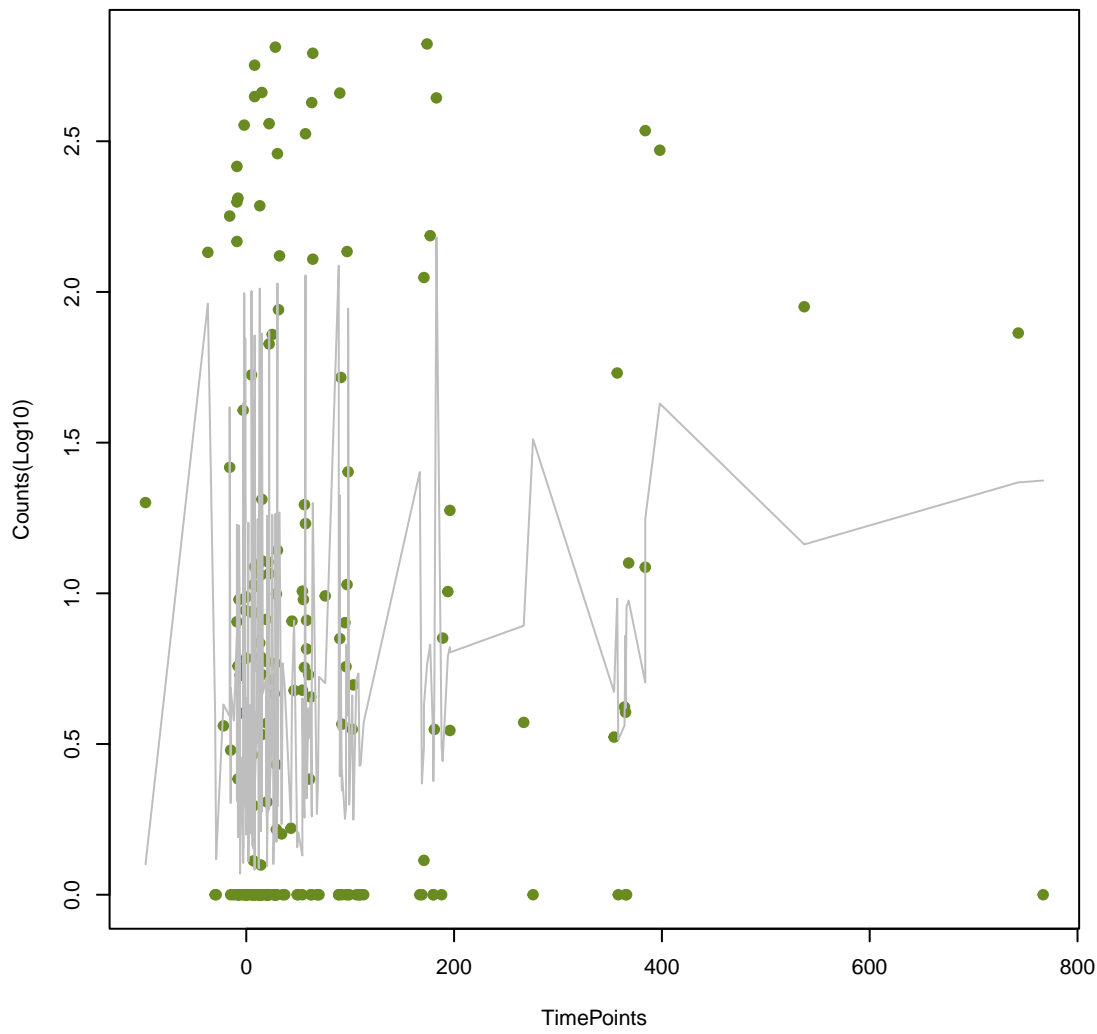
vanH_in_vanA_cl
ANOVA P=0.0517, adj. ANOVA-P=0.191



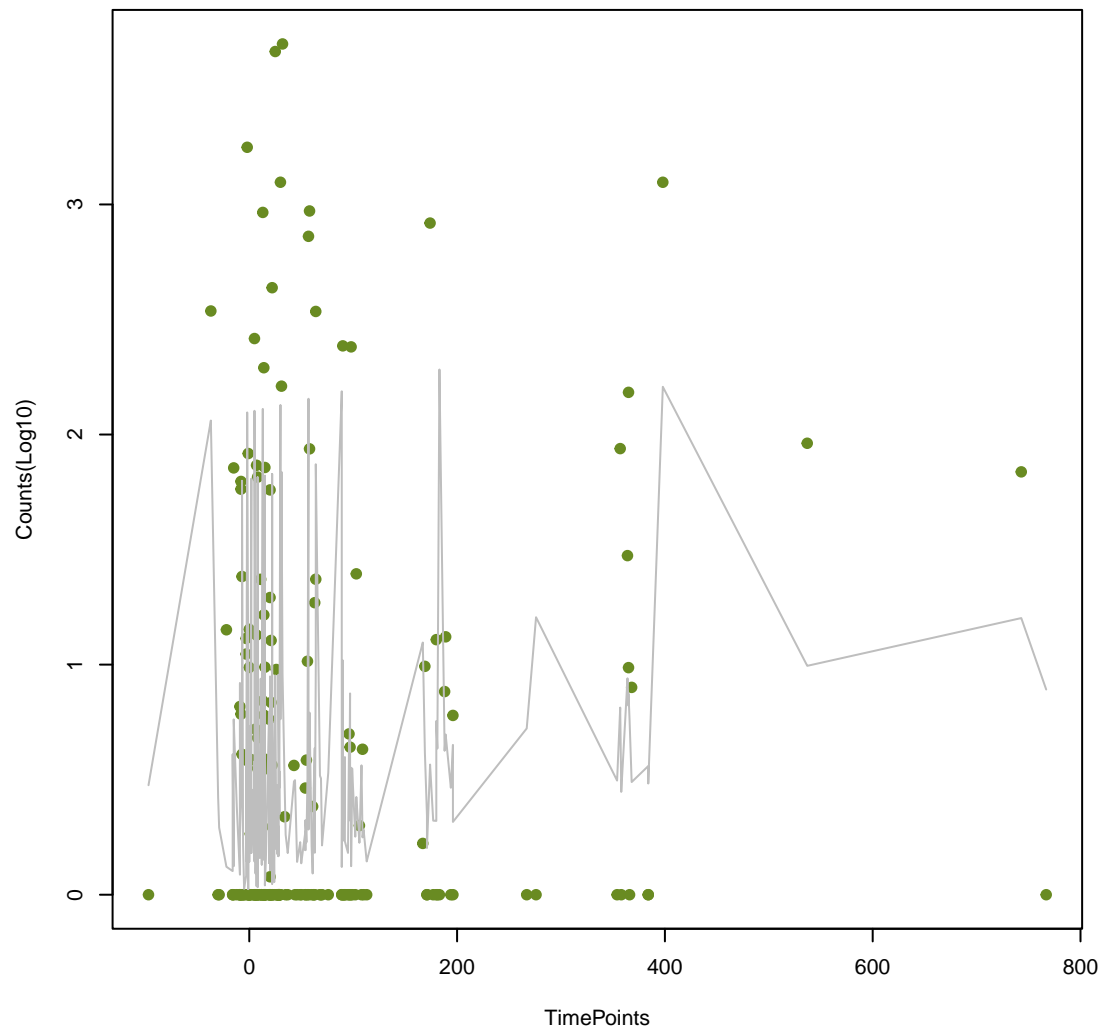
mdtH
ANOVA P=0.0523, adj. ANOVA-P=0.191



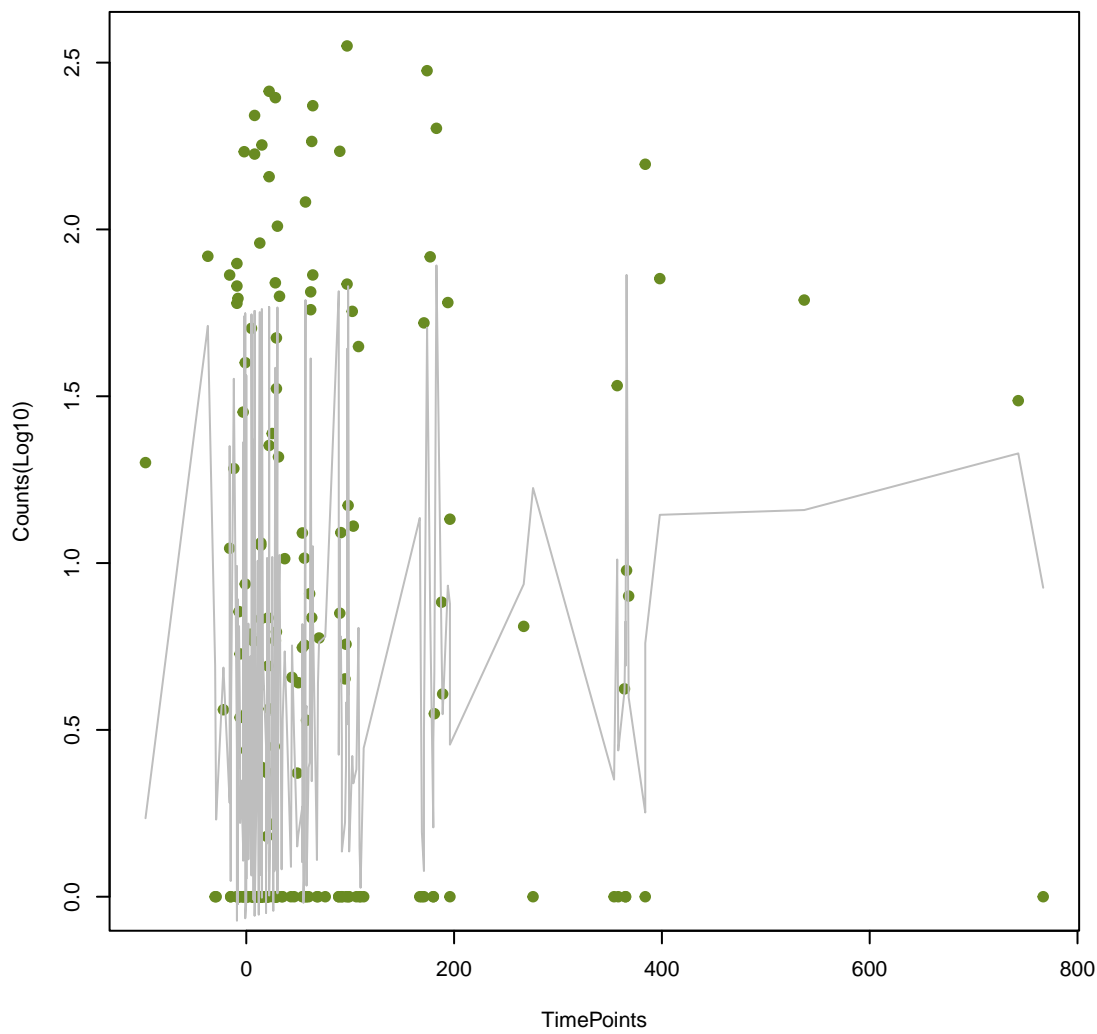
PmrF
ANOVA P=0.054, adj. ANOVA-P=0.195



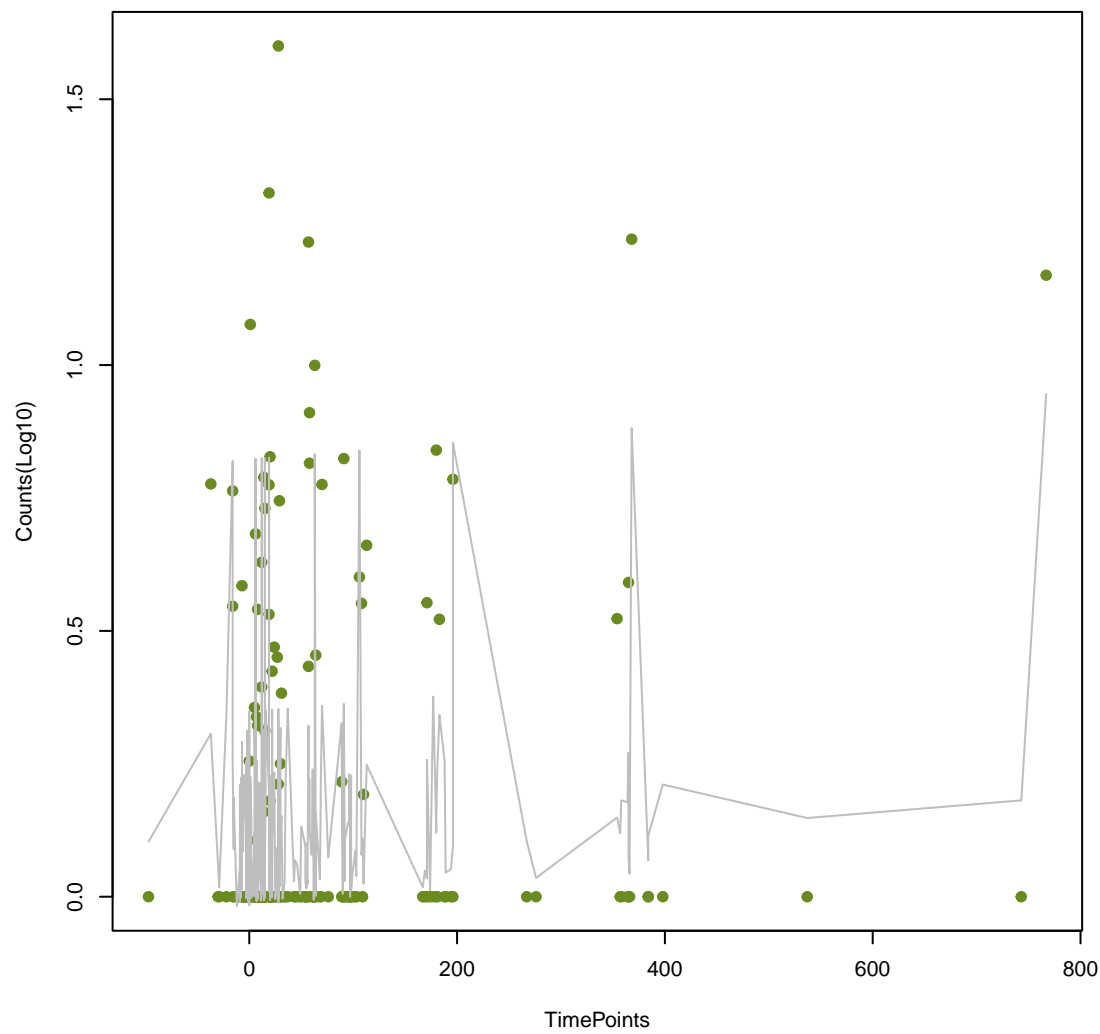
APH(6)-ld
ANOVA P=0.0582, adj. ANOVA-P=0.206



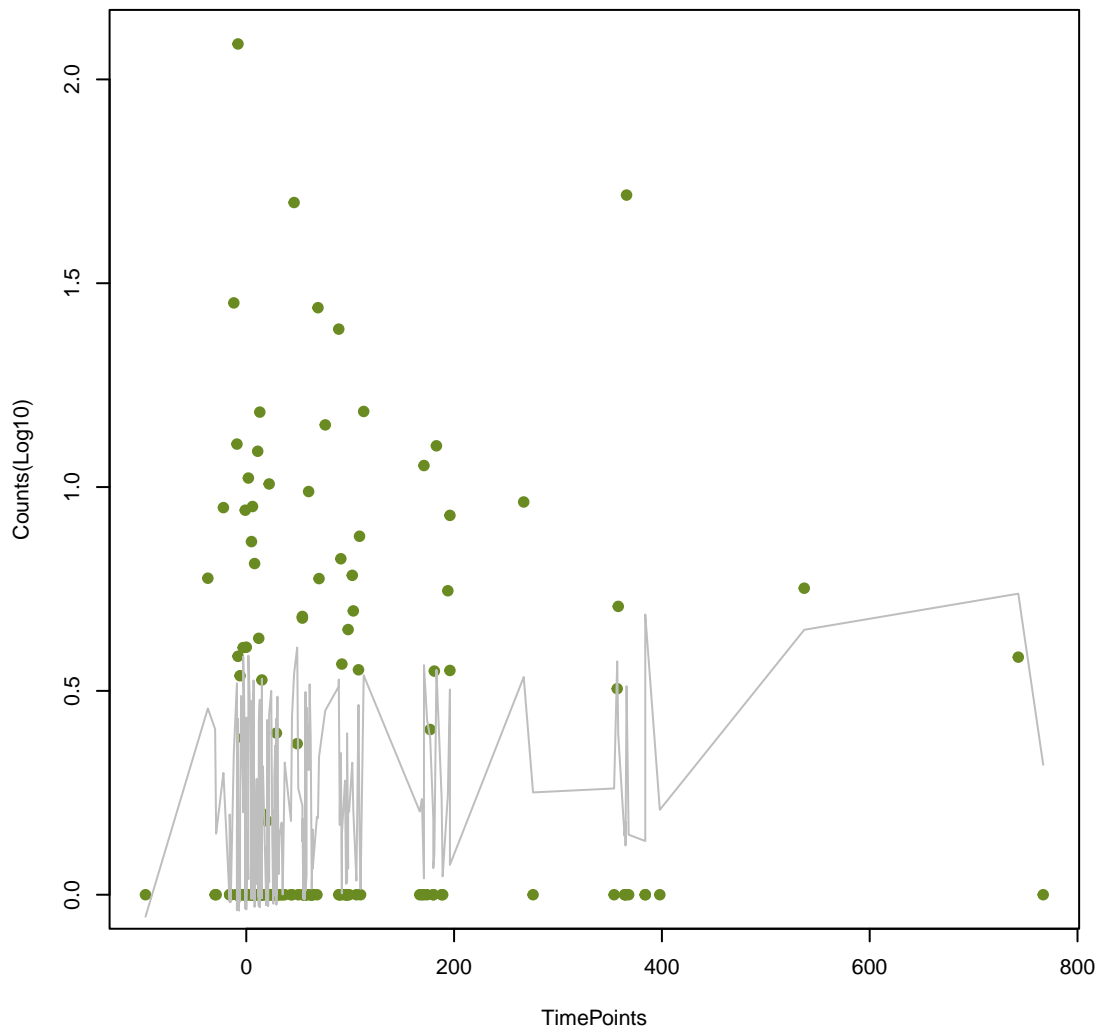
marA
ANOVA P=0.0586, adj. ANOVA-P=0.206



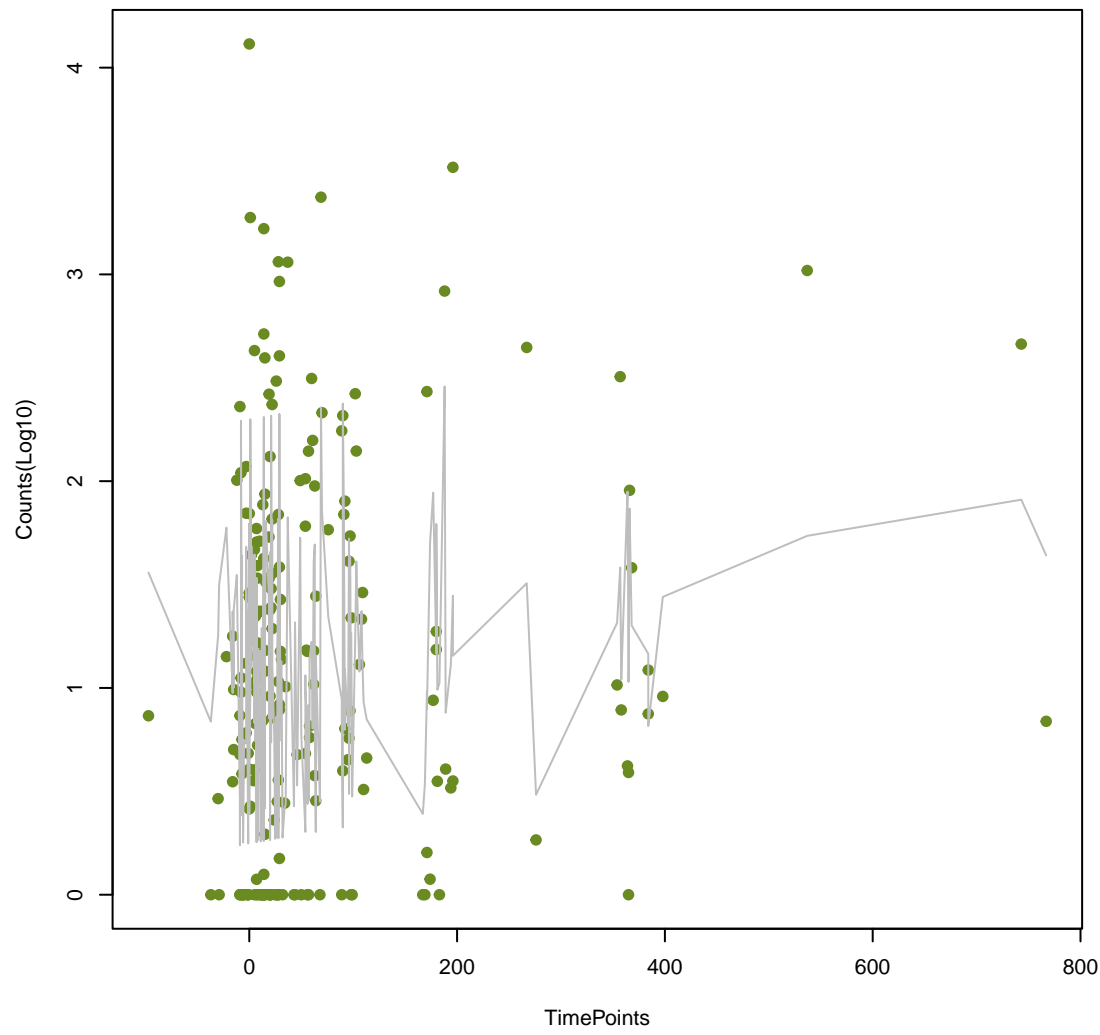
CARB-42
ANOVA P=0.0597, adj. ANOVA-P=0.208



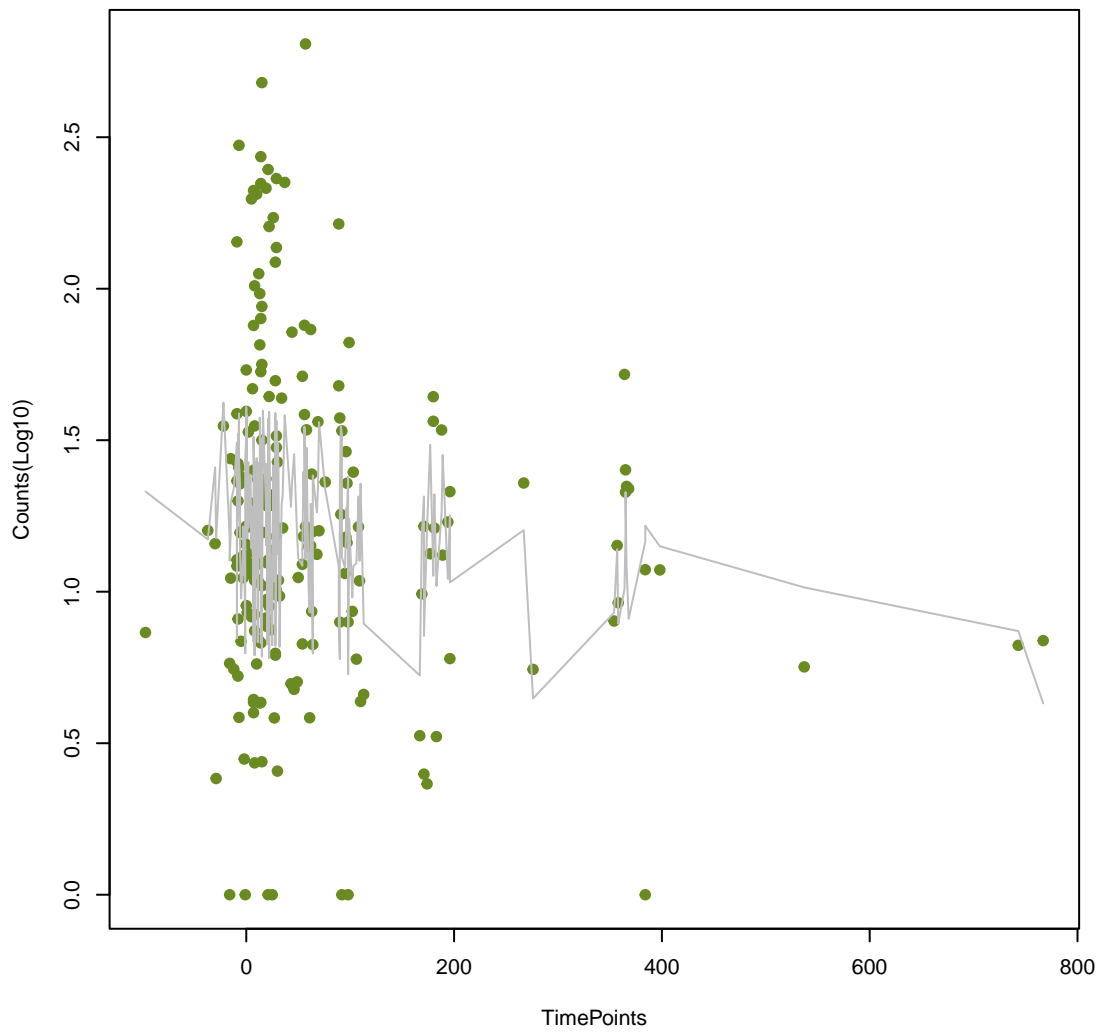
macA
ANOVA P=0.0607, adj. ANOVA-P=0.209



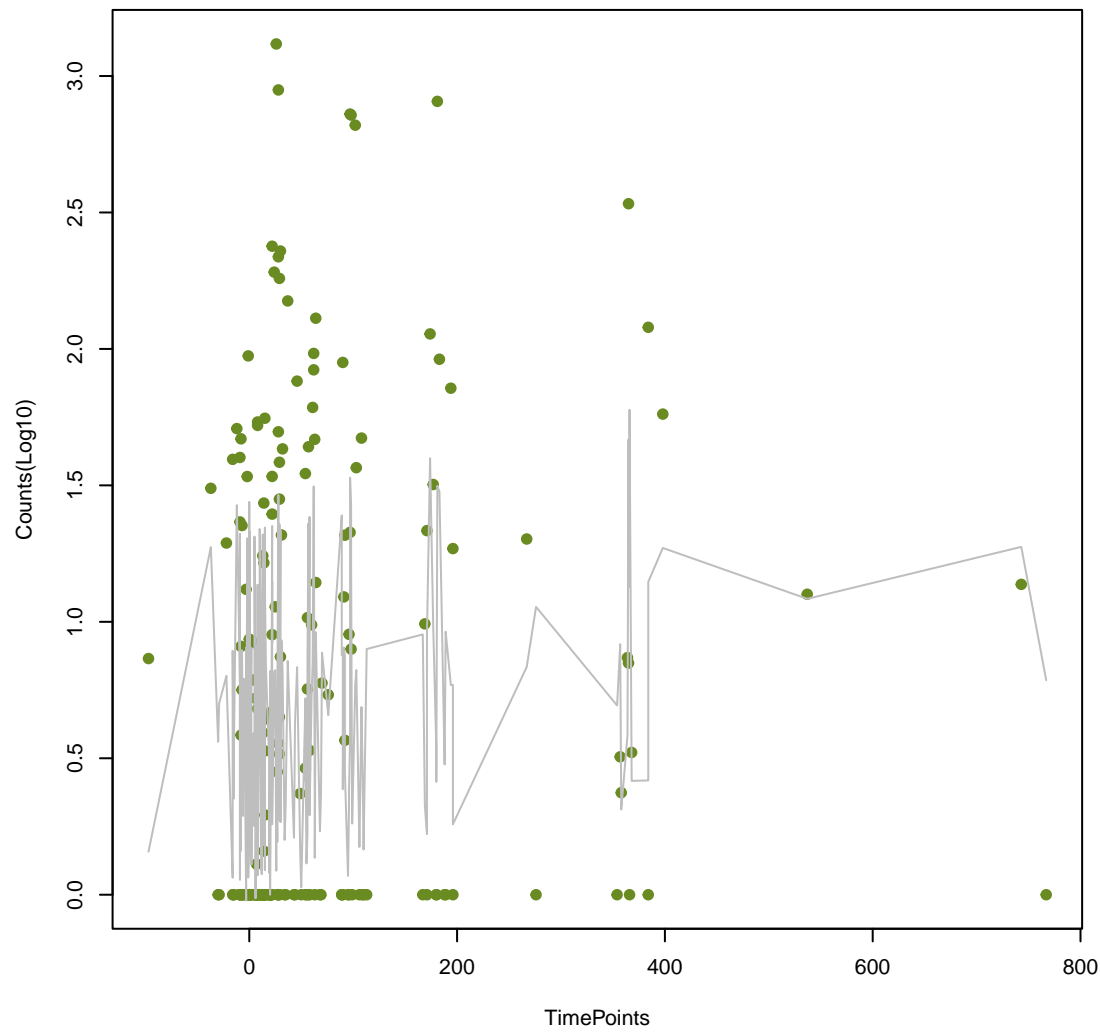
IsaC
ANOVA P=0.0627, adj. ANOVA-P=0.213



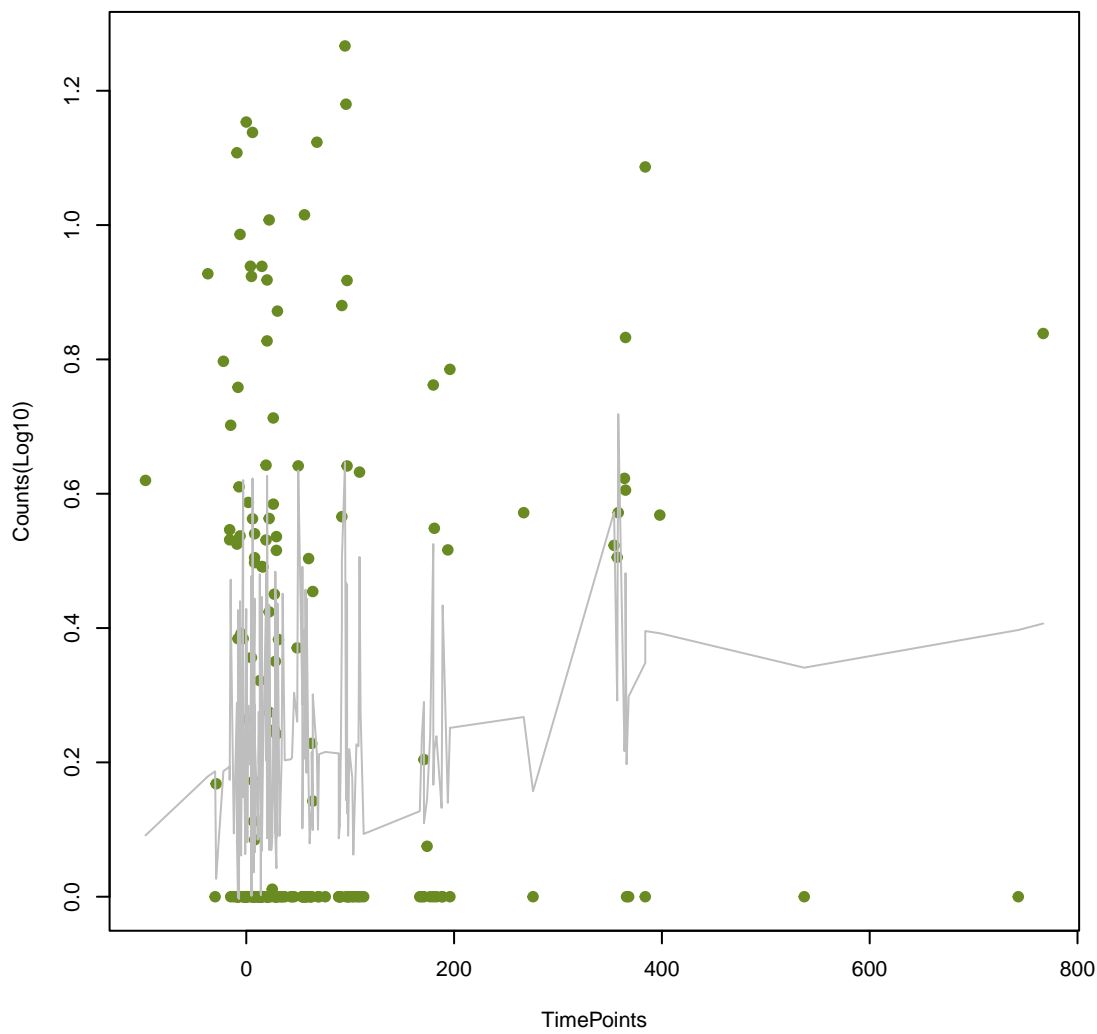
YajC
ANOVA P=0.0642, adj. ANOVA-P=0.214



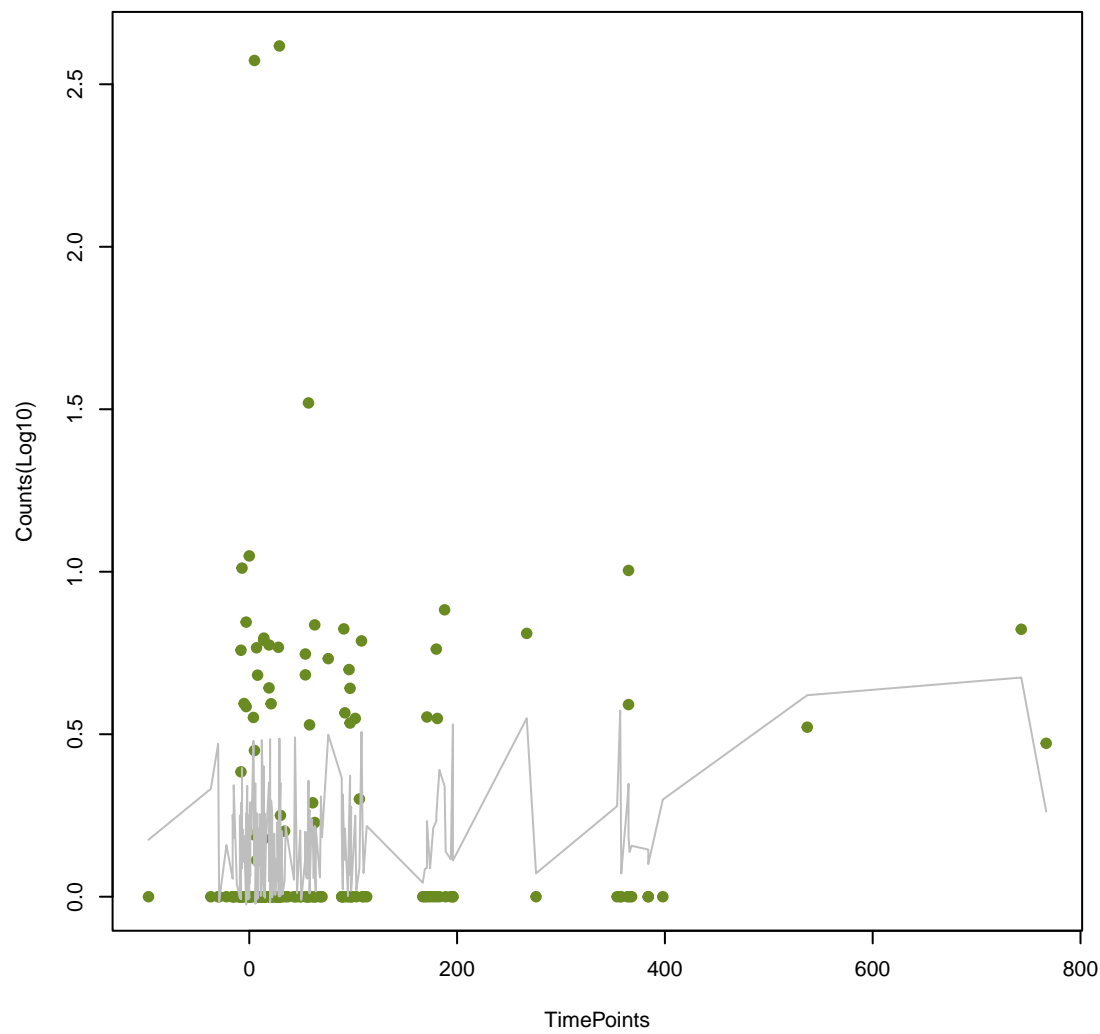
OmpA
ANOVA P=0.0645, adj. ANOVA-P=0.214



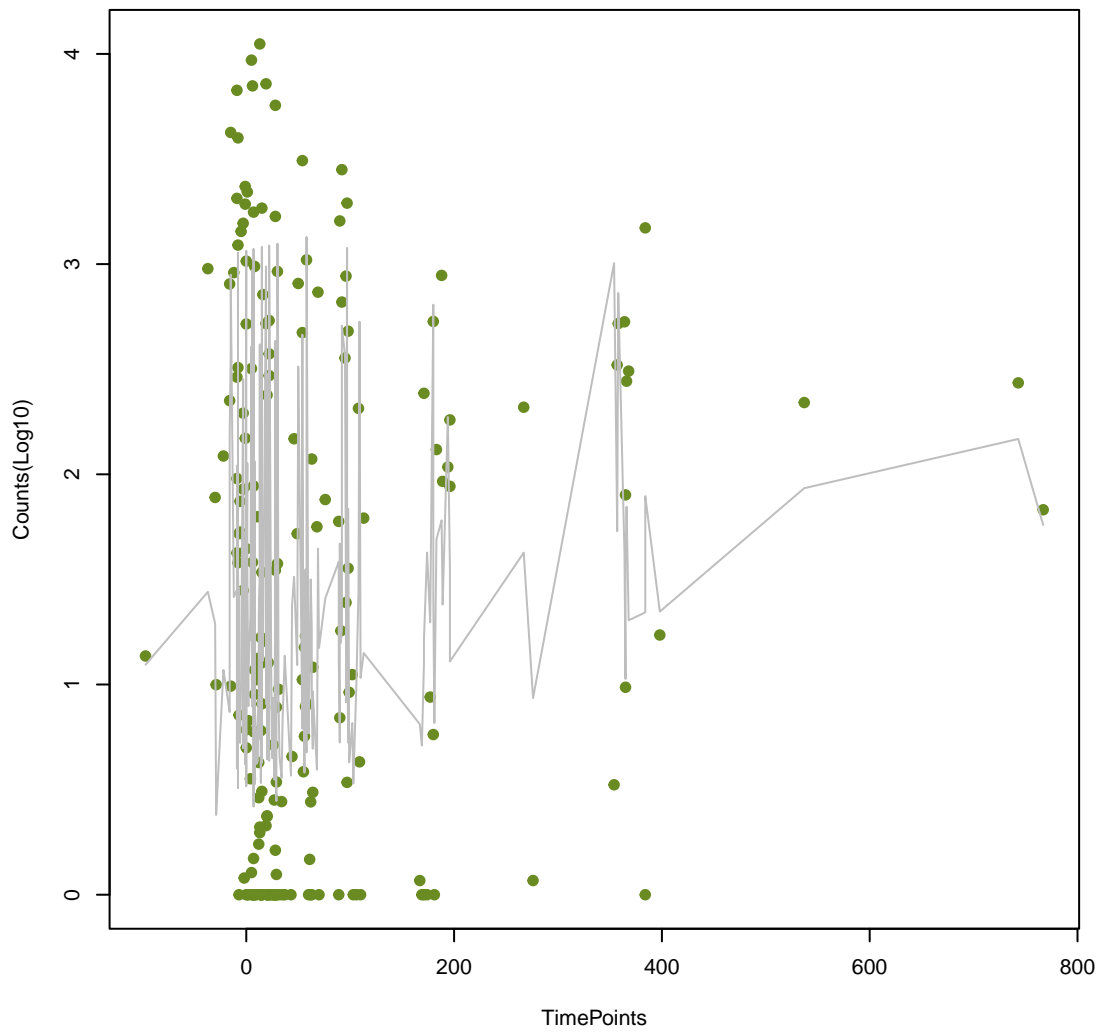
QnrS6
ANOVA P=0.0651, adj. ANOVA-P=0.214



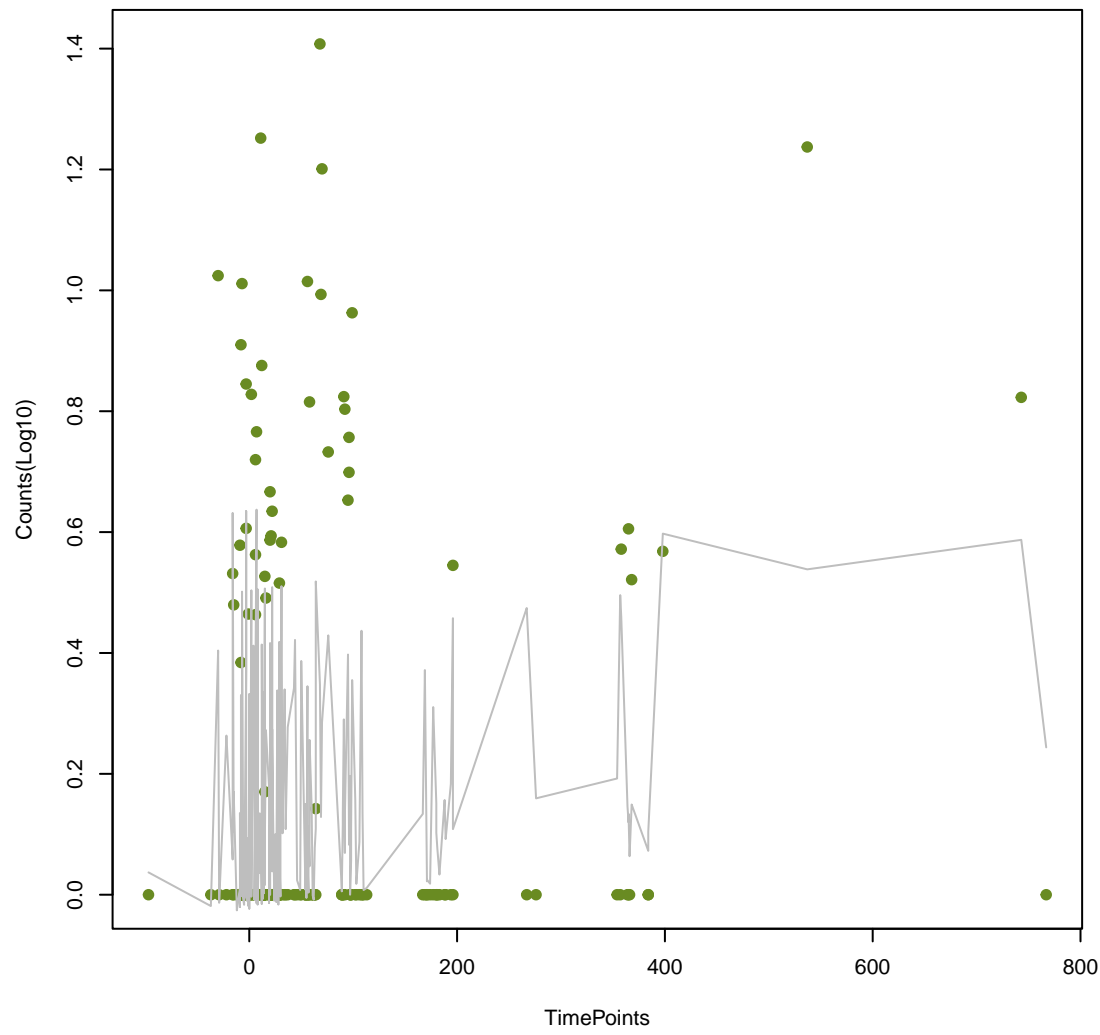
APH(3')-IIb
ANOVA P=0.07, adj. ANOVA-P=0.226



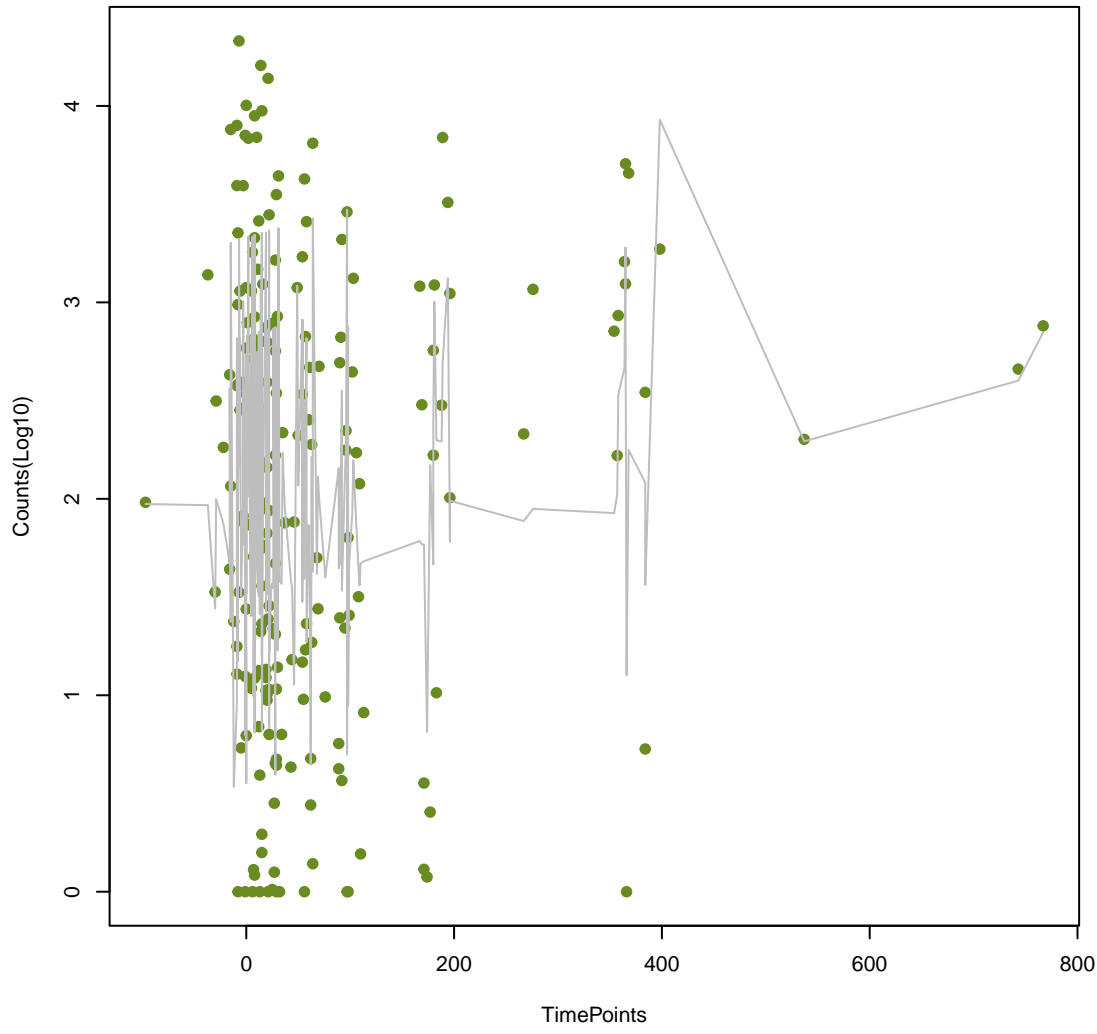
InuC
ANOVA P=0.0703, adj. ANOVA-P=0.226



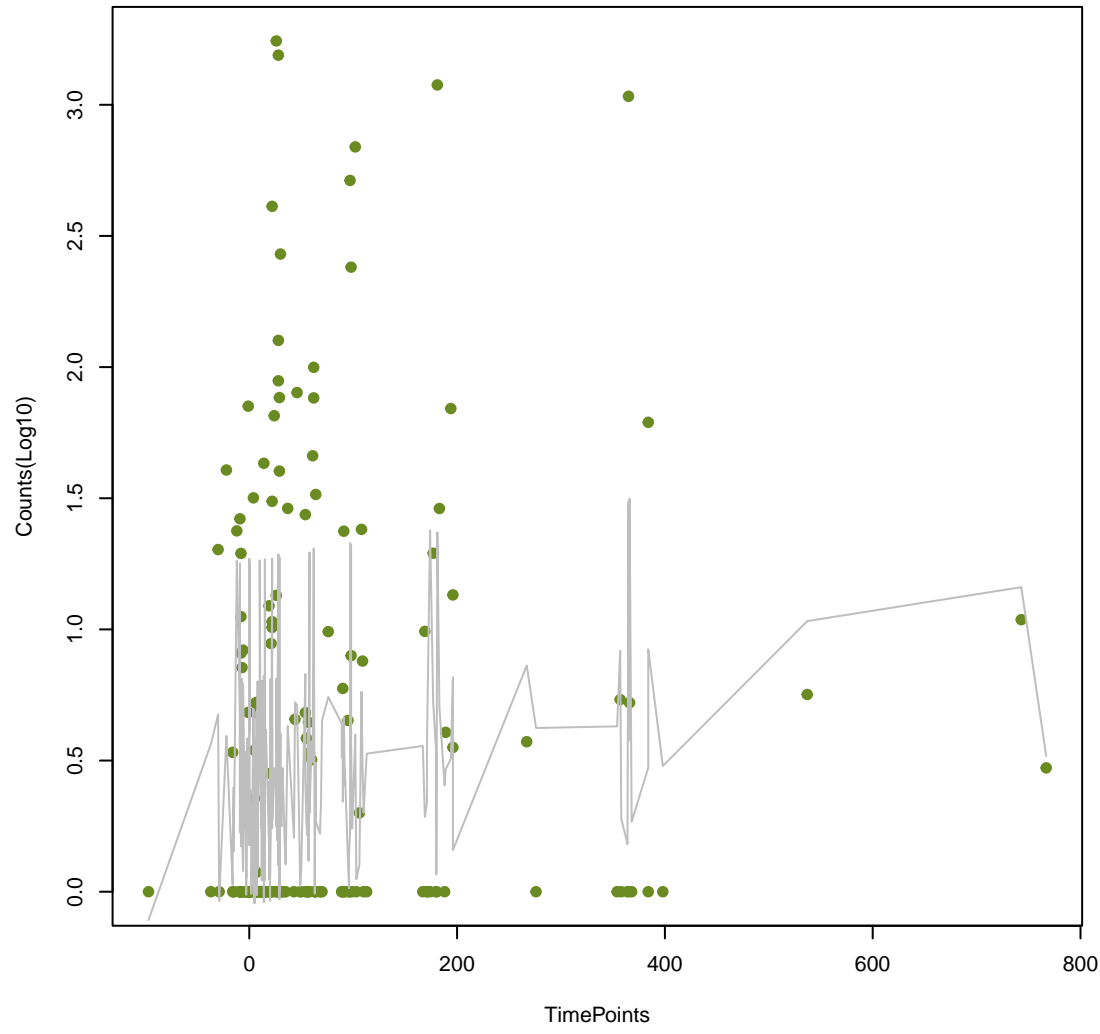
tet(H)
ANOVA P=0.0721, adj. ANOVA-P=0.227



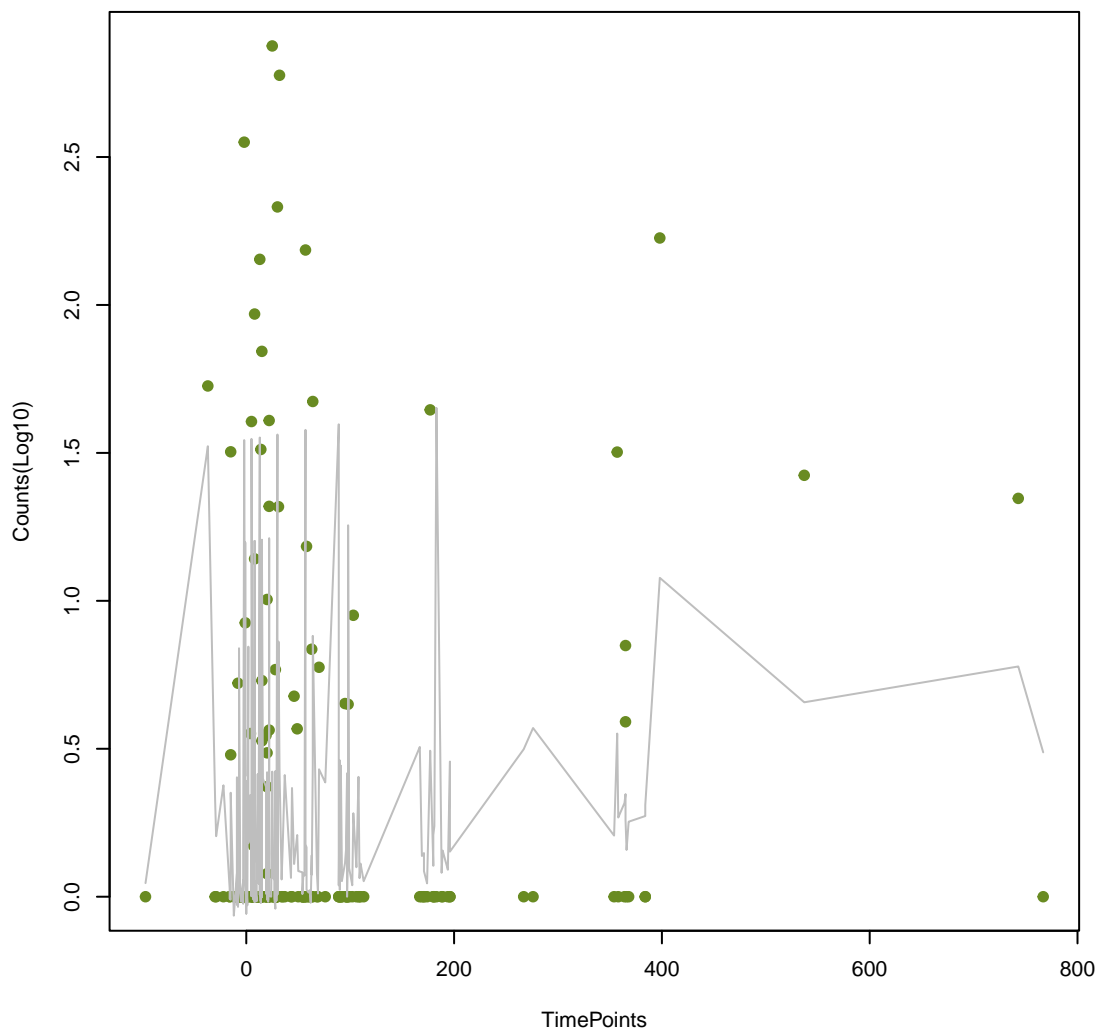
dfrF
ANOVA P=0.0722, adj. ANOVA-P=0.227



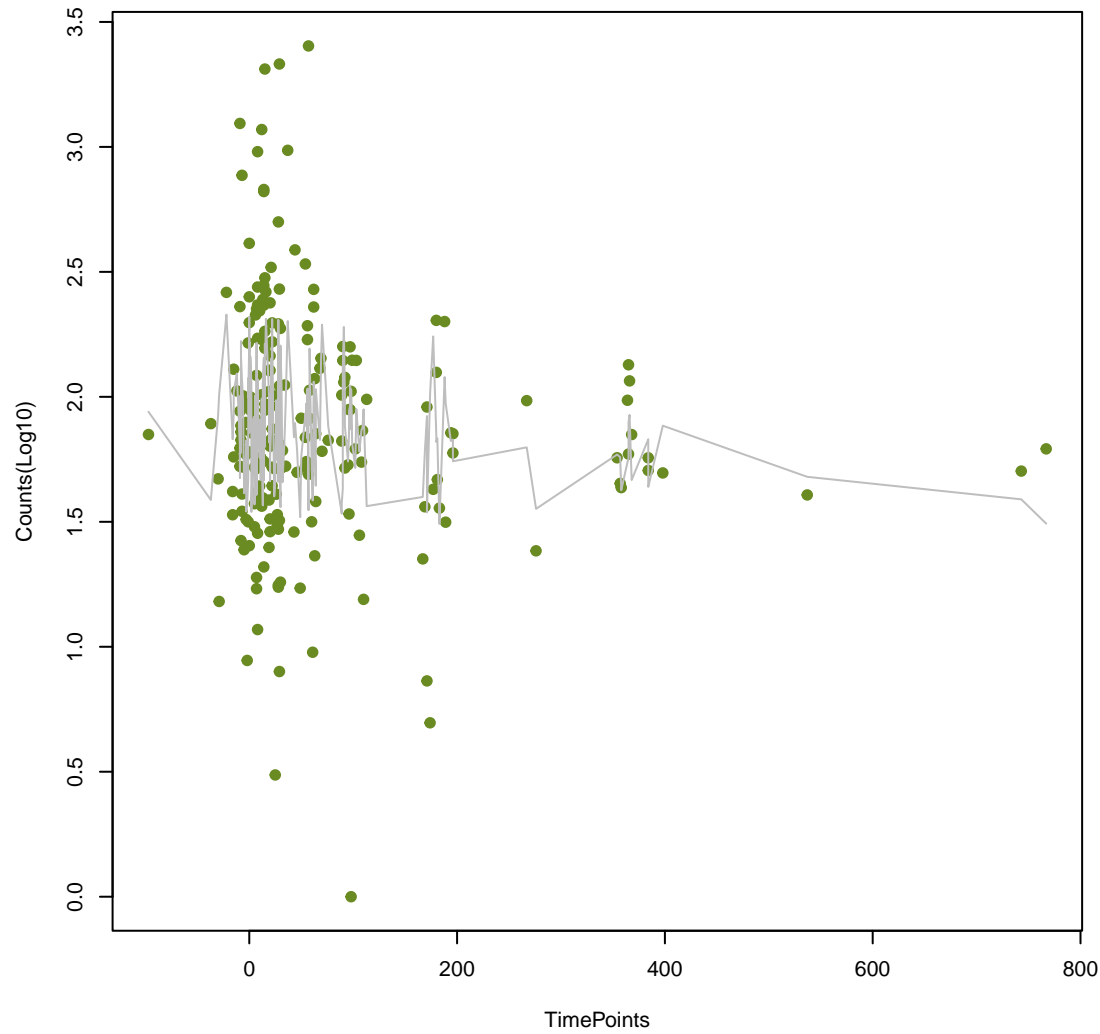
oqxA
ANOVA P=0.0731, adj. ANOVA-P=0.227



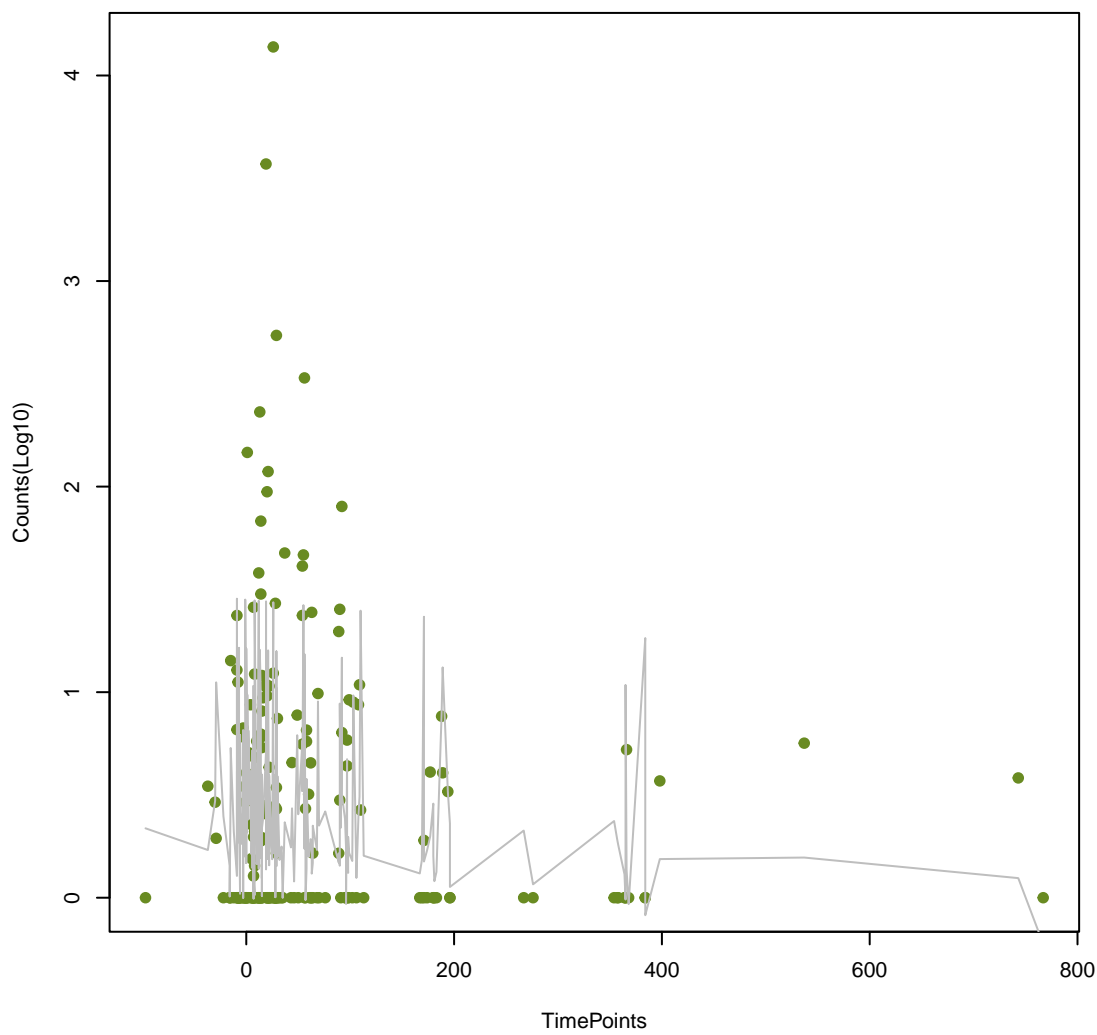
TEM-126
ANOVA P=0.0735, adj. ANOVA-P=0.227



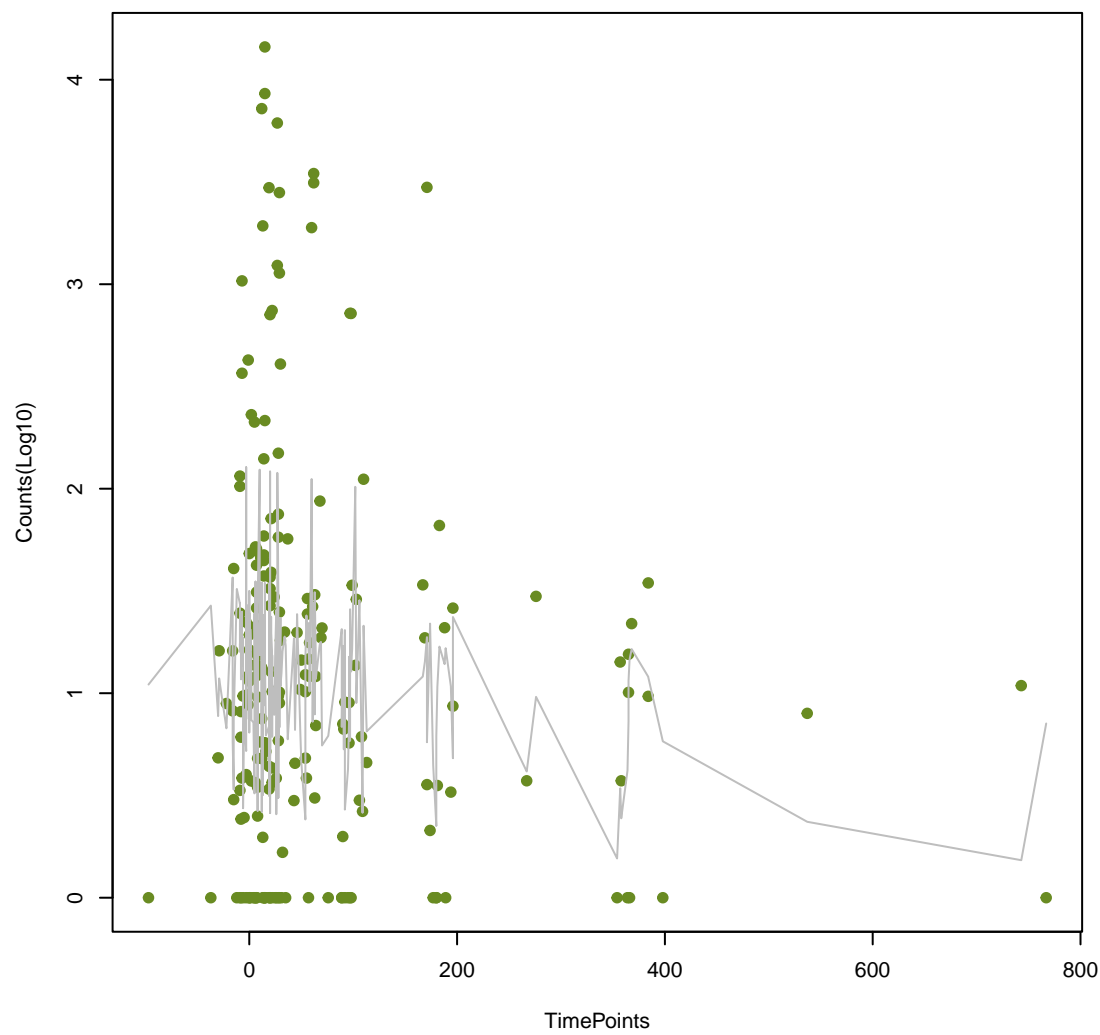
qacL
ANOVA P=0.0838, adj. ANOVA-P=0.256



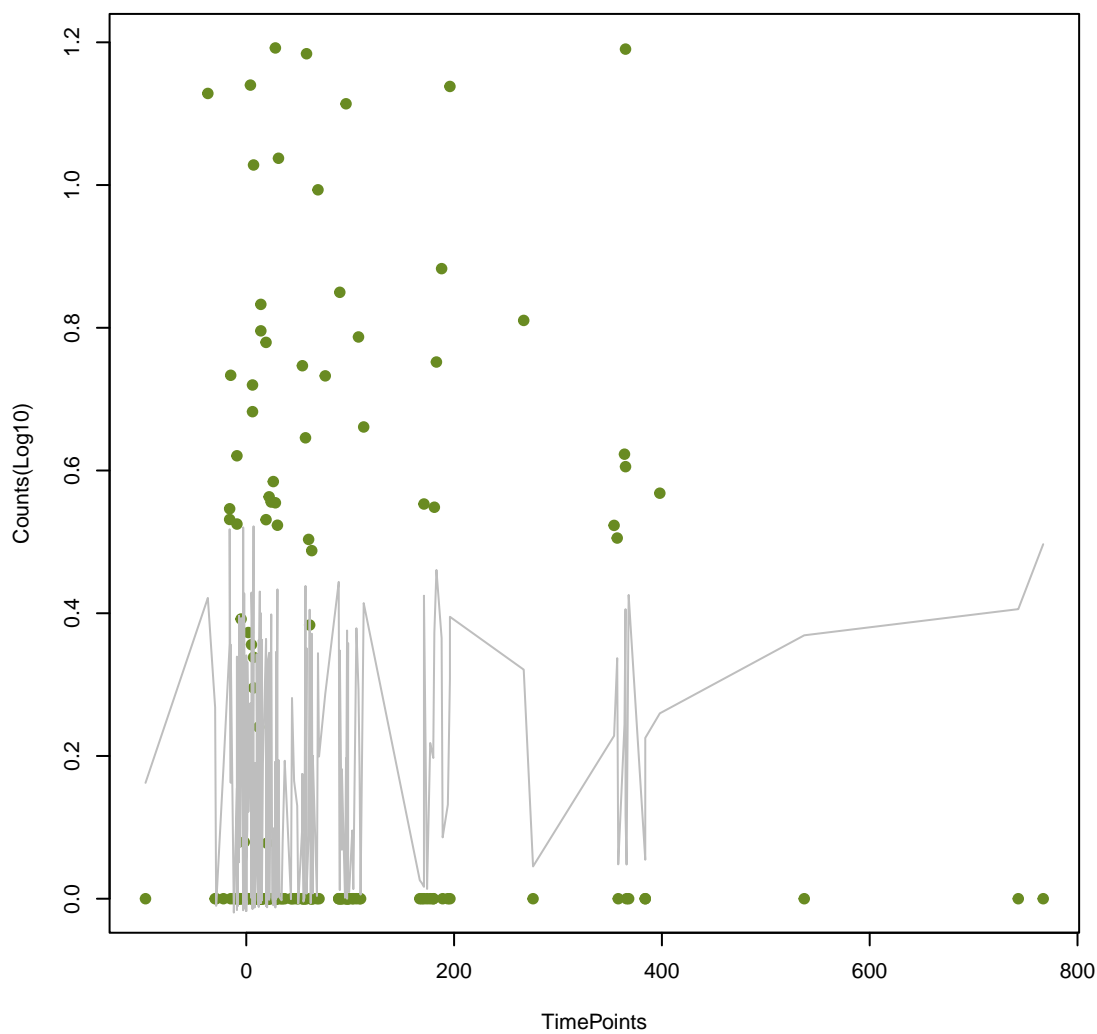
tetB(60)
ANOVA P=0.0932, adj. ANOVA-P=0.279



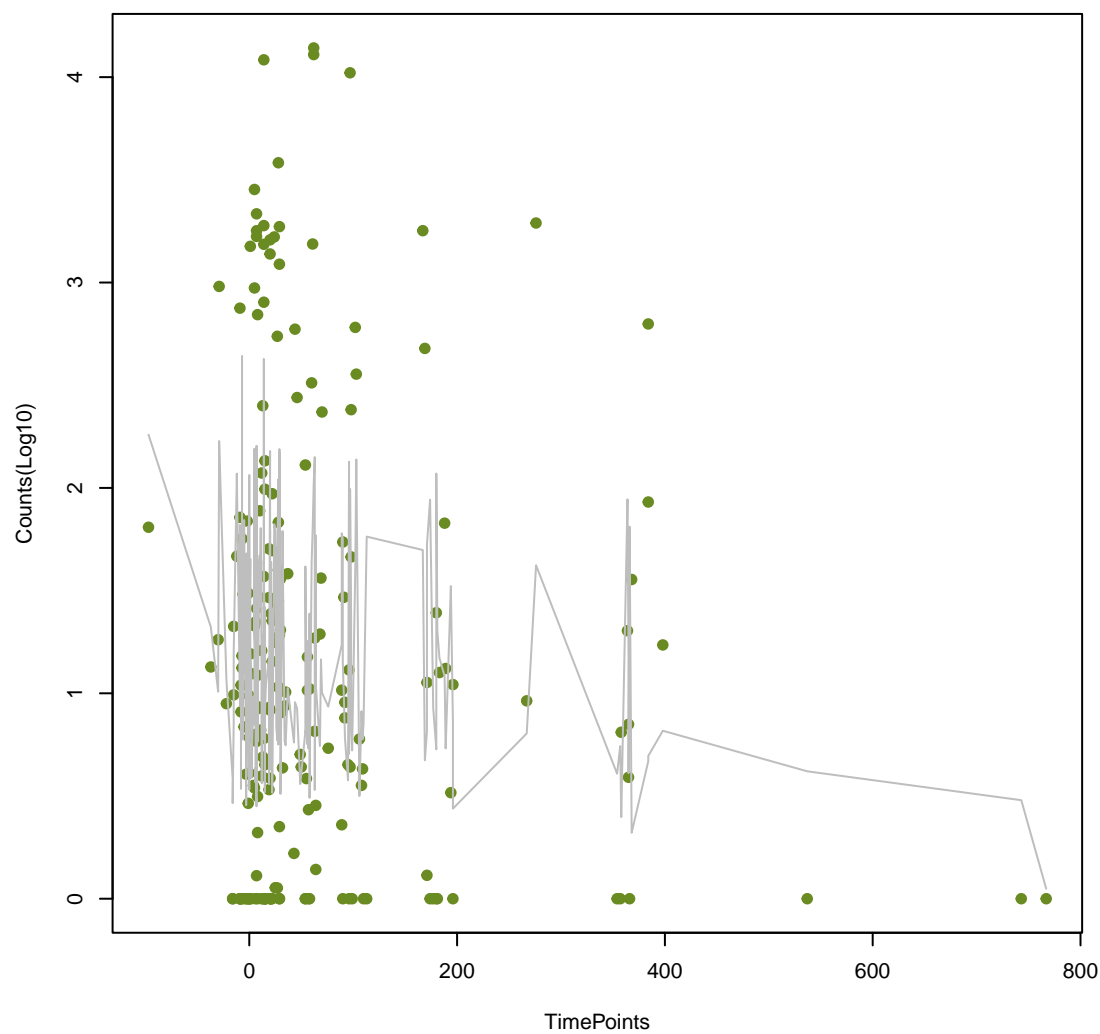
efrA
ANOVA P=0.0939, adj. ANOVA-P=0.279



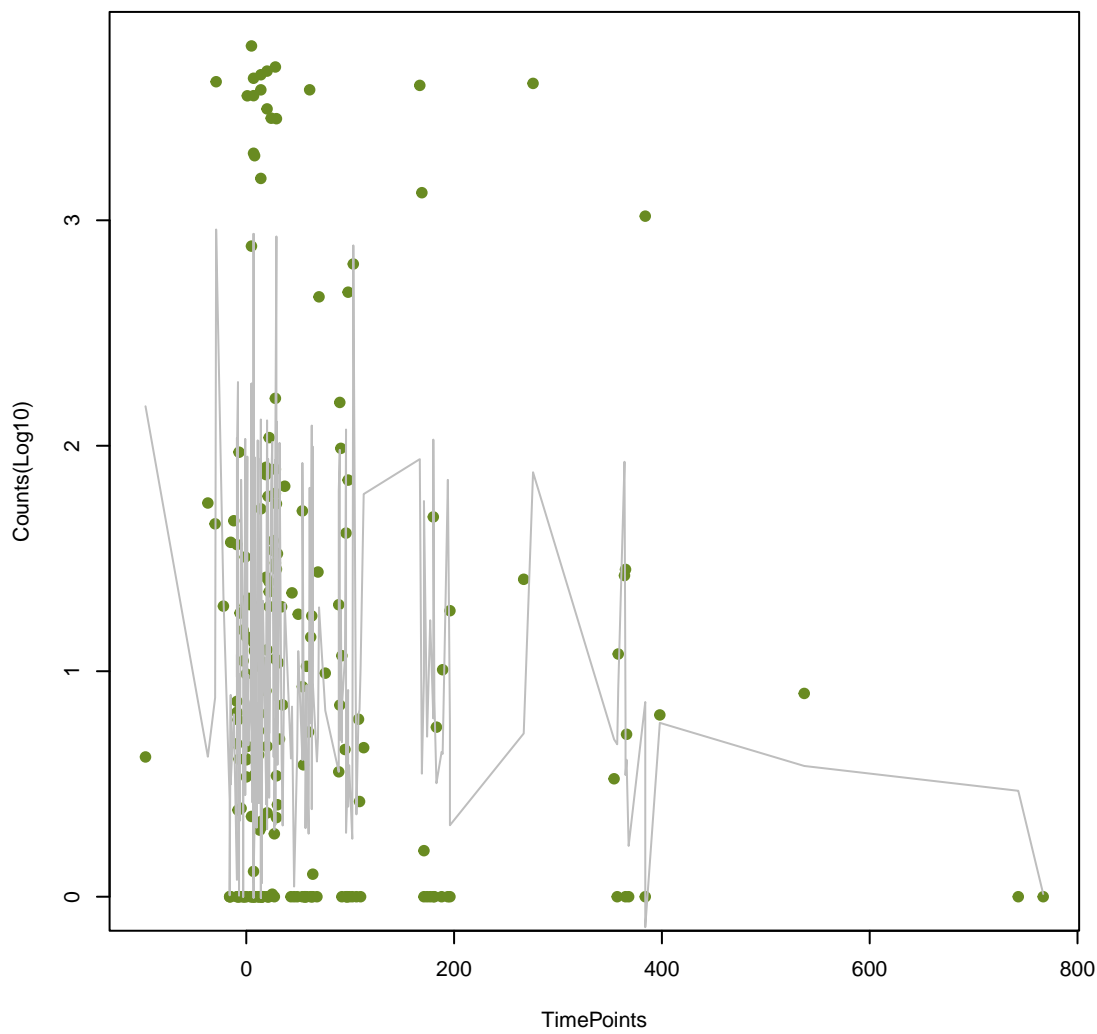
kamB
ANOVA P=0.0952, adj. ANOVA-P=0.279



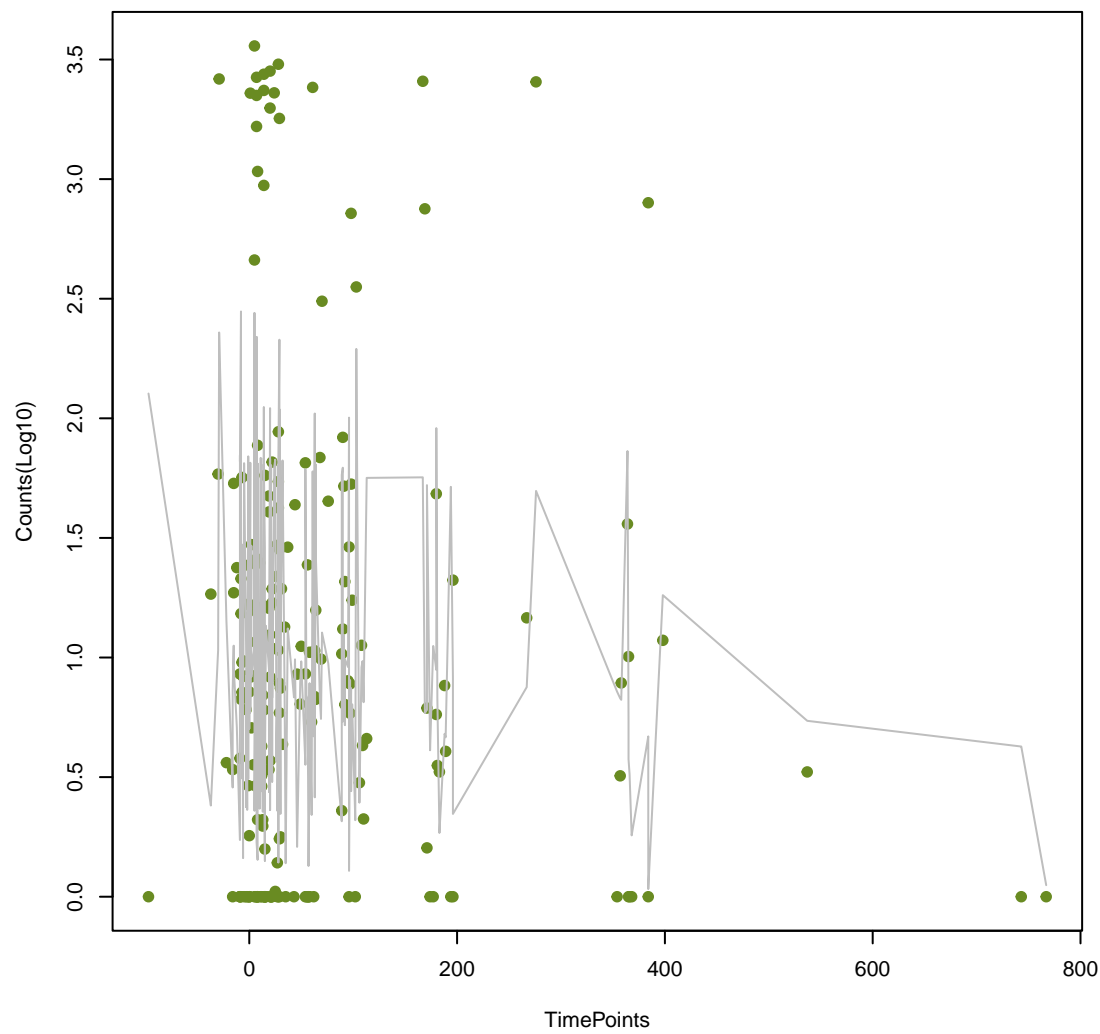
msrC
ANOVA P=0.0953, adj. ANOVA-P=0.279



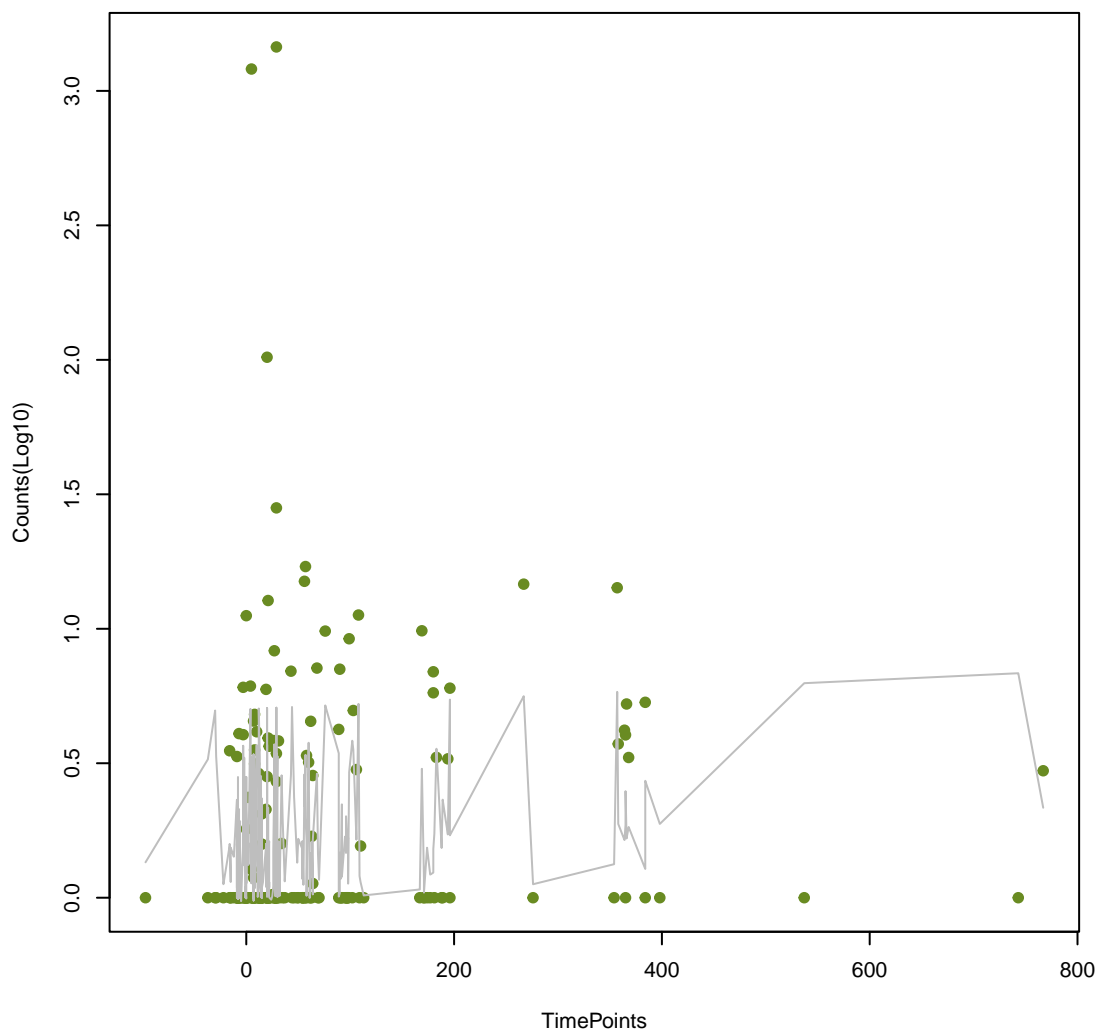
vanS_in_vanA_cl
ANOVA P=0.0967, adj. ANOVA-P=0.281



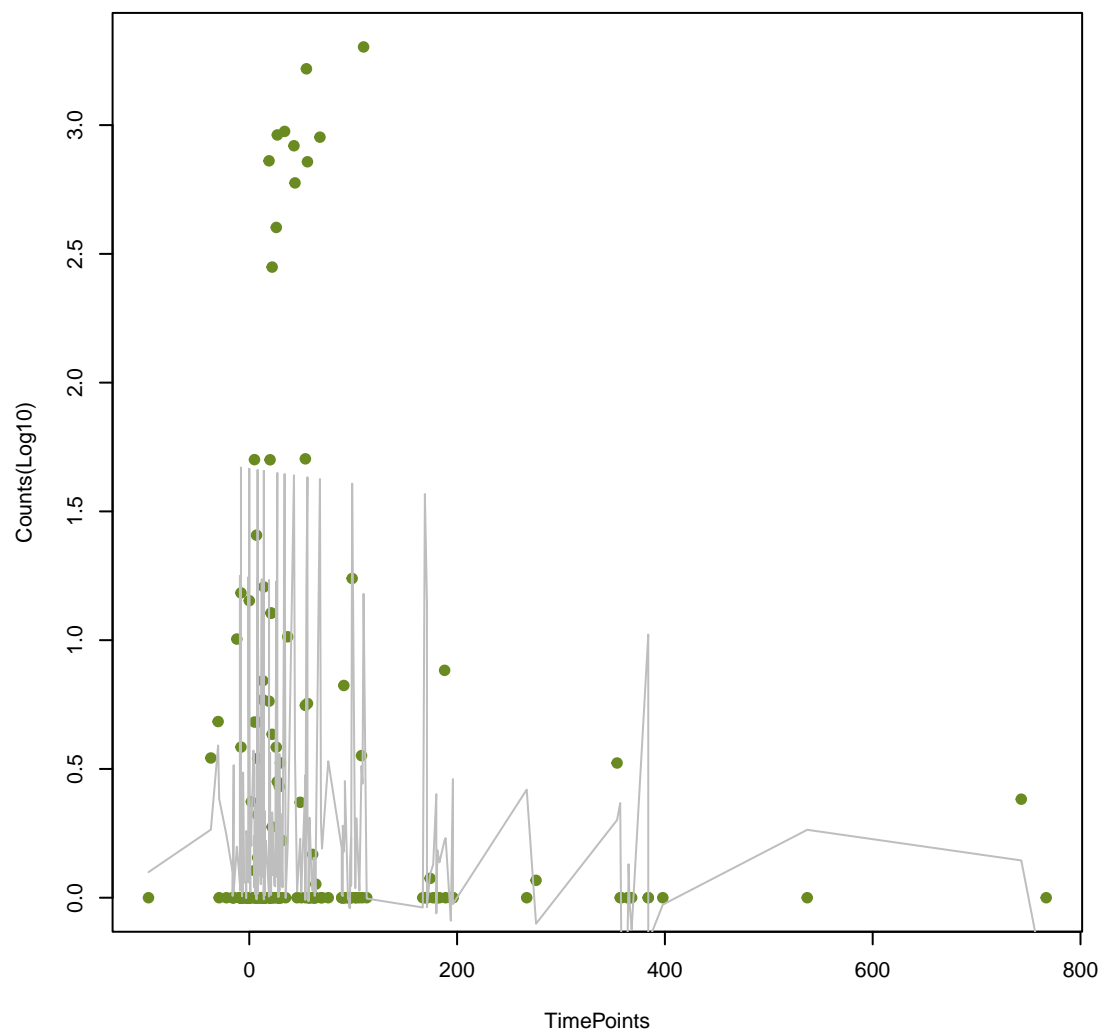
vanR_in_vanA_cl
ANOVA P=0.106, adj. ANOVA-P=0.299



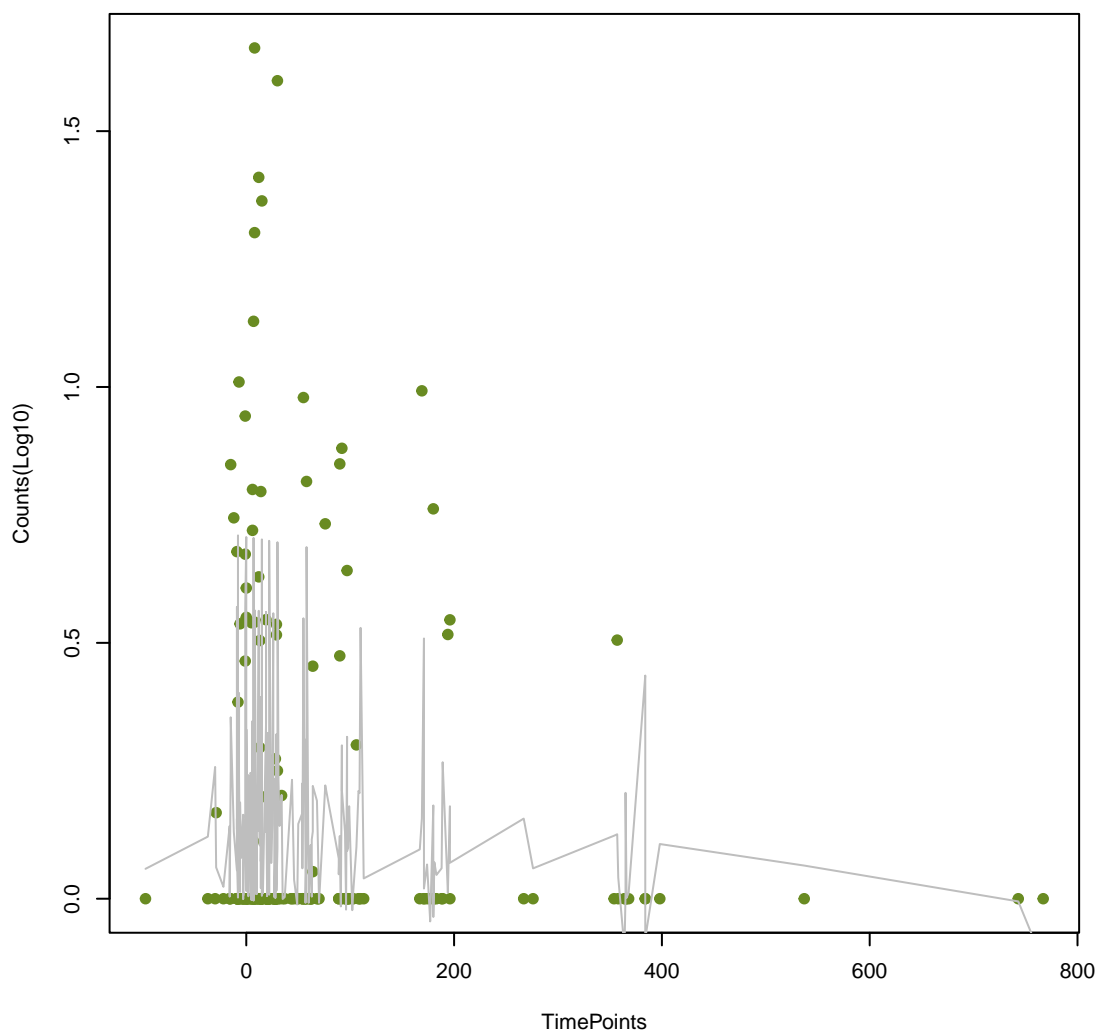
MexK
ANOVA P=0.106, adj. ANOVA-P=0.299



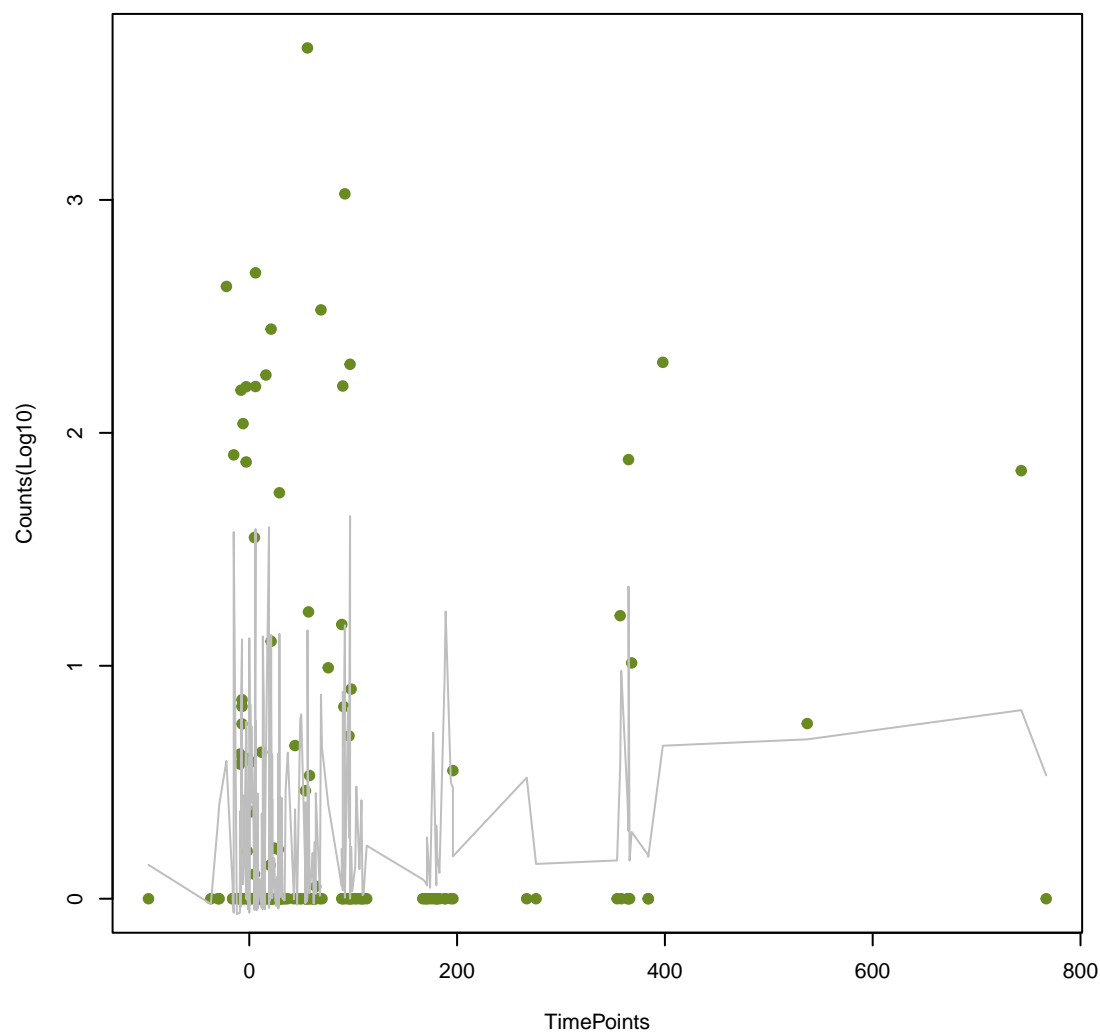
ANT(4')-lb
ANOVA P=0.107, adj. ANOVA-P=0.299



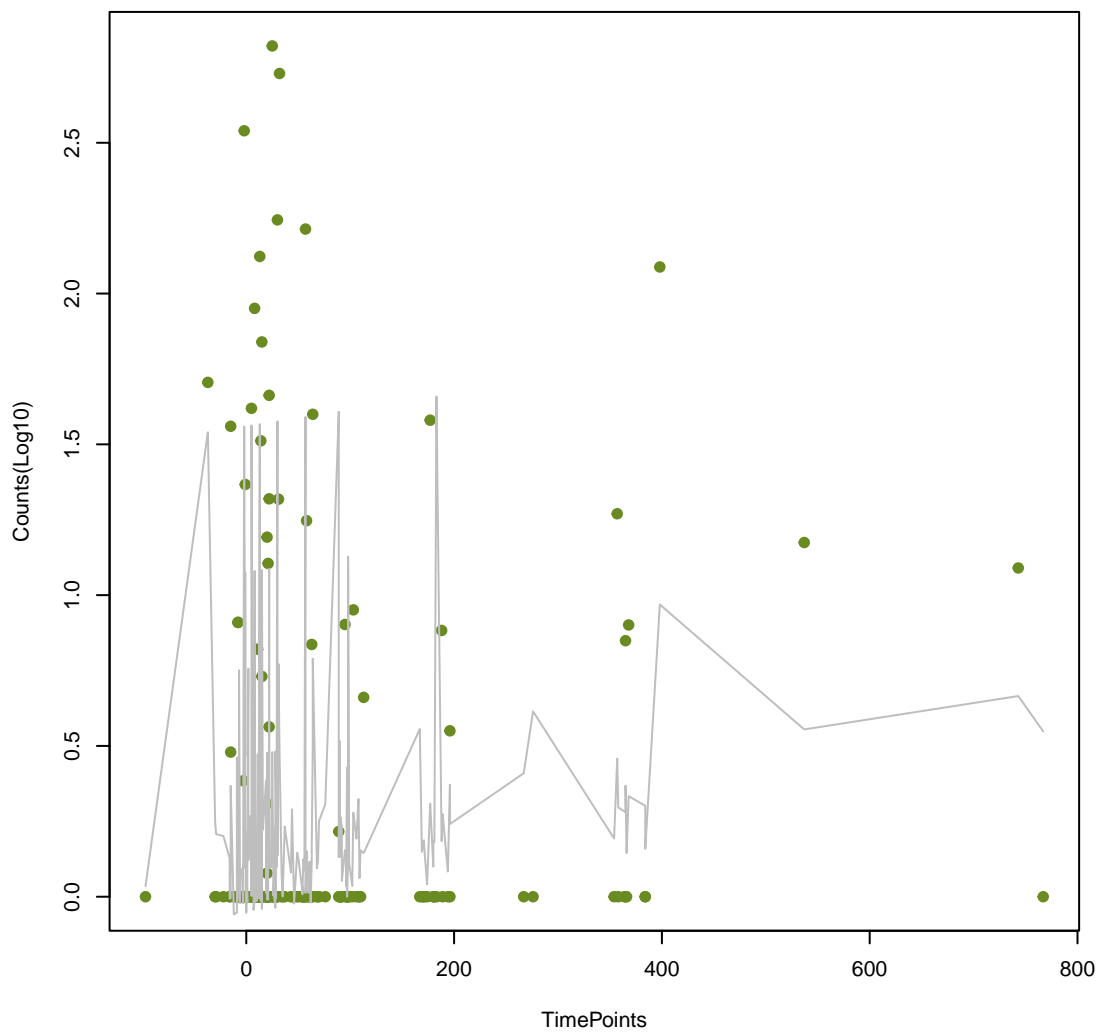
vanR_in_vanF_cl
ANOVA P=0.107, adj. ANOVA-P=0.299



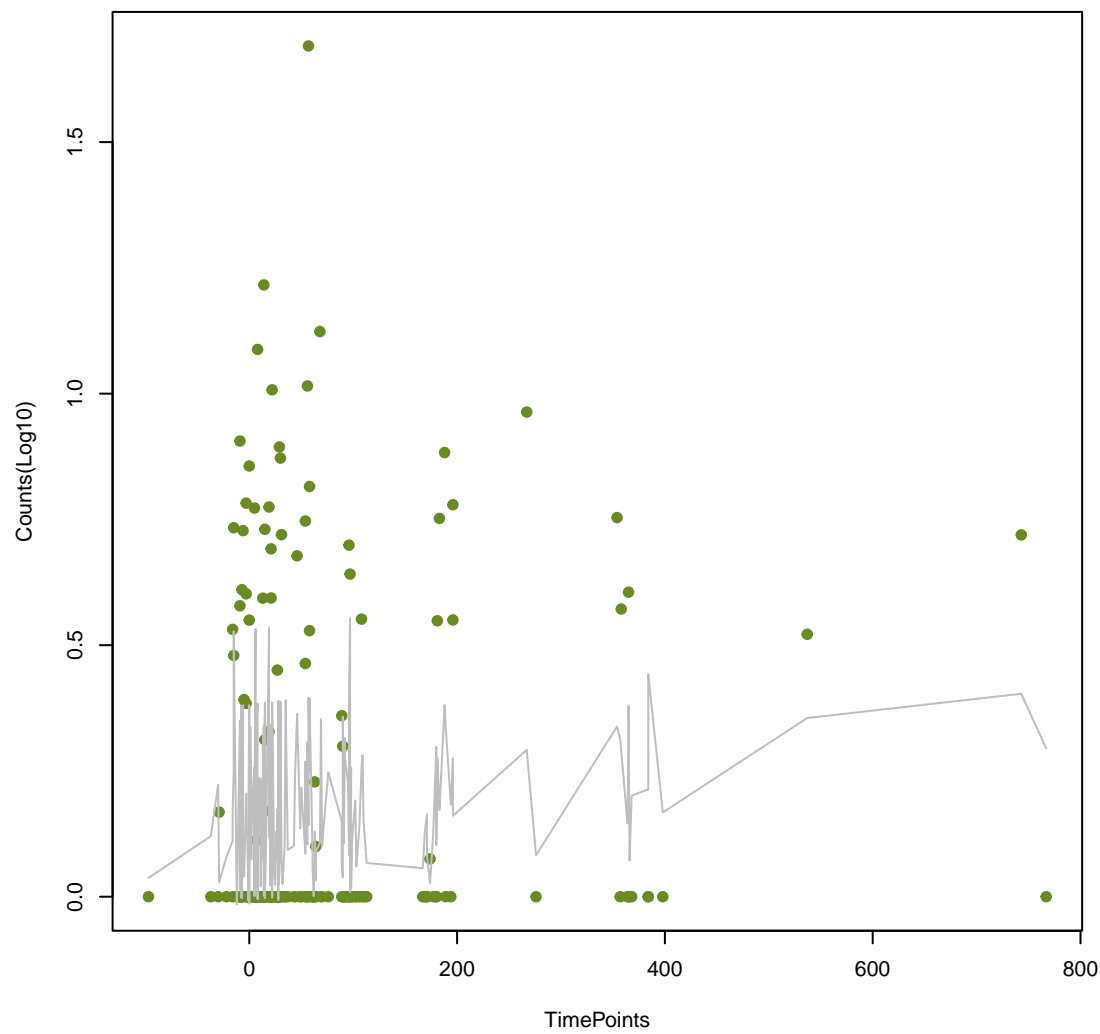
catS
ANOVA P=0.11, adj. ANOVA-P=0.304



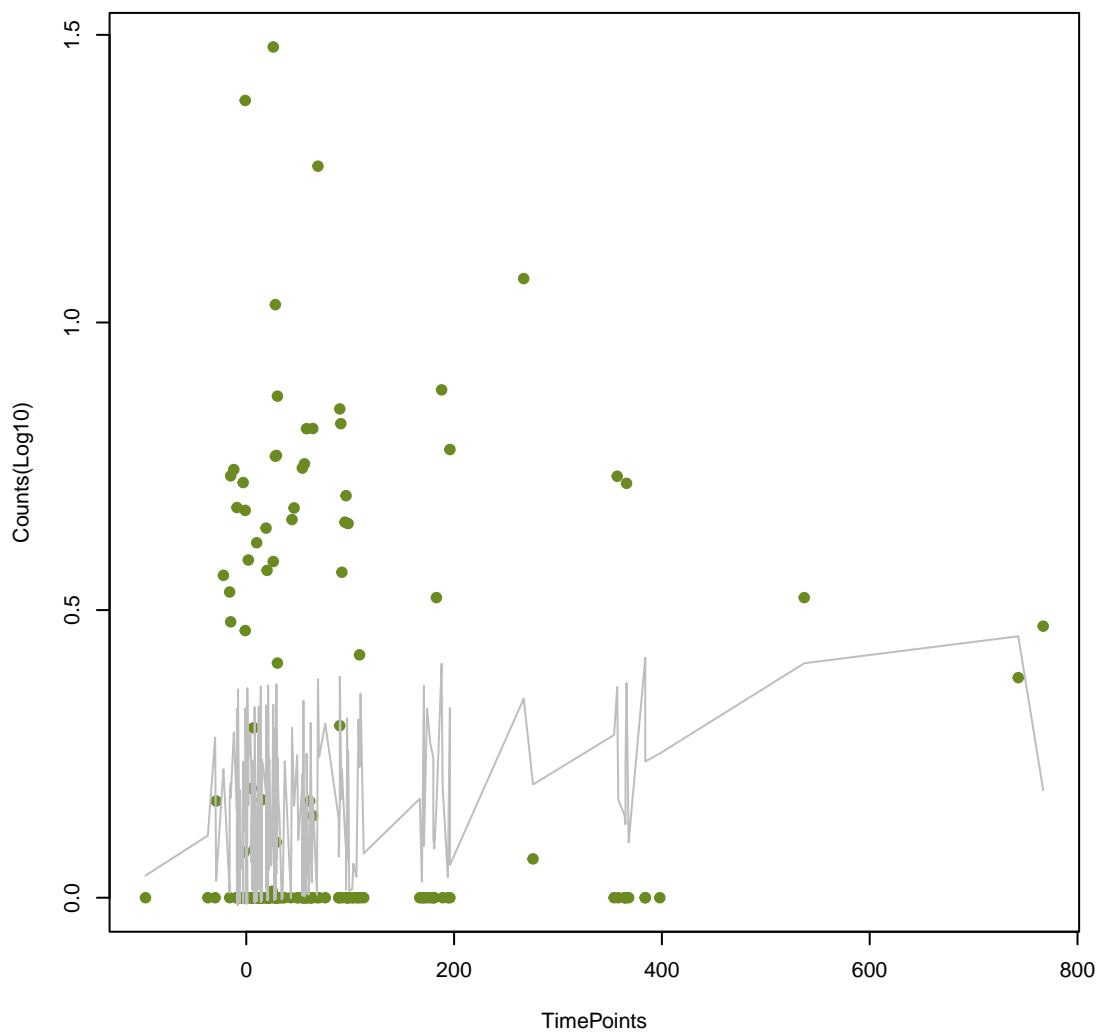
TEM-194
ANOVA P=0.114, adj. ANOVA-P=0.313



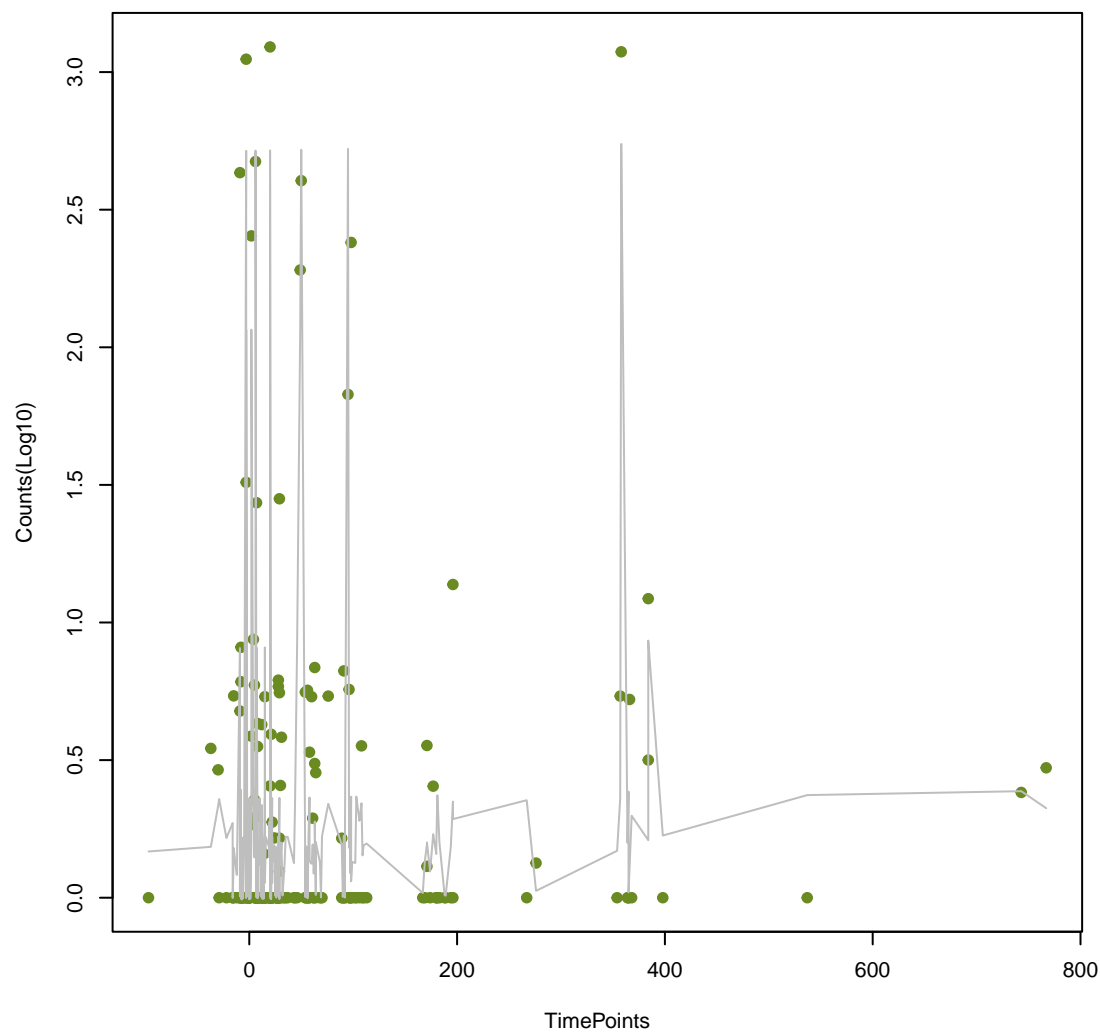
mecC
ANOVA P=0.121, adj. ANOVA-P=0.328



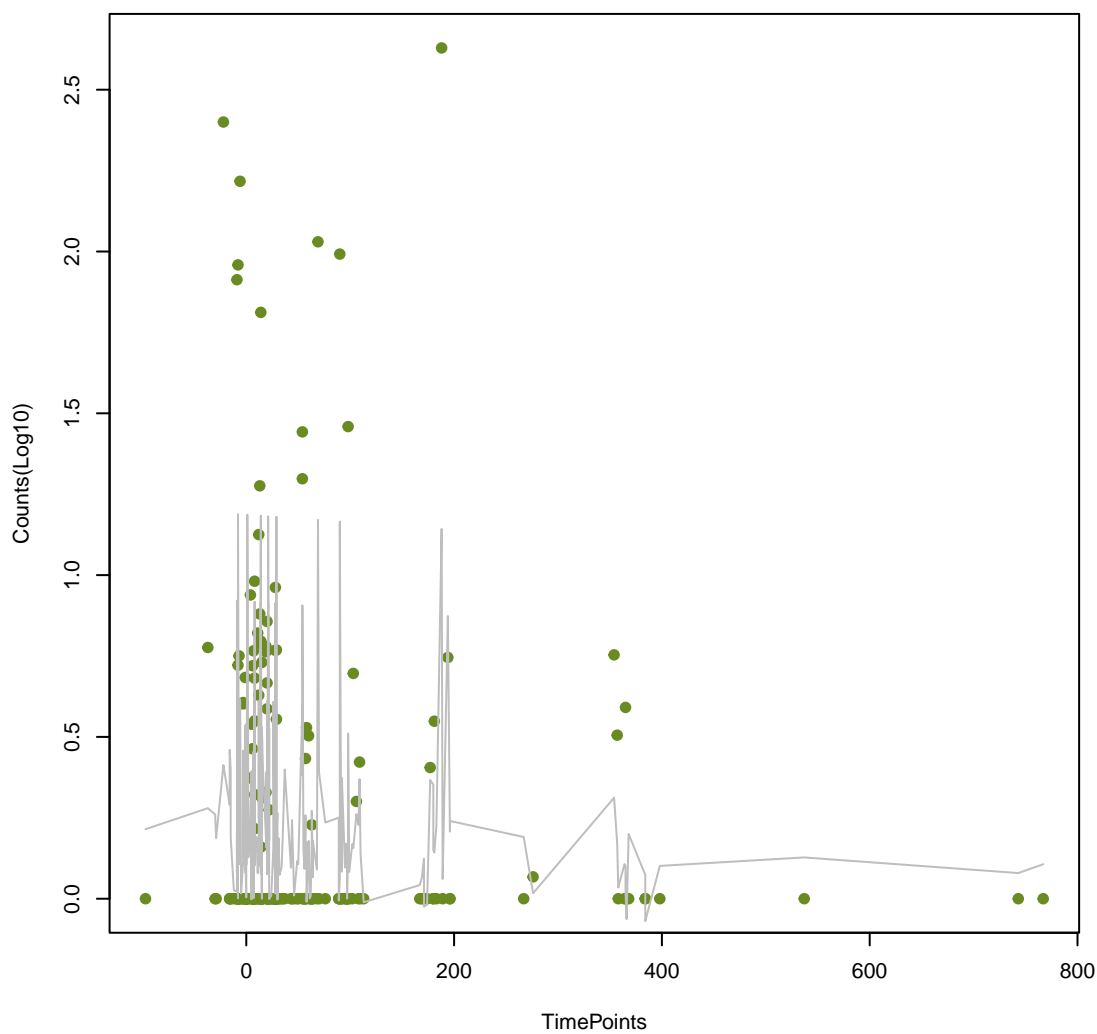
RSA-2
ANOVA P=0.128, adj. ANOVA-P=0.344



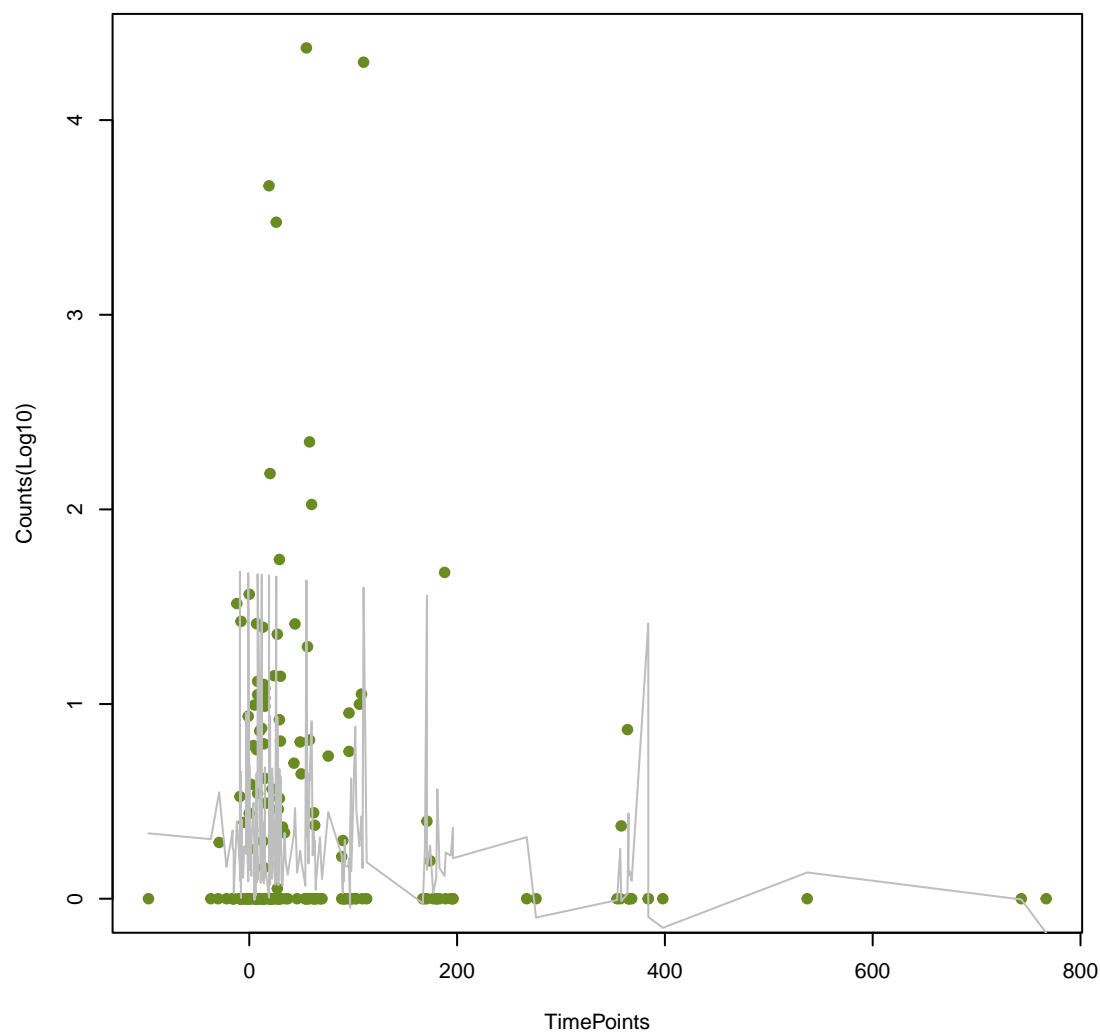
OXA-347
ANOVA P=0.132, adj. ANOVA-P=0.353



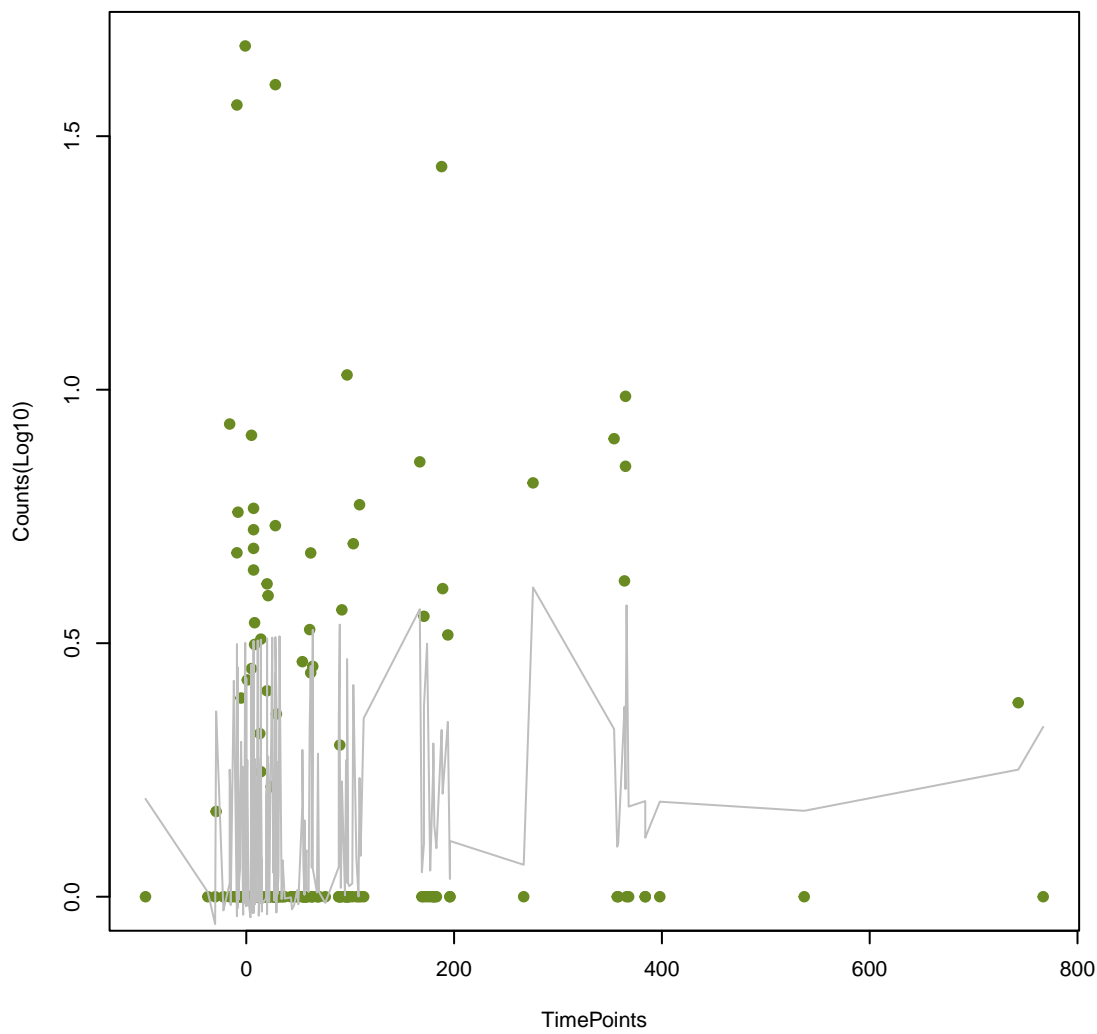
cepA
ANOVA P=0.138, adj. ANOVA-P=0.365



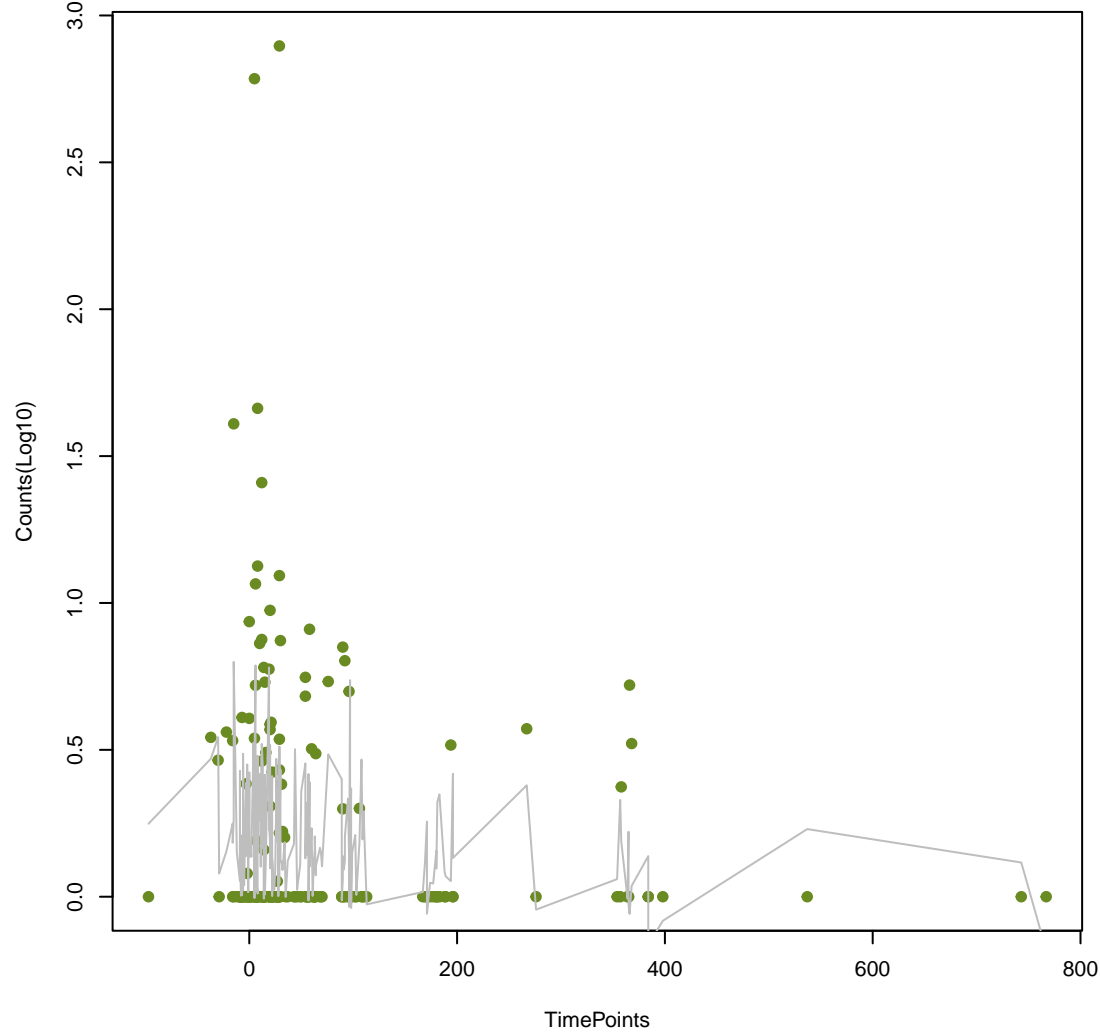
tet(K)
ANOVA P=0.139, adj. ANOVA-P=0.365



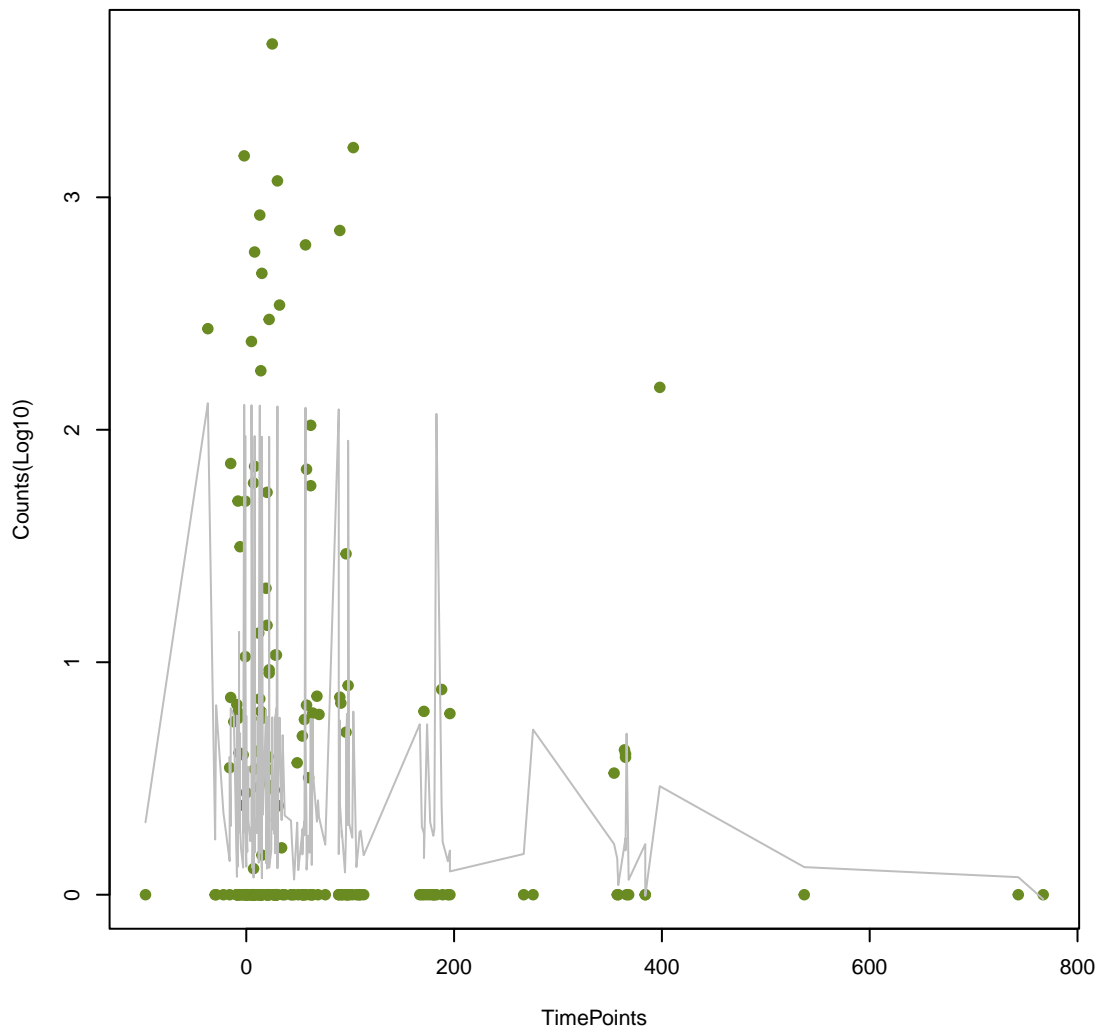
PDC-56
ANOVA P=0.144, adj. ANOVA-P=0.375



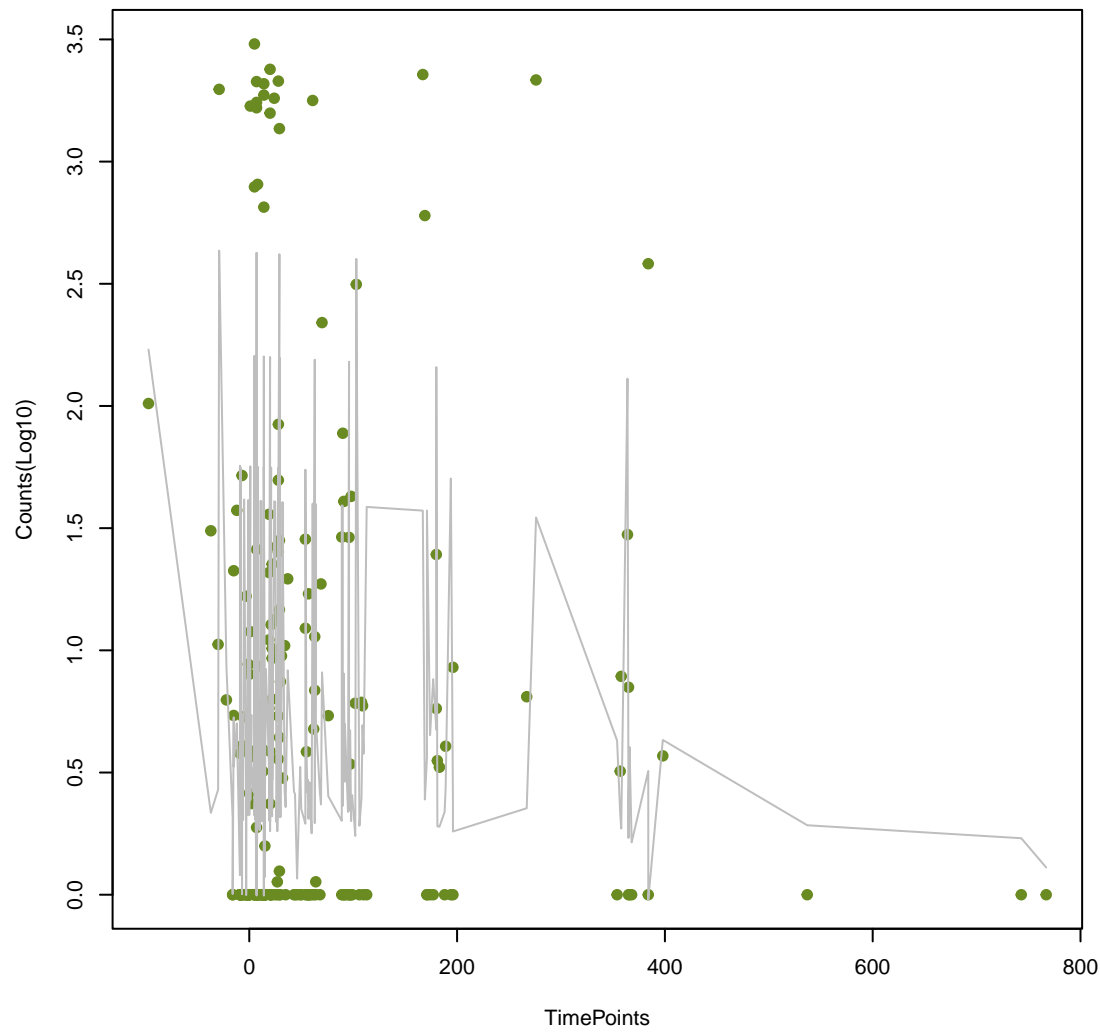
basS
ANOVA P=0.145, adj. ANOVA-P=0.375



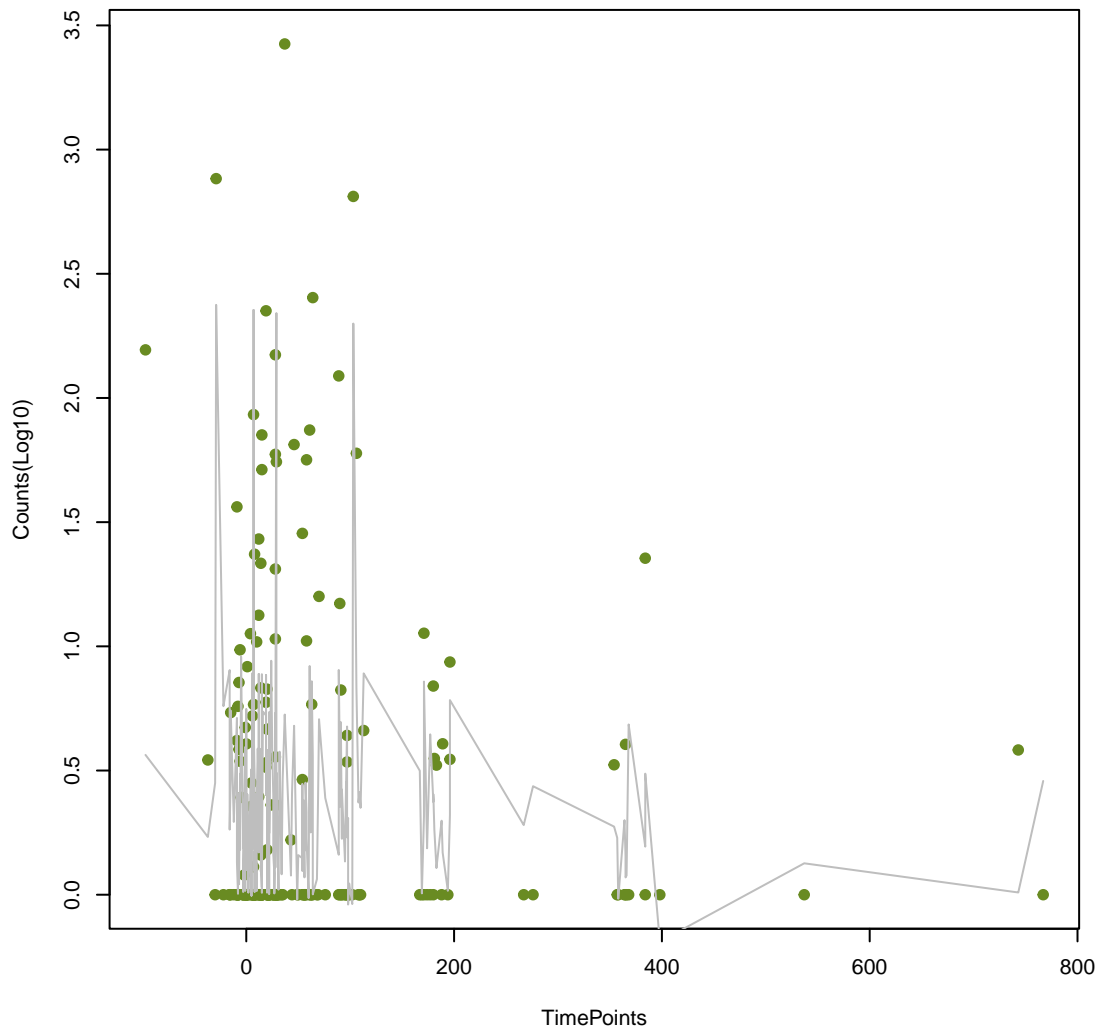
sul1
ANOVA P=0.152, adj. ANOVA-P=0.389



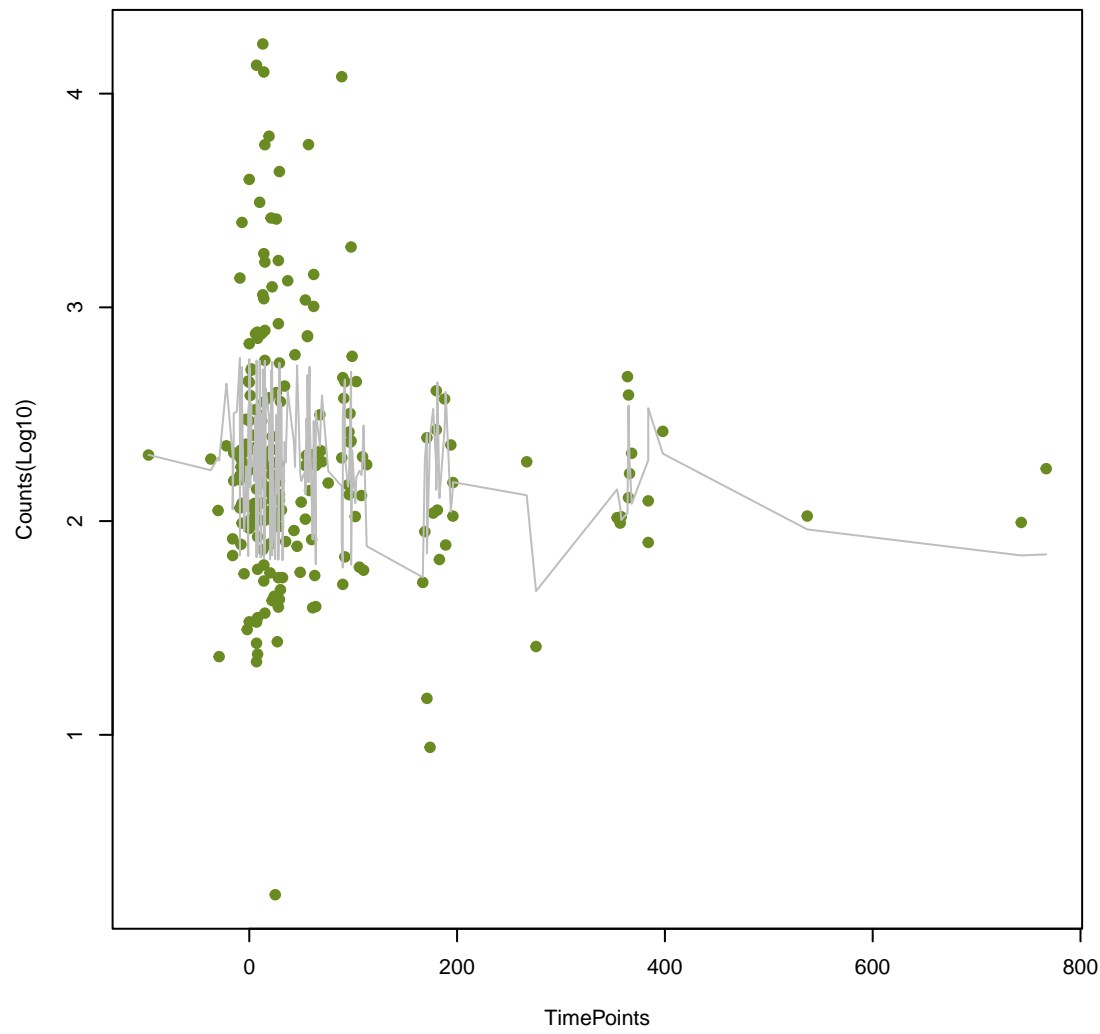
vanZ_in_vanA_cl
ANOVA P=0.154, adj. ANOVA-P=0.389



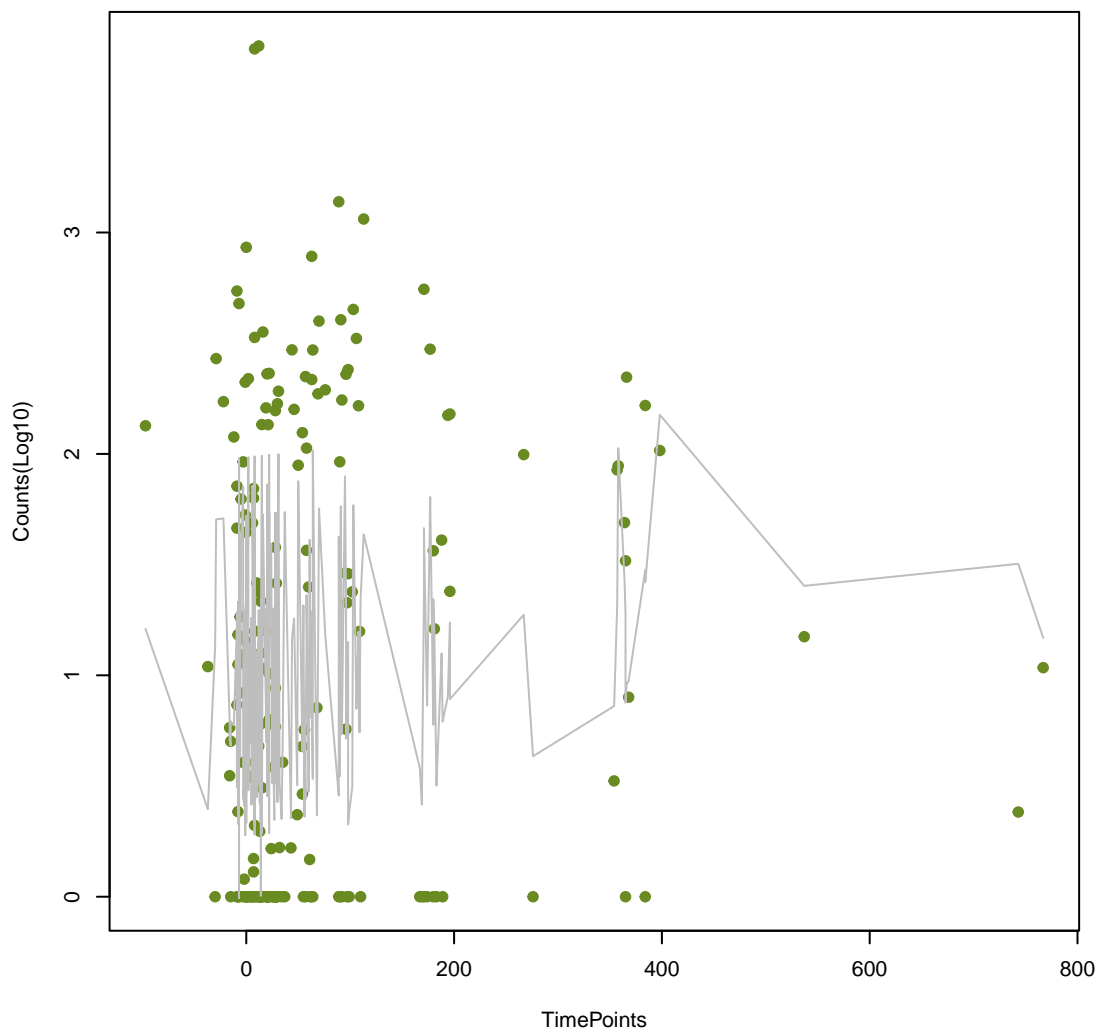
vanS_in_vanC_cl
ANOVA P=0.158, adj. ANOVA-P=0.397



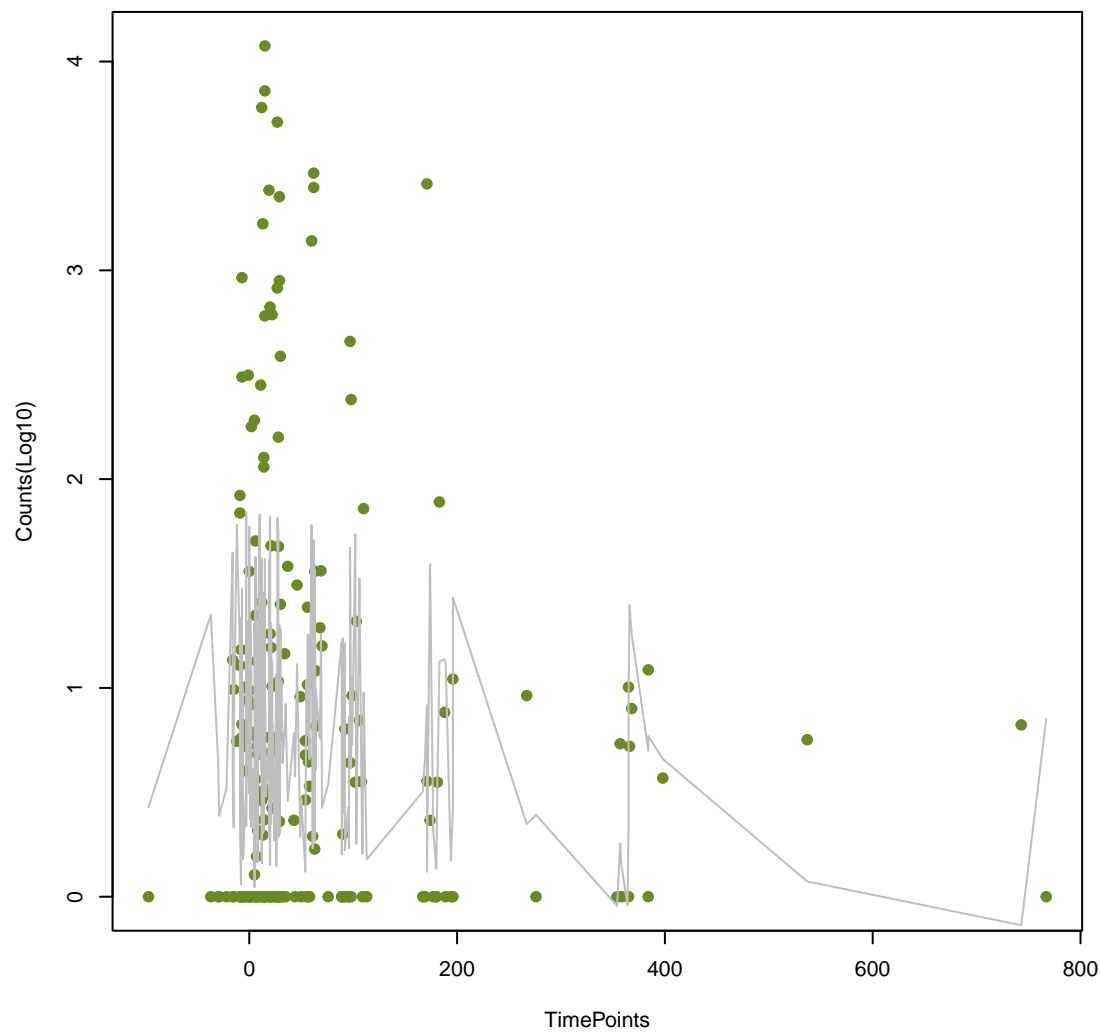
BRP(MBL)
ANOVA P=0.16, adj. ANOVA-P=0.398



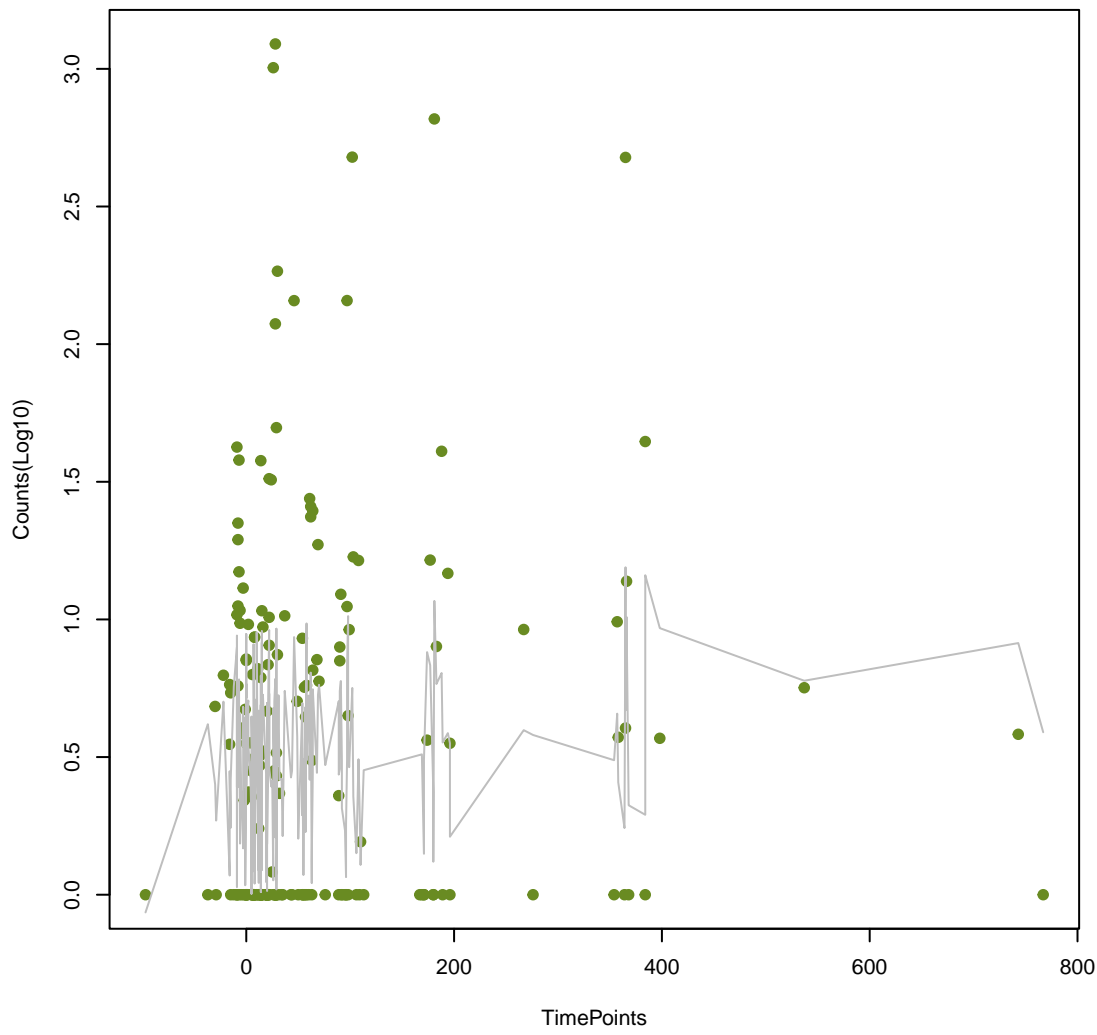
vanR_in_vanD_cl
ANOVA P=0.165, adj. ANOVA-P=0.409



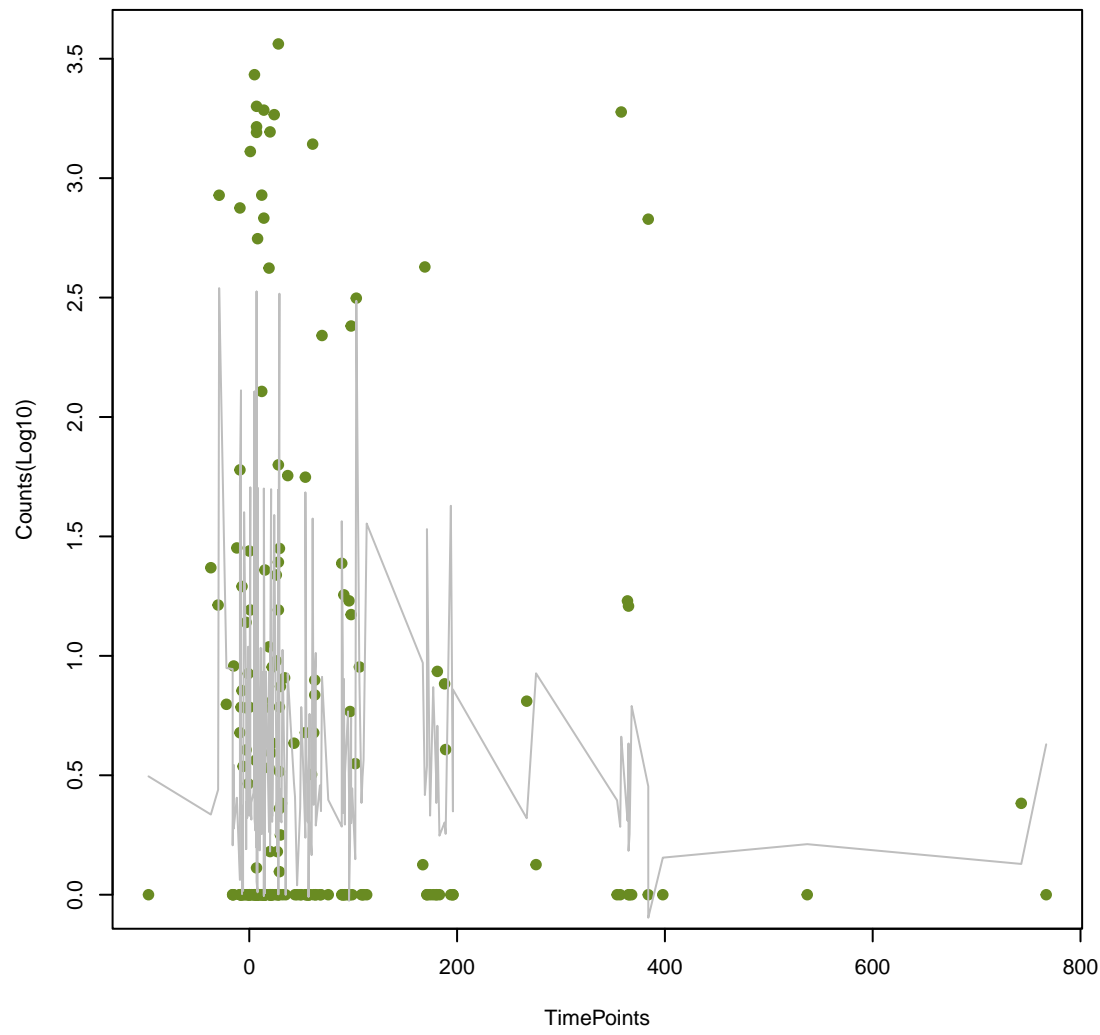
IsaA
ANOVA P=0.167, adj. ANOVA-P=0.409



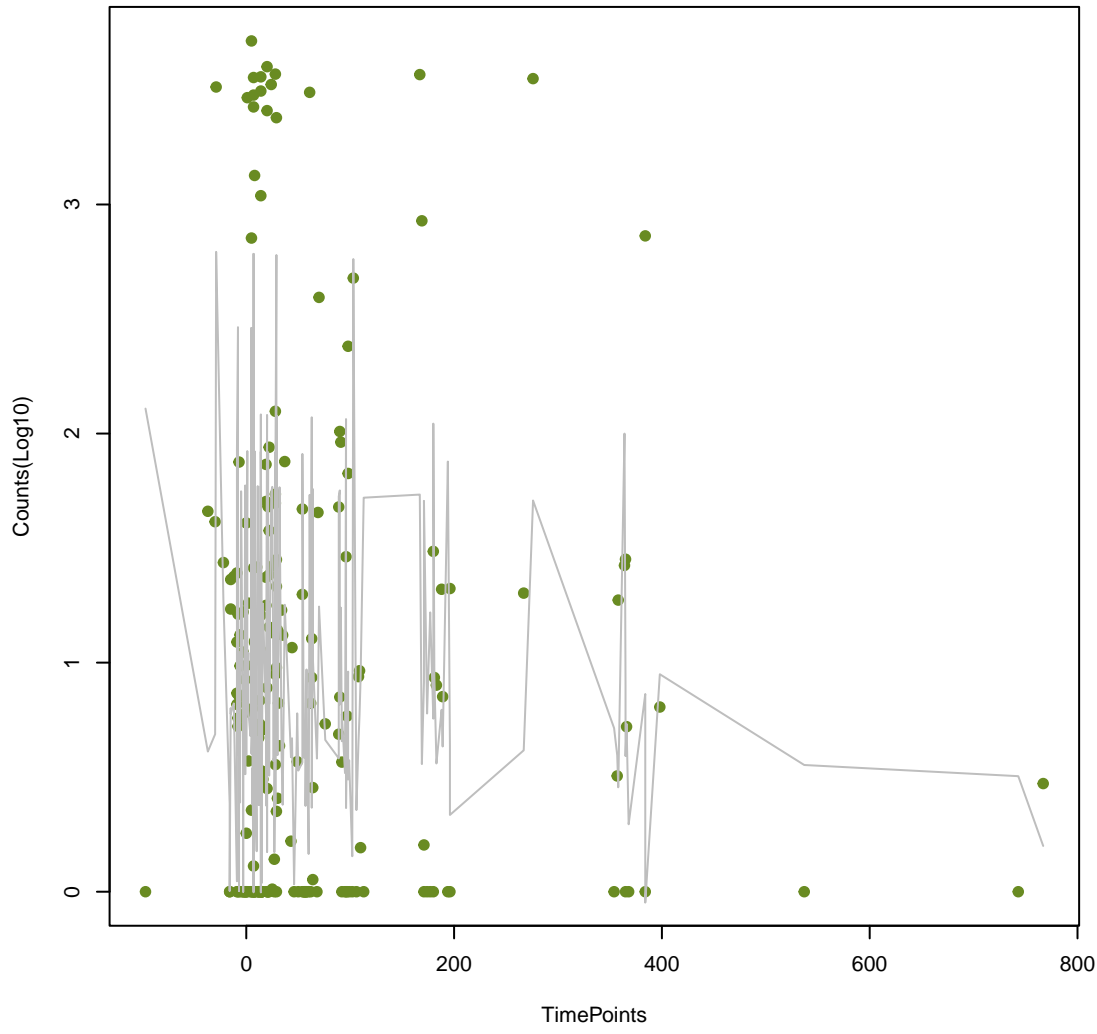
Kpne_OmpK37
ANOVA P=0.173, adj. ANOVA-P=0.416



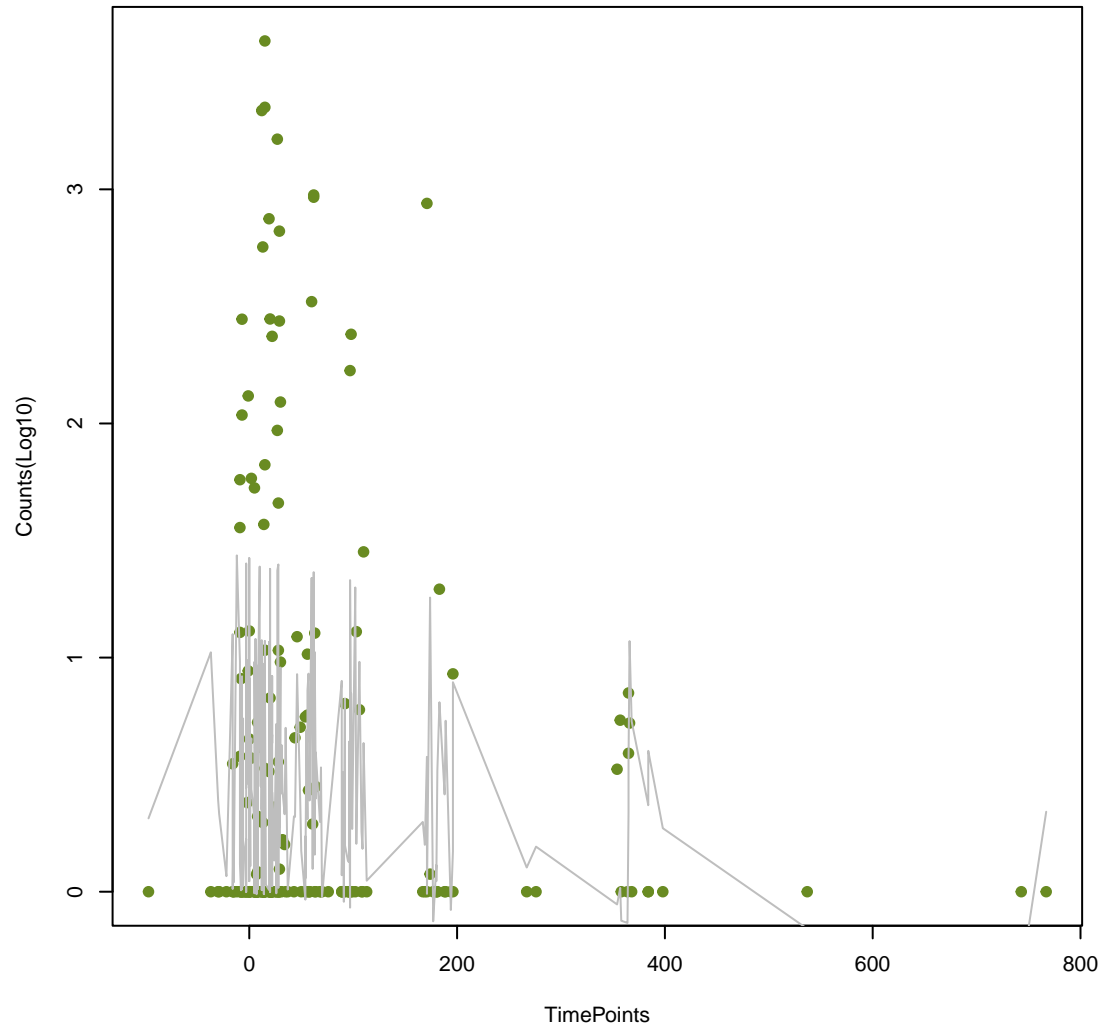
tet(L)
ANOVA P=0.174, adj. ANOVA-P=0.416



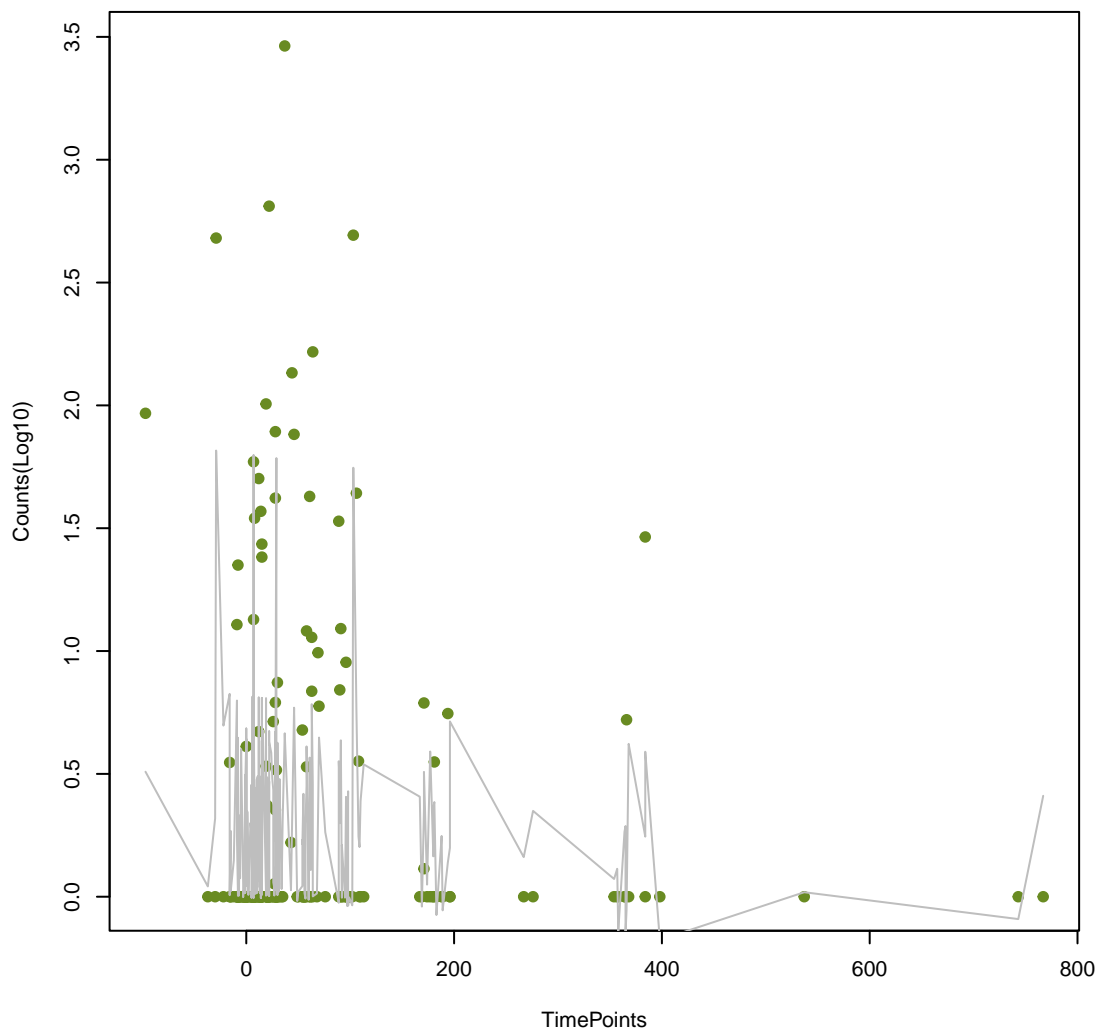
vanY_in_vanA_cl
ANOVA P=0.174, adj. ANOVA-P=0.416



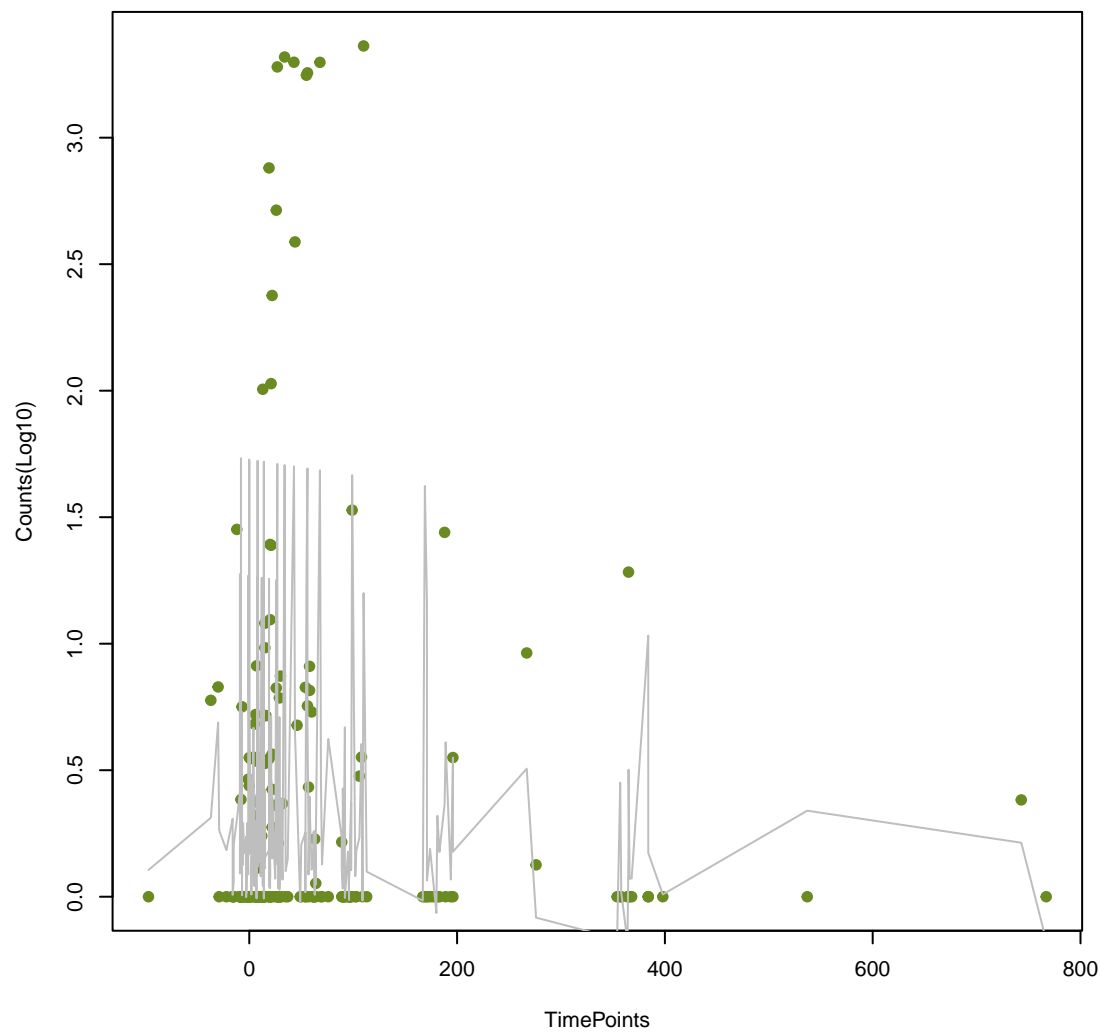
dfrE
ANOVA P=0.182, adj. ANOVA-P=0.423



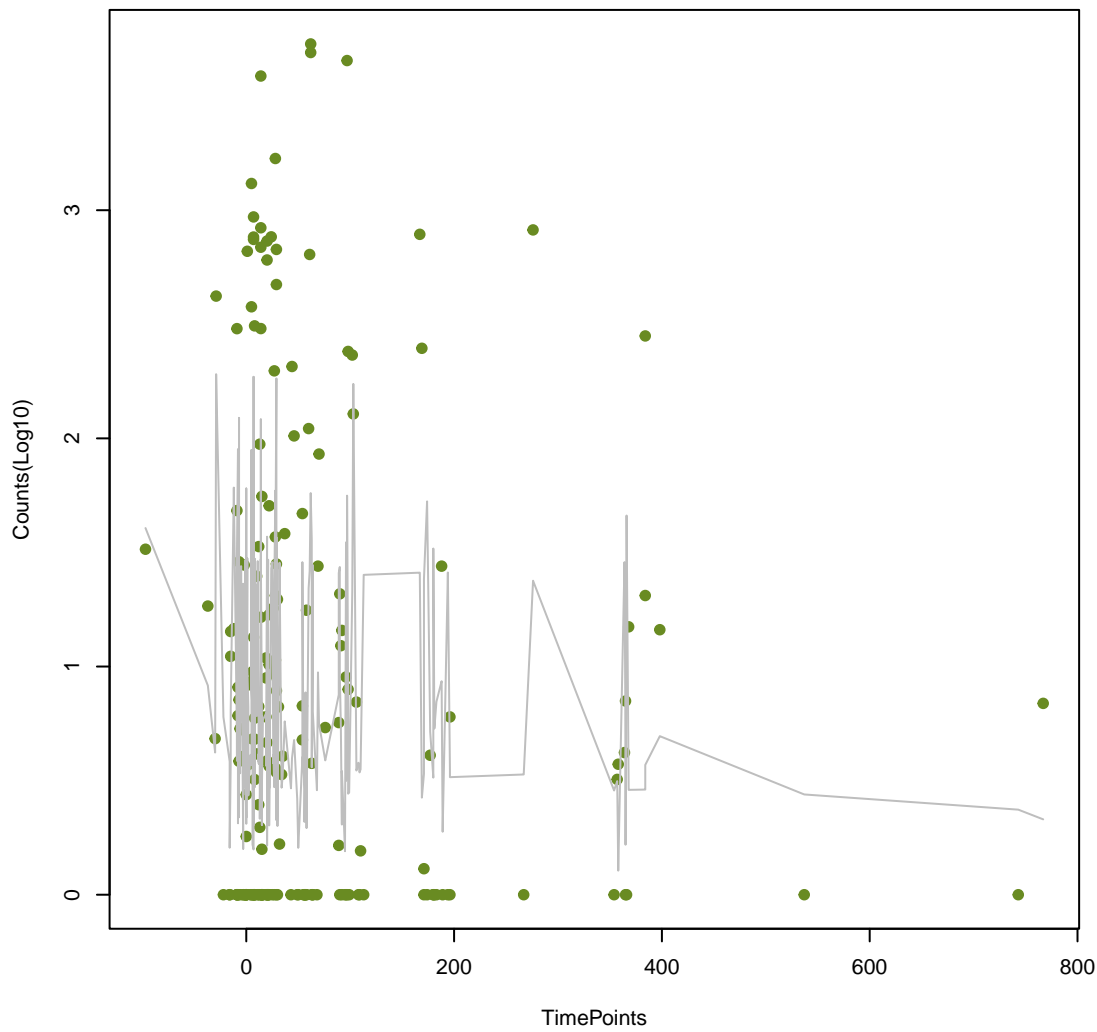
vanR_in_vanC_cl
ANOVA P=0.183, adj. ANOVA-P=0.423



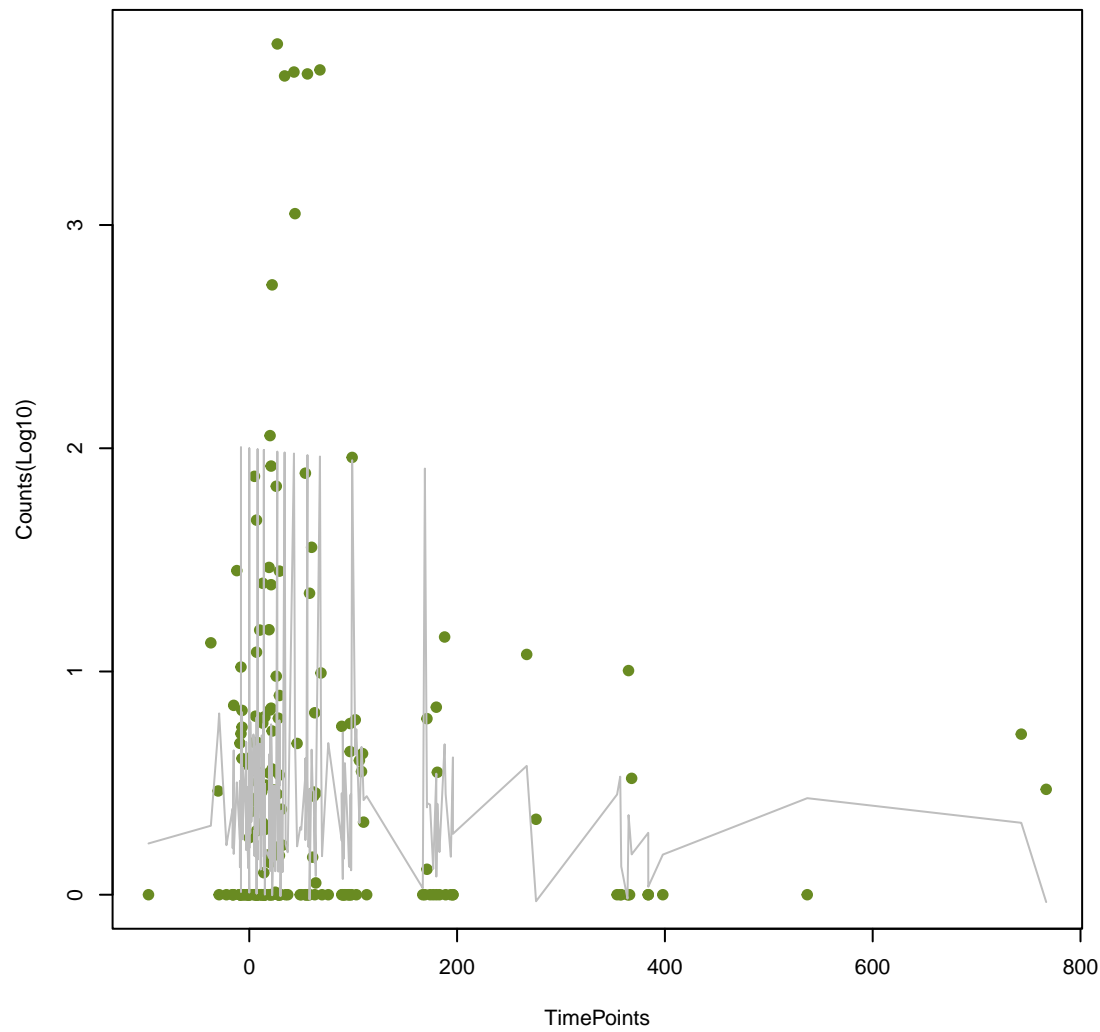
mecR1
ANOVA P=0.184, adj. ANOVA-P=0.423



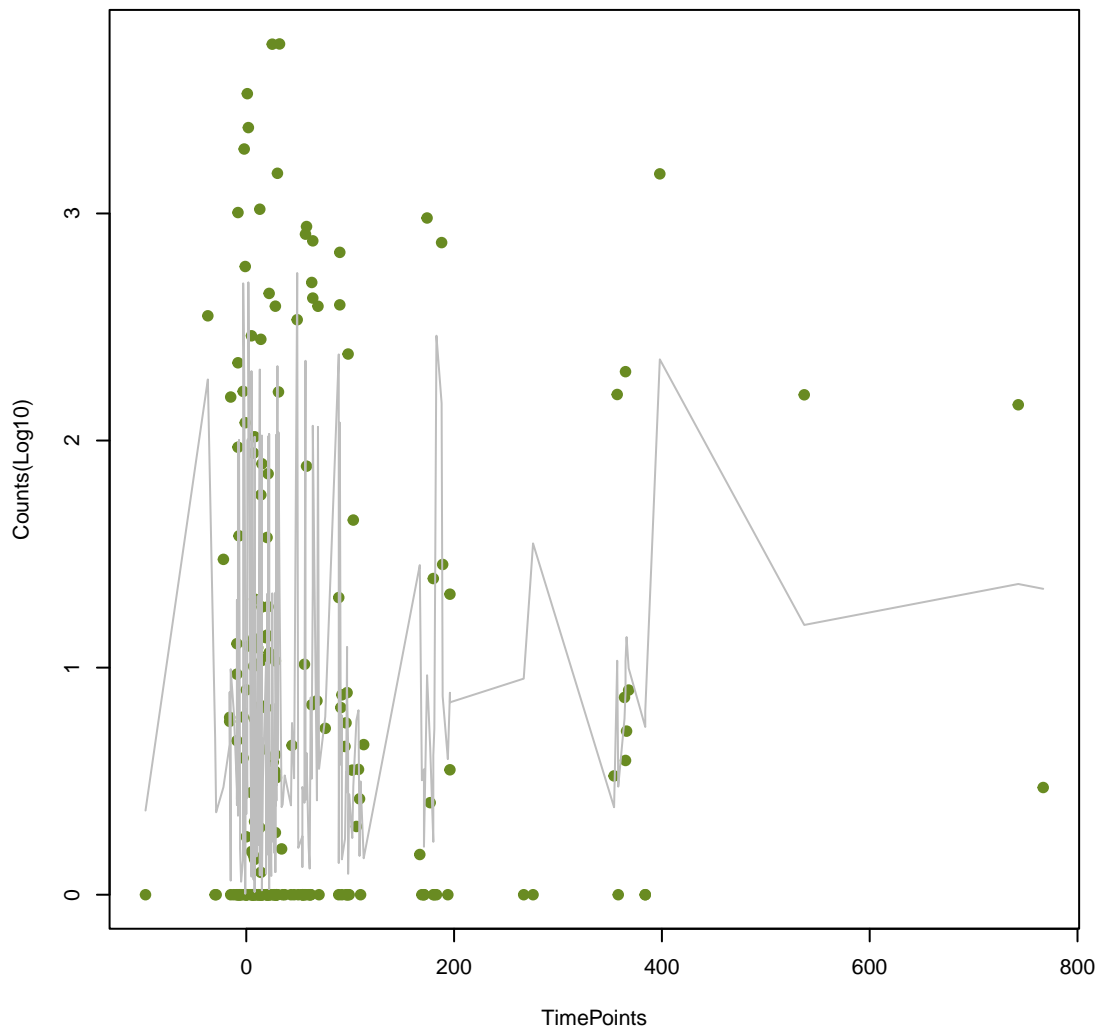
AAC(6')-li
ANOVA P=0.184, adj. ANOVA-P=0.423



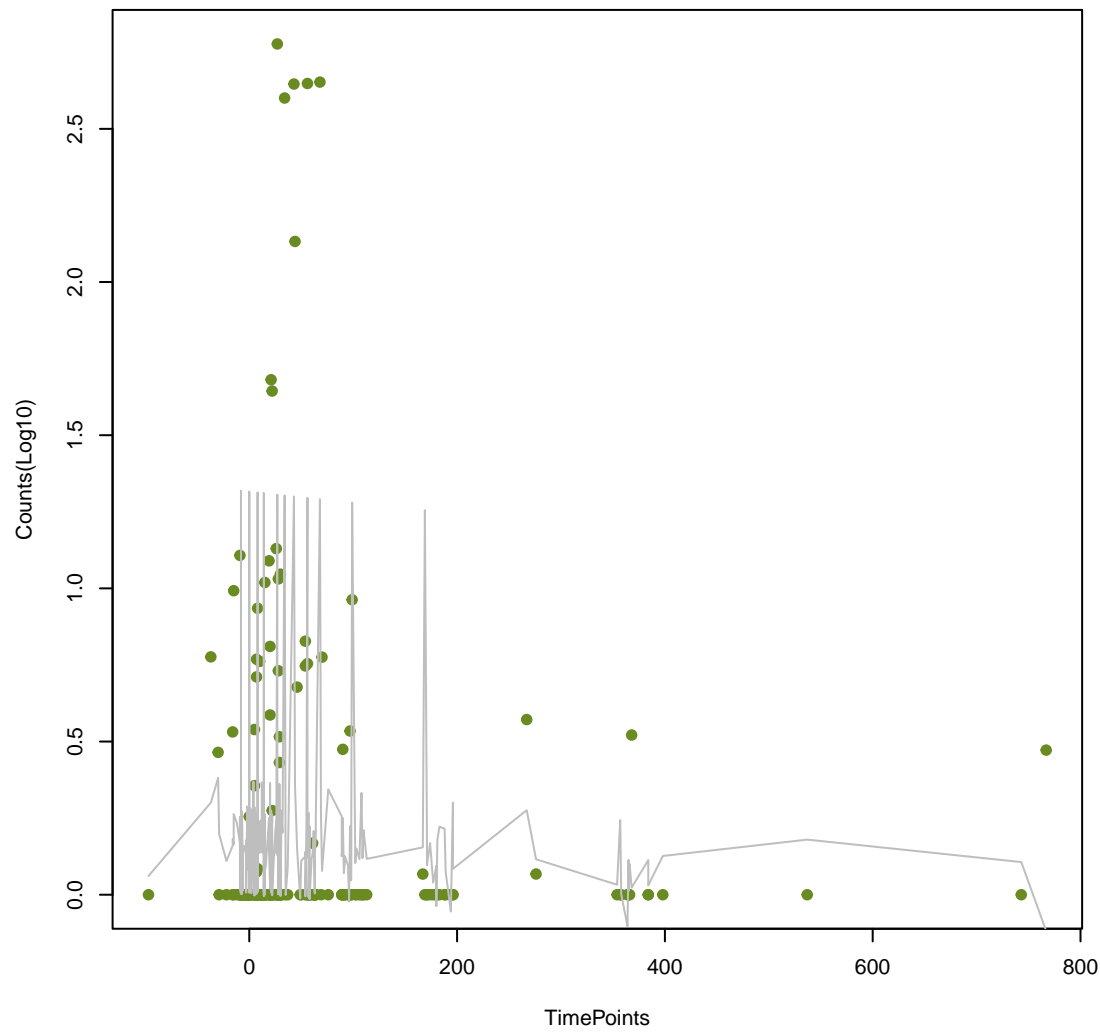
qacA
ANOVA P=0.184, adj. ANOVA-P=0.423



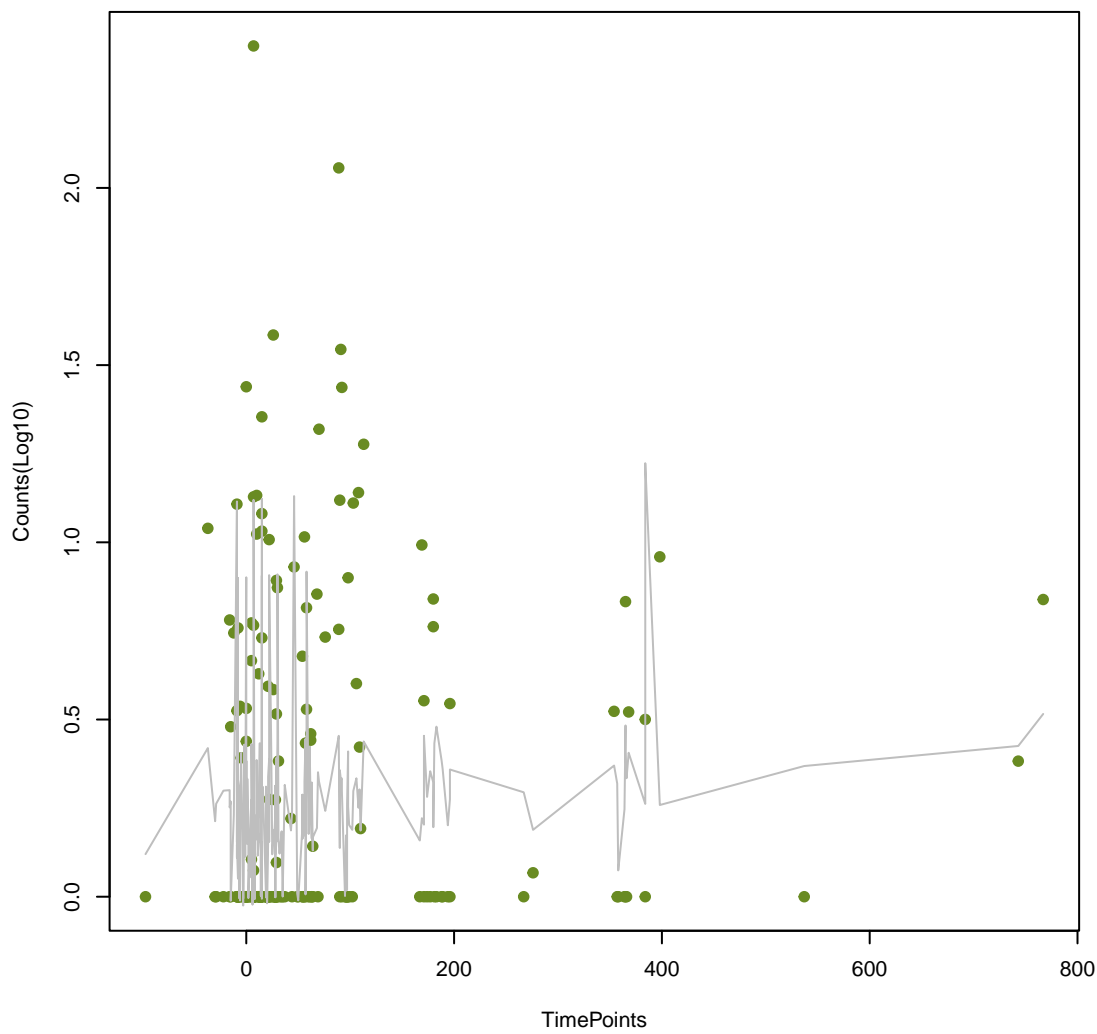
sul2
ANOVA P=0.186, adj. ANOVA-P=0.425



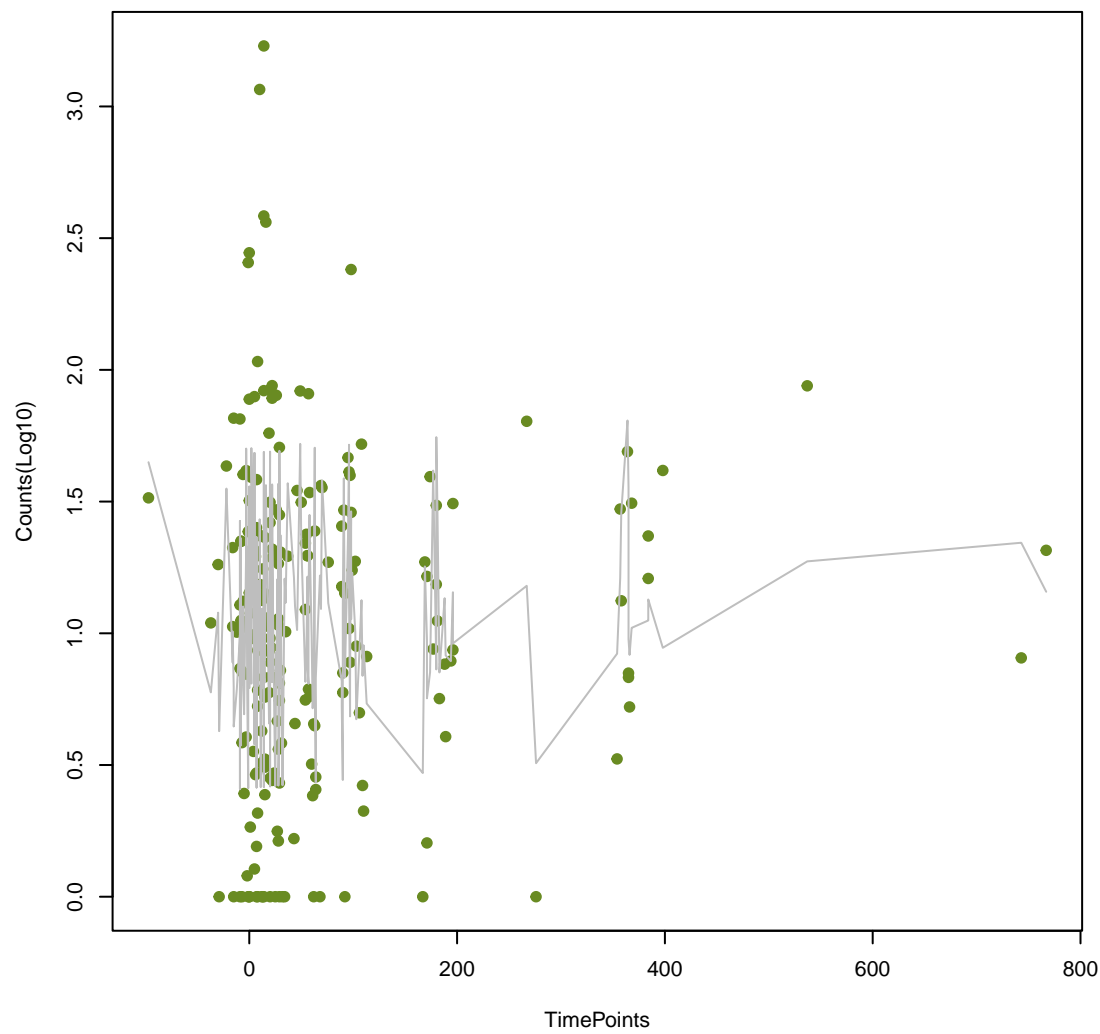
qacB
ANOVA P=0.189, adj. ANOVA-P=0.426



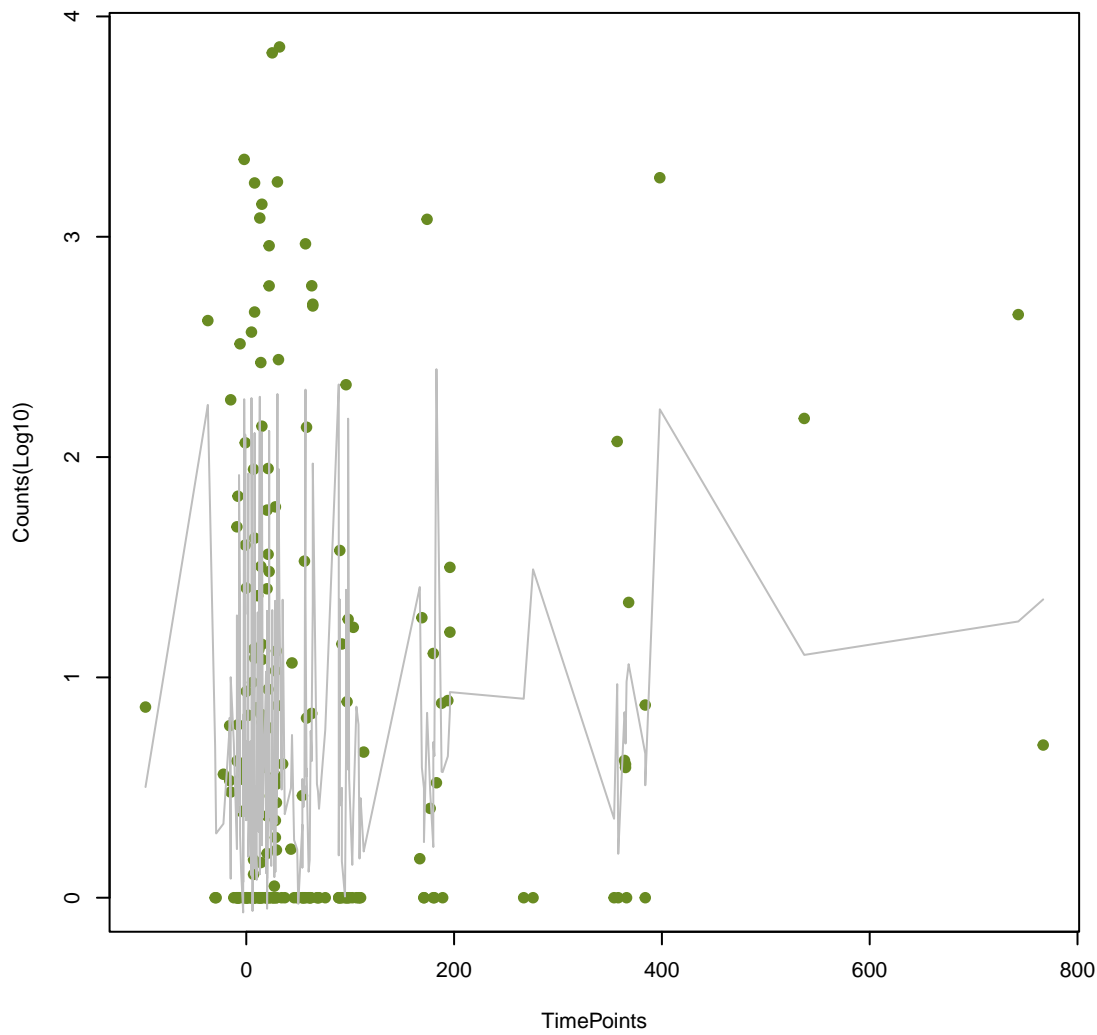
rphA
ANOVA P=0.189, adj. ANOVA-P=0.426



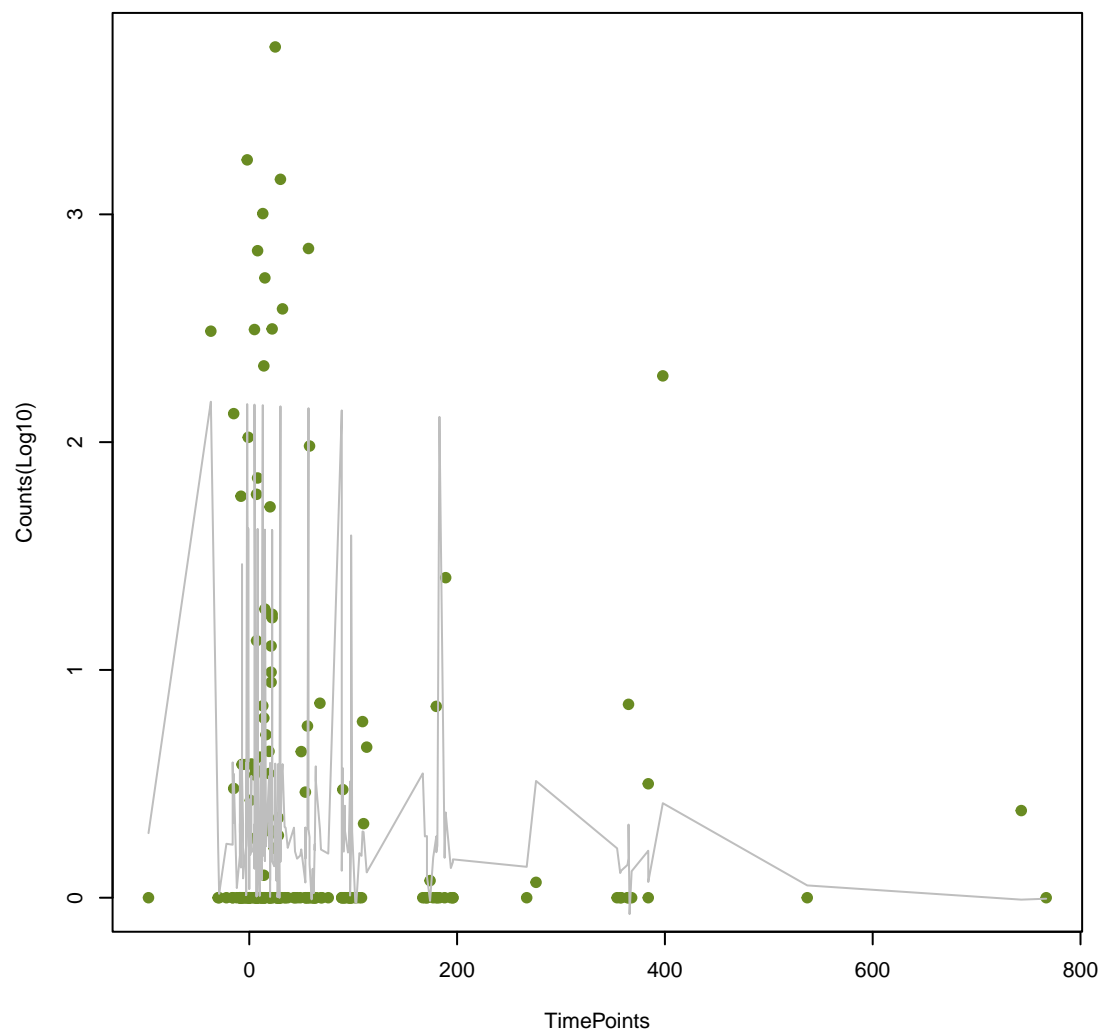
mefH
ANOVA P=0.2, adj. ANOVA-P=0.442



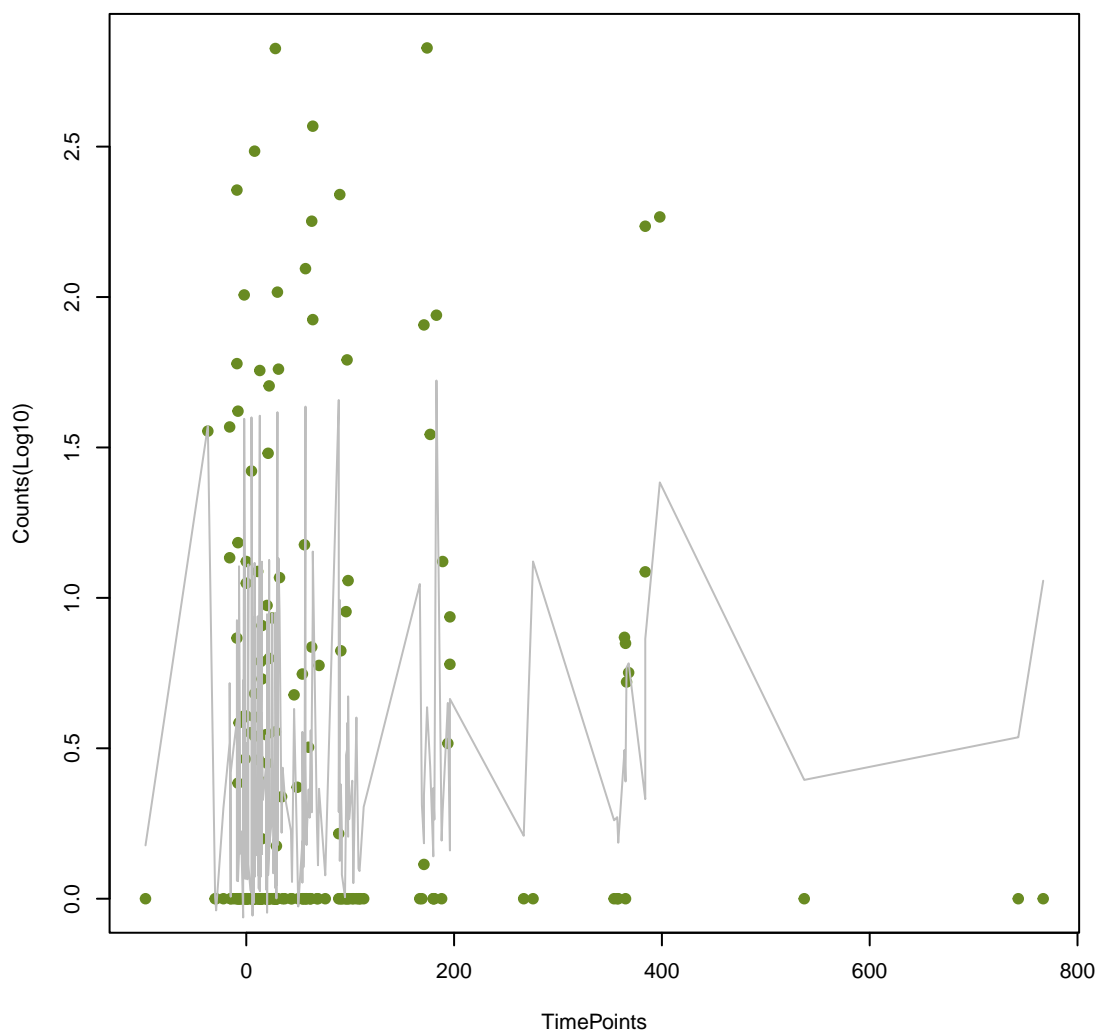
tet(A)
ANOVA P=0.201, adj. ANOVA-P=0.442



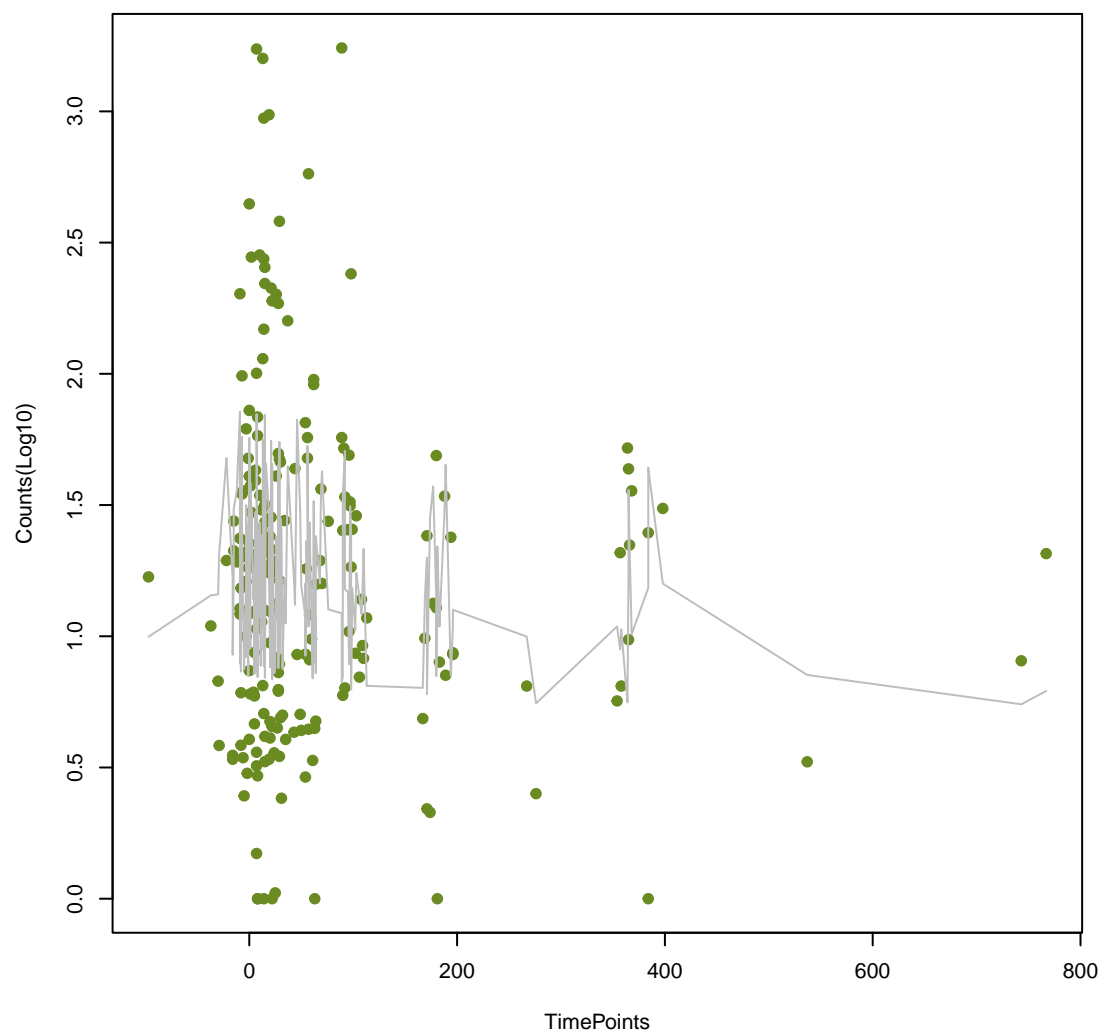
mphA
ANOVA P=0.202, adj. ANOVA-P=0.442



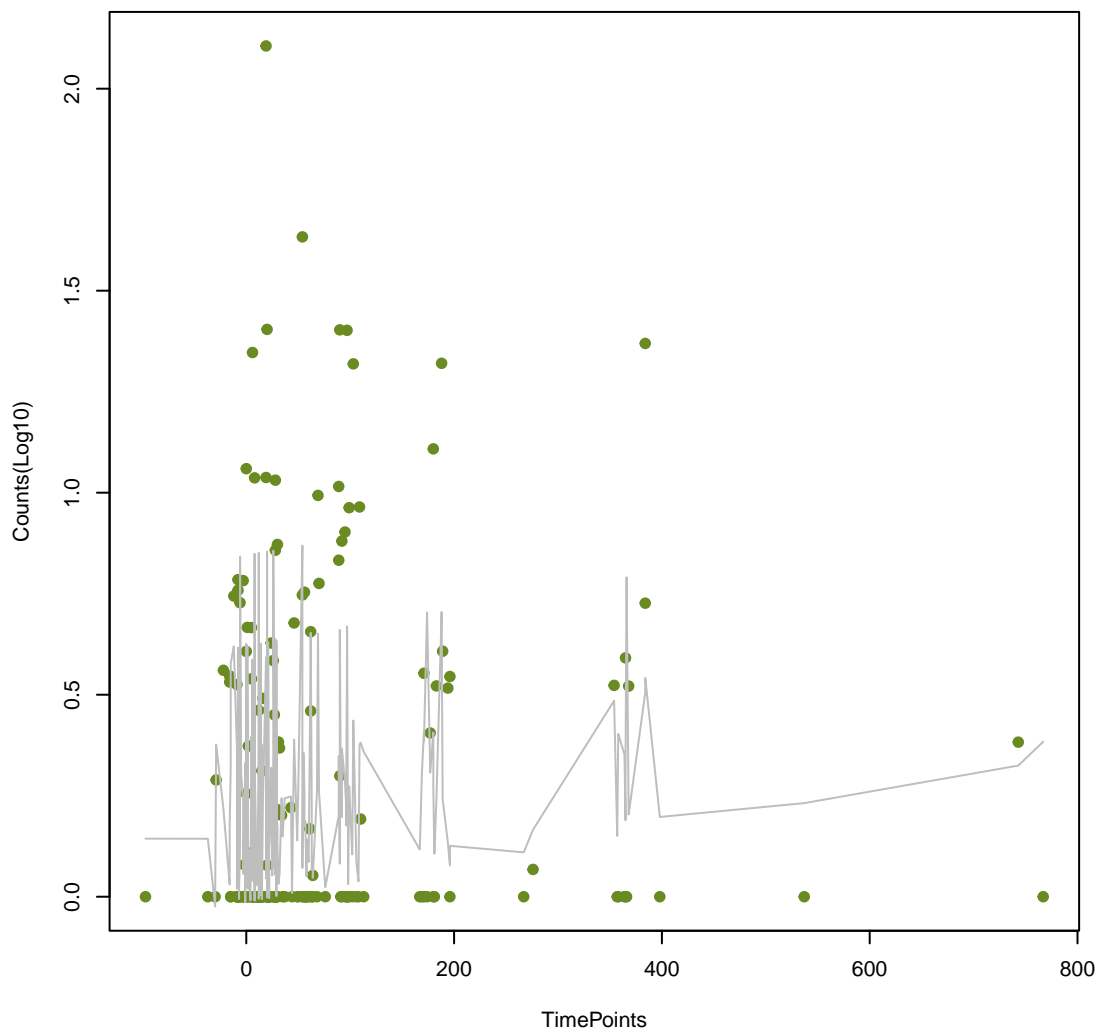
EC-13
ANOVA P=0.203, adj. ANOVA-P=0.442



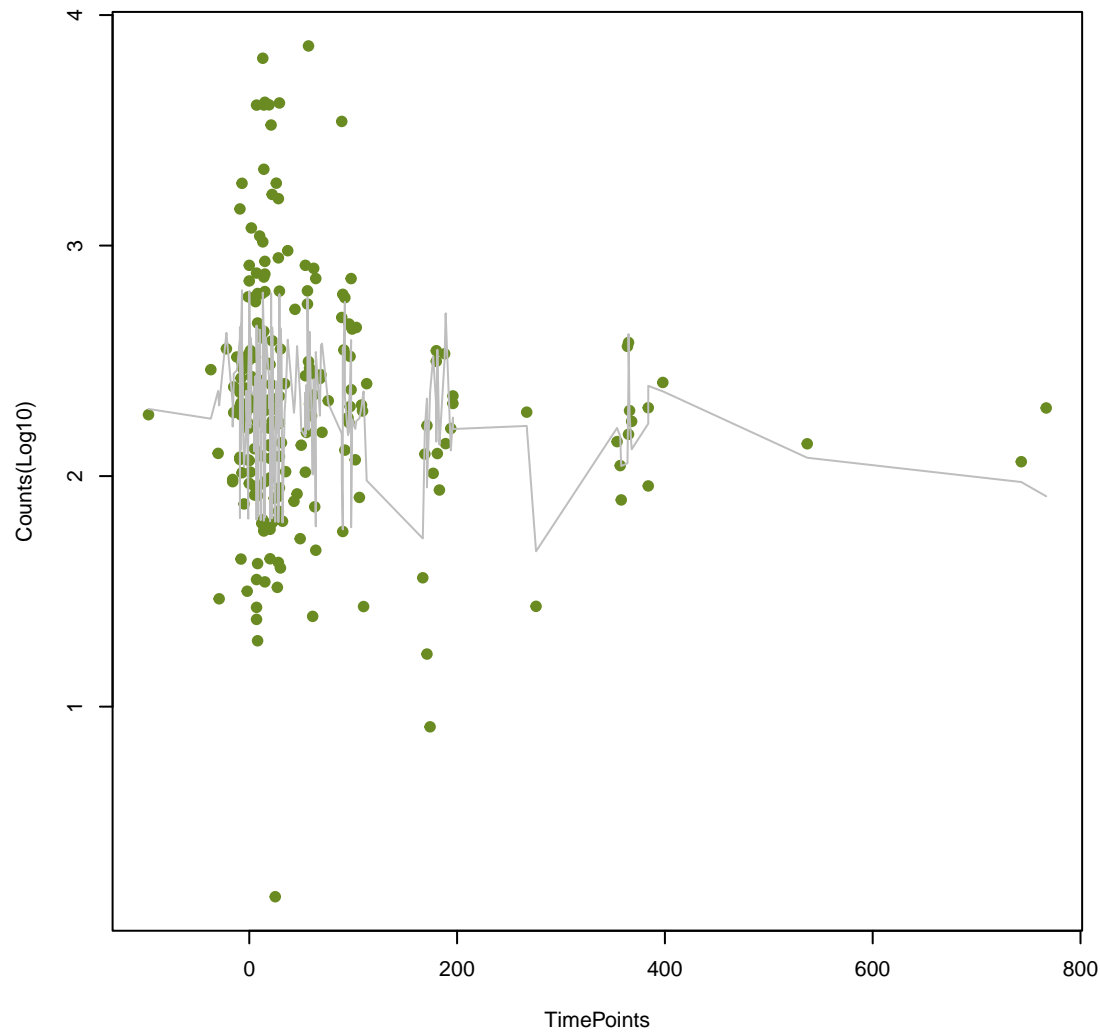
dfrB3
ANOVA P=0.205, adj. ANOVA-P=0.443



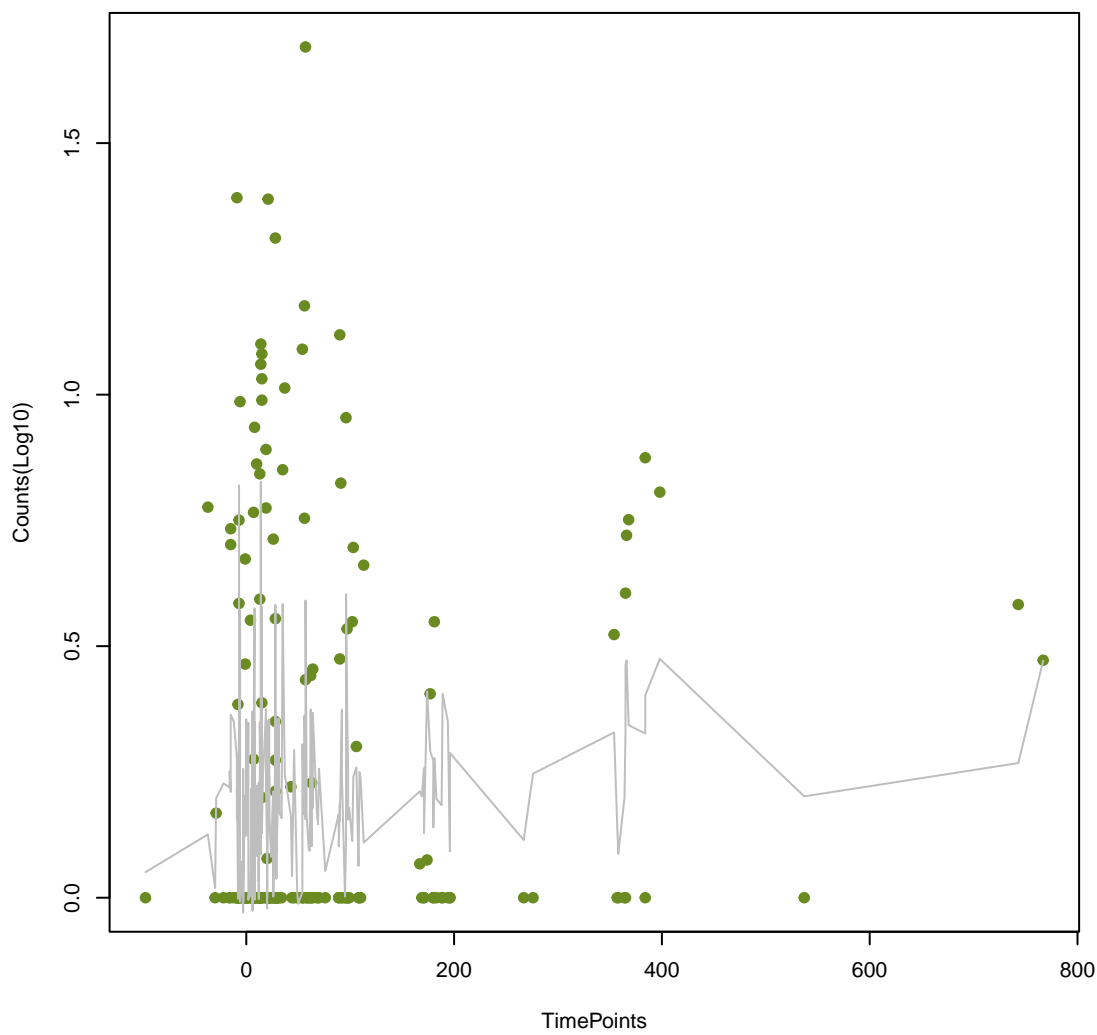
smeB
ANOVA P=0.206, adj. ANOVA-P=0.443



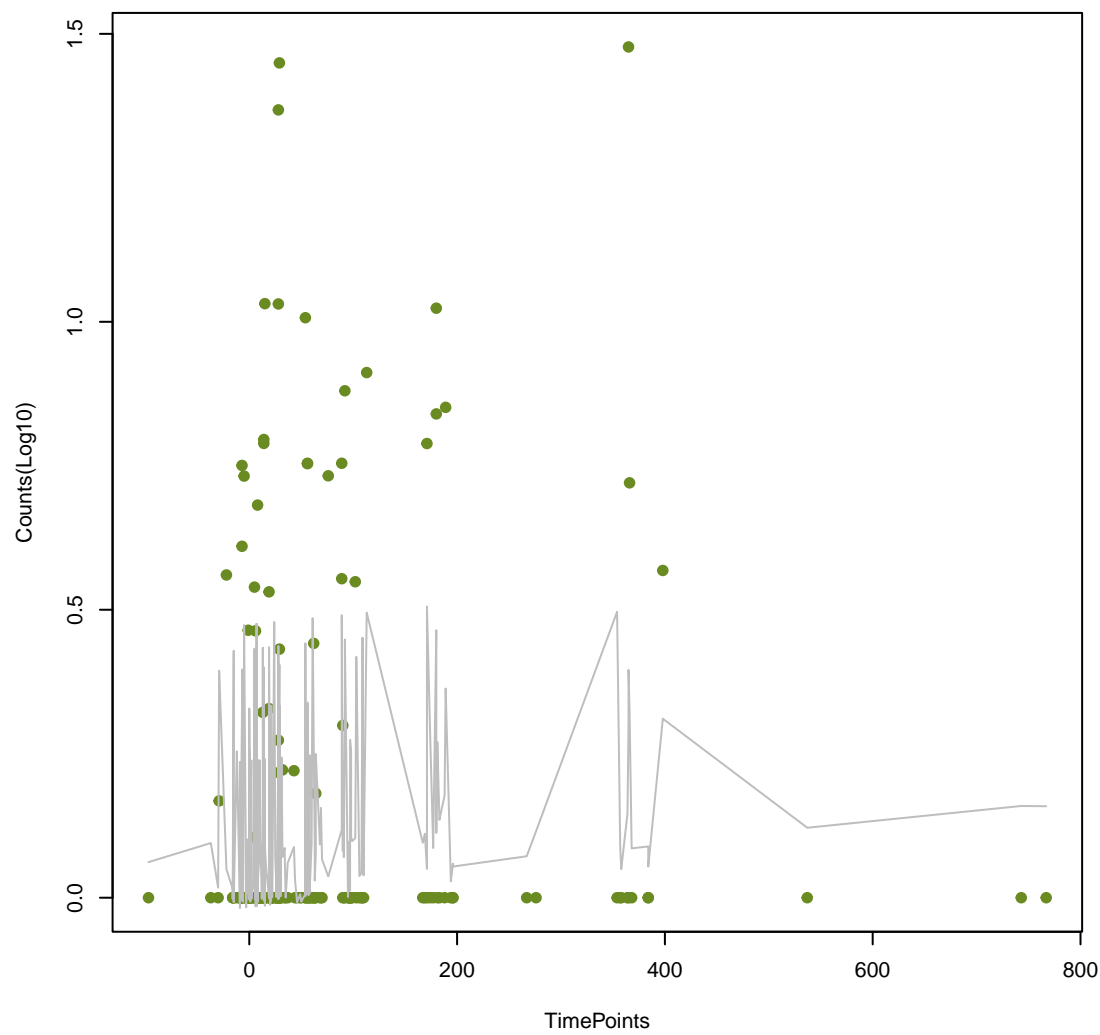
ArmR
ANOVA P=0.209, adj. ANOVA-P=0.447



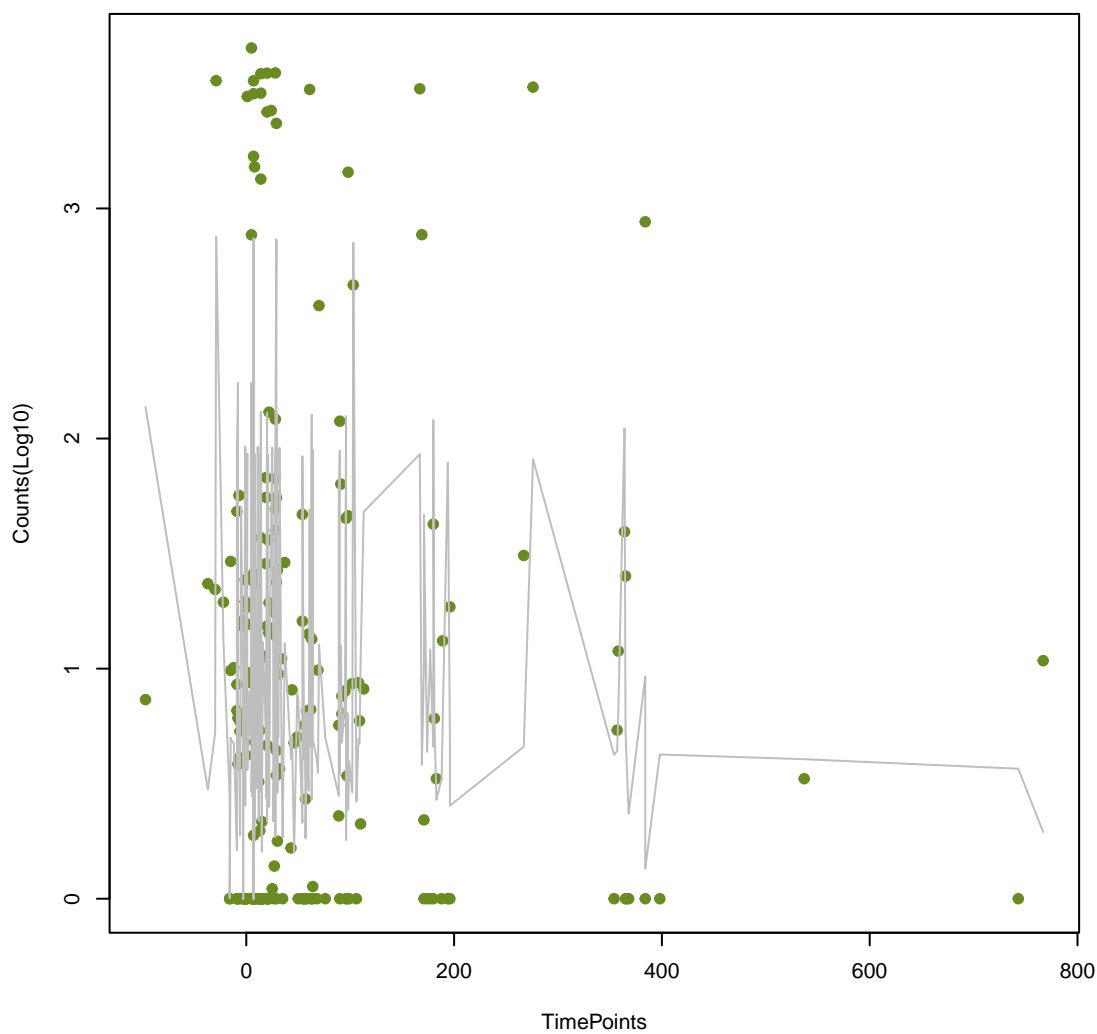
OKP-B-12
ANOVA P=0.221, adj. ANOVA-P=0.469



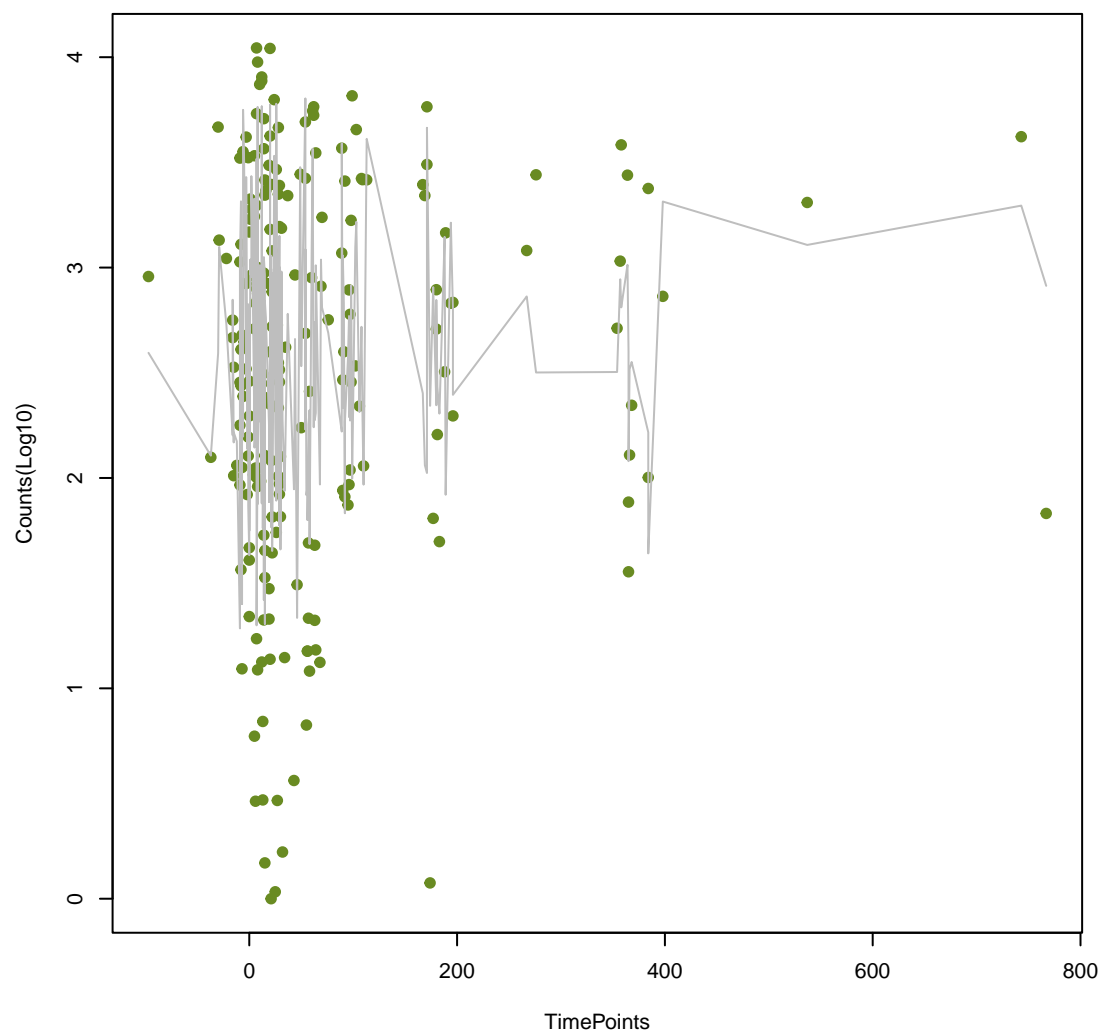
LEN-14
ANOVA P=0.23, adj. ANOVA-P=0.484



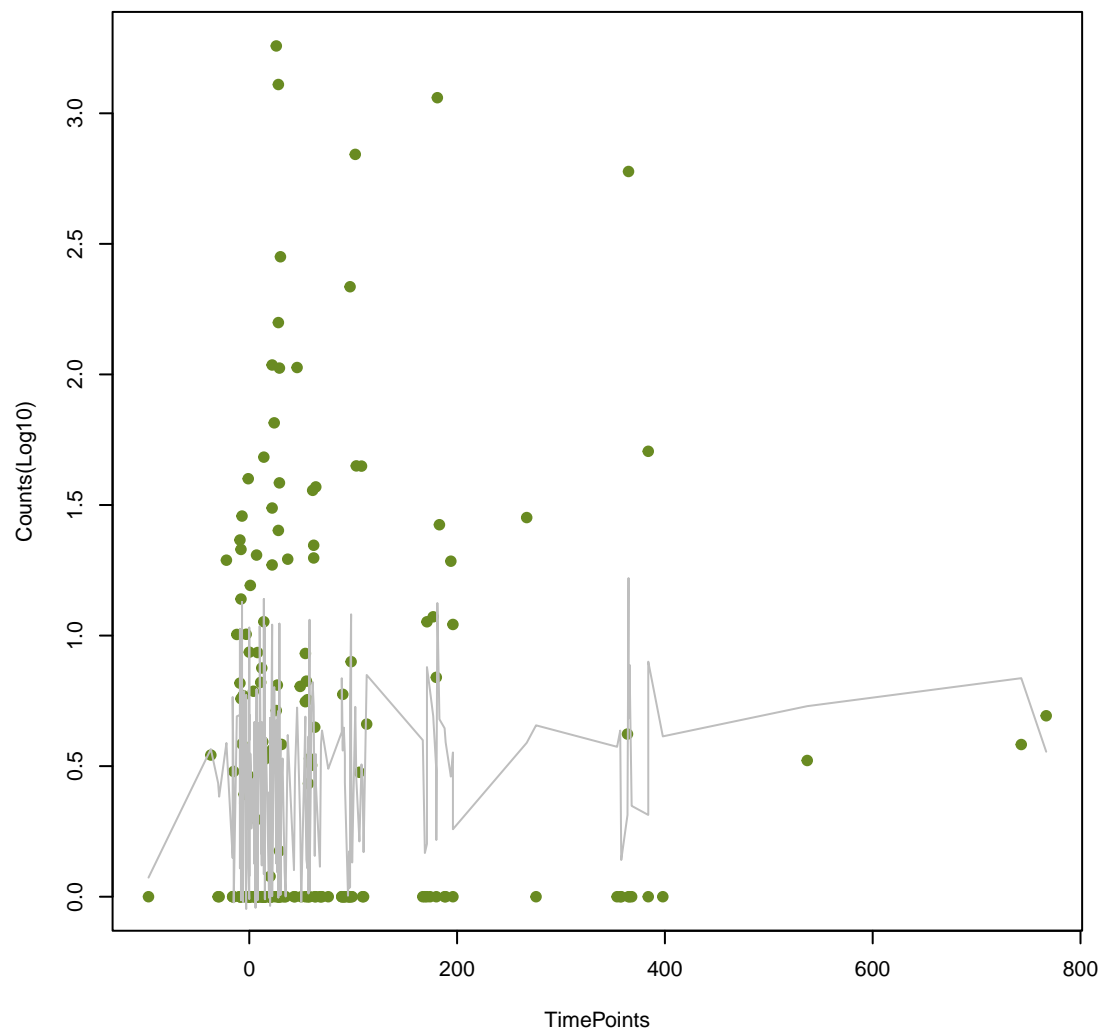
vanA
ANOVA P=0.232, adj. ANOVA-P=0.485



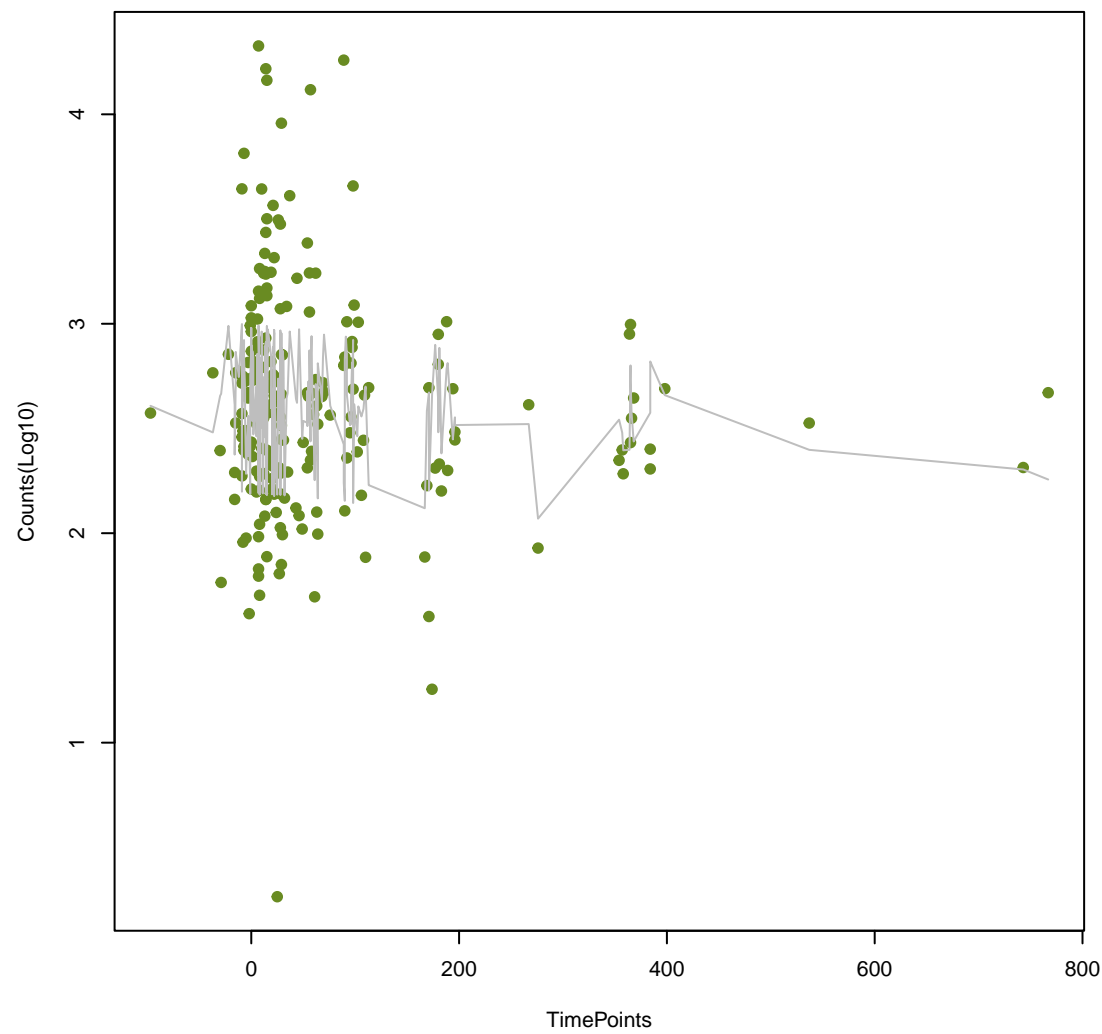
tetM
ANOVA P=0.234, adj. ANOVA-P=0.486



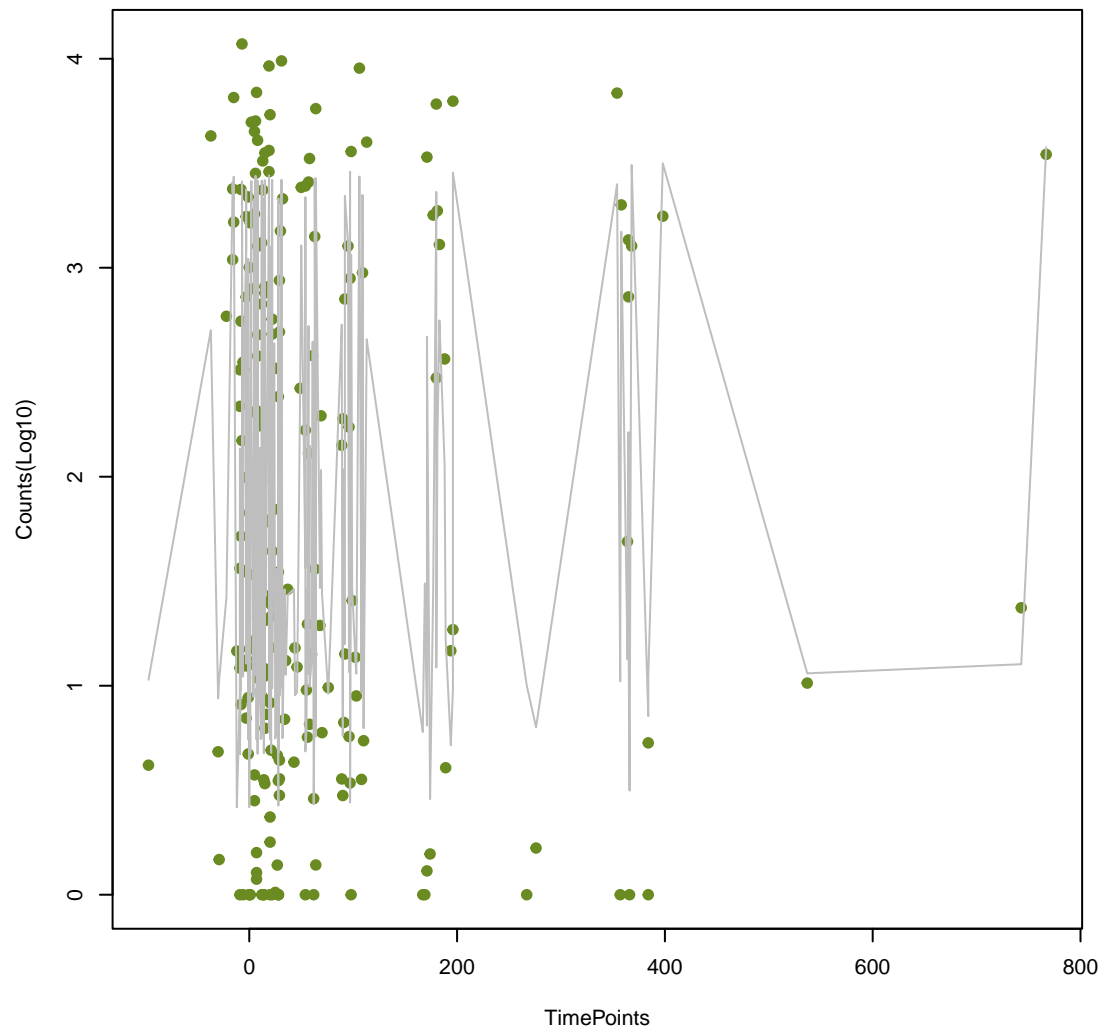
Kpne_acrA
ANOVA P=0.24, adj. ANOVA-P=0.495



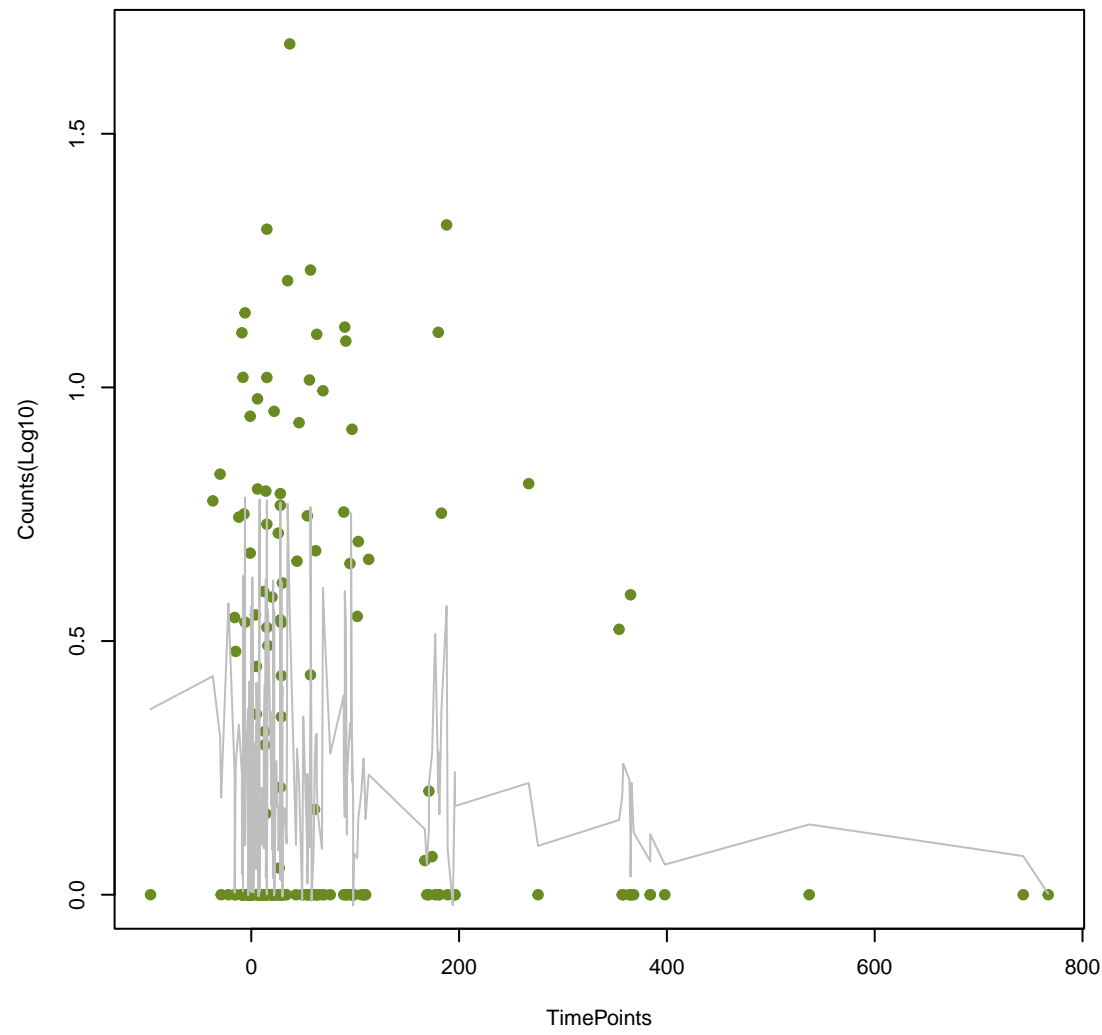
RbpA
ANOVA P=0.244, adj. ANOVA-P=0.5



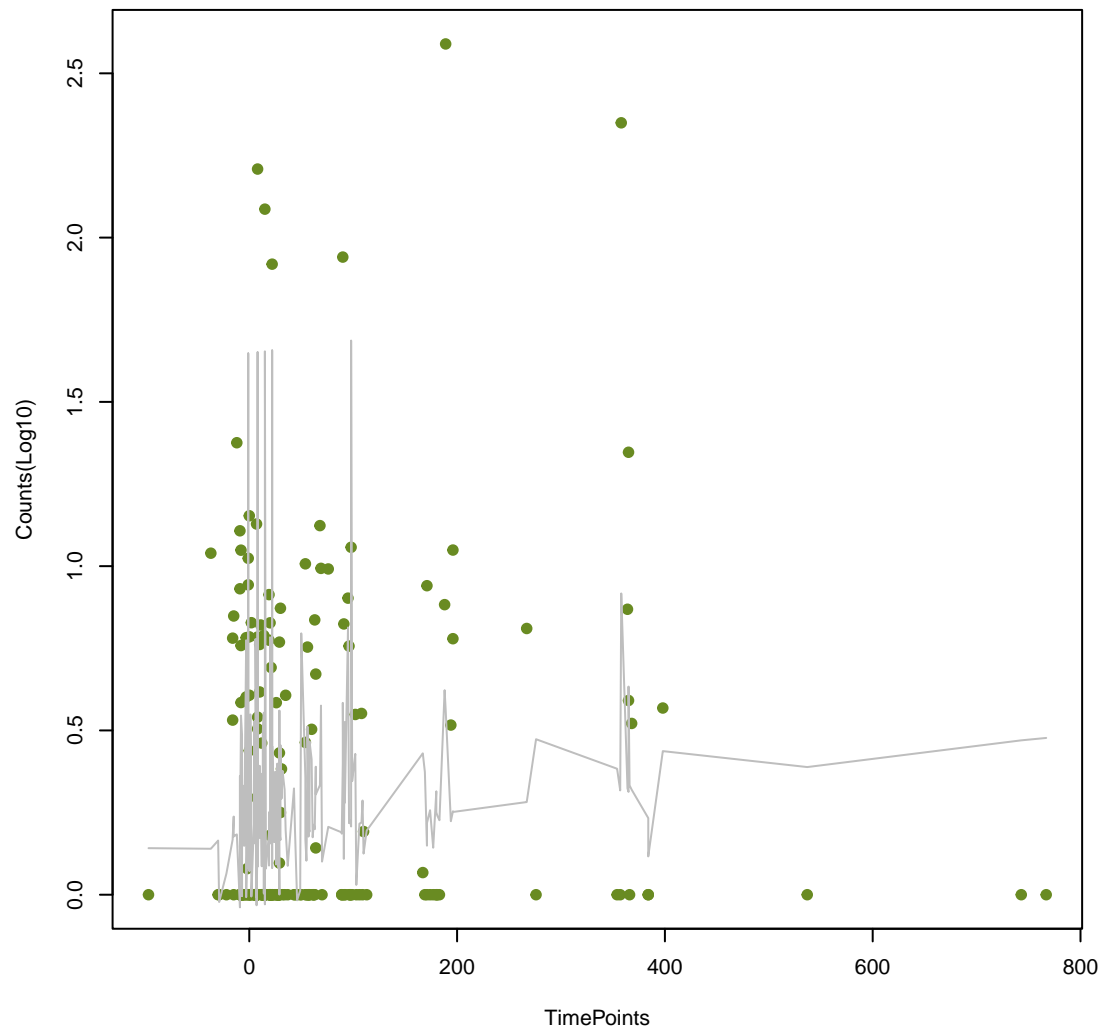
CfxA2
ANOVA P=0.247, adj. ANOVA-P=0.502



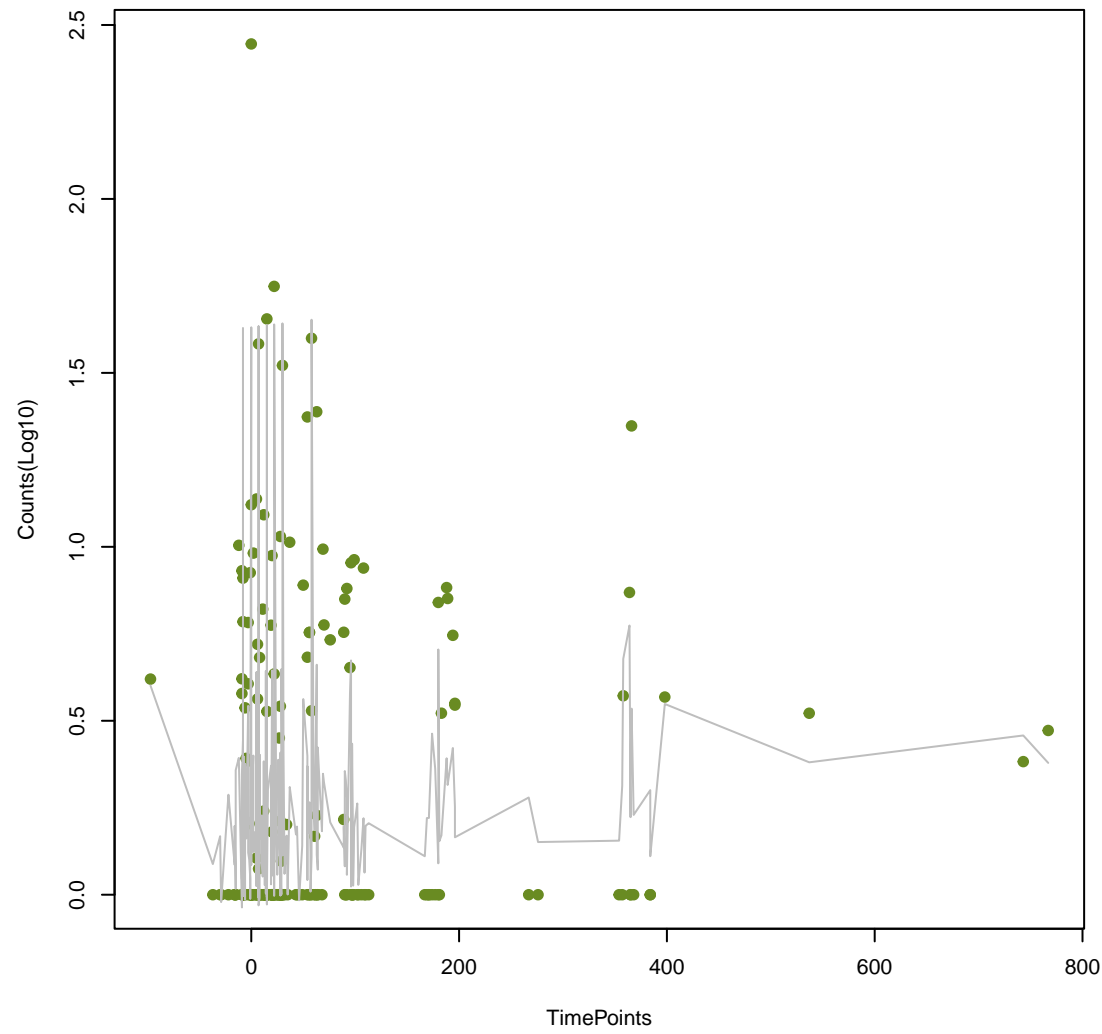
AxyY
ANOVA P=0.249, adj. ANOVA-P=0.502



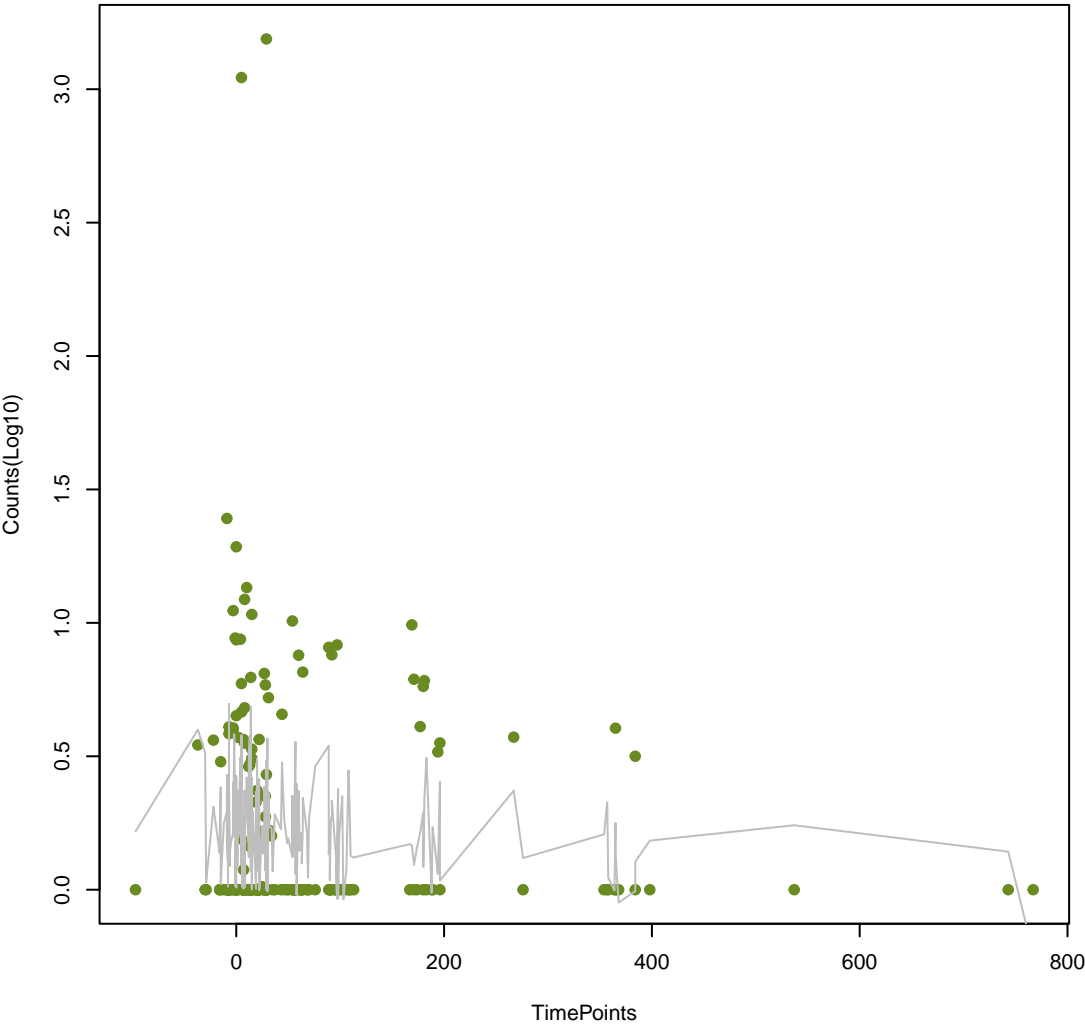
mef(B)
ANOVA P=0.252, adj. ANOVA-P=0.502



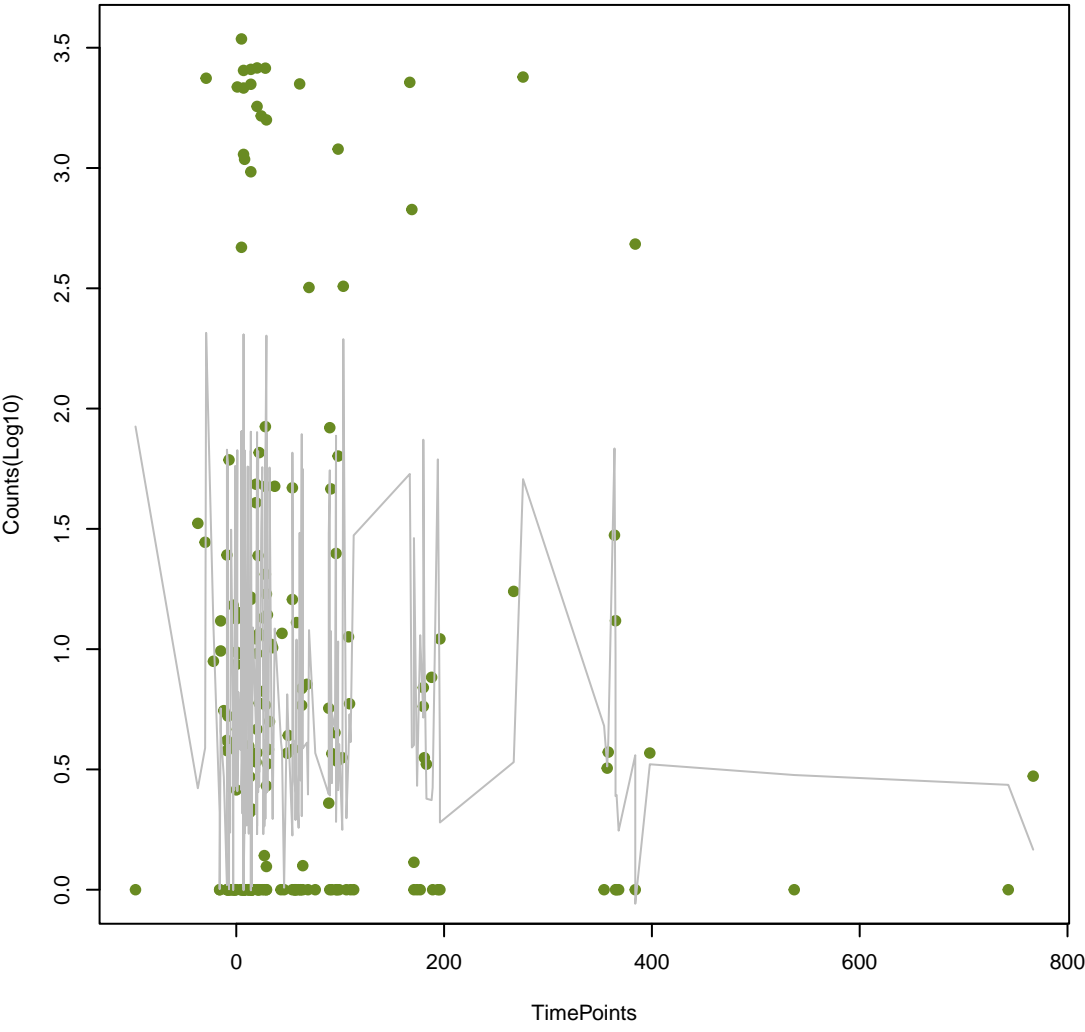
PEDO-2
ANOVA P=0.252, adj. ANOVA-P=0.502



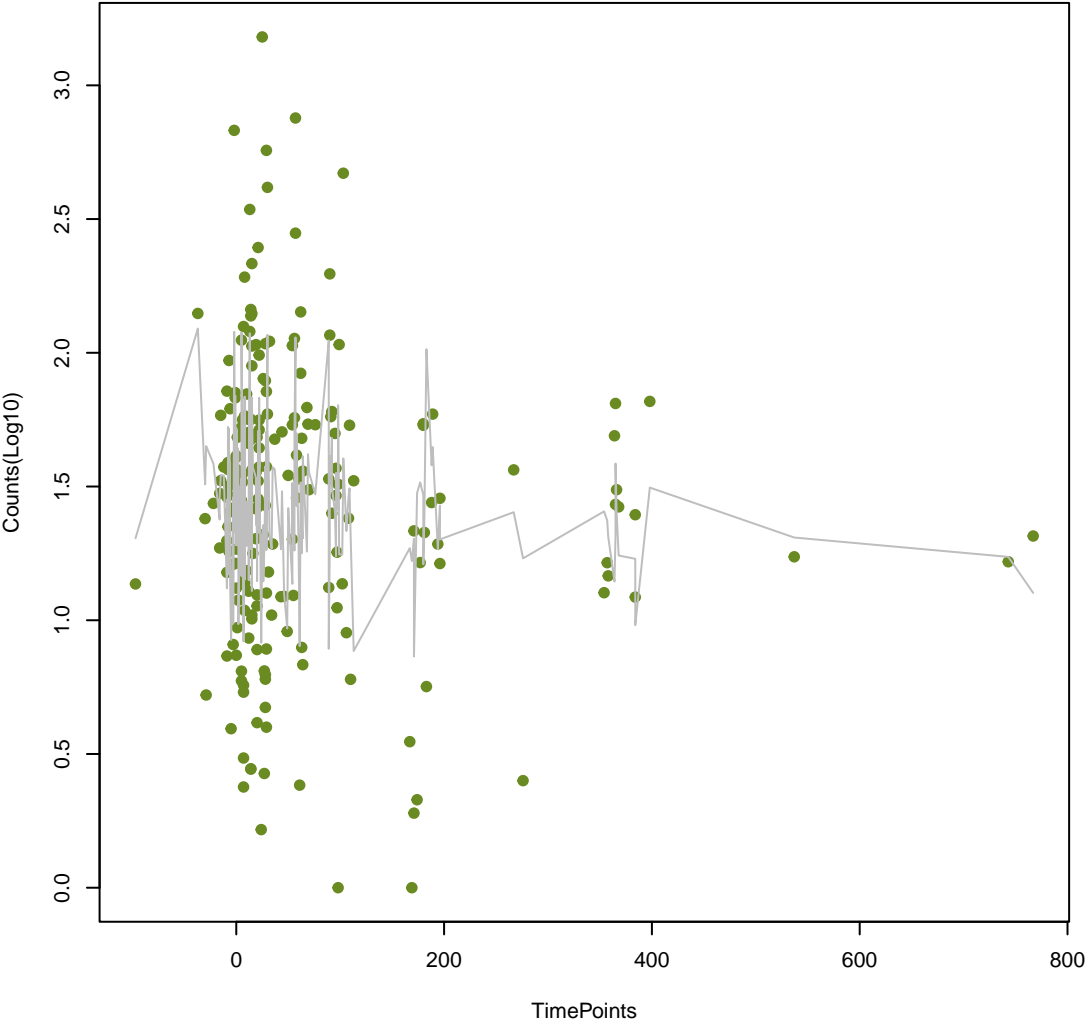
mexN
ANOVA P=0.26, adj. ANOVA-P=0.512



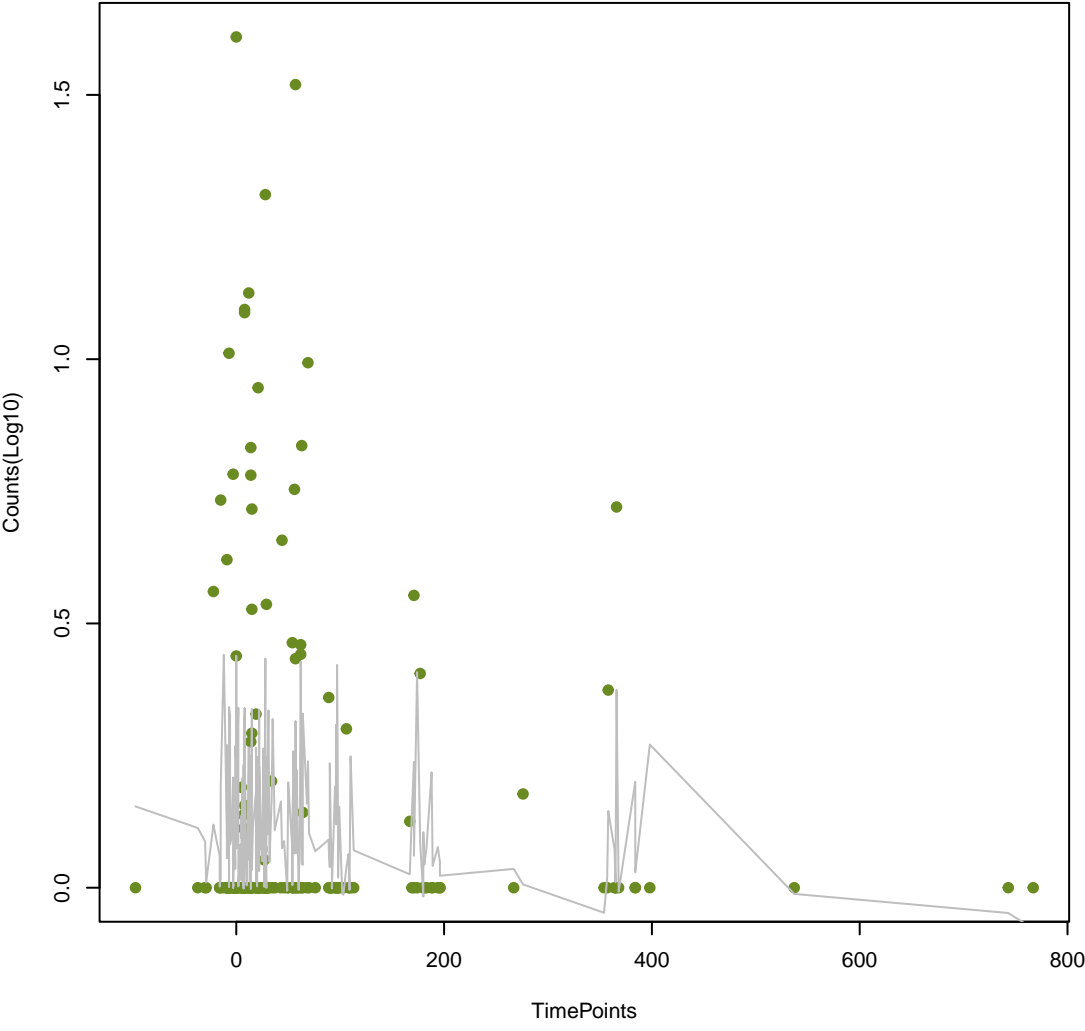
vanX_in_vanA_cl
ANOVA P=0.261, adj. ANOVA-P=0.512



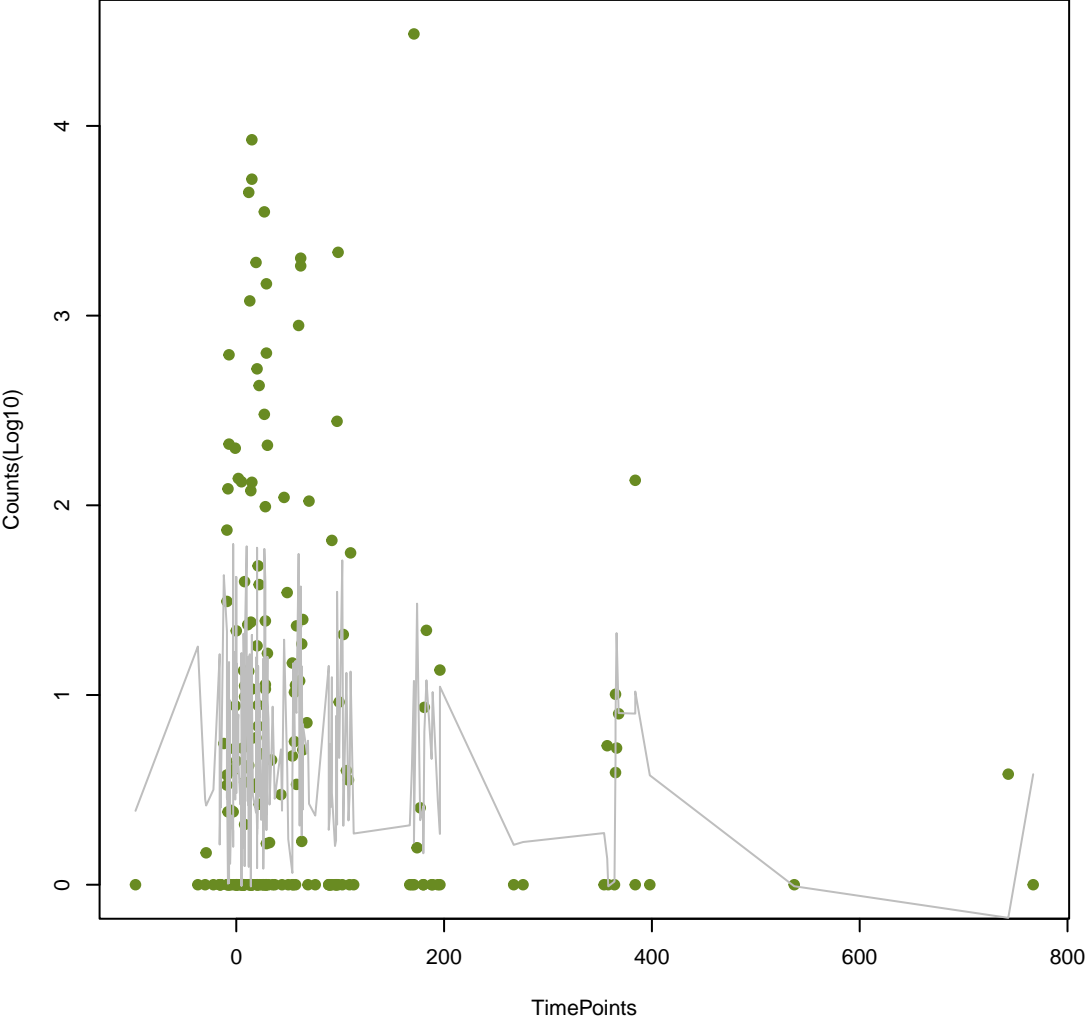
qacEdelta1
ANOVA P=0.262, adj. ANOVA-P=0.512



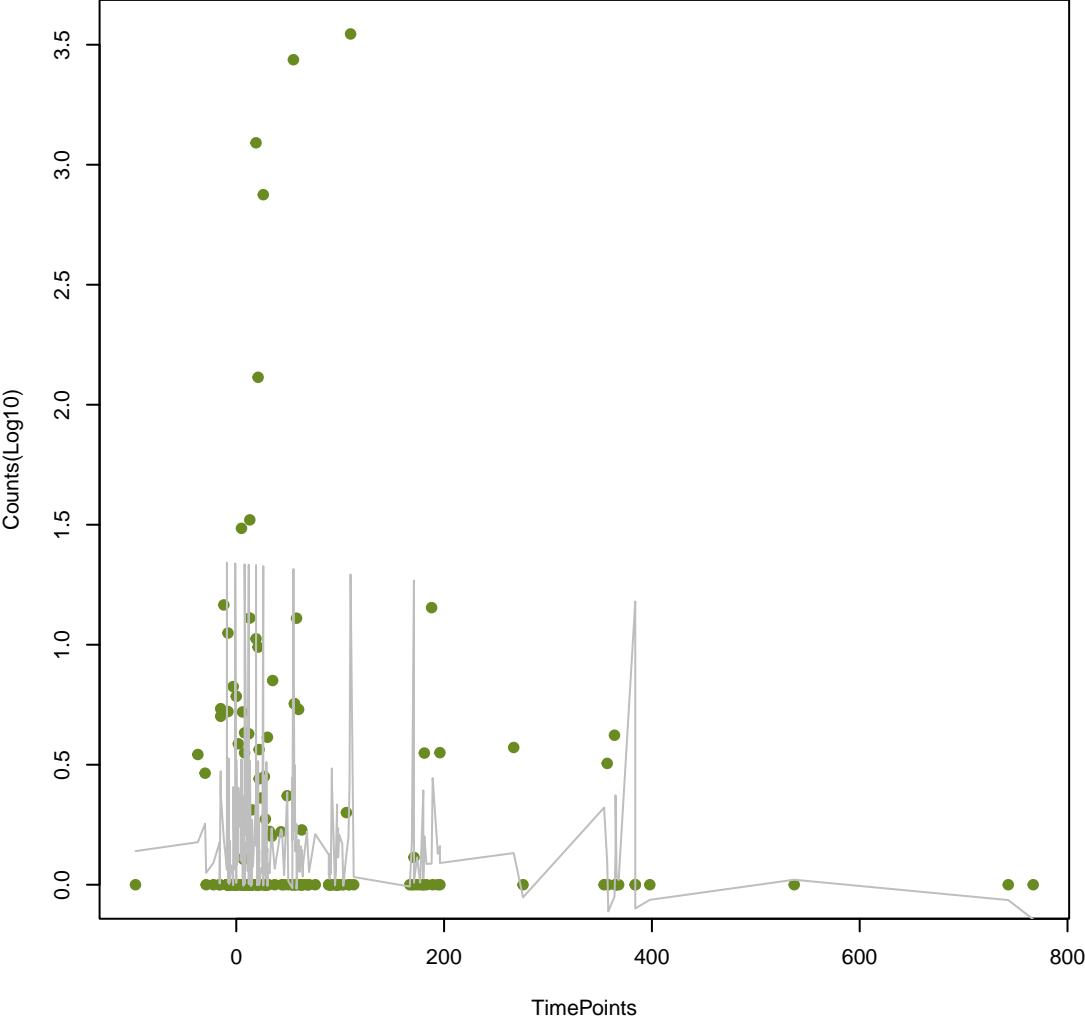
dfrA15
ANOVA P=0.268, adj. ANOVA-P=0.521



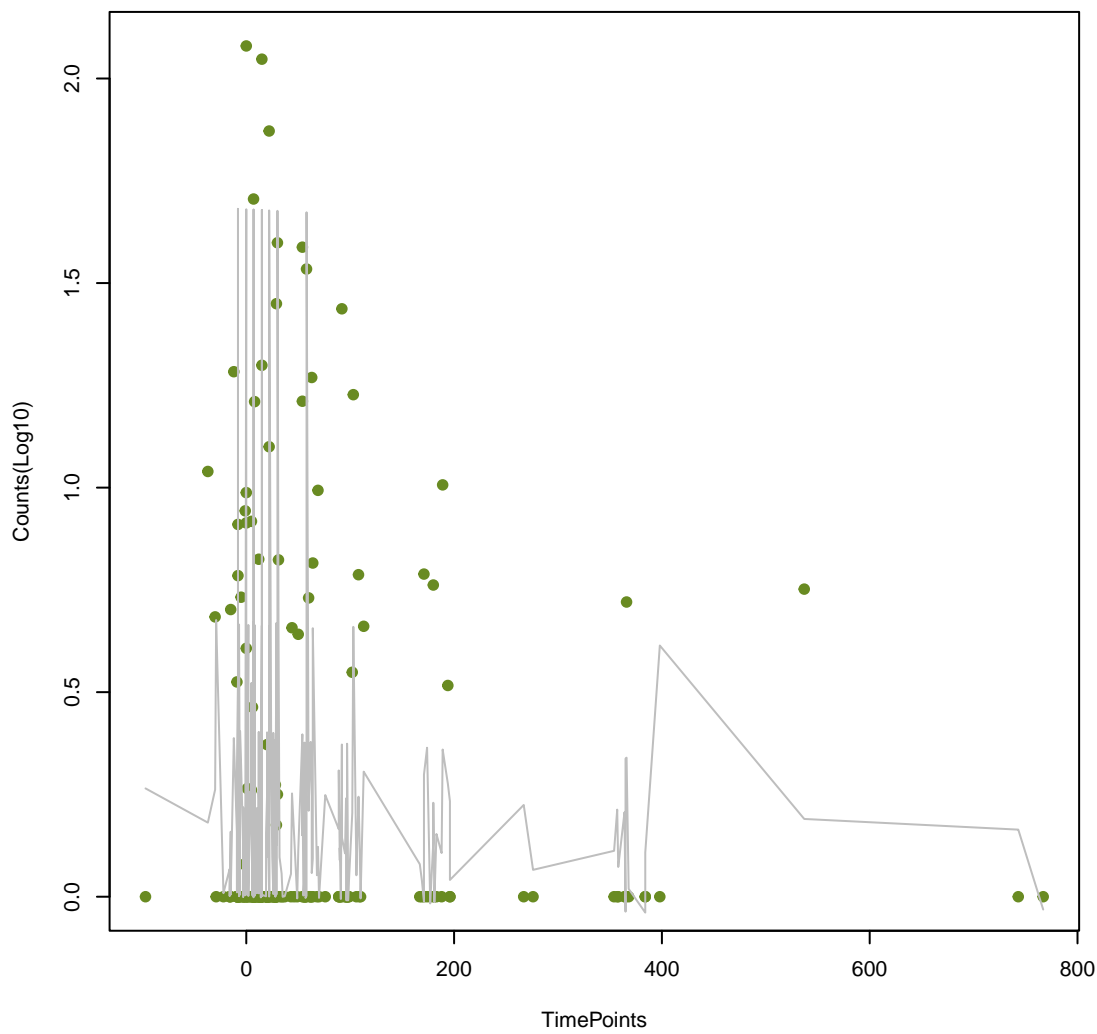
emeA
ANOVA P=0.273, adj. ANOVA-P=0.526



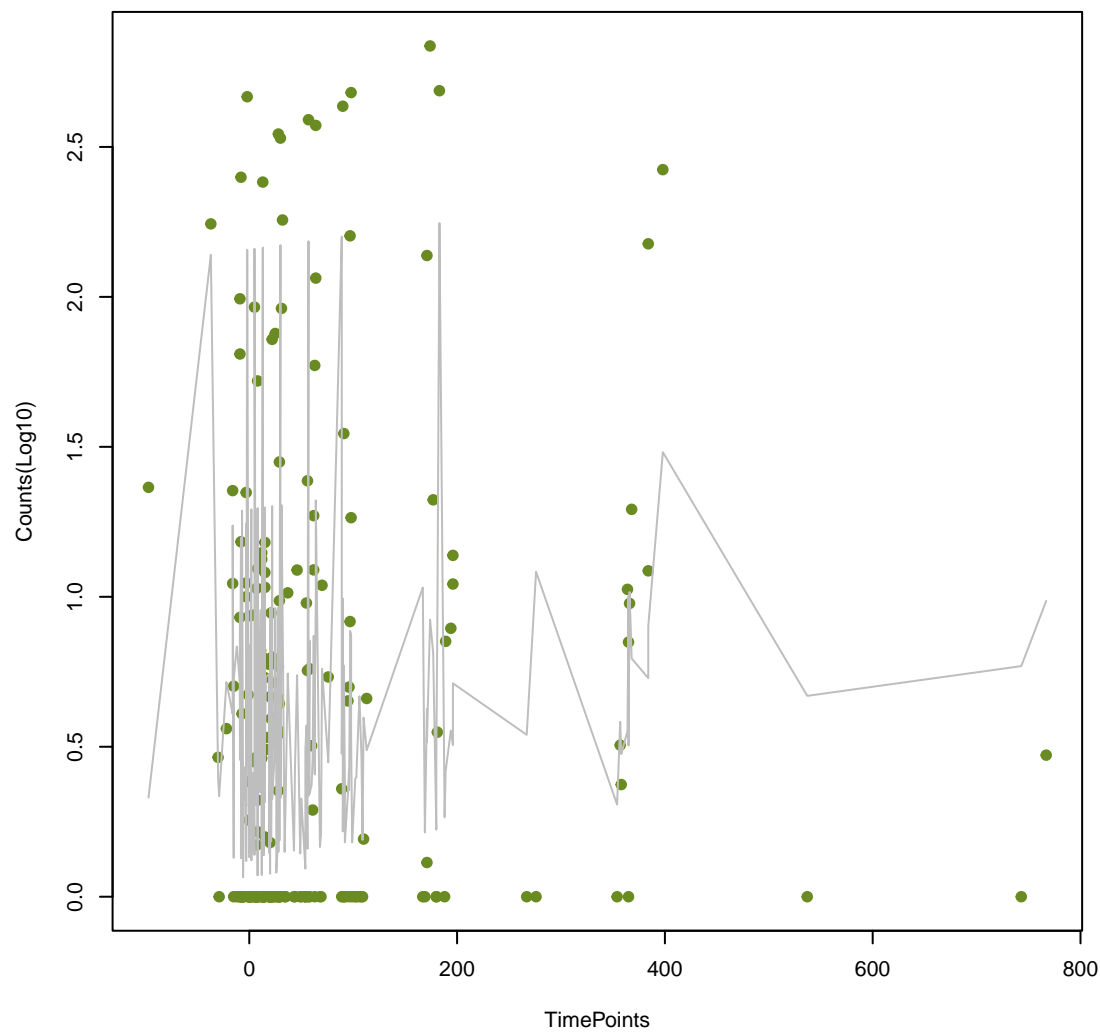
msrA
ANOVA P=0.275, adj. ANOVA-P=0.527



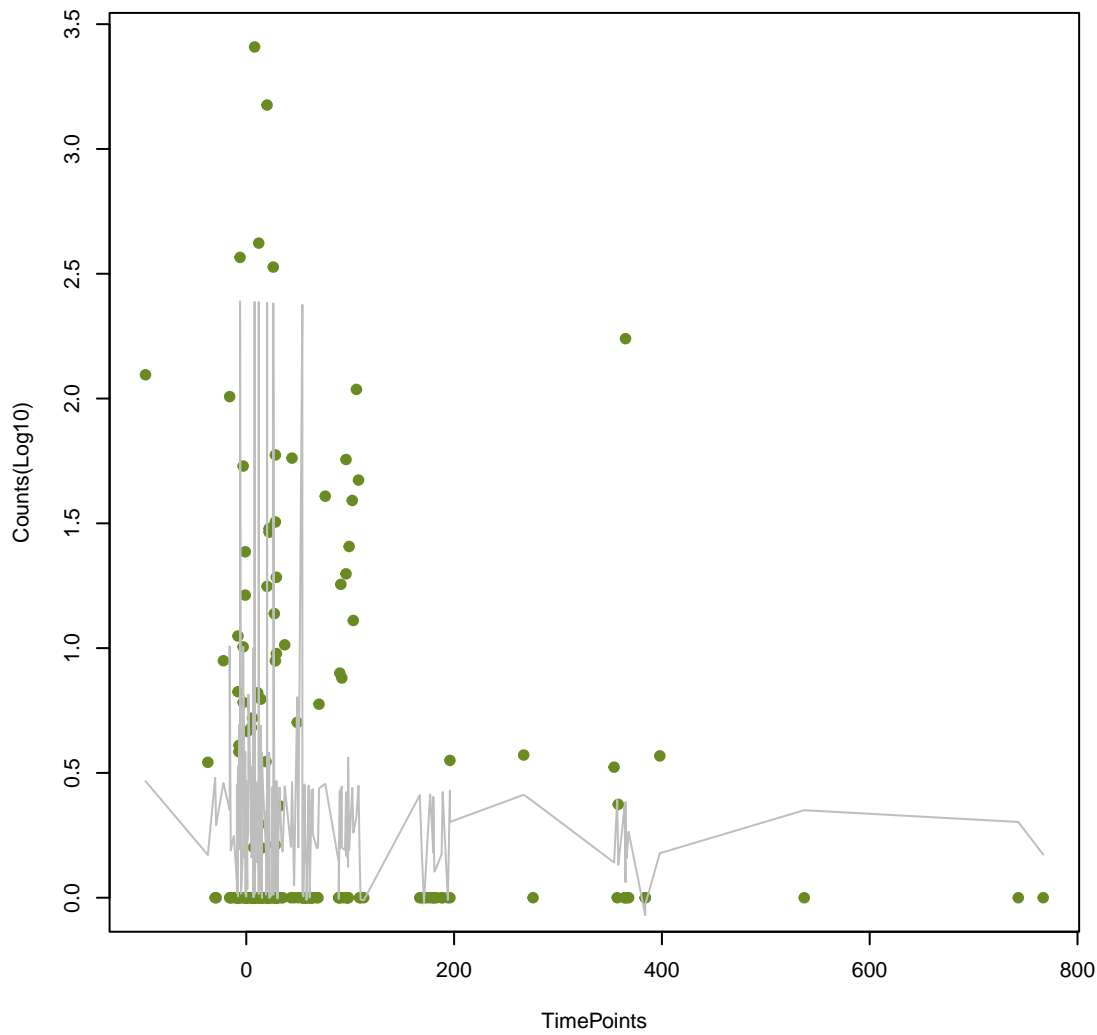
opcM
ANOVA P=0.277, adj. ANOVA-P=0.527



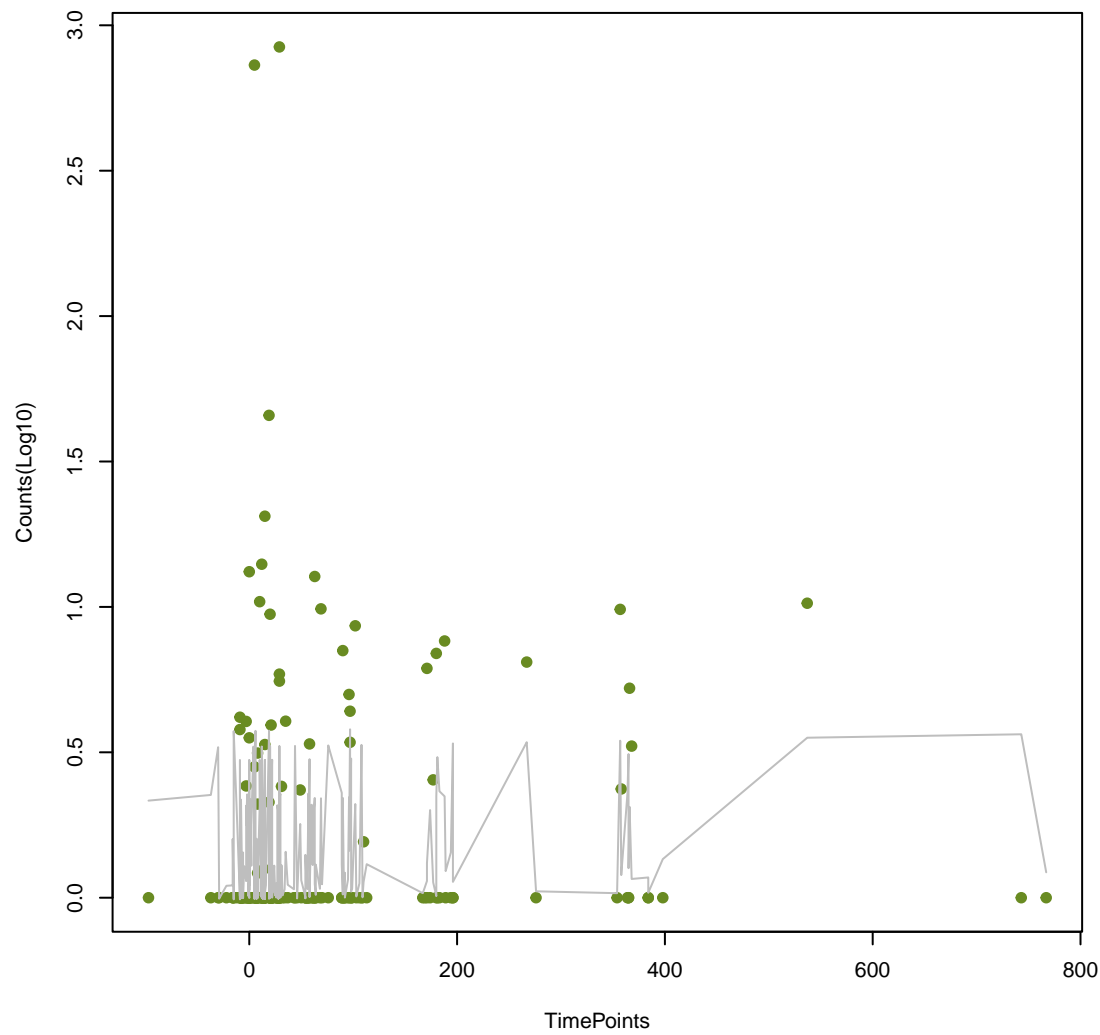
ugd
ANOVA P=0.283, adj. ANOVA-P=0.535



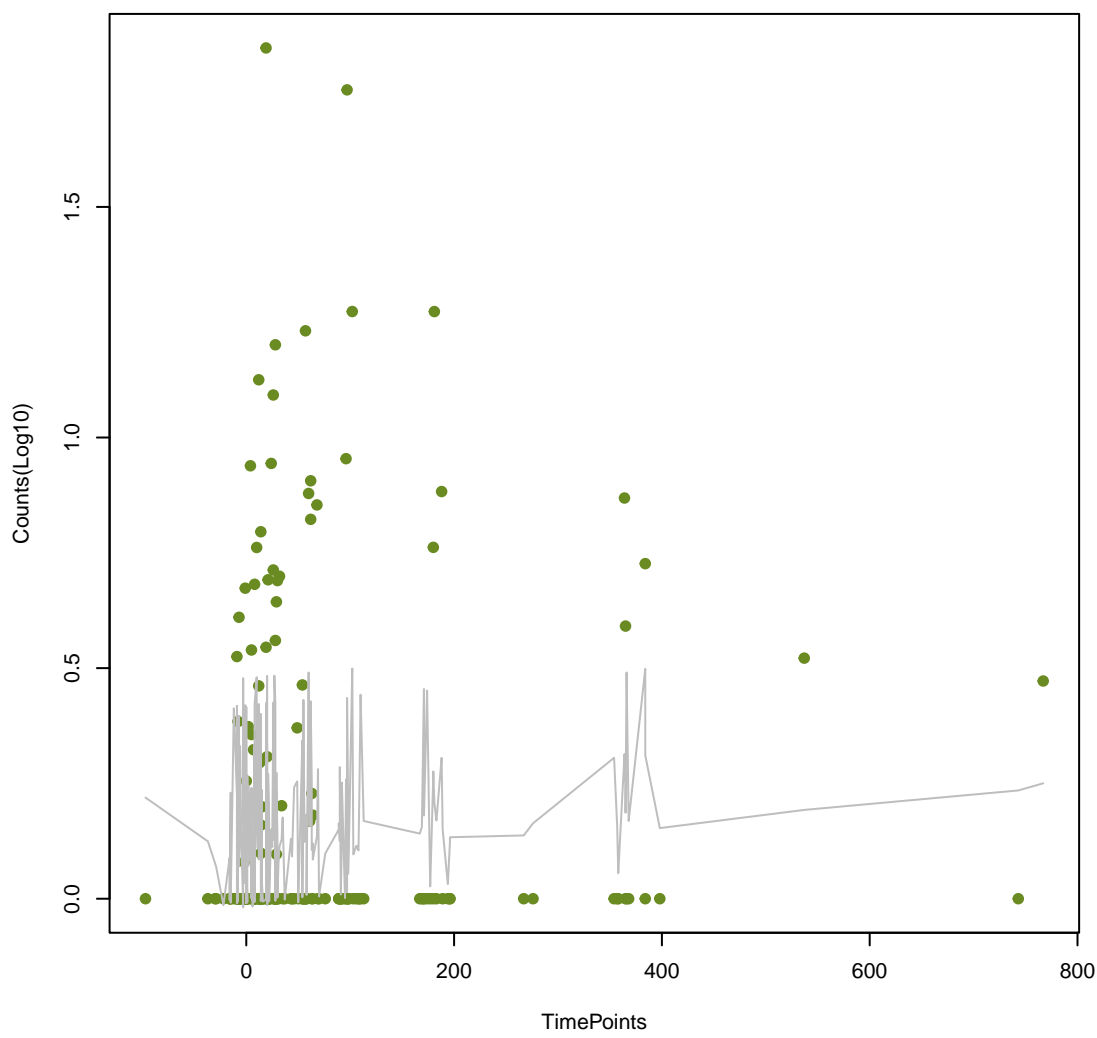
ErmQ
ANOVA P=0.285, adj. ANOVA-P=0.537



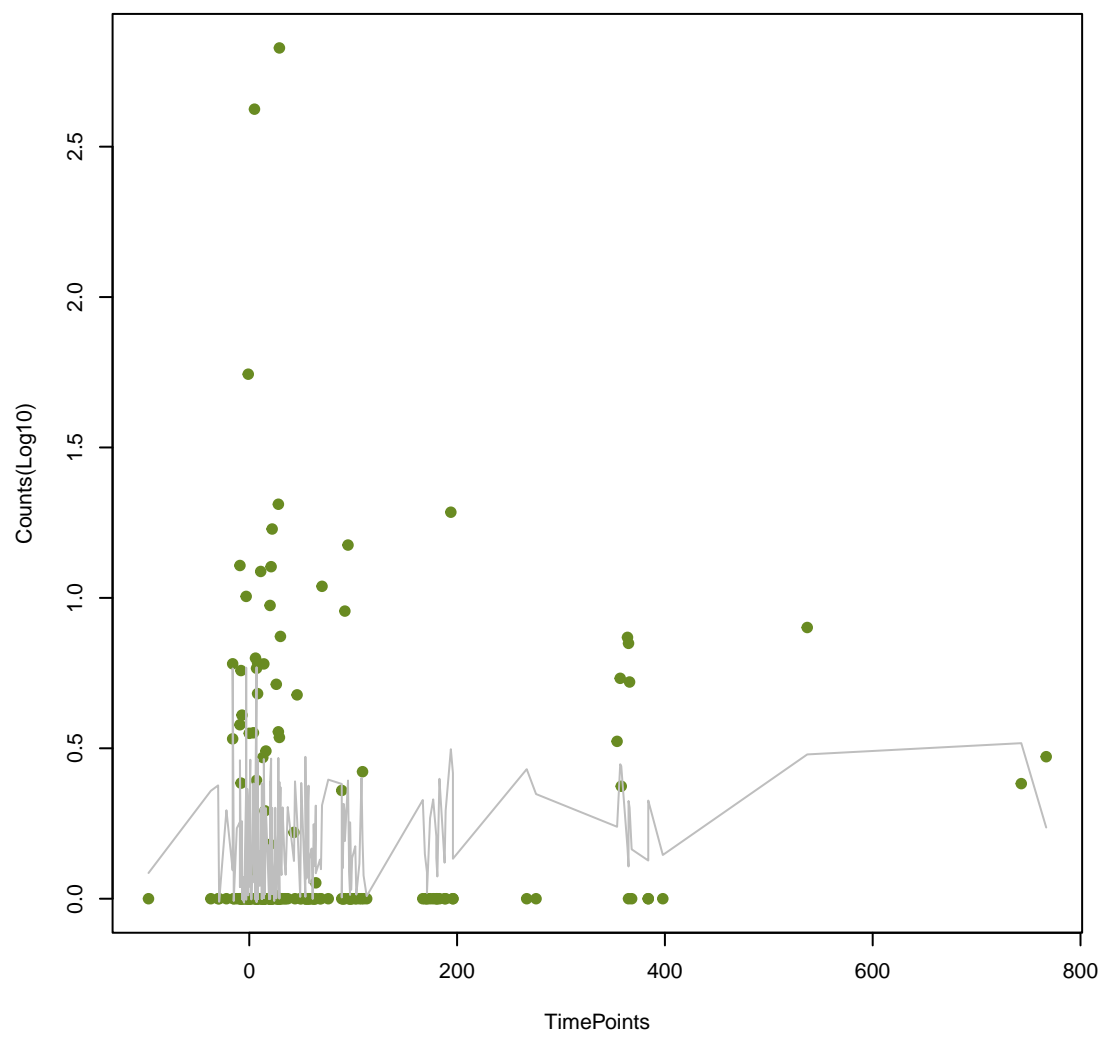
OpmD
ANOVA P=0.289, adj. ANOVA-P=0.54



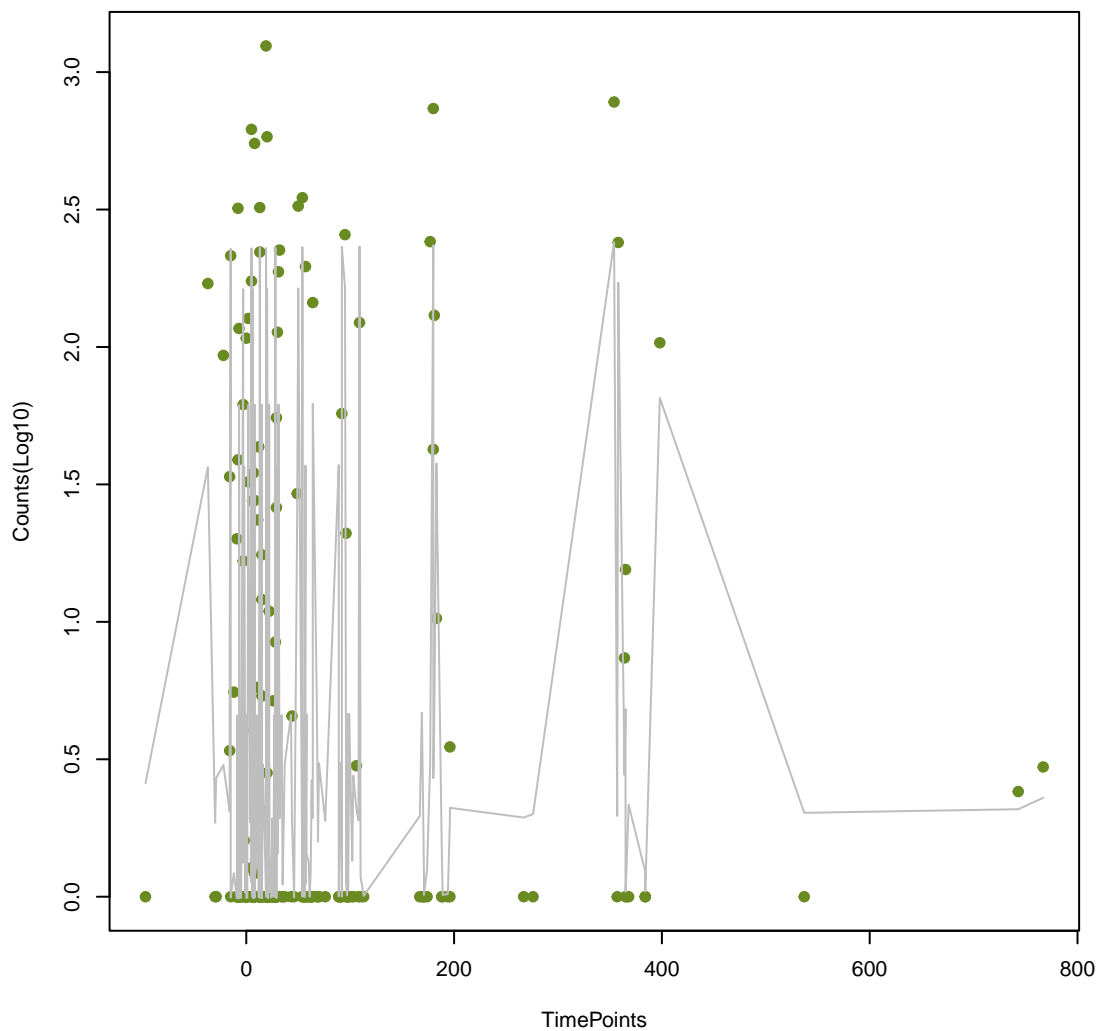
smeE
ANOVA P=0.292, adj. ANOVA-P=0.542



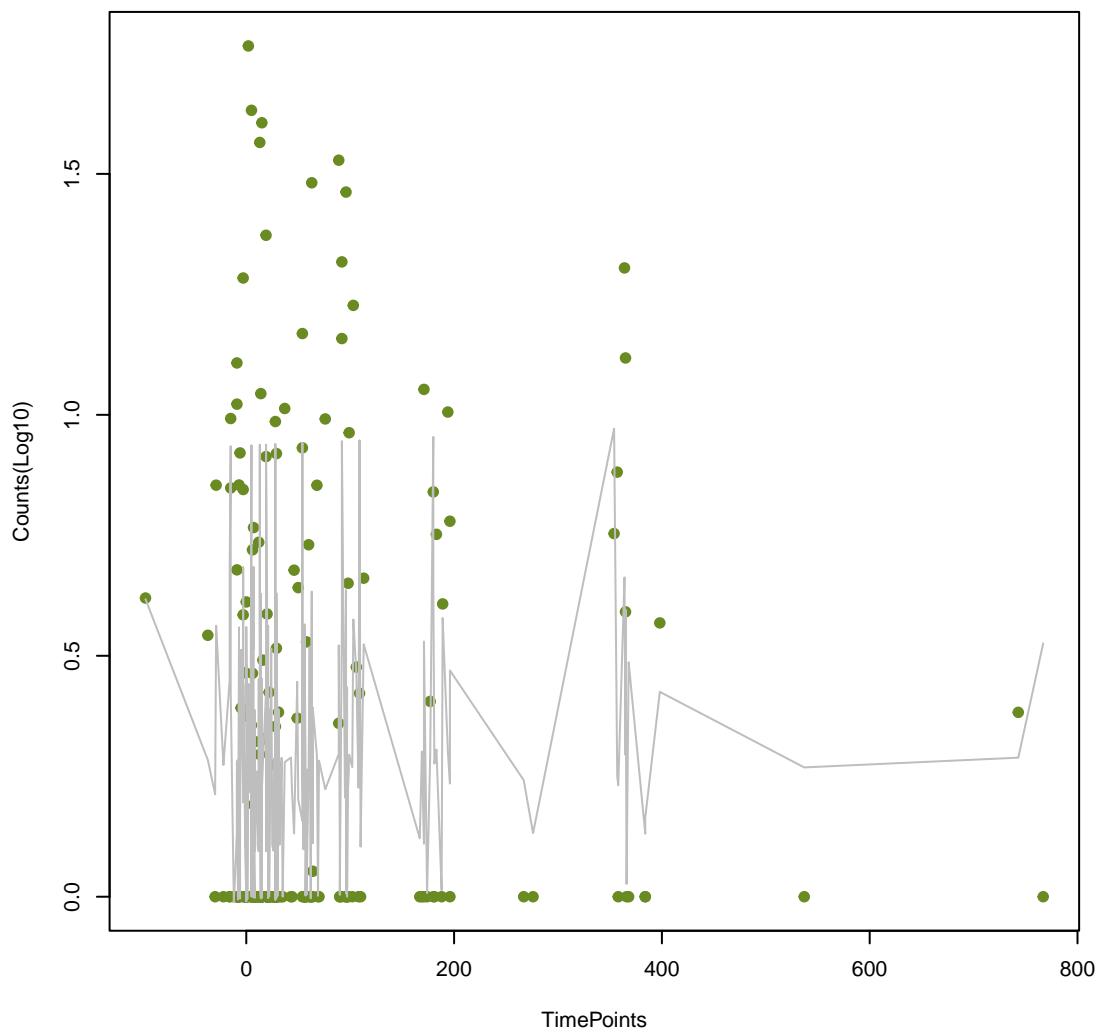
ParS
ANOVA P=0.294, adj. ANOVA-P=0.543



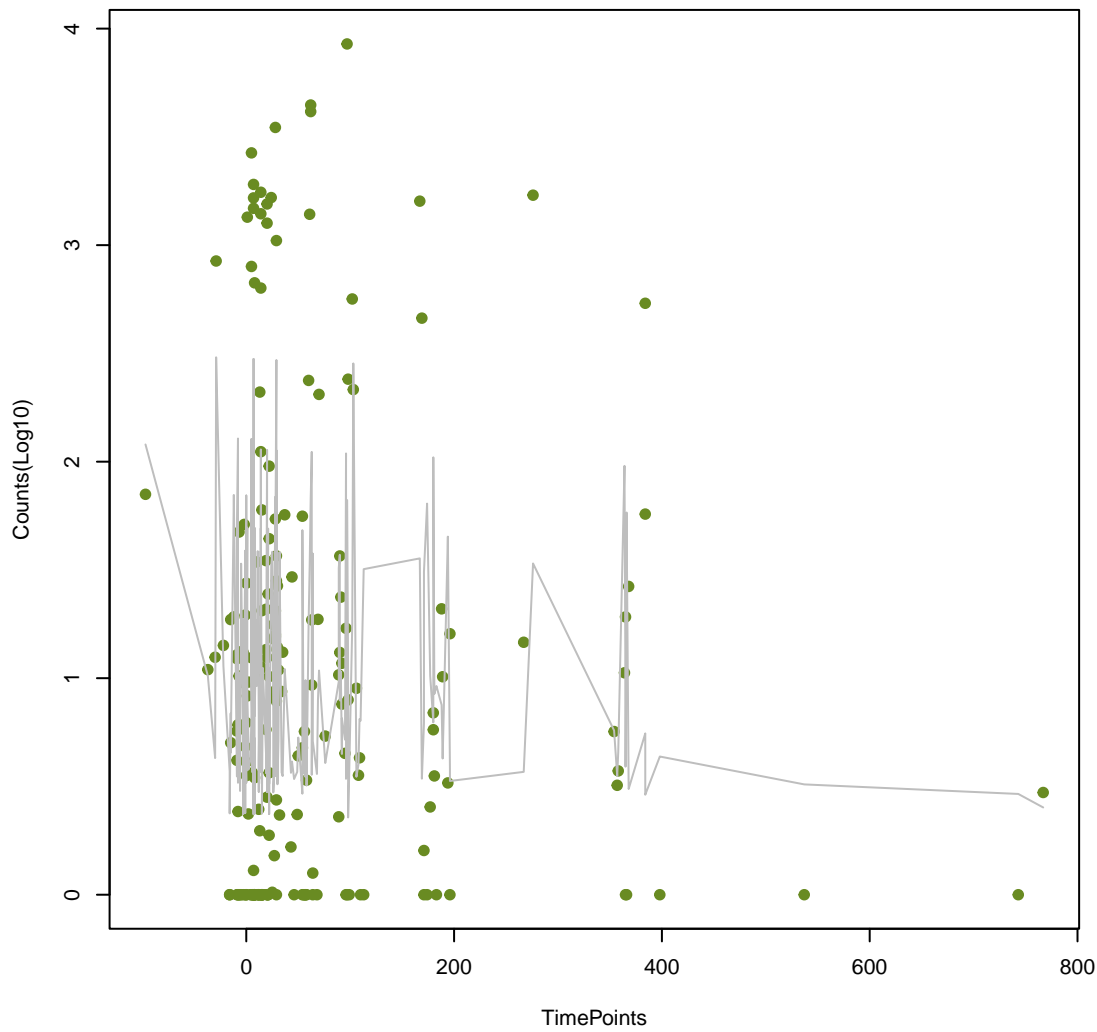
CfxA3
ANOVA P=0.297, adj. ANOVA-P=0.545



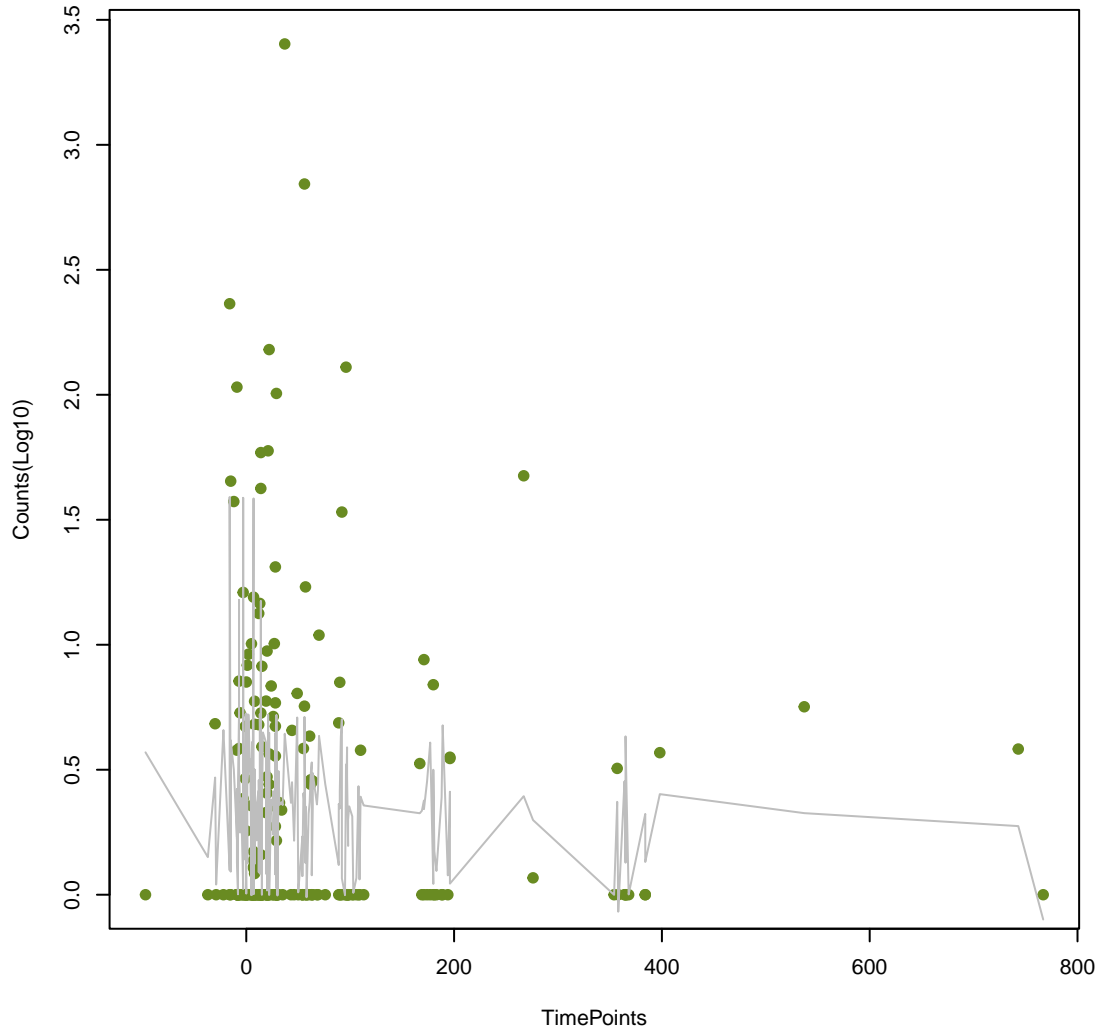
CDD-1
ANOVA P=0.301, adj. ANOVA-P=0.548



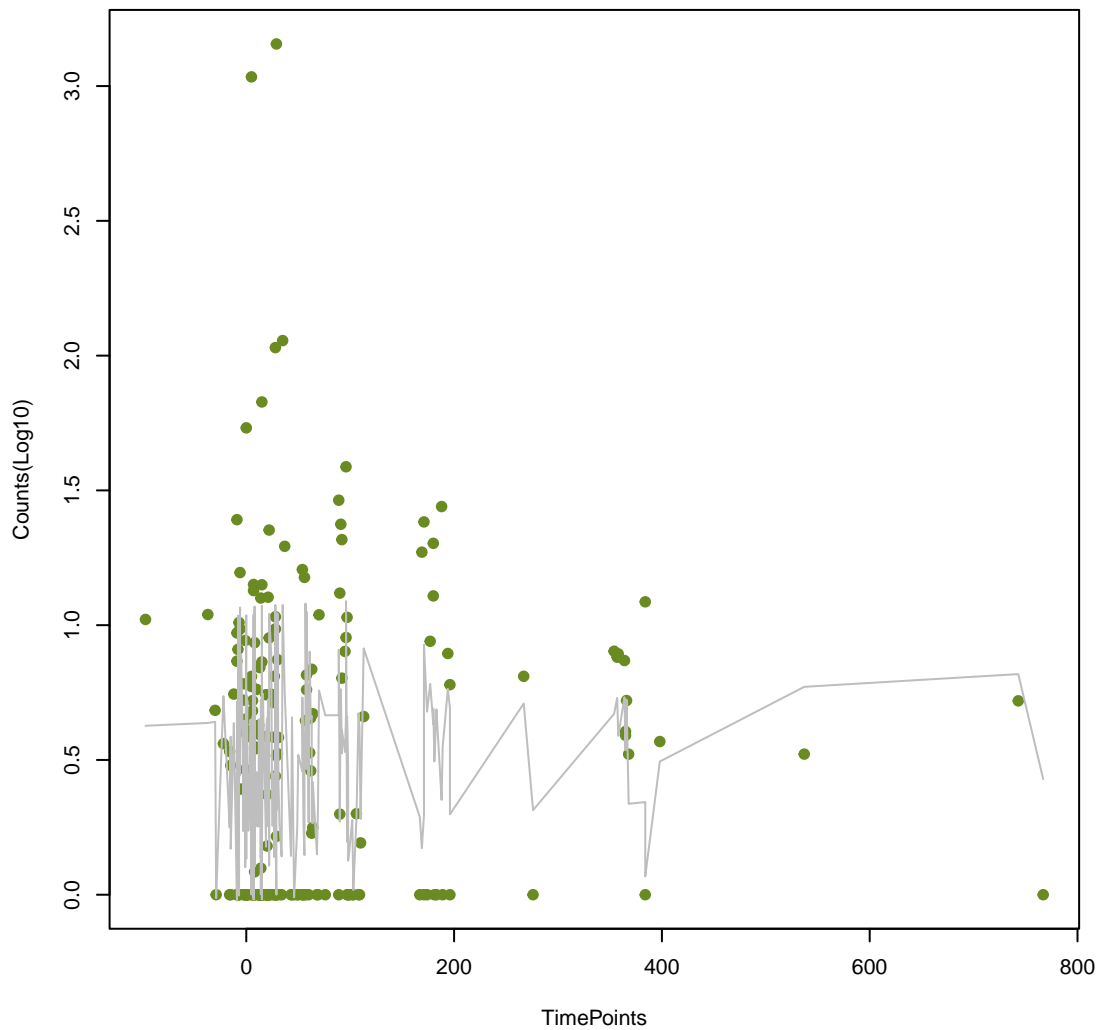
efmA
ANOVA P=0.303, adj. ANOVA-P=0.549



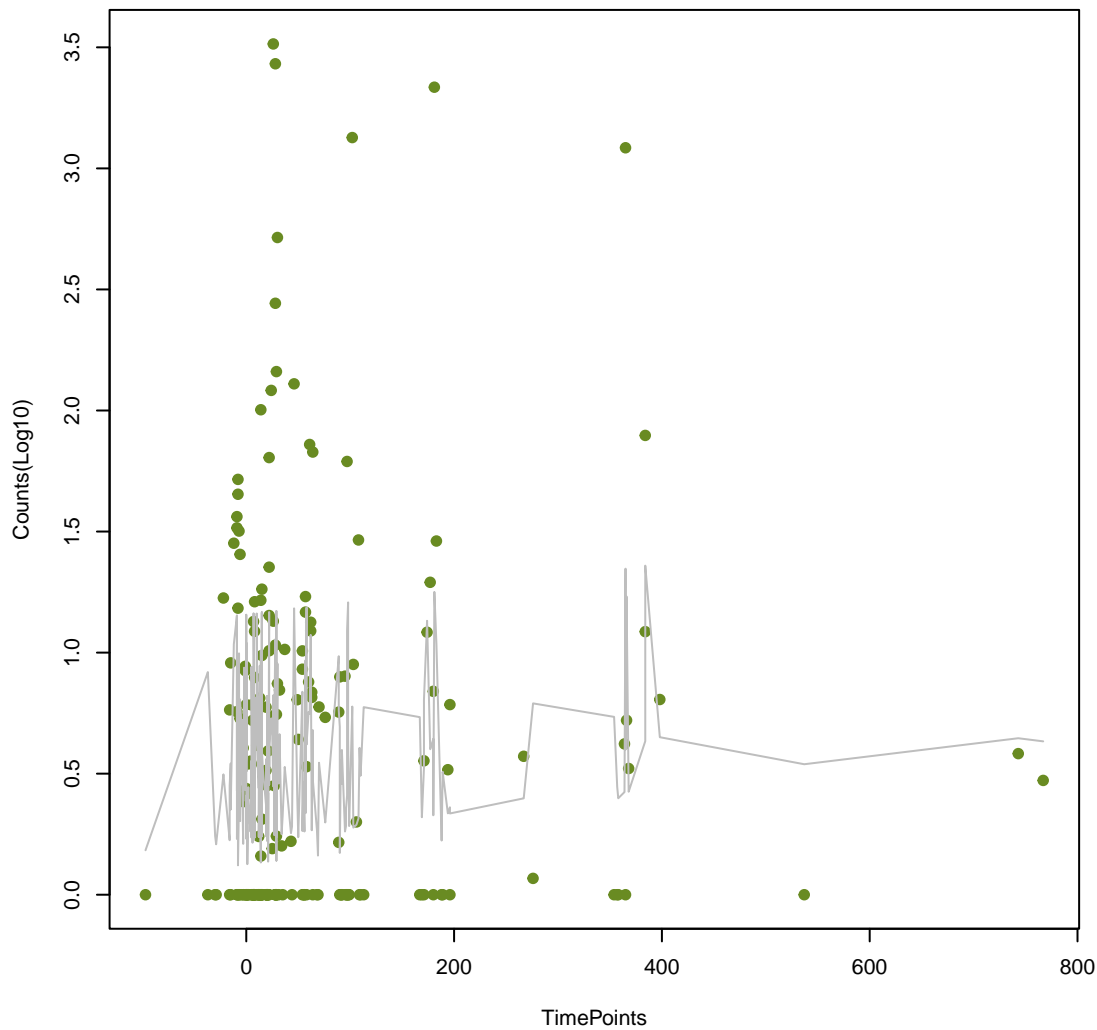
tetS
ANOVA P=0.308, adj. ANOVA-P=0.552



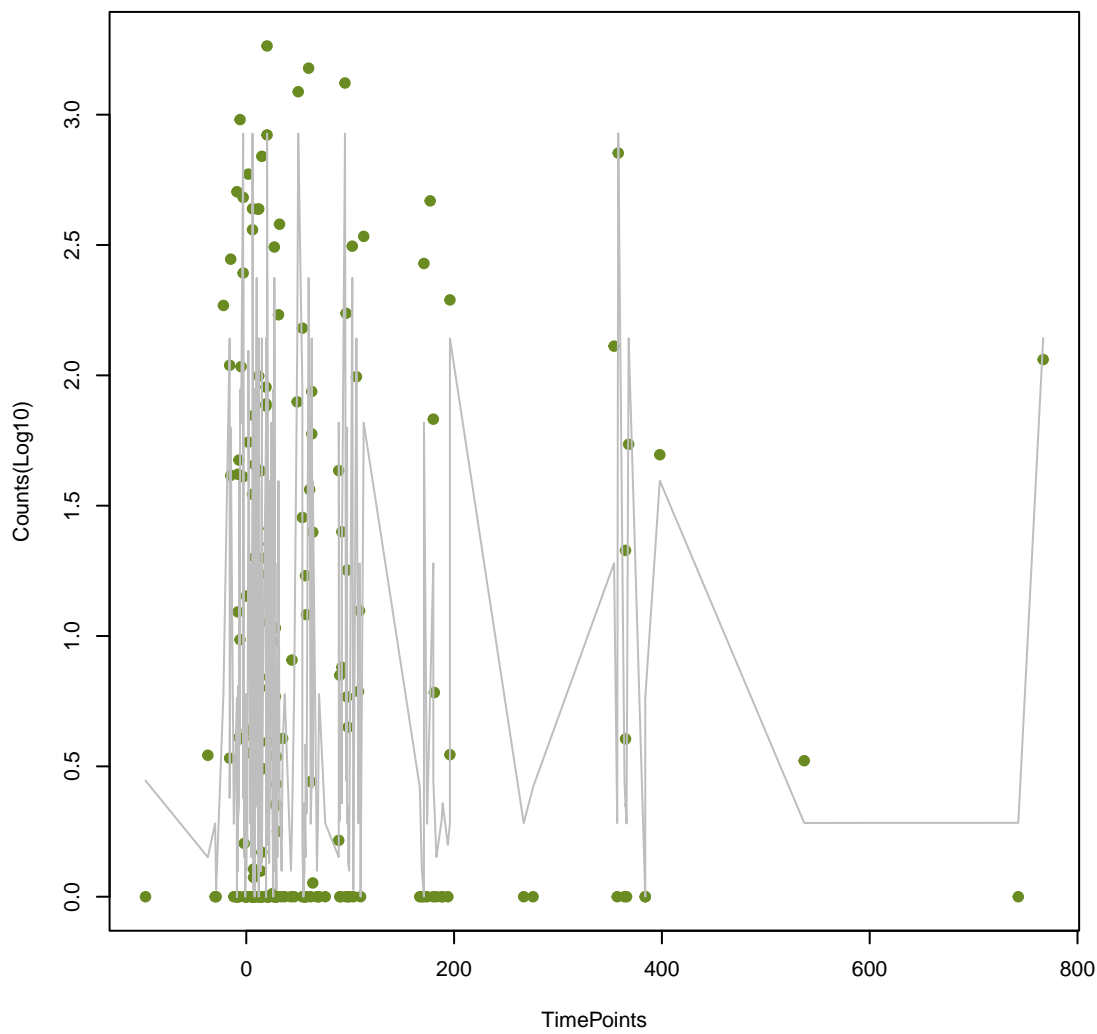
MexF
ANOVA P=0.309, adj. ANOVA-P=0.552



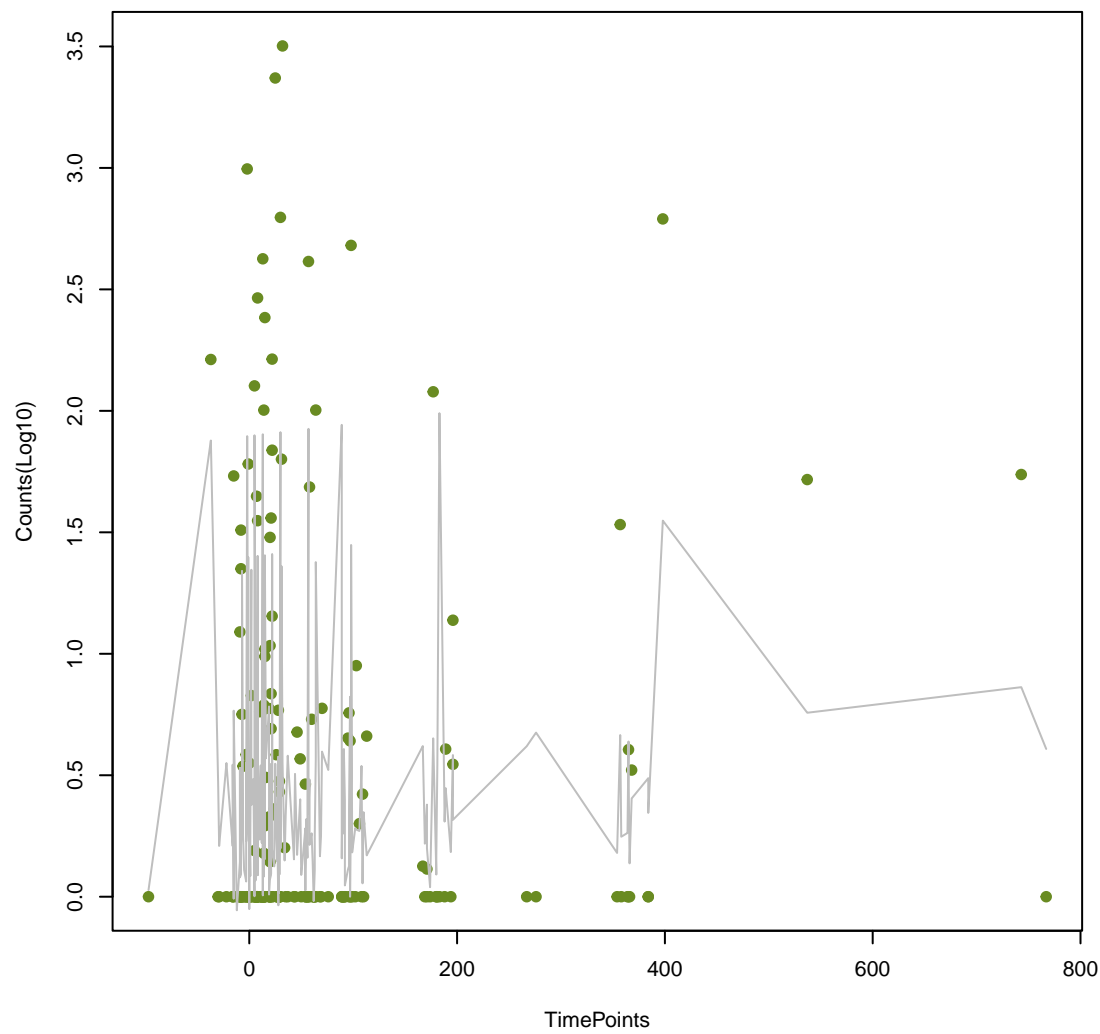
LptD
ANOVA P=0.314, adj. ANOVA-P=0.552



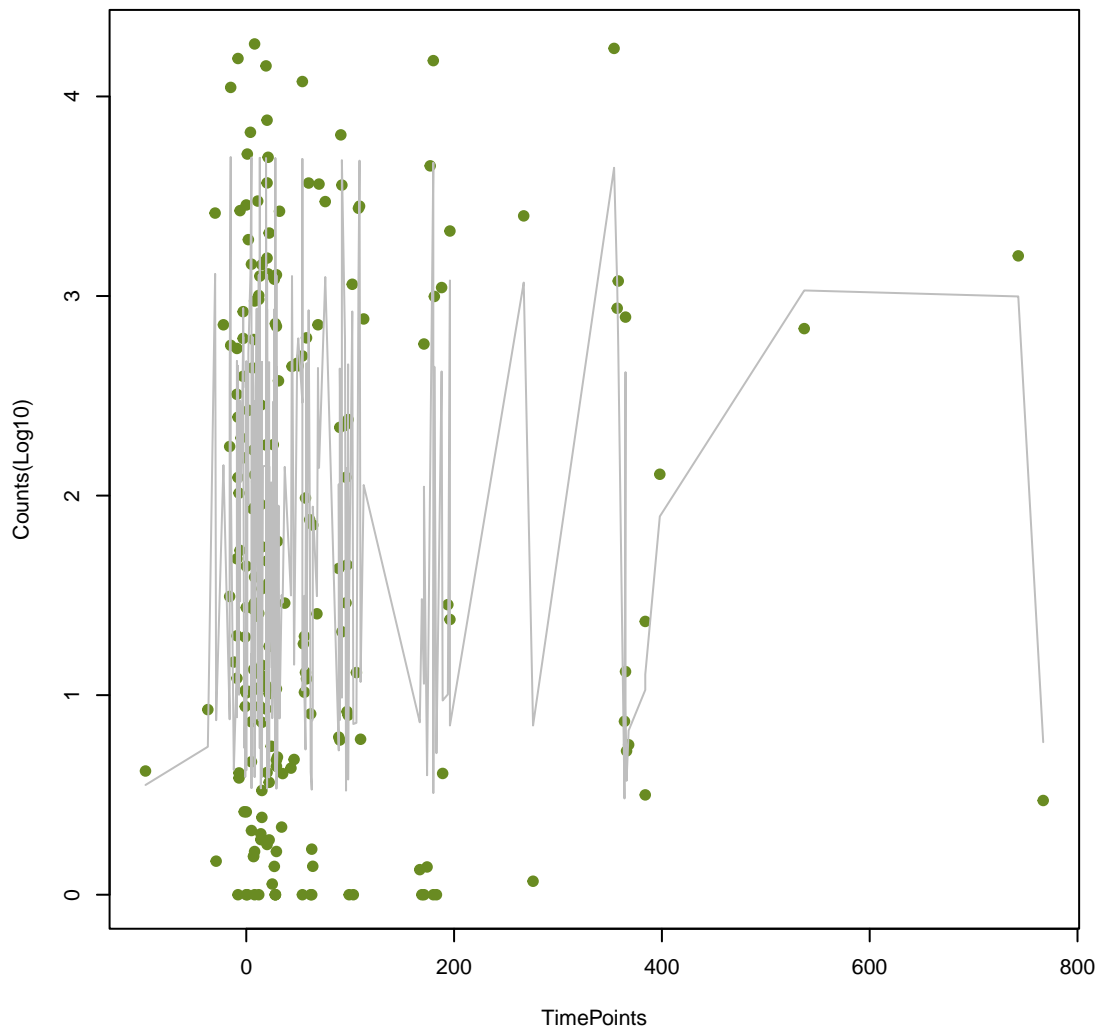
Tet(X4)
ANOVA P=0.314, adj. ANOVA-P=0.552



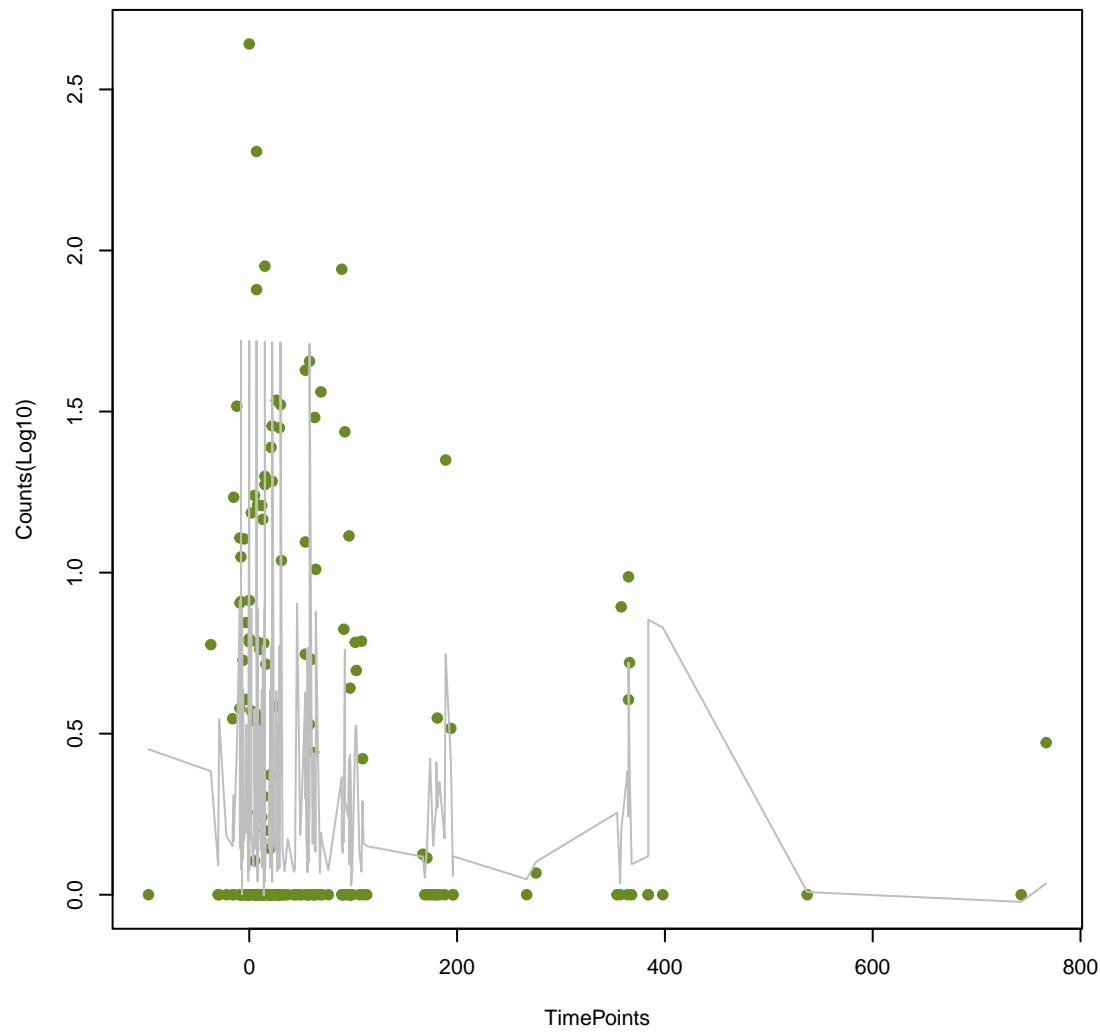
TEM-192
ANOVA P=0.314, adj. ANOVA-P=0.552



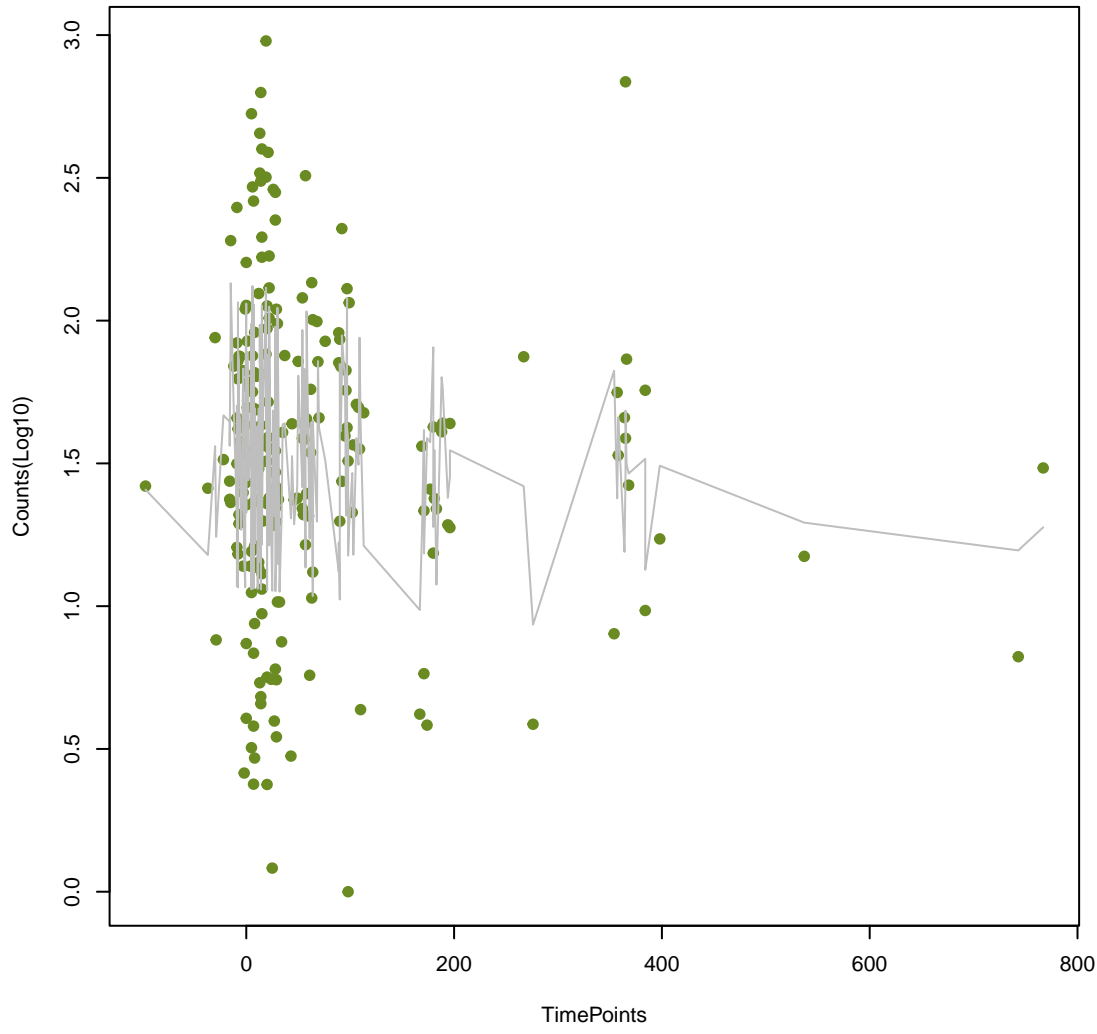
ErmF
ANOVA P=0.317, adj. ANOVA-P=0.552



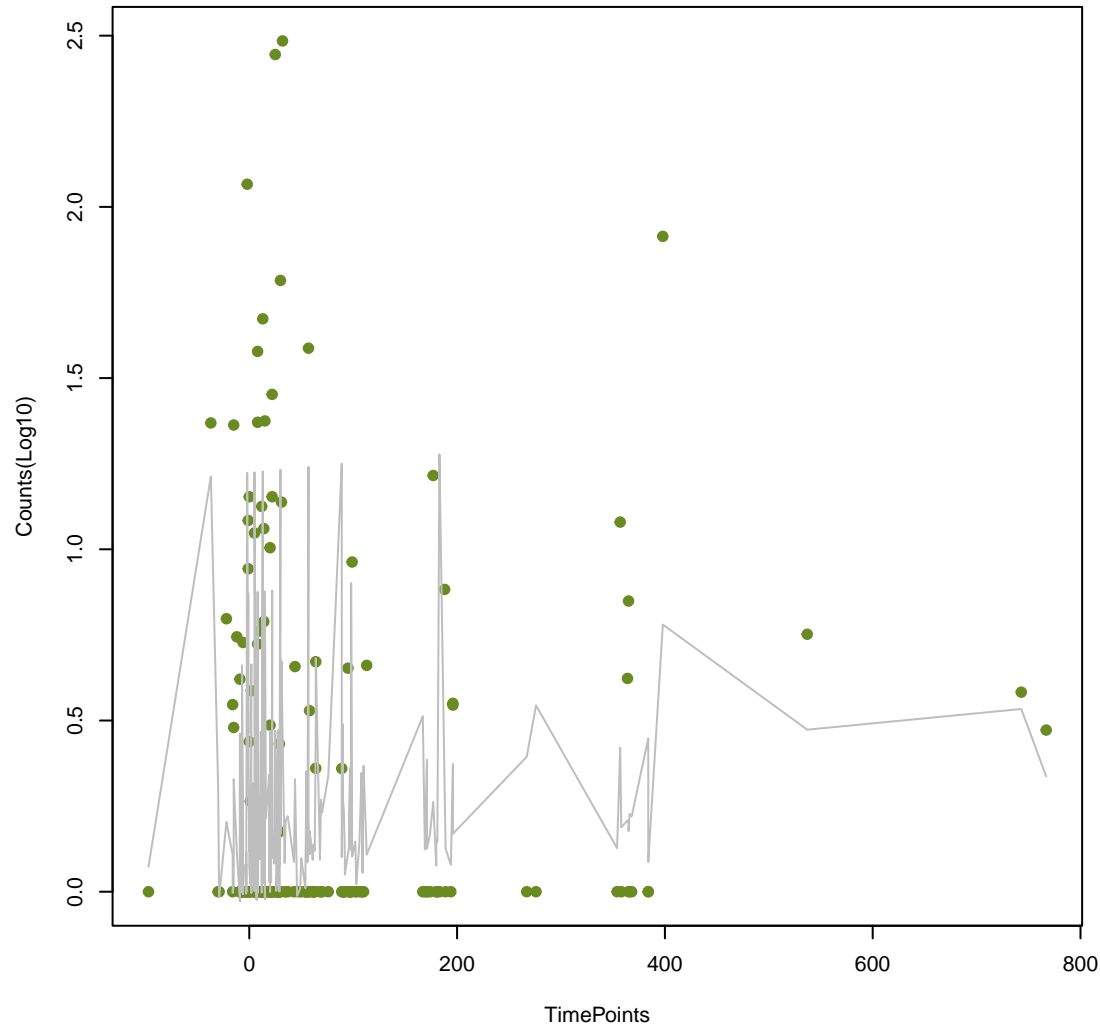
olef
ANOVA P=0.318, adj. ANOVA-P=0.552



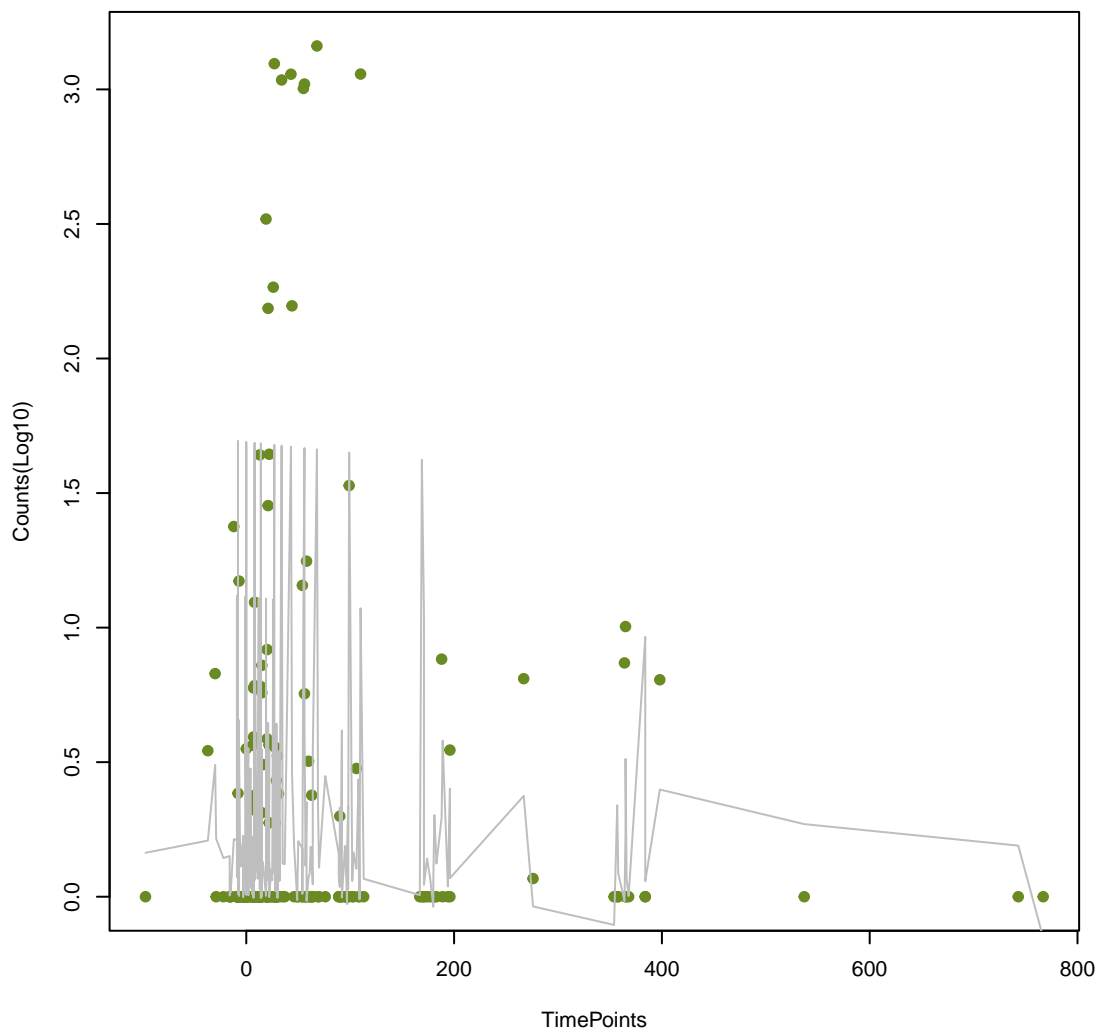
vanV_in_vanB_cl
ANOVA P=0.321, adj. ANOVA-P=0.554



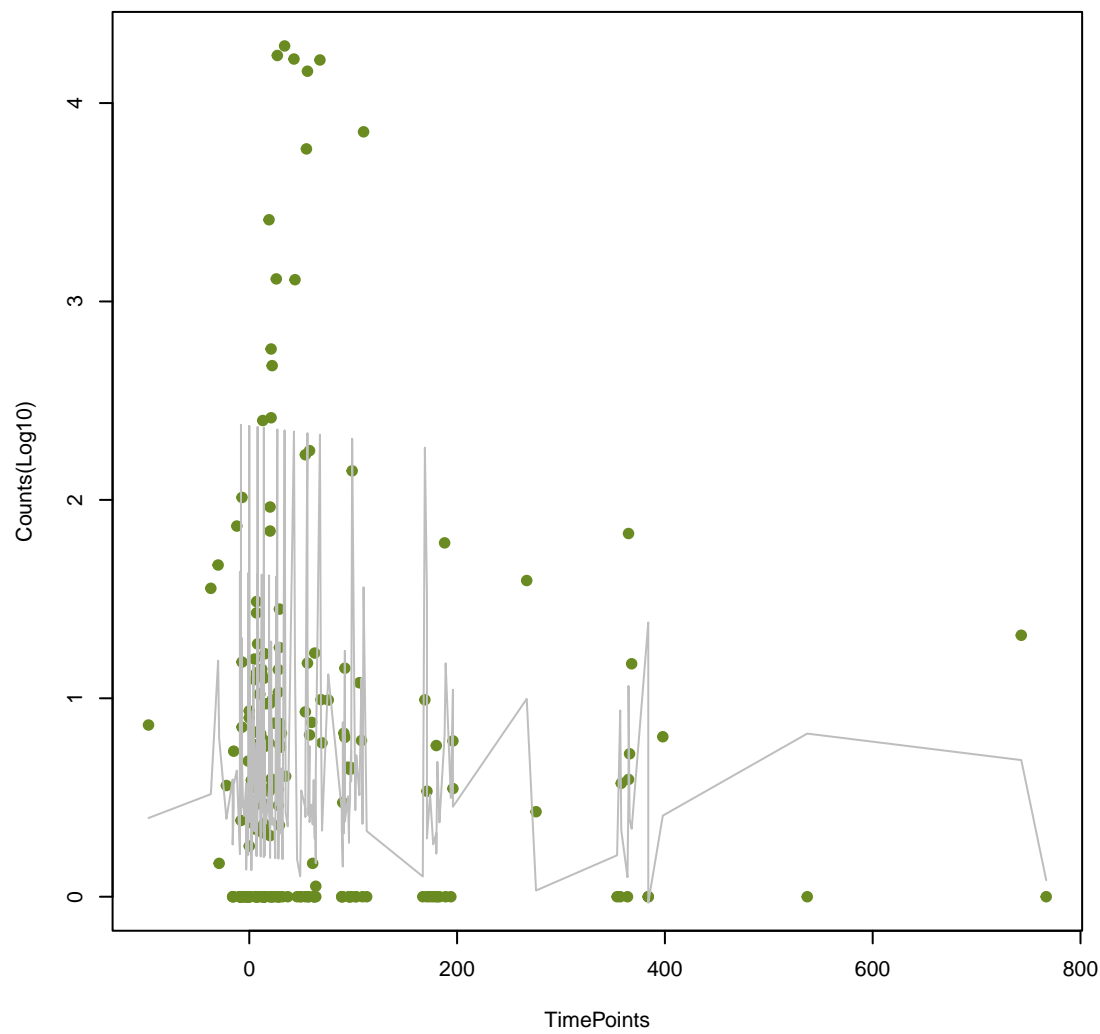
TEM-117
ANOVA P=0.322, adj. ANOVA-P=0.554



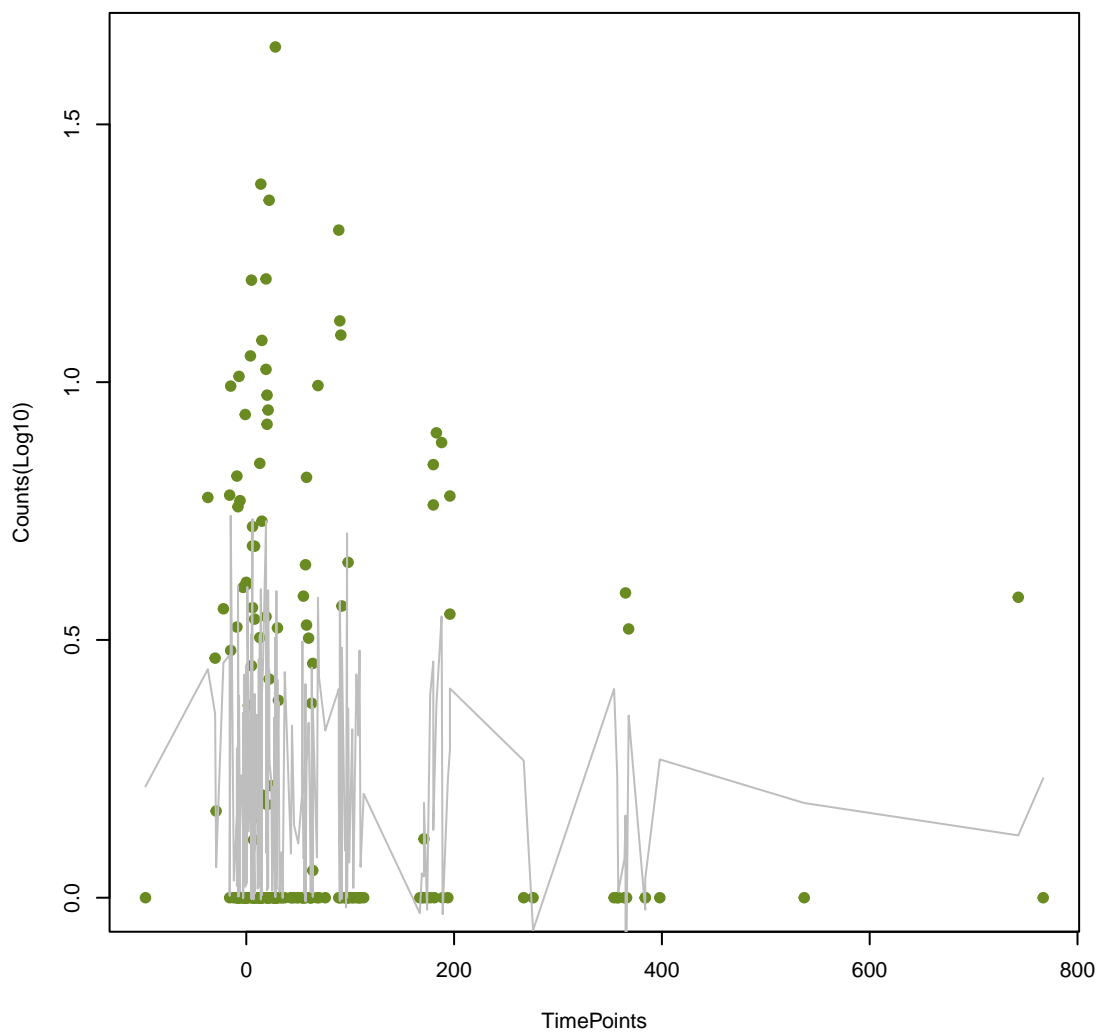
dfrC
ANOVA P=0.329, adj. ANOVA-P=0.561



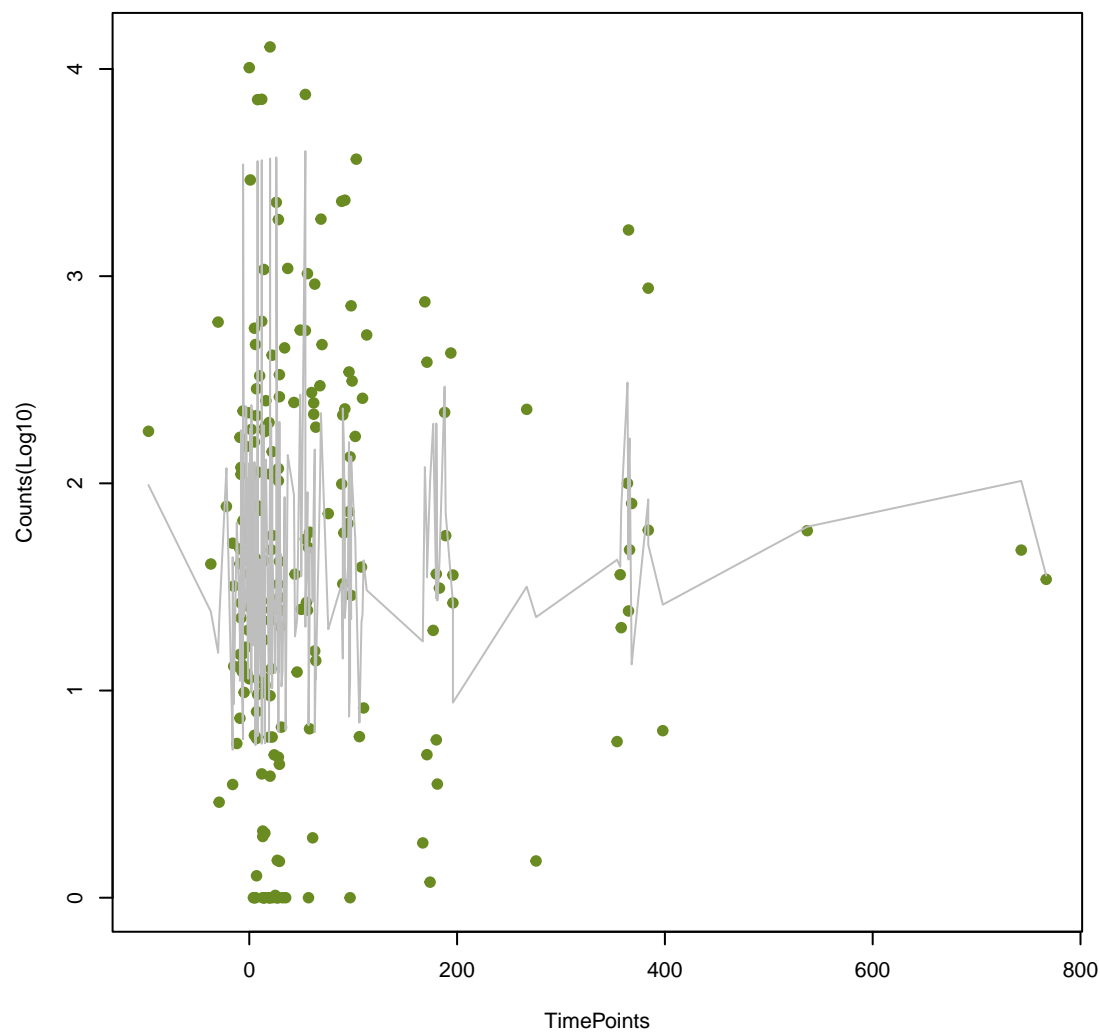
Saur_mupA_MUP
ANOVA P=0.332, adj. ANOVA-P=0.564



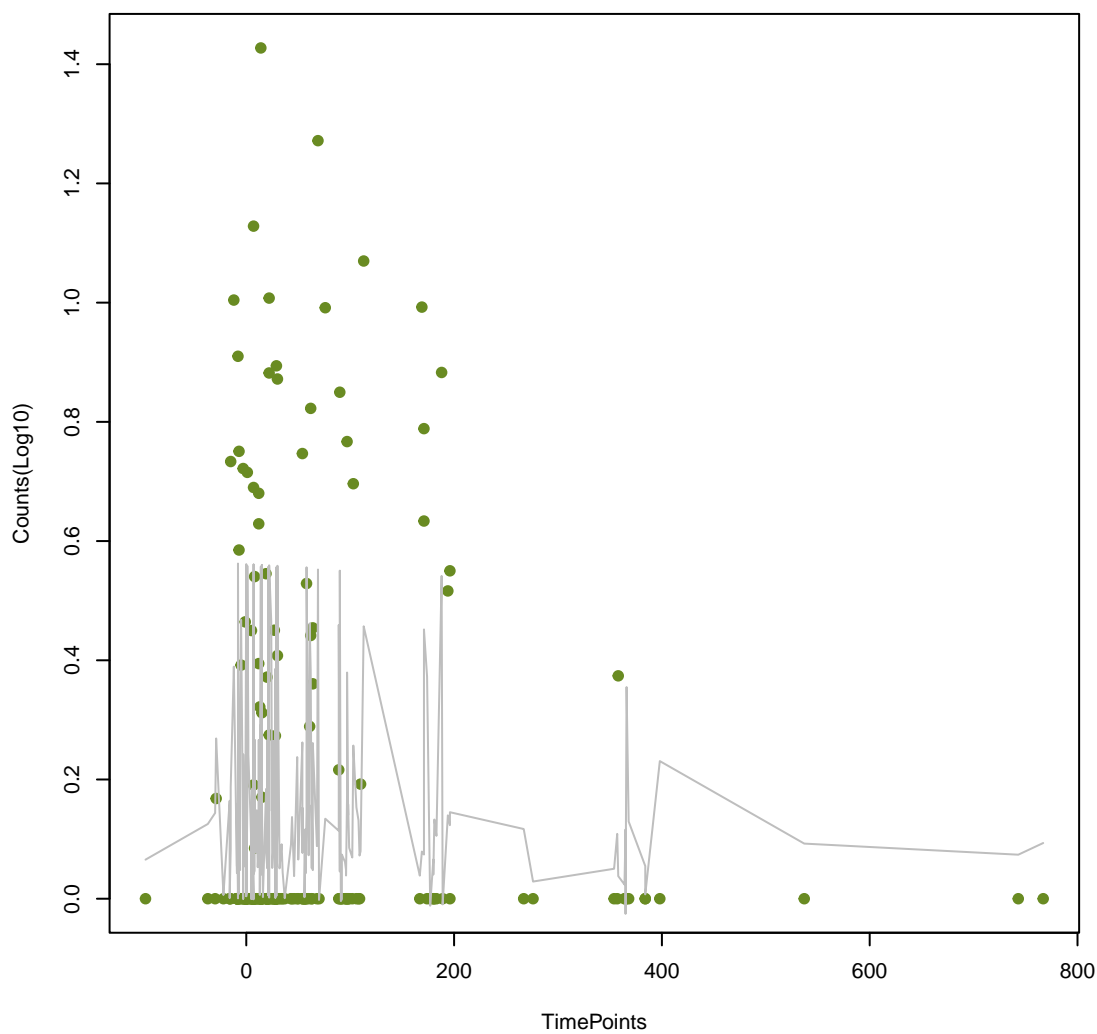
HERA-1
ANOVA P=0.337, adj. ANOVA-P=0.566



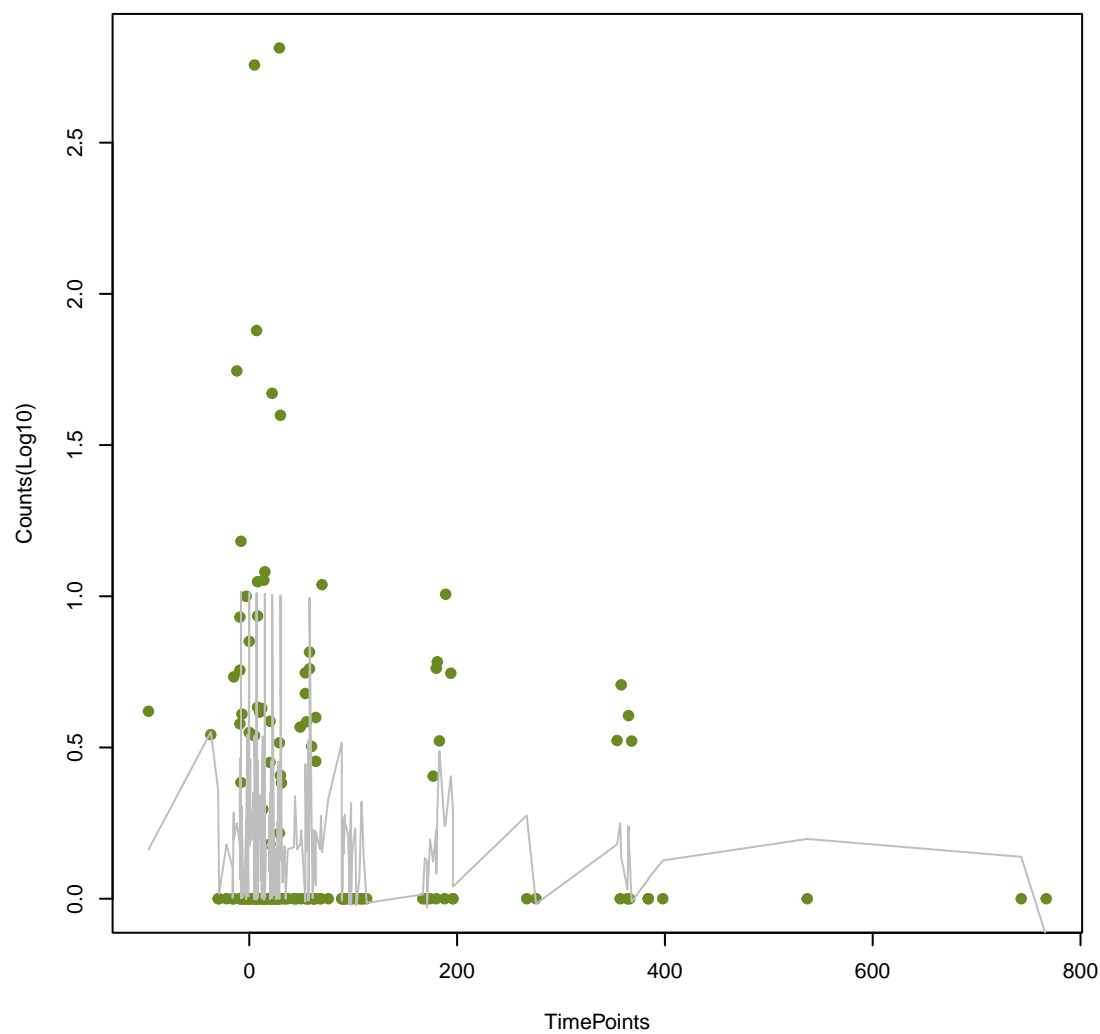
tetA(46)
ANOVA P=0.342, adj. ANOVA-P=0.566



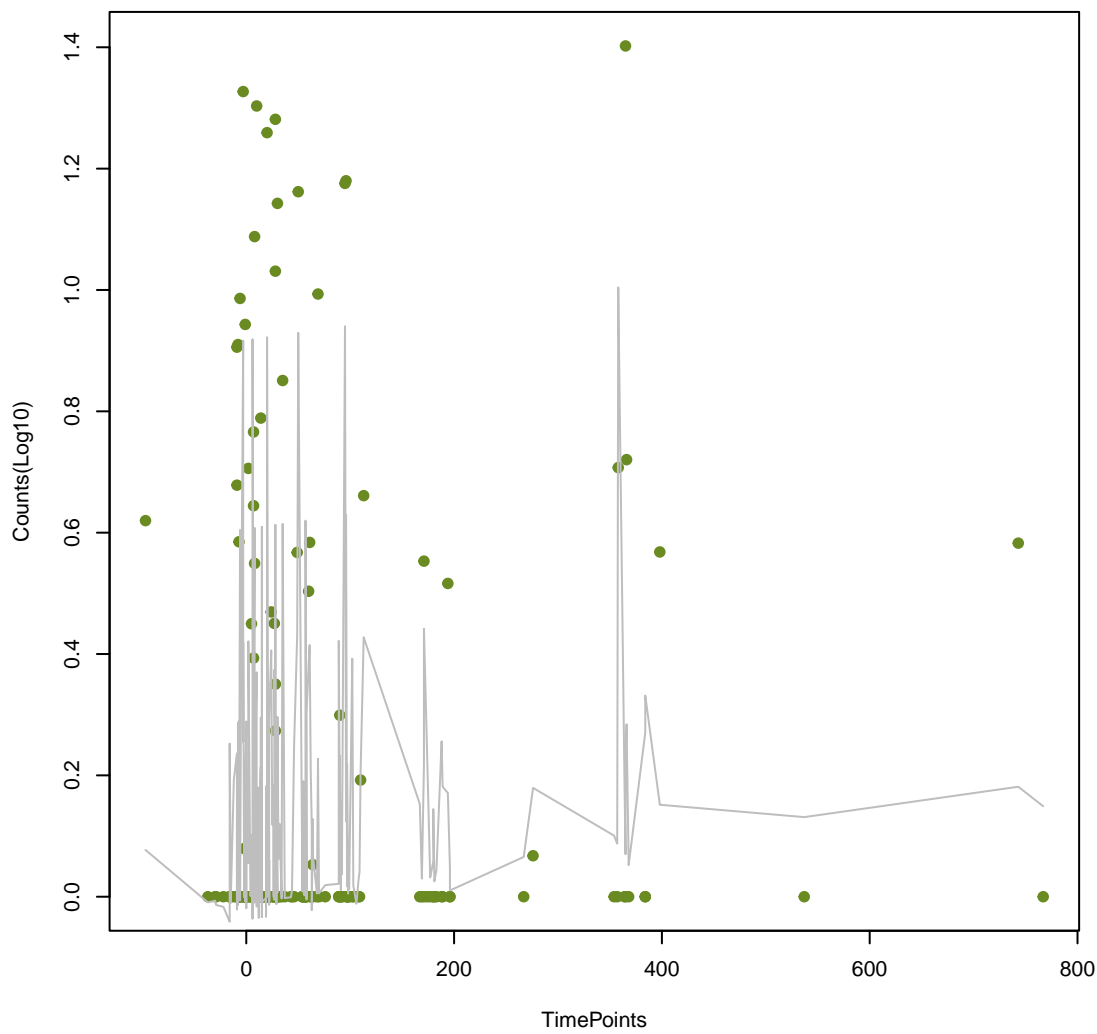
ERP-1
ANOVA P=0.342, adj. ANOVA-P=0.566



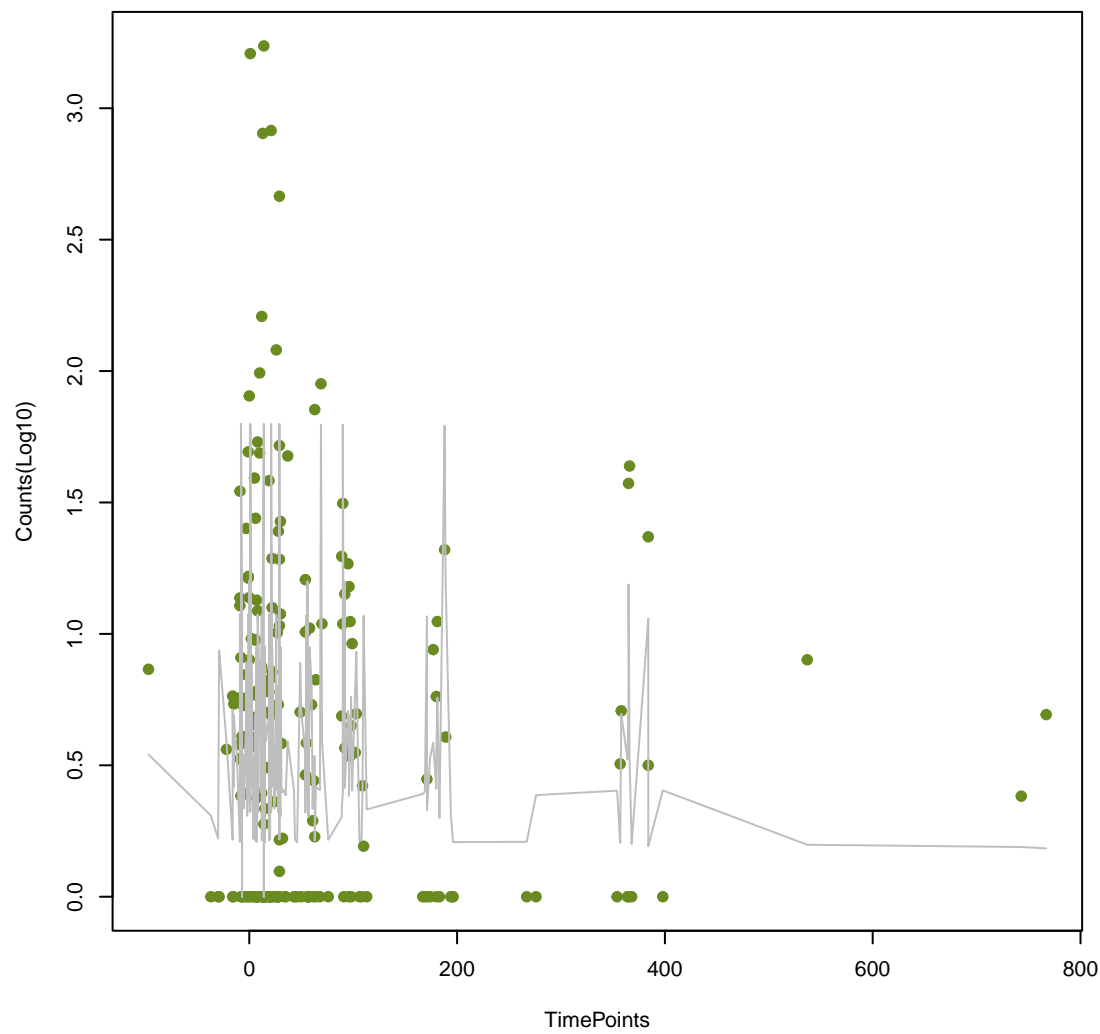
OprM
ANOVA P=0.343, adj. ANOVA-P=0.566



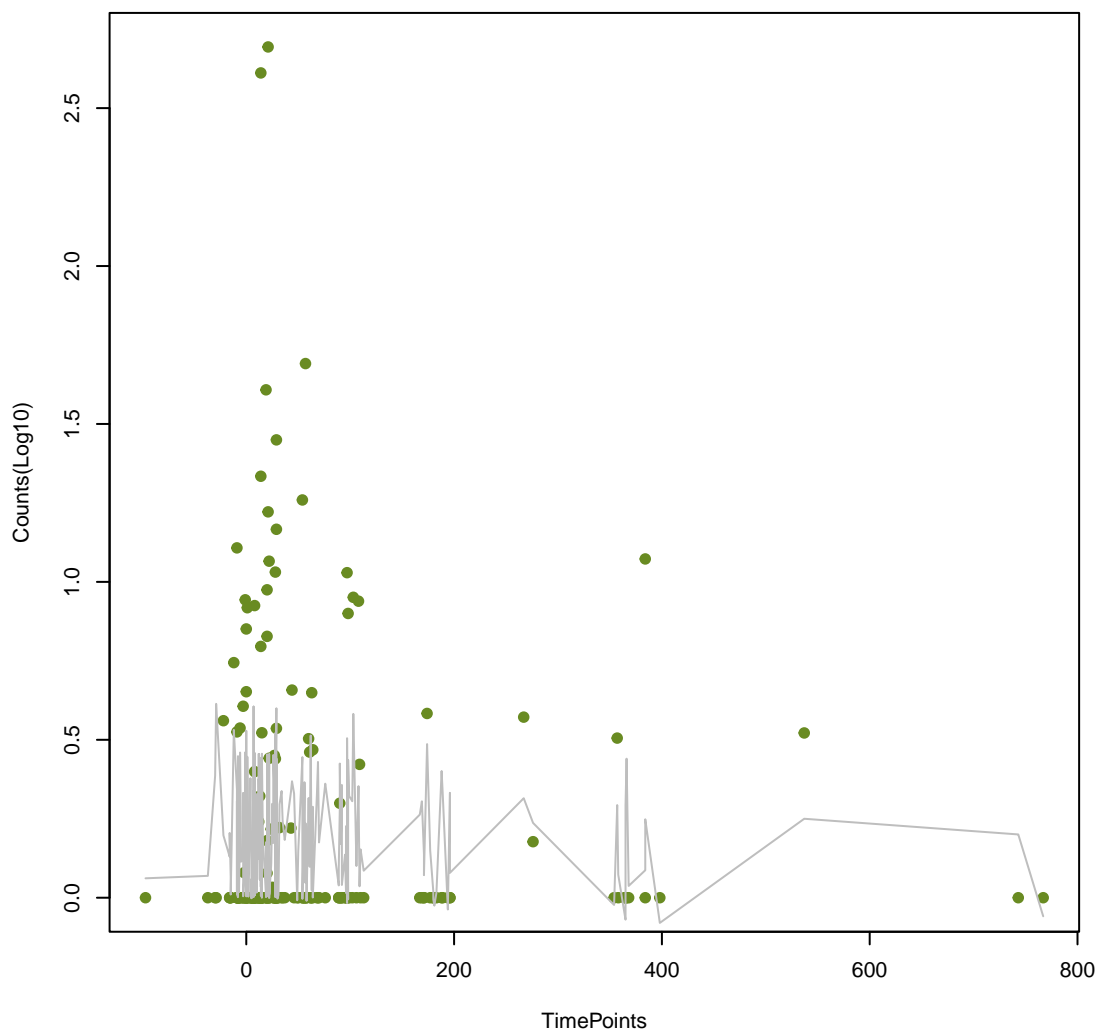
OXA-209
ANOVA P=0.343, adj. ANOVA-P=0.566



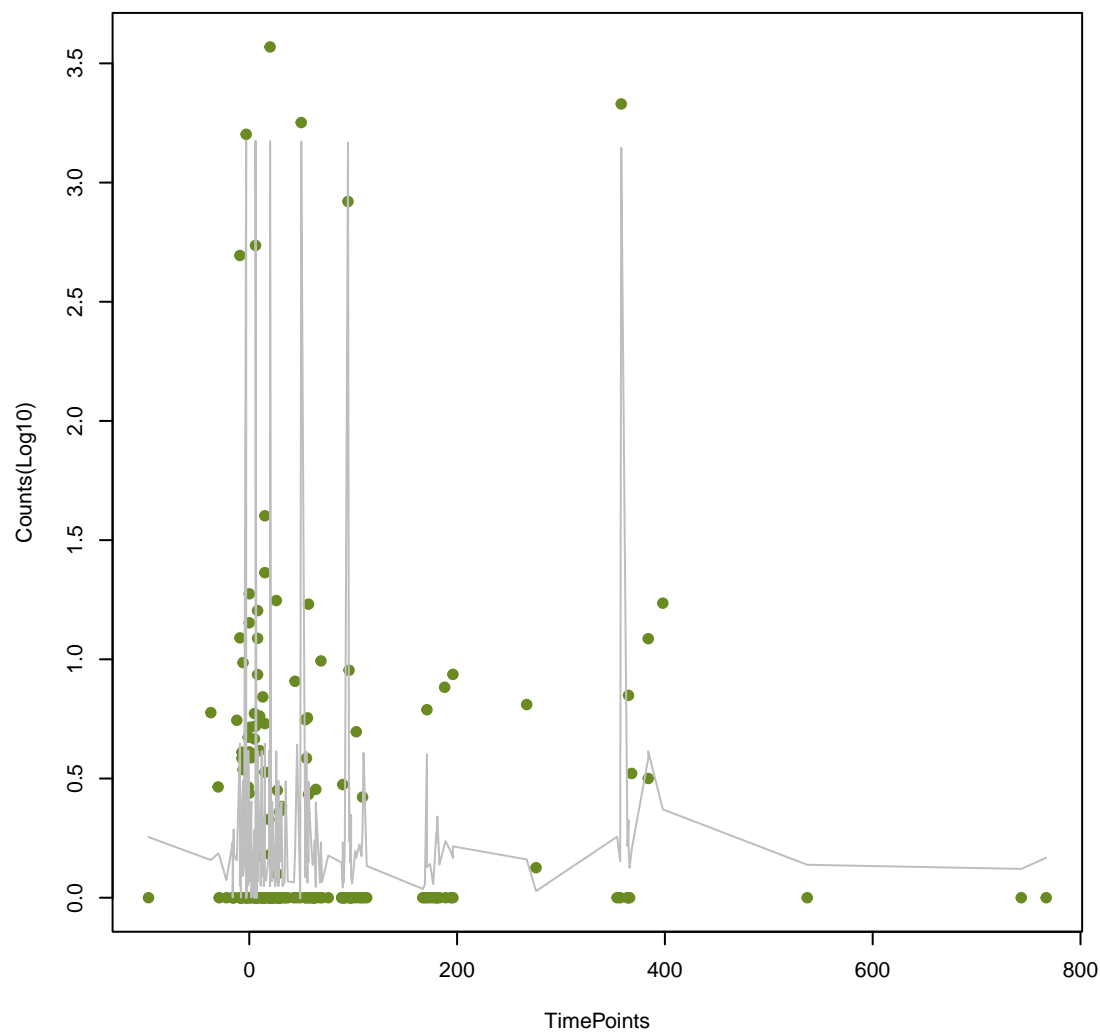
patB
ANOVA P=0.345, adj. ANOVA-P=0.566



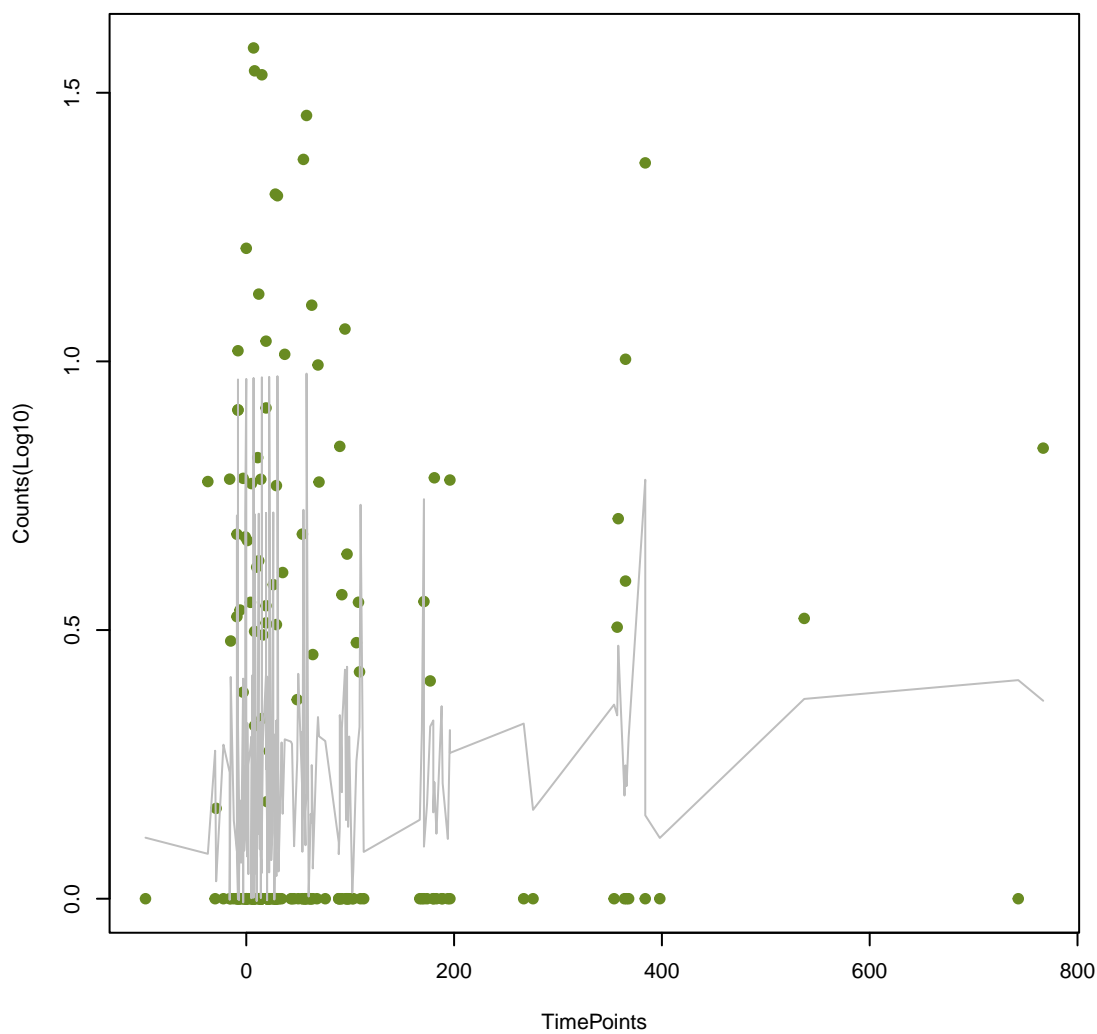
MdtK
ANOVA P=0.355, adj. ANOVA-P=0.578



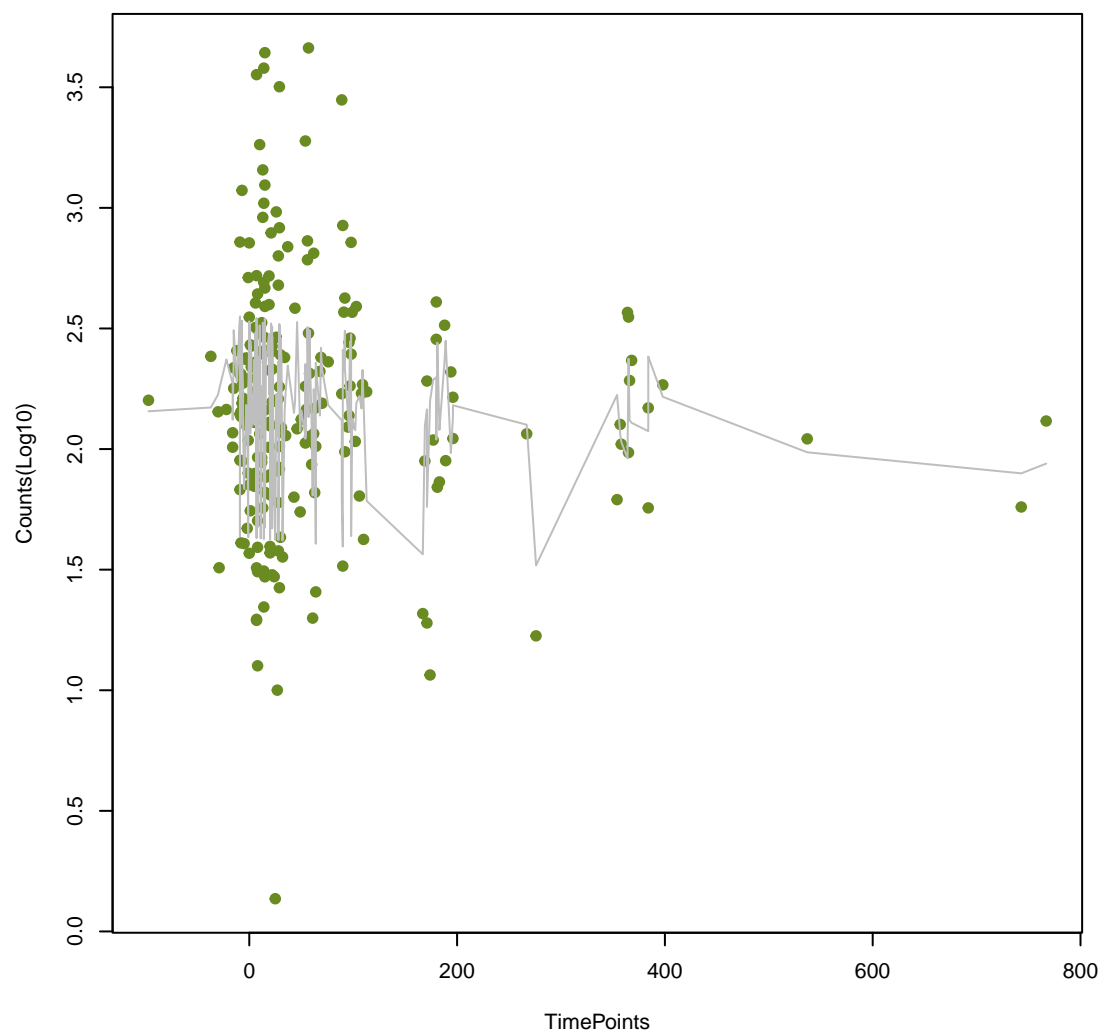
EreD
ANOVA P=0.356, adj. ANOVA-P=0.578



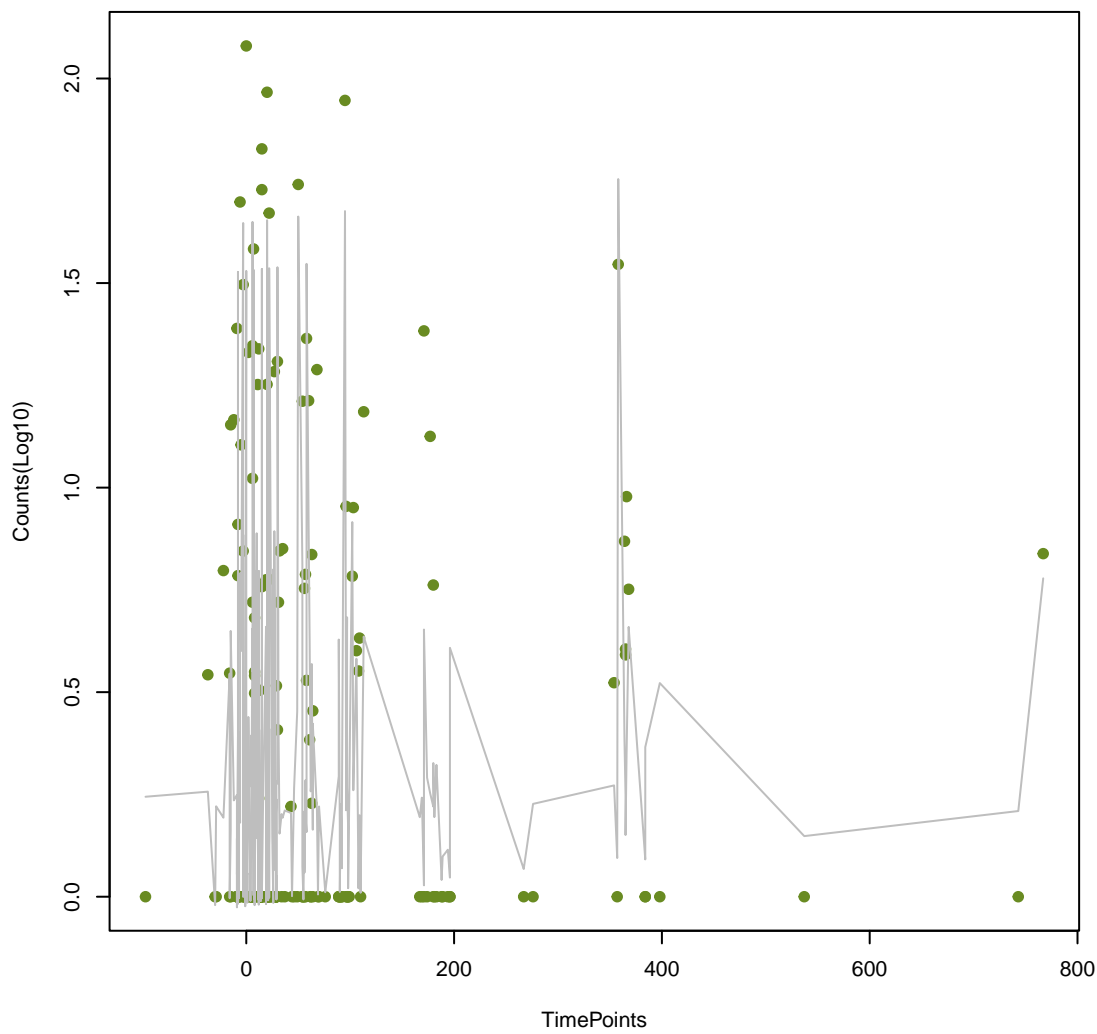
blt
ANOVA P=0.372, adj. ANOVA-P=0.602



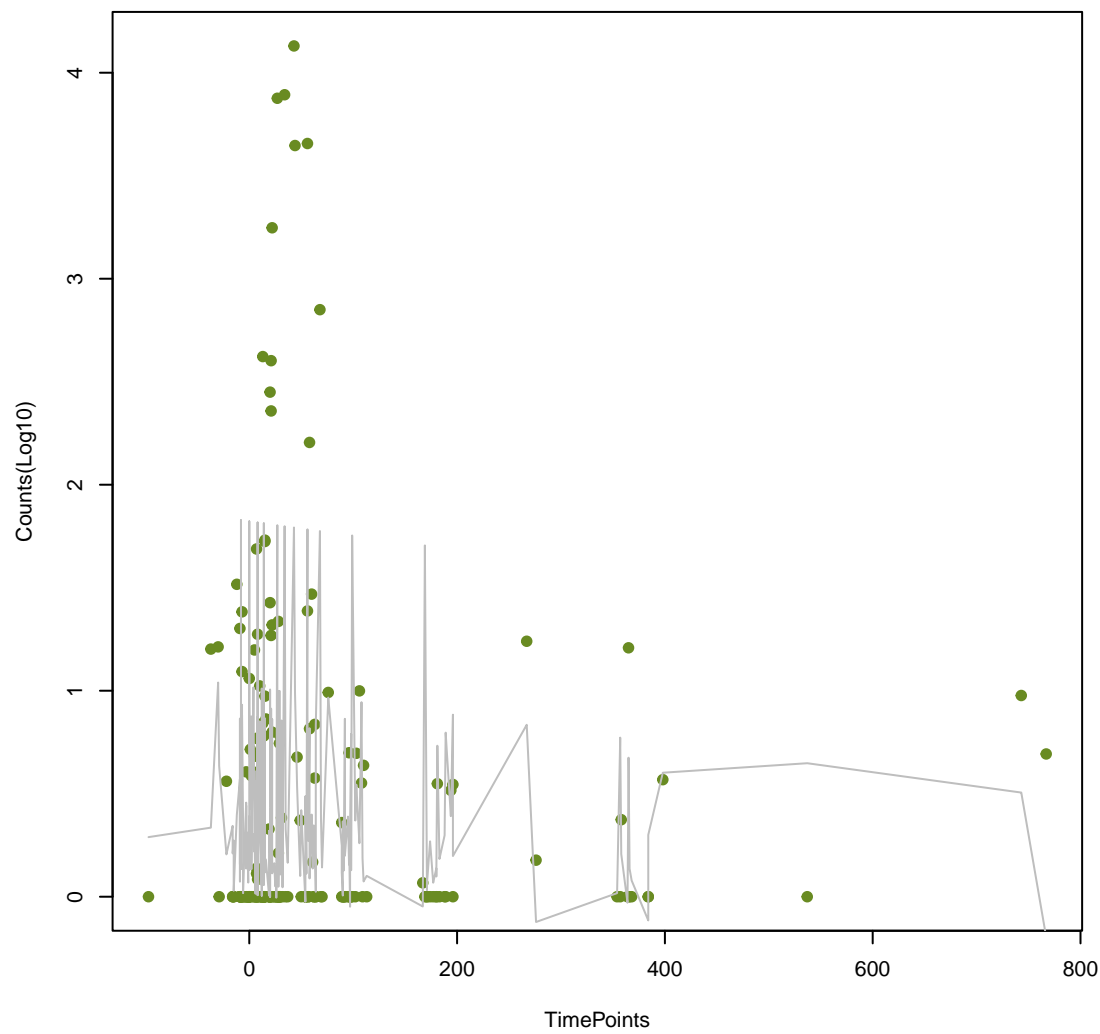
dfrB2
ANOVA P=0.376, adj. ANOVA-P=0.602



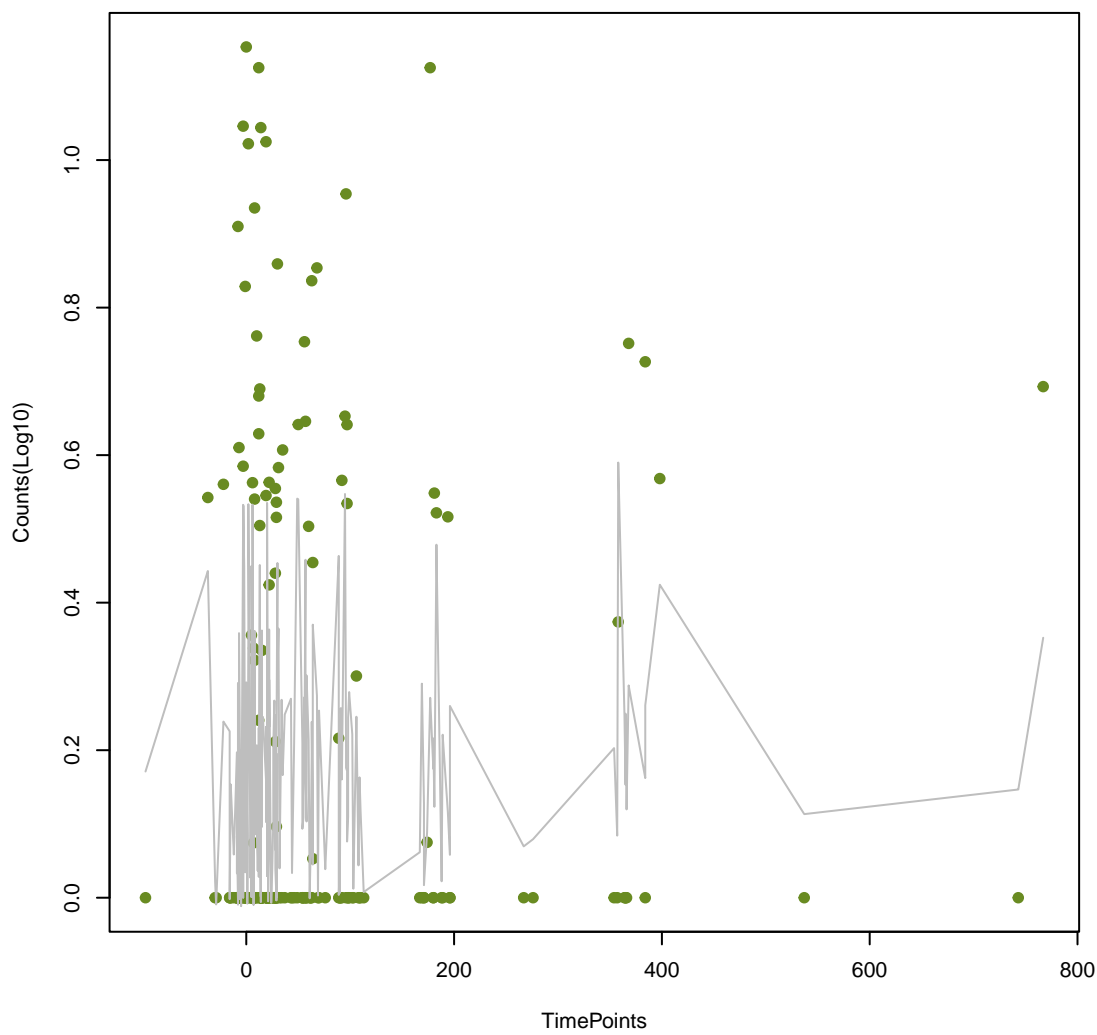
Tet(X3)
ANOVA P=0.379, adj. ANOVA-P=0.602



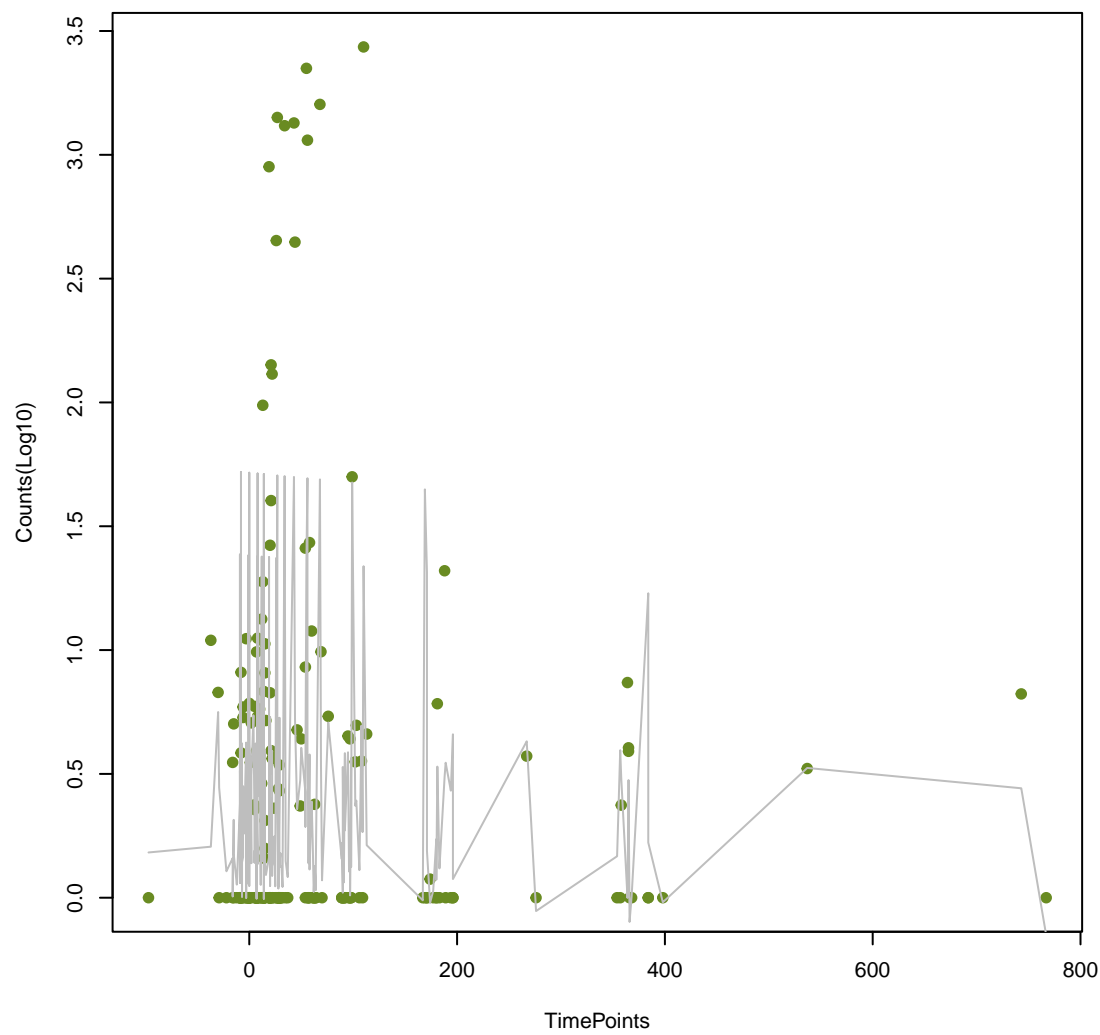
ErmC
ANOVA P=0.379, adj. ANOVA-P=0.602



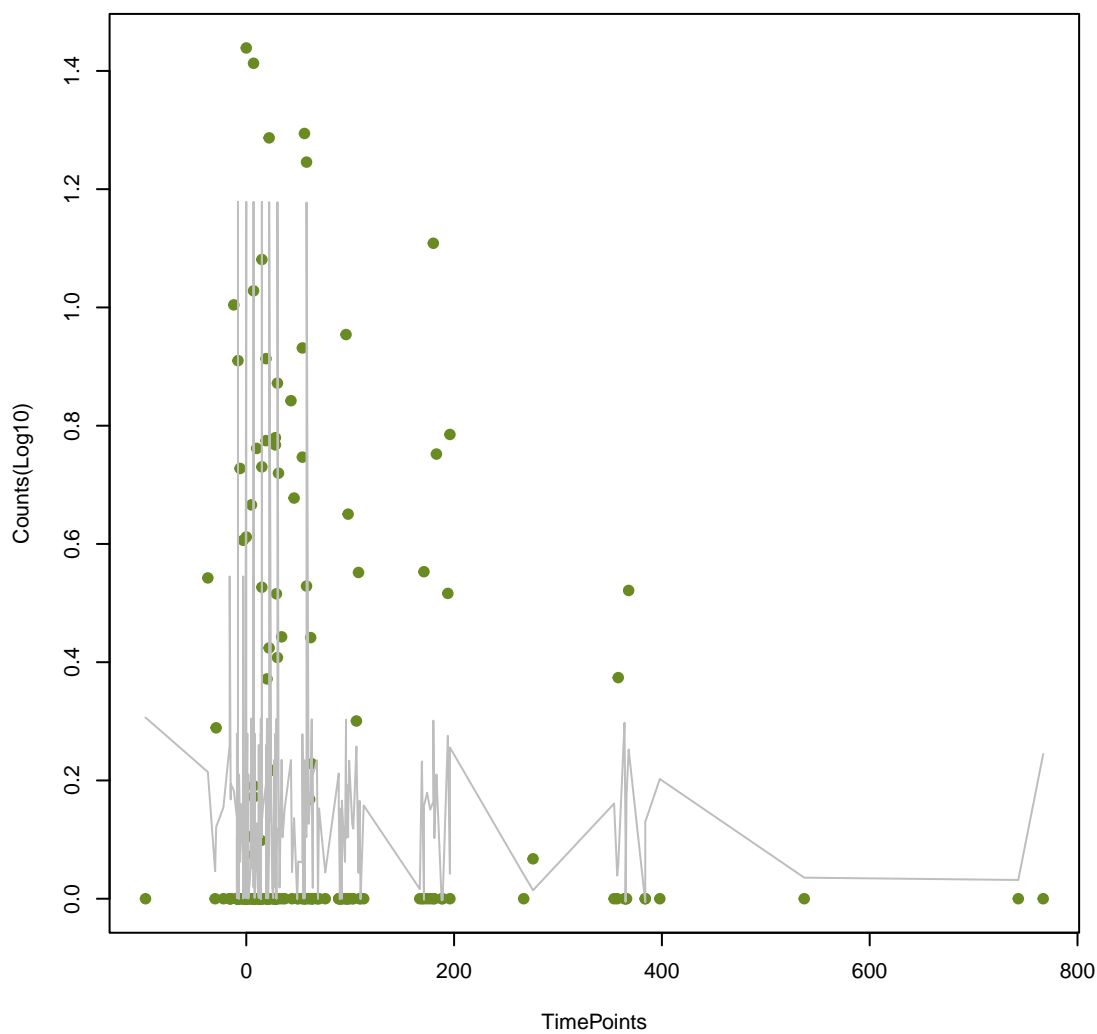
tlrC
ANOVA P=0.38, adj. ANOVA-P=0.602



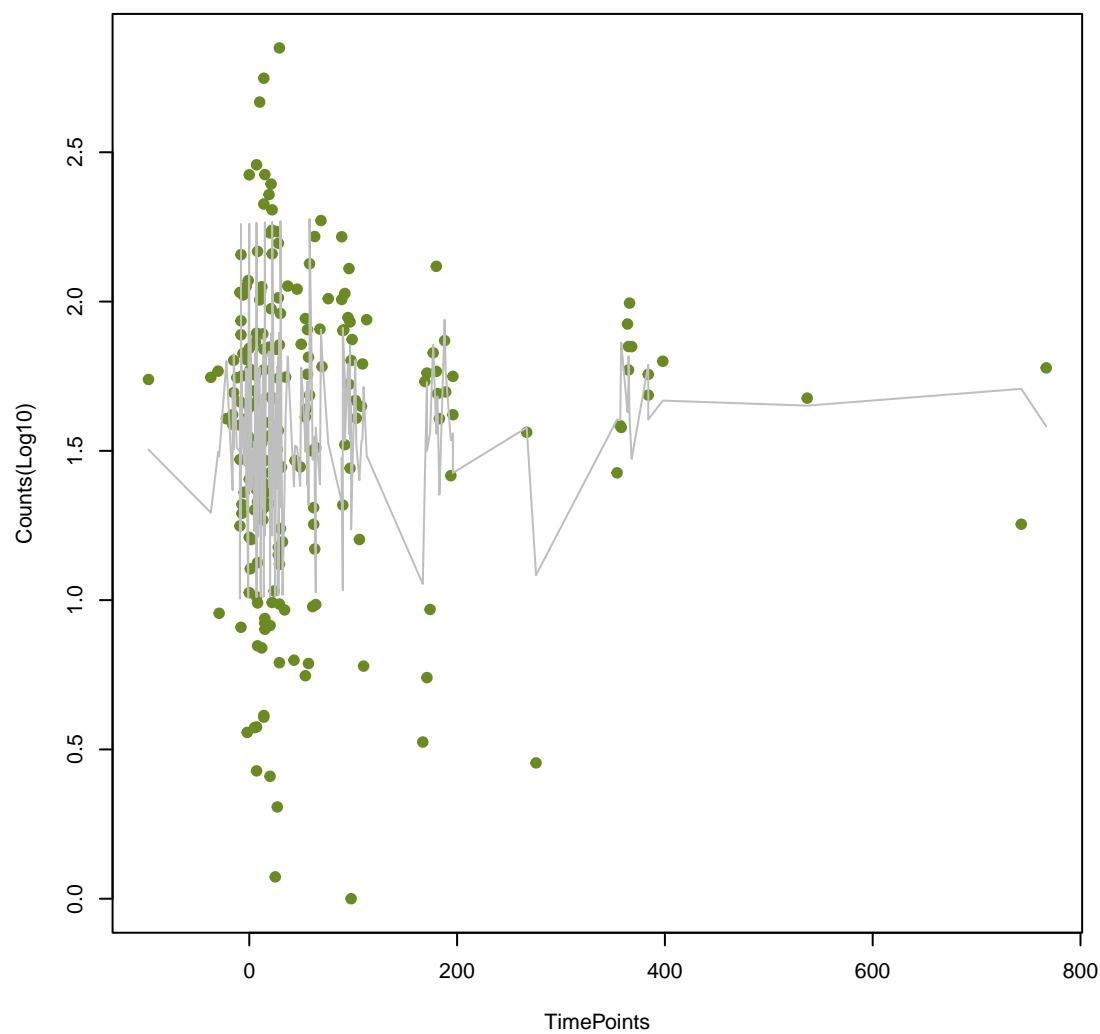
norA
ANOVA P=0.39, adj. ANOVA-P=0.613



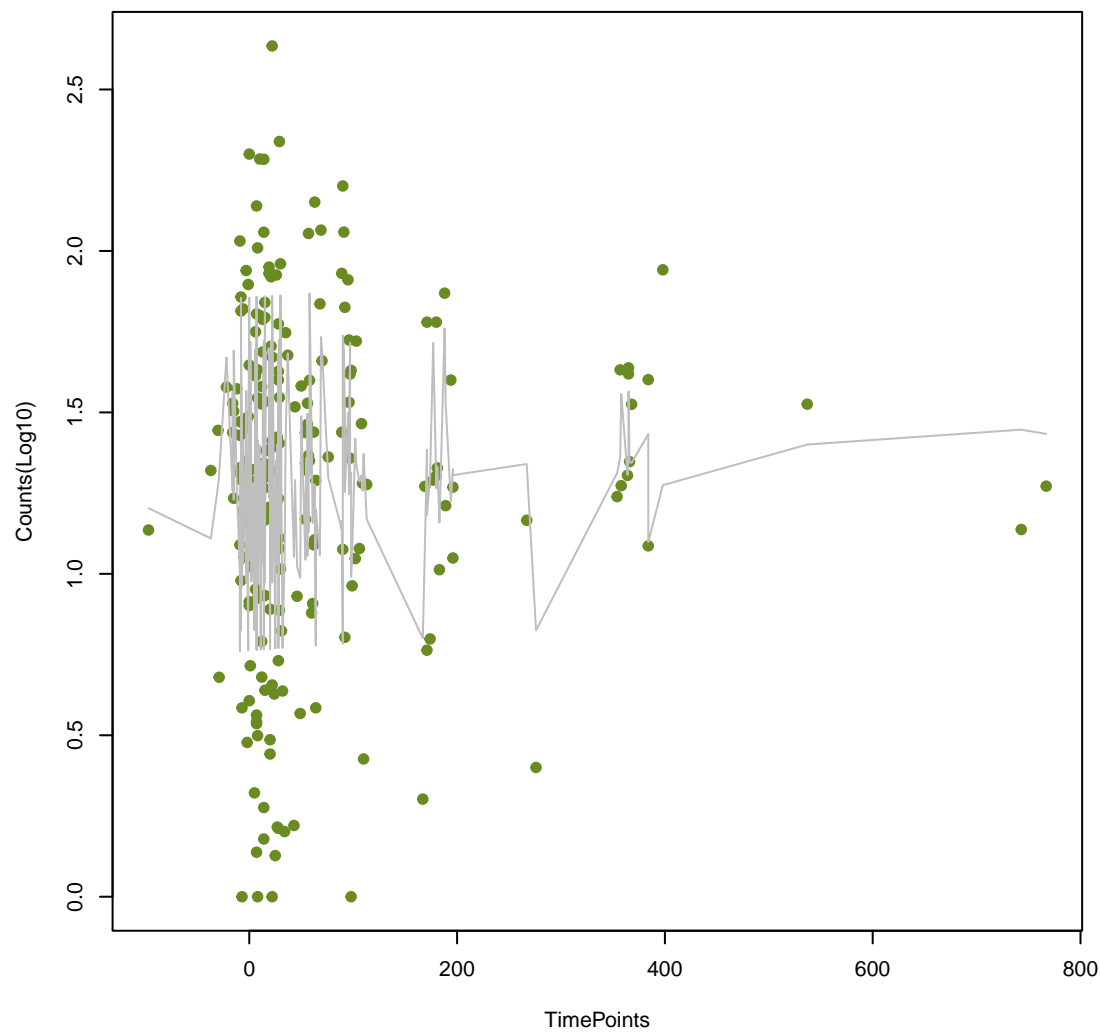
BahA
ANOVA P=0.397, adj. ANOVA-P=0.621



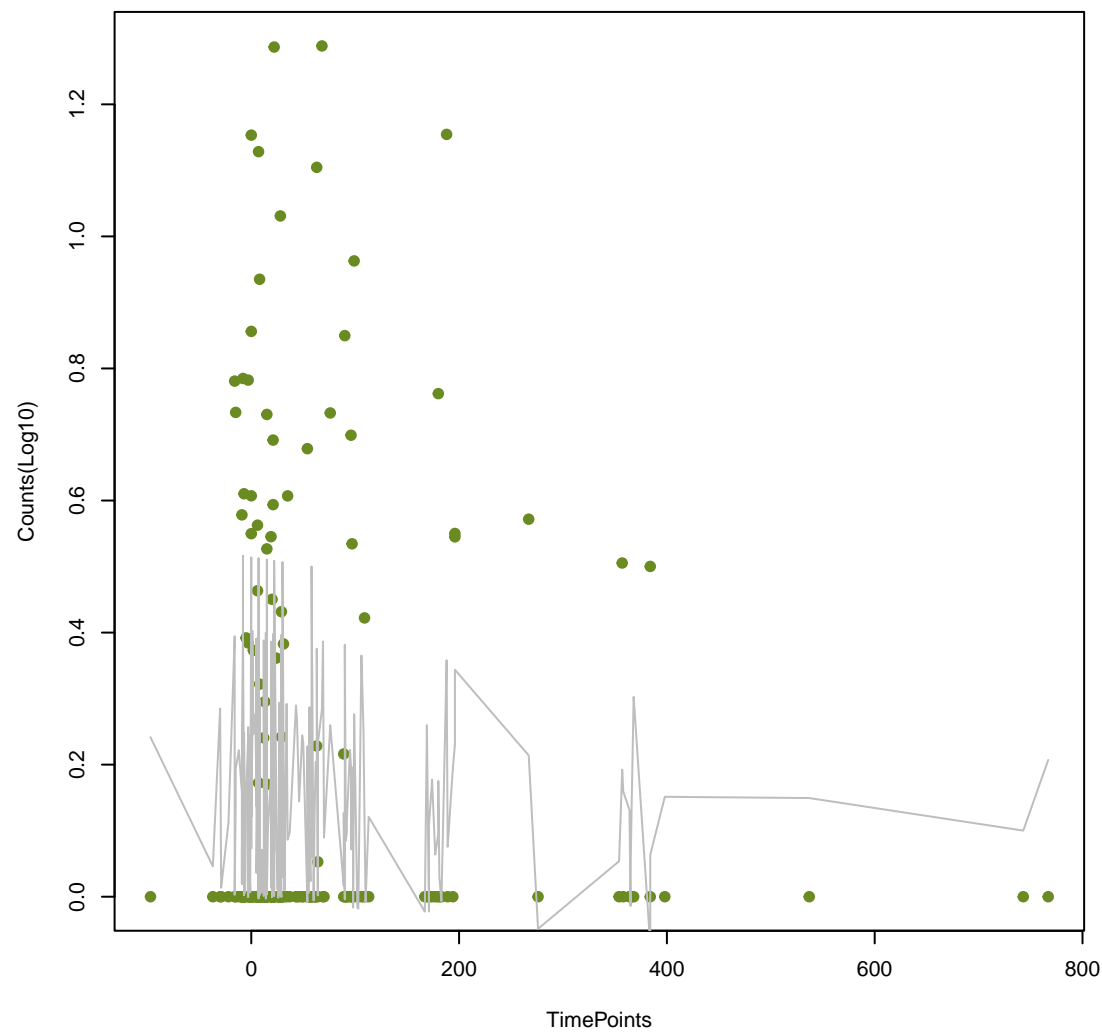
tet37
ANOVA P=0.399, adj. ANOVA-P=0.621



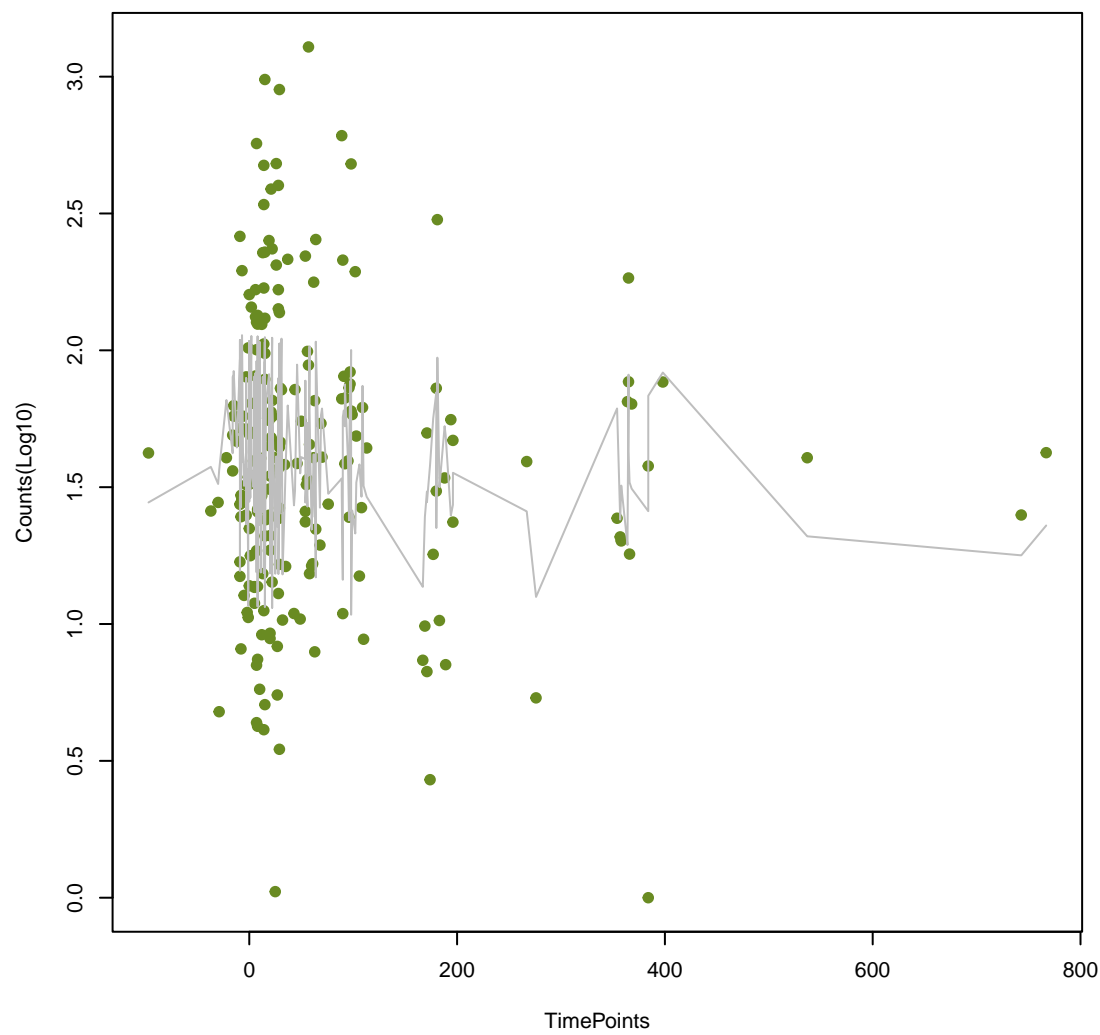
qacG
ANOVA P=0.41, adj. ANOVA-P=0.635



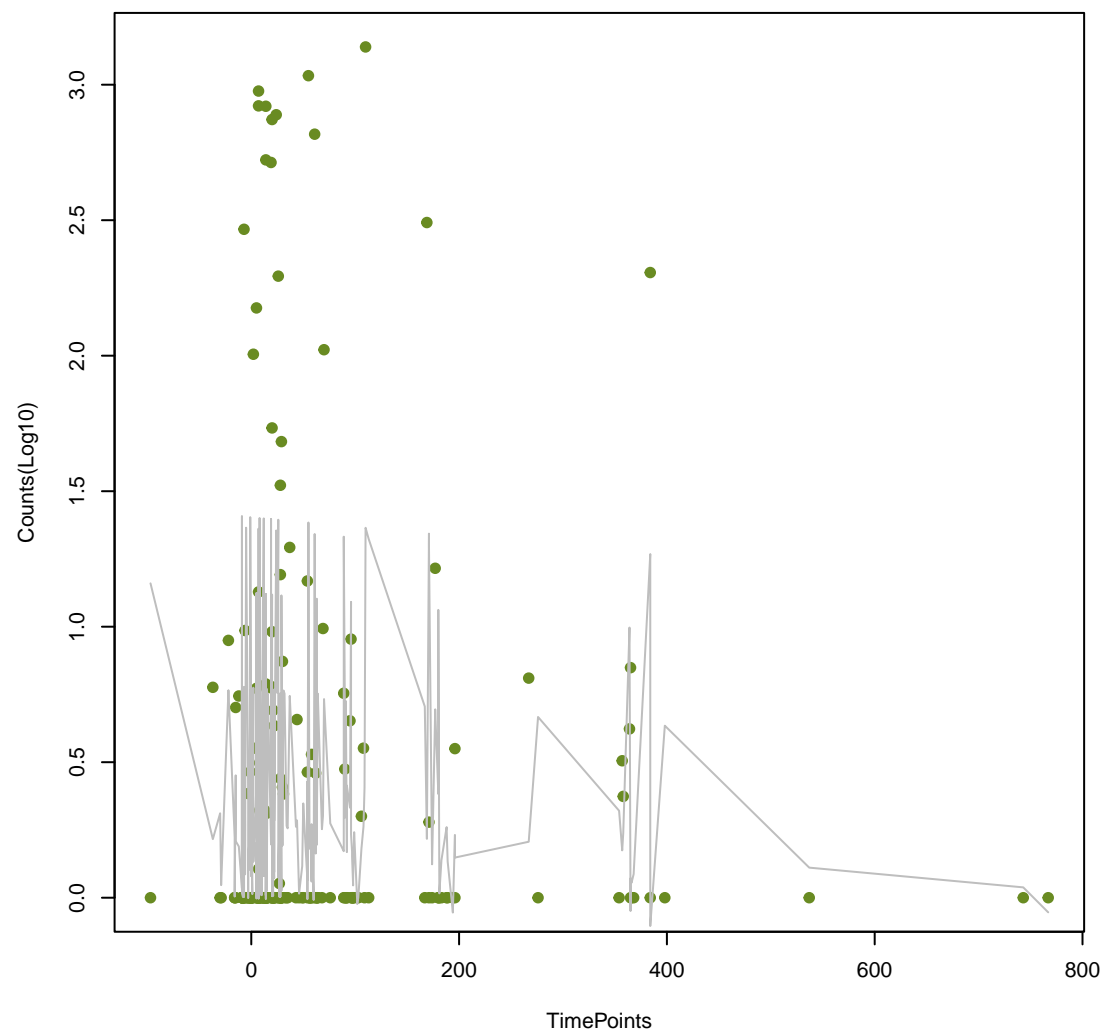
mecB
ANOVA P=0.419, adj. ANOVA-P=0.641



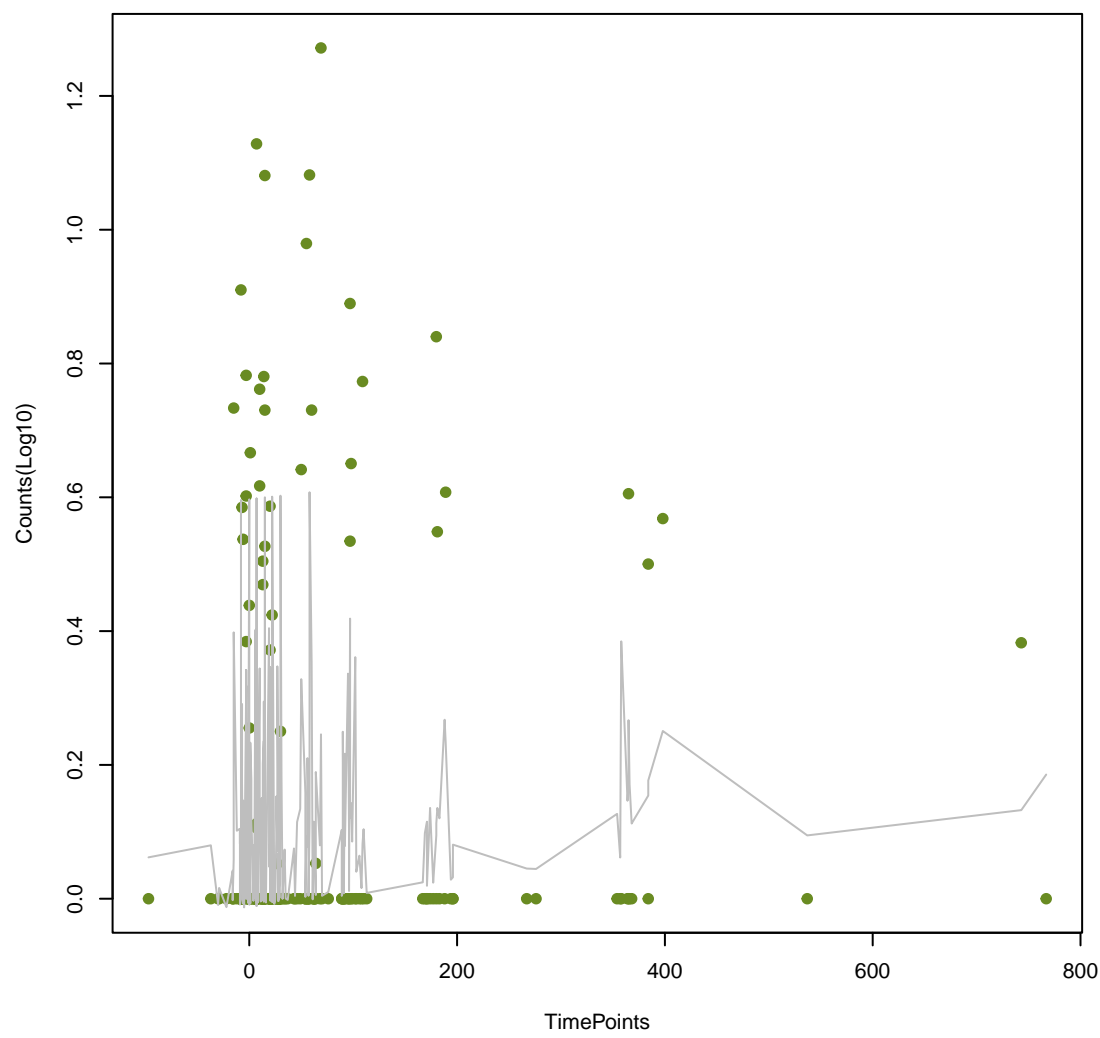
Kpne_KpnF
ANOVA P=0.42, adj. ANOVA-P=0.641



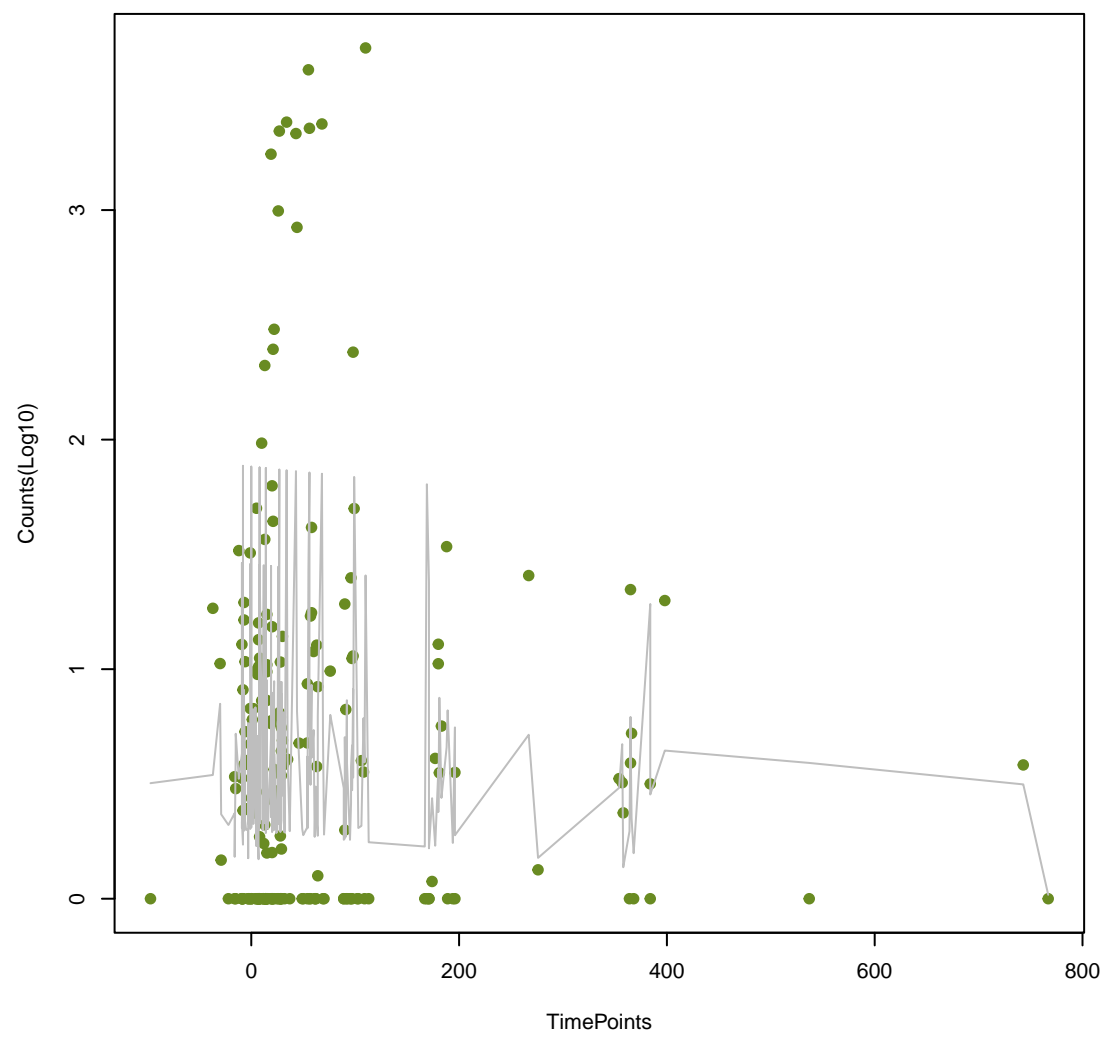
dfrG
ANOVA P=0.42, adj. ANOVA-P=0.641



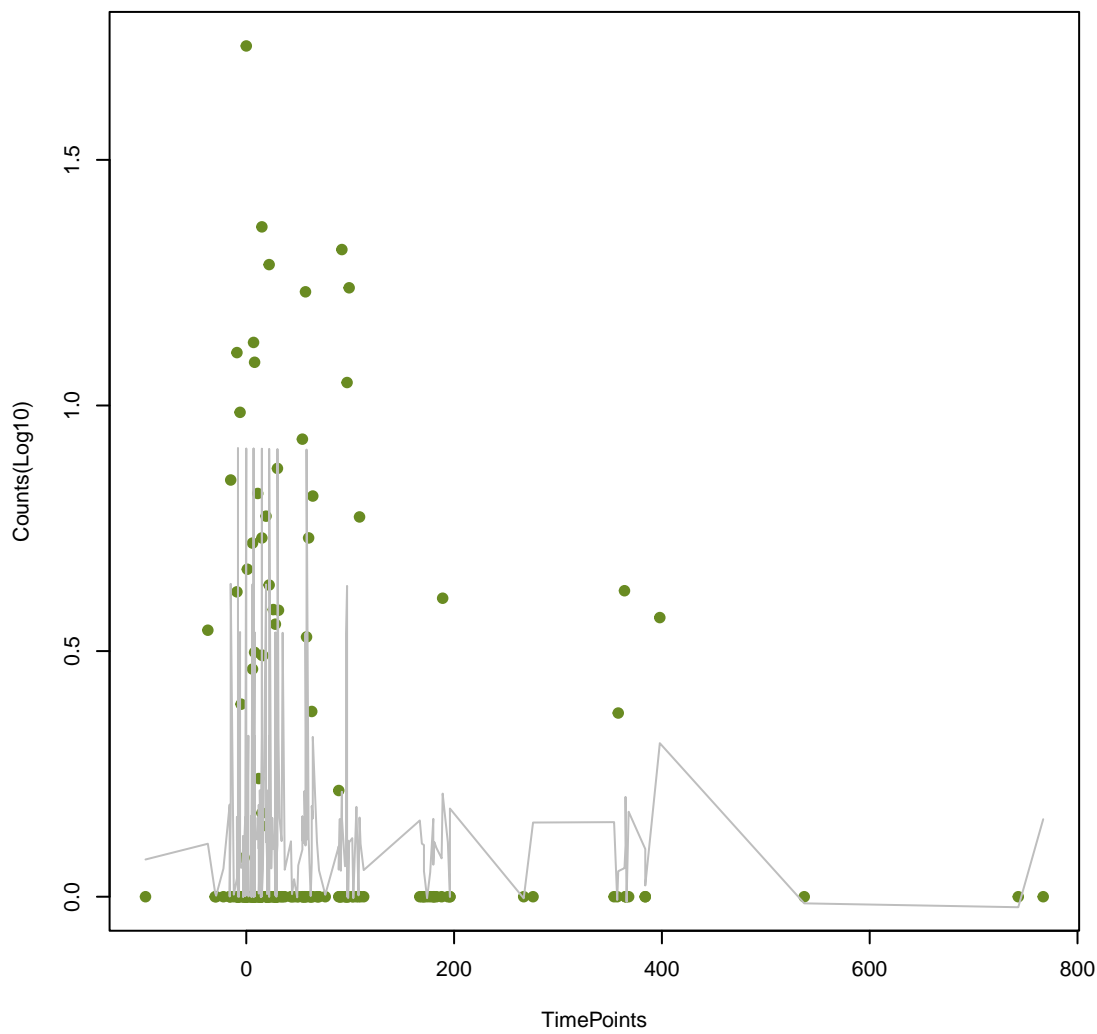
OXA-85
ANOVA P=0.431, adj. ANOVA-P=0.649



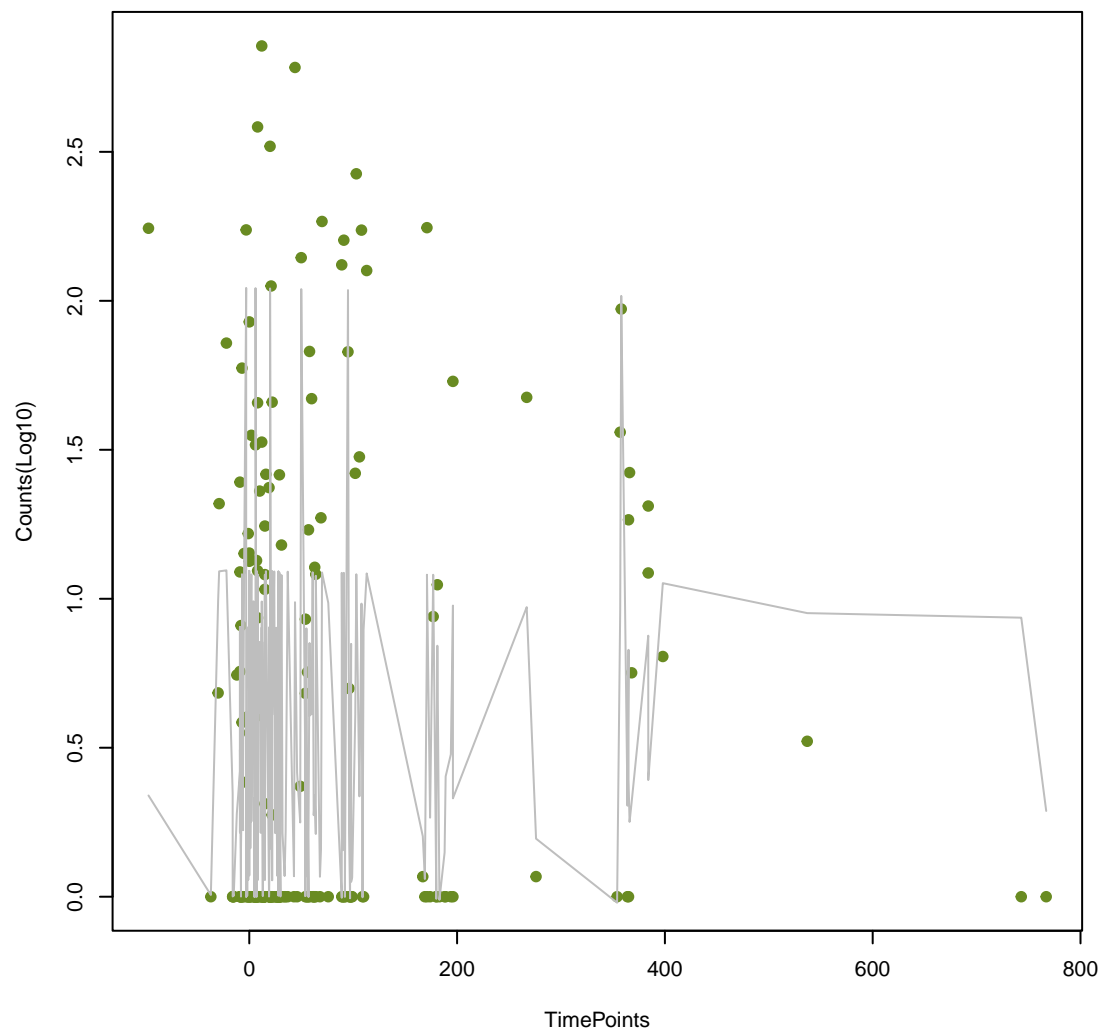
mecA
ANOVA P=0.431, adj. ANOVA-P=0.649



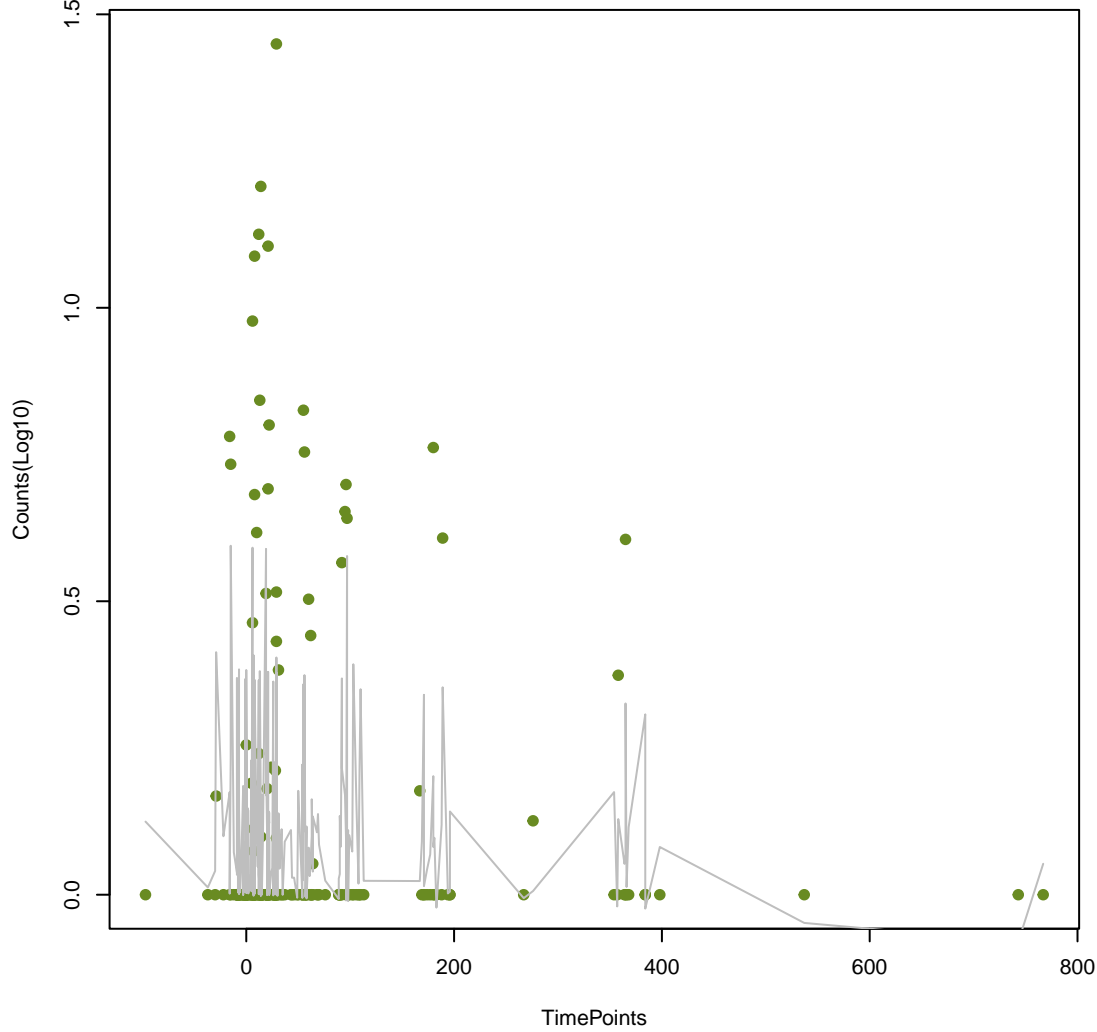
CFE-2
ANOVA P=0.432, adj. ANOVA-P=0.649



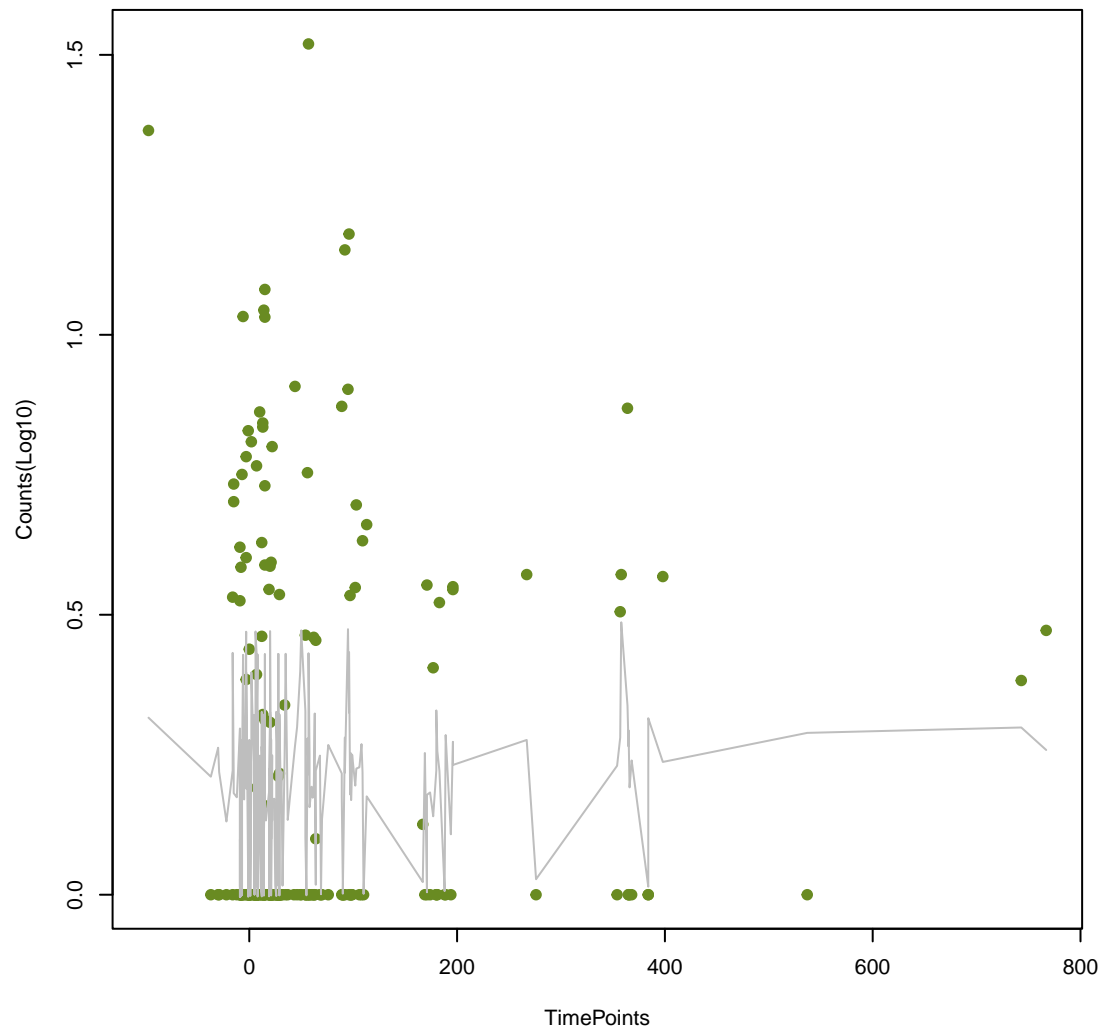
vanD
ANOVA P=0.437, adj. ANOVA-P=0.654



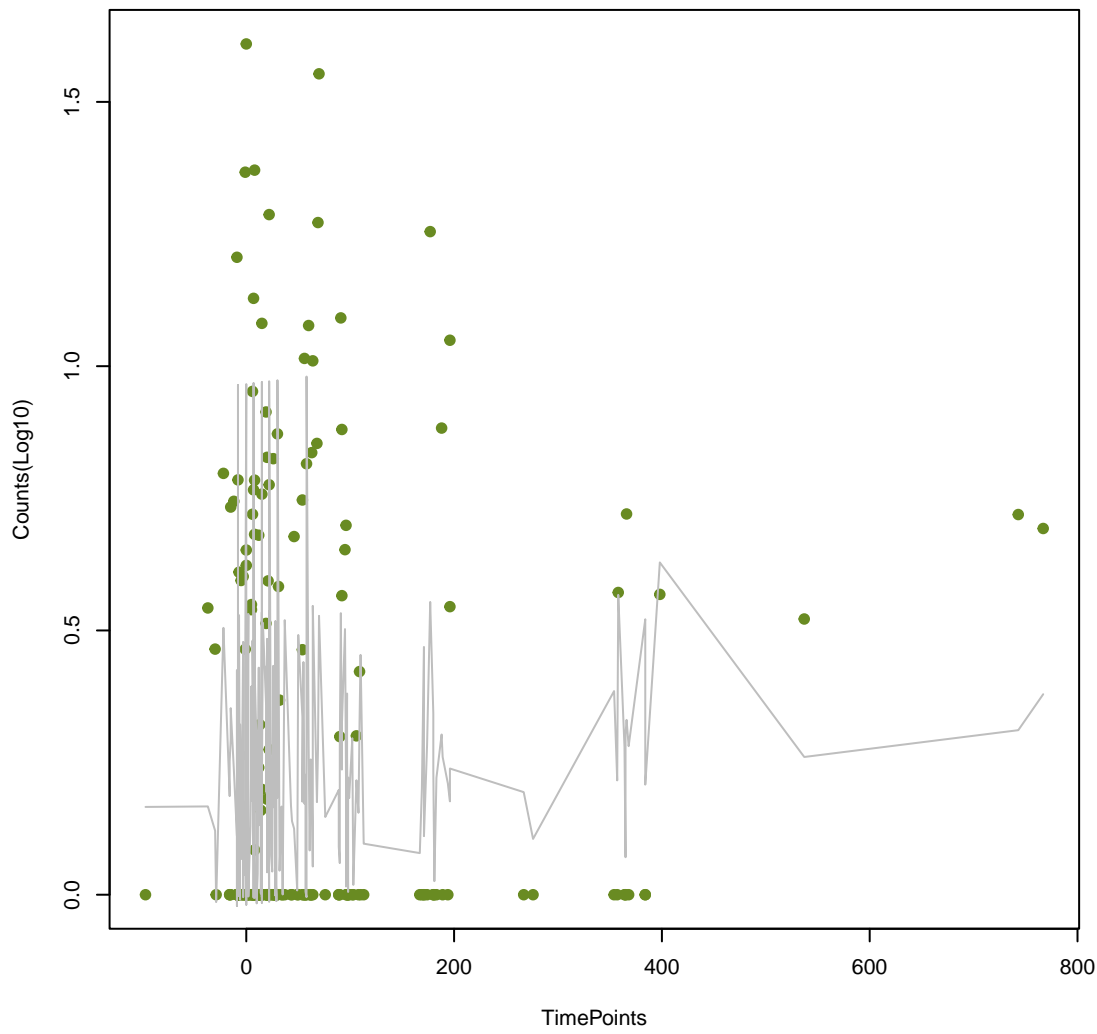
cmeB
ANOVA P=0.44, adj. ANOVA-P=0.654



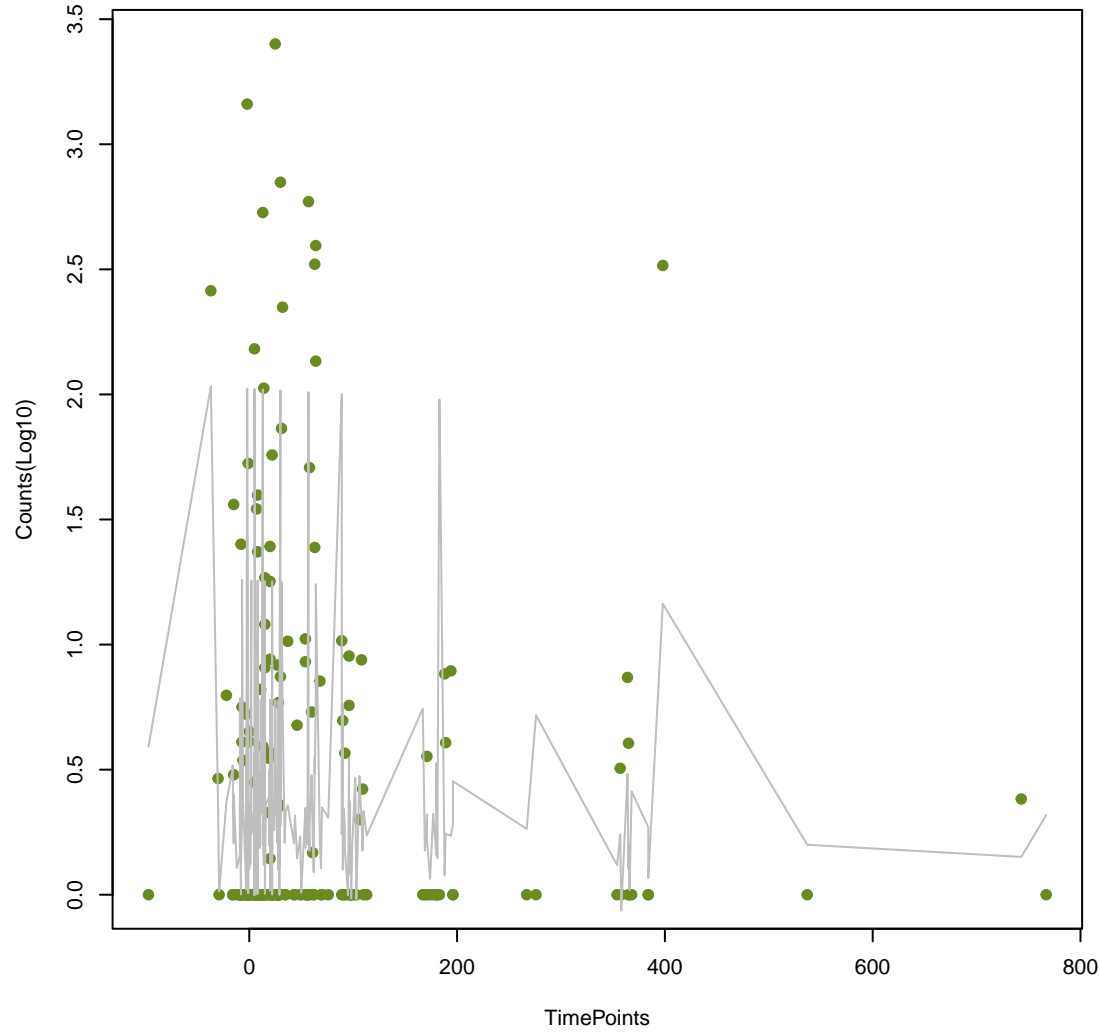
SGM-4
ANOVA P=0.444, adj. ANOVA-P=0.657



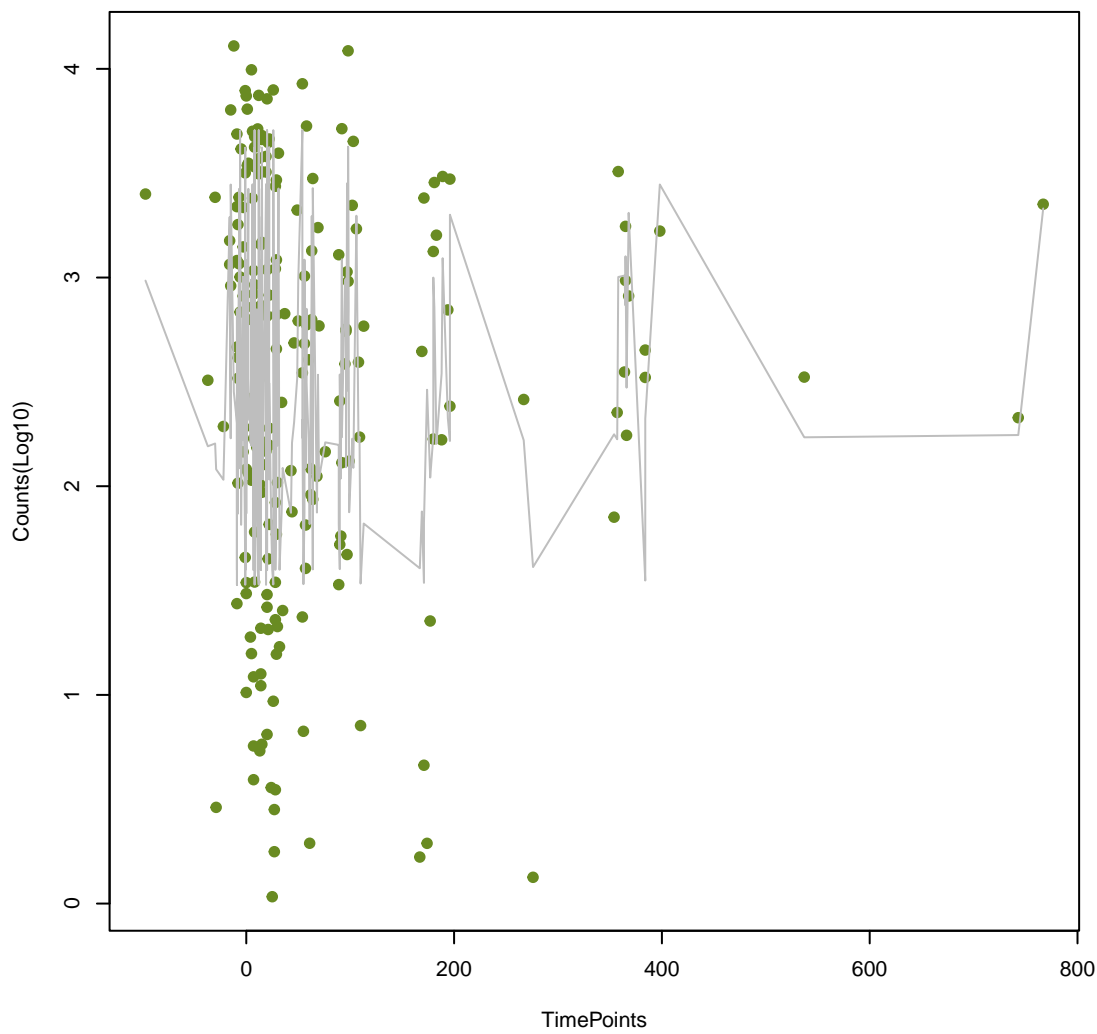
rmtB
ANOVA P=0.446, adj. ANOVA-P=0.657



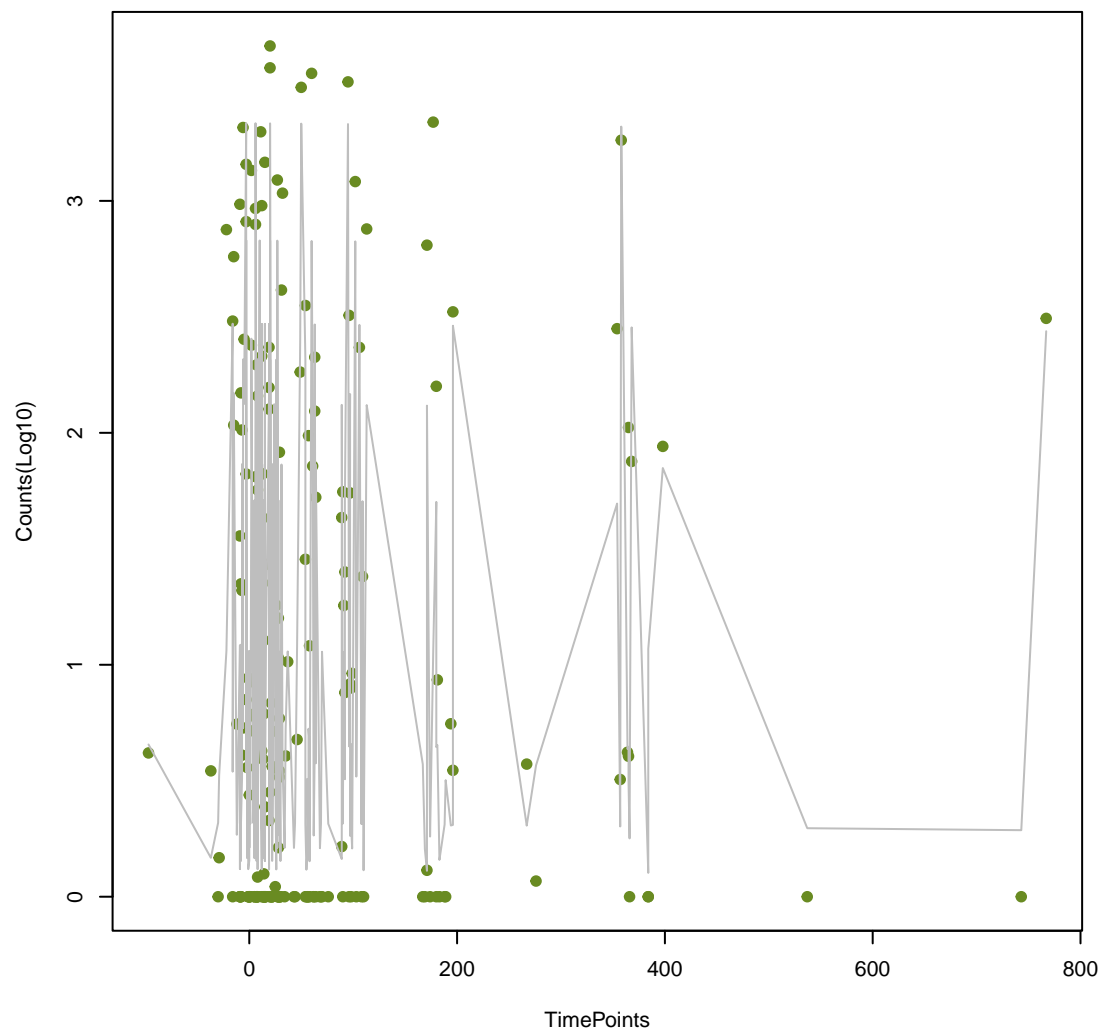
dfrA17
ANOVA P=0.45, adj. ANOVA-P=0.657



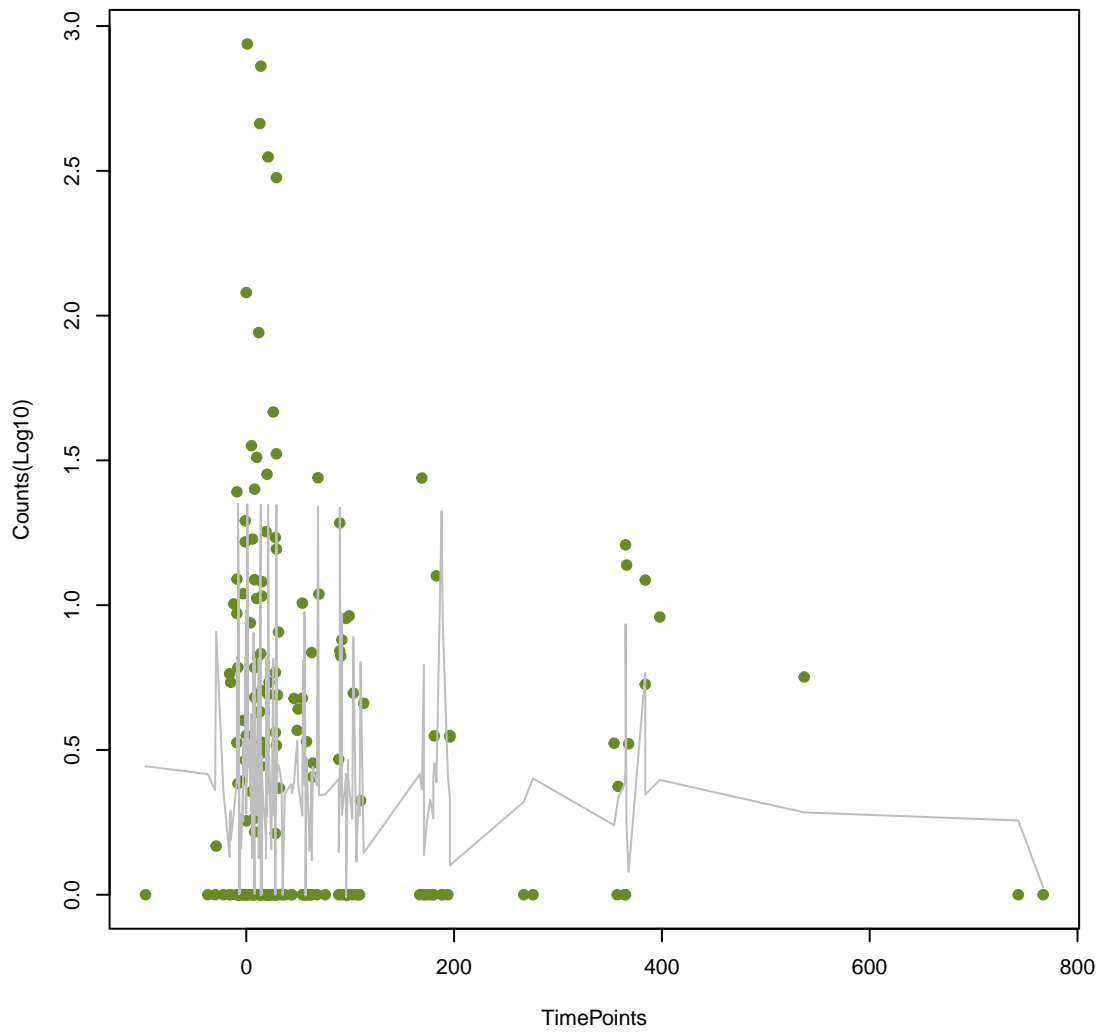
mel
ANOVA P=0.451, adj. ANOVA-P=0.657



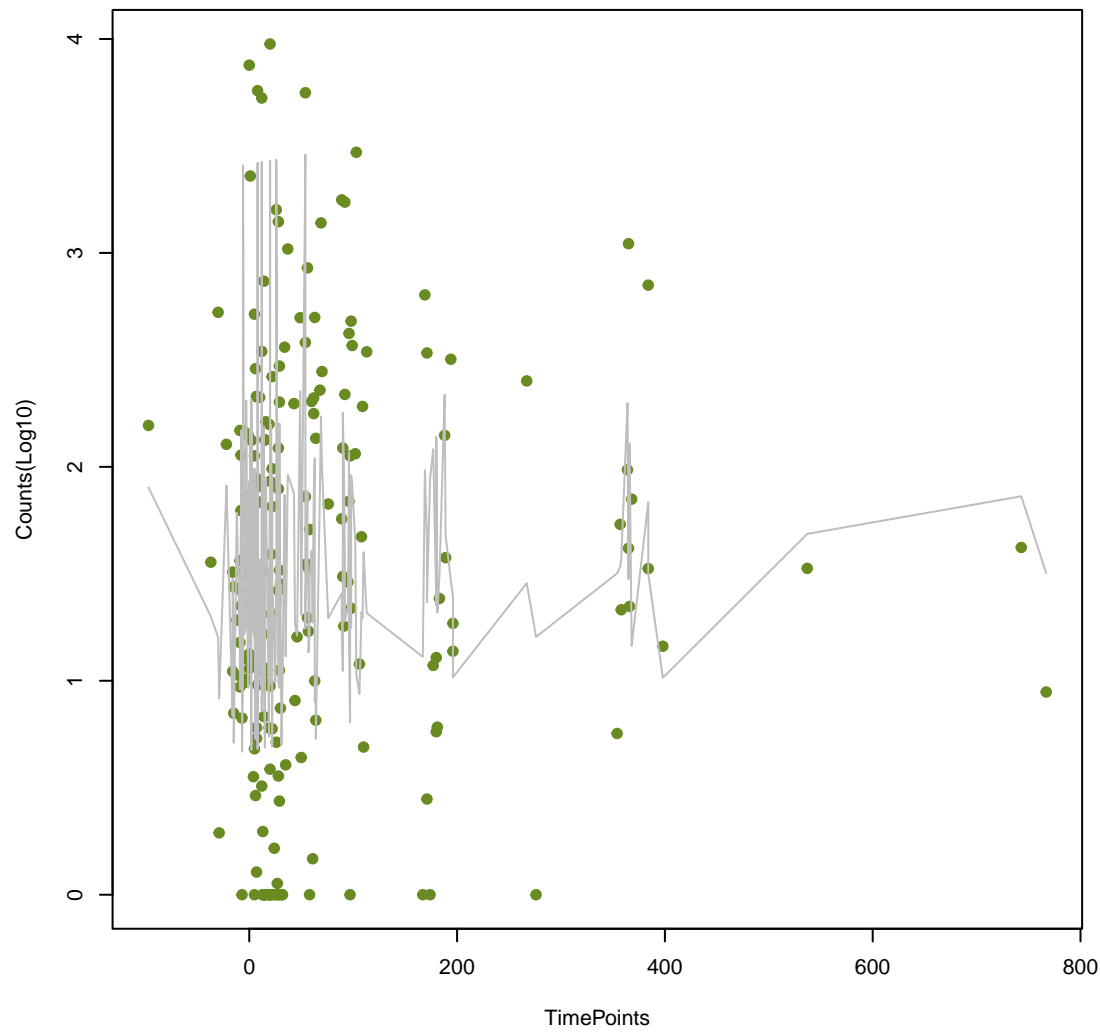
tetX
ANOVA P=0.452, adj. ANOVA-P=0.657



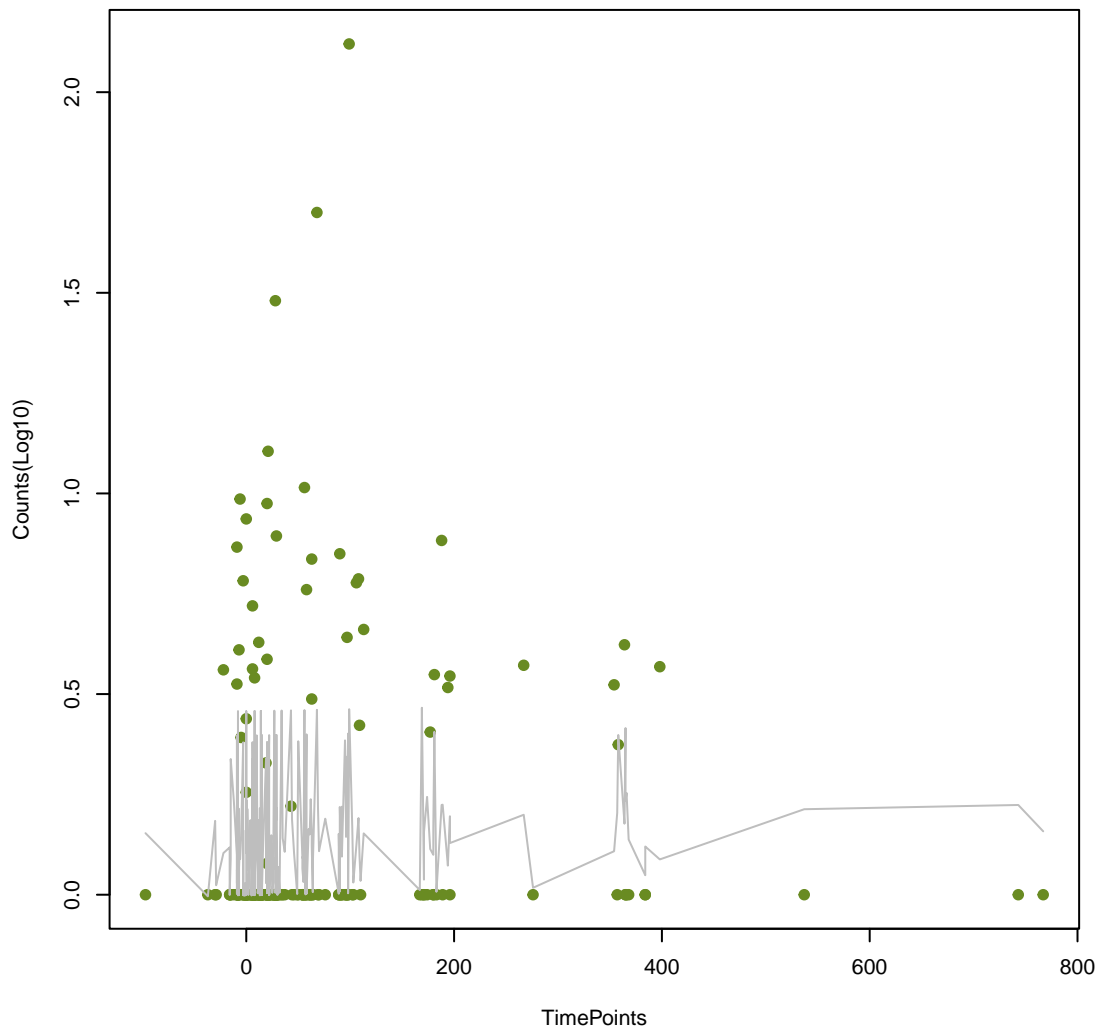
pmrA
ANOVA P=0.464, adj. ANOVA-P=0.668



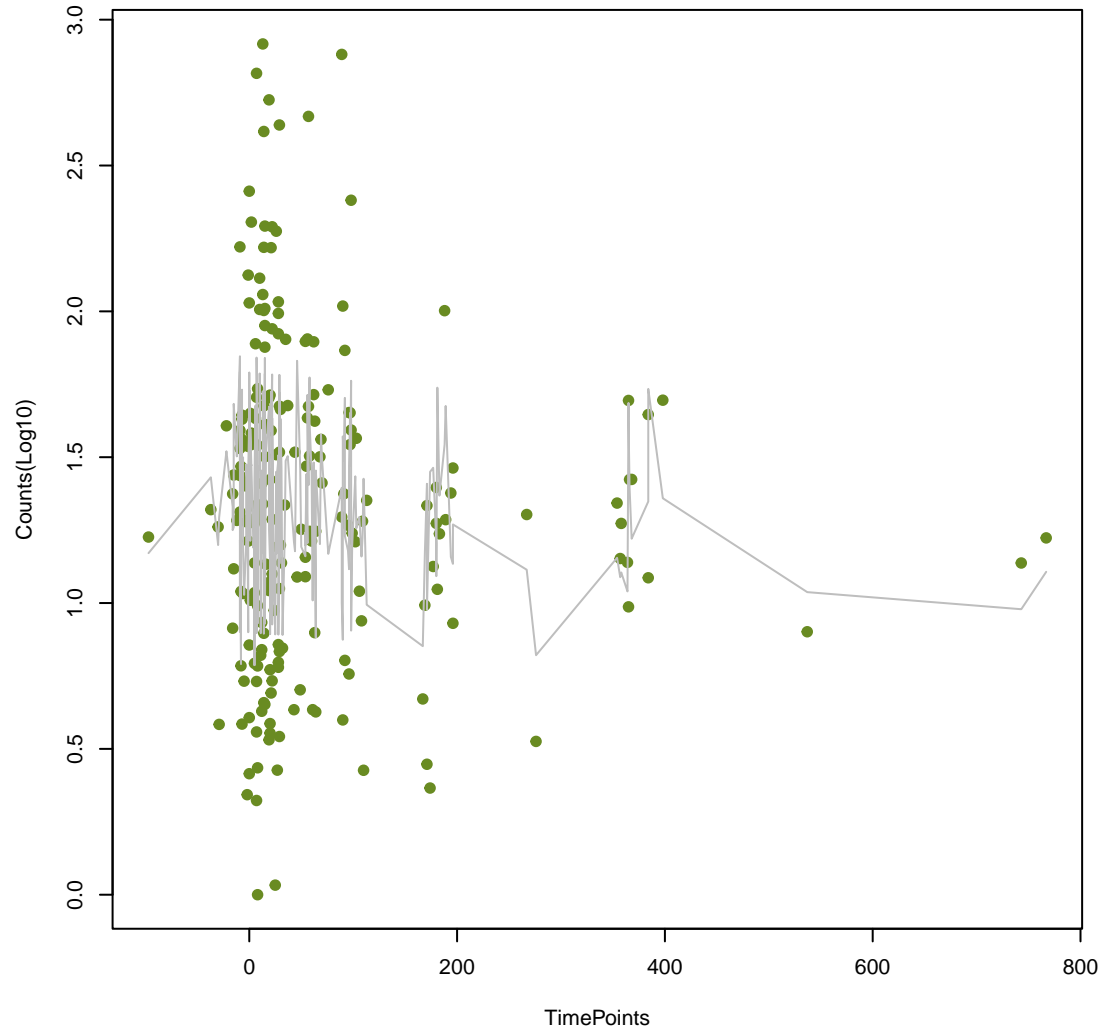
tetB(46)
ANOVA P=0.465, adj. ANOVA-P=0.668



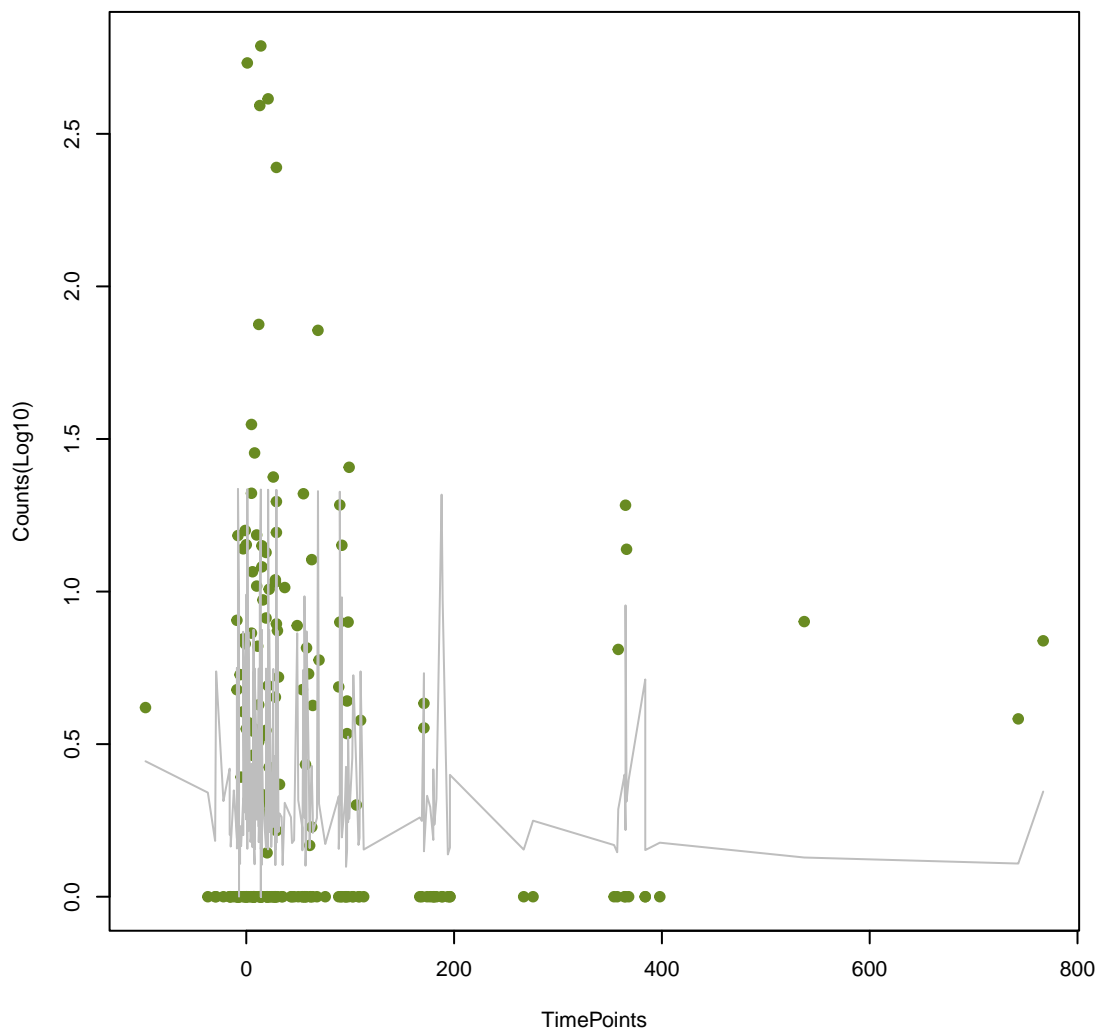
PME-1
ANOVA P=0.467, adj. ANOVA-P=0.668



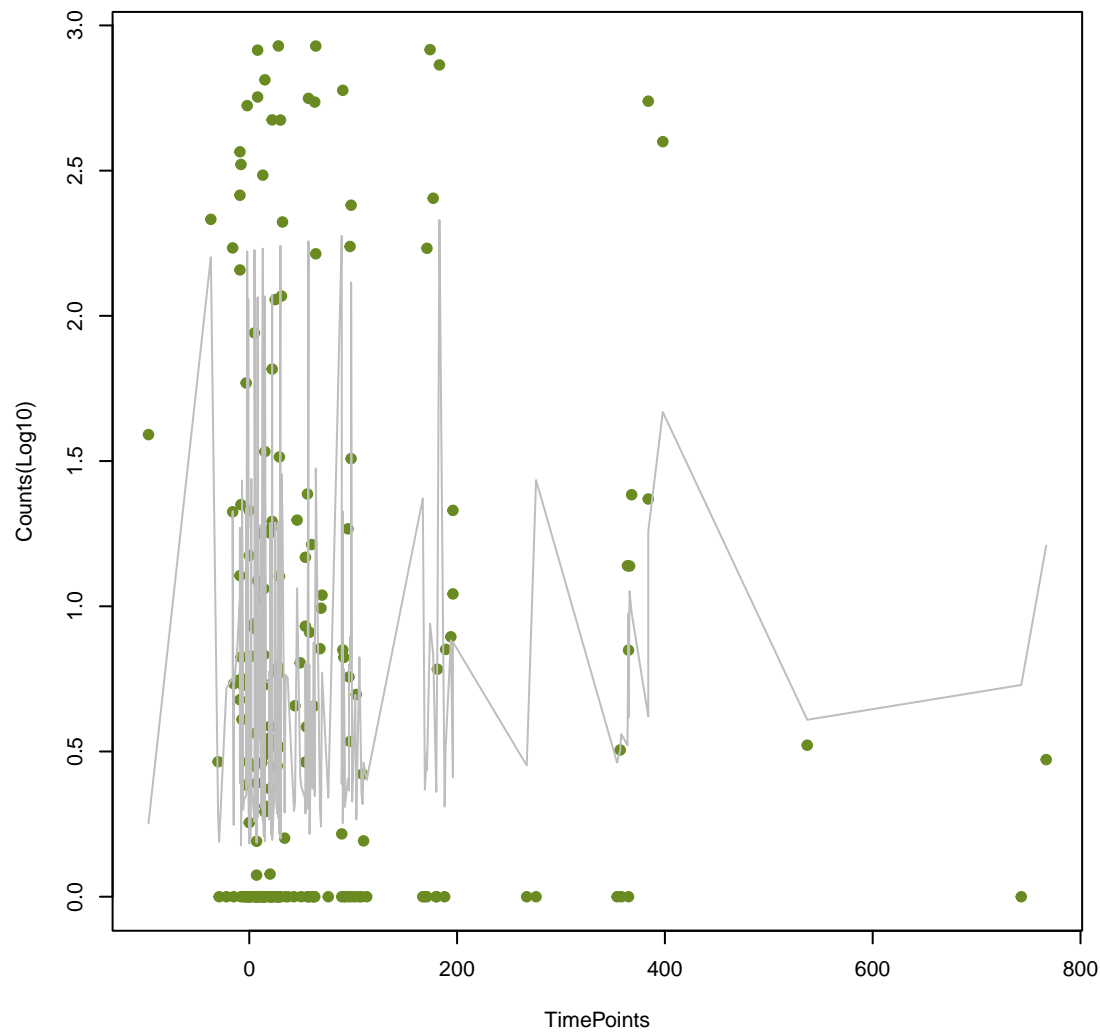
dfrB6
ANOVA P=0.473, adj. ANOVA-P=0.673



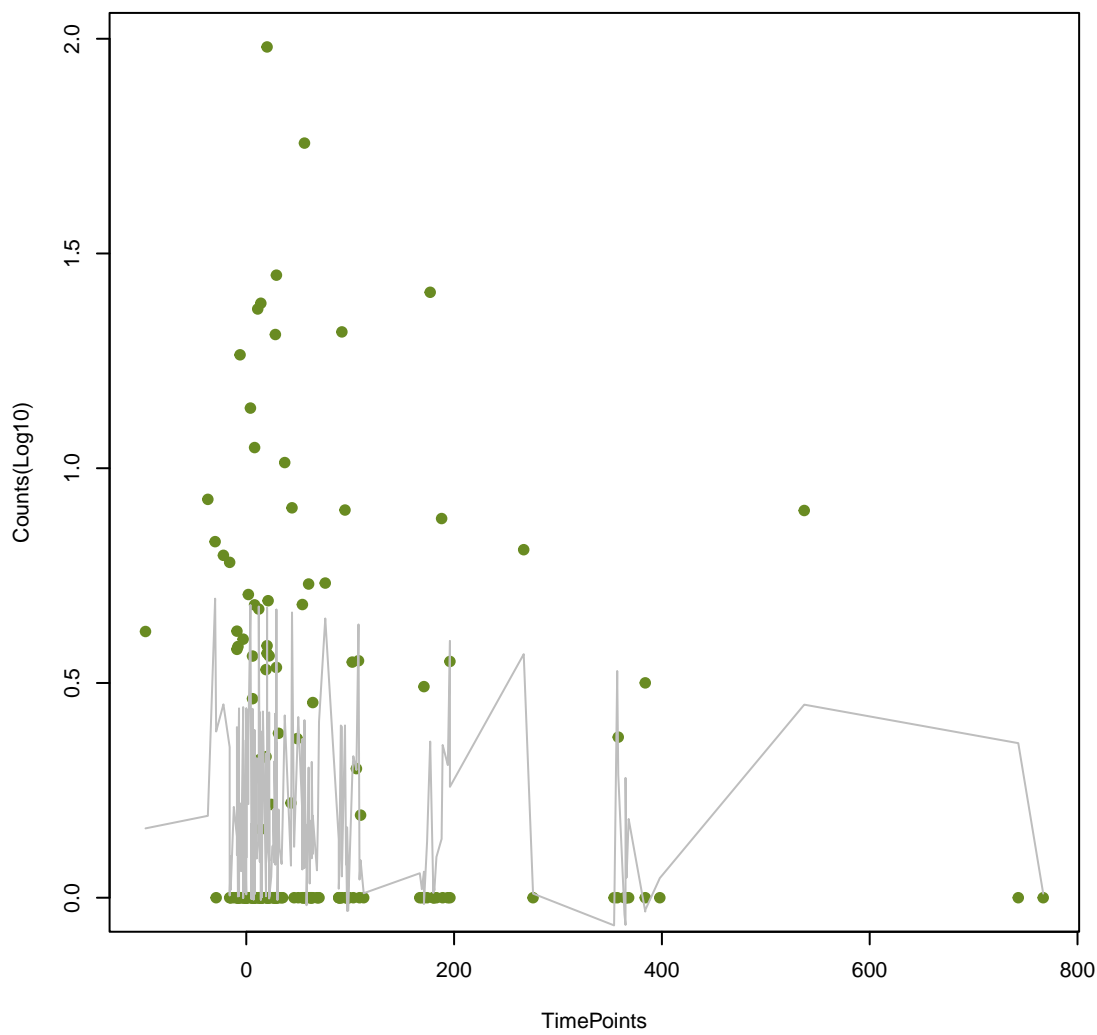
RlmA(II)
ANOVA P=0.475, adj. ANOVA-P=0.673



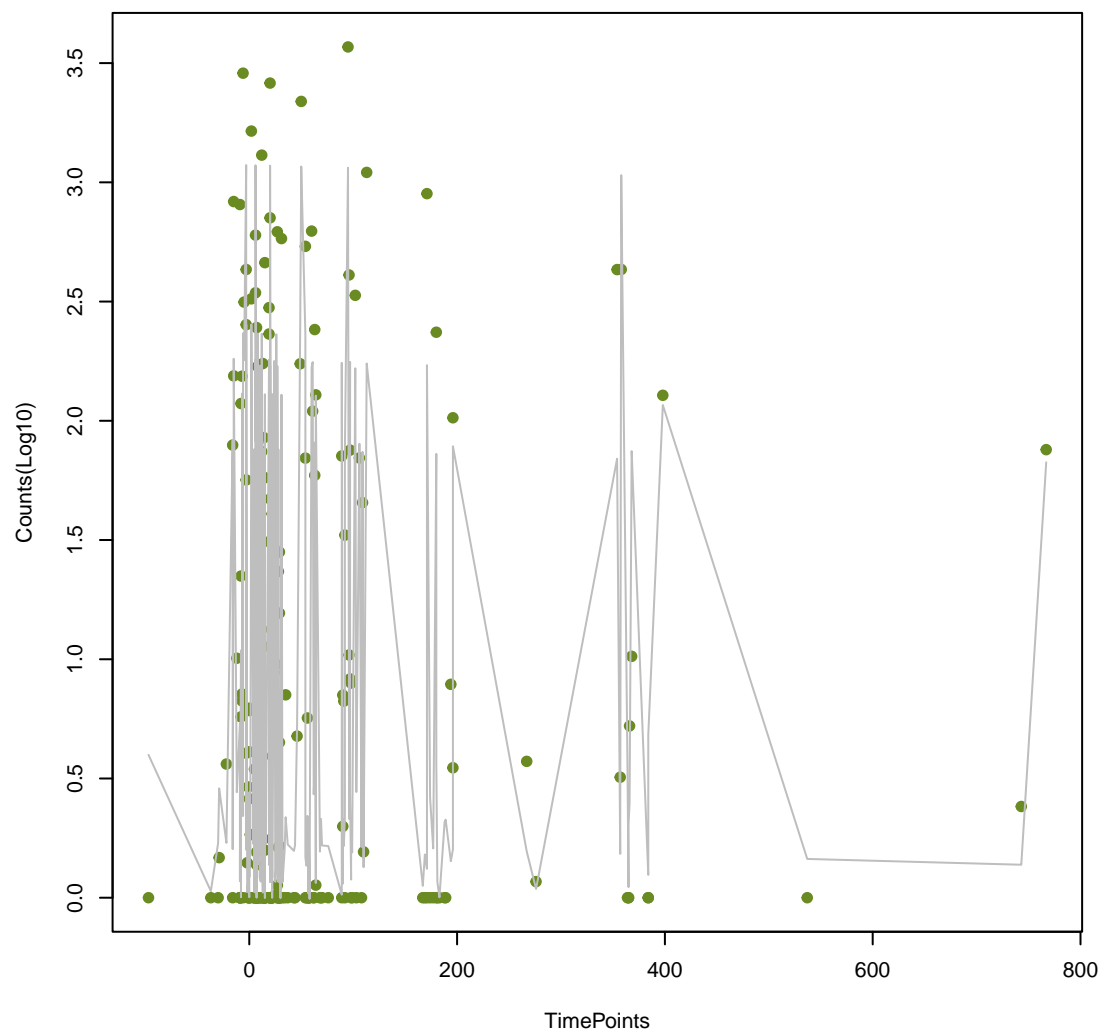
AcrE
ANOVA P=0.488, adj. ANOVA-P=0.687



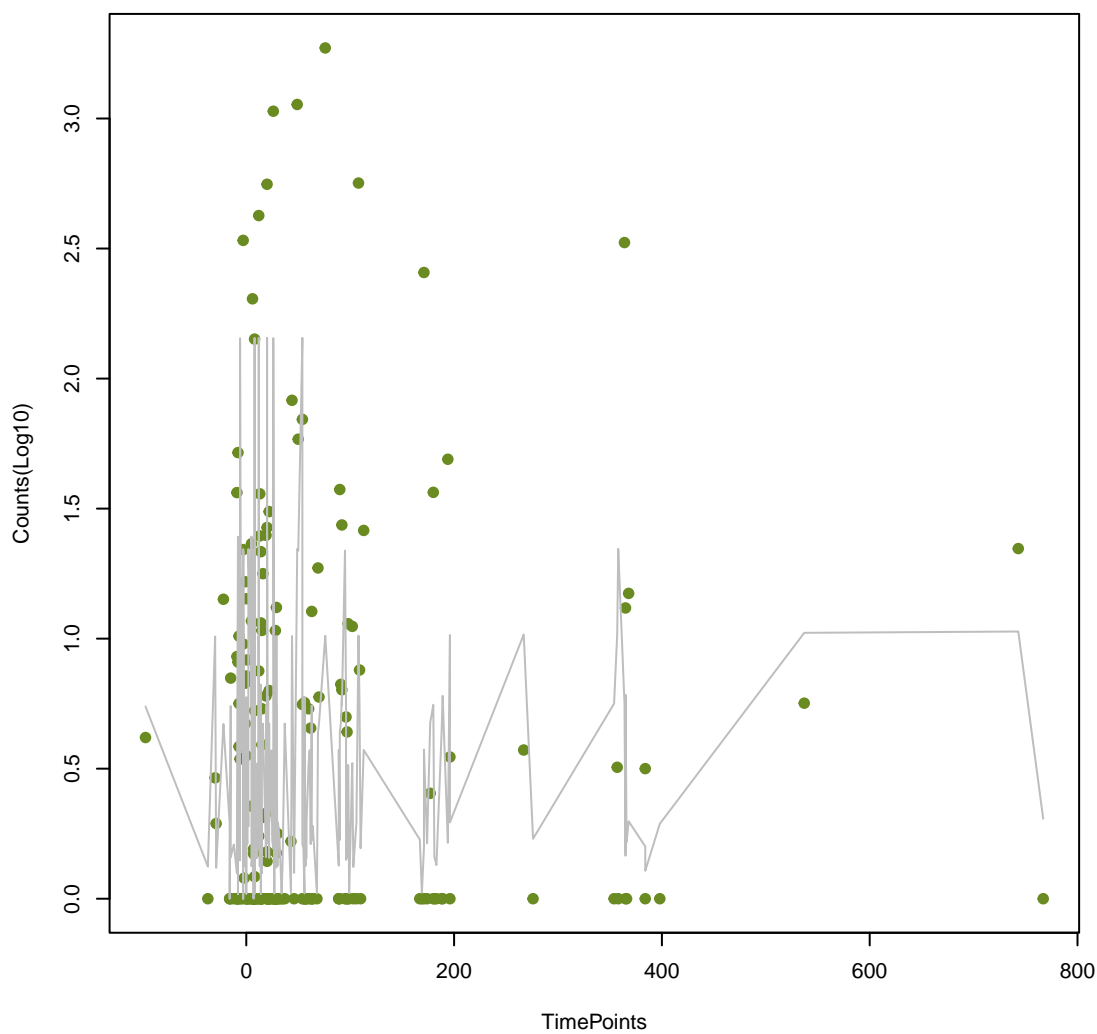
mphL
ANOVA P=0.49, adj. ANOVA-P=0.687



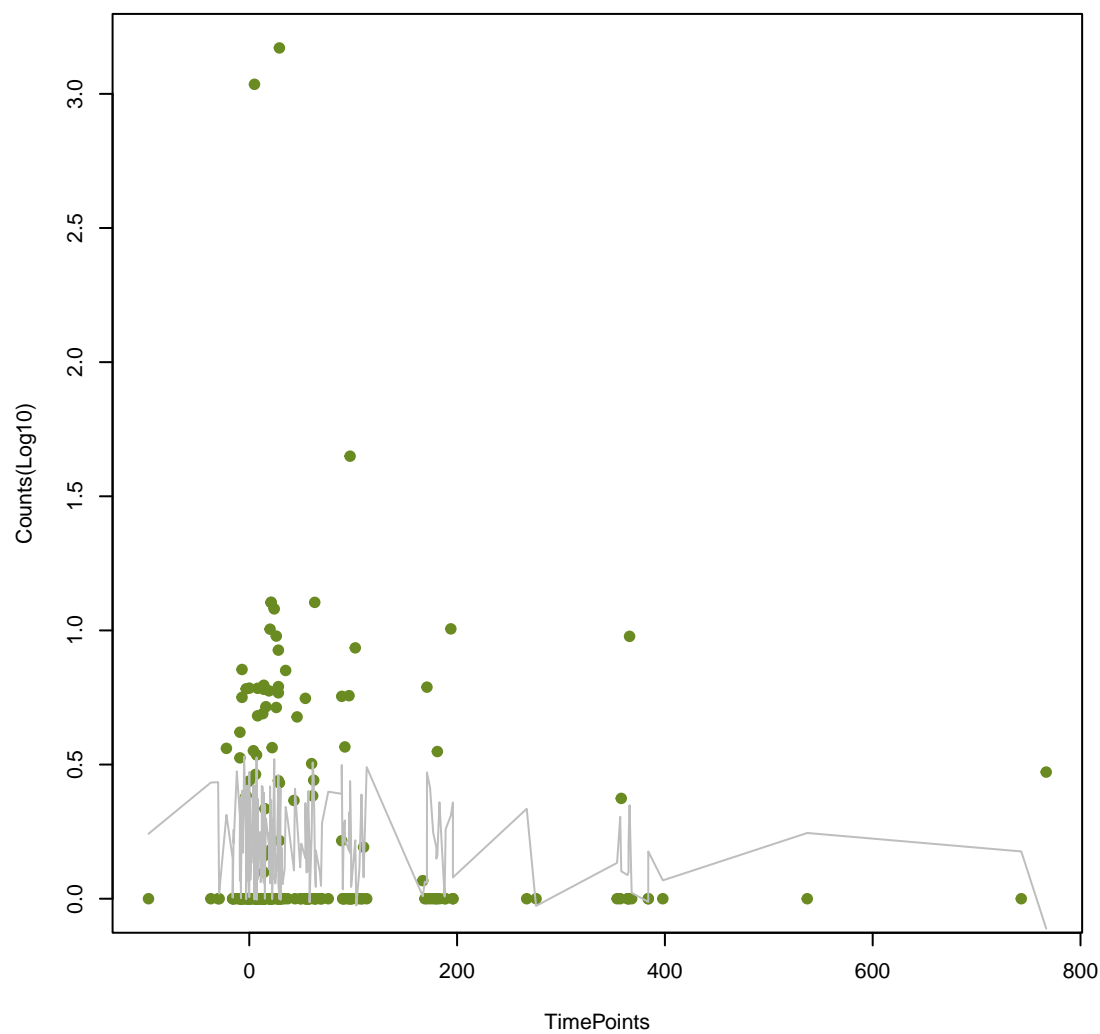
Tet(X1)
ANOVA P=0.499, adj. ANOVA-P=0.693



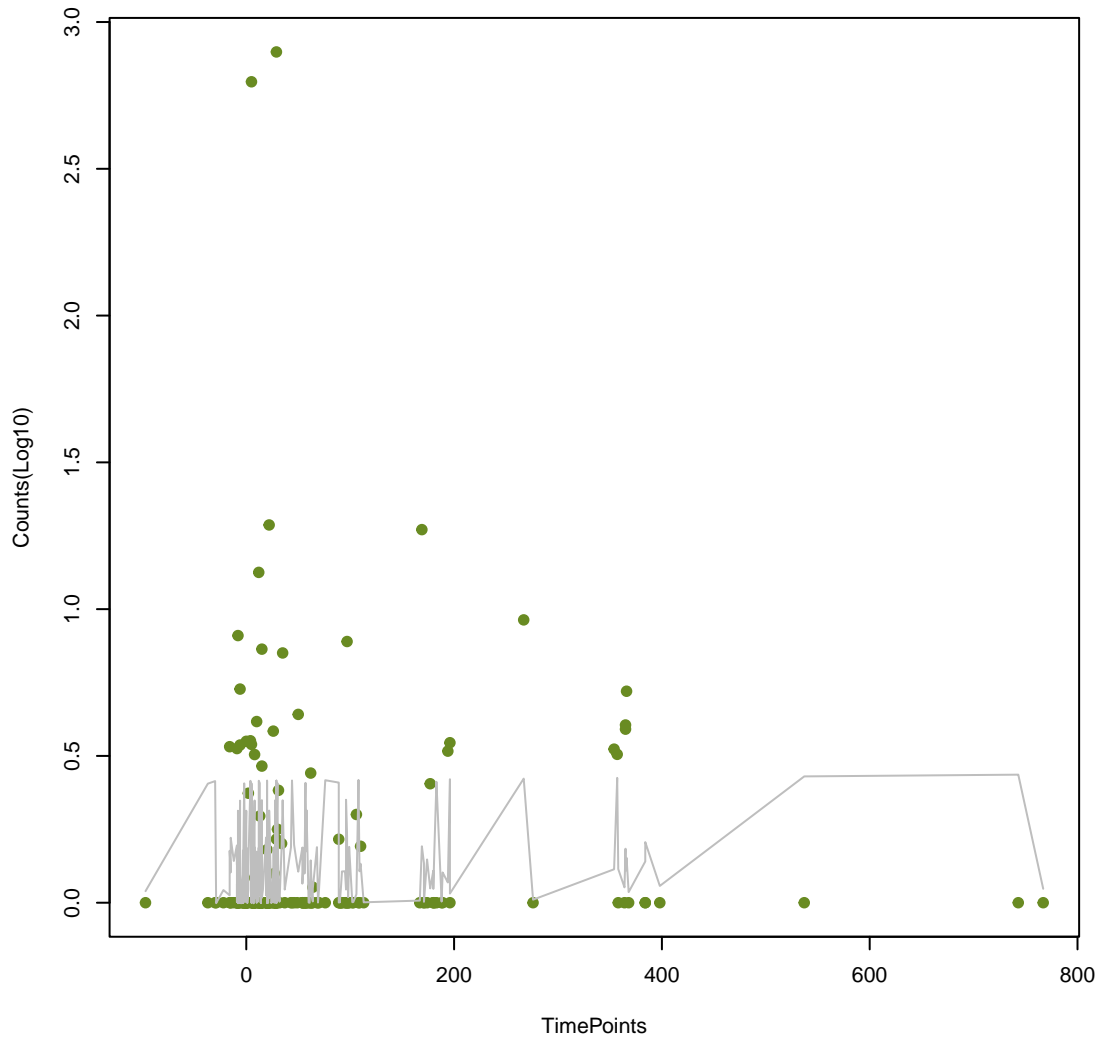
mdeA
ANOVA P=0.499, adj. ANOVA-P=0.693



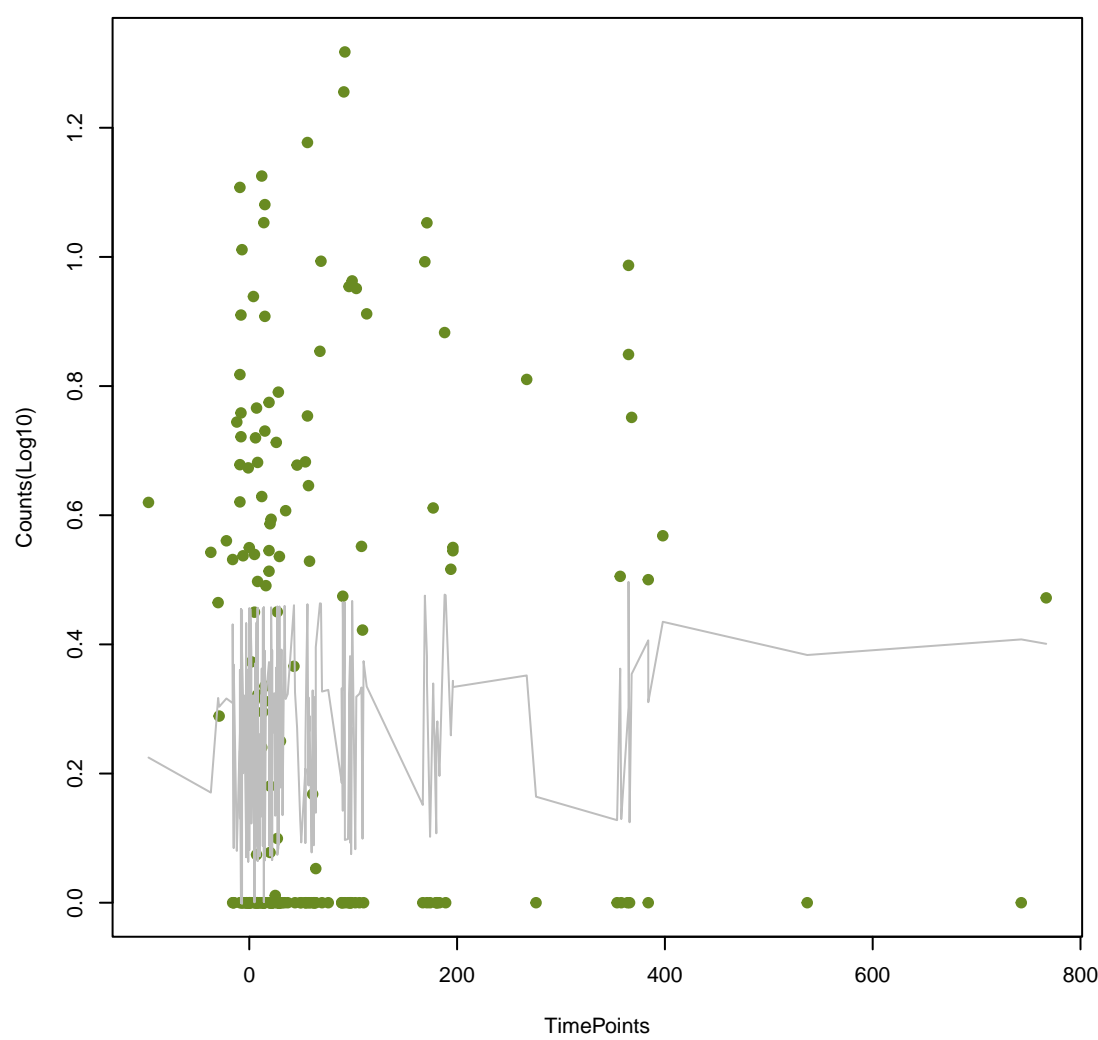
MuxB
ANOVA P=0.501, adj. ANOVA-P=0.693



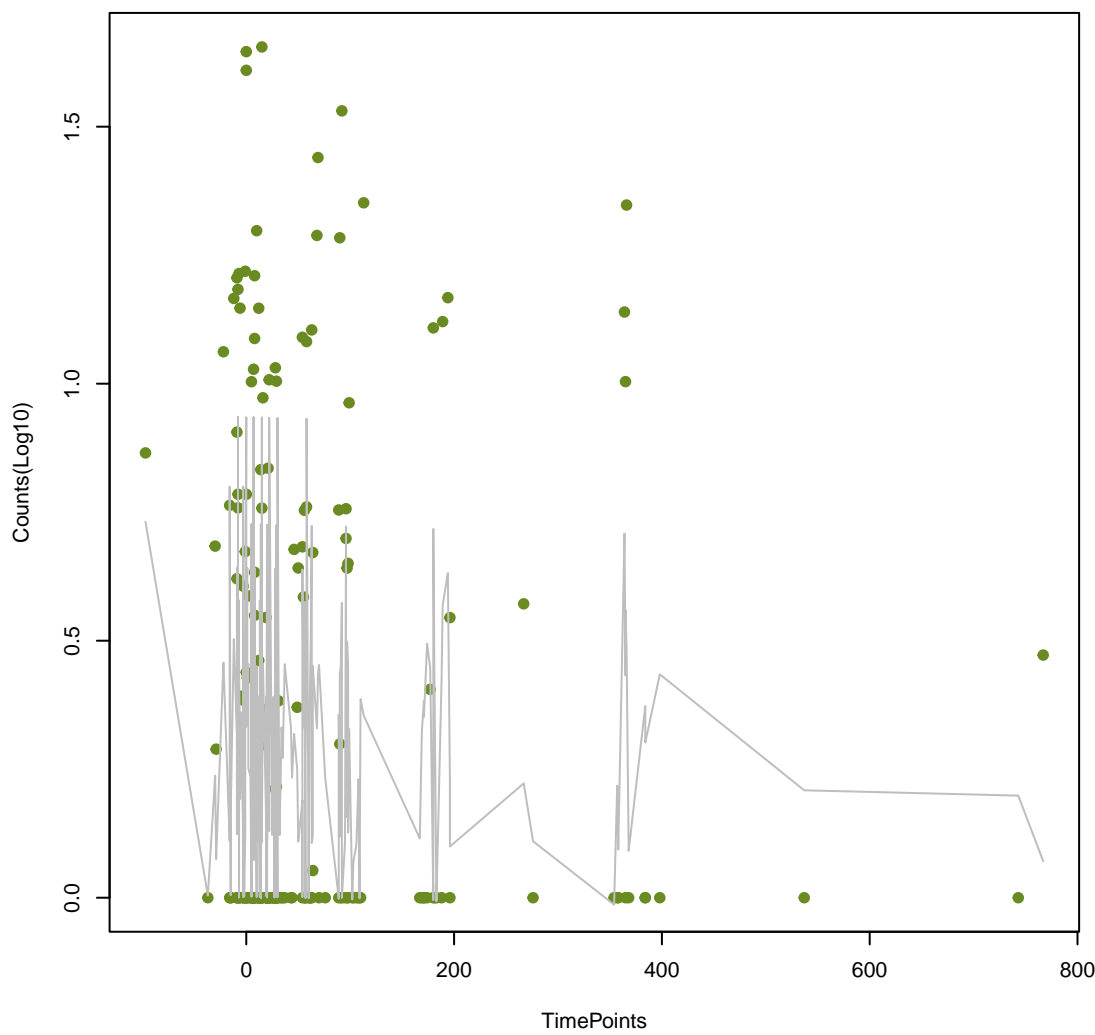
opmE
ANOVA P=0.506, adj. ANOVA-P=0.698



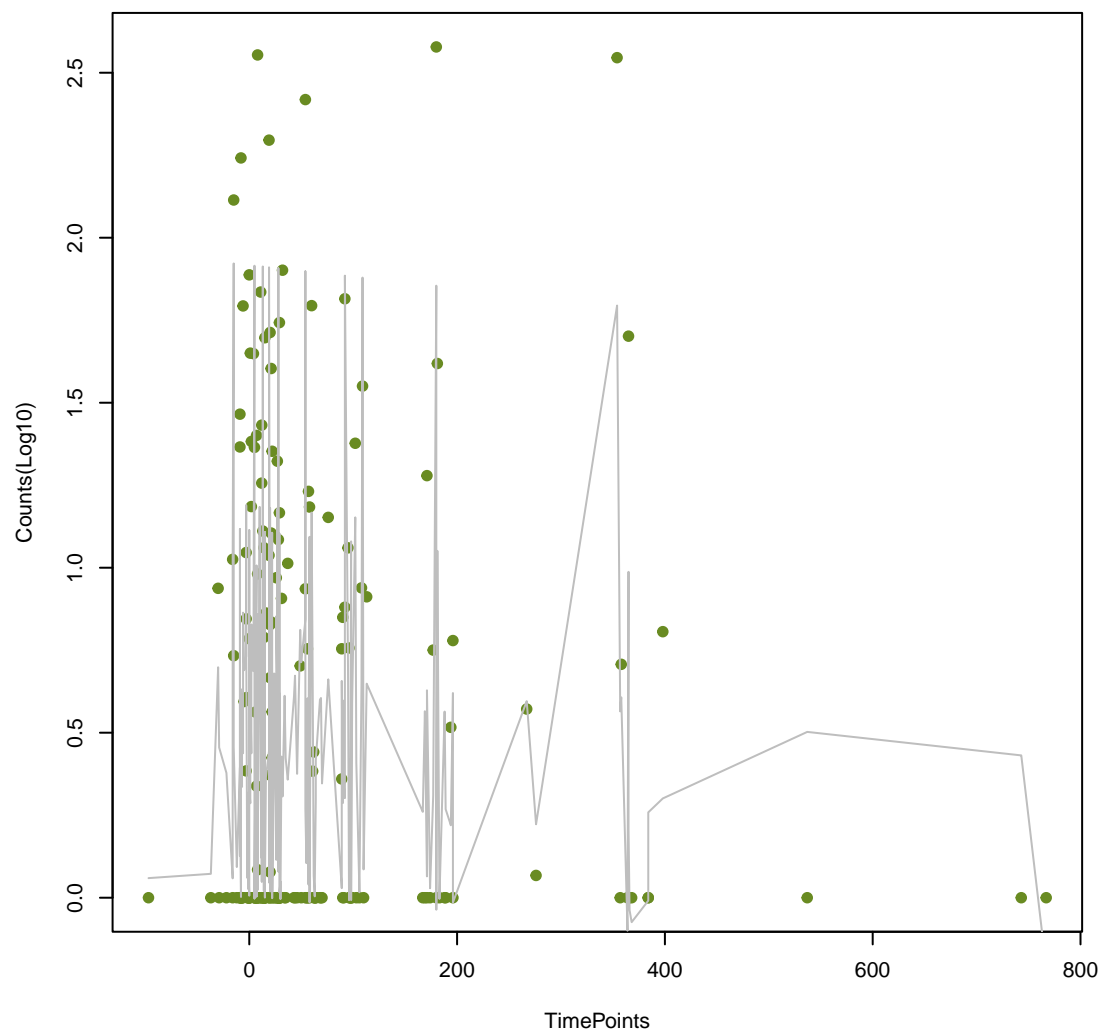
LHK-2
ANOVA P=0.518, adj. ANOVA-P=0.706



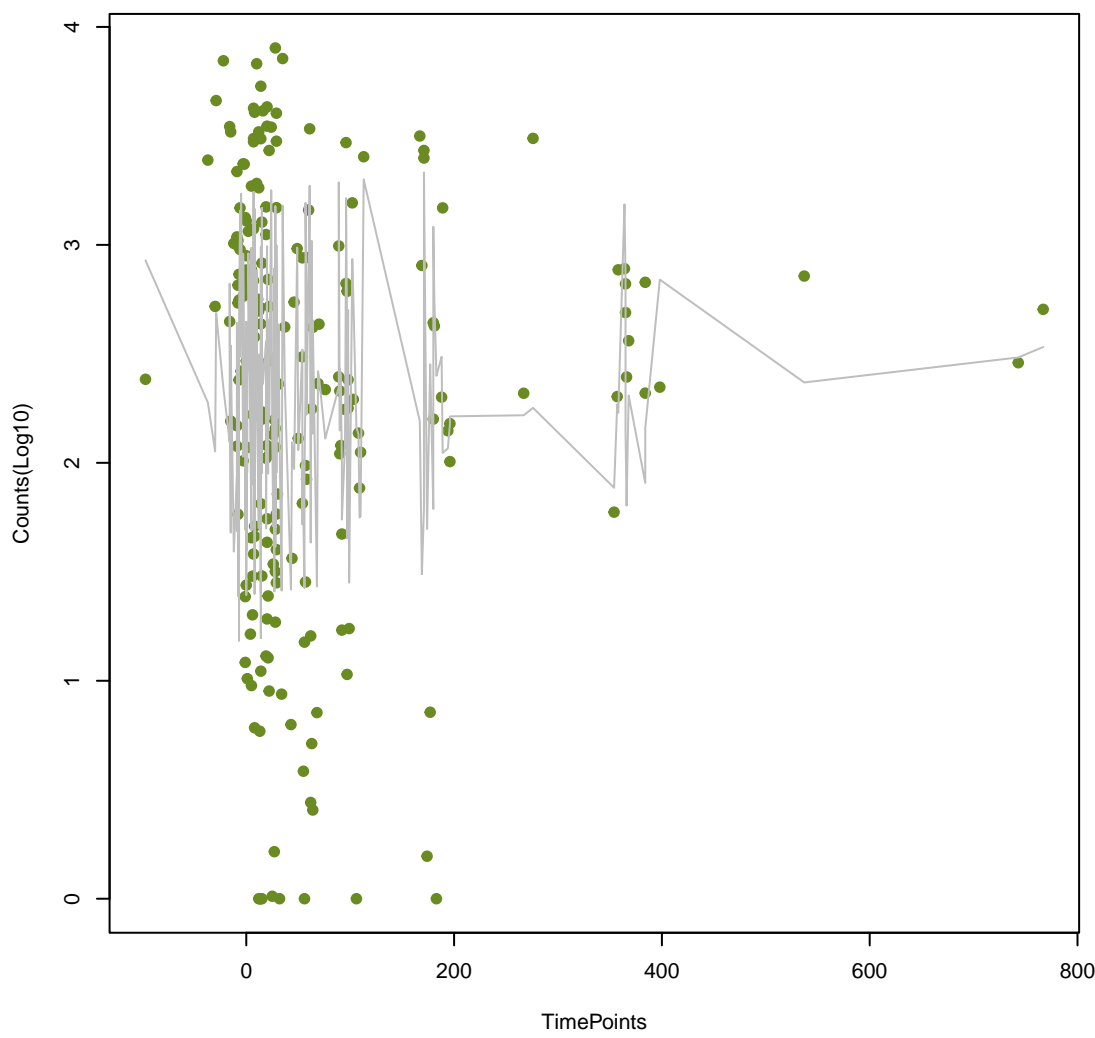
Rm3
ANOVA P=0.52, adj. ANOVA-P=0.706



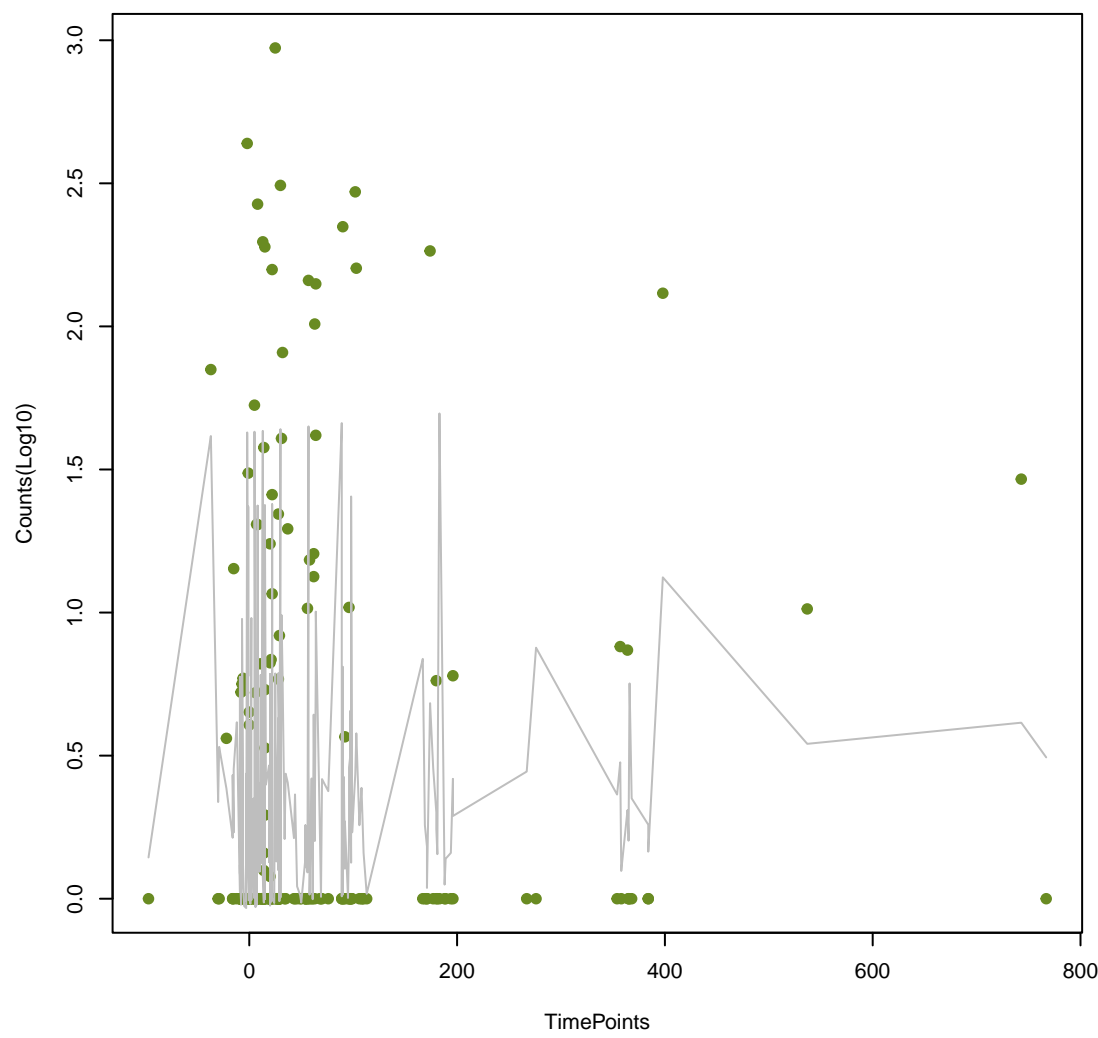
Erm(35)
ANOVA P=0.521, adj. ANOVA-P=0.706



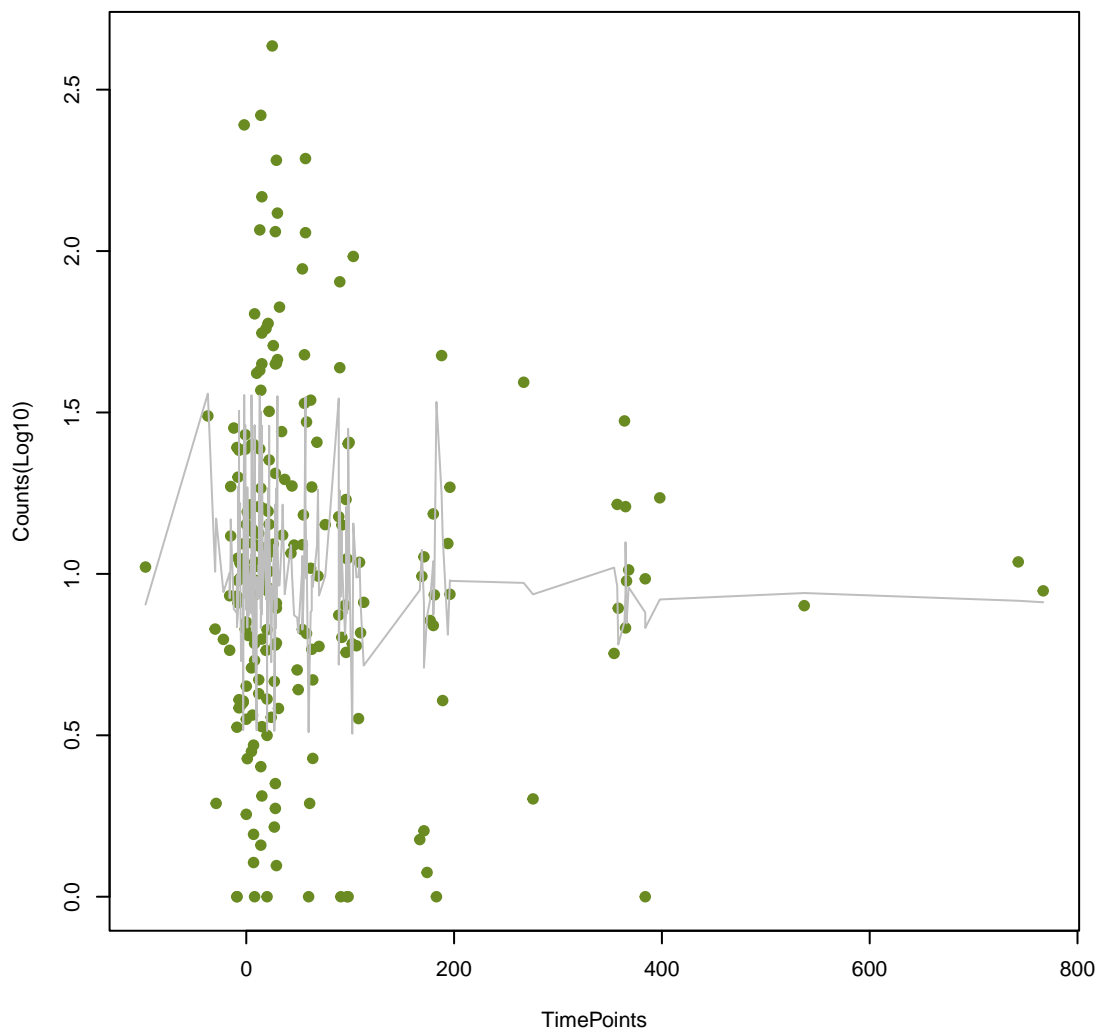
ErmB
ANOVA P=0.524, adj. ANOVA-P=0.706



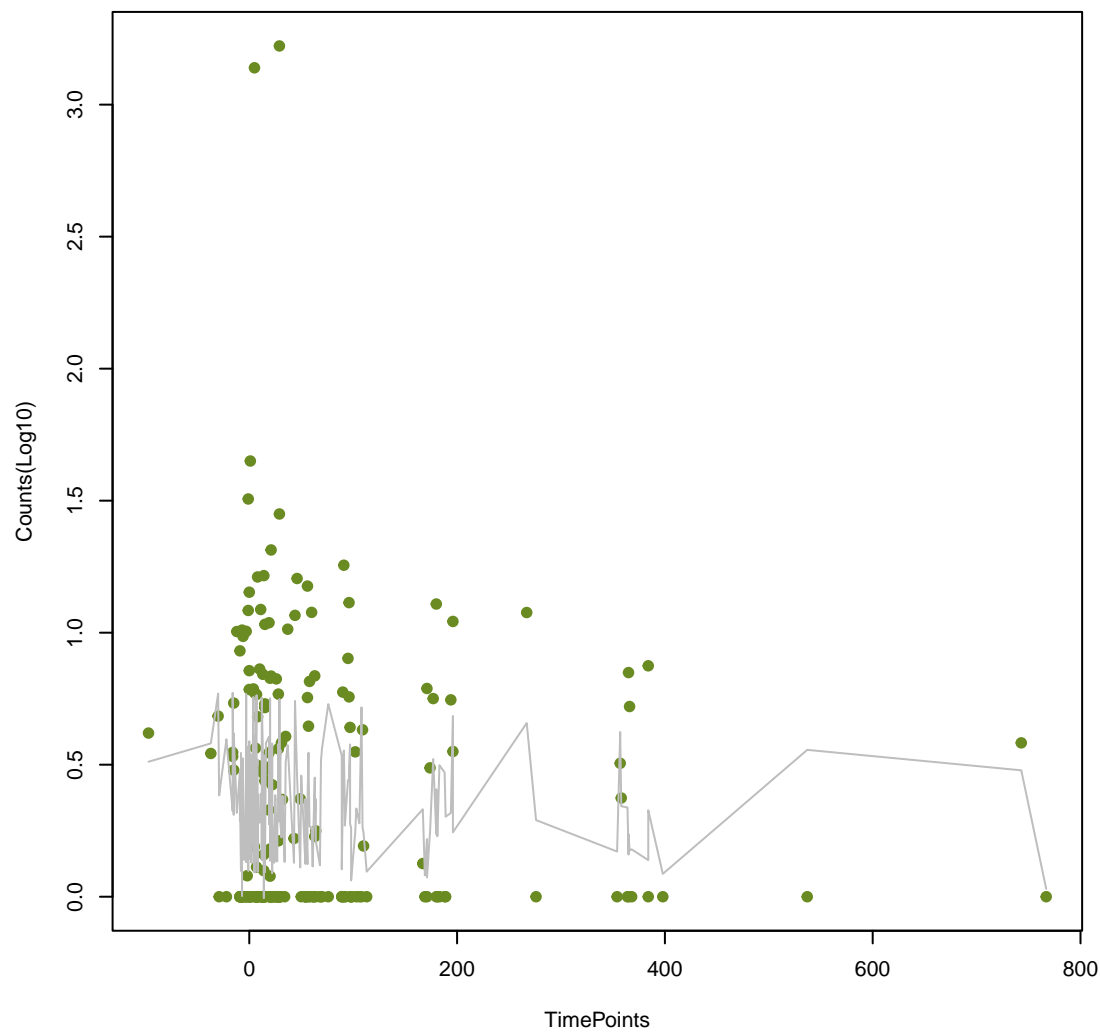
AAC(6')-Ib7
ANOVA P=0.524, adj. ANOVA-P=0.706



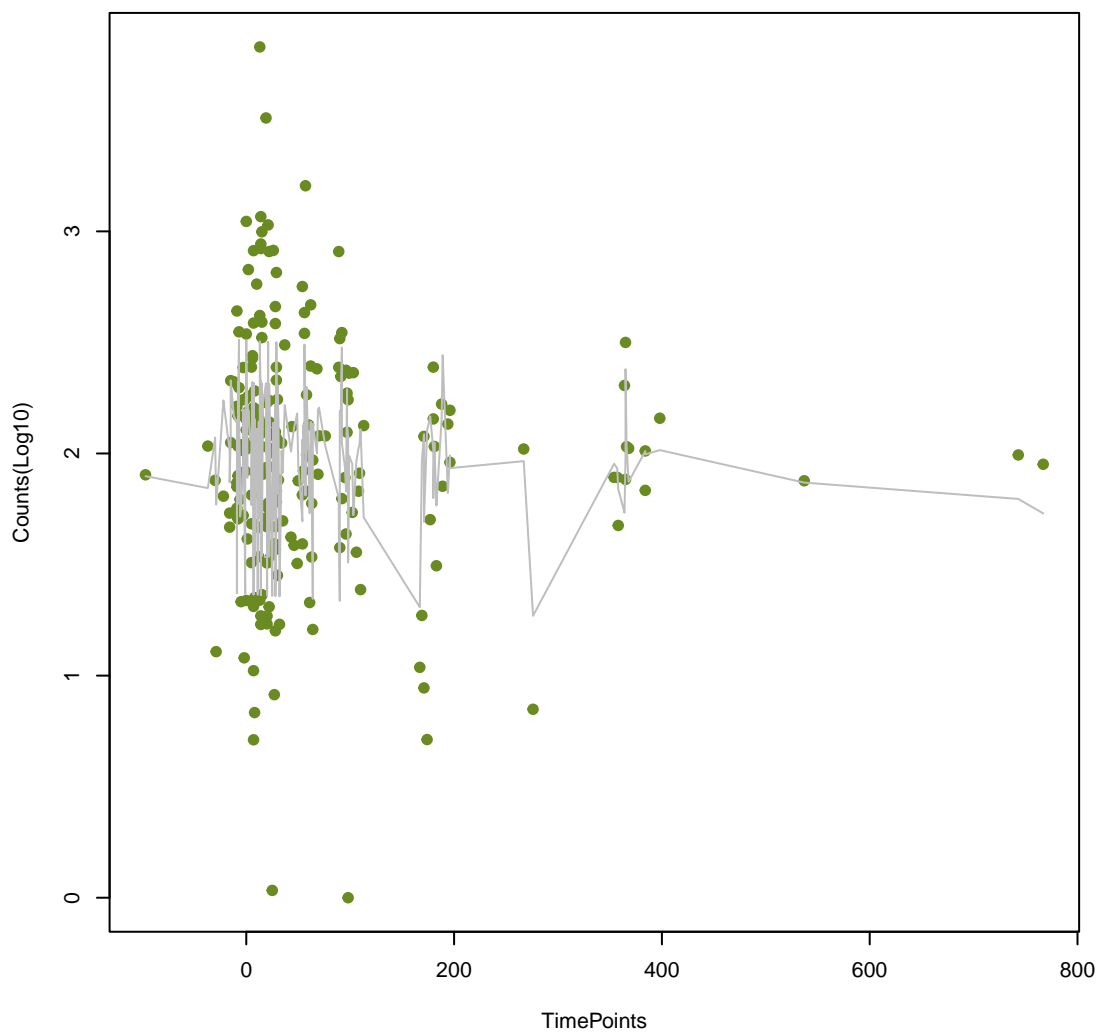
qacE
ANOVA P=0.533, adj. ANOVA-P=0.711



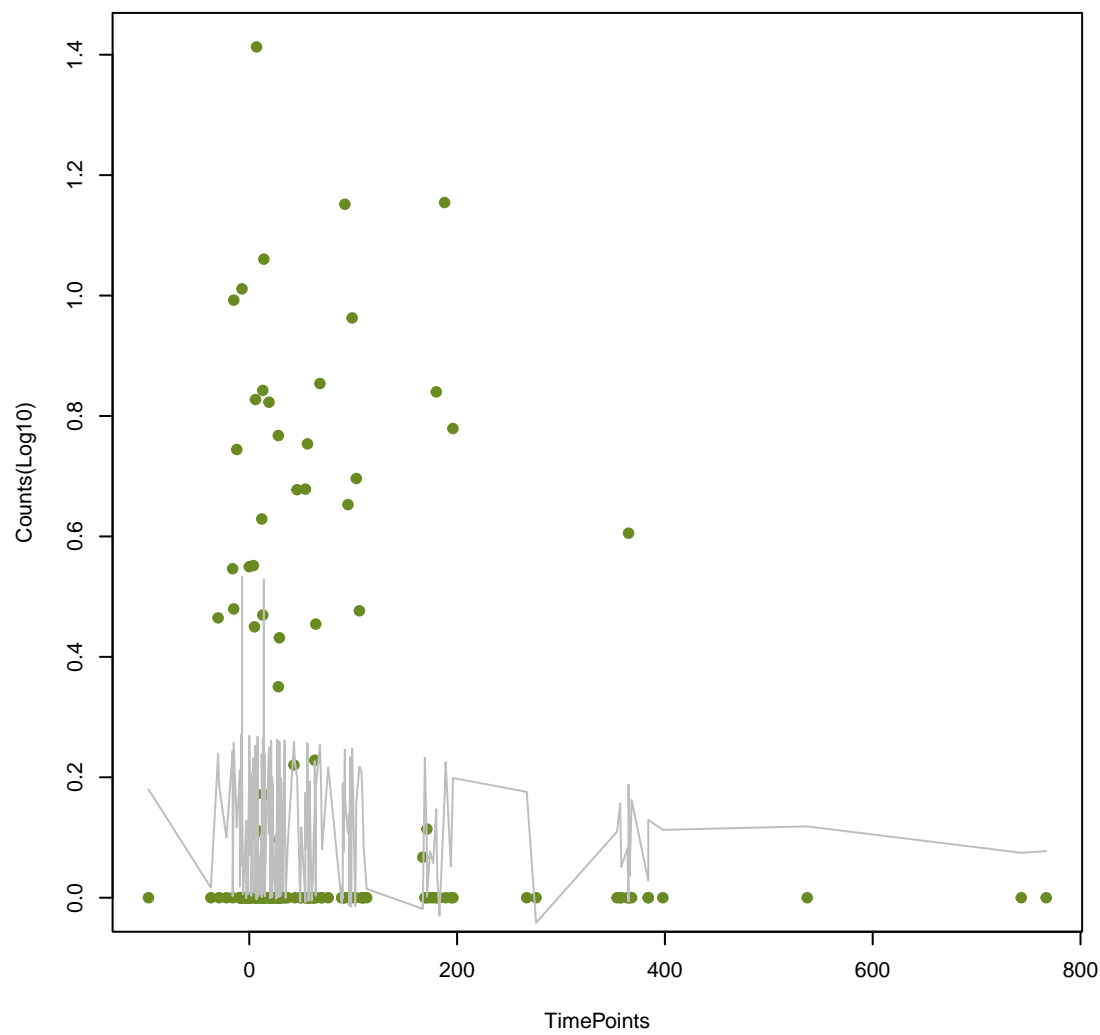
MexD
ANOVA P=0.533, adj. ANOVA-P=0.711



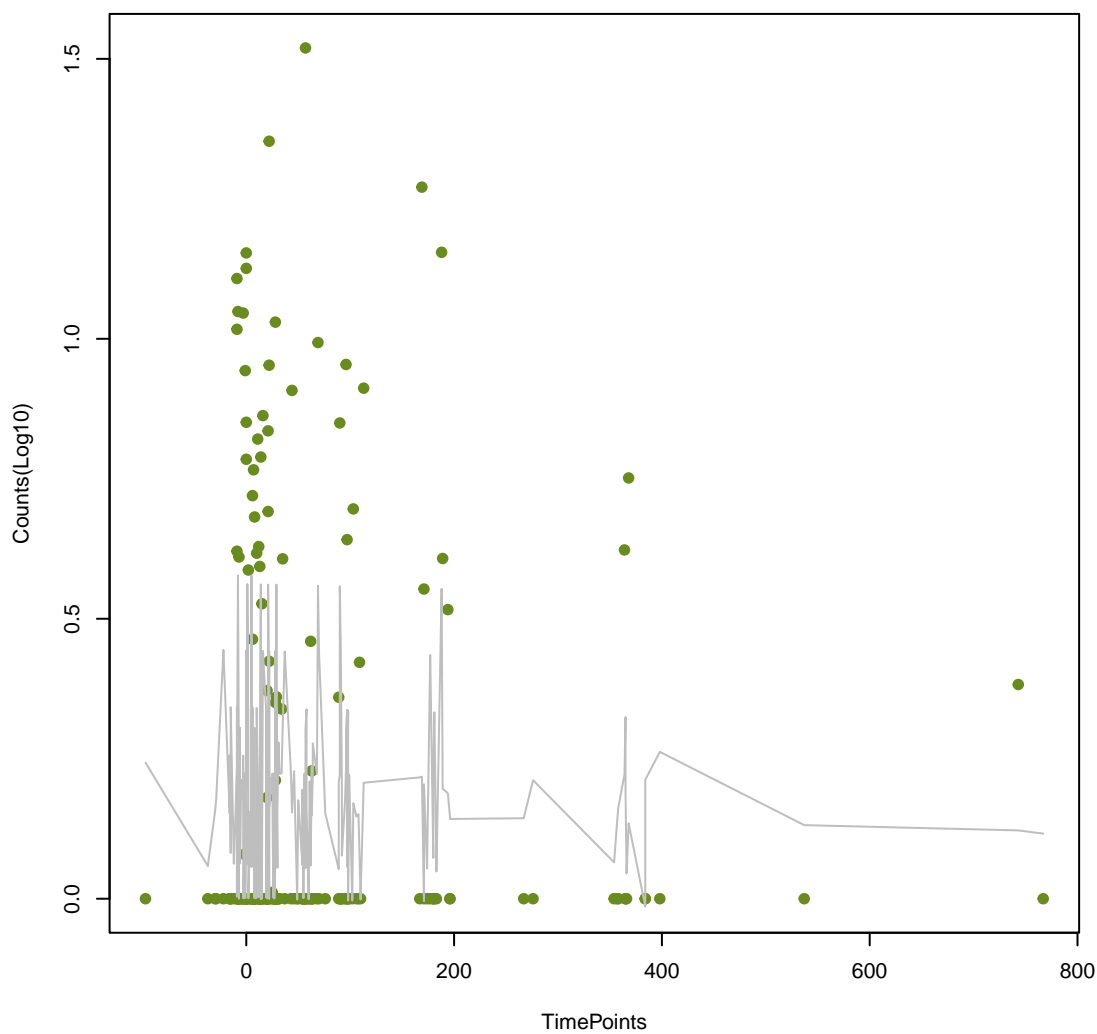
Paer_emrE
ANOVA P=0.538, adj. ANOVA-P=0.715



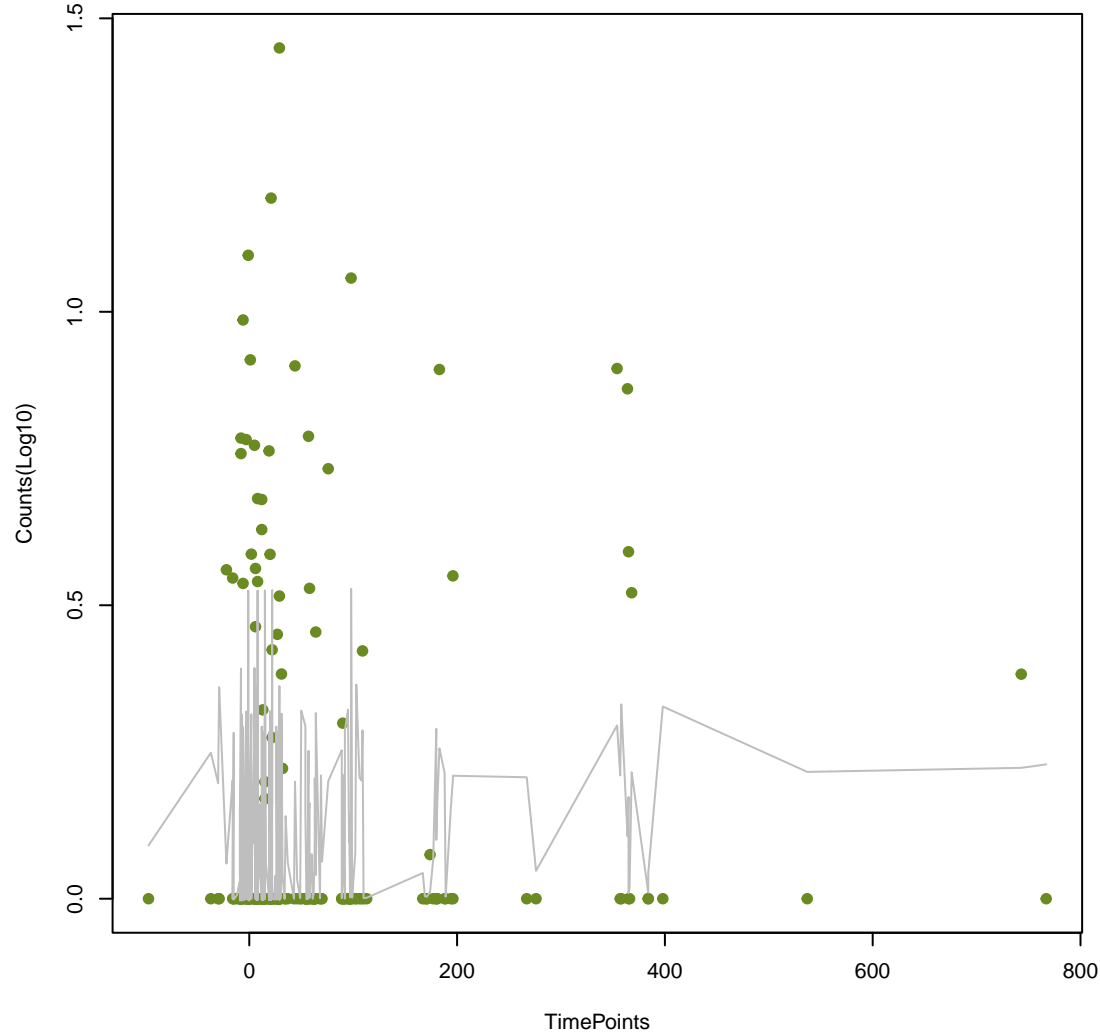
RAHN-1
ANOVA P=0.55, adj. ANOVA-P=0.727



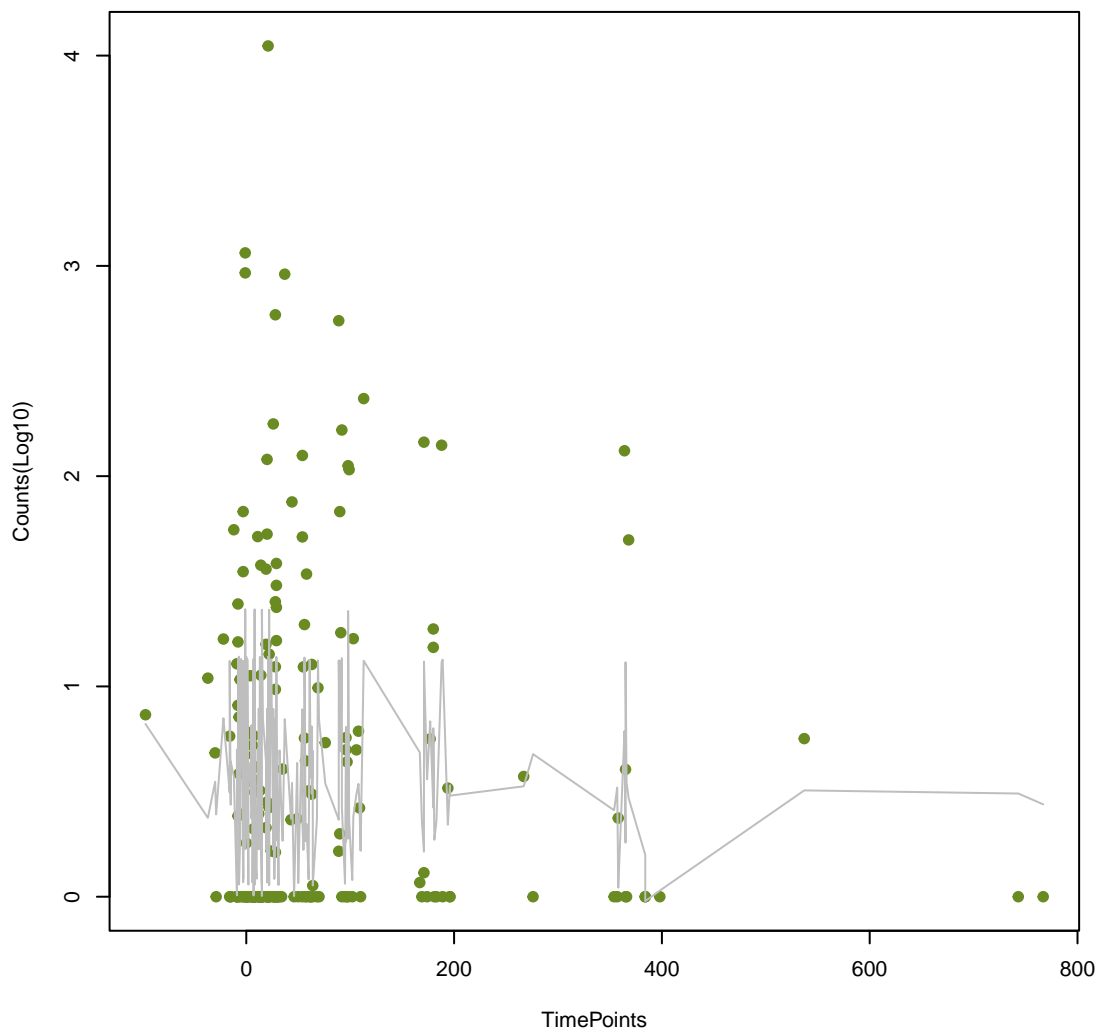
TaeA
ANOVA P=0.561, adj. ANOVA-P=0.738



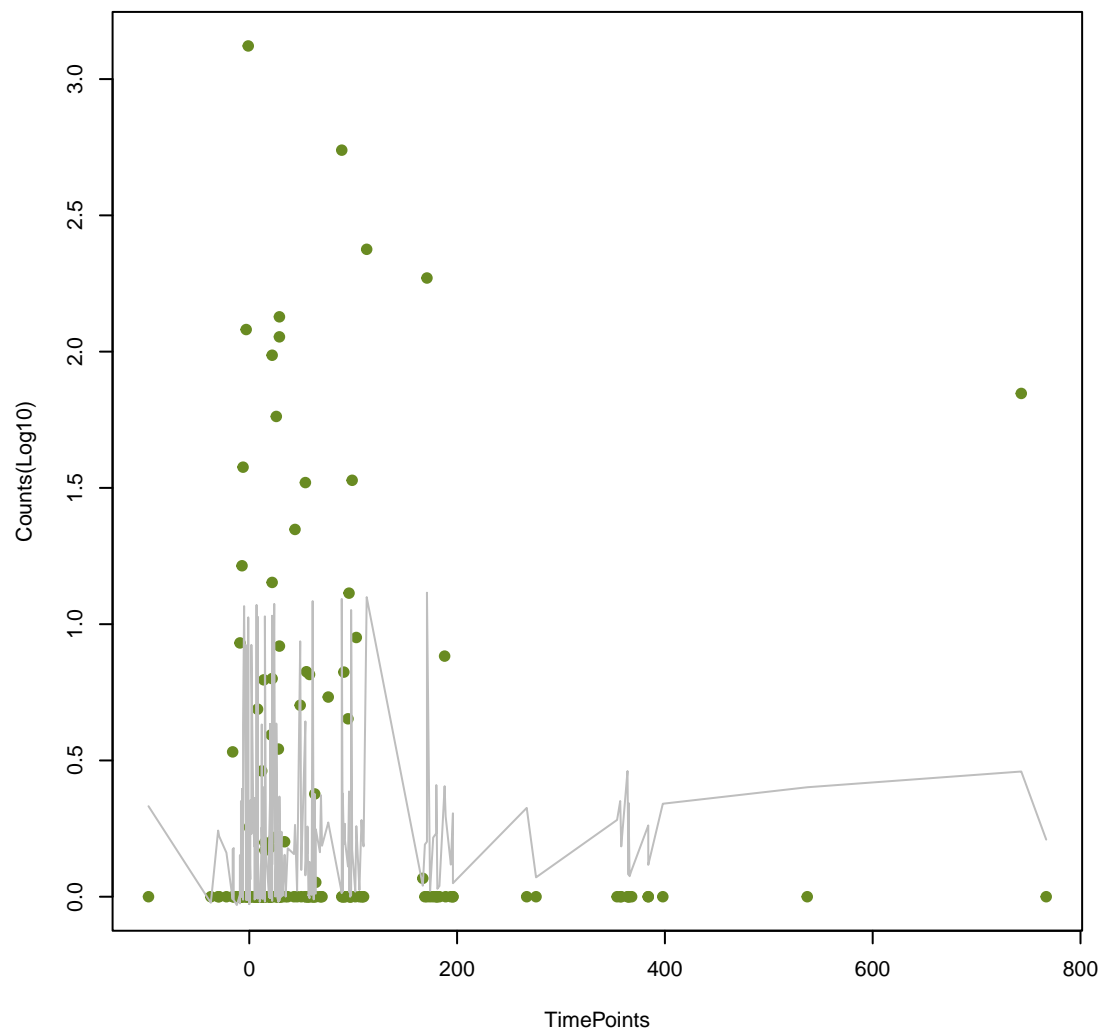
CMY-20
ANOVA P=0.567, adj. ANOVA-P=0.743



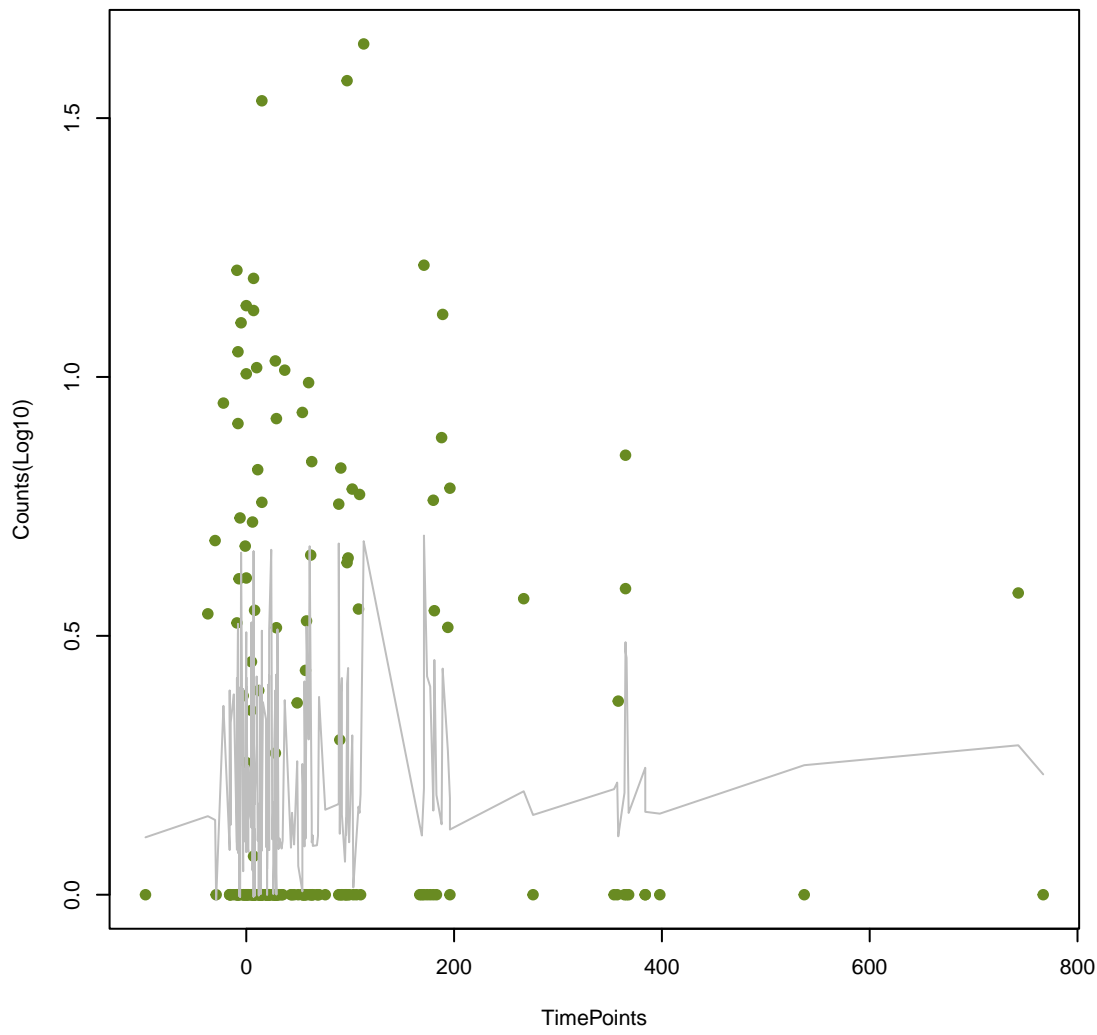
tetA(P)
ANOVA P=0.569, adj. ANOVA-P=0.743



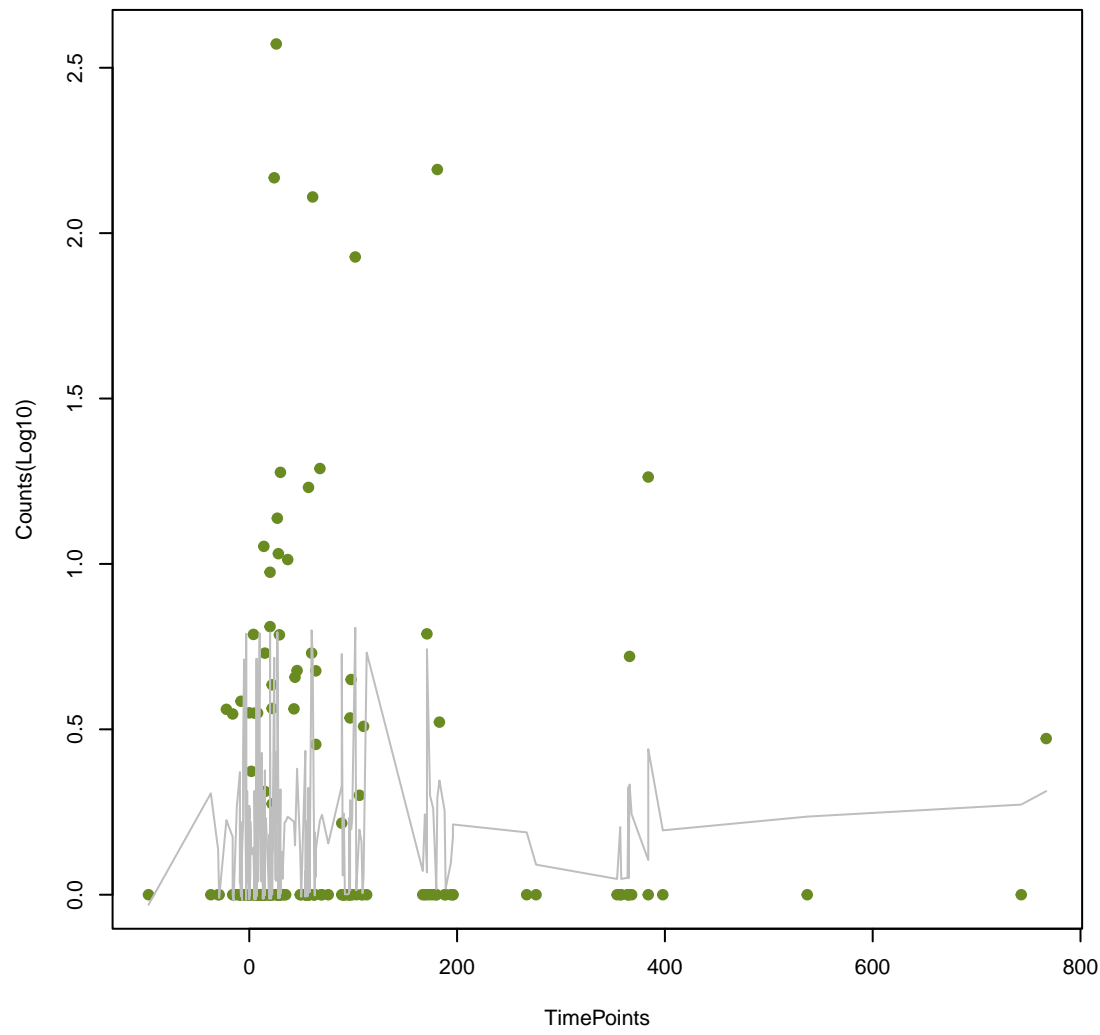
LnuP
ANOVA P=0.572, adj. ANOVA-P=0.743



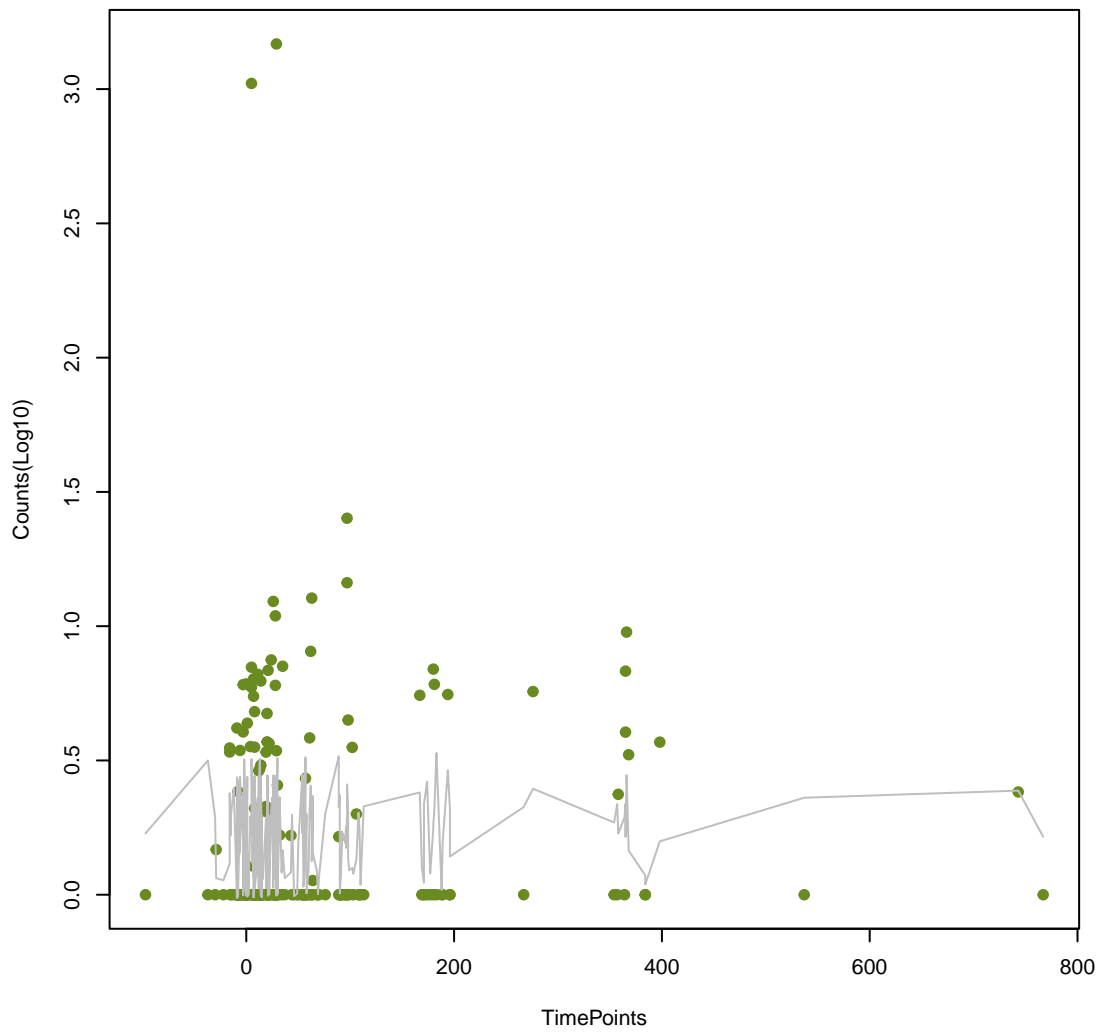
DHA-28
ANOVA P=0.581, adj. ANOVA-P=0.751



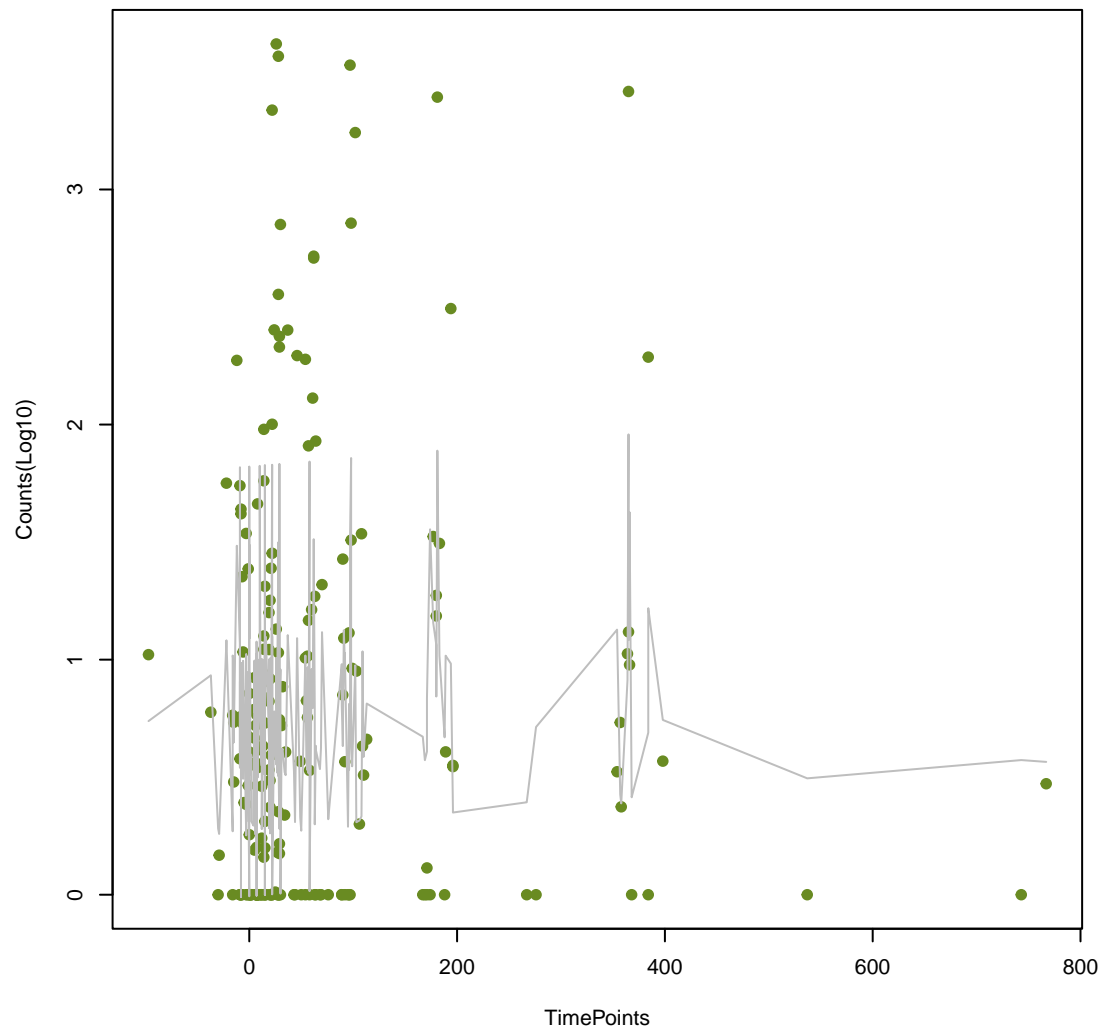
SHV-53
ANOVA P=0.586, adj. ANOVA-P=0.754



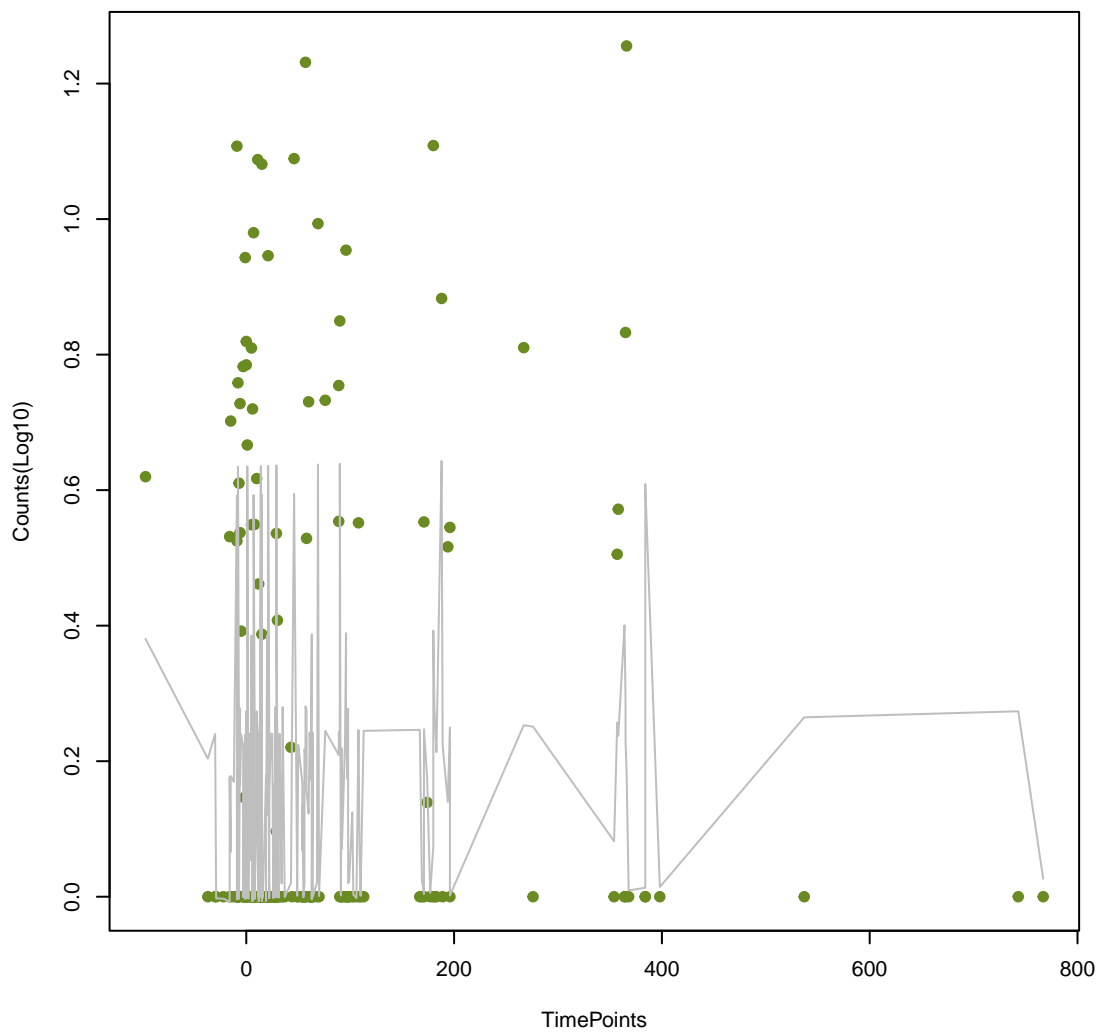
MuxC
ANOVA P=0.589, adj. ANOVA-P=0.754



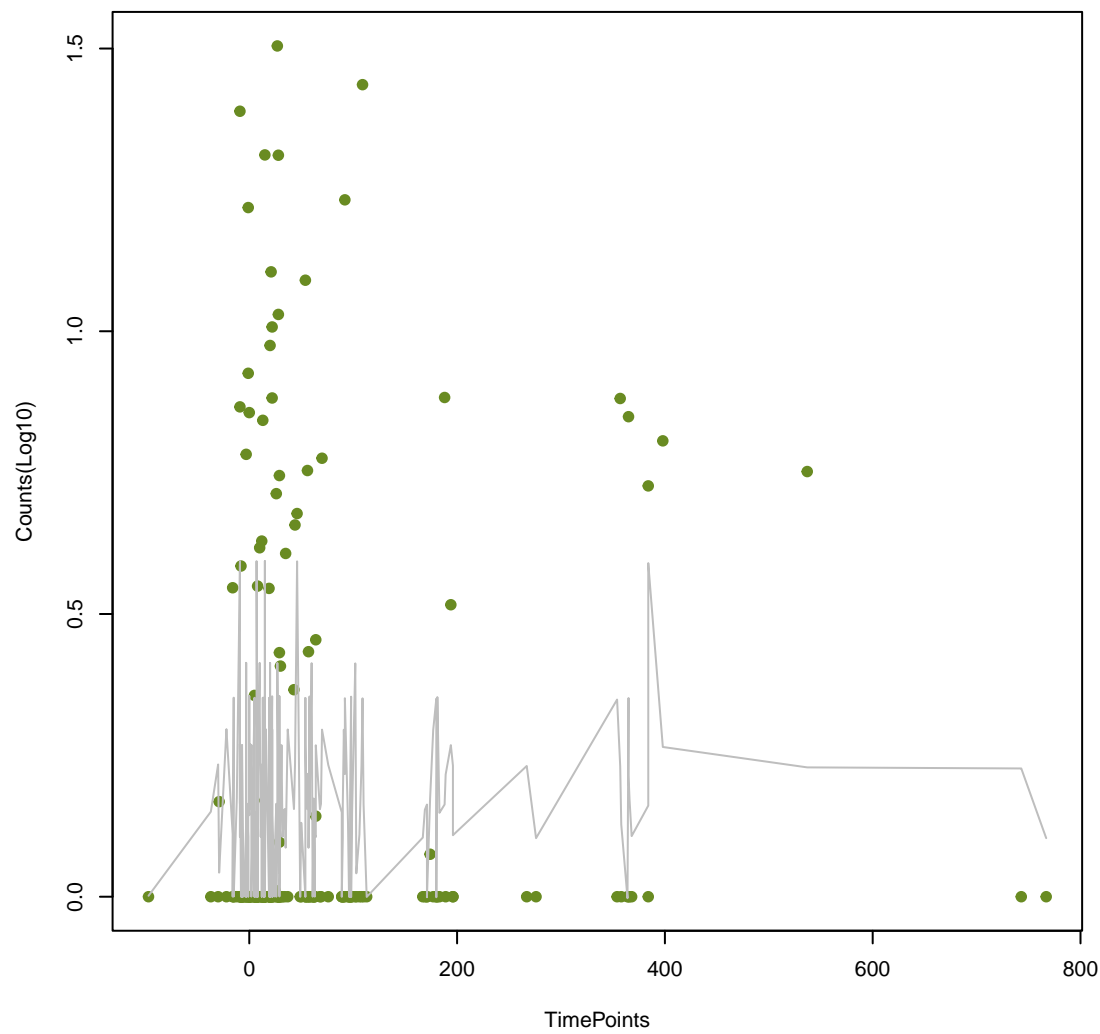
oqxB
ANOVA P=0.591, adj. ANOVA-P=0.754



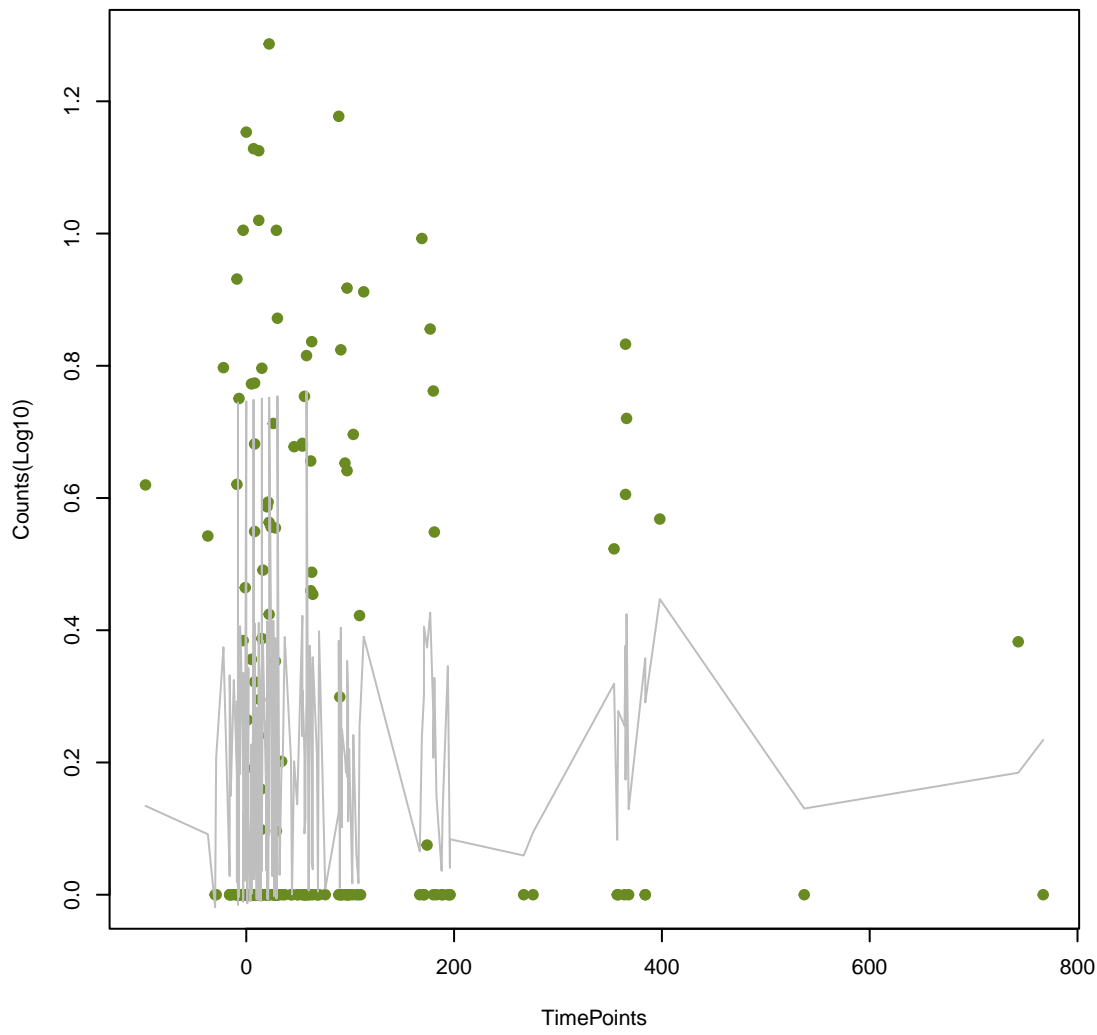
oleB
ANOVA P=0.593, adj. ANOVA-P=0.754



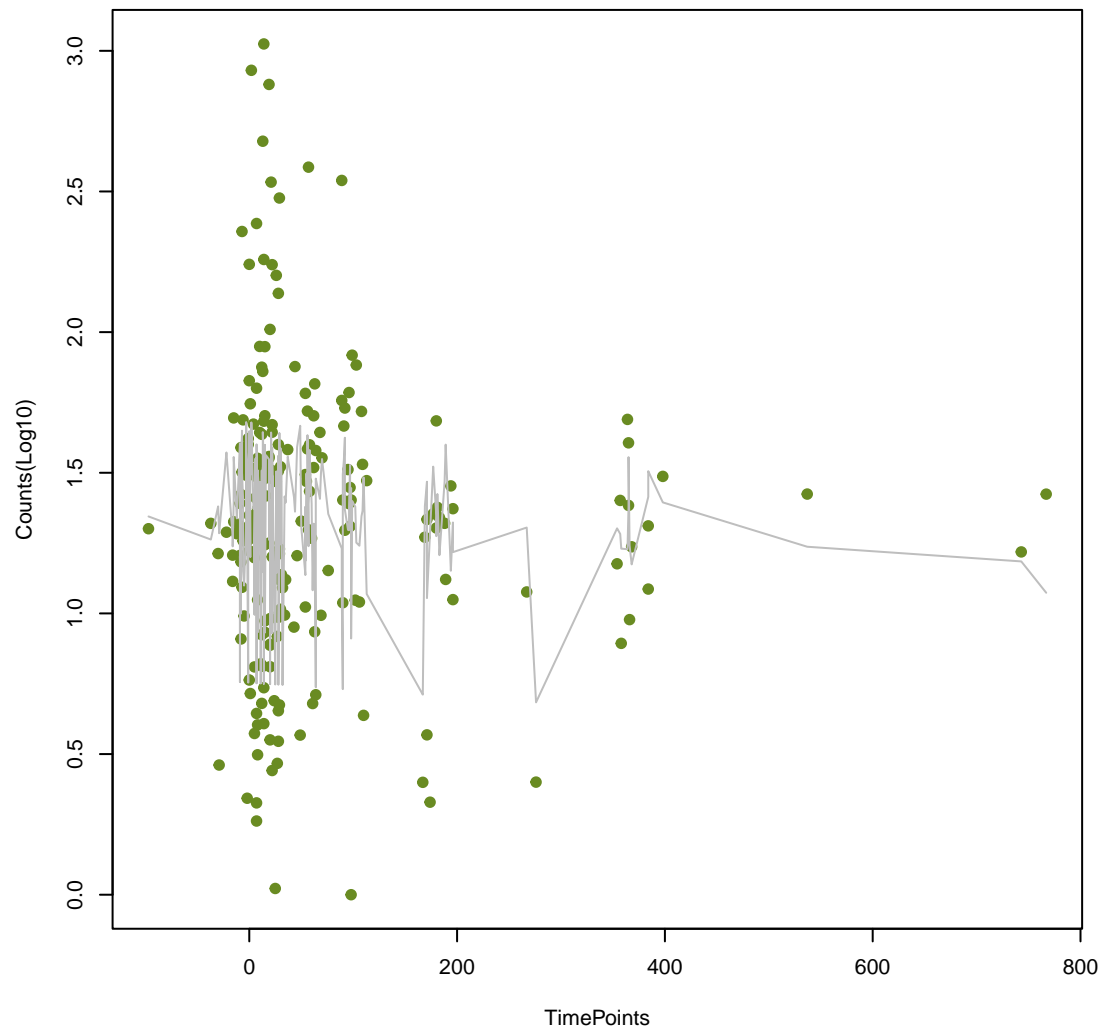
tet(41)
ANOVA P=0.596, adj. ANOVA-P=0.754



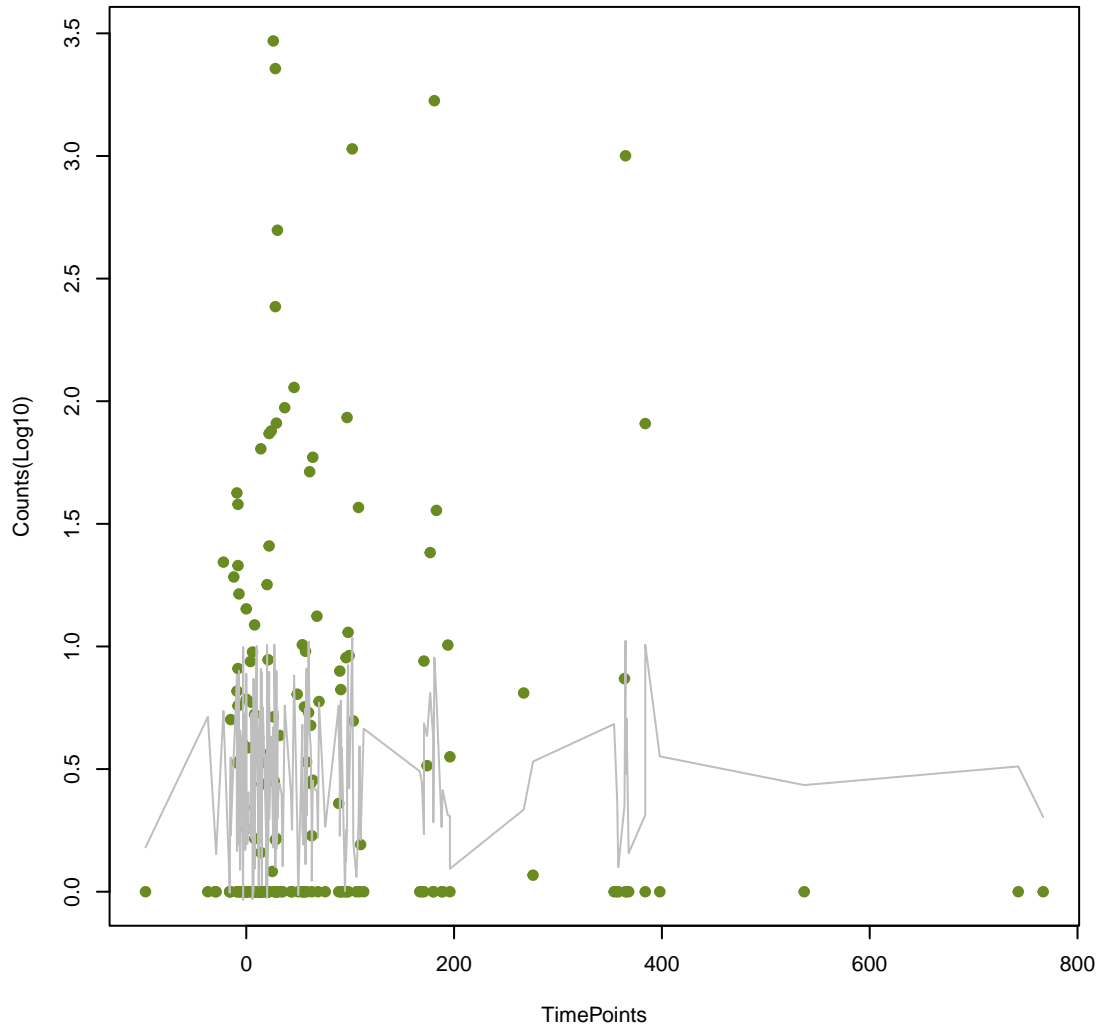
ceoB
ANOVA P=0.599, adj. ANOVA-P=0.755



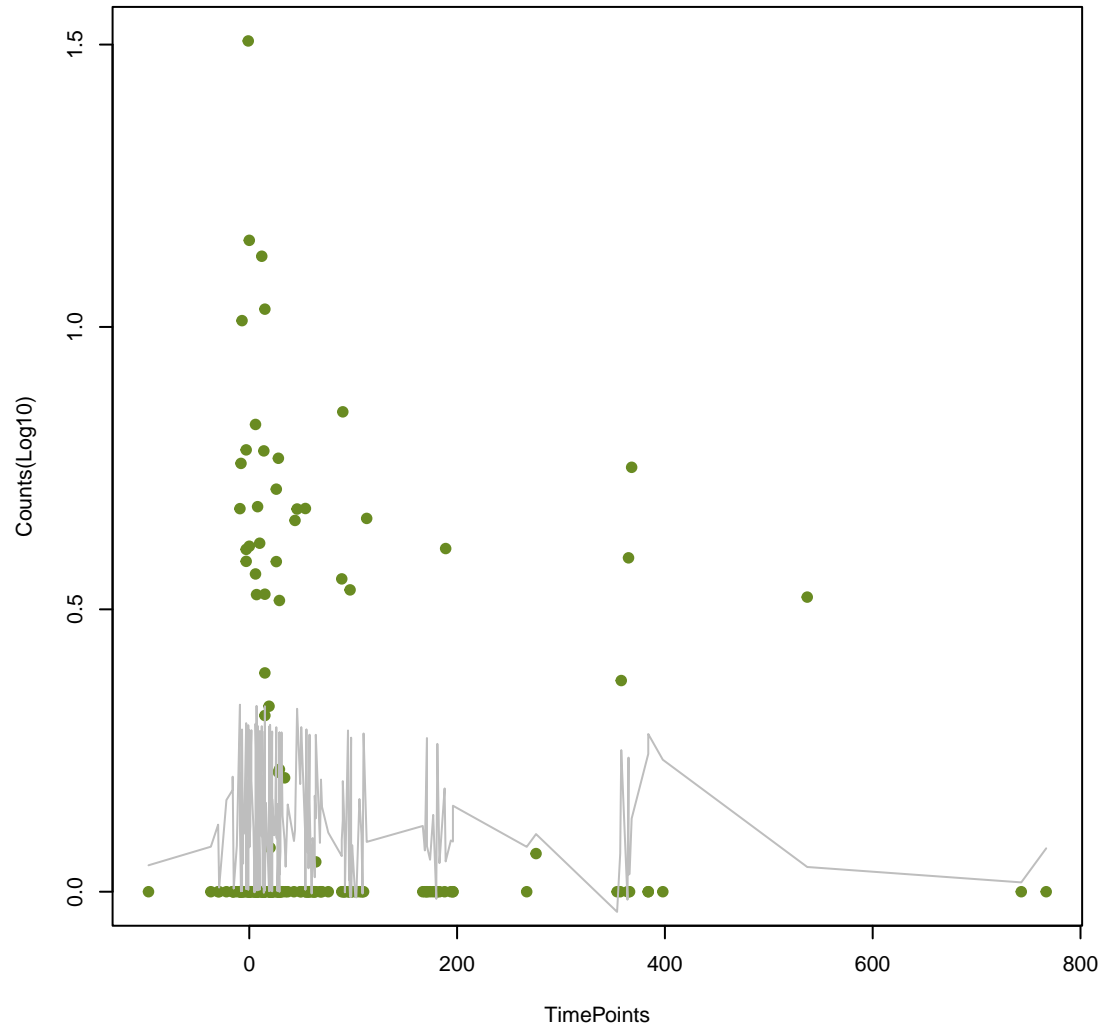
dfrB7
ANOVA P=0.61, adj. ANOVA-P=0.767



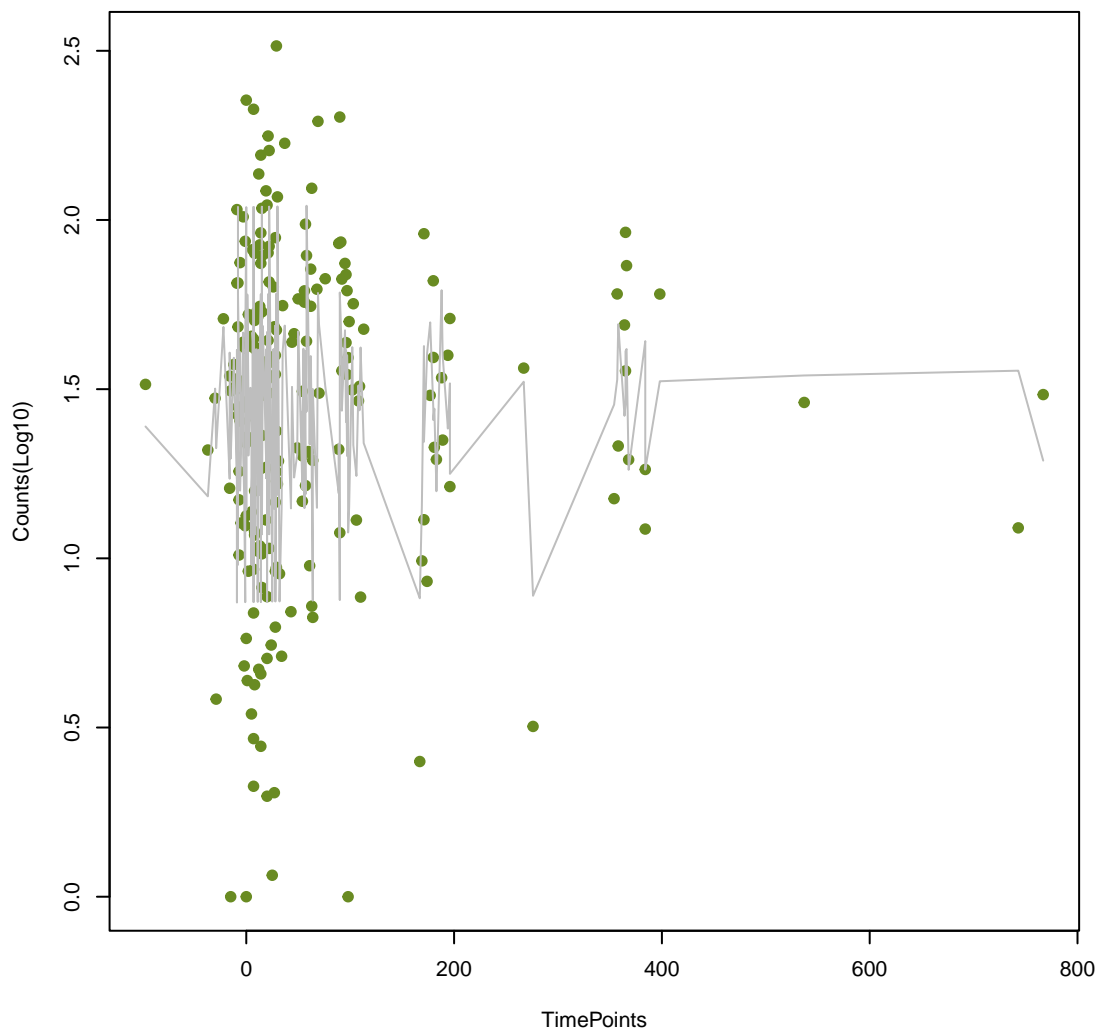
eptB
ANOVA P=0.615, adj. ANOVA-P=0.769



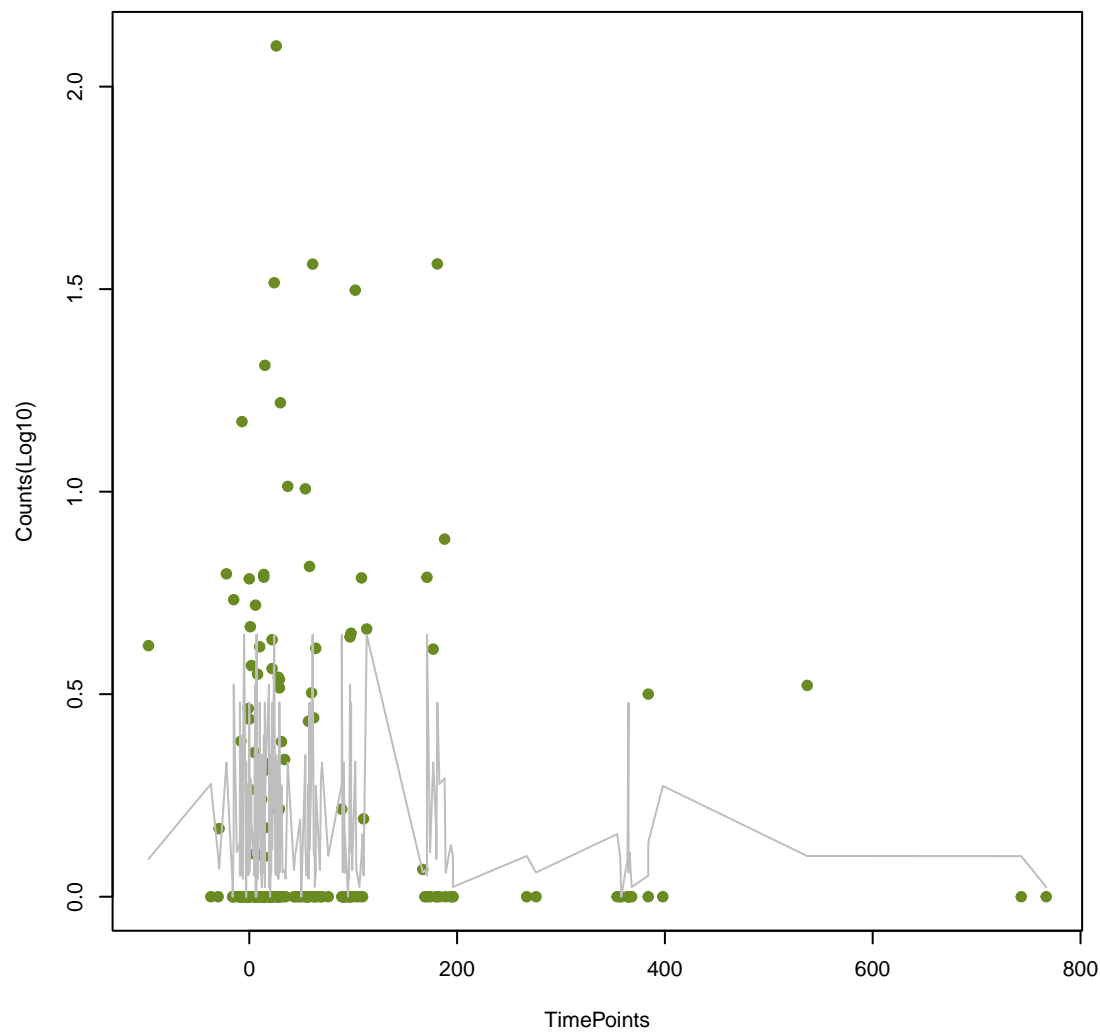
ErmN
ANOVA P=0.618, adj. ANOVA-P=0.771



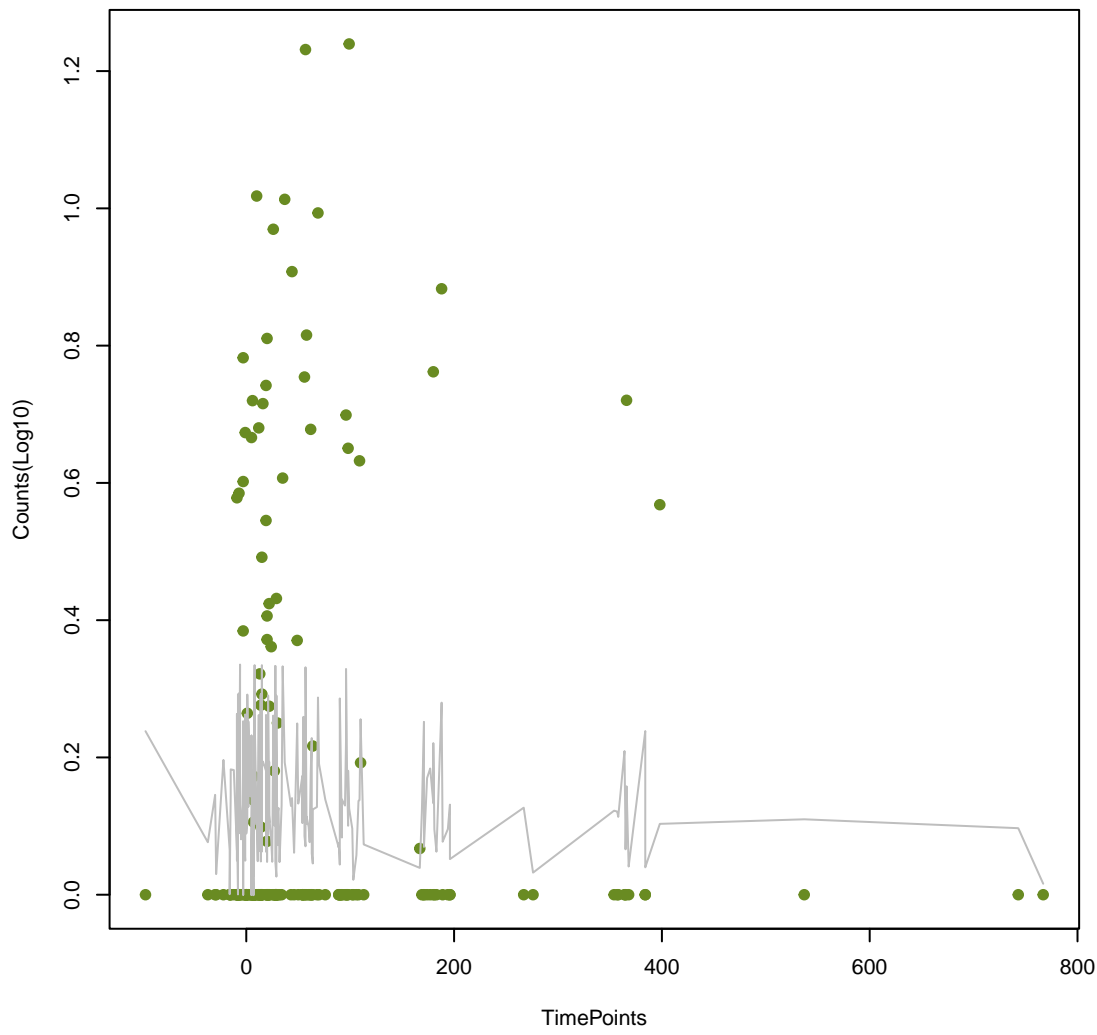
qacJ
ANOVA P=0.624, adj. ANOVA-P=0.771



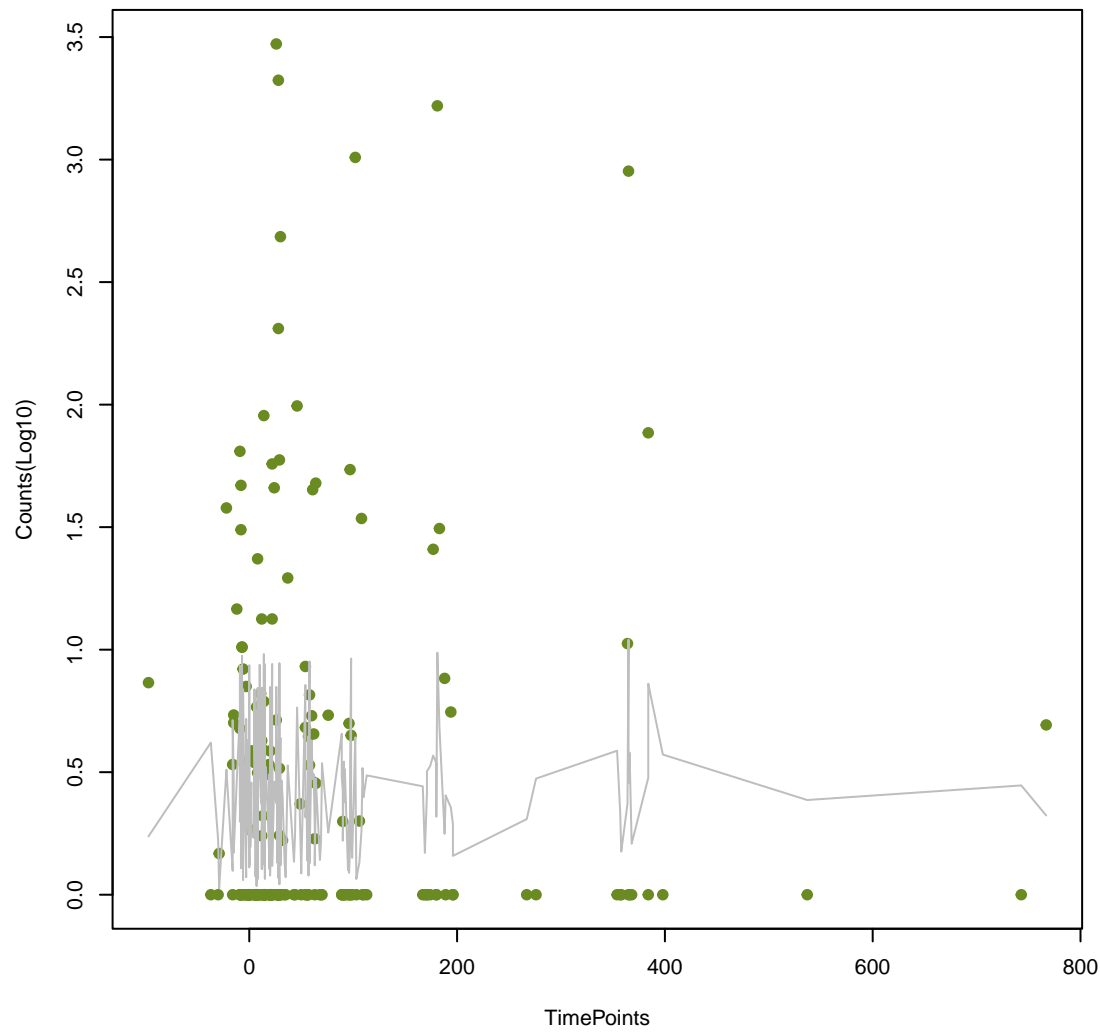
SHV-6
ANOVA P=0.625, adj. ANOVA-P=0.771



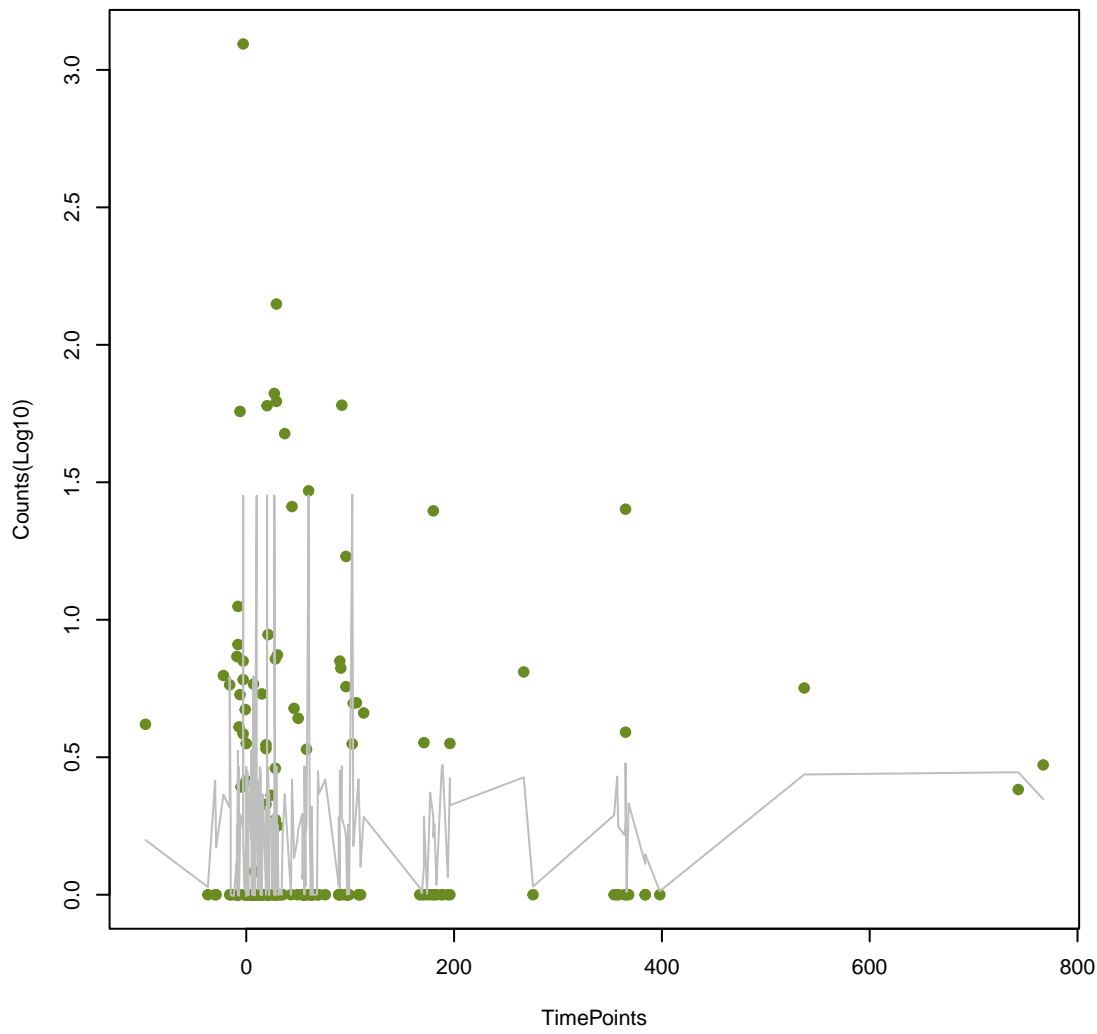
MCR-4.2
ANOVA P=0.627, adj. ANOVA-P=0.771



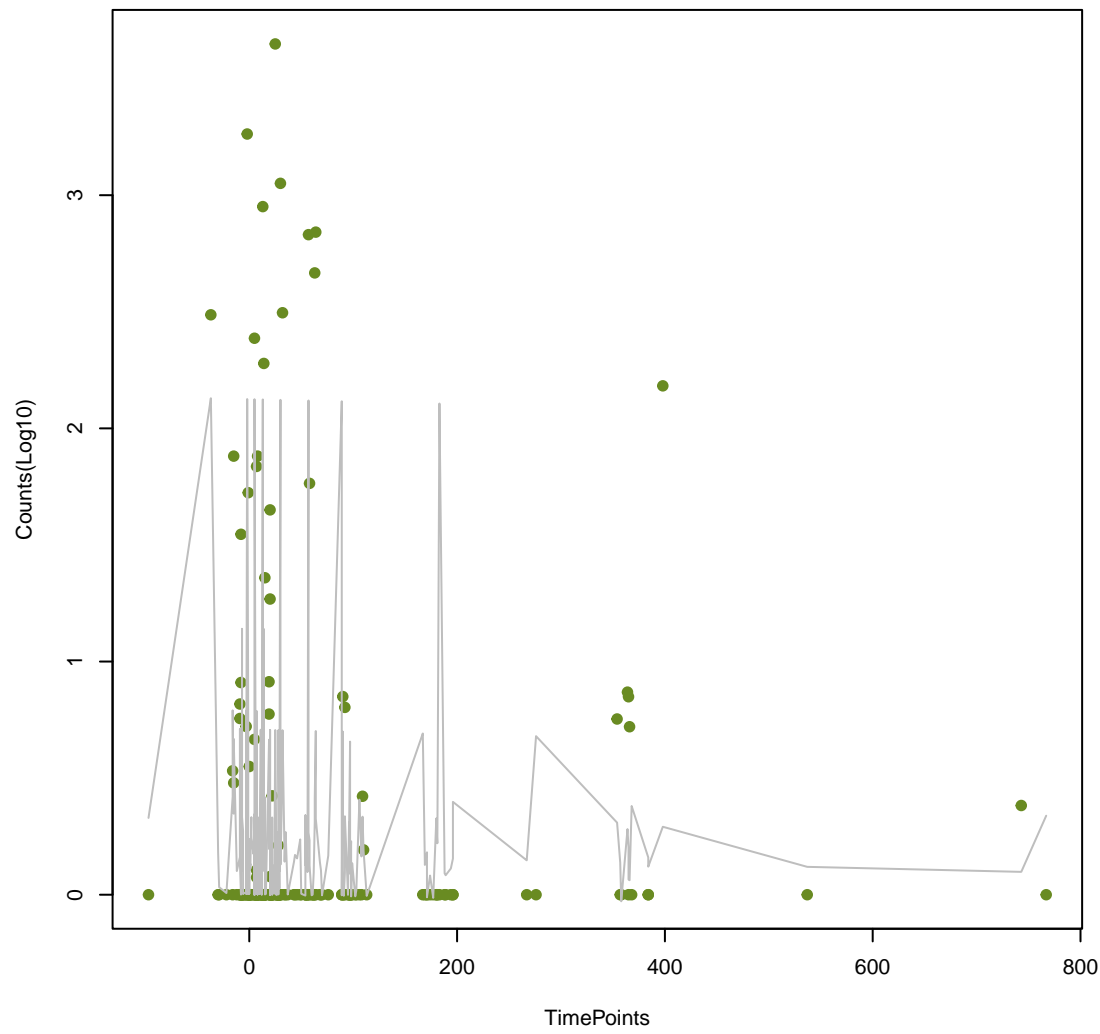
ArnT
ANOVA P=0.634, adj. ANOVA-P=0.777



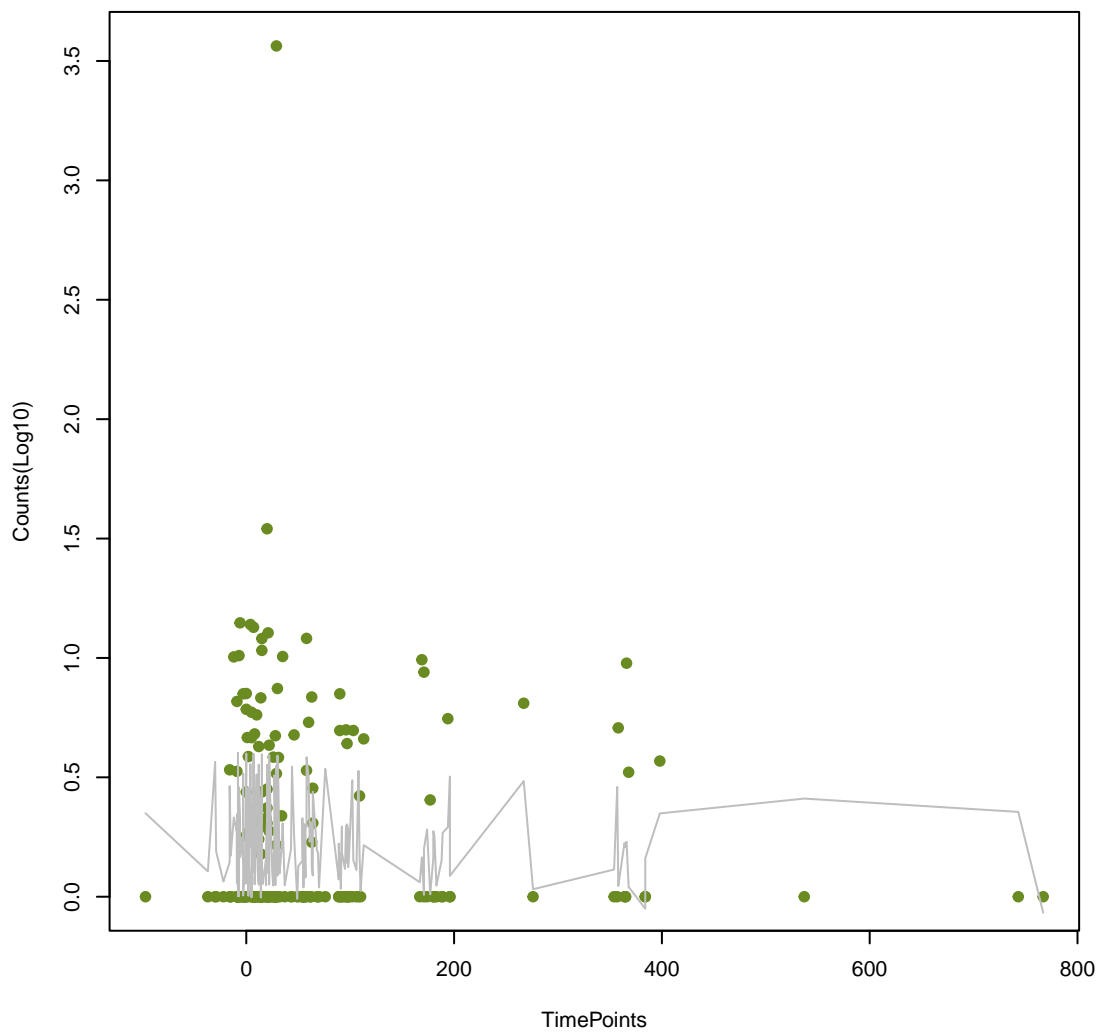
ANT(6)-lb
ANOVA P=0.64, adj. ANOVA-P=0.781



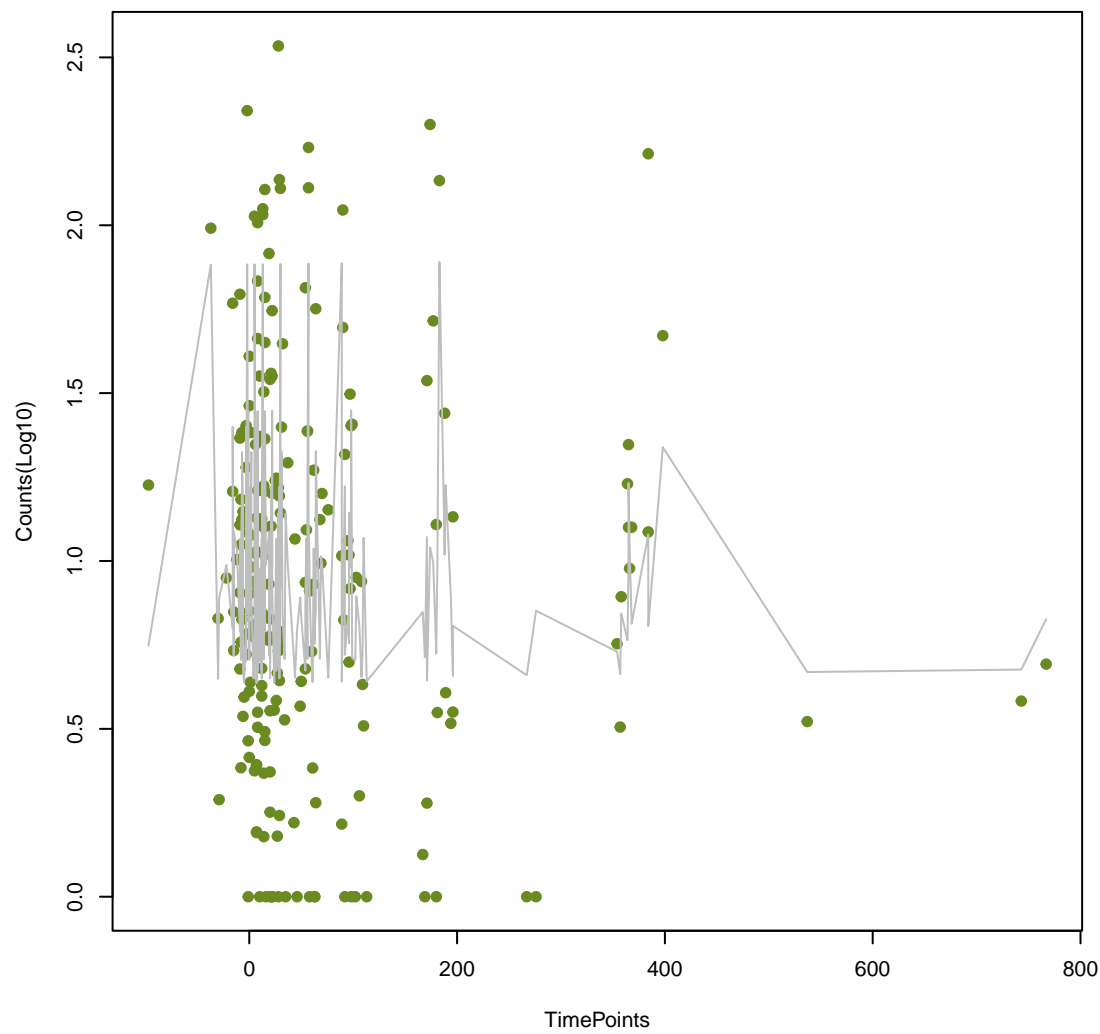
aadA5
ANOVA P=0.645, adj. ANOVA-P=0.783



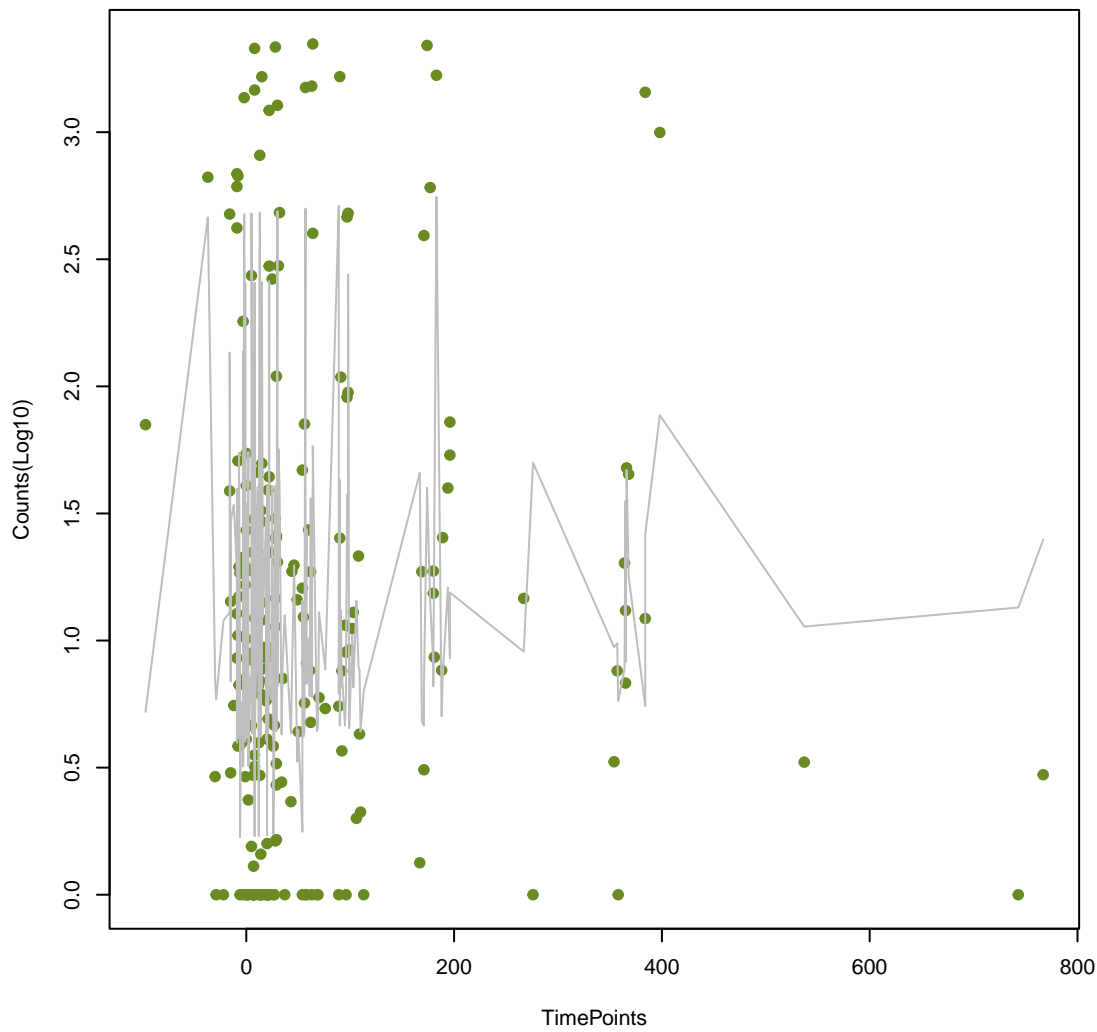
Lmon_mprF
ANOVA P=0.648, adj. ANOVA-P=0.783



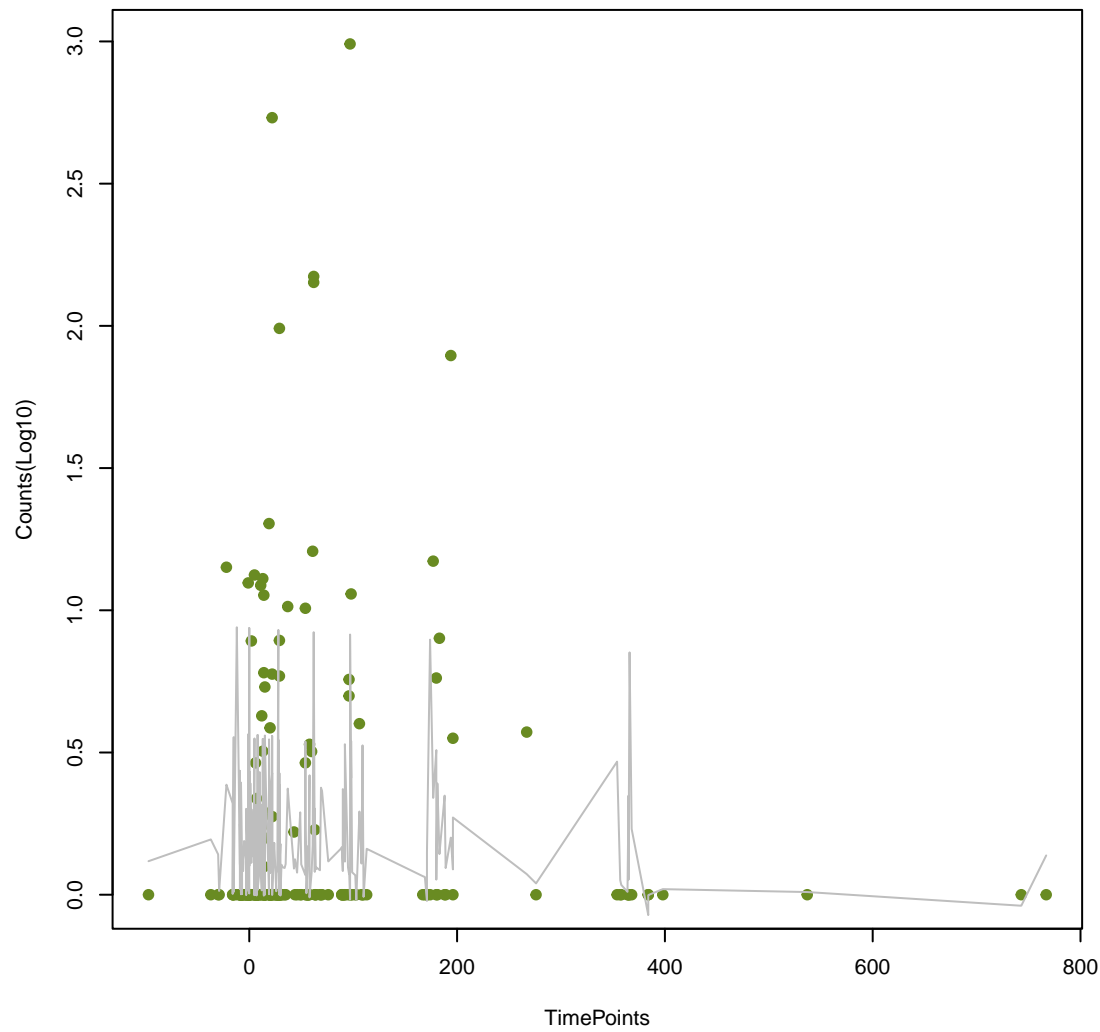
Ecol_emrE
ANOVA P=0.652, adj. ANOVA-P=0.783



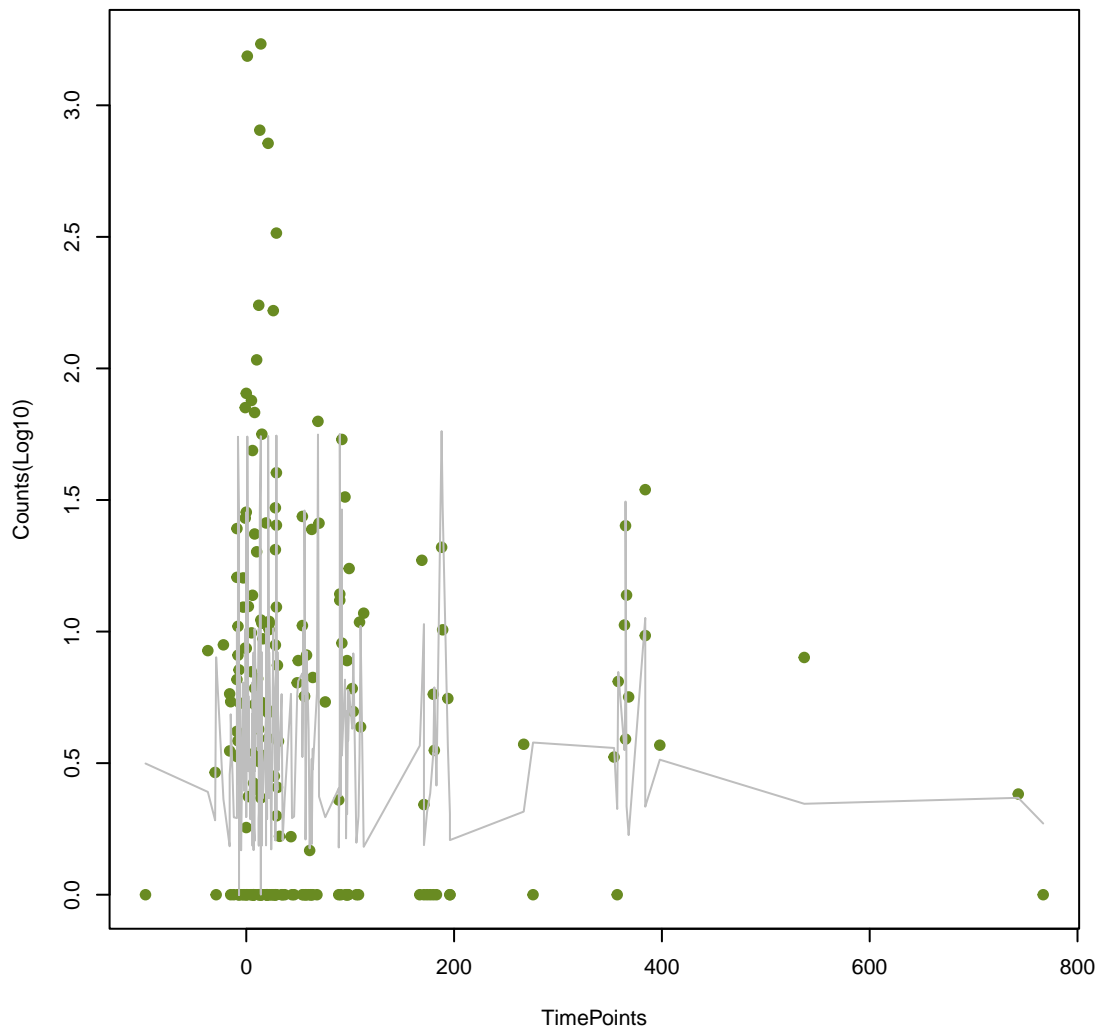
AcrF
ANOVA P=0.652, adj. ANOVA-P=0.783



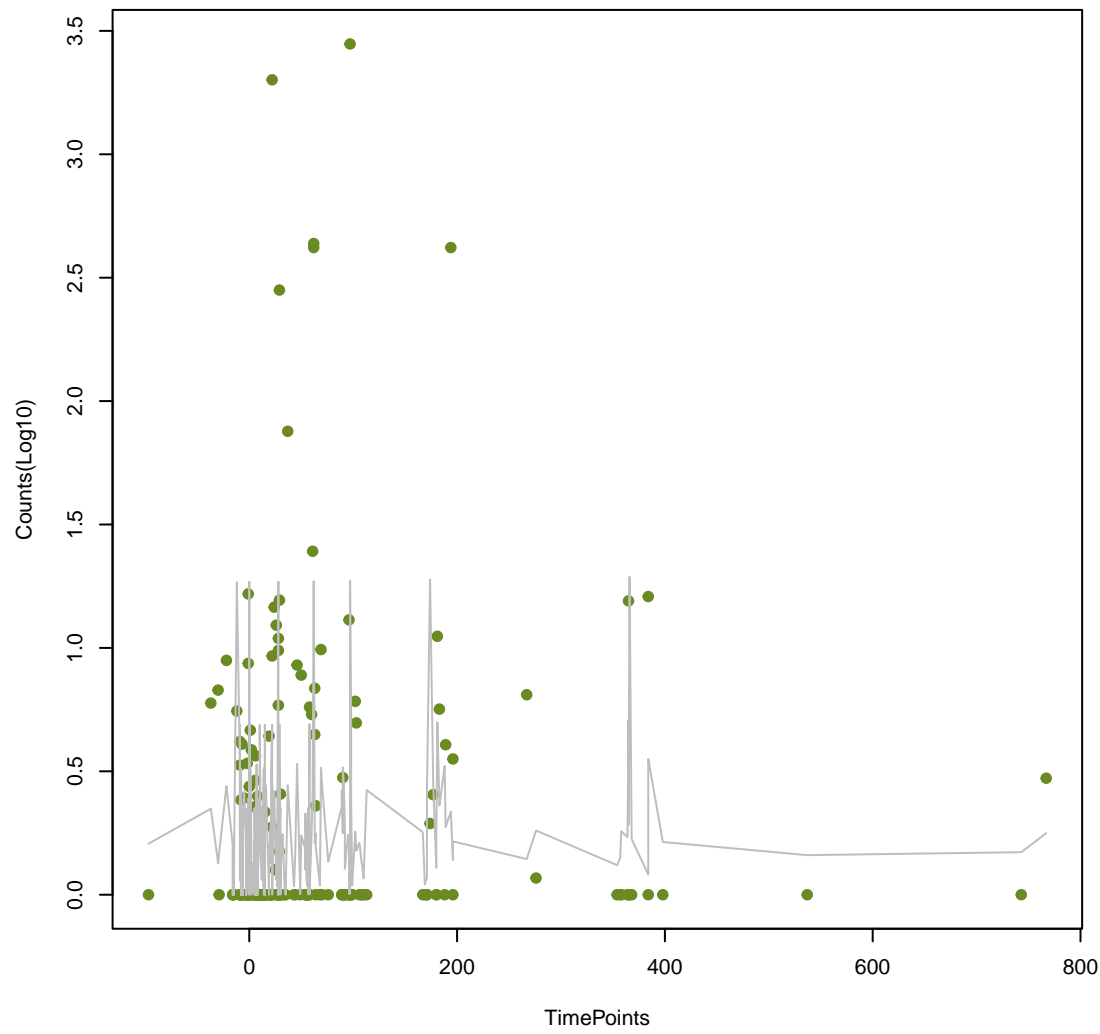
FosA2
ANOVA P=0.659, adj. ANOVA-P=0.786



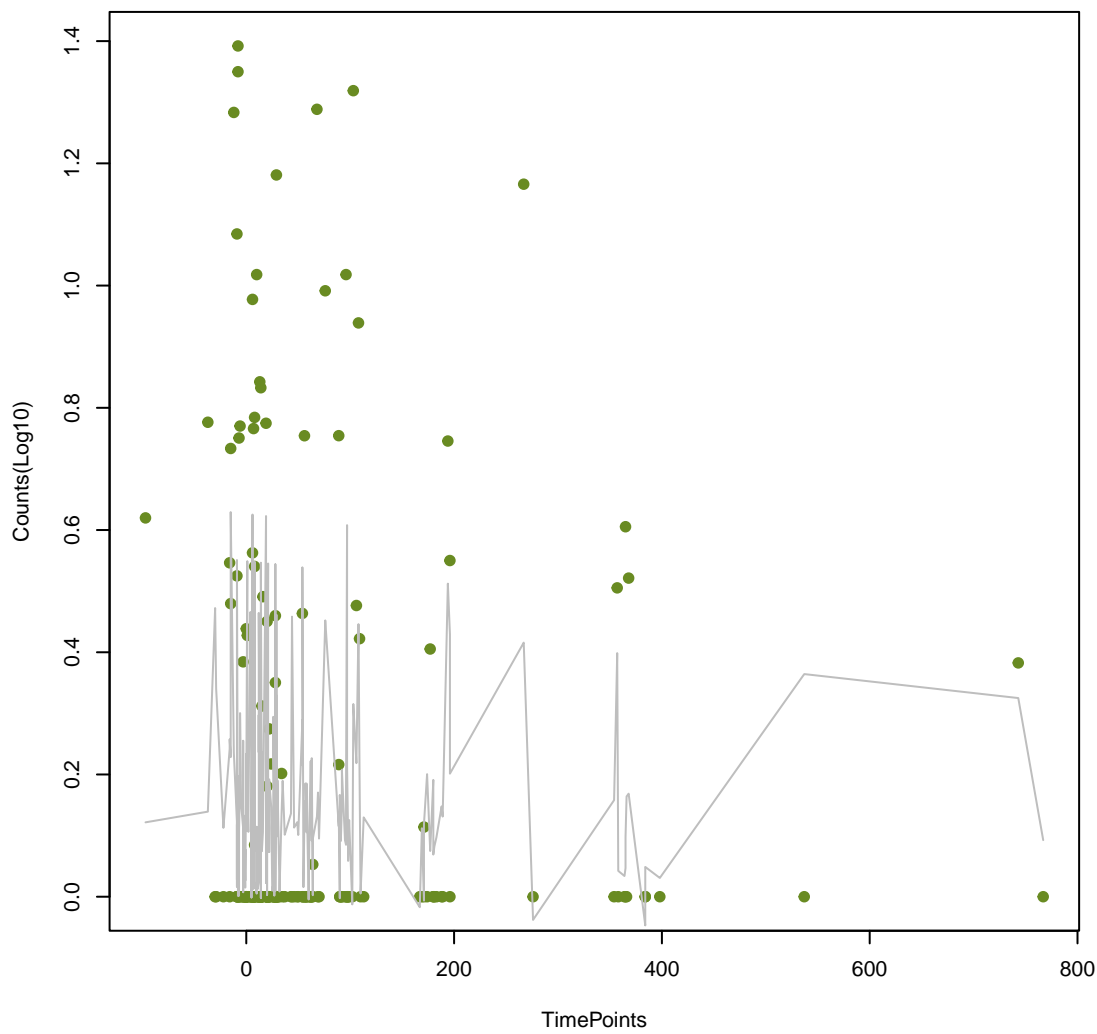
patA
ANOVA P=0.66, adj. ANOVA-P=0.786



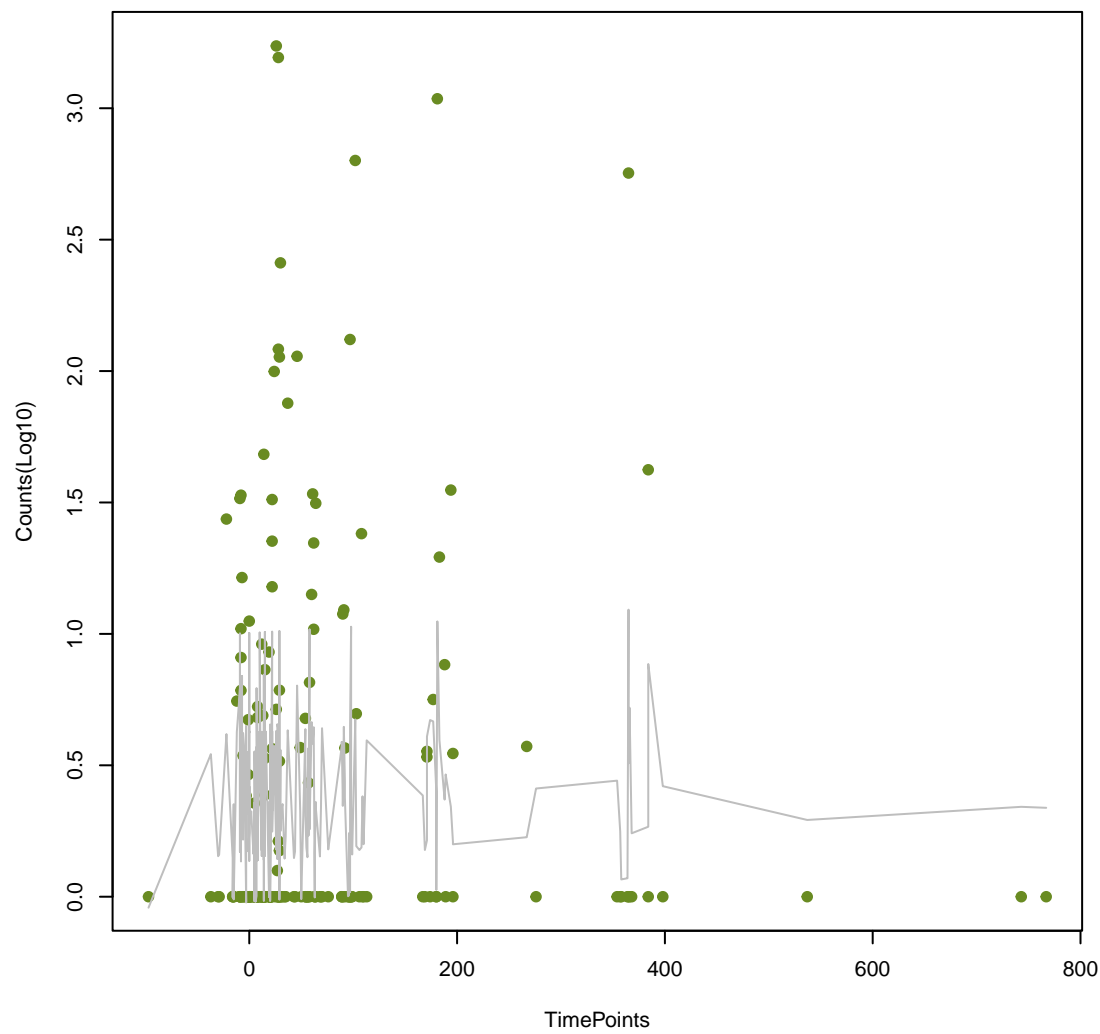
Eclo_acrA
ANOVA P=0.665, adj. ANOVA-P=0.789



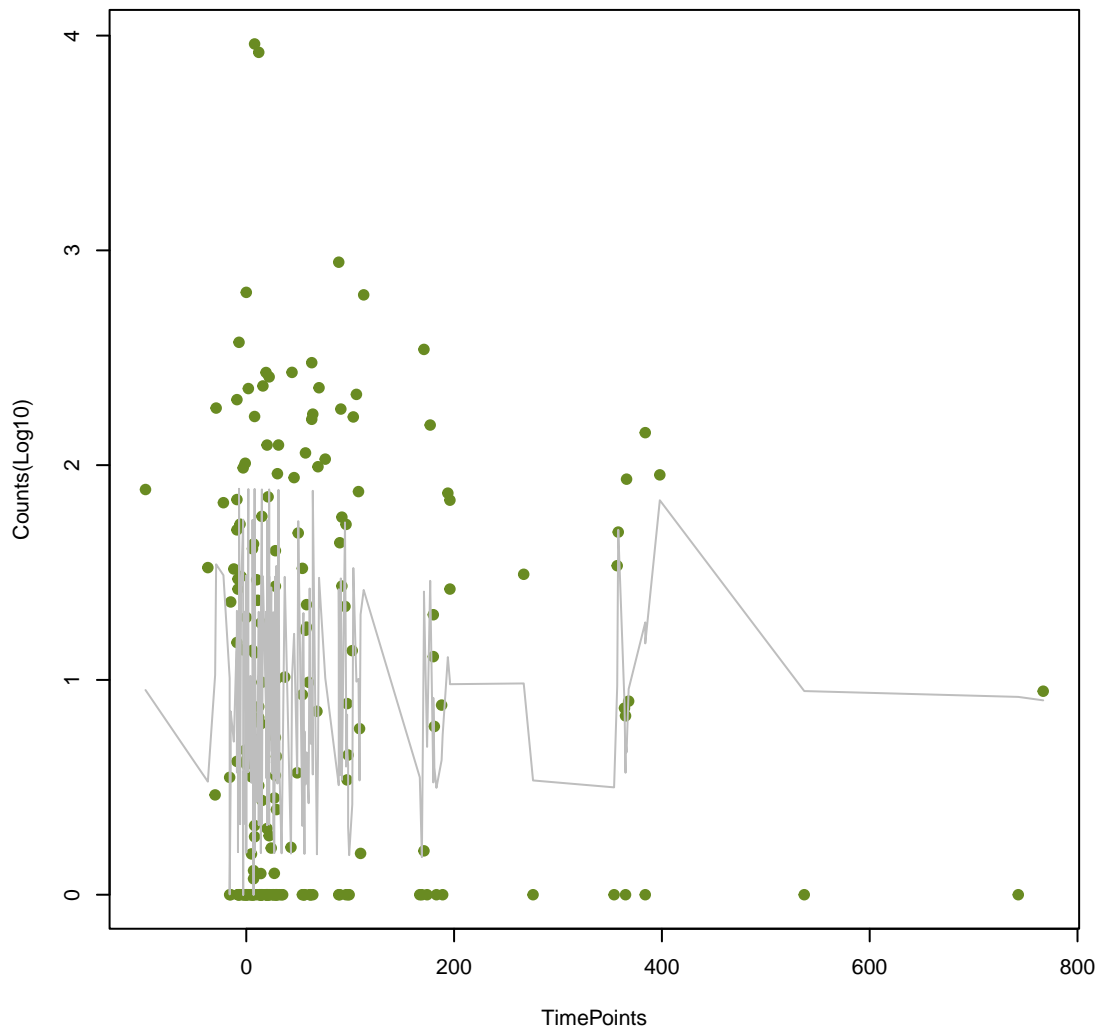
bmr
ANOVA P=0.671, adj. ANOVA-P=0.793



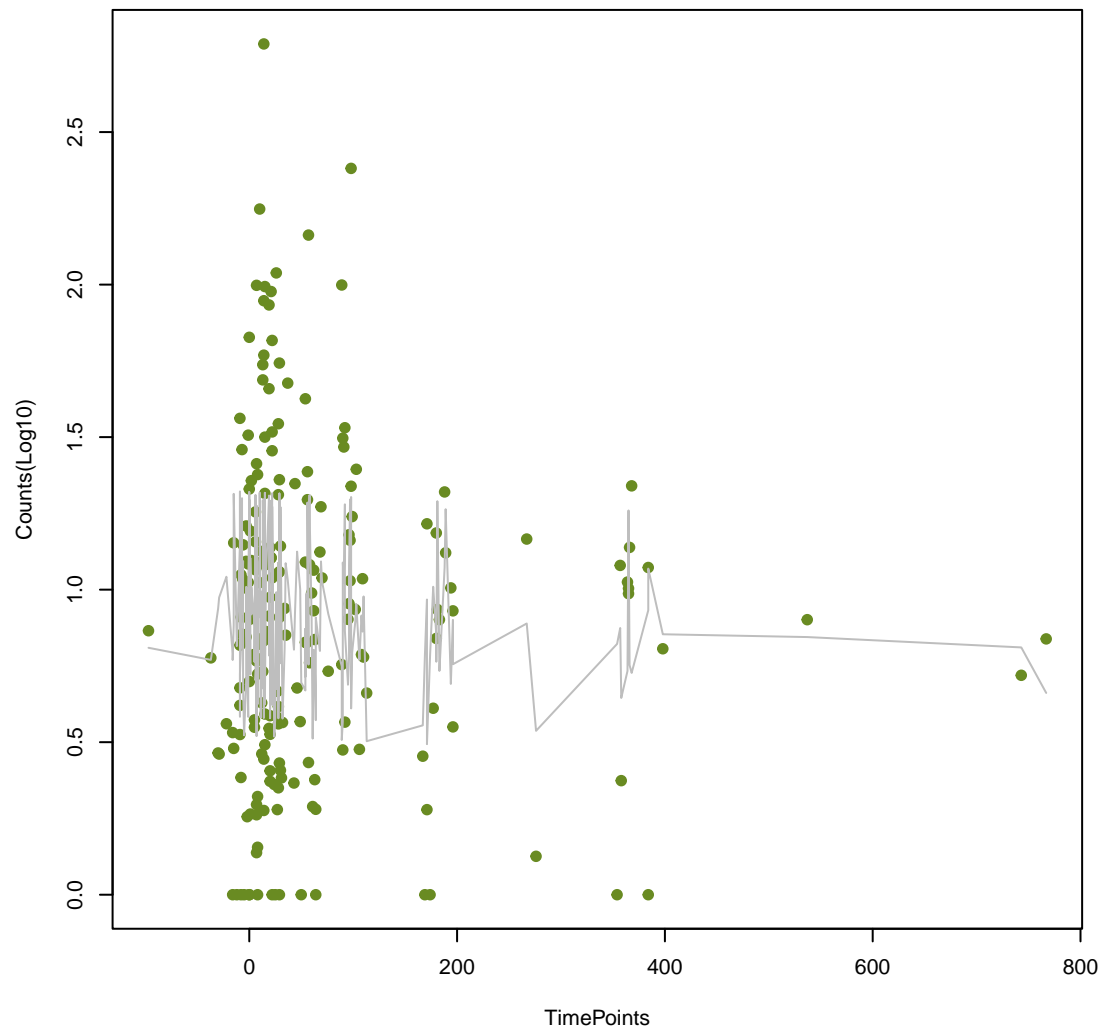
Kpne_KpnG
ANOVA P=0.686, adj. ANOVA-P=0.806



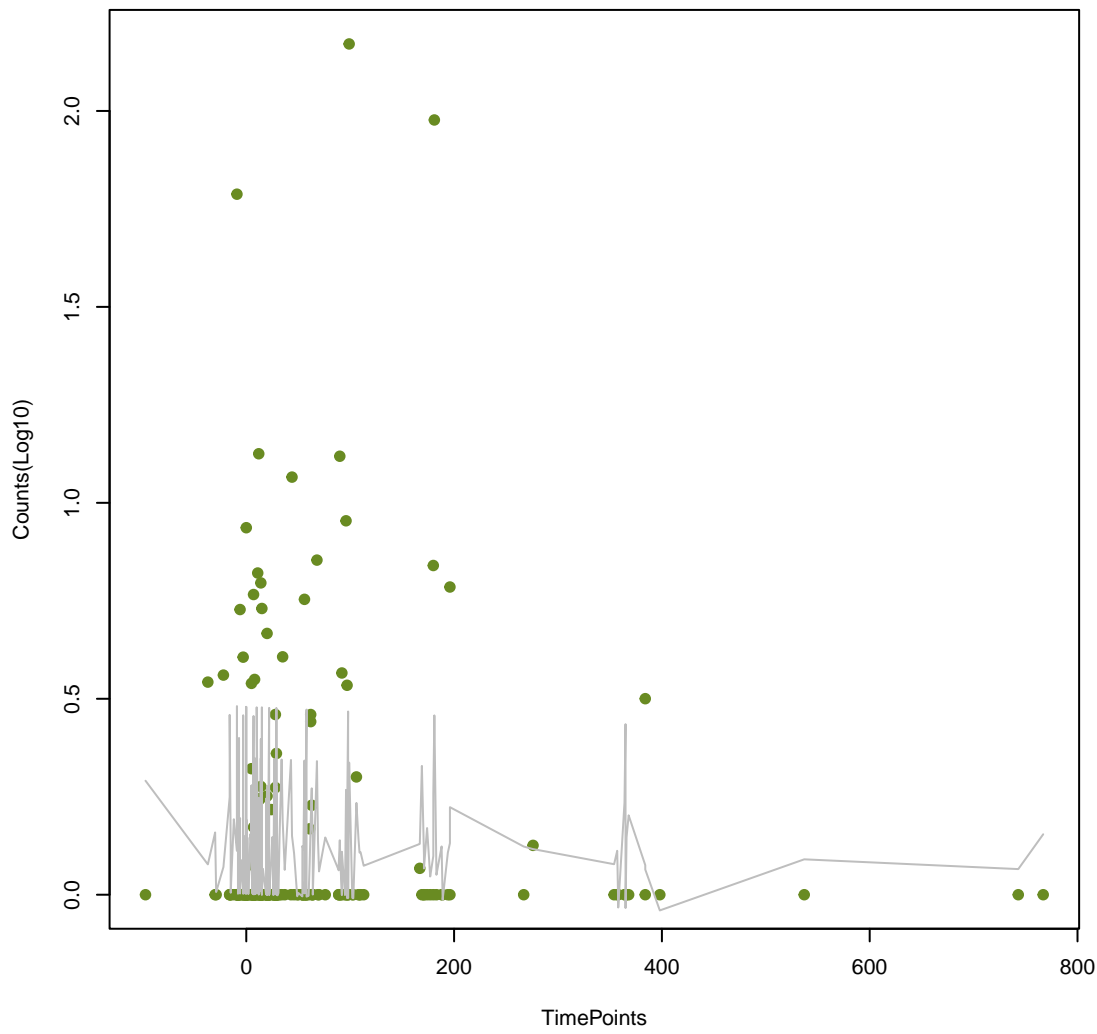
vanS_in_vanD_cl
ANOVA P=0.688, adj. ANOVA-P=0.806



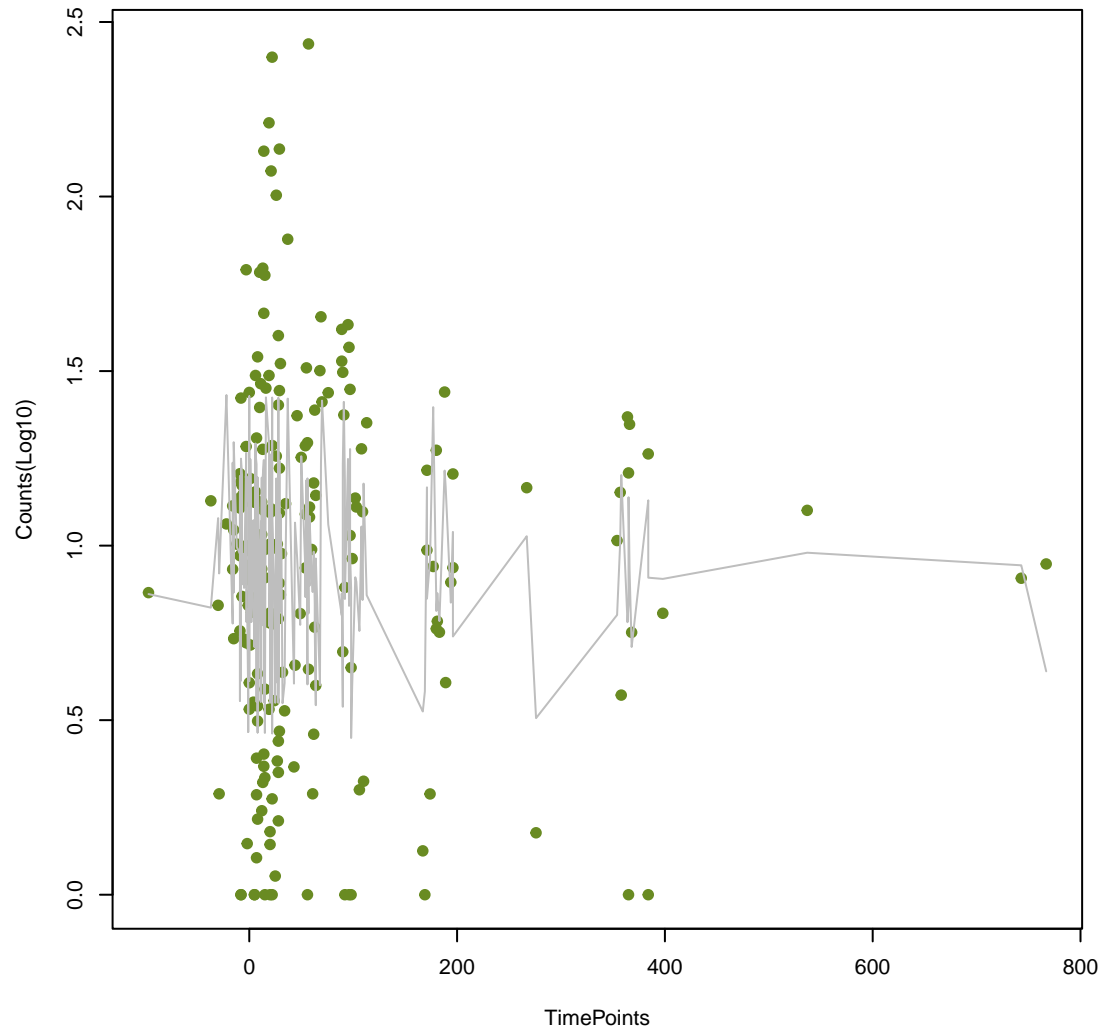
ykkC
ANOVA P=0.699, adj. ANOVA-P=0.817



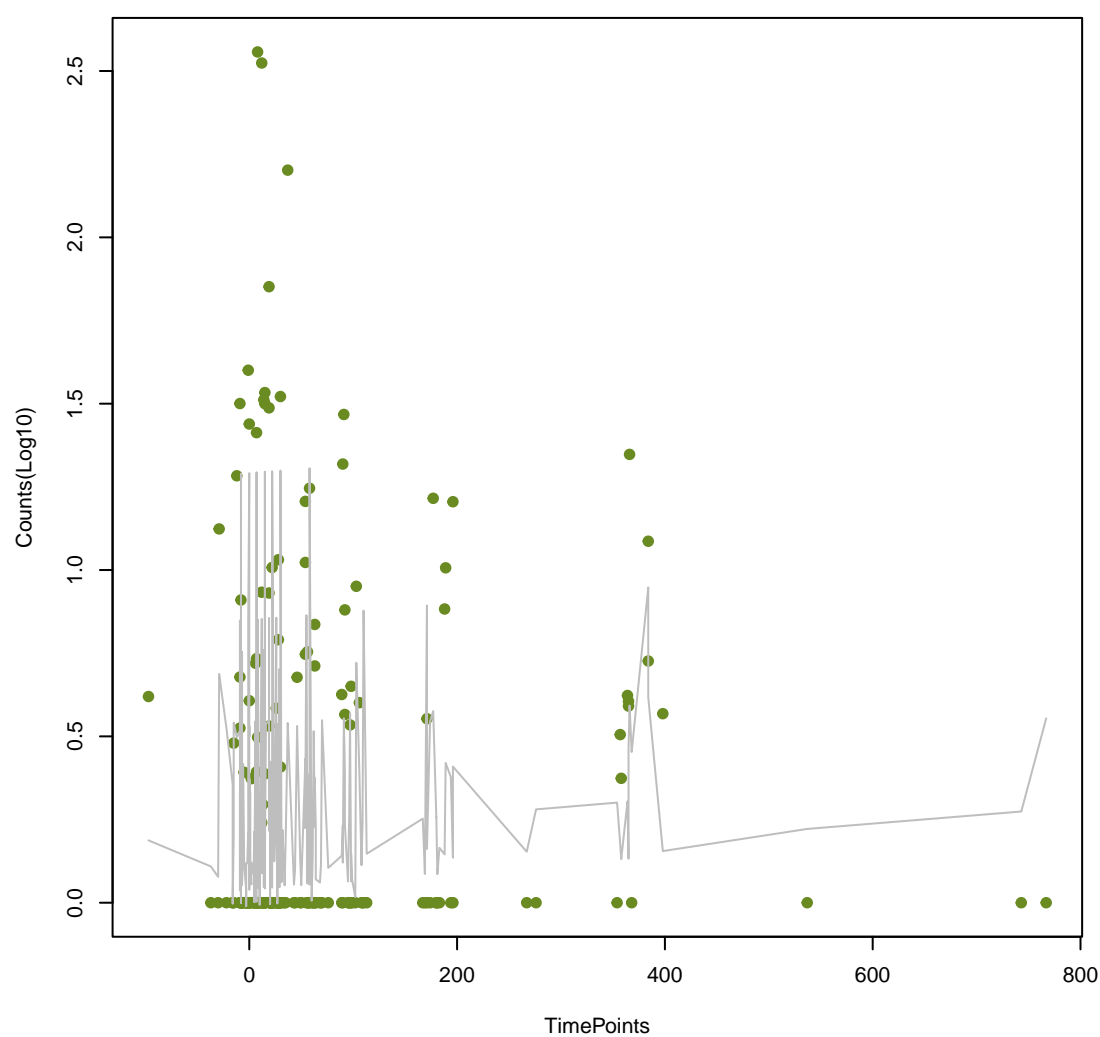
Cper_mprF
ANOVA P=0.715, adj. ANOVA-P=0.829



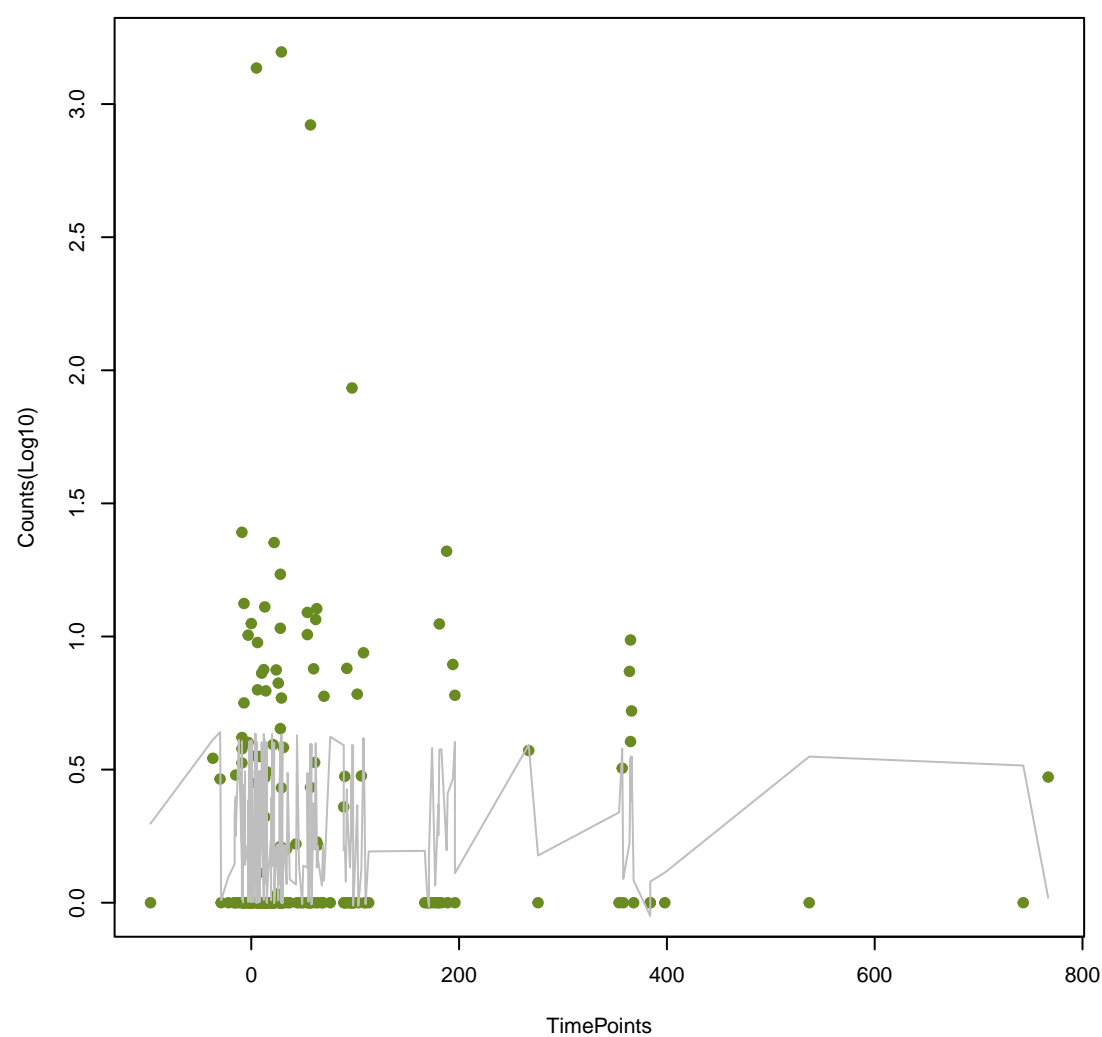
vanU_in_vanG_cl
ANOVA P=0.715, adj. ANOVA-P=0.829



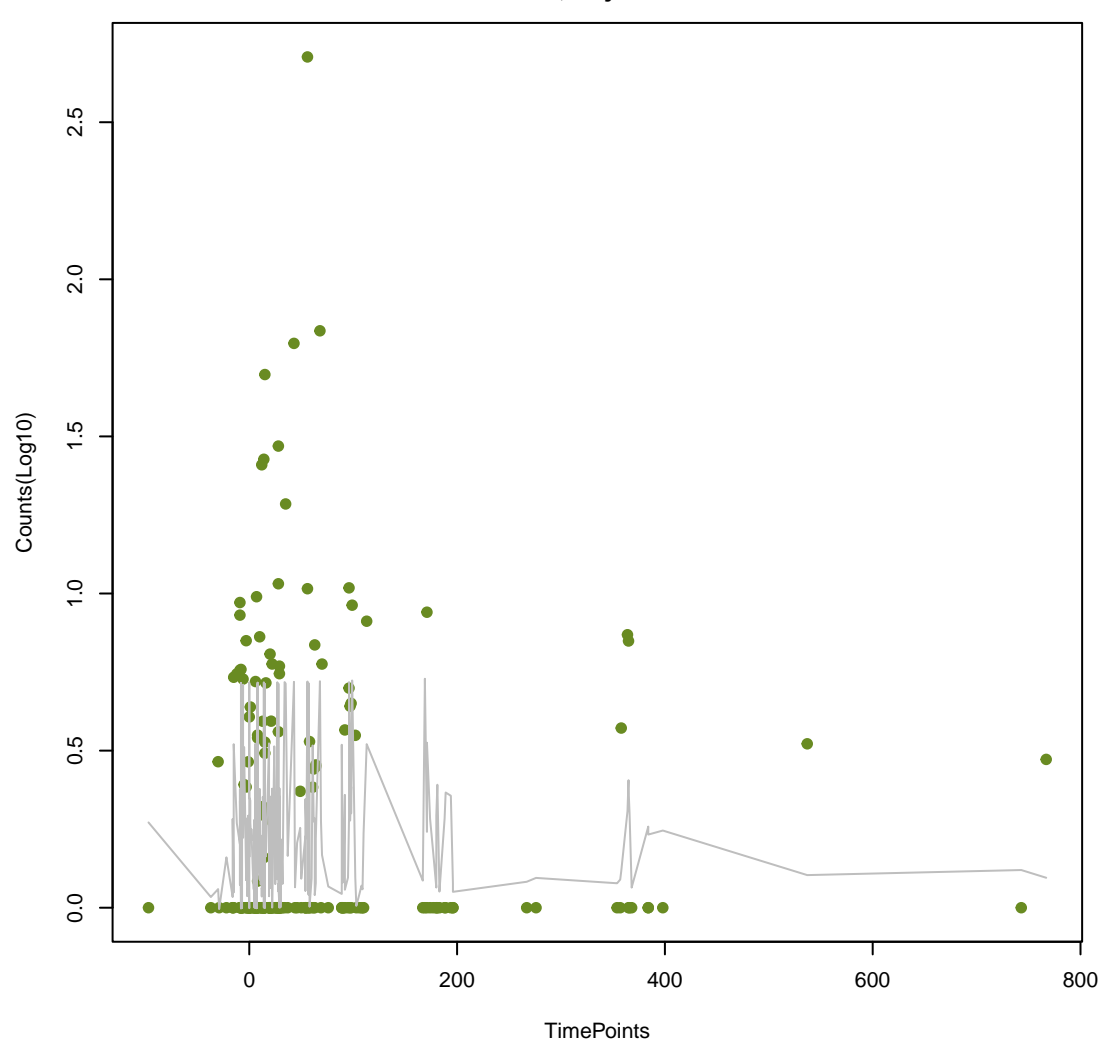
otr(B)
ANOVA P=0.72, adj. ANOVA-P=0.831



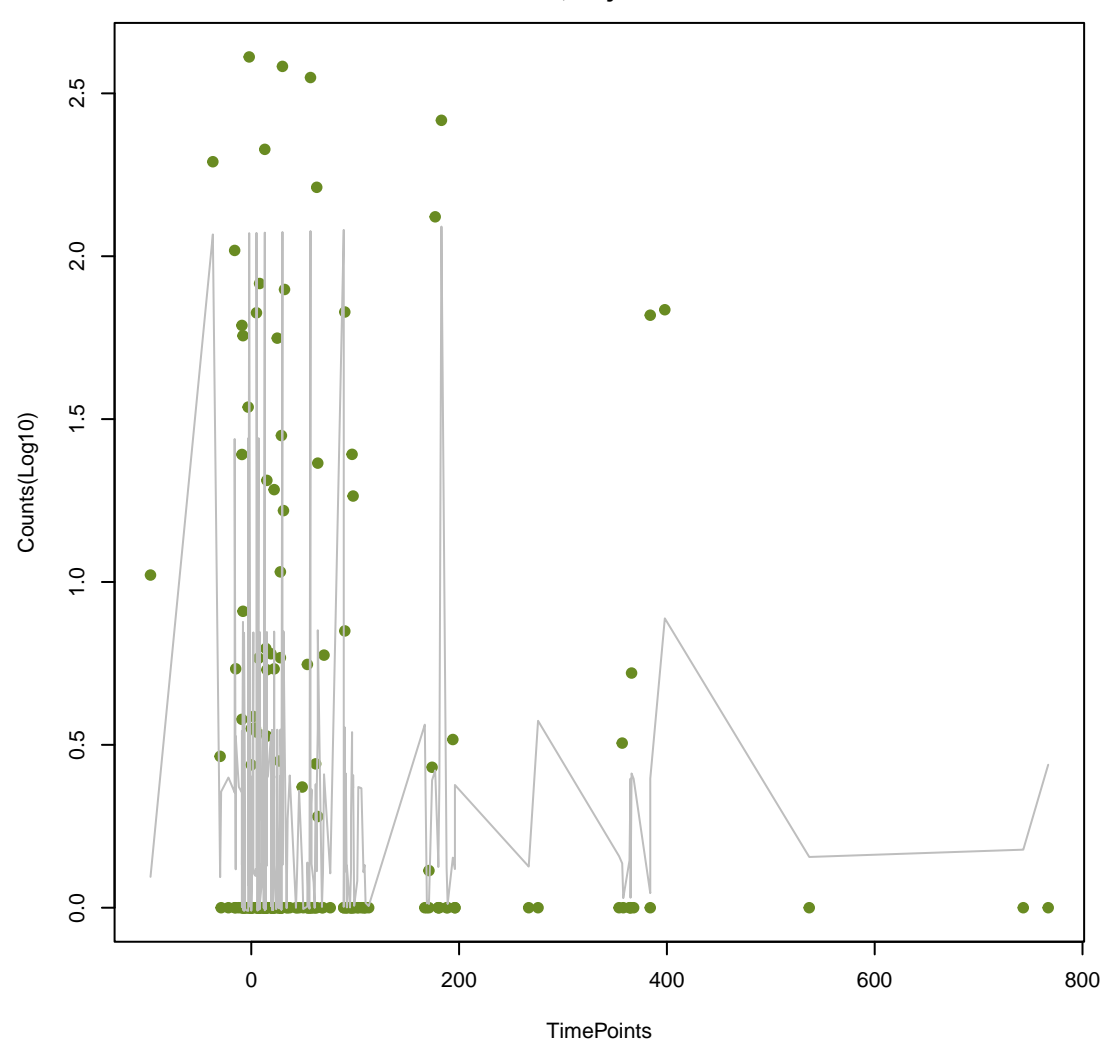
MexB
ANOVA P=0.722, adj. ANOVA-P=0.831



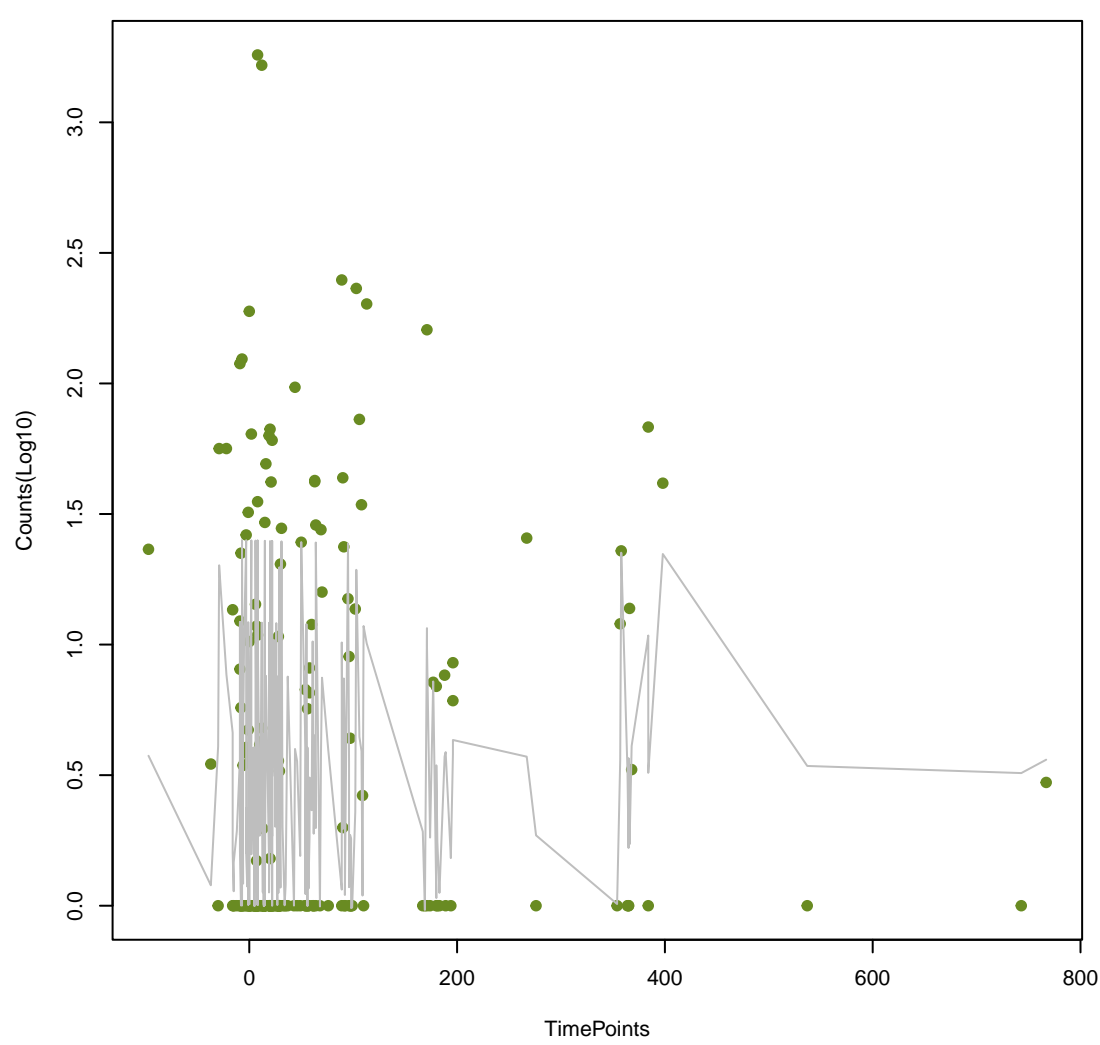
cfrC
ANOVA P=0.728, adj. ANOVA-P=0.834



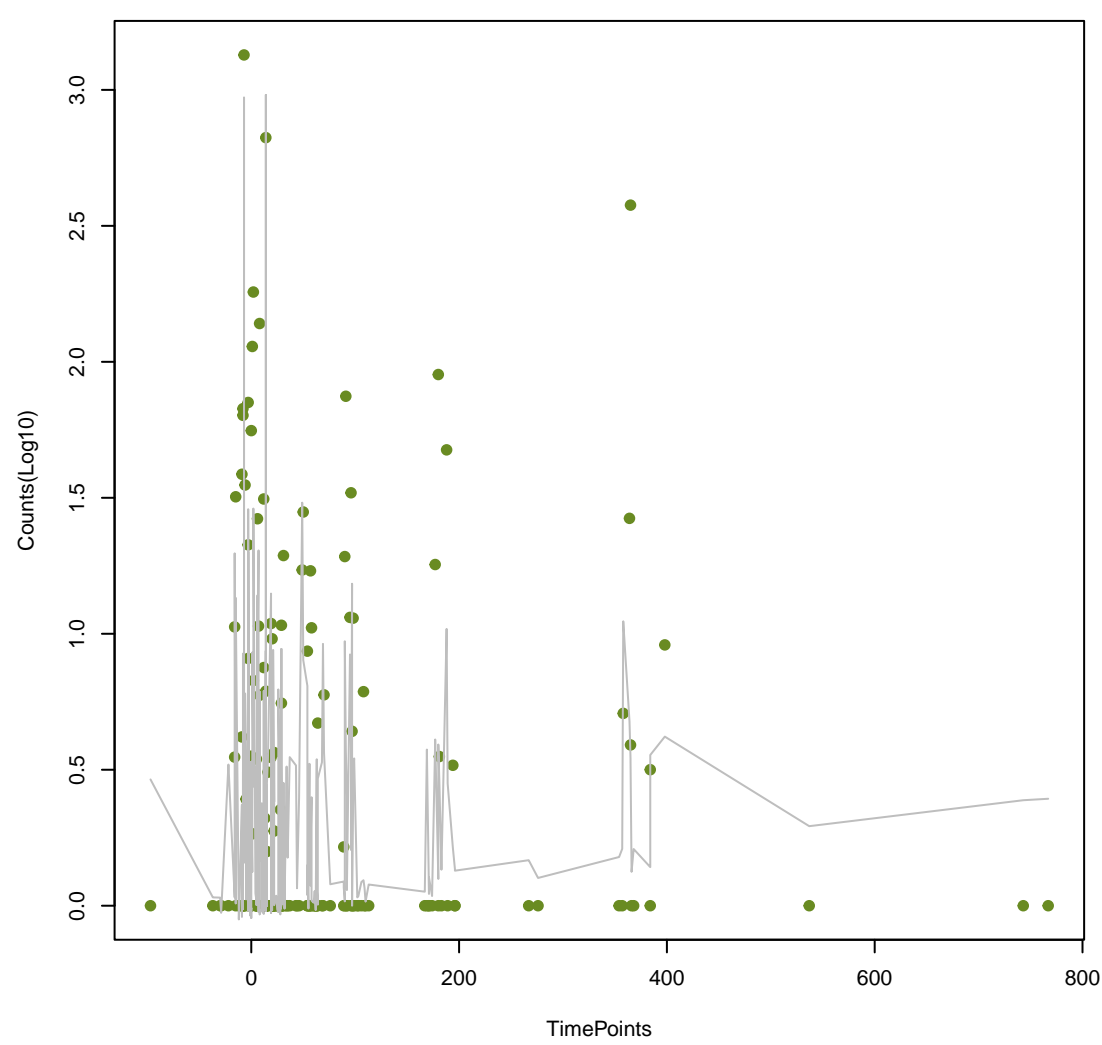
EC-19
ANOVA P=0.734, adj. ANOVA-P=0.838

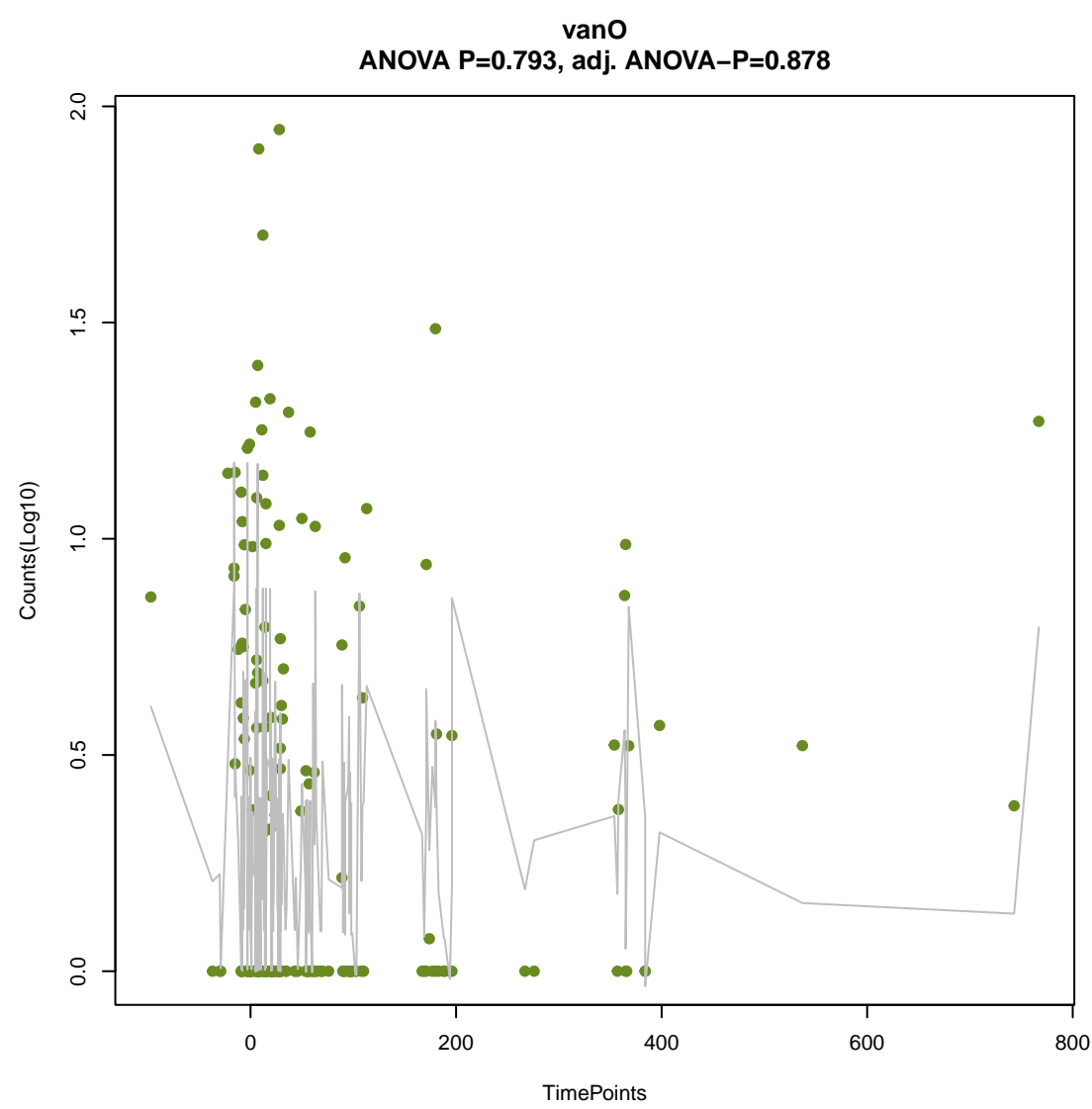
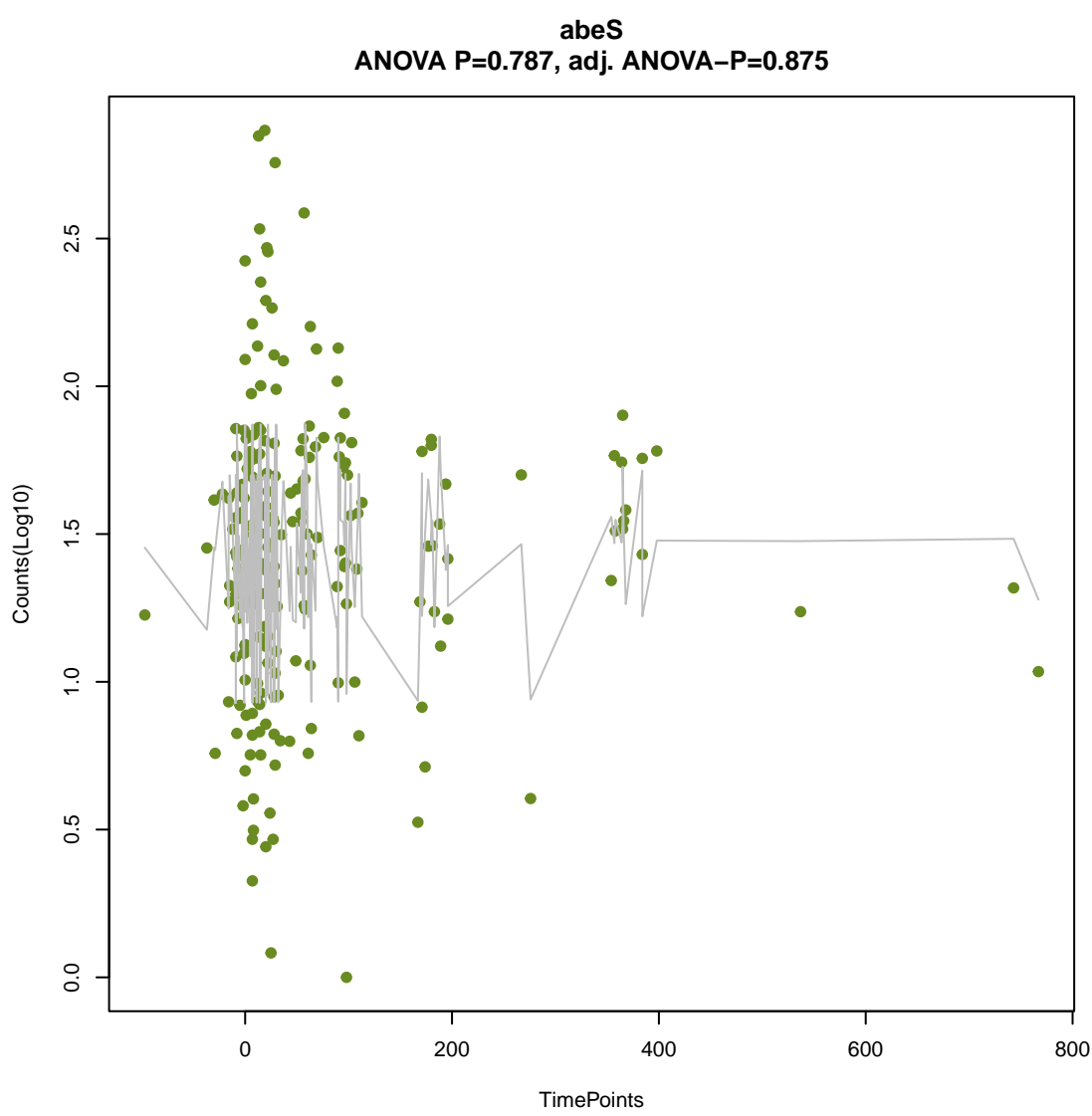
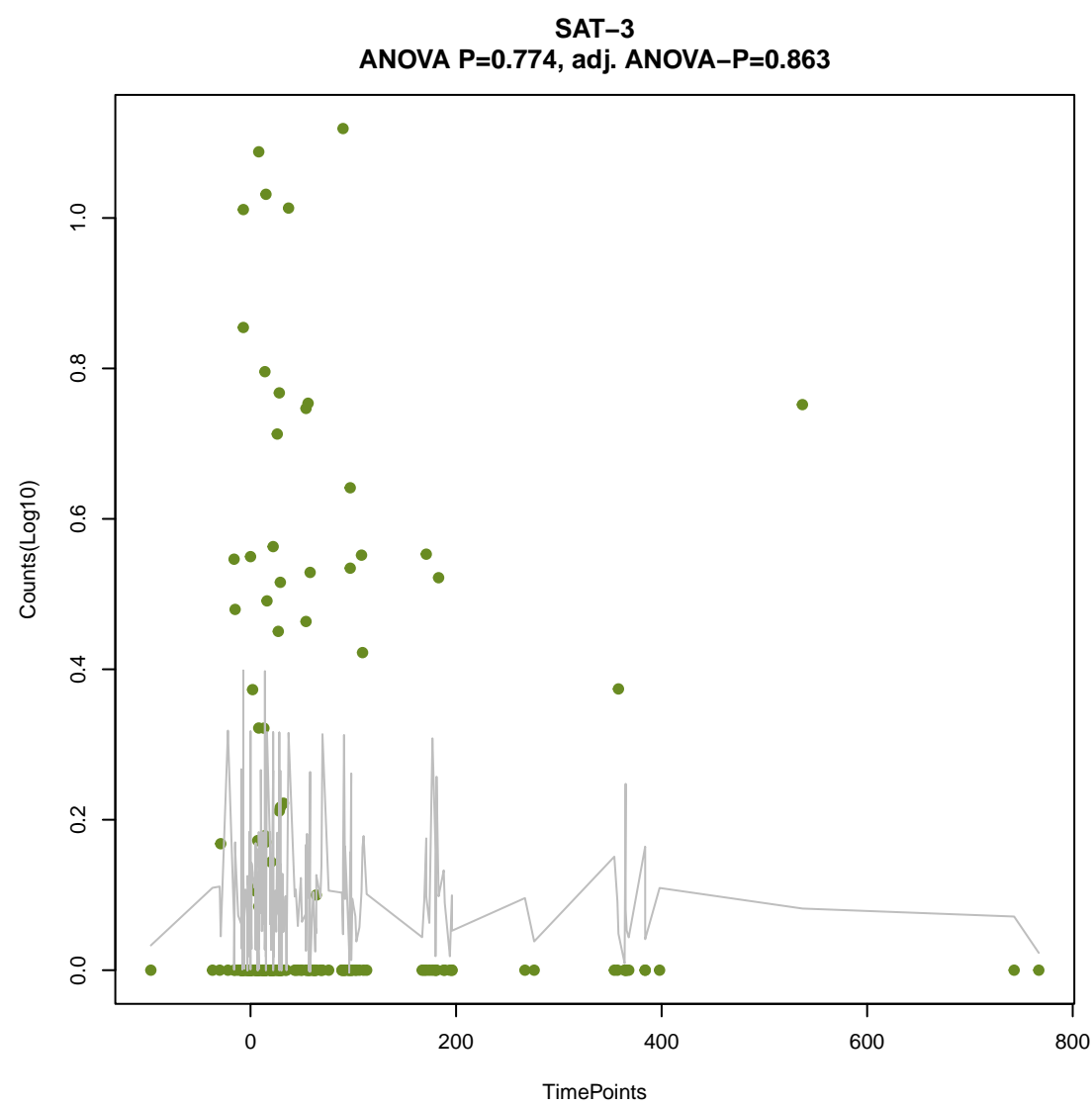
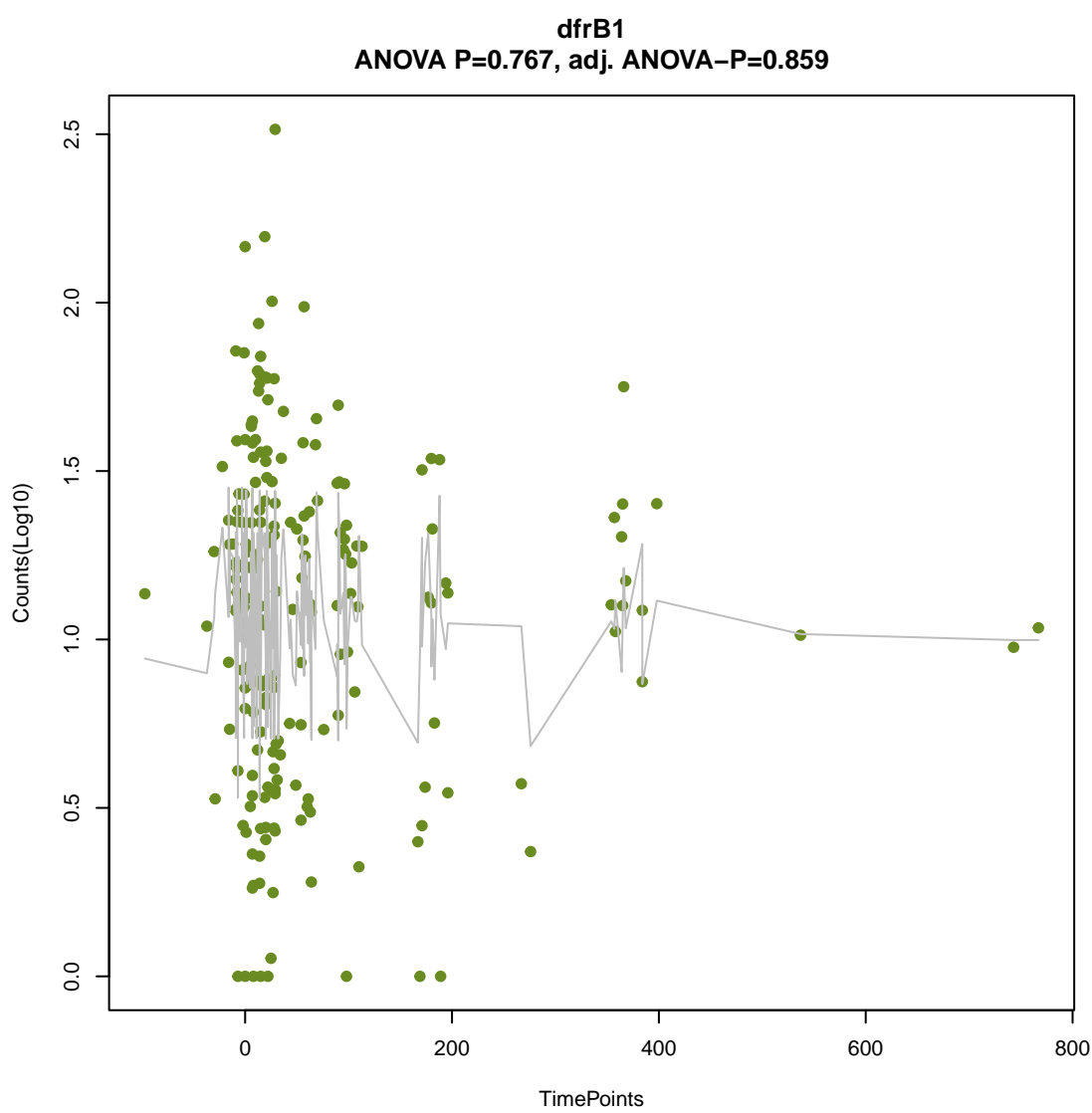
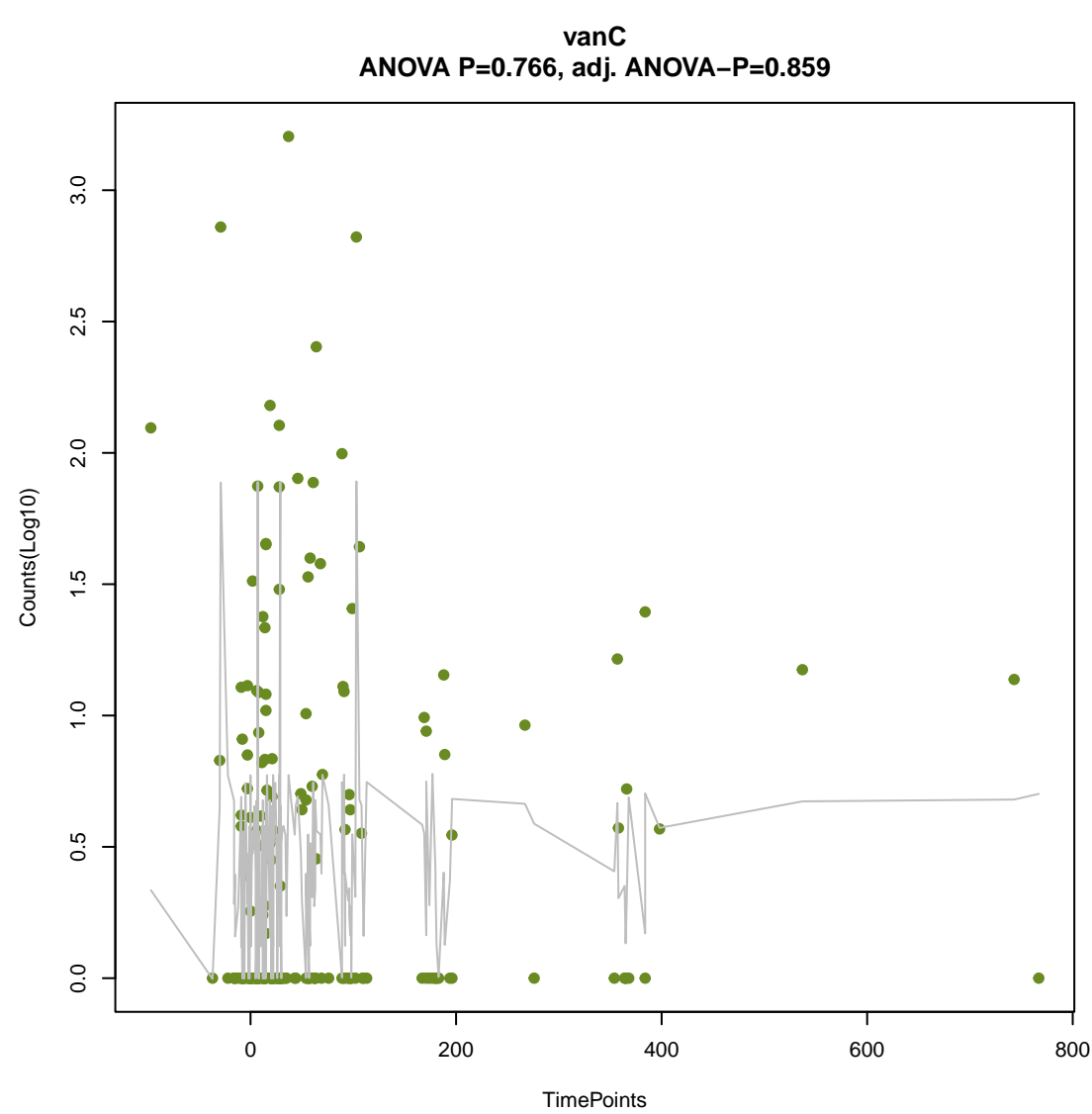
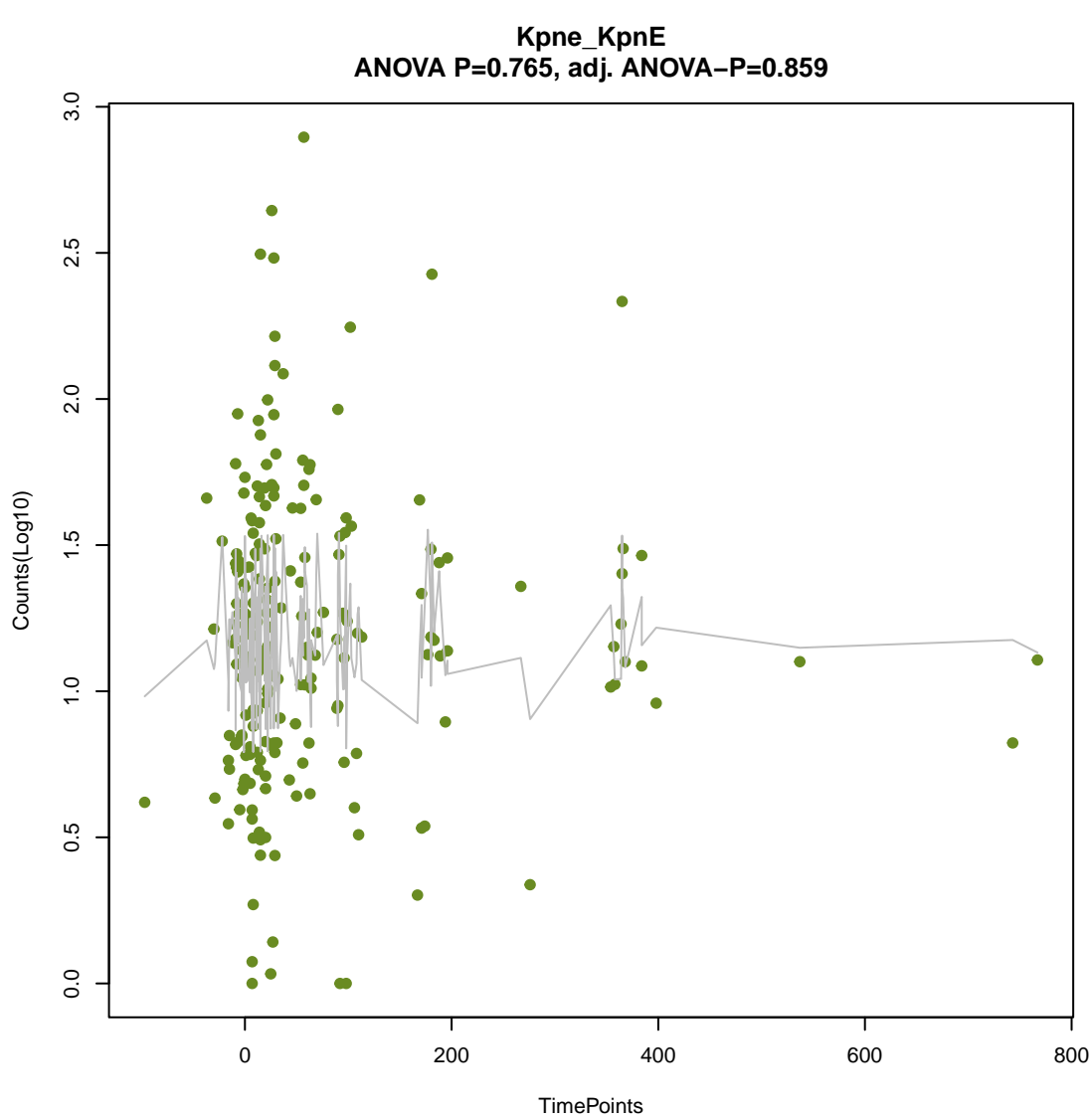


vanX_in_vanD_cl
ANOVA P=0.742, adj. ANOVA-P=0.844

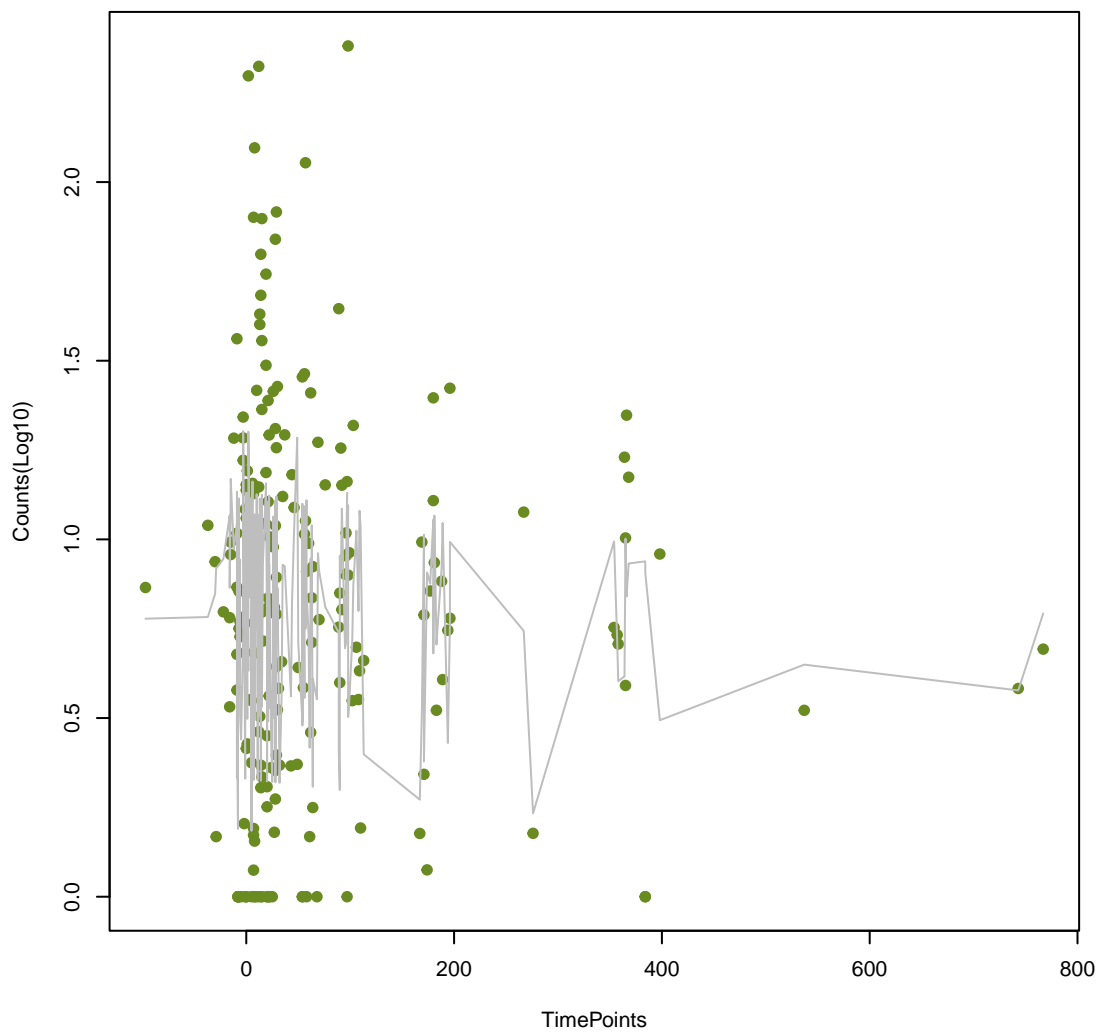


CfxA6
ANOVA P=0.752, adj. ANOVA-P=0.851

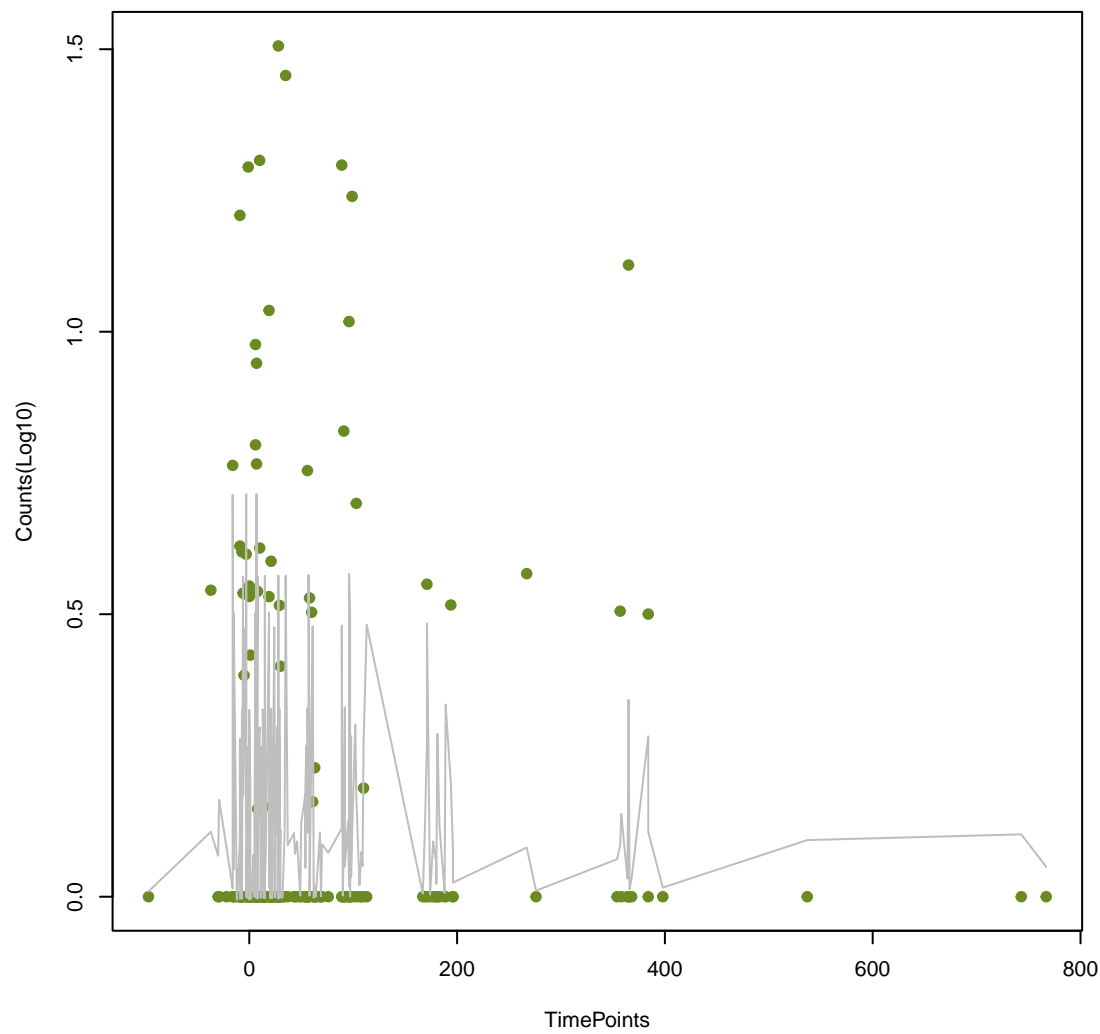




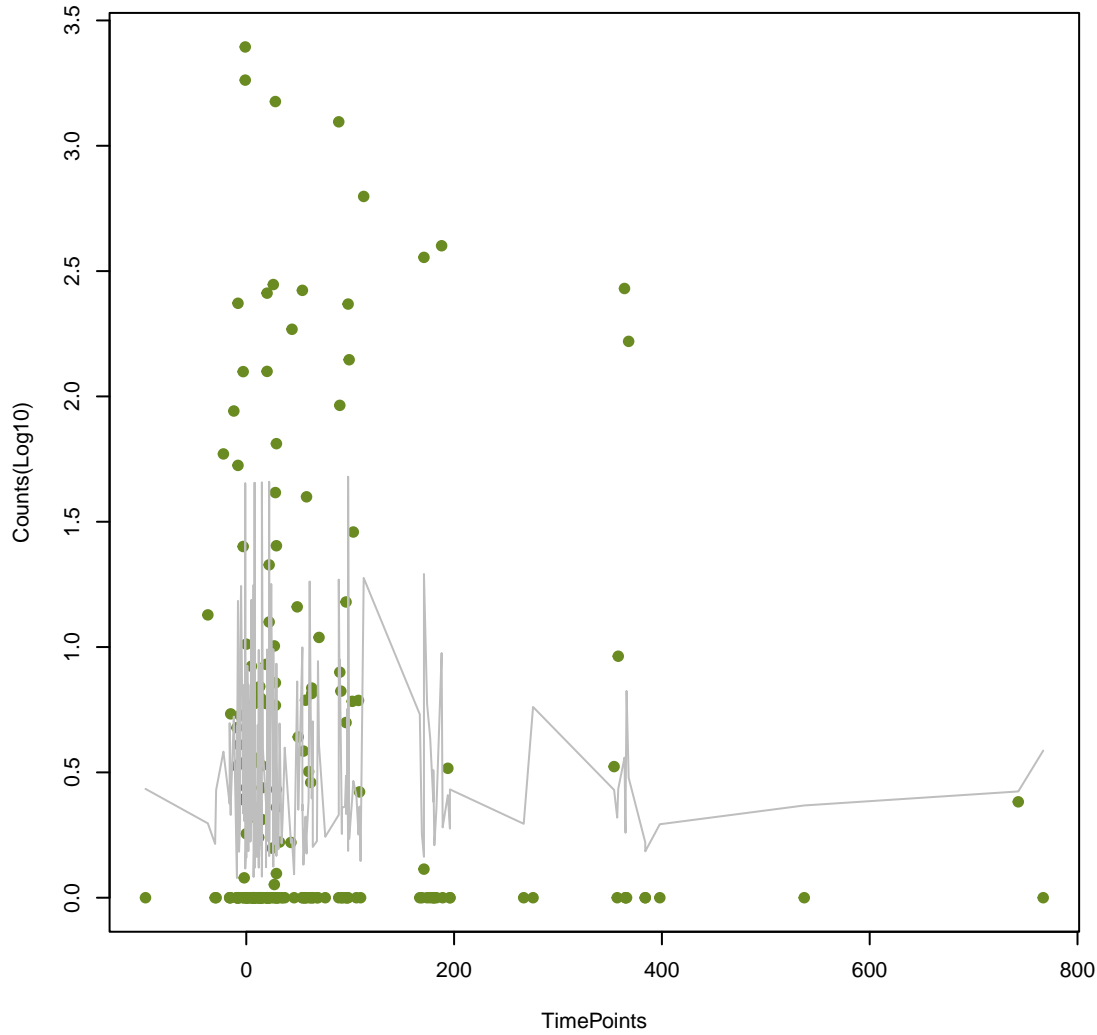
DfrB9
ANOVA P=0.796, adj. ANOVA-P=0.878



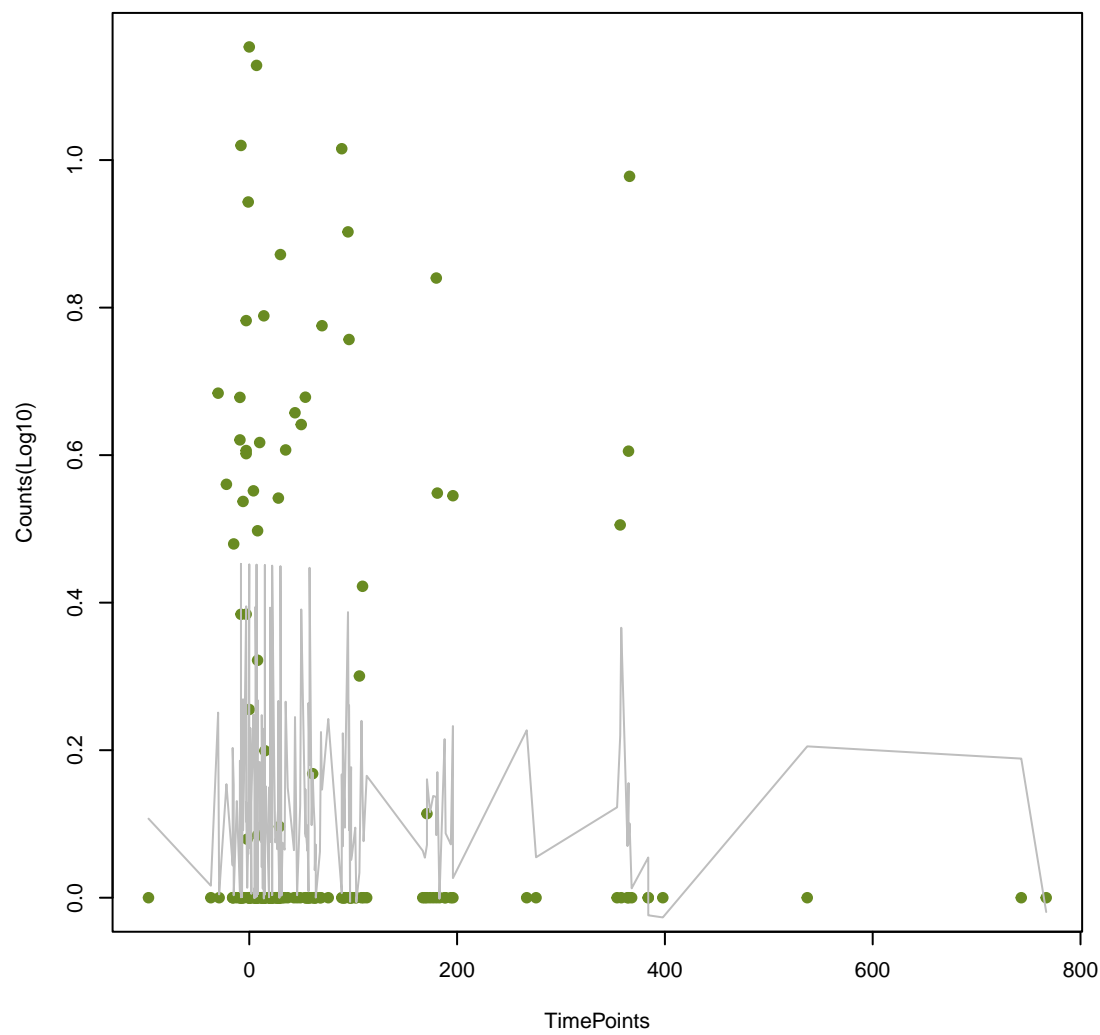
mtrC
ANOVA P=0.8, adj. ANOVA-P=0.88



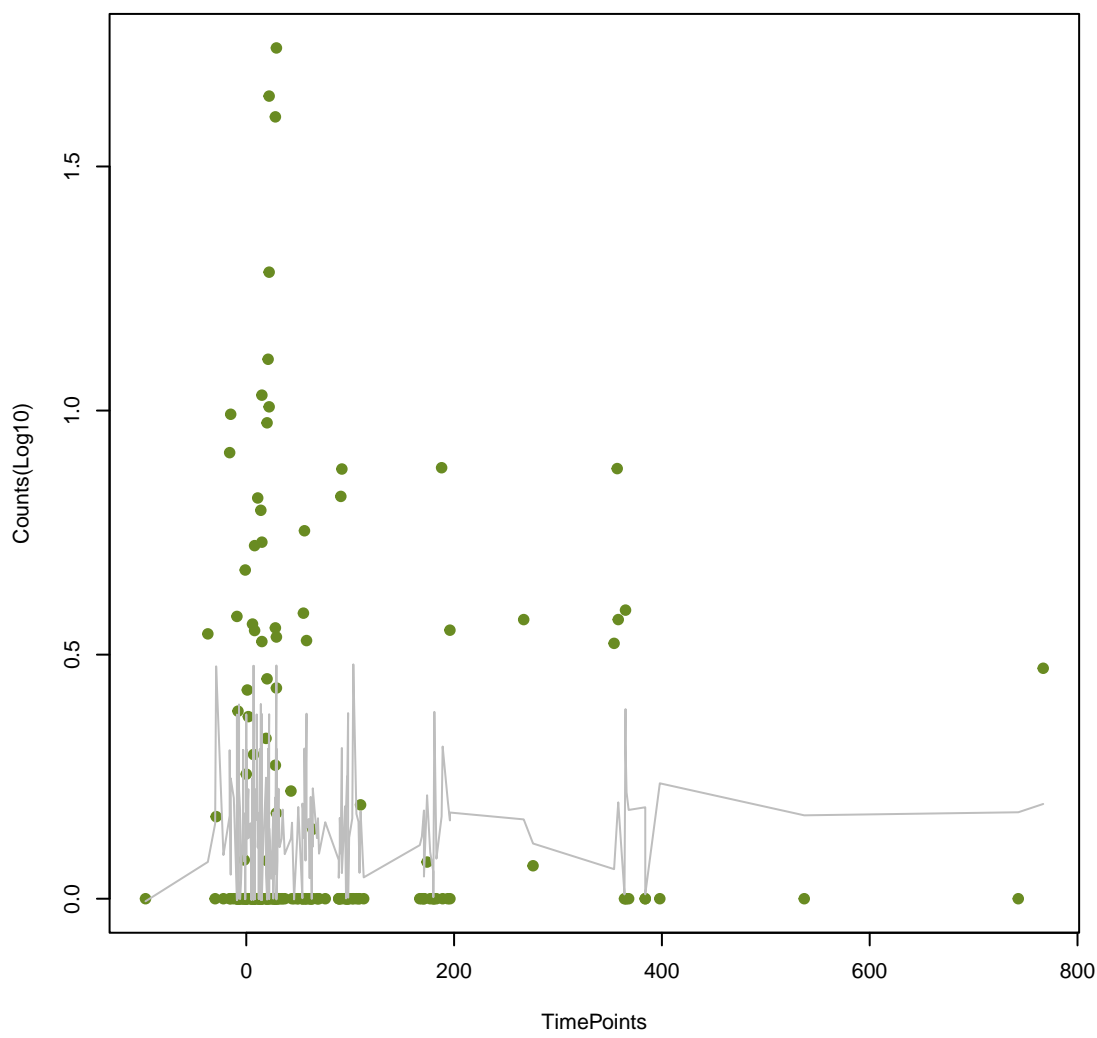
tetB(P)
ANOVA P=0.807, adj. ANOVA-P=0.884



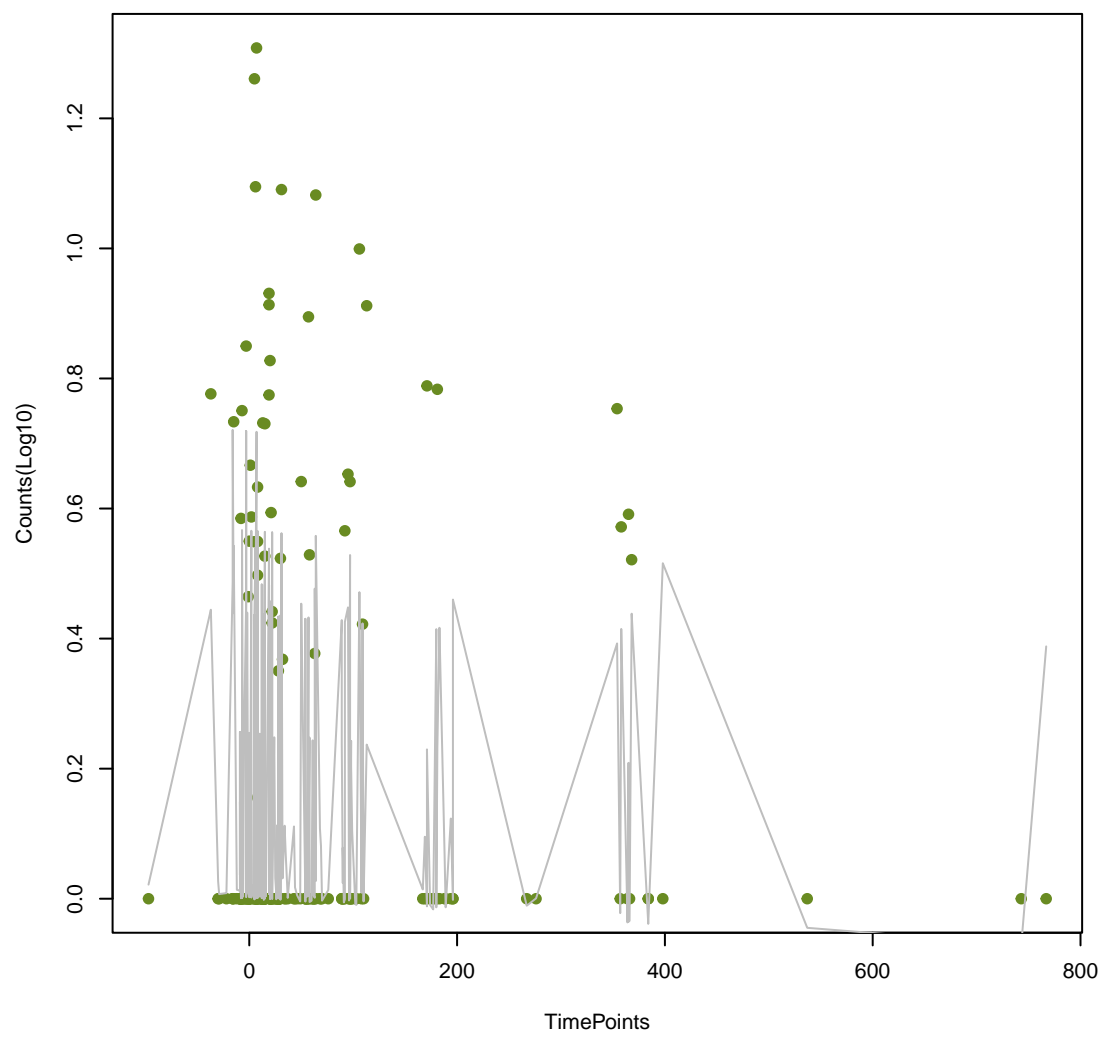
OCH-3
ANOVA P=0.814, adj. ANOVA-P=0.888



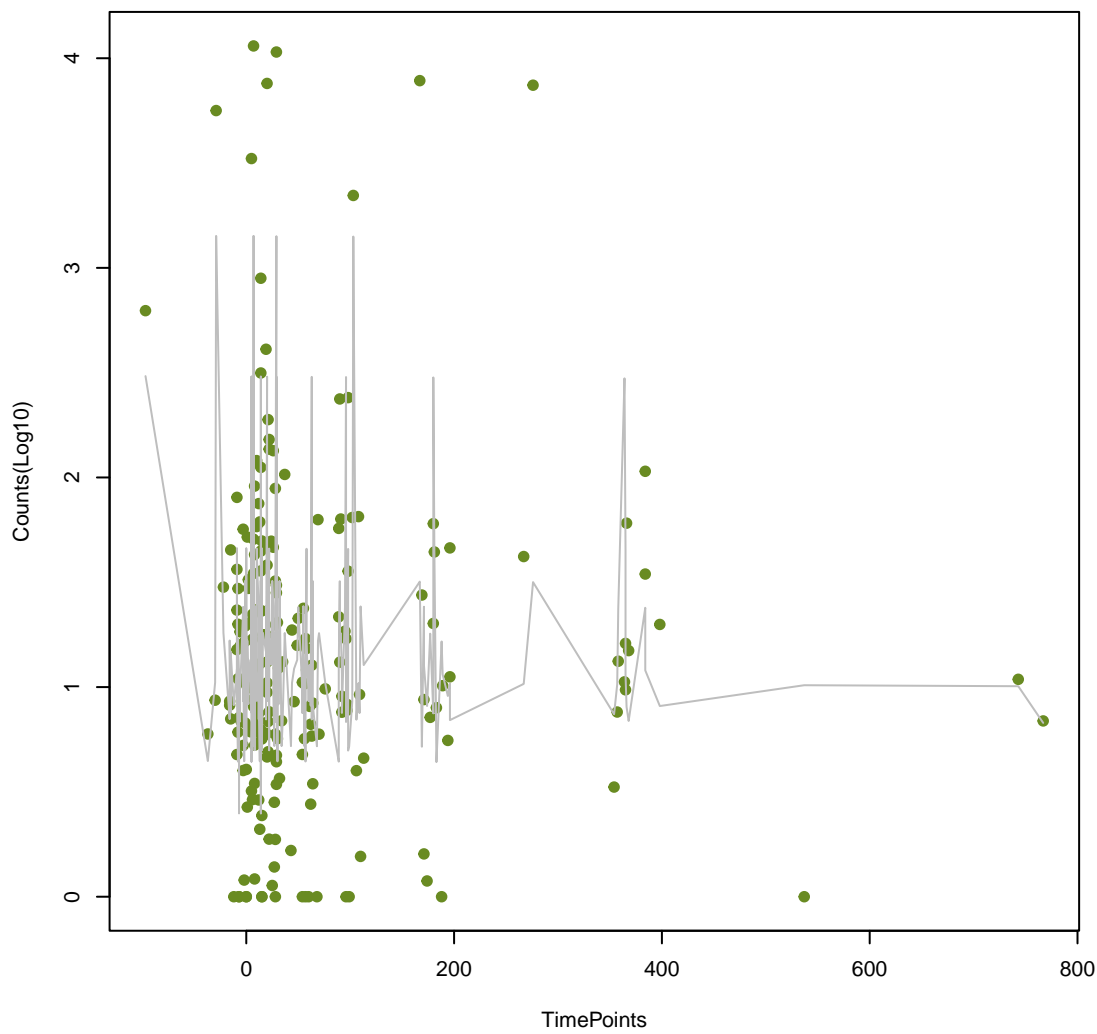
vgaD
ANOVA P=0.826, adj. ANOVA-P=0.897



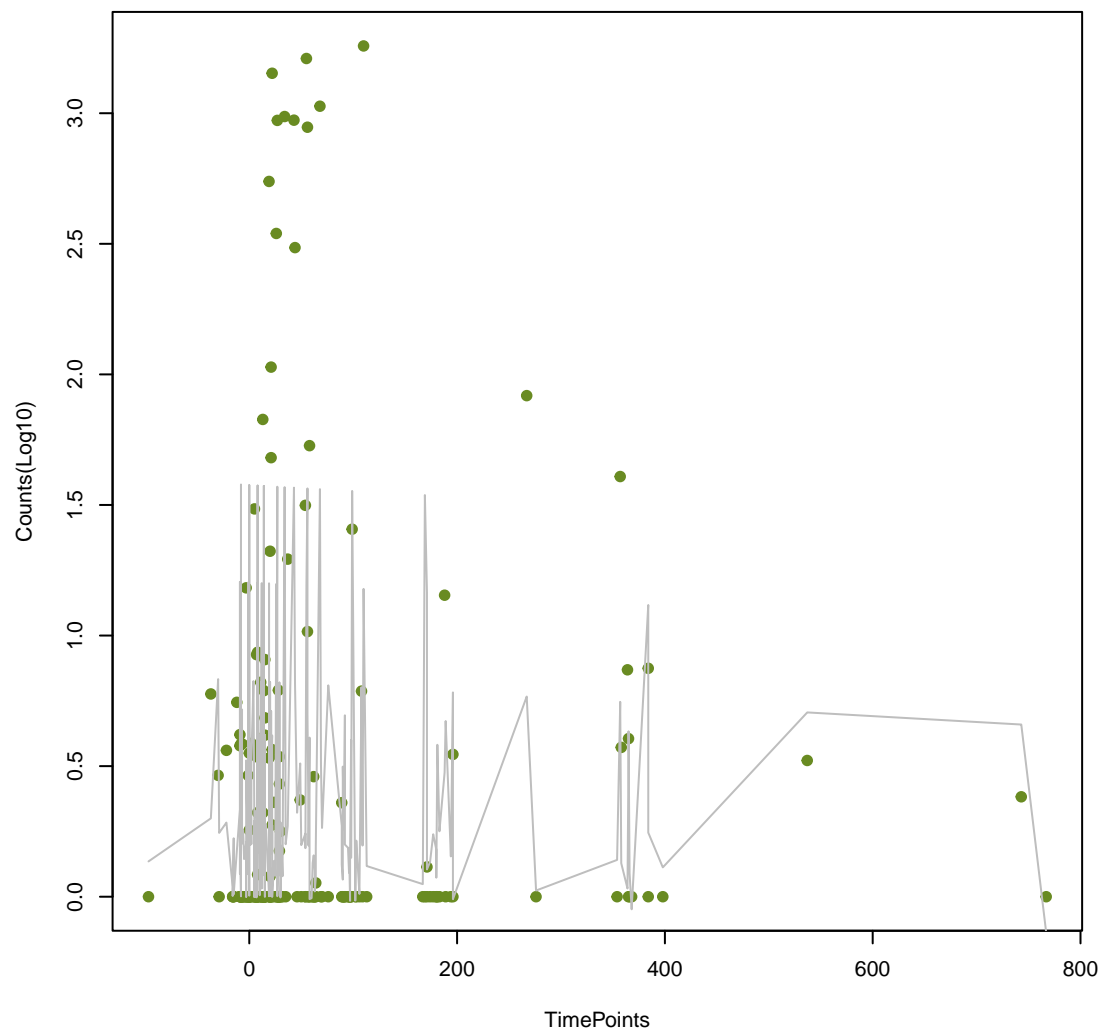
CfxA
ANOVA P=0.828, adj. ANOVA-P=0.897



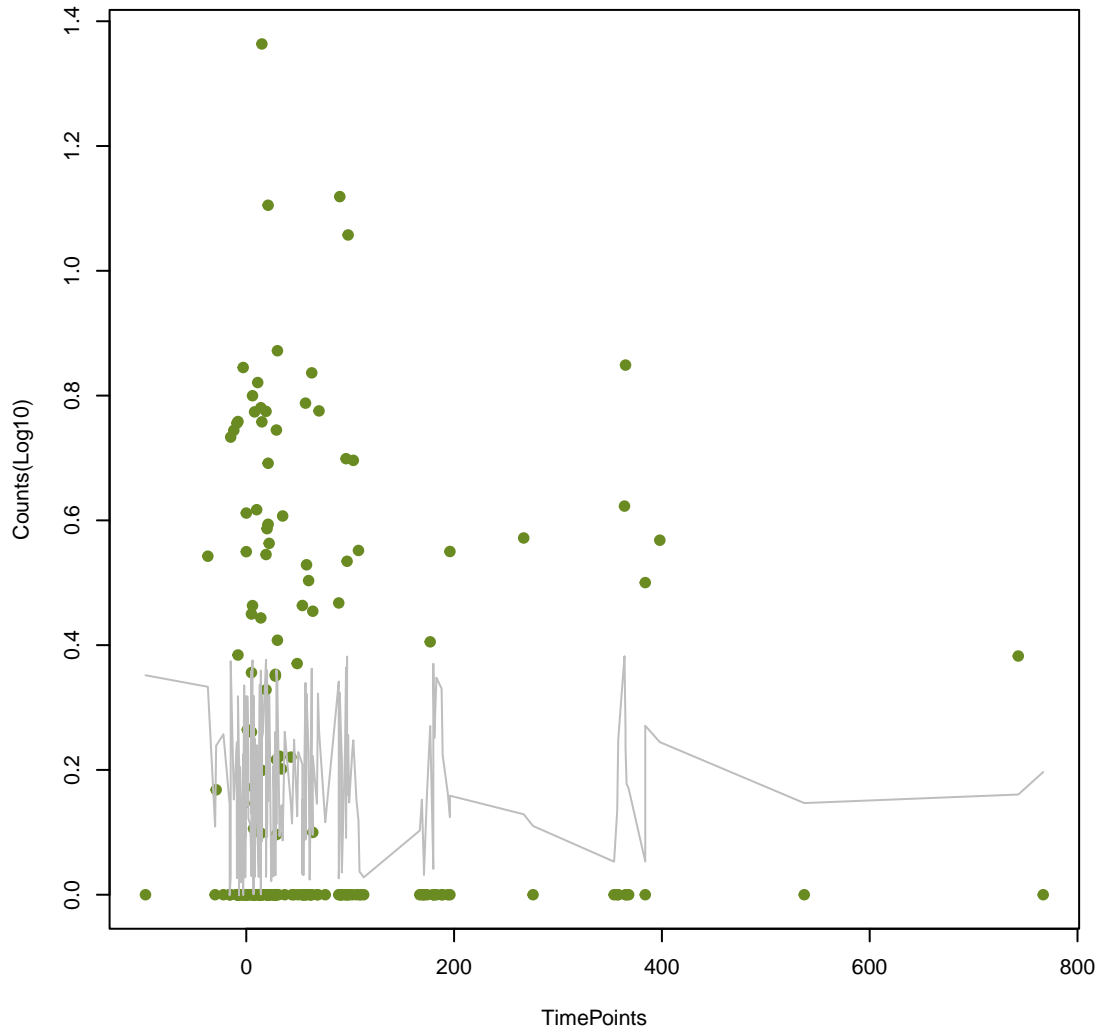
tetU
ANOVA P=0.832, adj. ANOVA-P=0.899



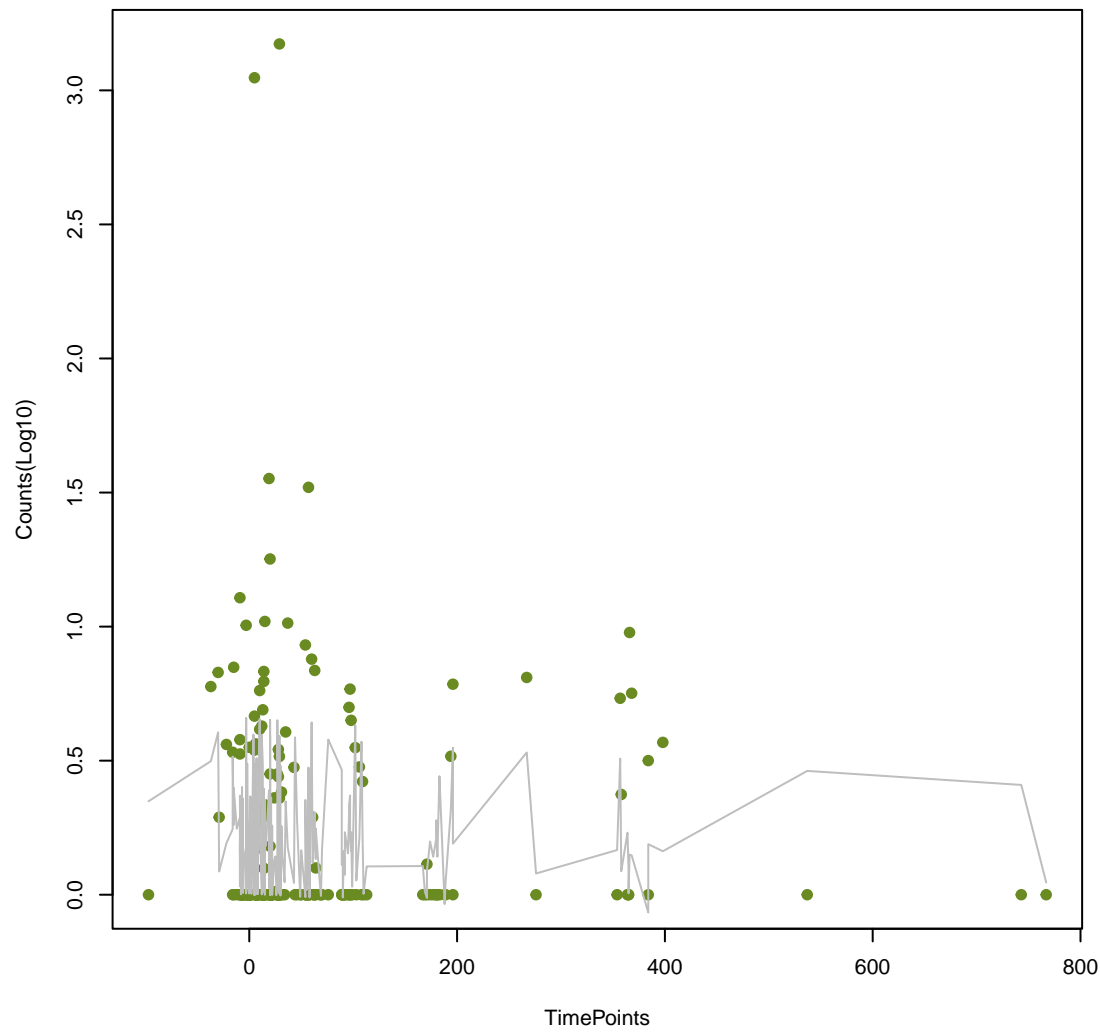
PC1_blaZ
ANOVA P=0.853, adj. ANOVA-P=0.917



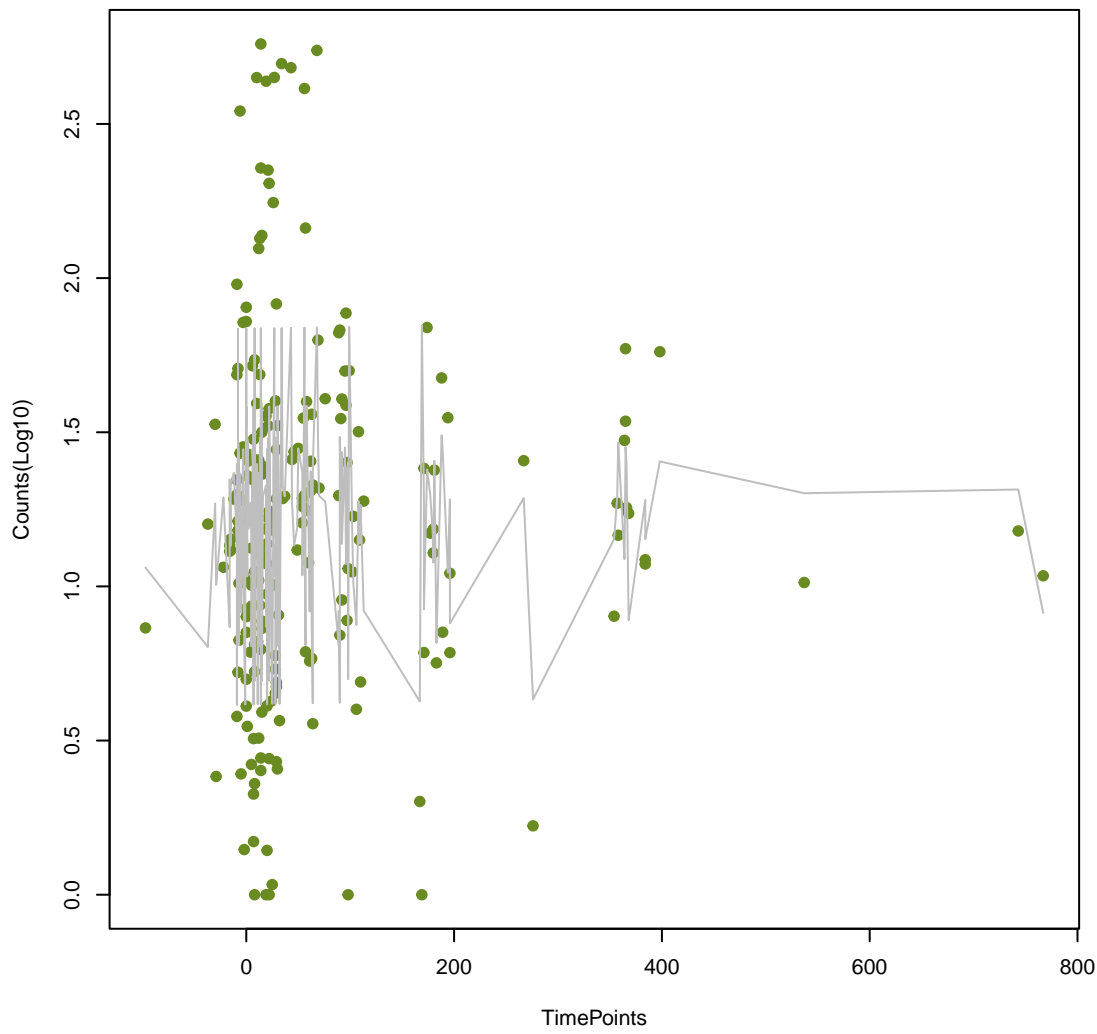
IND-7
ANOVA P=0.859, adj. ANOVA-P=0.919



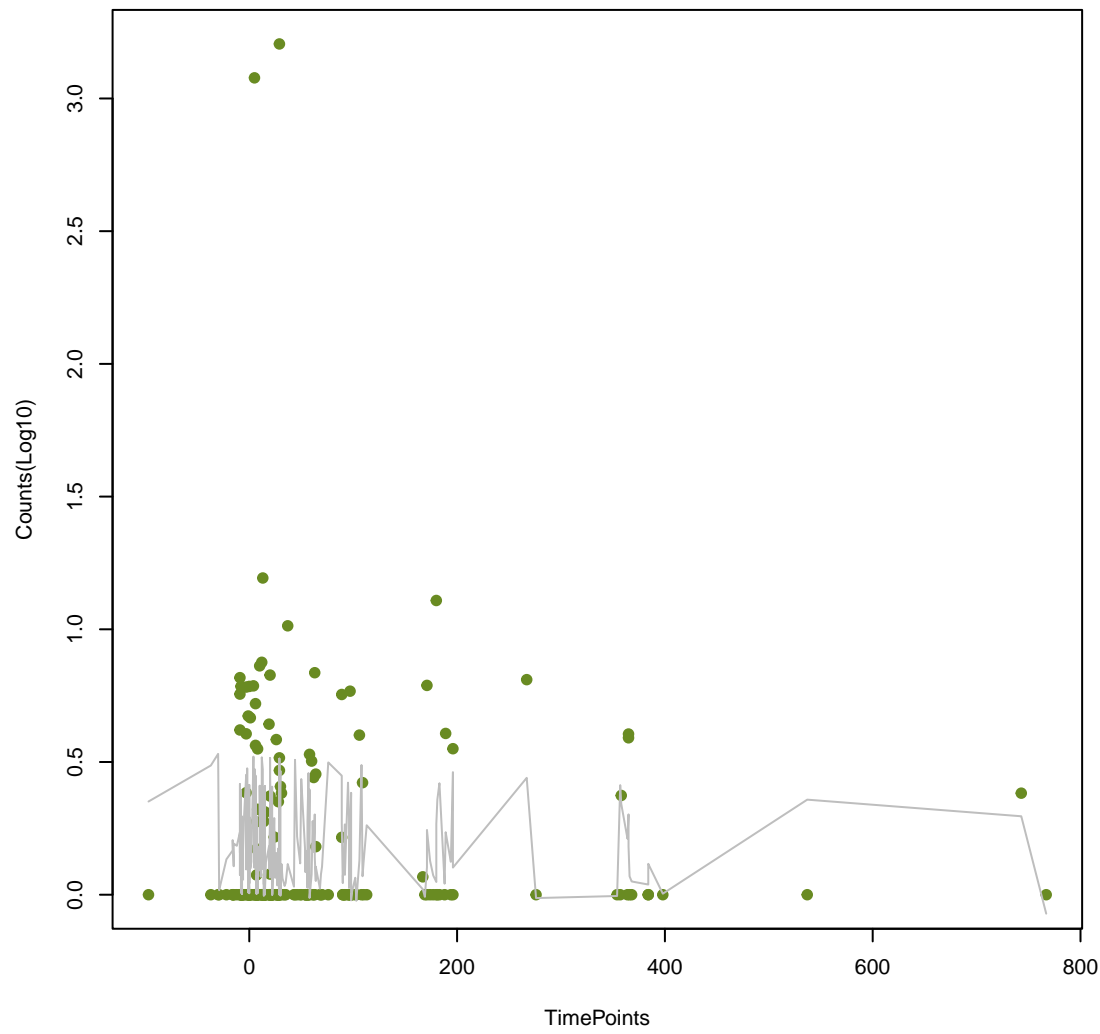
MexW
ANOVA P=0.863, adj. ANOVA-P=0.919



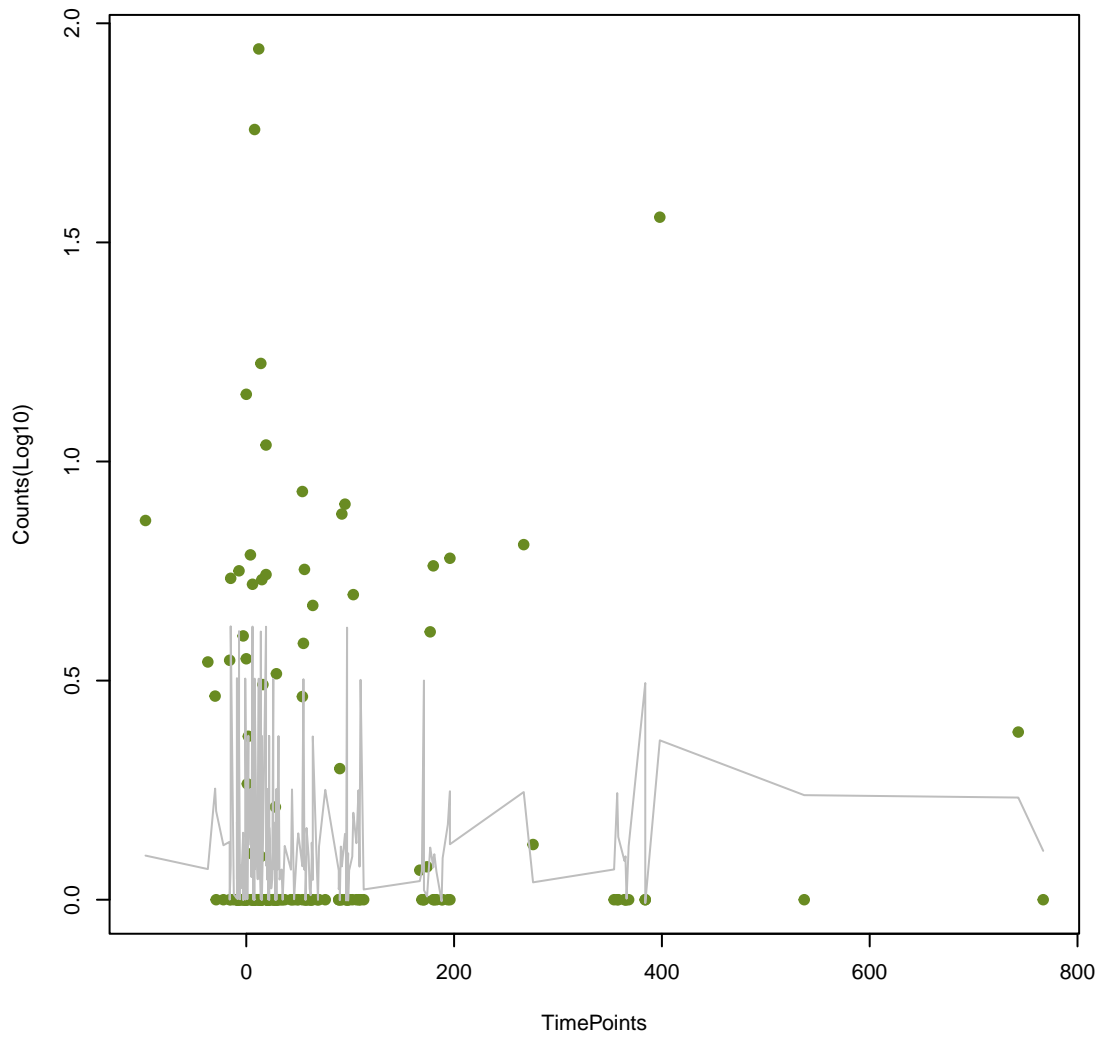
mecI
ANOVA P=0.864, adj. ANOVA-P=0.919



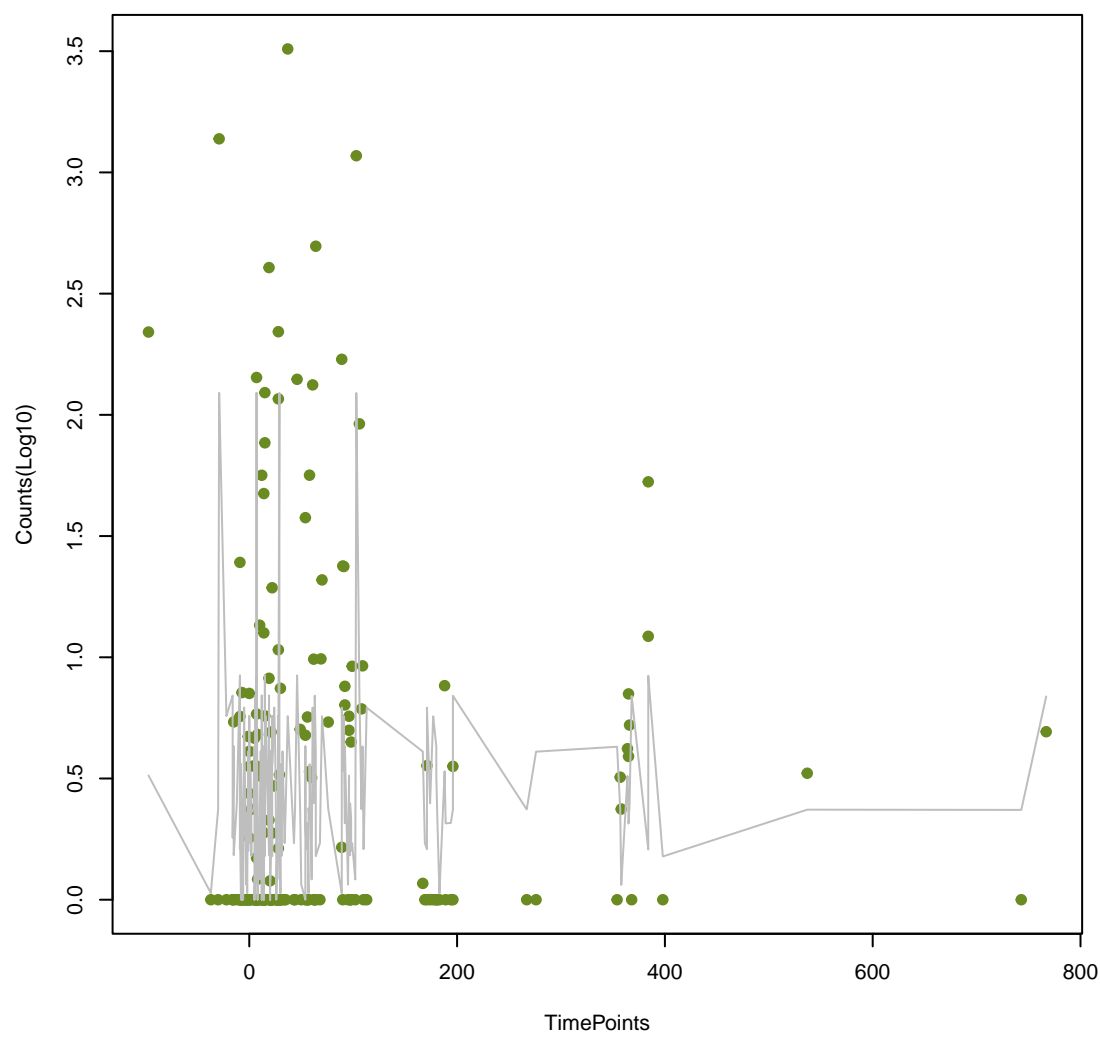
mexQ
ANOVA P=0.867, adj. ANOVA-P=0.919



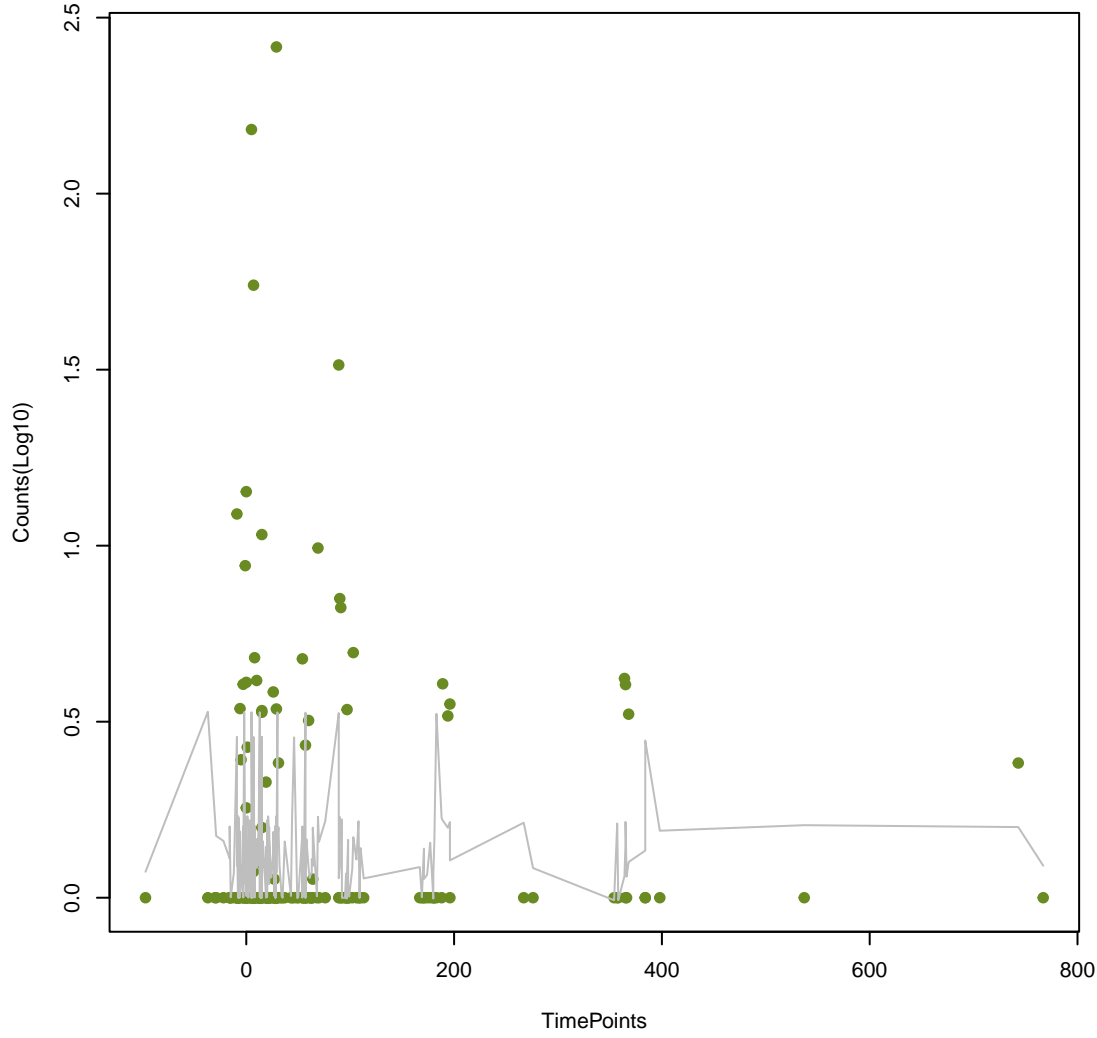
QnrC
ANOVA P=0.893, adj. ANOVA-P=0.943



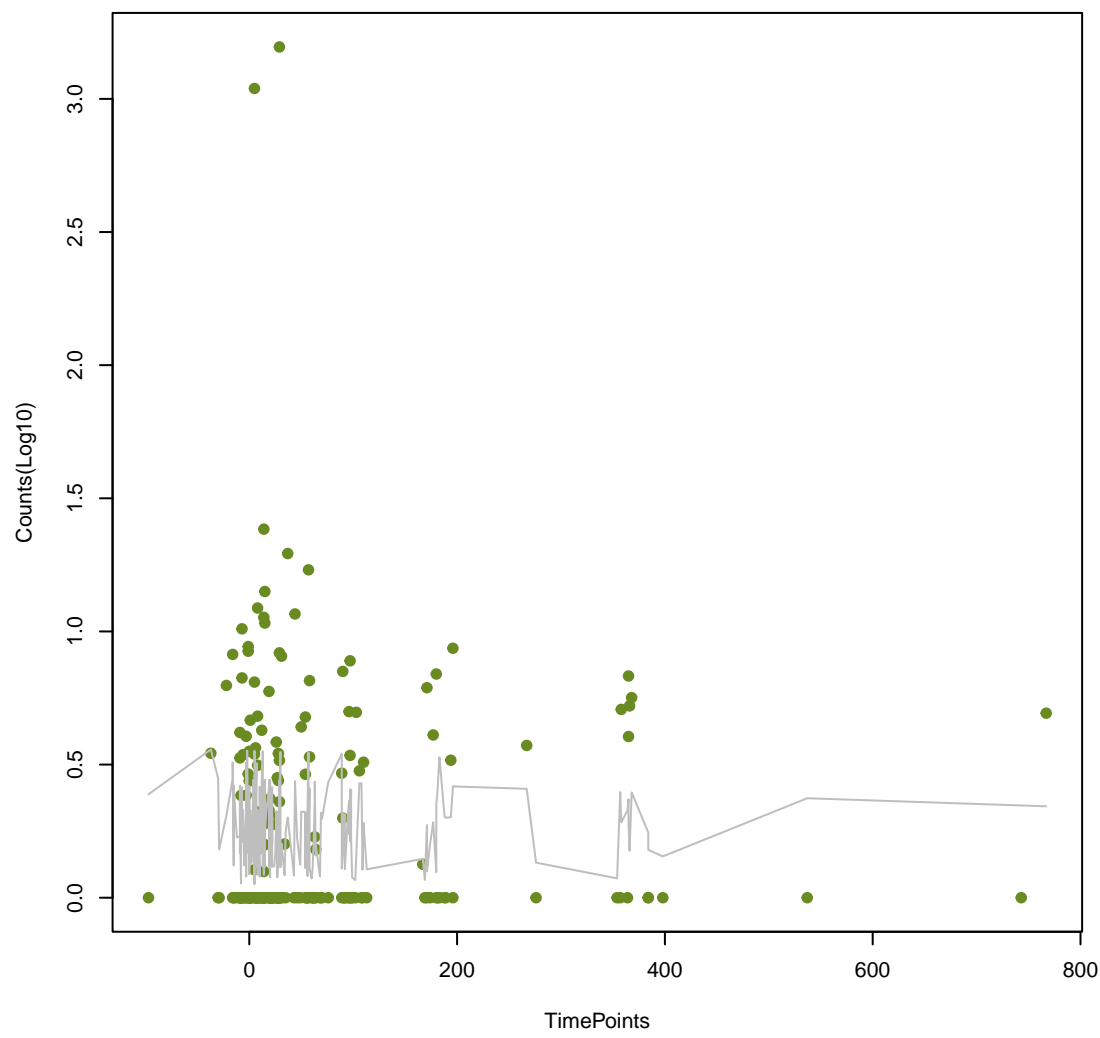
vanT_in_vanC_cl
ANOVA P=0.899, adj. ANOVA-P=0.947



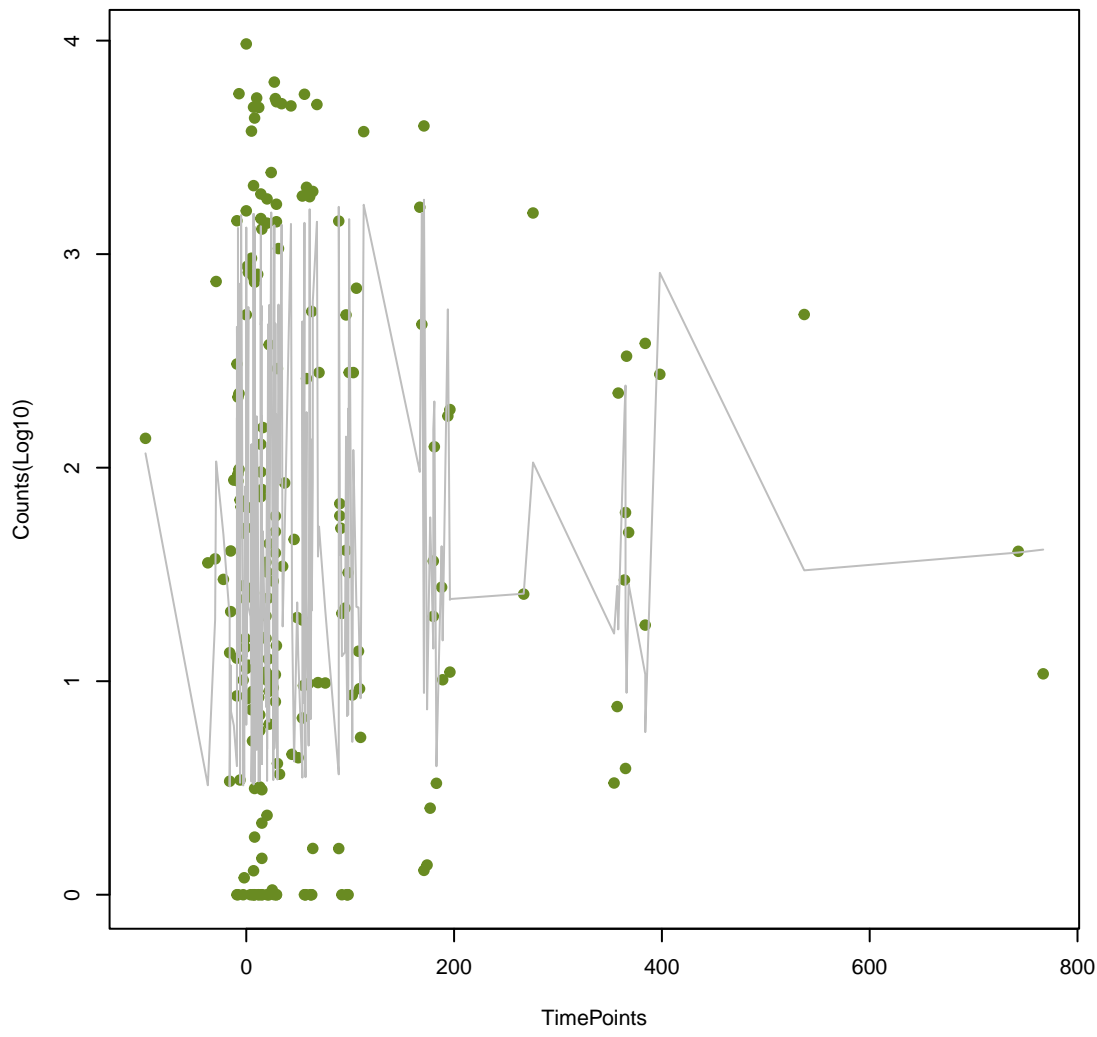
OXA-50
ANOVA P=0.917, adj. ANOVA-P=0.954



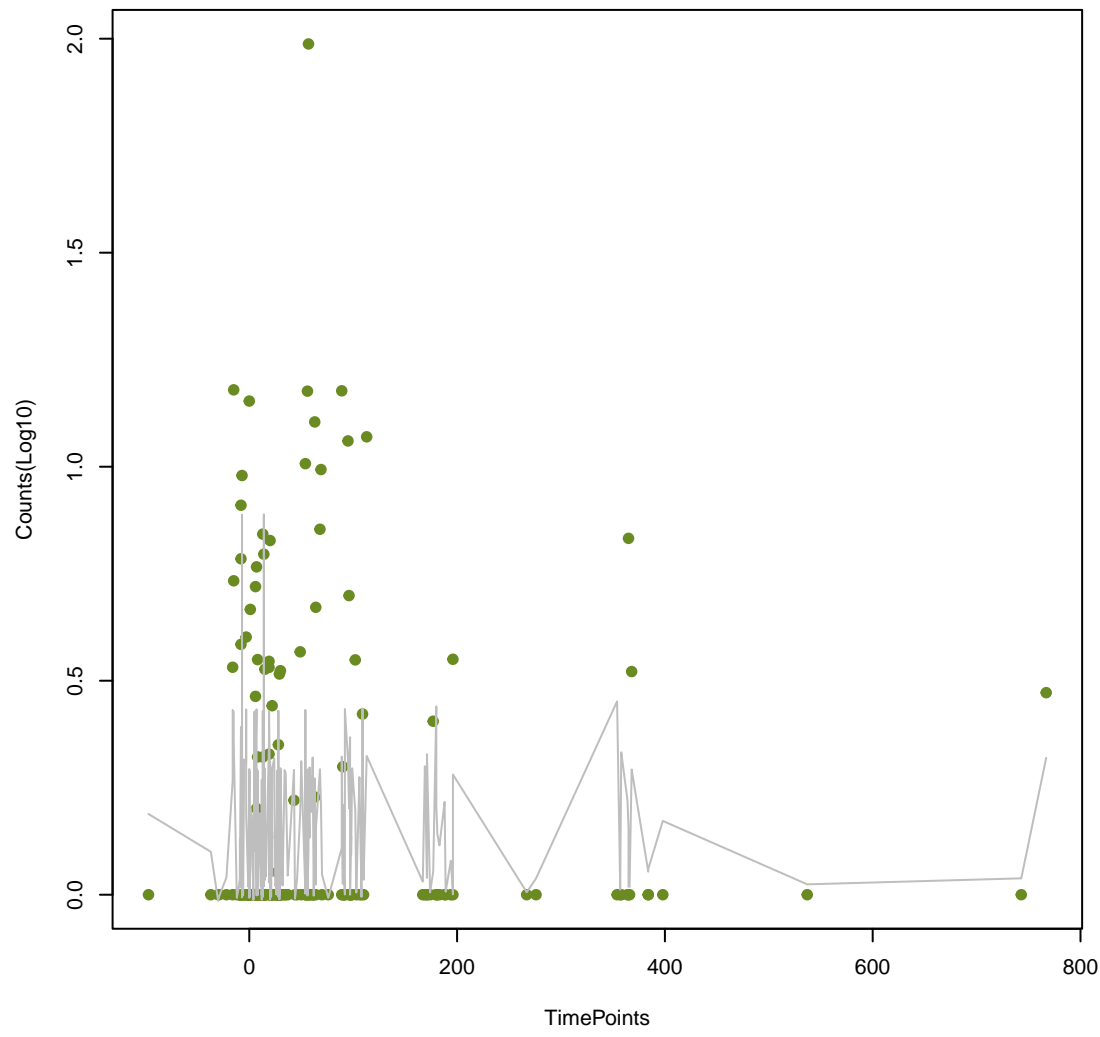
mexY
ANOVA P=0.917, adj. ANOVA-P=0.954



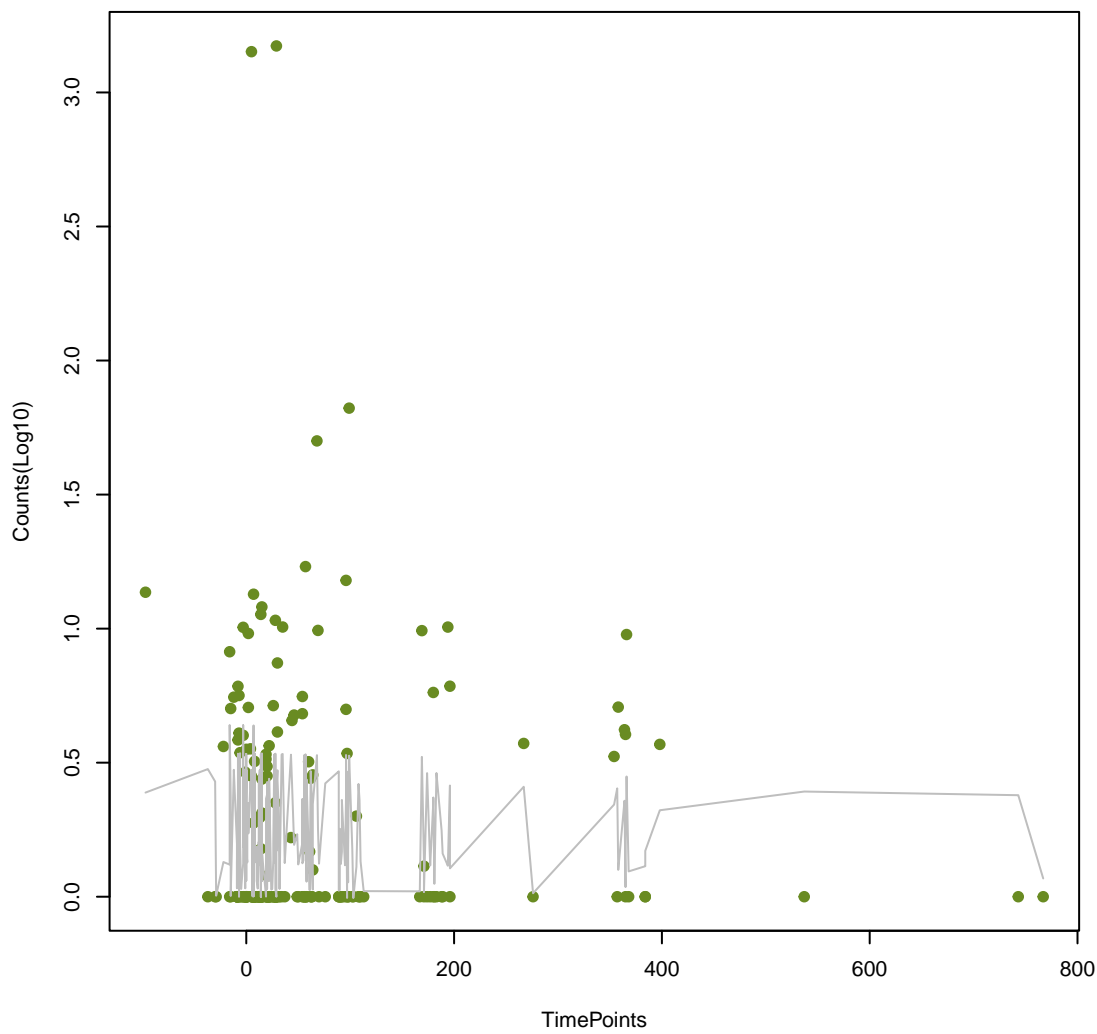
AAC6_le_APH2_Ia
ANOVA P=0.918, adj. ANOVA-P=0.954



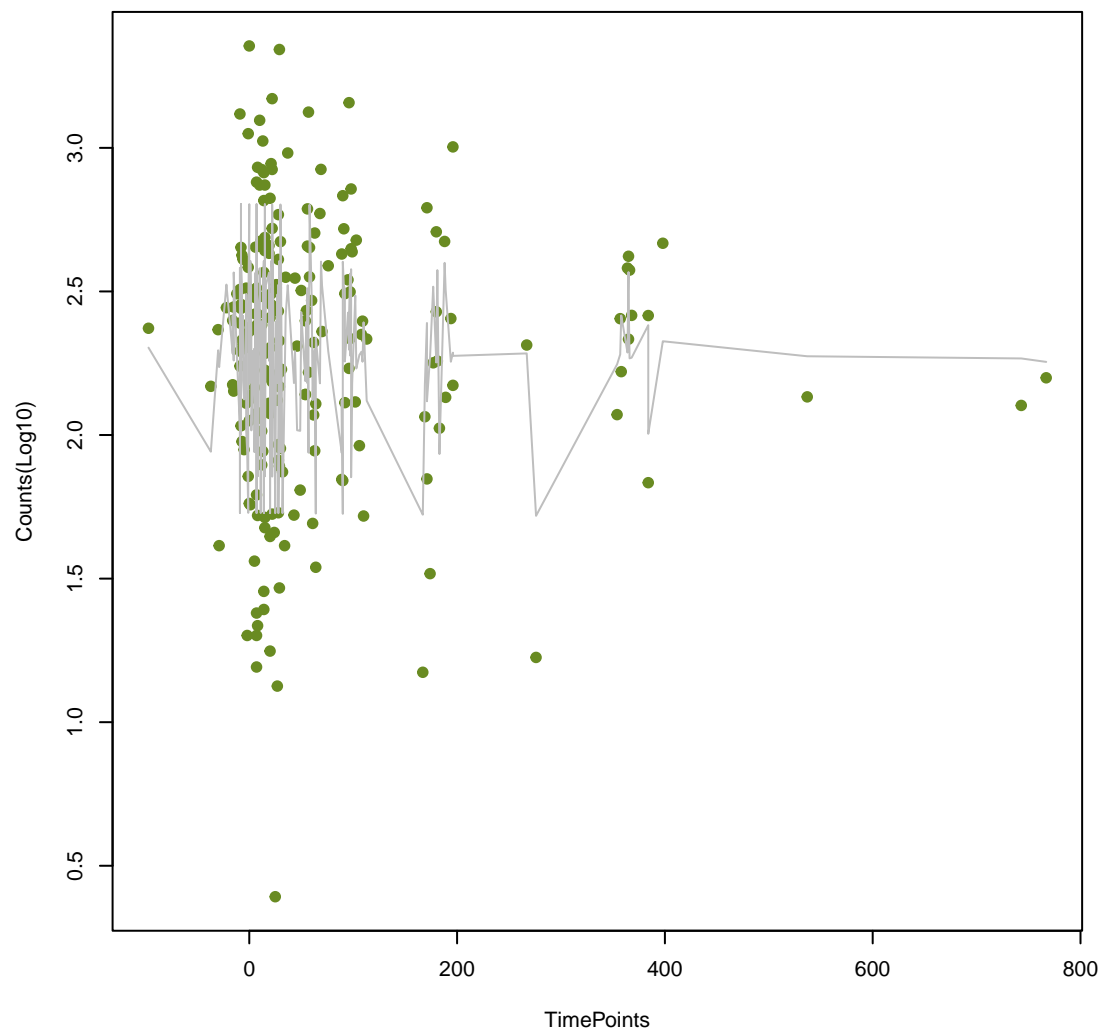
facT
ANOVA P=0.919, adj. ANOVA-P=0.954



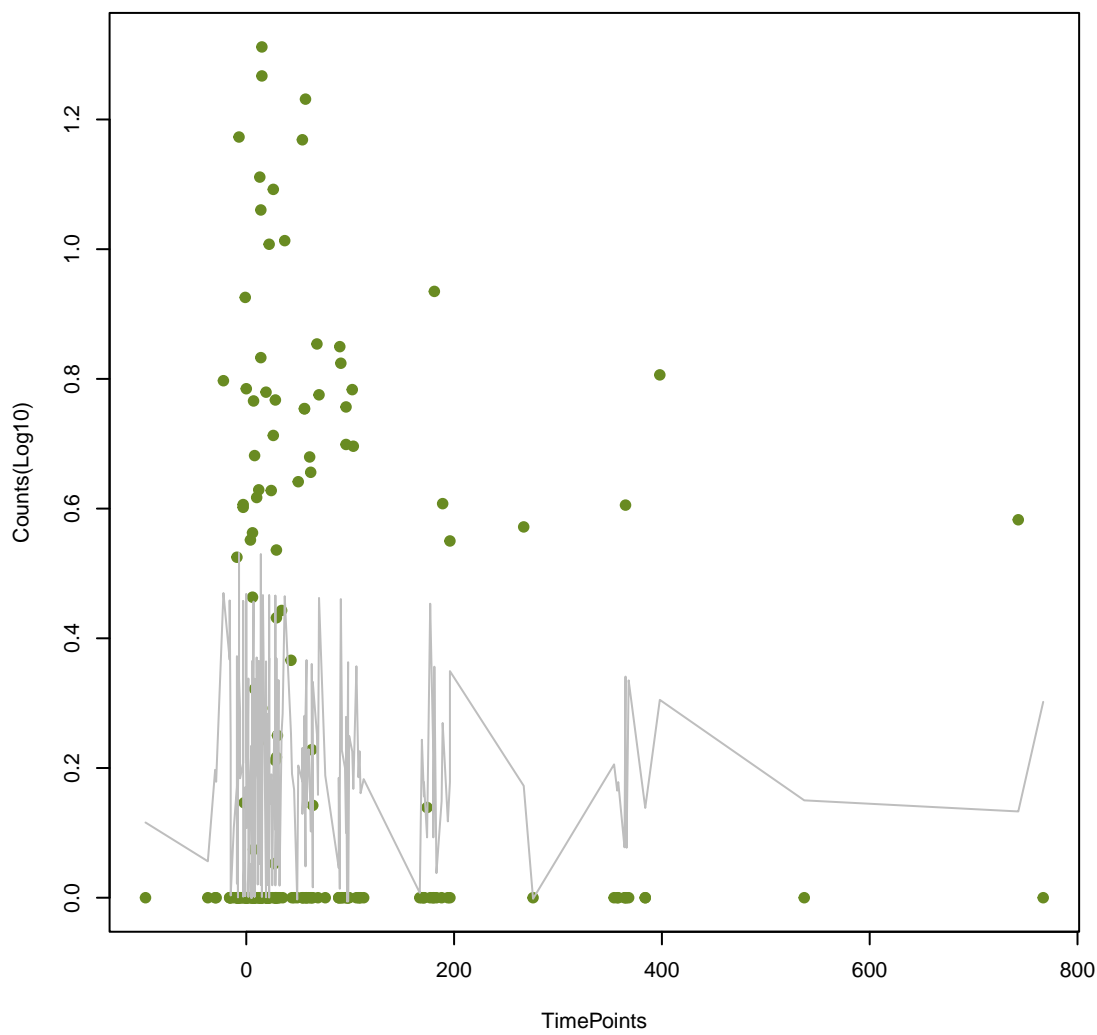
TriC
ANOVA P=0.933, adj. ANOVA-P=0.959



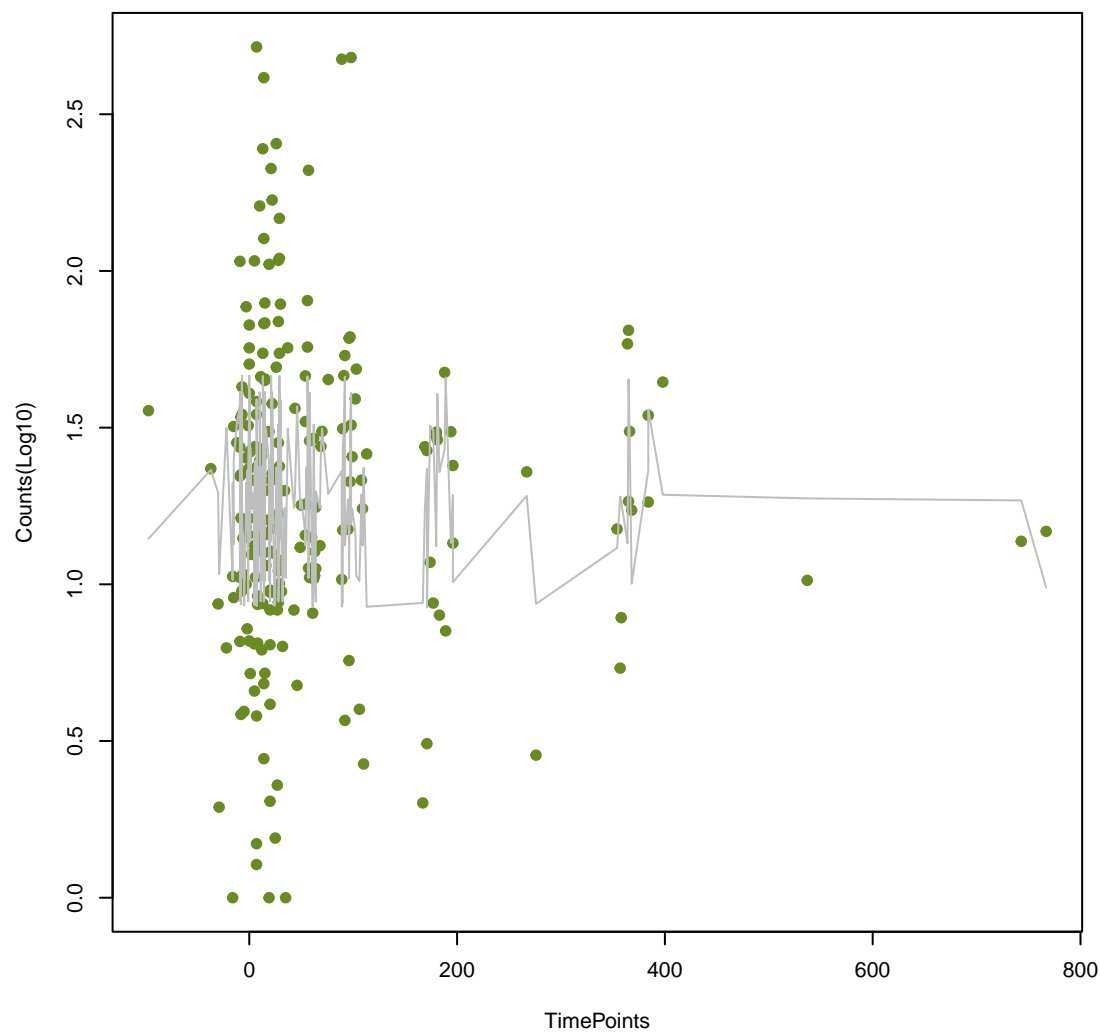
qacH
ANOVA P=0.934, adj. ANOVA-P=0.959



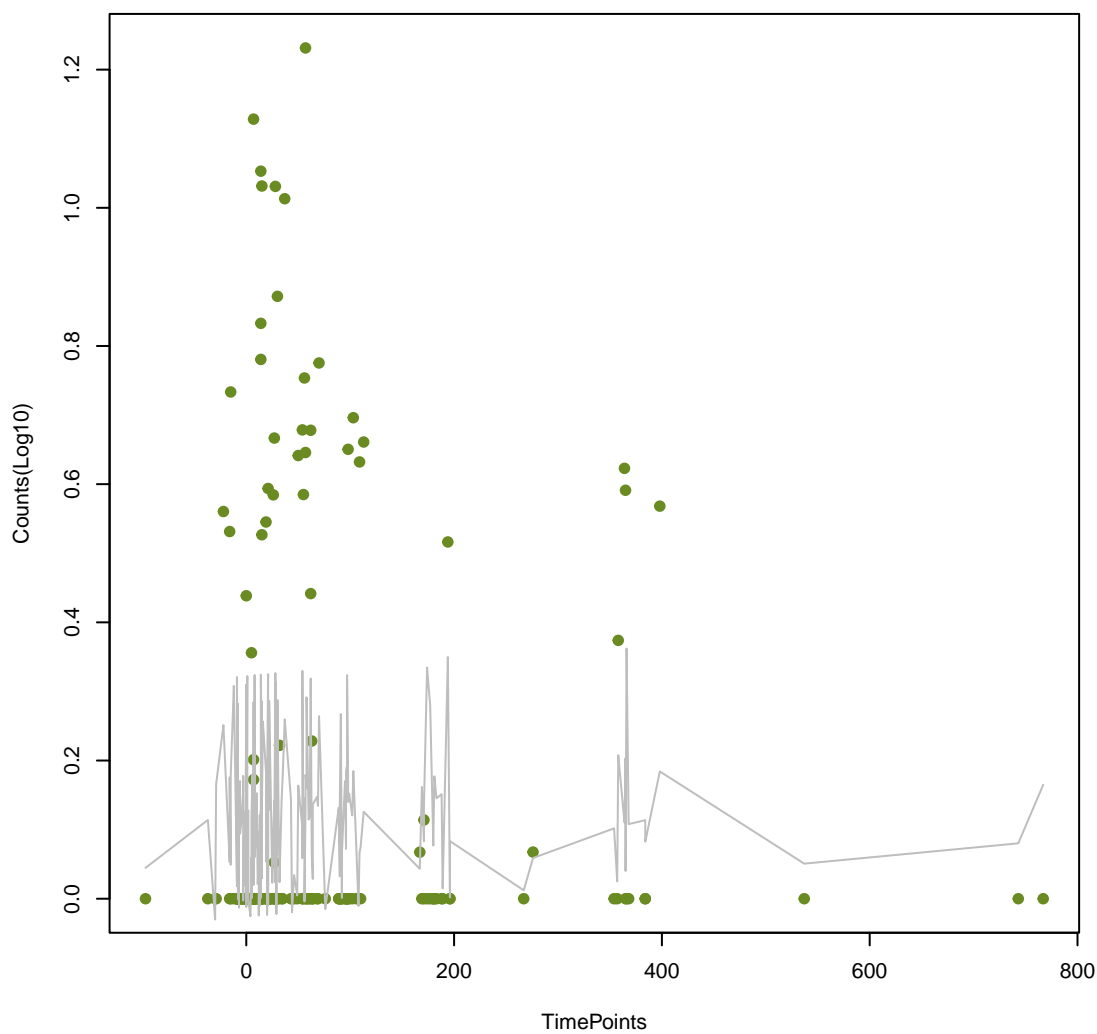
SHV-12
ANOVA P=0.937, adj. ANOVA-P=0.959



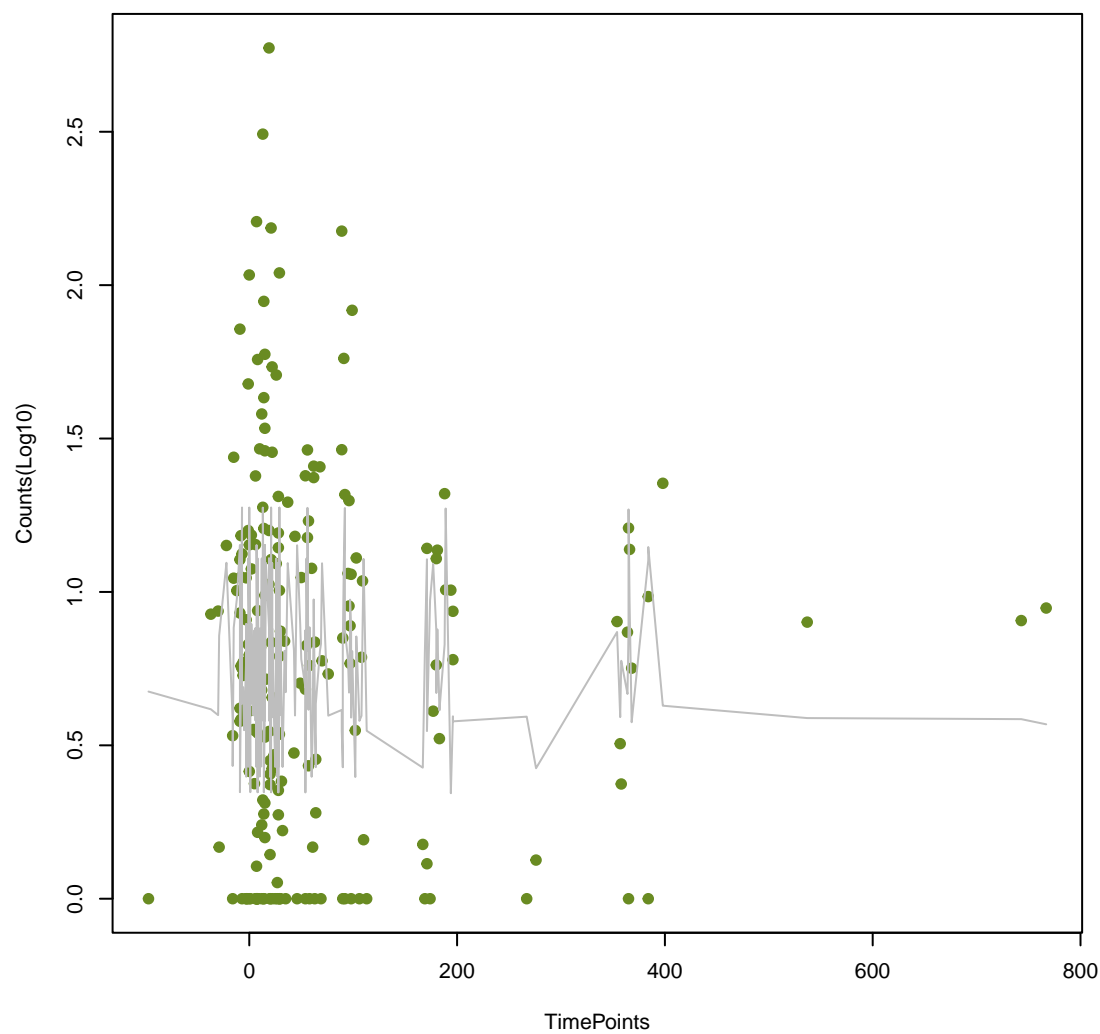
rsmA
ANOVA P=0.939, adj. ANOVA-P=0.959



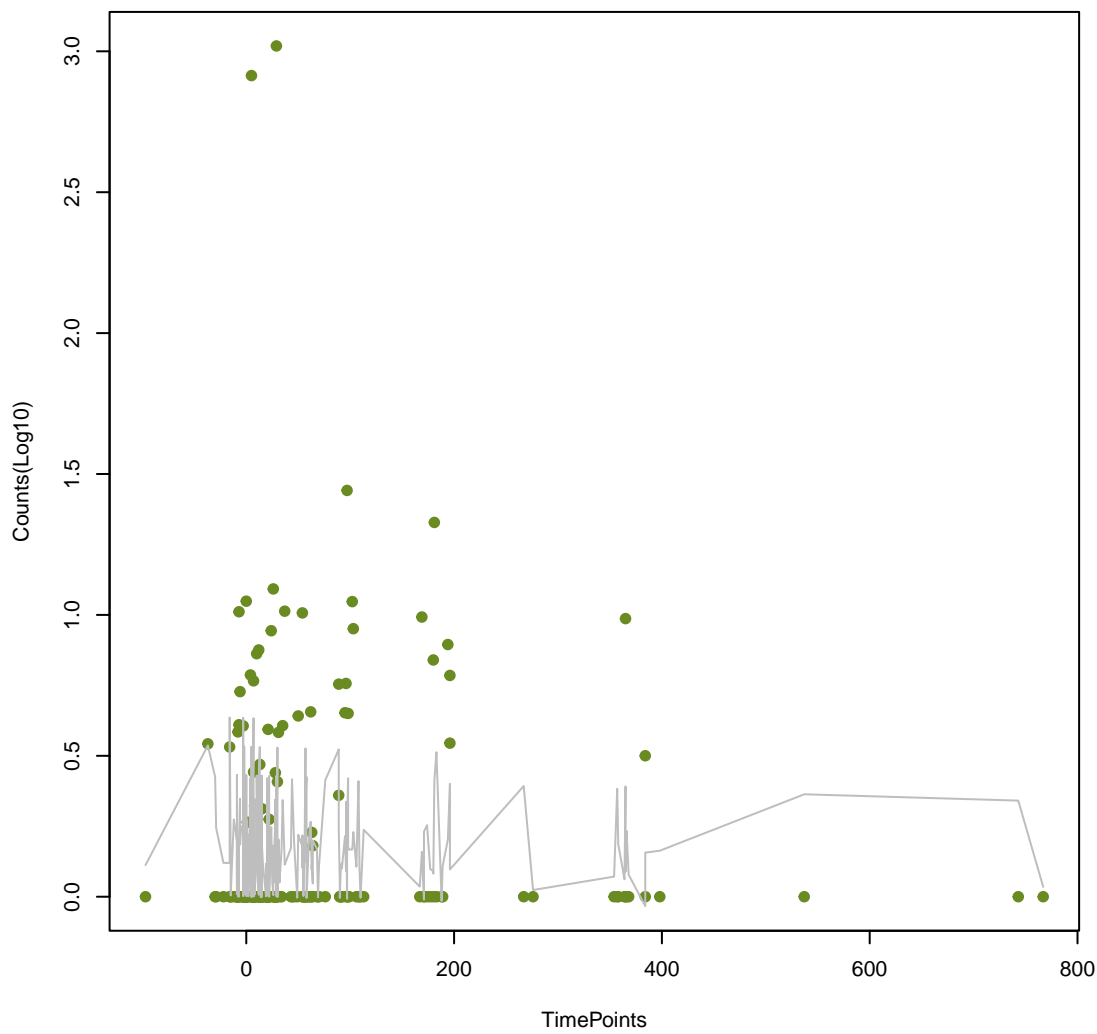
OXA-113
ANOVA P=0.944, adj. ANOVA-P=0.959



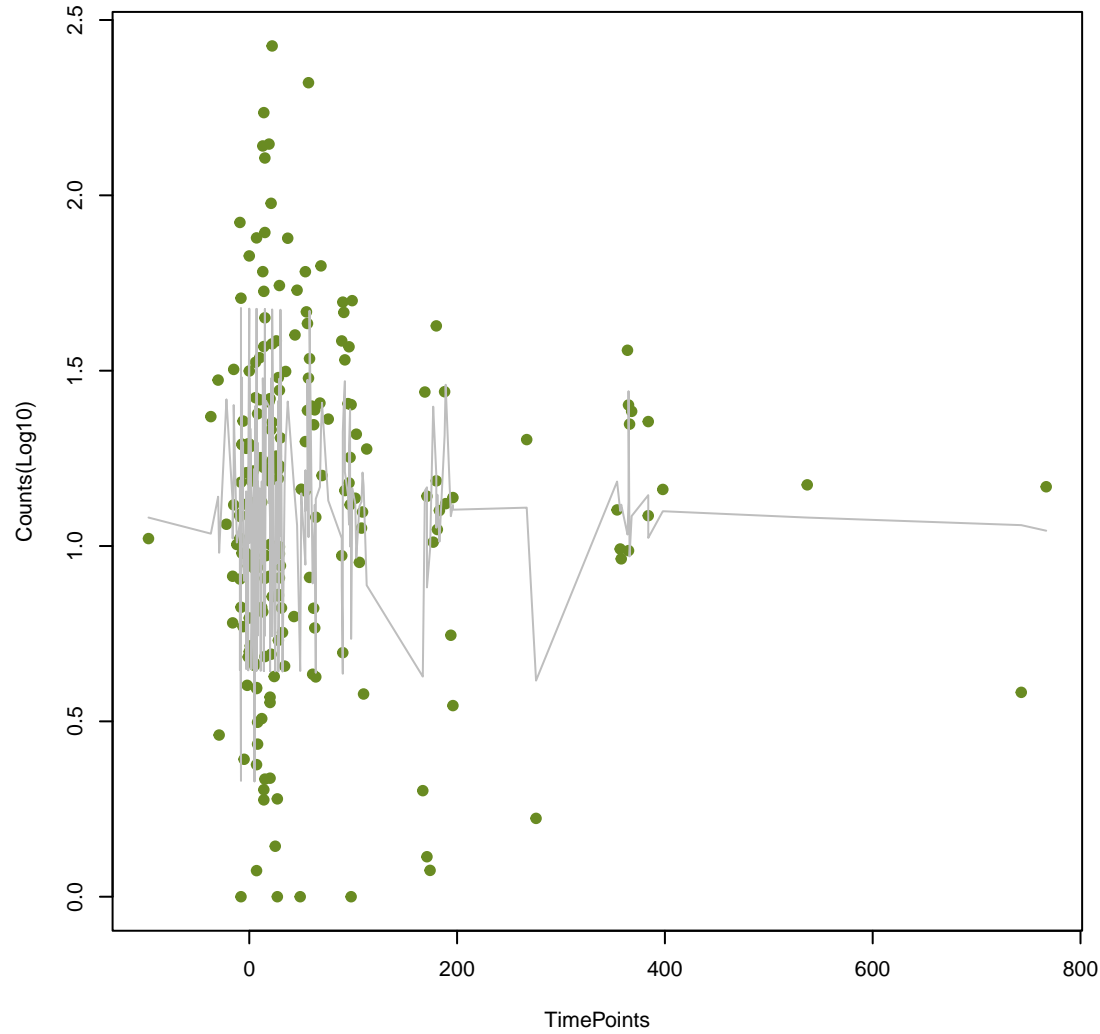
dfrB4
ANOVA P=0.944, adj. ANOVA-P=0.959



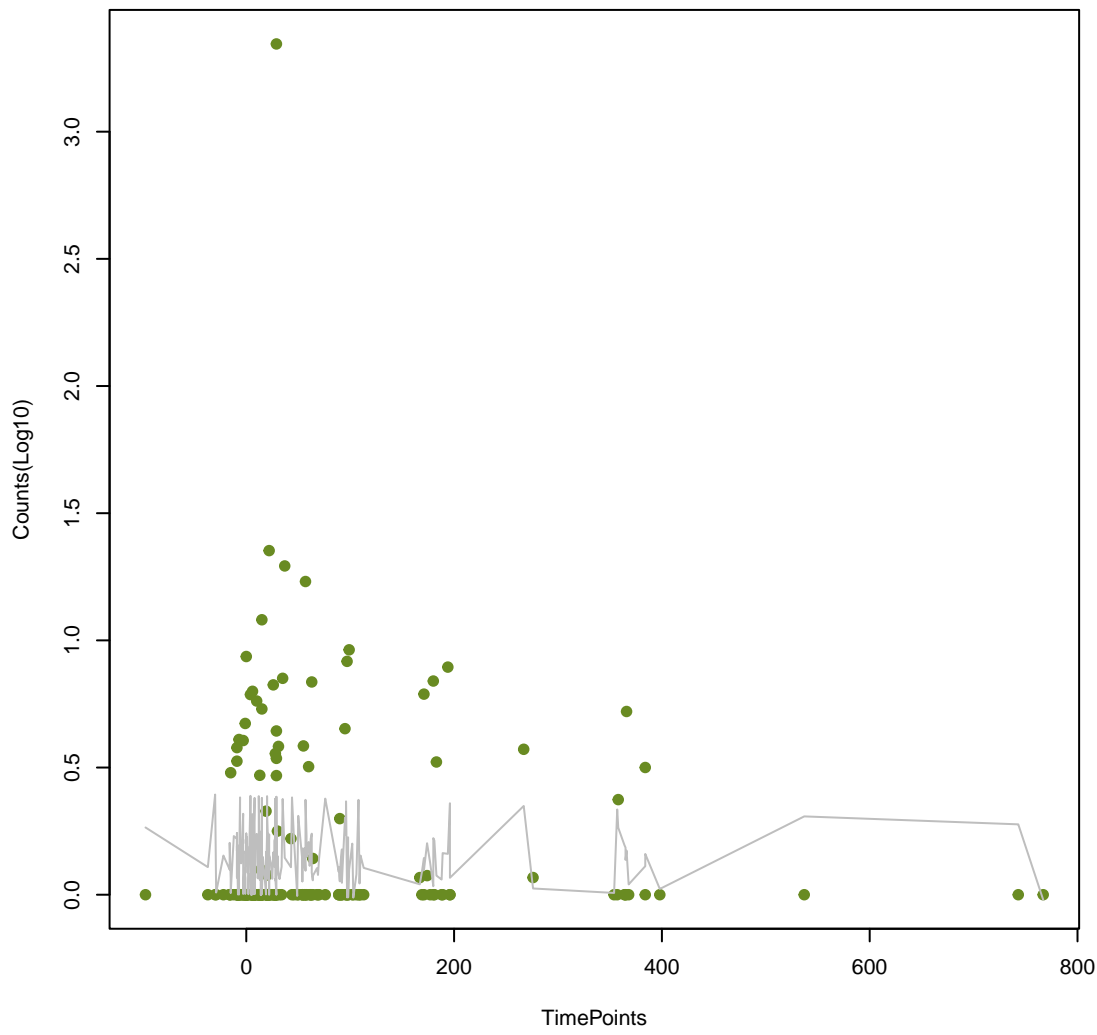
arnA
ANOVA P=0.946, adj. ANOVA-P=0.959



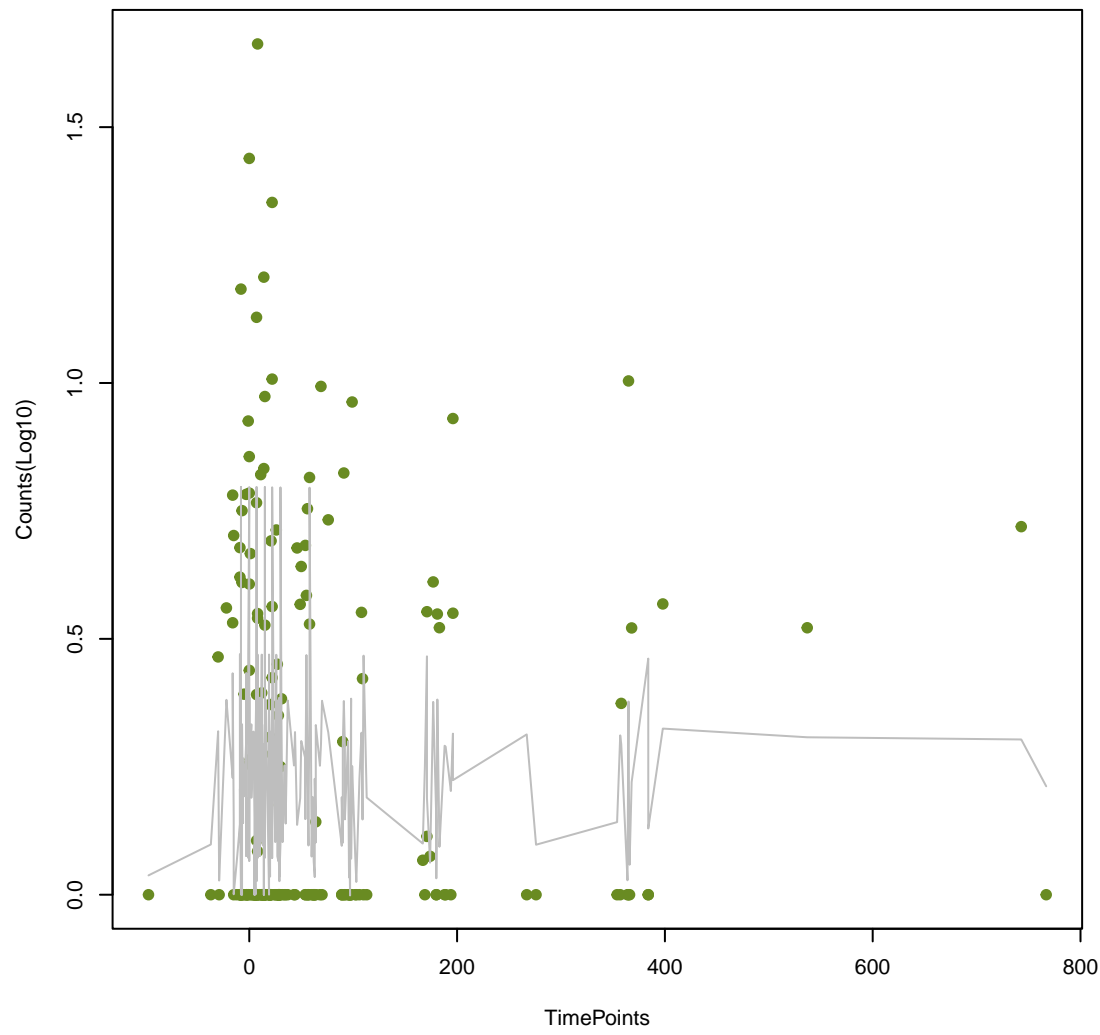
ykkD
ANOVA P=0.956, adj. ANOVA-P=0.966



norB
ANOVA P=0.972, adj. ANOVA-P=0.979



OCH-1
ANOVA P=0.976, adj. ANOVA-P=0.979



vanL
ANOVA P=0.983, adj. ANOVA-P=0.983

